

RAPORT

O STANIE ŚRODOWISKA W WOJEWÓDZTWIE ŁÓDZKIM

Na podstawie badań przeprowadzonych
w ramach Państwowego Monitoringu
Środowiska w 2016 r.

ŁÓDŹ 2017 R.



Wojewódzki Inspektorat Ochrony Środowiska

Łódź, ul. Lipowa 16

WOJEWÓDZKI INSPEKTORAT OCHRONY ŚRODOWISKA

90-743 Łódź, ul. Lipowa 16
centrala 42 - 633-33-43
fax 42 - 633-33-33
www.wios.lodz.pl

Delegatura WIOŚ w Piotrkowie Trybunalskim

97-300 Piotrków Trybunalski, ul. Bawełniana 18
centrala 44 - 648-67-77
fax 44 - 646-46-65

Delegatura WIOŚ w Sieradzu

98-200 Sieradz, ul. POW 70/72
centrala 43 - 822-37-60
fax 43 - 822-09-81

Delegatura WIOŚ w Skierniewicach

96-100 Skierniewice, al. Macieja Rataja 11
centrala 46 - 833-64-64
fax 46 - 833-33-77

REGIONALNA DYREKCJA OCHRONY ŚRODOWISKA

90-113 Łódź, ul. Traugutta 25
sekretariat tel. 42 - 665-03-70
sekretariat fax 42 - 665-03-71

DEPARTAMENT ROLNICTWA I OCHRONY ŚRODOWISKA ŁÓDZKIEGO URZĘDU MARSZAŁKOWSKIEGO

90-051 Łódź, al. Piłsudskiego 8
telefon 42 - 663-35-30
fax 42 - 663-35-32

WYDZIAŁ OCHRONY ŚRODOWISKA I ROLNICTWA URZĘDU MIASTA ŁODZI

92-326 Łódź, al. Piłsudskiego 100
telefon 42 - 638-47-11
fax 42 - 638-47-47

WOJEWÓDZKI FUNDUSZ OCHRONY ŚRODOWISKA I GOSPODARKI WODNEJ

93-465 Łódź, ul. Dubois 118
telefon 42-663-41-00
fax 42-663-41-01



Badania w zakresie Państwowego Monitoringu Środowiska Województwa Łódzkiego wykonano przy użyciu oprogramowania komputerowego i aparatury pomiarowej, współfinansowanych z Norweskiego Mechanizmu Finansowego



WOJEWÓDZKI FUNDUSZ
OCHRONY ŚRODOWISKA
I GOSPODARKI WODNEJ
W ŁÓDZI

Wydanie raportu zrealizowano z udziałem środków z Wojewódzkiego Funduszu Ochrony Środowiska i Gospodarki Wodnej w Łodzi

WARUNKI NATURALNE

| | |
|--|----|
| WPROWADZENIE | 8 |
| POWIERZCHNIA GEODEZYJNA | 10 |
| ZIELEŃ | 12 |
| LESISTOŚĆ | 14 |
| OBSZARY PRAWNIE CHRONIONE | 16 |
| EKONOMICZNE ASPEKTY OCHRONY ŚRODOWISKA | 17 |

WODA

| | |
|--|----|
| PRESJE | 19 |
| Pobór i zużycie wody | 22 |
| Źródła zanieczyszczenia wód powierzchniowych | 25 |
| STAN WÓD | 36 |
| Wody powierzchniowe | 36 |
| Wody podziemne | 51 |
| Raport z badań wykonanych w ramach projektu MONSUL | 58 |
| REAKCJE | 71 |

POWIETRZE

| | |
|--|-----|
| WSTĘP | 73 |
| PRESJE - EMISJA ZANIECZYSZCZEŃ DO POWIETRZA | 78 |
| Emisja punktowa | 79 |
| Emisja liniowa | 81 |
| Emisja powierzchniowa z sektora komunalno-bytowego | 83 |
| Emisja z rolnictwa | 85 |
| Emisja niezorganizowana z kopalni odkrywkowych i hałd | 86 |
| Podsumowanie | 86 |
| STAN – IMISJA ZANIECZYSZCZEŃ GAZOWYCH | 89 |
| Imisja zanieczyszczeń gazowych | 89 |
| Imisja zanieczyszczeń pyłowych | 99 |
| Ocena imisji pyłu zawieszonego PM10 | 101 |
| Ocena imisji pyłu zawieszonego PM2,5 | 105 |
| Ocena imisji metali ciężkich i WWA w pyłe zawieszonym PM10 | 107 |
| Ocena jakości powietrza | 110 |
| Chemizm opadów atmosferycznych i depozycja zanieczyszczeń do podłoża | 114 |
| REAKCJE | 123 |

HAŁAS

| | |
|-------------------|-----|
| MONITORING HAŁASU | 128 |
|-------------------|-----|

PROMIENIOWANIE ELEKTROMAGNETYCZNE

| | |
|--|-----|
| PRESJE - EMISJA PÓŁ ELEKTROMAGNETYCZNYCH DO ŚRODOWISKA | 139 |
| STAN - MONITORING PROMIENIOWANIA ELEKTROMAGNETYCZNEGO | 141 |
| Wyniki pomiarów | 143 |
| Podsumowanie | 145 |

ODPADY

GOSPODARKA ODPADAMI KOMUNALNYMI.....146

Postęp prac przy usuwaniu azbestu.....148

DZIAŁALNOŚĆ SŁUŻB

DZIAŁALNOŚĆ WIOŚ.....150

Działalność Kontrolna.....150

Działalność Laboratorium.....152

**DZIAŁALNOŚĆ WOJEWÓDZKIEGO FUNDUSZU OCHRONY ŚRODOWISKA I GOSPODARKI WODNEJ
W ŁODZI**.....154

WPROWADZENIE

Województwo łódzkie według stanu w dniu 1 I 2017 r. zajmowało 1821895 ha powierzchni geodezyjnej, co stanowiło 5,8% powierzchni kraju. Pod względem powierzchni łódzkie plasowało się na 9 pozycji wśród województw.

Na terenie województwa łódzkiego, według stanu w dniu 31 XII 2016 r., wydzielono administracyjnie 24 powiaty, w tym 3 miasta na prawach powiatu (Łódź, Skierniewice, Piotrków Trybunalski) oraz 177 gmin, z czego 18 stanowią gminy miejskie. Największym pod względem powierzchni powiatem województwa łódzkiego jest powiat skierniewicki (1491 km² – 8,2% powierzchni ogółem), natomiast najmniejszym – miasto Skierniewice (35 km², co stanowi 0,2% powierzchni ogółem).

Tabela 1.1 Jednostki administracyjne w 2016 r. Stan w dniu 31 XII

| WYSZCZEGÓLNIENIE | Polska | Województwo | |
|---------------------------|--------|-------------|------------|
| | ogółem | | Polska=100 |
| Powiaty | 314 | 21 | 6,7 |
| Miasta na prawach powiatu | 66 | 3 | 4,5 |
| Gminy | 2478 | 177 | 7,1 |
| miejskie | 303 | 18 | 5,9 |
| miejsko-wiejskie | 616 | 26 | 4,2 |
| wiejskie | 1559 | 133 | 8,5 |
| Miasta | 919 | 44 | 4,8 |
| Miejscowości wiejskie | 52548 | 5009 | 9,5 |
| Sołectwa | 40726 | 3495 | 8,6 |

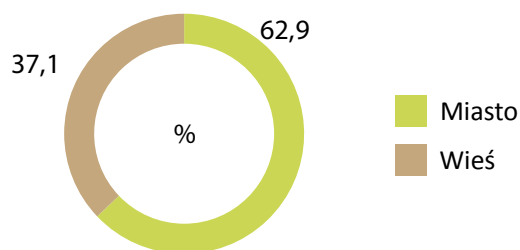
W województwie łódzkim dominują tereny wiejskie, które zajmują jego większą część 17,1 tys. km², tj. 93,6% powierzchni ogółem. Pozostały odsetek to tereny miejskie – 1158 km², z których 34,1% zajmują miasta na prawach powiatu.

Województwo łódzkie według stanu na koniec XII 2016 r. liczyło 2485,3 tys. mieszkańców i pod tym względem zajmowało szóste miejsce wśród województw. Mieszkańcy województwa łódzkiego stanowią 6,5% ludności Polski. Najliczniejszym pod względem liczby mieszkańców powiatem województwa była Łódź, którą zamieszkiwało 696,5 tys. osób, co stanowiło 28,0% mieszkańców województwa łódzkiego. Drugim co do liczebności populacji powiatem był powiat zgierski, który liczył 165,2 tys. ludności. W porównaniu z 2010 r. liczba mieszkańców województwa zmniejszyła się o 57,1 tys. osób (spadek o 2,2%), a najbardziej wyludniła się Łódź, gdzie liczba mieszkańców zmniejszyła się o 4,7%, czyli o 34,1 tys. osób. W tym okresie wzrost liczby ludności zanotowały jedynie dwa powiaty sąsiadujące z Łodzią – powiat łódzki wschodni (wzrost o 2,8 tys. osób, tj. o 4,1%) i zgierski (wzrost o 860 osób, tj. o 0,5%).

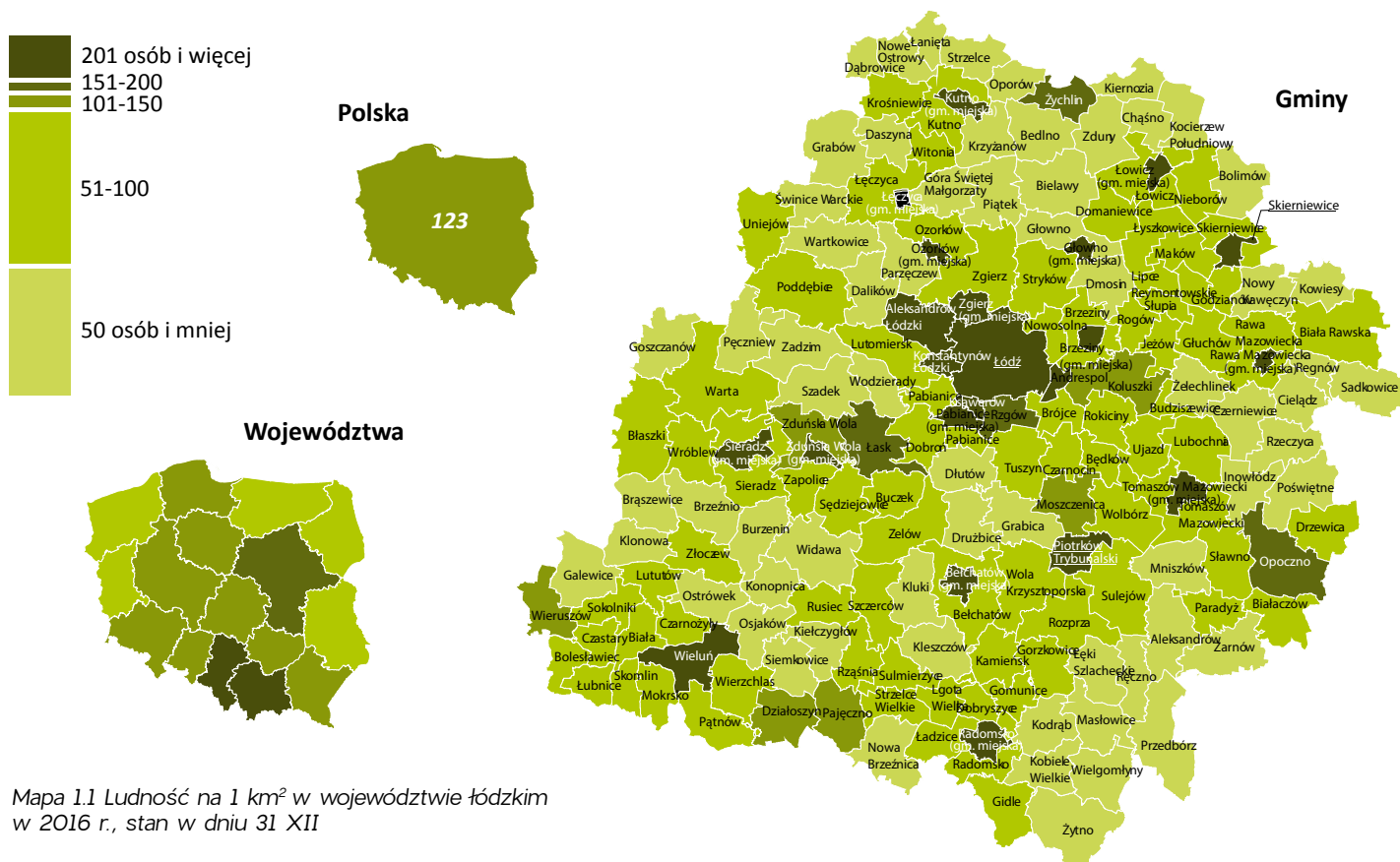
Ludność województwa łódzkiego zamieszkująca tereny miejskie liczyła na koniec 2016 r. 1563,6 tys. osób, co oznacza, że współczynnik urbanizacji (odsetek ludności miejskiej) wyniósł 62,9%. W porównaniu z 2010 r. zmniejszył się odsetek ludności miejskiej na rzecz ludności wiejskiej (o 1 p. proc.).

Gęstość zaludnienia w województwie łódzkim na koniec 2016 r. wyniosła 136 osób/km². Wyższy poziom wskaźnika odnotowano jedynie w województwach śląskim (370 os/km²), małopolskim (223 os/km²), mazowieckim (151 os/km²) i dolnośląskim (146 os/km²). Gęstość zaludnienia w województwie łódzkim była wyższa niż średnia dla Polski – 123 os/km².

Wśród powiatów województwa łódzkiego najwyższy wskaźnik gęstości zaludnienia odnotowano w miastach na prawach powiatu: Łodzi – 2375 os/km², Skierniewicach – 1397 os/km² i Piotrkowie Trybunalskim – 1111 os/km². Najgęściej zaludnionymi powiatami ziemskimi były: pabianicki – 242 os/km², zgierski – 193 os/km² i zduńskowolski – 182 os/km². W województwie łódzkim najmniej zaludnionymi powiatami były: powiat poddębicki – 47 os/km² i skierniewicki – 51 os/km², który jest jedynym powiatem województwa, obejmującym wyłącznie gminy wiejskie.

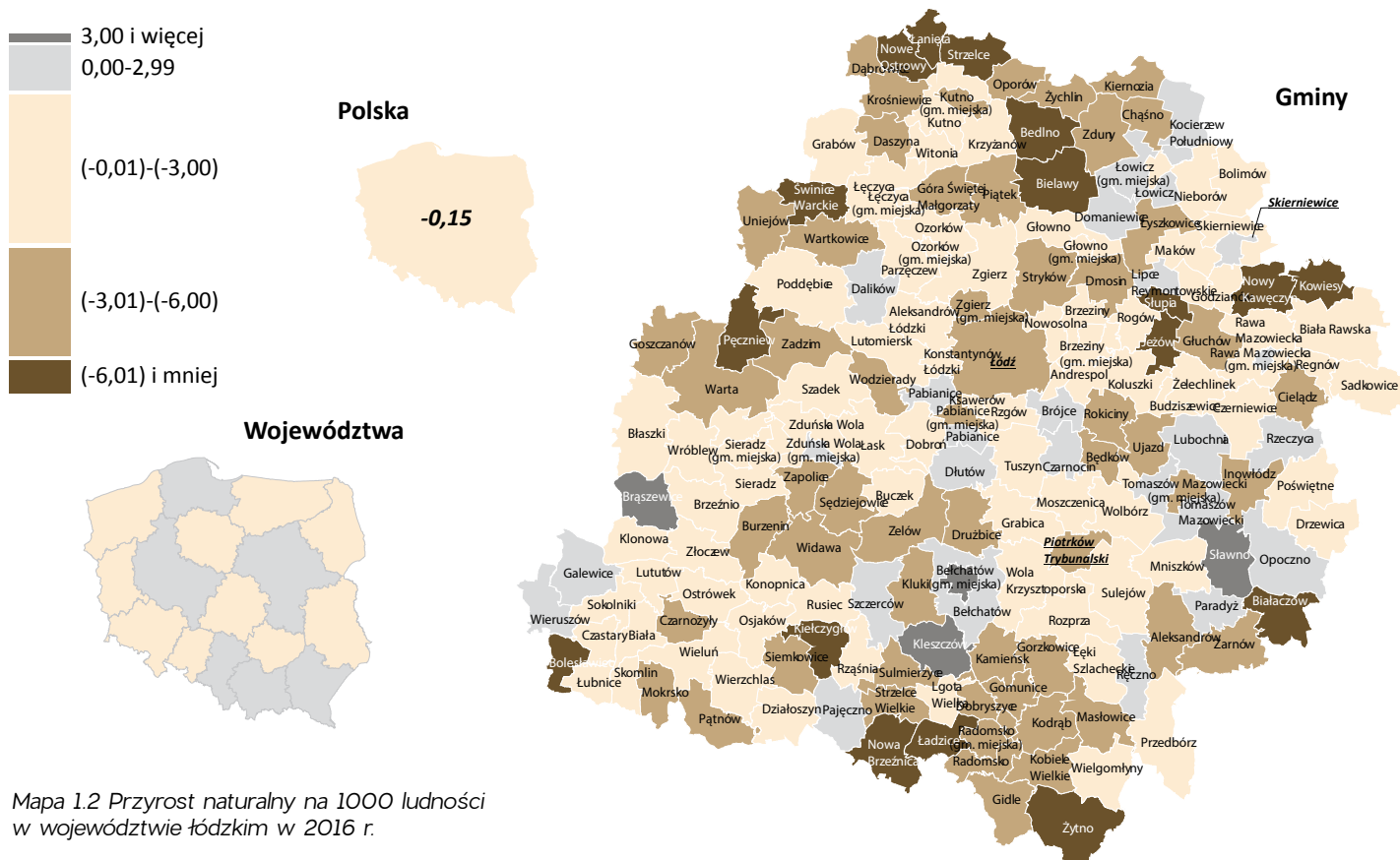


Rys. 1.1 Struktura ludności województwa łódzkiego według miejsca zamieszkania w 2016 r., stan w dniu 31 XII



Mapa 1.1 Ludność na 1 km² w województwie łódzkim w 2016 r., stan w dniu 31 XII

W województwie łódzkim na skutek przewagi liczby zgonów nad liczbą urodzeń odnotowano ujemny przyrost naturalny, który w 2016 r. wyniósł -7419 osób; -3 osoby w przeliczeniu na 1000 mieszkańców województwa. Był to najgłębszy ubytek ludności wśród województw, a na zbliżonym do łódzkiego poziomie ujemny przyrost naturalny wystąpił w województwie świętokrzyskim (-2,7%). Dodatnim poziomem współczynnika przyrostu naturalnego (gdzie liczba urodzeń przewyższała liczbę zgonów) charakteryzowały się województwa: pomorskie (2,0%), wielkopolskie (1,7%), małopolskie (1,7%), mazowieckie (0,9%) i podkarpackie (0,5%). Dla Polski współczynnik ten wyniósł -0,2%.



Mapa 1.2 Przyrost naturalny na 1000 ludności w województwie łódzkim w 2016 r.

Współczynnik przyrostu naturalnego, zarówno w miastach jak i na terenach wiejskich województwa łódzkiego, przyjął wartości ujemne i wyniósł odpowiednio -3,4‰ i -2,2‰.

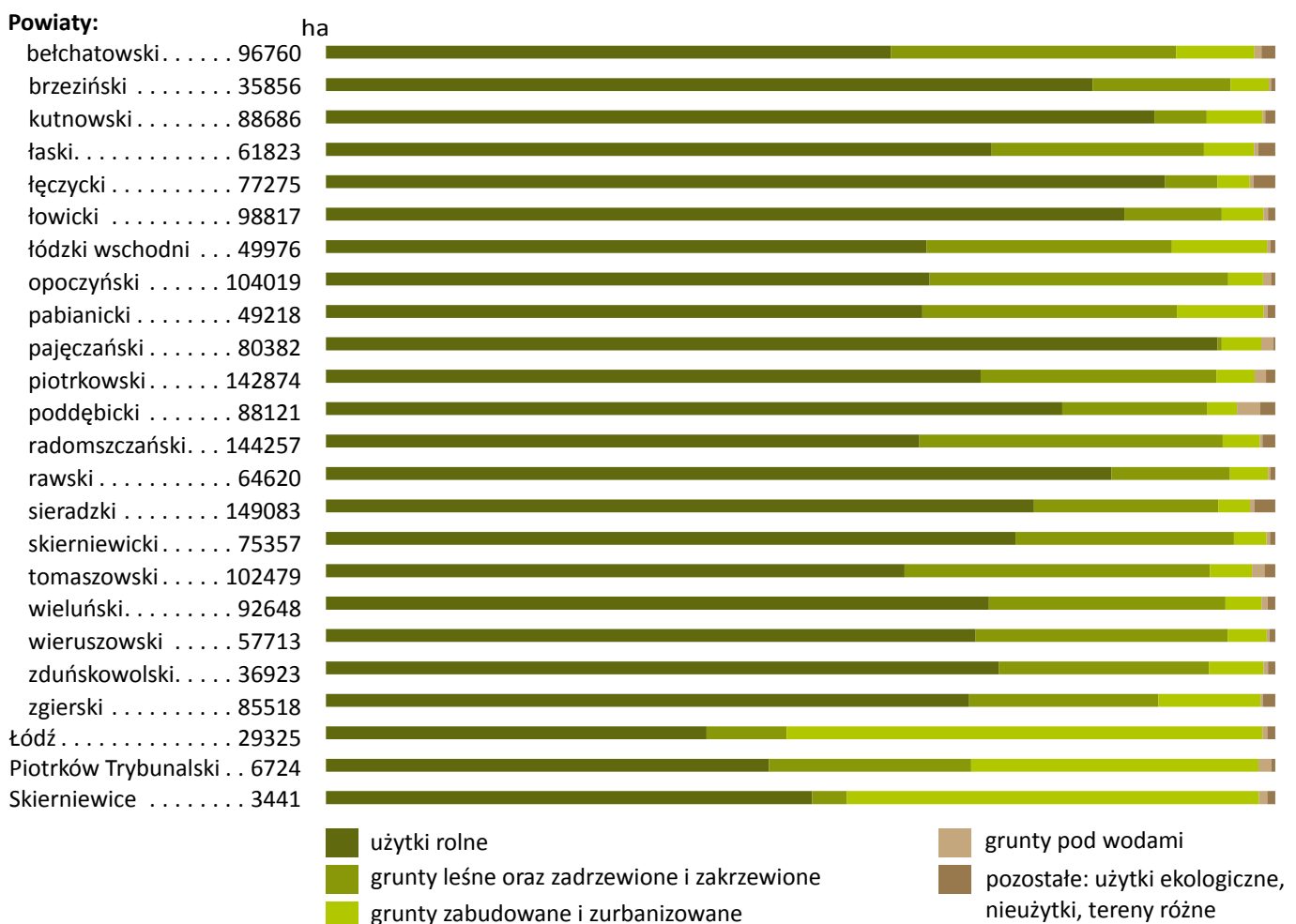
W 2016 r. tylko w dwóch powiatach liczba urodzeń przewyższyła liczbę zgonów. Dodatni przyrost naturalny odnotowano w powiecie bełchatowskim (0,9‰) i w mieście Skierniewice (0,6‰). Najniższy przyrost naturalny w przeliczeniu na 1000 mieszkańców odnotowano w Łodzi (-5,0‰), powiecie kutnowskim (-4,6‰), radomszczańskim (-4,4‰), łęczyckim (-3,7‰) i poddębickim (-3,6‰).

Według prognozy Głównego Urzędu Statystycznego, przewiduje się dalszy spadek liczby mieszkańców województwa łódzkiego. W okresie 2016-2050 liczba ludności województwa zmniejszy się o 486,2 tys. osób, tj. o 19,6%. Spadek liczby ludności prognozuje się we wszystkich województwach. Większy niż w łódzkim, według prognozy, procentowy spadek liczby mieszkańców nastąpi w województwach: opolskim (spadek o 25,0%), świętokrzyskim (o 22,0%) i lubelskim (o 19,8%). Najmniejszy spadek liczby ludności prognozuje się dla województwa mazowieckiego (o 0,9%, tj. o 47,2 tys. osób).

POWIERZCHNIA GEODEZYJNA

Użytki rolne w województwie łódzkim, według stanu w dniu 1 I 2017 r., stanowiły 71,7% powierzchni województwa łódzkiego i zajmowały 1306,8 tys. ha powierzchni.

W porównaniu ze stanem sprzed 6 lat areał użytków rolnych zwiększył się o 0,7%, tj. o 8875 ha, na co miał także wpływ wzrost areału w stosunku do 2016 r. o 2,0%, tj. o 25,2 tys. ha. Areał gruntów leśnych oraz zadrzewionych i zakrzewionych zmniejszył się w stosunku do 2016 r. o 6,6%, tj. o 26,8 tys. ha i wyniósł wg stanu w dniu 1 I 2017 r. 376,7 tys. ha. Ta wielkość to przede wszystkim powierzchnia gruntów leśnych (98,8% powierzchni gruntów leśnych oraz zadrzewionych i zakrzewionych). Powierzchnia lasów zmniejszyła się w stosunku do roku poprzedniego o 5,0% (o 19,5 tys. ha), natomiast powierzchnia gruntów zadrzewionych i zakrzewionych zmniejszyła się blisko o 62%, tj. o 7,3 tys. ha. W okresie 6 lat największy nominalny przyrost powierzchni dotyczył gruntów zabudowanych i zurbanizowanych - wzrost o 12,1 tys. ha, tj. o 12,9%, natomiast powierzchnia zurbanizowanych terenów niezabudowanych wzrosła blisko o połowę do poziomu 6,0 tys. ha.



Rys. 1.2 Powierzchnia geodezyjna województwa łódzkiego według powiatów w 2017 r., stan w dniu 1 I

Tabela 1.2 Wykorzystanie powierzchni geodezyjnej województwa łódzkiego Stan w dniu 1 I

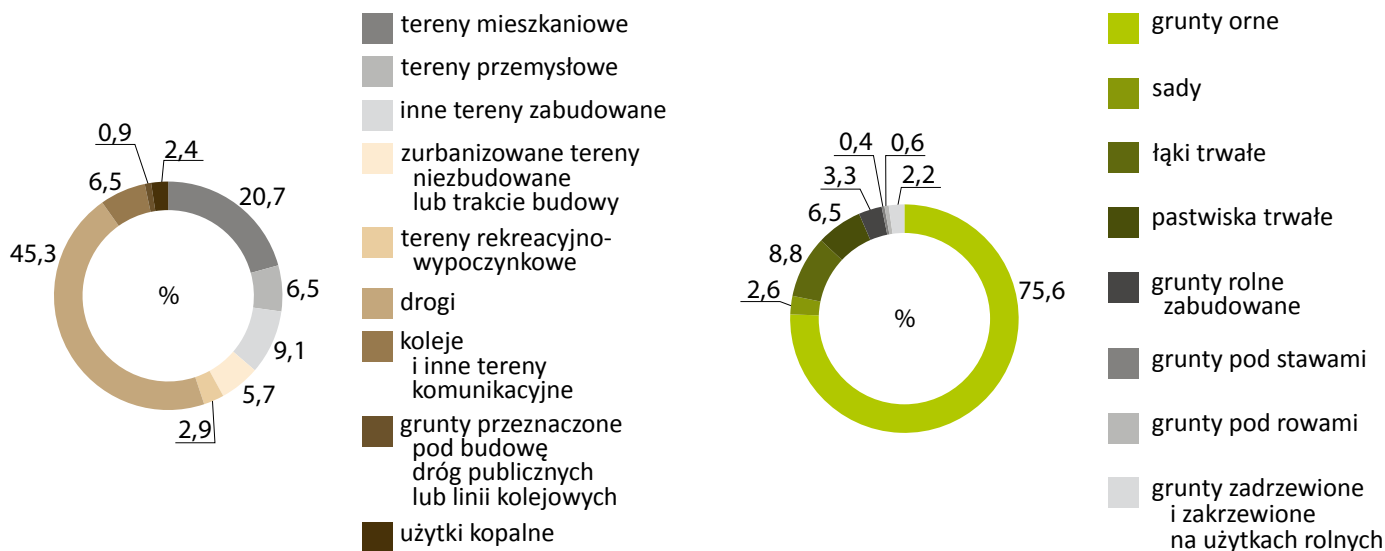
| WYSZCZEGÓLNIENIE | 2011 | 2017 | | |
|---|---------|---------|----------|----------|
| | w ha | | 2011=100 | 2016=100 |
| Powierzchnia geodezyjna ogółem | 1821895 | 1821895 | 100,0 | 100,0 |
| Użytki rolne | 1297955 | 1306830 | 100,7 | 102,0 |
| grunty orne | 1008897 | 987419 | 97,9 | 99,5 |
| sady | 31091 | 34435 | 110,8 | 106,2 |
| łąki trwałe | 116666 | 115011 | 98,6 | 99,7 |
| pastwiska trwałe | 86987 | 84981 | 97,7 | 99,7 |
| grunty rolne zabudowane | 41390 | 43292 | 104,6 | 101,0 |
| grunty pod stawami | 4125 | 4971 | 120,5 | 101,3 |
| grunty pod rowami | 8799 | 8475 | 96,3 | 99,1 |
| Grunty leśne oraz zadrzewione i zakrzewione | 396594 | 376730 | 95,0 | 93,4 |
| las | 388597 | 372238 | 95,8 | 95,0 |
| Grunty zadrzewione i zakrzewione | 7997 | 4492 | 56,2 | 38,1 |
| Grunty zabudowane i zurbanizowane | 93635 | 105723 | 112,9 | 102,1 |
| tereny mieszkaniowe | 18366 | 21908 | 119,3 | 102,0 |
| tereny przemysłowe | 6006 | 6847 | 114,0 | 100,6 |
| inne tereny zabudowane | 8105 | 9660 | 119,2 | 101,2 |
| zurbanizowane tereny niezabudowane | 4027 | 5981 | 148,5 | 142,5 |
| tereny rekreacji i wypoczynku | 2846 | 3104 | 109,1 | 104,6 |
| tereny komunikacyjne | 51883 | 55709 | 107,4 | 100,2 |
| drogi | 45163 | 47848 | 105,9 | 97,8 |
| kolejowe | 6232 | 5982 | 96,0 | 97,0 |
| inne | 488 | 921 | 188,7 | 180,9 |
| grunty przeznaczone pod budowę dróg publicznych | . | 958 | x | x |
| użytki kopalne | 2402 | 2514 | 104,7 | 83,6 |
| Grunty pod wodami | 11071 | 12588 | 113,7 | 108,0 |
| powierzchniowymi płynącymi | 8641 | 9961 | 115,3 | 106,1 |
| powierzchniowymi stojącymi | 2430 | 2627 | 108,1 | 115,9 |
| Użytki ekologiczne | 1203 | 1326 | 110,2 | 99,9 |
| Nieużytki | 15146 | 13731 | 90,7 | 93,9 |
| Tereny różne | 6291 | 4967 | 79,0 | 90,1 |

Powiatem województwa łódzkiego, charakteryzującym się największym udziałem użytków rolnych w powierzchni ogółem (wg danych z 1 I 2017 r.) był powiat pajęczański, gdzie użytki rolne stanowiły 93,9% powierzchni. Użytki rolne, stanowiące ponad 80% powierzchni powiatu, charakteryzowały również powiaty: łęczycki (88,4%), kutnowski (87,3%), łowicki (84,1%), rawski (82,8%) i brzeziński (80,8%). Najmniejszym odsetkiem cechowały się miasta na prawach powiatu (Łódź – 40,1%, Piotrków Trybunalski – 46,7%, Skierniewice – 51,2%) oraz powiat bełchatowski – 59,5%. Grunty leśne oraz zadrzewione i zakrzewione zajmowały największą część powierzchni ogółem powiatów: tomaszowskiego – 32,1%, radomskiego – 32,0%, opoczyńskiego – 31,4% oraz bełchatowskiego – 30,1%. Najmniejszą część powierzchni zajmowały w powiecie pajęczańskim (0,4%), w Skierniewicach (3,7%), oraz w powiatach: kutnowskim i łęczyckim – po 5,5% w każdym. W Łodzi grunty leśne oraz zadrzewione i zakrzewione zajmowały 8,5% powierzchni miasta (tj. 2,5 ha).

Największy udział gruntów zabudowanych i zurbanizowanych w powierzchni ogółem odnotowano na terenie miasta Łodzi – 50,1% oraz w pozostałych miastach na prawach powiatu: w Skierniewicach – 43,4% i Piotrkowie Trybunalskim – 30,2%. Wśród powiatów ziemskich odsetek ten był najwyższy w powiecie zgierskim – 10,8% i łódzkim wschodnim – 10,0%, najniższy zaś w powiecie sieradzkim – 3,3%. Grunty pod wodami zajmowały na początku 2017 r. powierzchnię 12,6 tys. ha, tj. 0,7% obszaru województwa. Największą powierzchnią gruntów pod wodami charakteryzował się powiat poddębicki – 2,5% (2,2 tys. ha), najmniejszą natomiast powiaty brzeziński i rawski – po 0,2% powierzchni.

Grunty zabudowane i zurbanizowane stanowiły 5,8% powierzchni województwa. Tereny mieszkaniowe w województwie łódzkim zajmowały 20,7% powierzchni gruntów zabudowanych i zurbanizowanych. W stosunku do stanu z początku 2011 r. odsetek ten wzrósł o 1,1 p. proc., co przekłada się na wzrost areалу o 3542 ha. W ciągu sześciu lat powierzchnia terenów mieszkaniowych wzrosła o 19,3%. Tereny przemysłowe według stanu w dniu 1 I 2017 r. stanowiły 6,5% powierzchni terenów zabudowanych i zurbanizowanych województwa łódzkiego, a ich areal w ciągu ostatnich sześciu lat wzrósł o 14,0%, do poziomu 6847 ha.

Użytki ekologiczne, nieużytki oraz tereny różne, na początku 2017 r., stanowiły 1,1% powierzchni województwa łódzkiego. Chociaż udział tej grupy gruntów nie uległ większym zmianom, to areal użytków ekologicznych wzrósł o 10,2% (tj. o 123 ha).



Rys. 1.3 Struktura gruntów zabudowanych i zurbanizowanych w województwie łódzkim w 2017 r., stan w dniu 1 I

Rys. 1.4 Struktura użytków rolnych w województwie łódzkim w 2017 r., stan w dniu 1 I

ZIELEŃ

W 2016 r. (wg stanu w dniu 31 XII) tereny zieleni zajmowały powierzchnię 9305 ha, co stanowiło 0,5% obszaru całego województwa. Największy odsetek tych terenów odnotowano w województwie podkarpackim – 1,8%, śląskim – 1,4% i małopolskim – 1,2%, najmniejszy natomiast w podlaskim – 0,2%. W skali kraju udział ten wyniósł 0,6%. W ciągu ostatnich pięciu lat układ ten nie zmienił się, chociaż w porównaniu z 2010 r. odnotowano wzrost powierzchni terenów zielonych o 4,8%, tj. o 428 ha. W 2016 r. (wg stanu w dniu 31 XII) łączna powierzchnia ogólnodostępnych parków spacerowo-wypoczynkowych i zieleńców oraz terenów zieleni osiedlowej w województwie łódzkim wyniosła 3,8 tys. ha (0,2% powierzchni geodezyjnej województwa), co oznacza, że średnio na 1 mieszkańca przypadało ok. 15,4 m² terenów zielonych. Wartość ta zbliżona jest do wskaźnika ogólnopolskiego – 15,7 m². W Łodzi tereny te zajmowały 1,7 tys. ha i stanowiły 5,8% powierzchni miasta, natomiast na 1 mieszkańca przypadało średnio 24,3 m². Wśród województw najwyższą wartość tego wskaźnika odnotowano w lubuskim – 25,5 m², śląskim – 20,9 m² oraz w dolnośląskim – 20,5%, natomiast najniższą w województwach świętokrzyskim i podkarpackim – odpowiednio 9,0 m² i 9,1 m².

Fot. 1.1 Park Nieborów



Tabela.1.3 Tereny zieleni w województwie łódzkim. Stan w dniu 31 XII

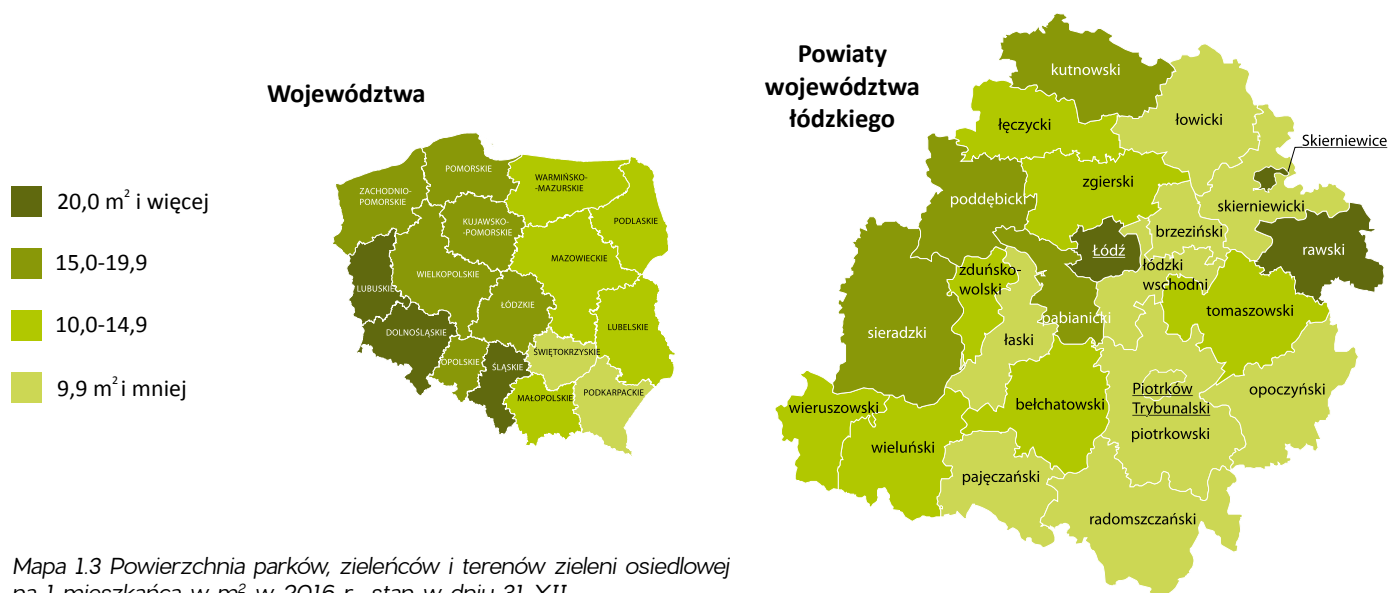
| Wyszczególnienie | Polska | Województwo | | Łódź | |
|------------------------------|--------|-------------|------------|------|-------------------|
| | w ha | | Polska=100 | w ha | województwo = 100 |
| 2010 | | | | | |
| Parki spacerowo-wypoczynkowe | 22394 | 1465 | 6,5 | 582 | 39,7 |
| Zieleńce | 10028 | 585 | 5,8 | 276 | 47,2 |
| Zieleń uliczna | 12256 | 497 | 4,1 | 78 | 15,7 |
| Zieleń osiedlowa | 25282 | 1880 | 7,4 | 1018 | 54,2 |
| Cmentarze | 17902 | 1145 | 6,4 | 225 | 19,6 |
| Lasy gminne | 83694 | 3199 | 3,8 | 1466 | 45,8 |
| Pozostałe | 3102 | 106 | 3,4 | 82 | 77,00 |
| 2016 | | | | | |
| Parki spacerowo-wypoczynkowe | 24003 | 1497 | 6,2 | 624 | 41,7 |
| Zieleńce | 10503 | 415 | 4,0 | 80 | 19,3 |
| Zieleń uliczna | 15357 | 943 | 6,1 | 456 | 48,3 |
| Zieleń osiedlowa | 25728 | 1915 | 7,4 | 986 | 51,5 |
| Cmentarze | 18136 | 1149 | 6,3 | 225 | 19,6 |
| Lasy gminne | 83975 | 3288 | 3,9 | 1462 | 44,5 |
| Pozostałe | 3002 | 97 | 3,2 | 84 | 86,6 |

Tabela 1.4 Tereny zieleni według województw w 2016 r. Stan w dniu 31 XII

| Wyszczególnienie | Tereny zieleni ogółem | W tym | | | | |
|---------------------|-----------------------|------------------------------|----------|----------------|------------------|------------|
| | | parki spacerowo-wypoczynkowe | zieleńce | zieleń uliczna | zieleń osiedlowa | las gminne |
| | | w ha | | | | |
| Polska | 180704 | 24003 | 10503 | 15357 | 25728 | 83975 |
| Dolnośląskie | 15745 | 2717 | 1138 | 1213 | 2089 | 7088 |
| Kujawsko-pomorskie | 8931 | 1557 | 571 | 688 | 1519 | 3591 |
| Lubelskie | 7195 | 861 | 538 | 888 | 1394 | 1337 |
| Lubuskie | 6043 | 1403 | 536 | 382 | 653 | 1950 |
| Łódzkie | 9305 | 1497 | 415 | 943 | 1915 | 3288 |
| Małopolskie | 17661 | 1349 | 740 | 853 | 1752 | 11779 |
| Mazowiecki | 13384 | 2095 | 796 | 2118 | 3823 | 2321 |
| Opolskie | 4068 | 942 | 252 | 296 | 521 | 1490 |
| Podkarpackie | 32179 | 733 | 320 | 547 | 893 | 28088 |
| Podlaskie | 4092 | 373 | 151 | 424 | 753 | 1432 |
| Pomorskie | 8961 | 1135 | 1057 | 972 | 1496 | 3328 |
| Śląskie | 17423 | 4047 | 1461 | 2590 | 4012 | 3691 |
| Świętokrzyskie | 3076 | 365 | 125 | 265 | 640 | 1006 |
| Warmińsko-mazurskie | 6747 | 454 | 387 | 312 | 1060 | 3387 |
| Wielkopolskie | 16000 | 3001 | 1267 | 2070 | 2038 | 5722 |
| Zachodniopomorskie | 9895 | 1475 | 749 | 795 | 1170 | 4476 |

Powiatami województwa łódzkiego, w których na 1 mieszkańca przypadała najmniejsza powierzchnia ogólnodostępnych parków spacerowo-wypoczynkowych, zieleńców oraz terenów zieleni osiedlowej były: powiat skierniewicki – 2,2 m², opoczyński – 4,5 m² i piotrkowski – 4,6 m². Należy jednak pamiętać, że powiat skierniewicki jest jedynym powiatem w województwie łódzkim, w skład którego wchodzi wyłącznie gminy wiejskie. Największą powierzchnią ogólnodostępnych parków spacerowo-wypoczynkowych, zieleńców oraz terenów zieleni osiedlowej, w przeliczeniu na 1 mieszkańca, cechowały się miasto na prawach powiatu Skierniewice – 26,1 m², powiat rawski – 24,8 m² i Łódź – 24,3 m².

Funkcje ogólnodostępnych terenów zieleni pełnią również lasy gminne. Pod koniec 2016 r. ich powierzchnia w województwie łódzkim wyniosła 3,3 tys. ha, z czego 44,5% (1,5 tys. ha) znajdowało się w Łodzi. W 2016 r., podobnie jak sześć lat wcześniej, 1/3 powierzchni lasów gminnych w Polsce, które zajmowały 28,1 tys. ha, zlokalizowana była na terenie województwa podkarpackiego. Najmniejszą powierzchnią tych terenów charakteryzowało się województwo świętokrzyskie, gdzie lasy gminne zajmowały jedynie 1006 ha, czyli 1,2% powierzchni lasów gminnych w Polsce. W województwie łódzkim odsetek ten wyniósł w analizowanym roku 3,9%.



LESISTOŚĆ

Pod koniec 2016 r. w województwie łódzkim grunty leśne zajmowały 396629 ha, większość z nich stanowiły lasy – 389370 ha. Z roku na rok powierzchnia lasów, a zatem udział lasów w powierzchni ogółem, powiększa się. W województwie łódzkim, w porównaniu z 2010 r., przybyło 5225 ha lasów, a mimo to województwo łódzkie charakteryzuje się najniższym wskaźnikiem lesistości wśród innych województw (21,4%). Najwyższy wskaźnik lesistości odnotowano w województwach lubuskim (49,3%), podkarpackim (38,2%) i pomorskim (36,4%). W 2016 r. wskaźnik lesistości dla Polski wyniósł 29,5%.

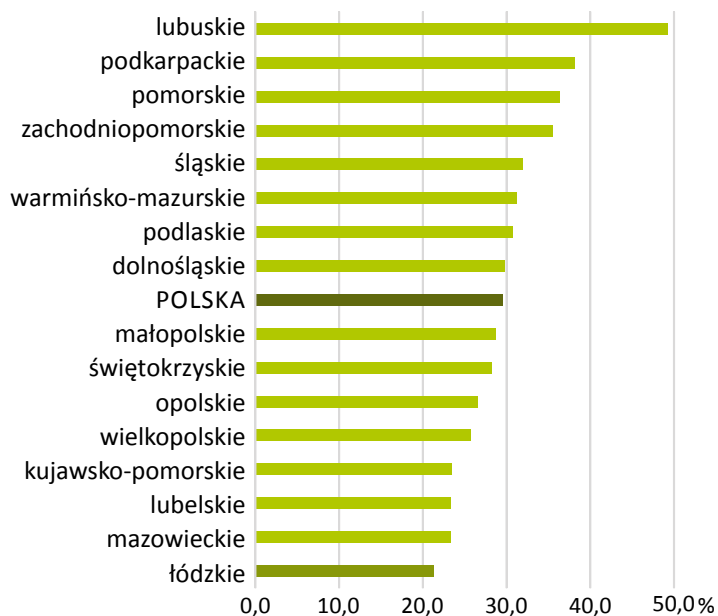
Wśród powiatów województwa łódzkiego największą lesistością charakteryzował się powiat tomaszowski, gdzie lasy na koniec 2016 r. zajmowały 31,2% powierzchni. Równie wysoki udział lasów w powierzchni ogółem odnotowano w powiatach: opoczyńskim (31,0%) oraz radomszczańskim (30,6%). Najniższą lesistością charakteryzowały się miasto Skierniewice (4,5%), powiat kutnowski (5,0%) oraz łęczycki (5,6%). W Łodzi lesistość ukształtowała się na poziomie 9,3%. W większości powiatów województwa łódzkiego w stosunku do 2010 r. odnotowano wzrost wskaźnika lesistości, z czego największy w mieście Skierniewice o 1,6 p. proc. i w powiecie pajęczańskim o 1,1 p. proc. (do poziomu 26,4%). Spadki tego wskaźnika wystąpiły jedynie w powiecie zduńskowolskim (o 0,5 p. proc.), w Łodzi oraz w powiecie brzezińskim, gdzie odnotowano spadki po 0,2 p. proc.

Tabela 1.5 Powierzchnia gruntów leśnych i lesistość. Stan w dniu 31 XII

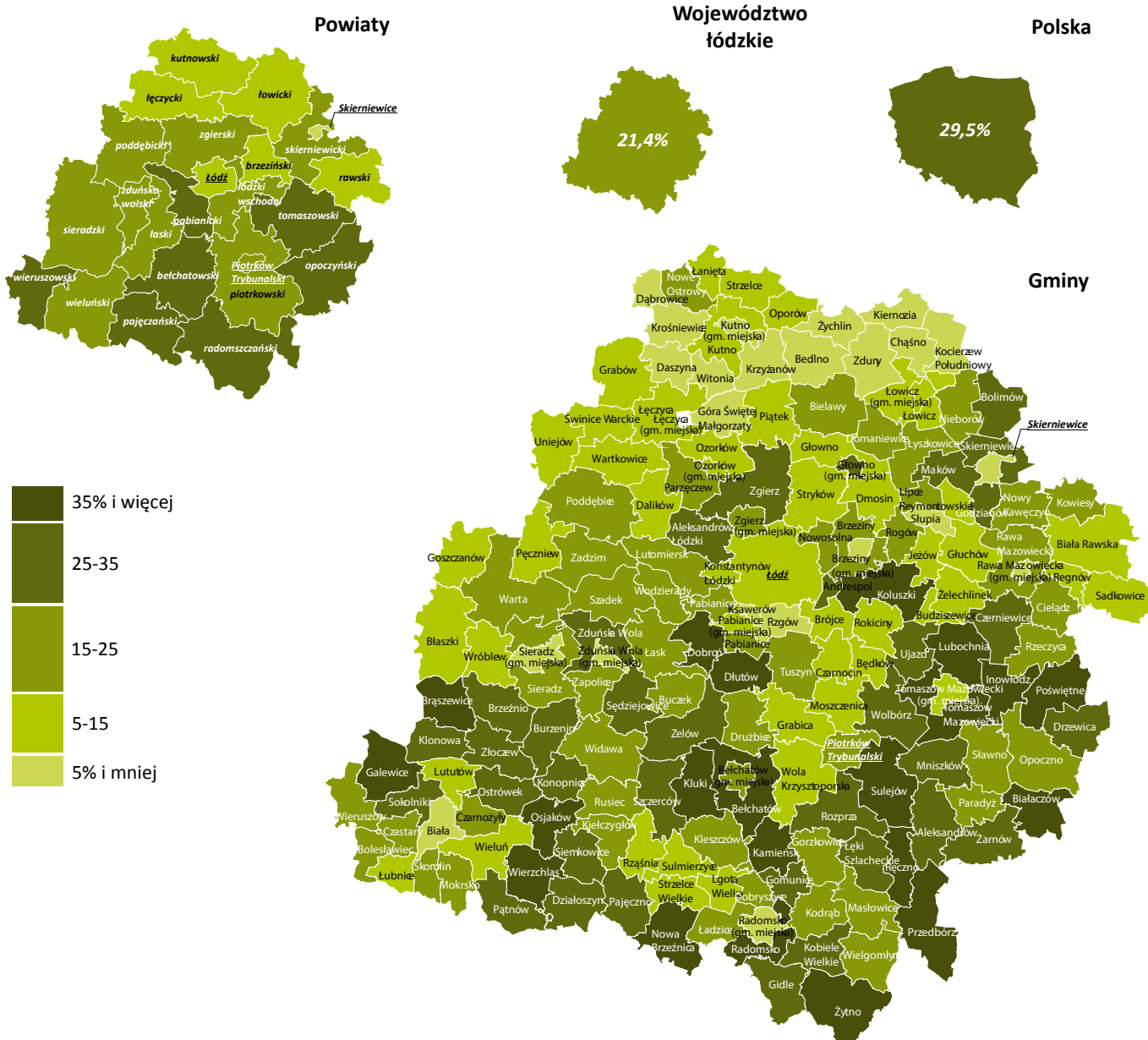
| Wyszczególnienie | Polska | Województwo | | łódź | |
|---------------------------------------|---------|-------------|------------|------|-------------------|
| | | | Polska=100 | | województwo = 100 |
| 2010 | | | | | |
| Powierzchnia w ha: gruntów leśnych | 9328931 | 391473 | 4,2 | 2846 | 0,7 |
| las | 9121929 | 384144 | 4,2 | 2799 | 0,7 |
| grunty związane z gospodarką leśną | 207589 | 7333 | 3,5 | . | x |
| Lesistość w % | 29,2 | 21,1 | x | 9,5 | x |
| 2016 | | | | | |
| Powierzchnia w ha: gruntów leśnych | 9434764 | 396629 | 4,2 | 2779 | 0,7 |
| las | 9230031 | 389370 | 4,2 | 2734 | 0,7 |
| grunty związane z gospodarką leśną | 204733 | 7259 | 3,6 | . | x |
| Lesistość w % | 29,5 | 21,4 | x | 9,3 | x |



Fot. 1.2 Grotniki – Ustronie



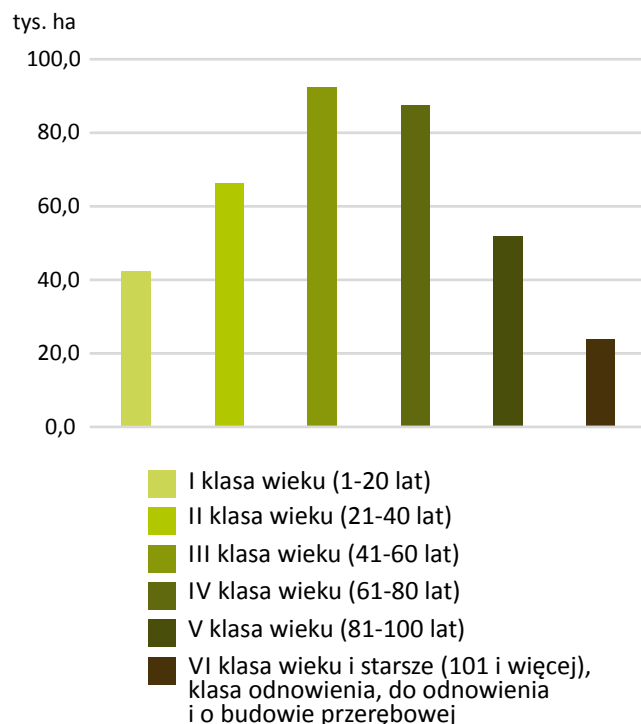
Rys. 1.5 Lesistość według województw w 2016 r., stan w dniu 31 XII



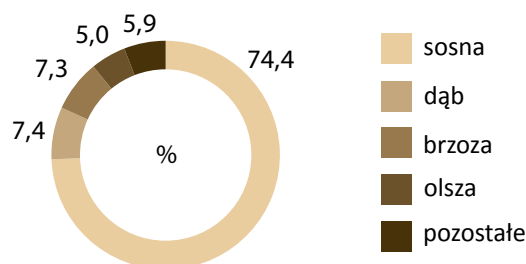
Mapa 1.4 Lesistość w województwie łódzkim w 2016 r., stan w dniu 31 XII

Ogółem w lasach województwa łódzkiego, bez względu na ich formy własności, udział drzewostanów I klasy wieku był najmniejszy (spośród drzewostanów do 100 lat) i wyniósł, według stanu na koniec 2016 r., 11,0%. Największy udział w lasach województwa łódzkiego (23,7%) stanowiły drzewostany w wieku 41-60 lat, zaliczane do III klasy wieku, i zajmowały 92,2 tys. ha. Drzewostany najstarsze, powyżej 100 lat, łącznie z drzewostanami w klasie odnowienia, do odnowienia i o budowie przerębowej, zajmowały 9,5% powierzchni lasów. Średni wiek drzewostanu w województwie łódzkim wynosił 57 lat. Wśród województw największym udziałem drzewostanów do lat 20 charakteryzują się lasy w województwach: opolskim (15,4%), warmińsko-mazurskim (14,9%), zachodniopomorskim (14,2%) i wielkopolskim (14,1%), a najmniejszym lasy w województwach: małopolskim (6,5%), podkarpackim (7,7%) i podlaskim (8,3%). Najczęściej wśród województw dominują drzewostany w III klasie wieku (41-60 lat). Udział tych drzewostanów jest największy w województwach: lubuskim (30,1%) i podlaskim (29,0%), a najmniejszy w województwach: śląskim (19,9%) oraz dolnośląskim (21,2%). Największym udziałem powierzchni drzewostanów starszych klas wieku (powyżej 100 lat oraz w klasie odnowienia, do odnowienia i o budowie przerębowej) charakteryzują się drzewostany województw małopolskiego (20,2% przy średnim wieku 62 lata) i podkarpackiego (17,2% przy średnim wieku 61 lat), a najmniejszym udziałem omawianych drzewostanów województwa: mazowieckie (5,2% przy średnim wieku 53 lata) oraz lubelskie (7,2% przy średnim wieku 58 lat).

Udział powierzchni gatunków iglastych w województwie łódzkim wyniósł w 2016 r. łącznie 75,8%. Drzewostany sosnowe zajmowały przeważającą powierzchnię lasów w województwie – 74,5%. Największą natomiast powierzchnię spośród gatunków liściastych zajmowały drzewostany: dębowe (7,4%) i brzozone (7,3%). Największym udziałem gatunków iglastych w kraju charakteryzowały się lasy w województwach: lubuskim (82,2%) i kujawsko-pomorskim (80,0%), natomiast najmniejszym w województwach: lubelskim (54,6%) i podkarpackim (56,0%). Udział brzozy oraz dębu jest silnie zróżnicowany między województwami. Największy udział brzozy odnotowano w województwach: warmińsko-mazurskim (12,4%) oraz opolskim (11,3%), natomiast najmniejszy w województwach: małopolskim (2,8%) i podkarpackim (4,0%). Największy udział dębu odnotowano w województwie lubelskim (13,7%), a najmniejszy w województwie podkarpackim (4,4%).



Rys. 1.6 Zestawienie powierzchni lasów według klas wieku w województwie łódzkim w 2016 r., stan w dniu 31 XII



Rys. 1.7 Struktura powierzchni lasów według gatunków panujących w województwie łódzkim w 2016 r., stan w dniu 31 XII

OBSZARY PRAWNIE CHRONIONE

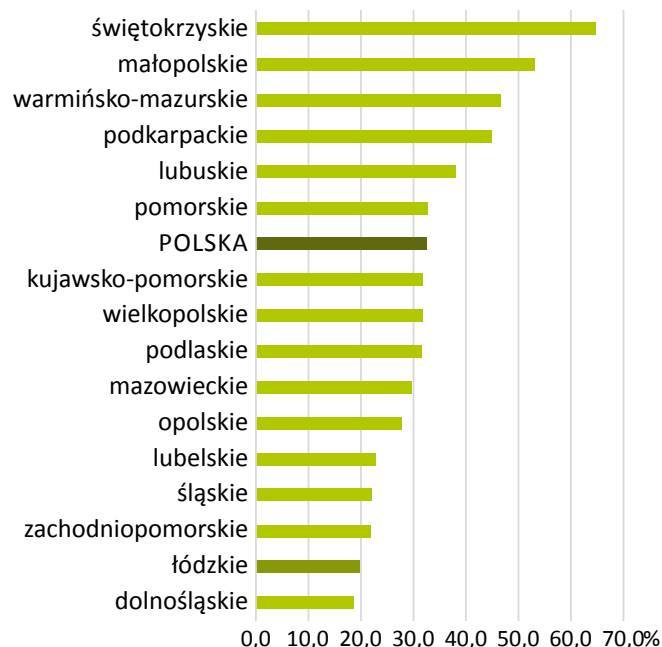
Powierzchnia obszarów prawnie chronionych w województwie łódzkim na koniec 2016 r. wyniosła 358154 ha, co stanowiło 19,7% powierzchni województwa. Jest to jeden z najniższych udziałów wśród województw. Mniejszy udział odnotowano jedynie w województwie dolnośląskim – 18,6%, natomiast najwyższy w województwie świętokrzyskim – 64,6%. Dla Polski odsetek ten wyniósł 32,5%. Na 1 mieszkańca województwa łódzkiego przypadało 1441 m² obszarów chronionych, czyli o 45,5% mniej niż na mieszkańca Polski (2645 m²/1 mieszkańca). Niżej w rankingu znalazły się jedynie 2 województwa: dolnośląskie (1279 m²/1 mieszkańca) i śląskie (596 m²/1 mieszkańca).

Największą powierzchnię wśród obszarów chronionych w województwie łódzkim zajmowały obszary chronionego krajobrazu – 243,9 tys. ha, tj. 68,1% obszarów prawnie chronionych województwa, co plasuje łódzkę na 10 pozycji wśród województw. Największy odsetek tych terenów występuje w województwie warmińsko-mazurskim (84,6%), świętokrzyskim (82,2%) i lubuskim (80,3%). Na terenie województwa łódzkiego znajduje się 68,3 ha parku kampinoskiego (Ośrodek Hodowli Żubrów w Smardzewicach). Obszar ten zajmuje jedynie 0,02% powierzchni ogólnych parków narodowych w Polsce. Zespoły przyrodniczo-krajobrazowe w województwie łódzkim, zajmujące obszar 12,2 tys. ha, stanowiły 3,4% wszystkich

obszarów prawnie chronionych na terenie województwa i był to największy udział wśród innych województw. Zespoły te zajmowały jednocześnie 10,7% powierzchni wszystkich zespołów przyrodniczo-krajobrazowych w kraju i tutaj także był to jeden z wyższych udziałów wśród województw. W województwie warmińsko-mazurskim osiągnął on najwyższą notowaną wartość – 18,8%, w pomorskim – 14,3% i w małopolskim 12,3%.

Według stanu na koniec 2016 r. powiat bełchatowski charakteryzował się największym udziałem obszarów prawnie chronionych w powierzchni ogółem – 27,1 tys. ha, co stanowiło 75,6% jego powierzchni. Najmniejszym udziałem terenów chronionych cechowało się miasto Skierniewice – obszary te zajmowały powierzchnię 5,7 ha, tj. 0,2% powierzchni miasta.

Największa powierzchnia obszarów chronionego krajobrazu w województwie łódzkim znajdowała się na terenie powiatu sieradzkiego – 29,7 tys. ha, co stanowiło 12,2% powierzchni obszarów prawnie chronionego krajobrazu w województwie łódzkim. W trzech miastach na prawach powiatu: Łodzi, Piotrkowie Trybunalskim i Skierniewicach oraz w powiatach wieluńskim i pączękańskim nie wyodrębniono w ogóle obszaru chronionego krajobrazu, natomiast na ich obszarach występują parki krajobrazowe i rezerваты przyrody.



Rys. 1.8 Udział obszarów prawnie chronionych w powierzchni ogółem według województw w 2016 r., stan w dniu 31 XII

EKONOMICZNE ASPEKTY OCHRONY ŚRODOWISKA

W województwie łódzkim w 2016 r. nakłady na środki trwałe służące ochronie środowiska wyniosły 544,1 mln zł, co stanowiło 8,3% nakładów poniesionych na ten cel w skali kraju. Na przestrzeni sześciu lat była to najmniejsza notowana wartość. W porównaniu z rokiem poprzednim zaobserwowano spadek, na poziomie 33,0%, natomiast w stosunku do 2010 r. nakłady te były niższe o 32,1%.

Wielkość poniesionych nakładów na gospodarkę wodną również była niższa niż w latach poprzednich. W 2016 r. poniesiono na ten cel 59,9 mln zł, czyli o 54,6% mniej niż rok wcześniej. Nakłady poniesione w 2016 r. stanowiły nieco ponad 1/3 nakładów na gospodarkę wodną w 2010 r.

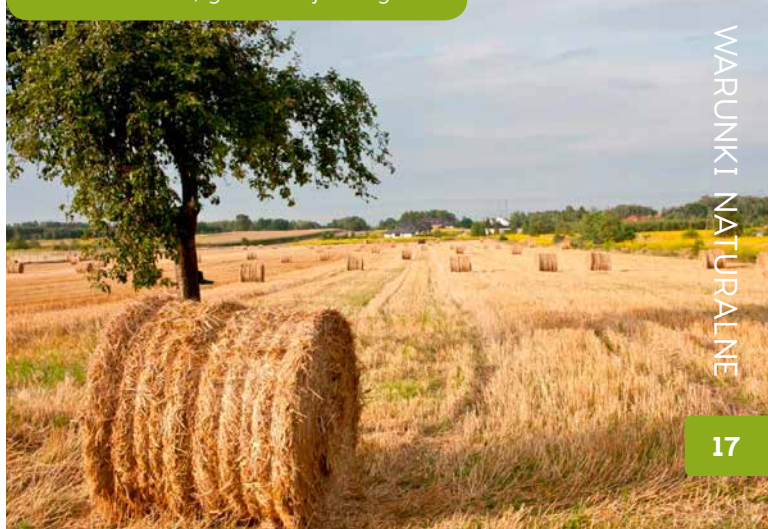
Największe nakłady na środki trwałe służące ochronie środowiska w 2016 r. przeznaczono na ochronę powietrza atmosferycznego i klimatu (32,6%) oraz gospodarkę ściekową i ochronę wód (26,4%). Nakłady na gospodarkę ściekową i ochronę wód wyniosły 143,8 mln zł, z czego 81,3% przeznaczono na budowę sieci kanalizacyjnej, a 13,8% na oczyszczanie ścieków komunalnych. Na ochronę powietrza atmosferycznego i klimatu przeznaczono 177,4 mln zł, z czego 65,6% przeznaczono na wprowadzanie nowych technologii w zakresie spalania paliw oraz pozyskiwania niekonwencjonalnych źródeł energii, a 11,1% na urządzenia redukujące zanieczyszczenia.

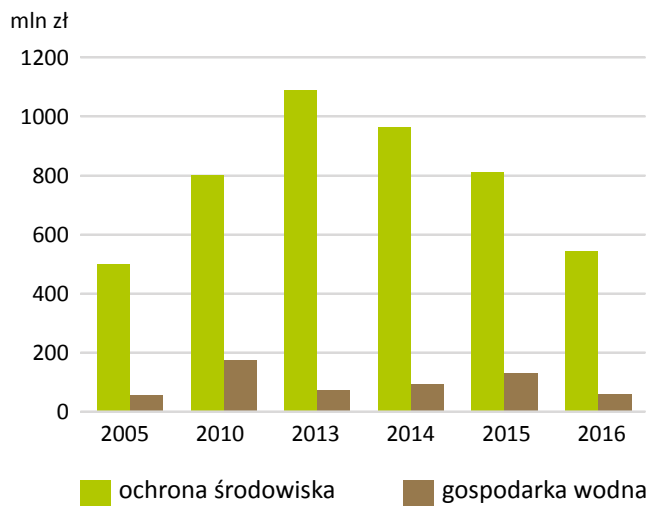
Nakłady na gospodarkę odpadami wyniosły 98,3 mln zł – 18,1% nakładów przeznaczonych na ochronę środowiska w województwie łódzkim. Na ochronę różnorodności biologicznej i krajobrazu przekazano 46,5 mln zł (prawie w całości na ochronę i odbudowę gatunków i siedlisk – 46,2 mln zł), co stanowiło 8,5% nakładów w województwie i 42,6% nakładów poniesionych na ten cel w skali kraju. Budowa urządzeń antyhałasowych i antywibracyjnych pochłonęła 29,3 mln zł, tj. 5,4% nakładów na ochronę środowiska w województwie łódzkim.

W strukturze finansowania nakładów na środki trwałe na ochronę środowiska w 2016 r. środki własne stanowiły 39,0%, fundusze ekologiczne (pożyczki, kredyty i dotacje) 21,0%, środki z budżetu 20,1%, z zagranicy 4,5%, natomiast kredyty i pożyczki bankowe stanowiły 12,8% nakładów.

W 2016 r., podobnie jak w latach poprzednich, główny strumień nakładów na środki trwałe służące gospodarce wodnej skierowany był na budowę infrastruktury zapewniającej

Fot. 1.3 Józefów, gmina wiejska Zgierz

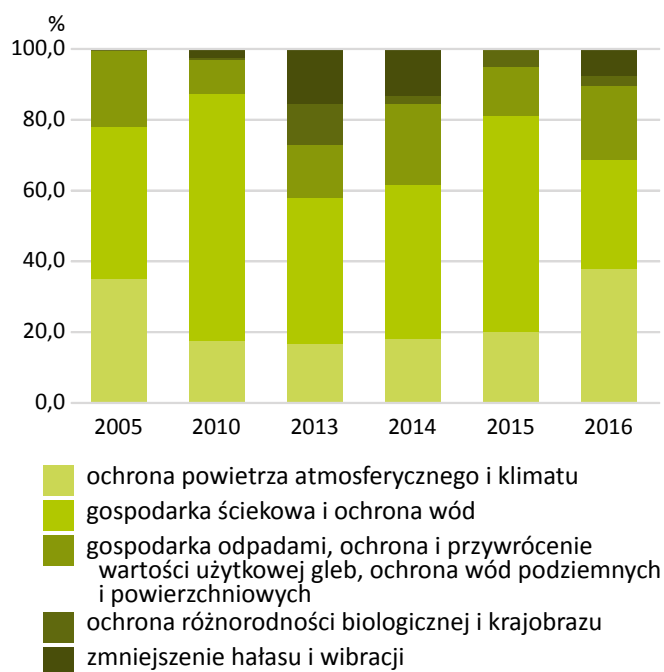




Rys. 1.9 Nakłady na środki trwałe służące ochronie środowiska i gospodarce wodnej w województwie łódzkim (według lokalizacji inwestycji; ceny bieżące), stan w dniu 31 XII

przepustowości około 246 m³/dobę. W 2016 r. oddano do eksploatacji 161,8 km sieci kanalizacyjnej odprowadzającej ścieki (ponad połowę mniej niż w 2015 r.) oraz 23,7 km sieci kanalizacyjnej na wody opadowe (o 57,6% mniej niż w 2015 r.). W zakresie ochrony powietrza oddano do użytku urządzenia do redukcji zanieczyszczeń pyłowych o zdolności 154 t/rok, podczas gdy dla urządzeń oddanych do użytkowania w 2015 r. zdolność redukcji tych zanieczyszczeń wynosiła aż 520 t/rok. Urządzenia do neutralizacji zanieczyszczeń gazowych, oddane do użytkowania w 2016 r., posiadały zdolność na poziomie 51,1 tys. t/rok (znaczący wzrost w stosunku do 2015 r., gdzie zdolność ta była na poziomie 7 tys. t/rok).

W wyniku realizacji inwestycji w gospodarce wodnej w 2016 r. wydajność oddanych do użytkowania ujęć wodnych zmniejszyła się ponad połowę w stosunku do poprzedniego roku i osiągnęła poziom 2,8 tys. m³/dobę. Wzrosła natomiast o blisko 3/4 ilość uzdatnianej wody, do poziomu 2,8 tys. m³/dobę. W 2016 r. wybudowano w województwie łódzkim 139,7 km sieci wodociągowej (o 44,1% mniej niż w roku poprzednim).

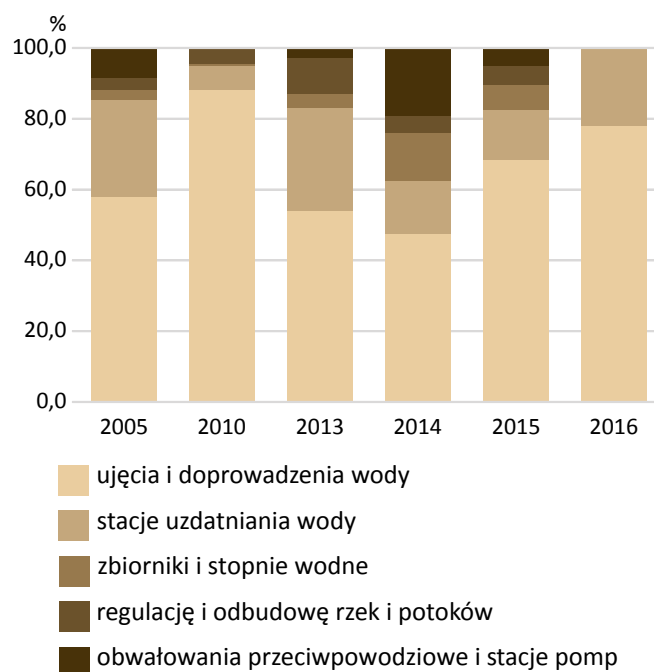


Rys. 1.10 Struktura nakładów na środki trwałe służących ochronie środowiska w województwie łódzkim (według lokalizacji inwestycji; ceny bieżące), stan w dniu 31 XII

ludności wodę pitną. Na ujęcia i doprowadzanie wody pitnej, stanowiące blisko 4/5 ogółu nakładów na gospodarkę wodną, poniesiono 46,7 mln zł, czyli blisko połowę mniej niż w 2015 r. i ponad 2/3 mniej niż w 2010 r. W województwie łódzkim poniesiono także nakłady inwestycyjne na stacje uzdatniania wody w kwocie 13,0 mln zł (o 30,6% mniej niż w 2015 r. i o 8,5% więcej niż w 2010 r.). Reszta nakładów na gospodarkę wodną skierowana była na zbiorniki i stopnie wodne – 39 tys. zł (przy 9,1 mln zł w 2015 r.) oraz na regulację i zabudowę rzek i potoków – 147 tys. zł (podczas gdy w 2015 r. – 7,3 mln zł).

W strukturze finansowania nakładów na gospodarkę wodną w 2016 r. środki własne inwestorów stanowiły w województwie łódzkim 71,1%, fundusze ekologiczne, pożyczki i kredyty – 16,0%, natomiast środki z zagranicy oraz z budżetu województwa, powiatów i gmin stanowiły po 3,8% nakładów na gospodarkę wodną.

W wyniku realizacji inwestycji służących ochronie środowiska oddano do eksploatacji, podobnie jak w 2015 r., 3 oczyszczalnie ścieków, w tym 2 komunalne, o łącznej



Rys. 1.11 Struktura nakładów na środki trwałe służących gospodarce wodnej w województwie łódzkim (według lokalizacji inwestycji; ceny bieżące), stan w dniu 31 XII

Opracowanie: **Anna Luchowska**
 Oprawa graficzna: **Anna Buczek-Toboła**
Łódzki Ośrodek Badań Regionalnych
Urząd Statystyczny w Łodzi



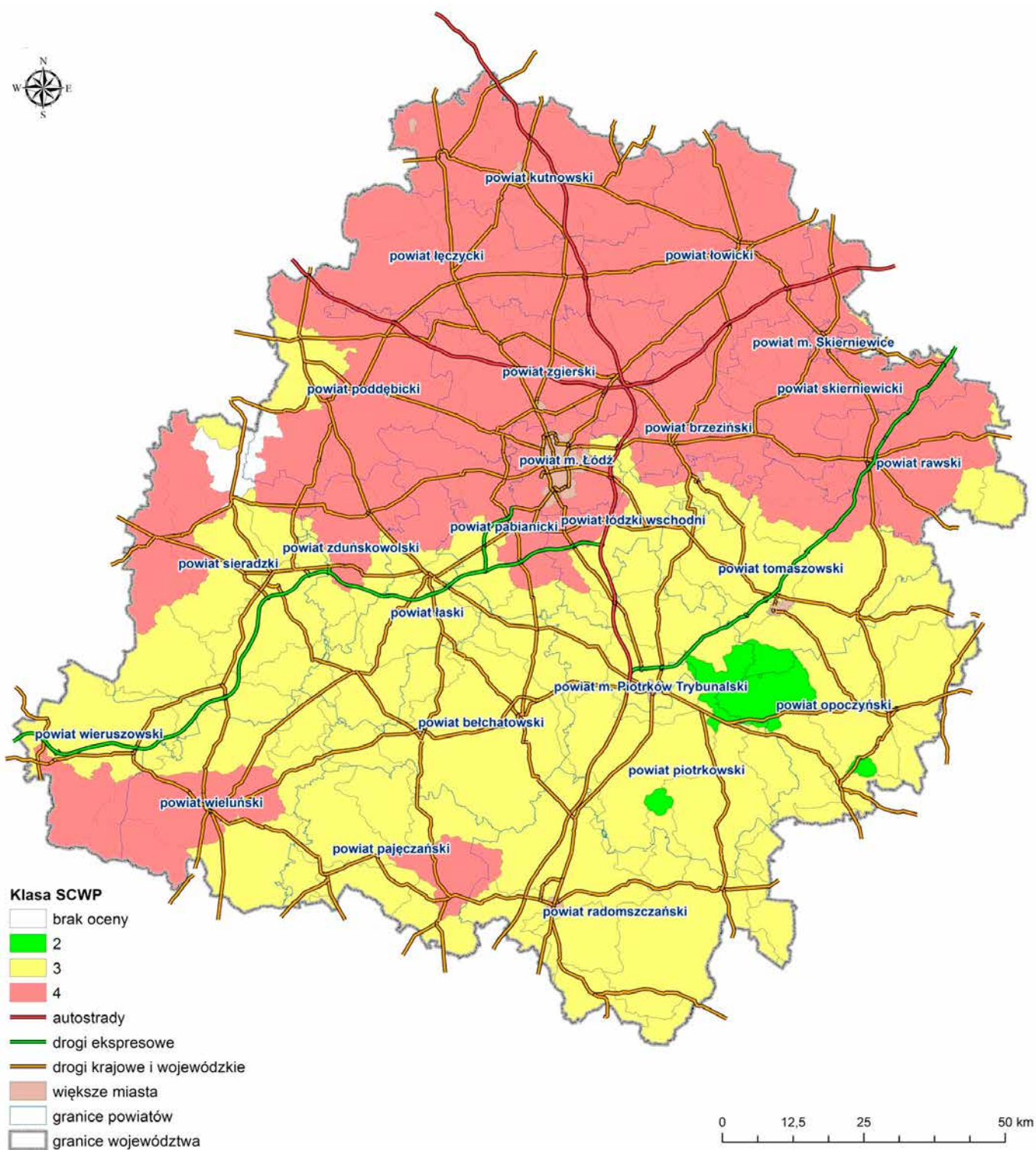
Fot. 2.1 Pilica – Przedbórz

PRESJE

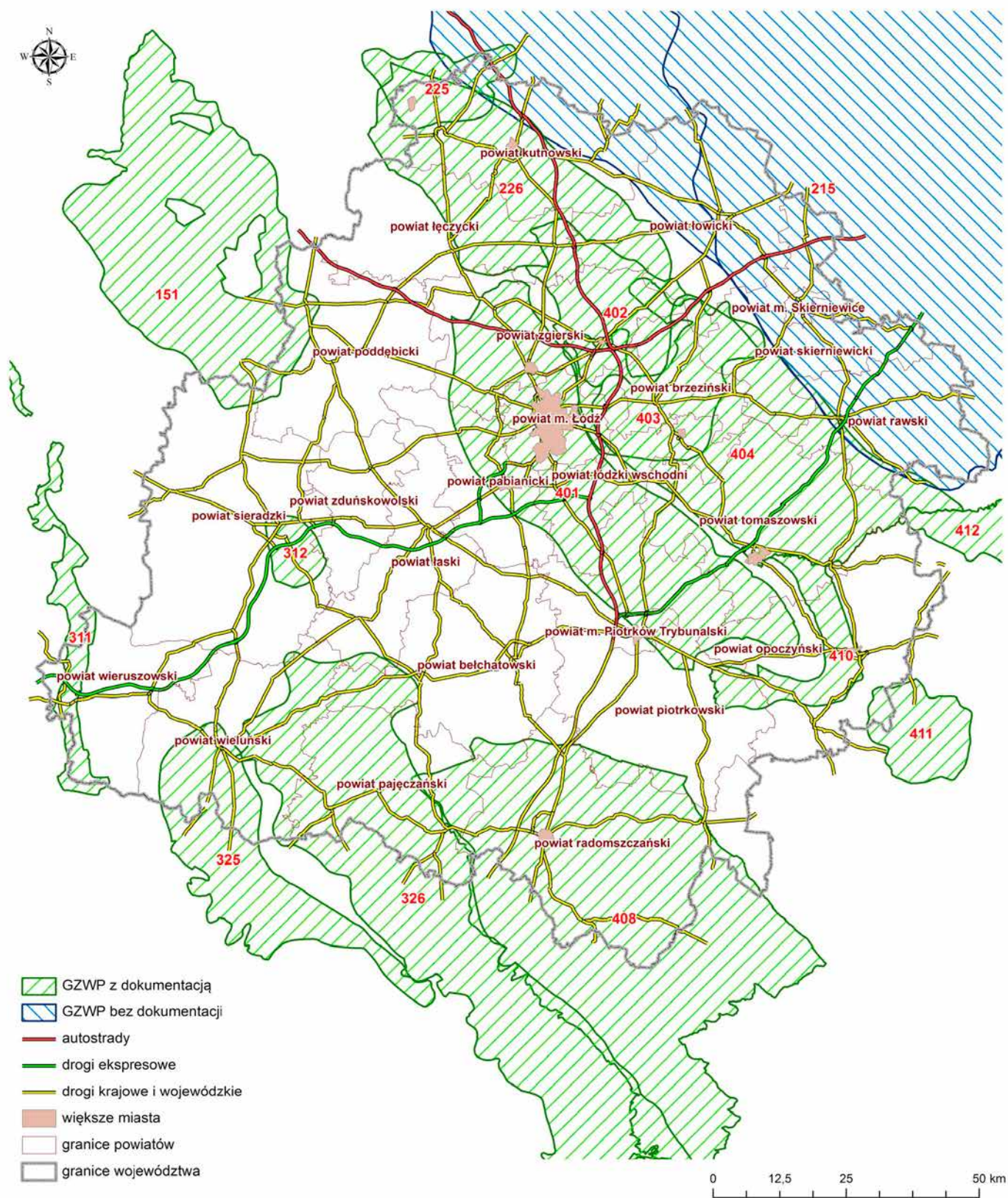
Do głównych presji antropogenicznych występujących w środowisku wodnym na obszarze województwa łódzkiego zaliczane są: pobór wód do celów przemysłowych, rolniczych oraz gospodarki komunalnej, punktowe źródła zanieczyszczeń w postaci oczyszczalni ścieków i składowisk odpadów, zanieczyszczenia obszarowe pochodzenia komunalnego i rolniczego, a także zmiany w morfologii wód naturalnych.

Presje pochodzenia antropogenicznego, mające wpływ na środowisko wodne, w połączeniu z deficytem wodnym powodują konieczność racjonalnego gospodarowania wodami oraz szczególnej dbałości o jakość wód w województwie łódzkim. Program Ochrony Środowiska Województwa łódzkiego 2016 na lata 2017-2020 z perspektywą do roku 2024 jako główne cele dotyczące wód przyjmuje osiągnięcie dobrego stanu jednolitych części wód powierzchniowych i podziemnych oraz prowadzenie racjonalnej gospodarki wodno-ściekowej.

W regionie łódzkim zasoby wód powierzchniowych są stosunkowo niewielkie ze względu na położenie województwa na granicy wododziału Wisły i Odry. Pomimo zróżnicowania hydrograficznego obszar zagrożony jest deficytem wód powierzchniowych. Największym deficytem wód z ujęć powierzchniowych dotknięta jest północna część województwa (mapa 2.1), w szczególności powiaty: łęczycki, kutnowski, łowicki, zgierski, skierniewicki, m. Łódź, m. Skierniewice i inne. Ilość wód podziemnych szacuje się na blisko 8% ogólnych zasobów kraju, jednak zbiorniki wód podziemnych rozmieszczone są nierównomiernie (mapa 2.2).



Mapa 2.1 Obszary największego deficytu wód powierzchniowych (źródło: POŚWŁ 2016)



Mapa 2.2 Lokalizacja GZWP na terenie województwa łódzkiego (źródło: POŚWŁ 2016)

POBÓR I ZUŻYCIE WODY

Według danych Głównego Urzędu Statystycznego, pobór wody w województwie łódzkim w 2016 roku wyniósł 289,5 hm³. Najwięcej wody pobrano na cele związane z eksploatacją sieci wodociągowej – 139,7 hm³, tj. 48,3% całkowitego poboru w województwie. Pobór wody na potrzeby produkcyjne wyniósł 96,5 hm³ (33,3% ogólnej ilości pobranej wody), zaś do celów rolnictwa i leśnictwa pobrano 53,3 hm³ (18,4% ogółu pobranej wody). W stosunku do roku 2015 pobór wody był mniejszy o 15,1 hm³. Zmniejszony pobór został stwierdzony we wszystkich analizowanych sektorach. Udział sektorów gospodarki w całkowitym poborze przedstawia rysunek 2.1.



Rys. 2.1 Pobór wody na potrzeby gospodarki i ludności w województwie łódzkim w roku 2016 (źródło: US w Łodzi)

Zużycie wody w województwie łódzkim w 2016 roku kształtowało się na poziomie 263,1 hm³, w tym na potrzeby przemysłowe 96,6 hm³, do nawodnień w rolnictwie i leśnictwie 53,3 hm³, a na cele komunalne 113,2 hm³.

Wody podziemne były podstawowym źródłem zaopatrzenia ludności w wodę, natomiast do celów produkcyjnych oraz w rolnictwie i leśnictwie pobierano wodę w większości z ujęć powierzchniowych.

Struktura poboru i zużycia wody w poszczególnych powiatach była zróżnicowana i wynikała ze stopnia ich zurbanizowania i uprzemysłowienia. Największym poborem wody charakteryzował się powiat bełchatowski (87,7 hm³, tj. 30% całkowitego poboru w województwie). Tak duże zapotrzebowanie na wodę związane jest z lokalizacją na terenie powiatu elektrowni „Bełchatów”. Ponadto duże ilości wody pobrano w powiatach: łowickim (22,6 hm³), piotrkowskim (21,7 hm³), tomaszowskim (19,4 hm³), Łódź (powiat miejski – 18,8 hm³) oraz radomszczańskim (16,1 hm³). W pozostałych powiatach pobór wody wyniósł od 1,7 hm³ (powiat brzeziński) do 11,9 hm³ (powiat zgierski).

Zużycie wody w poszczególnych powiatach jest na podobnym poziomie jak pobór. Największe dysproporcje między poborem i zużyciem wody widoczne są w powiatach: tomaszowskim, piotrkowskim i w Łodzi. Spowodowane są pokrywaniem zapotrzebowania na wodę miasta Łodzi z ujęć na terenach powiatów piotrkowskiego i tomaszowskiego. Wielkość poboru i zużycia wody w powiatach województwa łódzkiego w roku 2016 przedstawiono w tabeli 2.1 i na rysunku 2.2. Udział poszczególnych sektorów użytkowania w poborze wody na terenie powiatów pokazuje rysunek 2.3.

Tabela 2.1 Pobór i zużycie wody na potrzeby gospodarki narodowej i ludności w powiatach województwa łódzkiego w roku 2016
(źródło: Urząd Statystyczny w Łodzi)

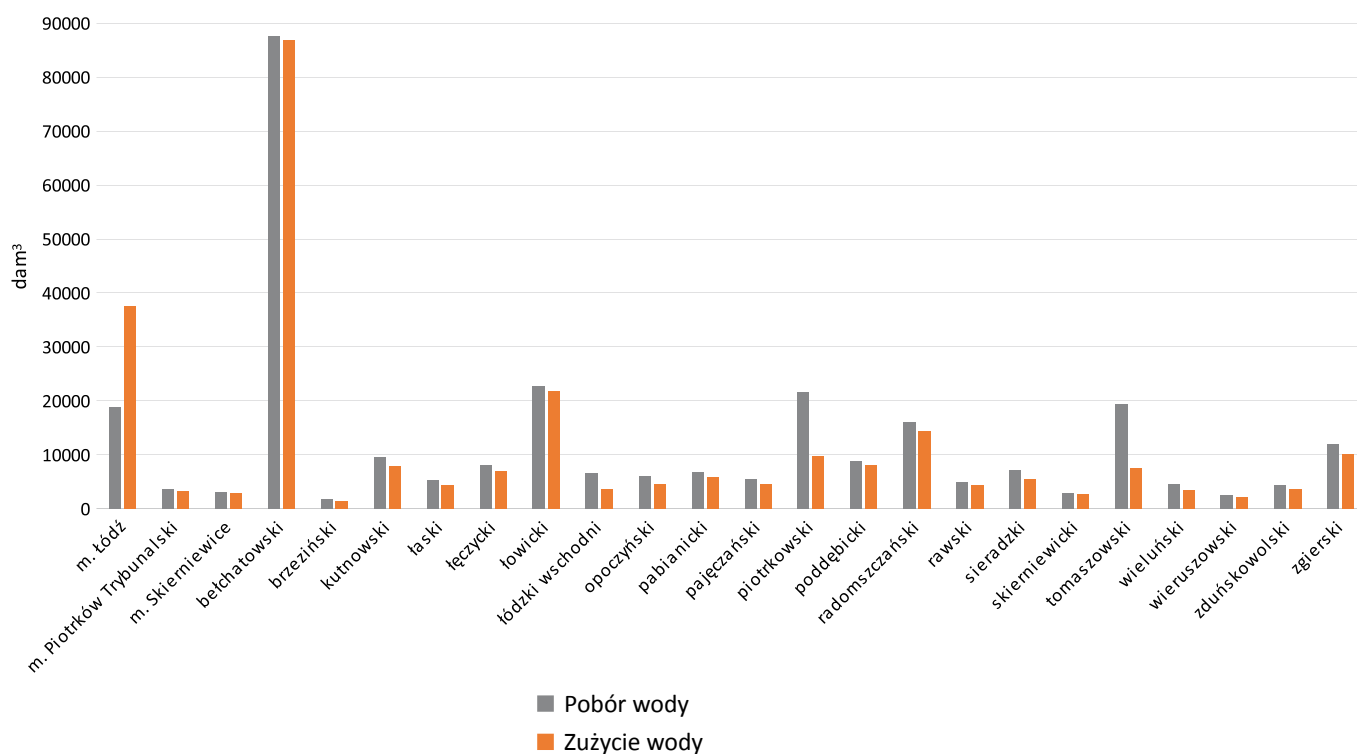
| Powiaty | Ogółem | | Eksploatacja sieci wodociągowej | | Produkcja | | Rolnictwo i leśnictwo |
|----------------------------|--------------------|---------|---------------------------------|----------------------|--------------------|---------|----------------------------|
| | Pobór | Zużycie | Pobór ^a | Zużycie ^b | Pobór ^c | Zużycie | Pobór/Zużycie ^d |
| | w dam ³ | | | | | | |
| Miasta na prawach powiatu: | | | | | | | |
| m. Łódź | 18 779 | 37 503 | 17 013 | 35 465 | 1 766 | 2038 | - |
| m. Piotrków Trybunalski | 3 592 | 3 223 | 3 197 | 2 824 | 395 | 399 | - |
| m. Skierniewice | 3 117 | 2 830 | 2 526 | 2 227 | 574 | 586 | 17 |
| Powiaty: | | | | | | | |
| bełchatowski | 87 664 | 86 803 | 5 708 | 5 167 | 79 235 | 78 915 | 2 721 |
| brzeziński | 1 702 | 1 442 | 1 524 | 1 264 | 159 | 159 | 19 |
| kutnowski | 9 573 | 7 868 | 7 324 | 5 789 | 2 249 | 2 079 | - |
| łaski | 5 211 | 4 433 | 2 491 | 1 713 | 157 | 157 | 2 563 |
| łęczycki | 8 017 | 7 036 | 3 339 | 2 340 | 84 | 102 | 4 594 |
| łowicki | 22 644 | 21 771 | 5 575 | 4 711 | 1 535 | 1 526 | 15 534 |
| łódzki wschodni | 6 509 | 3 676 | 6 204 | 3 412 | 305 | 264 | - |
| opoczyński | 6 101 | 4 605 | 3 684 | 2 244 | 966 | 910 | 1 451 |
| pabianicki | 6 698 | 5 780 | 5 953 | 4 869 | 544 | 710 | 201 |
| pajęczański | 5 423 | 4 532 | 3 701 | 2 816 | 1 282 | 1 276 | 440 |
| piotrkowski | 21 679 | 9 817 | 15 436 | 3 570 | 591 | 595 | 5 652 |
| podębicki | 8 781 | 8 120 | 2 653 | 1 993 | 174 | 173 | 5 954 |
| radomszczański | 16 115 | 14 437 | 6 271 | 4 547 | 1 027 | 1 073 | 8 817 |
| rawski | 4 924 | 4 395 | 2 614 | 2 085 | 109 | 109 | 2 201 |
| sieradzki | 7 252 | 5 463 | 6 429 | 4 604 | 503 | 539 | 320 |
| skierniewicki | 2 875 | 2 638 | 1 924 | 1 687 | 407 | 407 | 544 |
| tomaszowski | 19 441 | 7 467 | 17 578 | 5 577 | 1 053 | 1 080 | 810 |
| wieluński | 4 549 | 3 402 | 4 059 | 2 914 | 340 | 338 | 150 |
| wieruszowski | 2 596 | 2 181 | 2 197 | 1 784 | 279 | 277 | 120 |
| zduńskowolski | 4 359 | 3 558 | 3 339 | 2 485 | 1 020 | 1 073 | - |
| zgierski | 11 901 | 10 163 | 8 958 | 7 102 | 1 765 | 1 883 | 1 178 |

a – pobór wody na ujęciach, przed wtłoczeniem do sieci

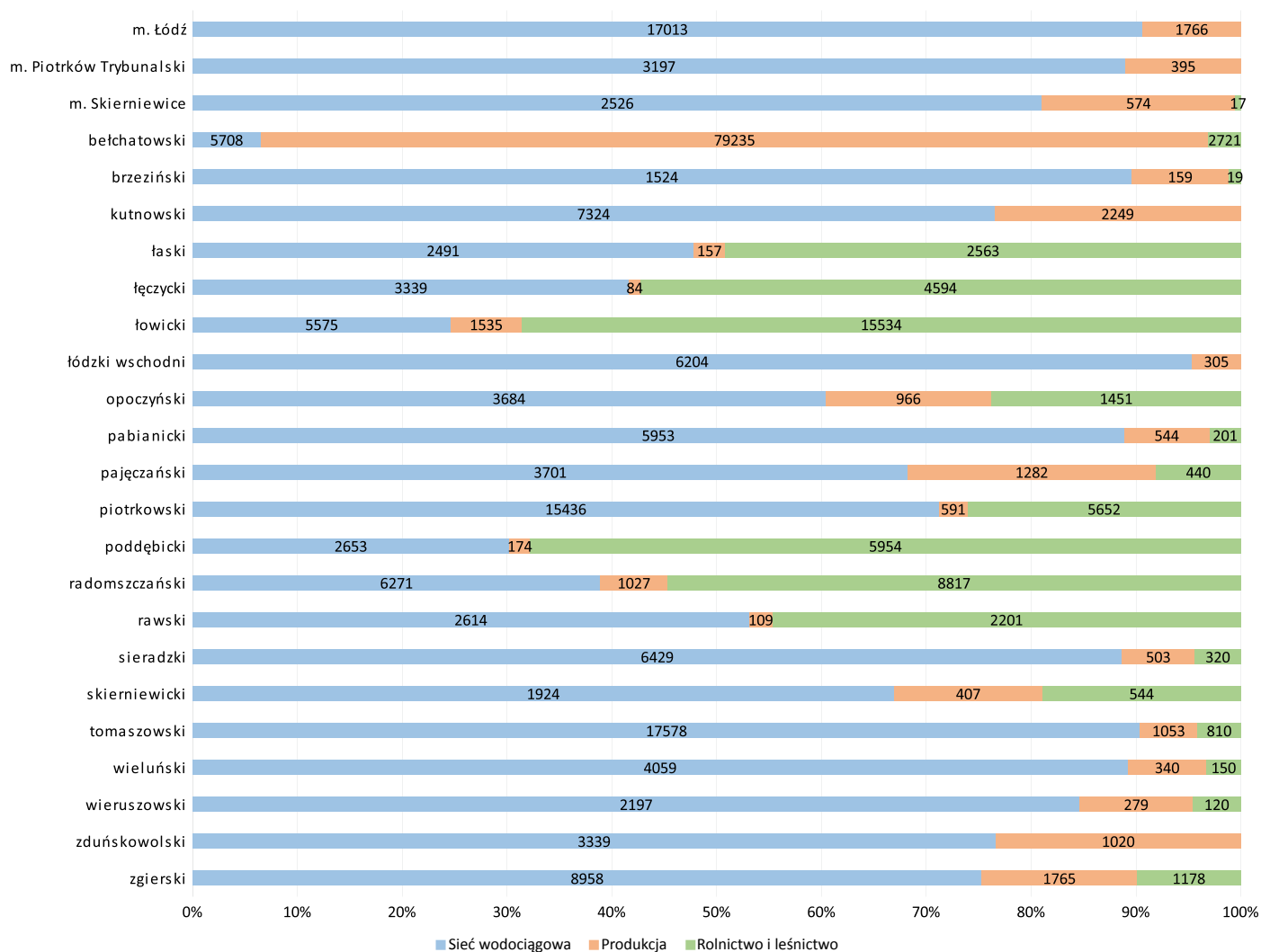
b – bez zużycia wody do celów przemysłowych przez wodociągi stanowiące własność gmin, wojewódzkich zakładów usług wodnych i spółek wodnych

c – poza rolnictwem (z włączeniem ferm przemysłowego chowu zwierząt), leśnictwem, łowiectwem i rybactwem – z ujęć własnych

d – woda zużyta do nawodnienia w rolnictwie i leśnictwie oraz do napełniania i uzupełniania stawów rybnych

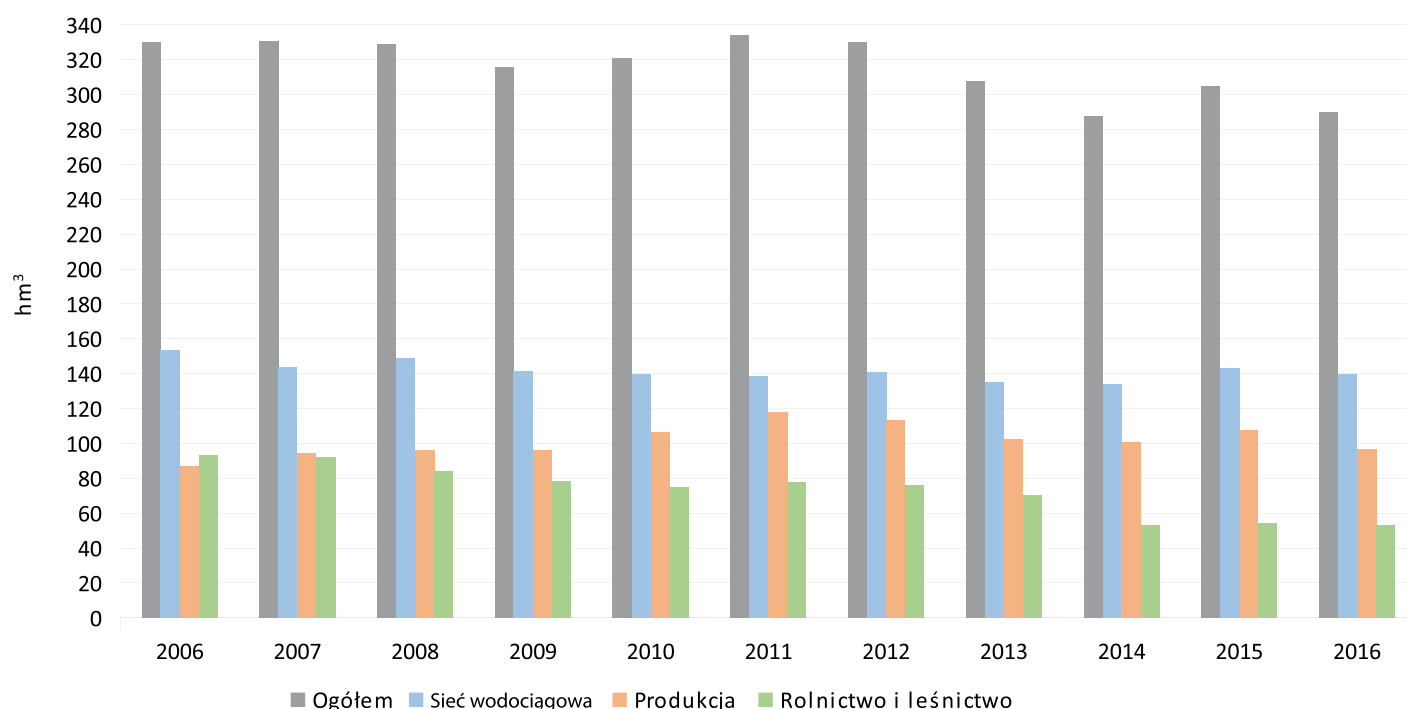


Rys. 2.2 Udział poszczególnych sektorów użytkowania w poborze wody na terenie powiatów województwa łódzkiego w roku 2016 – wielkości w dam³ (źródło: Urząd Statystyczny w Łodzi)



Rys. 2.3 Pobór wody na potrzeby gospodarki i ludności w województwie łódzkim w latach 2006–2016 (źródło: Urząd Statystyczny w Łodzi)

Na przestrzeni ostatniego dziesięciolecia pobór wody w województwie nie wykazuje jednokierunkowej tendencji spadkowej bądź wzrostowej i waha się w poszczególnych latach w granicach 290-320 hm³. Na jego wielkość istotny wpływ wywierają warunki klimatyczne. Dąży się do ograniczenia poboru poprzez racjonalizację zużycia wody w sektorze produkcyjnym, likwidację nadmiernie wodochłonnych technologii, zmniejszenie strat w sieciach wodociągowych i ograniczenie jej marnotrawstwa przez odbiorców.



Rys. 2.4 Pobór wody na potrzeby gospodarki i ludności w województwie łódzkim w latach 2006–2016
(źródło: Urząd Statystyczny w Łodzi)

Opracował: **Łukasz Jóźwik**

ŹRÓDŁA ZANIECZYSZCZENIA WÓD POWIERZCHNIOWYCH

Przez zanieczyszczenie wód rozumiemy niekorzystne zmiany fizyczne, chemiczne i biologiczne, uniemożliwiające prawidłowe funkcjonowanie ekosystemów wodnych i spełnienie przez wody określonych dla nich wymagań jakościowych, związanych z ich użytkowaniem wynikającym z warunków korzystania z wód regionu wodnego.

Istnieje wiele źródeł zanieczyszczeń wody. Można podzielić je na kategorie:

- **Punktowe źródła** – ścieki odprowadzane w zorganizowany sposób systemami kanalizacyjnymi, pochodzące głównie z zakładów przemysłowych i z aglomeracji miejskich. Ścieki komunalne wnoszą do wód powierzchniowych znaczne ładunki substancji biogennej (głównie związki azotu i fosforu), powodując eutrofizację tych wód. Ścieki przemysłowe stanowią potencjalne źródło zanieczyszczenia wód substancjami szczególnie szkodliwymi.
- **Powierzchniowe źródła** – zanieczyszczenia spłukiwane opadami atmosferycznymi z terenów zurbanizowanych nieposiadających systemów kanalizacyjnych oraz z obszarów rolnych i leśnych. Spływy z tych terenów powodują zanieczyszczenie wód substancjami ropopochodnymi, związkami biogennymi oraz pestycydami.
- **Liniowe źródła** – zanieczyszczenia pochodzenia komunikacyjnego wytwarzane przez środki transportu i spłukiwane z opadami atmosferycznymi z powierzchni dróg oraz zanieczyszczenia pochodzące z rurociągów, kanałów ściekowych, osadowych. Zagrożeniem dla wód może być również transport substancji niebezpiecznych, które na skutek sytuacji awaryjnych mogą zostać uwolnione do środowiska.

Obowiązujące przepisy w sprawie warunków, jakie należy spełnić przy wprowadzaniu ścieków do wód lub do ziemi oraz substancji szczególnie szkodliwych dla środowiska wodnego nie zawsze są przestrzegane, dlatego do odbiorników trafiają również ścieki nieoczyszczone.

W roku 2016, według danych statystycznych, kanalizacją miejską odprowadzono do wód powierzchniowych i do ziemi z terenu województwa łódzkiego ok. 124 hm³ ścieków oczyszczonych (łącznie ze ściekami opadowymi, dowożonymi oraz wodami infiltracyjnymi, bez ścieków oczyszczanych w oczyszczalniach przemysłowych), z czego ok. 100 hm³ stanowiły oczyszczone ścieki komunalne i przemysłowe.

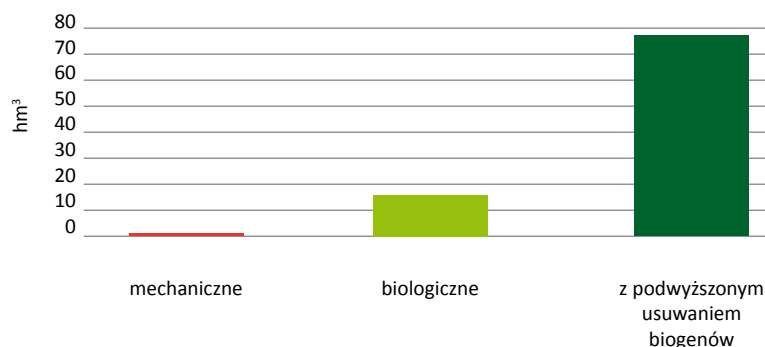
Najwięcej zanieczyszczeń, ponad 82 hm³, trafiło do wód powierzchniowych w postaci ścieków komunalnych (bez ścieków dowożonych oraz wód opadowych lub roztopowych i infiltracyjnych), z czego 74,0 hm³ ścieków komunalnych oczyszczono biologicznie z podwyższonym usuwaniem biogenów, biologicznie 8,0 hm³, mechanicznie 0,008 hm³ (rys. 2.5).

Poza komunalną siecią kanalizacyjną, bezpośrednio do wód powierzchniowych odprowadzono z zakładów przemysłowych 18,6 hm³ ścieków (łącznie z zanieczyszczonymi wodami z odwadniania zakładów górniczych oraz obiektów budowlanych), w tym wód chłodniczych niewymagających oczyszczania 0,7 hm³. Do sieci kanalizacyjnej odprowadzonych zostało 8,7 hm³ ścieków przemysłowych.

Ścieki przemysłowe wymagające oczyszczania w ilości 17,9 hm³ odprowadzono bezpośrednio do wód lub do ziemi, z czego 8,2 hm³ oczyszczano mechanicznie, 4,2 hm³ -biologicznie, 1,2 hm³ - biologicznie z podwyższonym usuwaniem biogenów, 4,0 hm³ zostało nieoczyszczonych, 0,3 hm³ ścieków ponownie wykorzystano.

Z całego województwa łódzkiego najwięcej ścieków odprowadzono z terenu Łodzi (38,1 hm³), natomiast wśród powiatów największą ilość ścieków odprowadził powiat bełchatowski na skutek działalności na swoim terenie PGE Górnictwo i Energetyka Konwencjonalna S.A. Oddział Kopalnia Węgla Brunatnego „Bełchatów” (13,2 hm³). Kopalnia, oprócz ścieków bytowo-socjalnych i przemysłowych, odprowadza również wody związane z odwodnieniem kopalni.

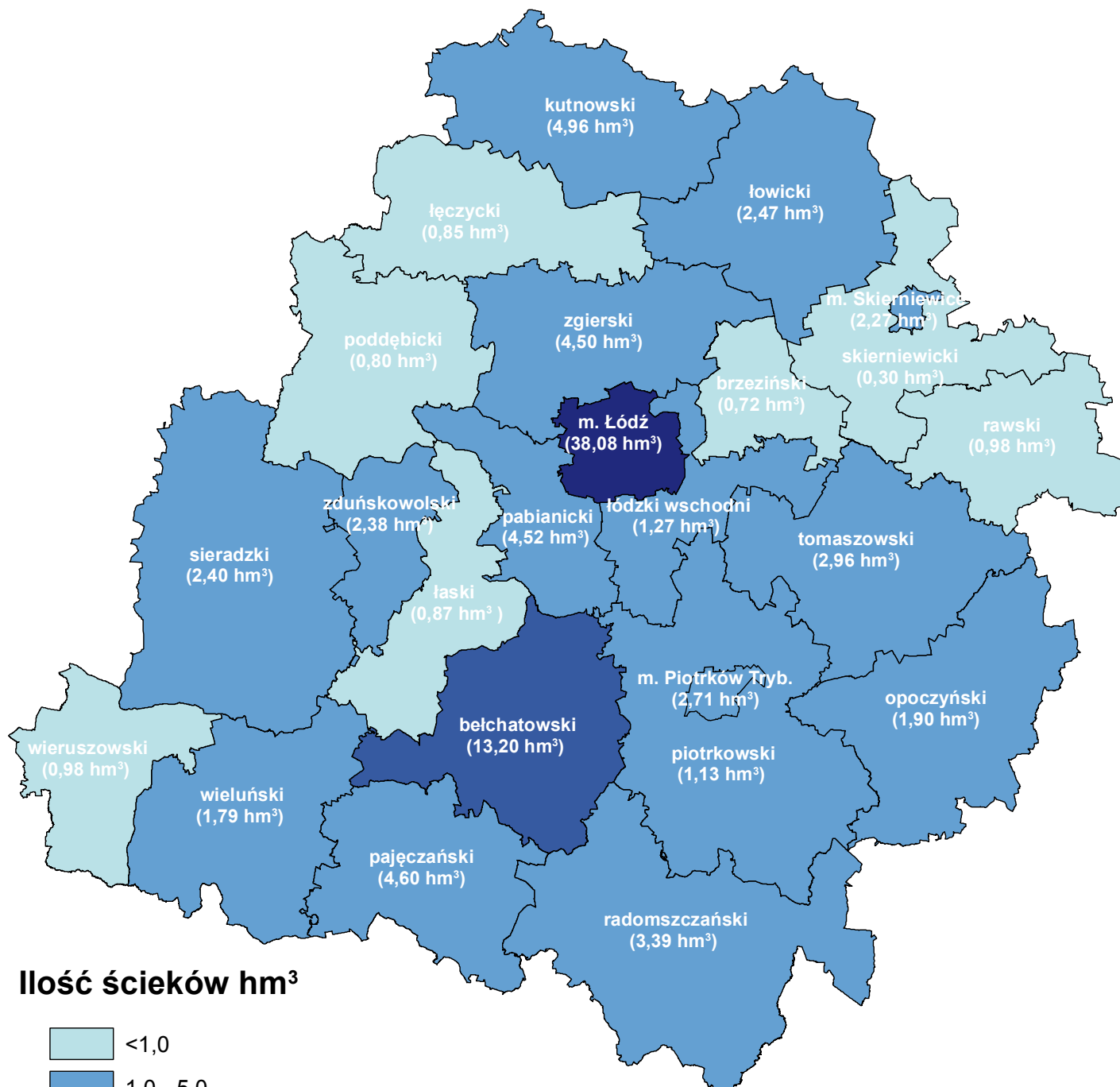
Ilość ścieków przemysłowych i komunalnych wymagających oczyszczania w podziale na powiaty przedstawiono na mapie 2.3.



Rys. 2.5 Struktura oczyszczania ścieków komunalnych, odprowadzonych siecią kanalizacyjną, w województwie łódzkim w 2016 r. (źródło: Urząd Statystyczny w Łodzi)

Fot.2.2 Oczyszczalnia ścieków – Żarnowica gm. Wolbórz

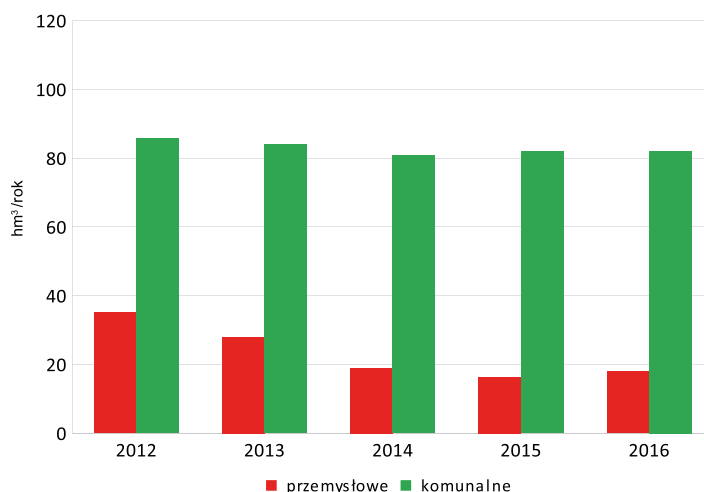




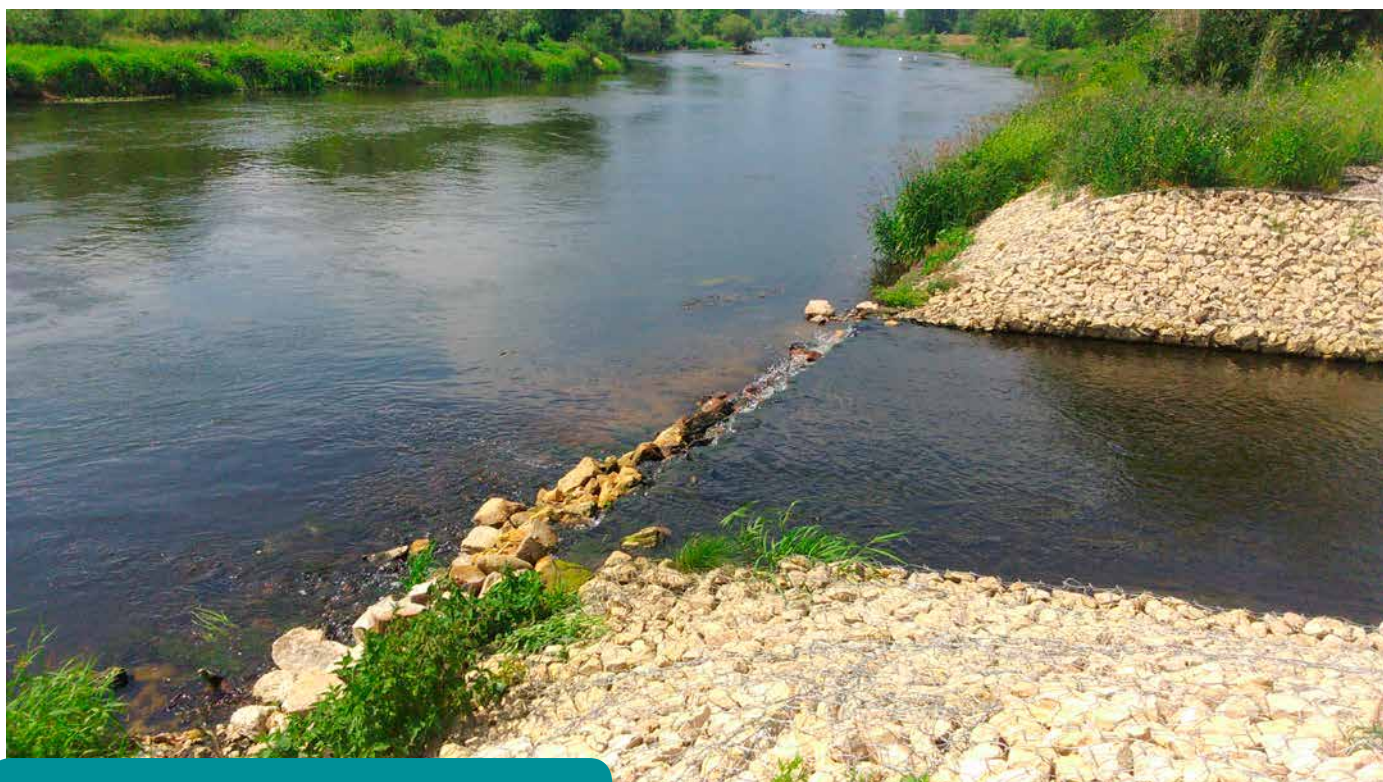
Mapa 2.3 Ilość ścieków przemysłowych i komunalnych wymagających oczyszczania w powiatach województwa łódzkiego w 2016 roku (źródło: US w Łodzi)

Ilość ścieków komunalnych wymagających oczyszczania od roku 2012 utrzymuje się na zbliżonym poziomie. W latach 2012-2015 systematycznie spadała ilość ścieków przemysłowych wymagających oczyszczania; dopiero w roku 2016 zanotowano ich niewielki wzrost w stosunku do roku poprzedniego (rys. 2.6).

Przedstawiona na rysunku 2.7 struktura oczyszczania ścieków wskazuje malejący udział ścieków oczyszczanych mechanicznie. Ilość ścieków oczyszczanych biologicznie oraz biologicznie z podwyższonym usuwaniem biogenów od trzech lat utrzymuje się na zbliżonym poziomie. W roku 2016 zwiększyła się nieznacznie w stosunku do roku poprzedniego ilość ścieków nieoczyszczonych.

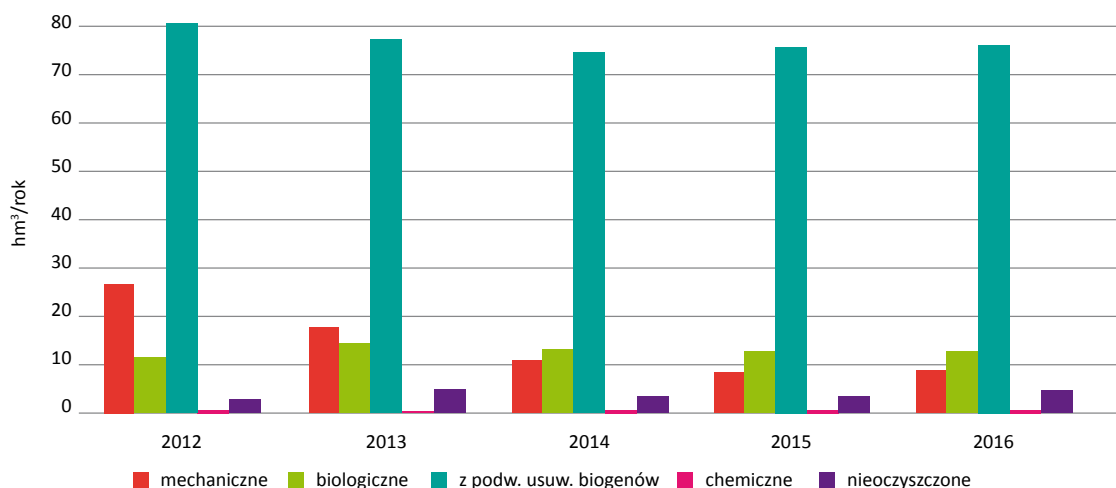


Rys. 2.6 Ścieki przemysłowe i komunalne, wymagające oczyszczania, odprowadzone do wód lub do ziemi w latach 2012–2016 w województwie łódzkim (źródło: Urząd Statystyczny w Łodzi)



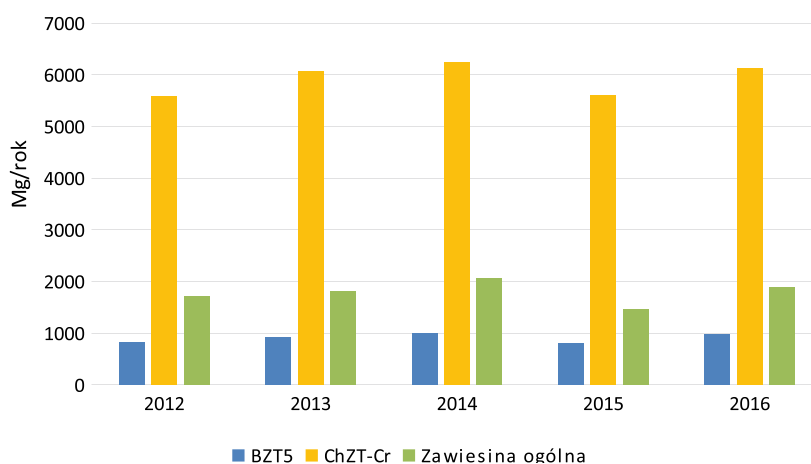
Fot.2.3 Wylot ścieków do rzeki Pilicy z miejskiej oczyszczalni w Tomaszowie Maz.





Rys. 2.7 Struktura oczyszczania ścieków przemysłowych i komunalnych, odprowadzanych do wód lub do ziemi, w latach 2012–2016 w województwie łódzkim (źródło: Urząd Statystyczny w Łodzi)

Ważnymi wskaźnikami, decydującymi o jakości ścieków, są między innymi ładunki BZT5, ChZT-Cr, oraz zawiesina ogólna. W latach 2012-14 wielkość tych wskaźników rosła. Po odnotowanym spadku w roku 2015 nastąpił ich ponowny wzrost w roku 2016 (rys. 2.8).



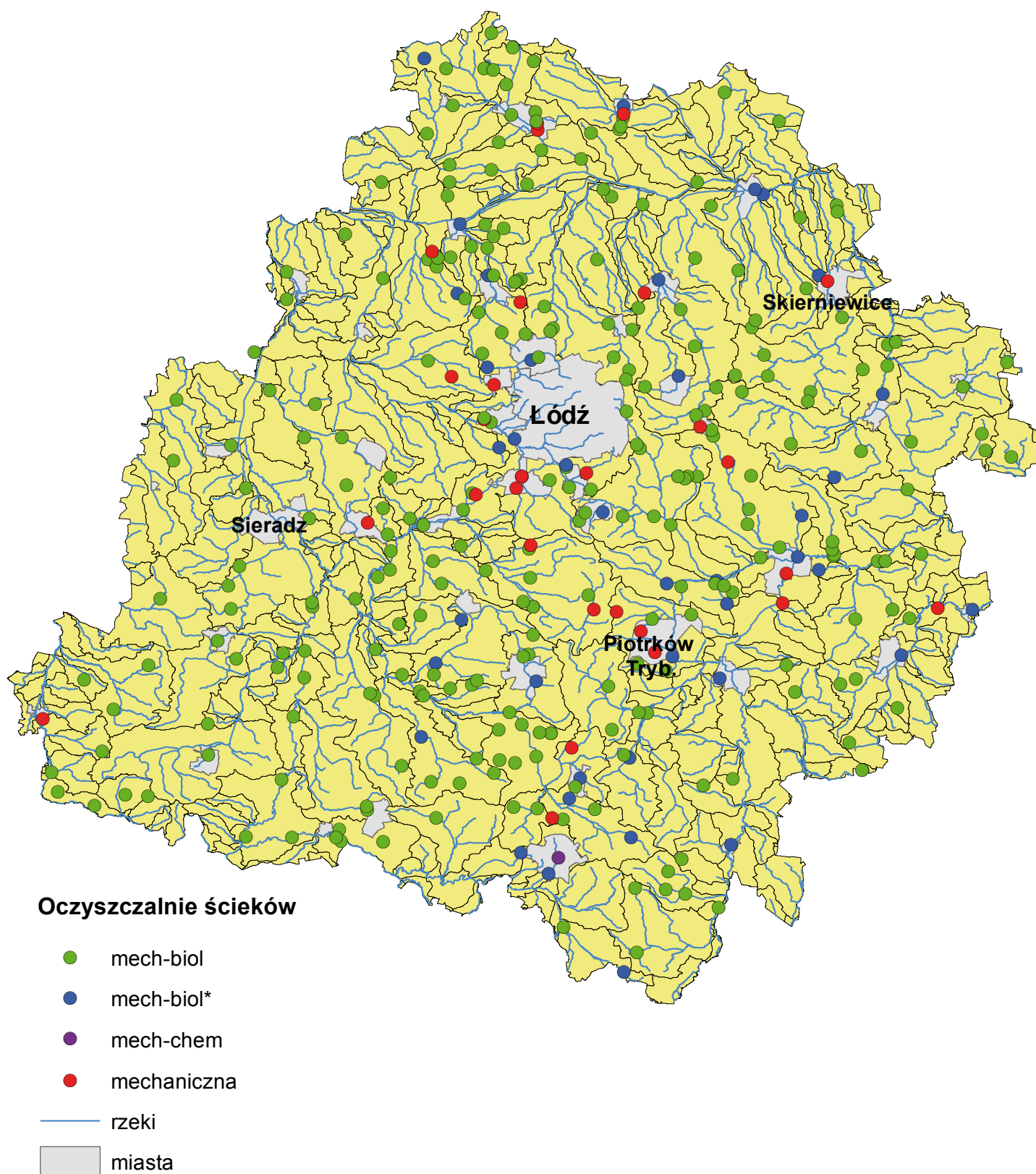
Rys. 2.8 Zmiany ładunków w ściekach odprowadzanych do wód lub do ziemi w latach 2012–2016 w województwie łódzkim (źródło: Urząd Statystyczny w Łodzi)

Ładunki zanieczyszczeń w ściekach odprowadzanych kanalizacją miejską wraz z wielkością przepływu w roku 2016 przedstawiono w tabeli 2.2.

Tabela 2.2 Przepływ i ładunki zanieczyszczeń ścieków odprowadzanych kanalizacją miejską w 2016 r. (źródło: Urząd Marszałkowski w Łodzi, WIOŚ)

| Źródło ścieków w zlewni Bzury - B Pilicy - P Warty - W | Przepływ m³/rok | Ładunki zanieczyszczeń w Mg/rok | | | | |
|---|-----------------|---------------------------------|---------|------------------|-------------|---------------|
| | | BZT5 | ChZT-Cr | Zawiesina ogólna | Azot ogólny | Fosfor ogólny |
| m. Łódź | | | | | | |
| GOŚ Łódź - W (ścieki z Łodzi, Pabianic i Konstantynowa Łódzkiego) | 61 560 943 | 493,1 | 3010,9 | 877,2 | 419,2 | 30,2 |
| powiat bełchatowski | | | | | | |
| Bełchatów - W | 3 547 862 | 15,6 | 150,6 | 22,8 | 35,8 | 2,0 |
| Zelów - W | 288 989 | 1,4 | 15,9 | 2,5 | - | - |
| powiat brzeziński | | | | | | |
| Brzeziny - B | 1 103 734 | 8,1 | 35,9 | 12,3 | 12,5 | 0,6 |
| powiat kutnowski | | | | | | |
| Kutno - B | 4 417 942 | 19,0 | 174,5 | 25,3 | 32,1 | 1,0 |
| Krośniewice - B | 338 114 | 1,0 | 4,6 | 1,0 | - | - |
| Żychlin - B | 377 515 | 2,1 | 10,2 | 2,4 | - | - |
| powiat łaski | | | | | | |
| Łask - W | 1 238 821 | 16,9 | 81,4 | 19,7 | 19,9 | 2,6 |

| | | | | | | |
|---------------------------------|-----------|------|-------|------|------|-----|
| powiat łęczycki | | | | | | |
| Łęczyca - B | 986 963 | 3,2 | 32,6 | 4,6 | 8,0 | 0,2 |
| powiat łowicki | | | | | | |
| Łowicz - B | 2 912 200 | 14,5 | 122,9 | 37,9 | 17,6 | 1,1 |
| powiat łódzki wschodni | | | | | | |
| Koluszki - P | 468 517 | 2,2 | 11,1 | 2,9 | - | - |
| Tuszyn - P | 238 914 | 2,1 | 12,5 | 1,5 | - | - |
| Rzgów - W | 343 318 | 5,0 | 25,9 | 6,3 | - | - |
| powiat opoczyński | | | | | | |
| Opoczno - P | 1 582 851 | 9,8 | 76,8 | 16,5 | 17,1 | 1,9 |
| Drzewica - P | 279 548 | 4,6 | 16,5 | 5,2 | - | - |
| powiat pajęczański | | | | | | |
| Pajęczno - W | 517 395 | 9,4 | 38,3 | 7,0 | | |
| Działoszyn - W | 310 735 | 7,0 | 32,4 | 8,2 | 3,2 | 0,5 |
| m. Piotrków Trybunalski | | | | | | |
| Piotrków Trybunalski - P | 4 025 981 | 16,1 | 157,0 | 25,9 | 28,2 | 2,7 |
| powiat piotrkowski | | | | | | |
| Sulejów - P | 813 828 | 7,6 | 30,0 | 6,1 | 7,4 | 0,9 |
| Wolbórz - P | 94 854 | 0,5 | 4,9 | 0,7 | - | - |
| powiat poddębicki | | | | | | |
| Poddębice - W | 401 513 | 5,7 | 22,3 | 4,7 | - | - |
| Uniejów - W | 223 297 | 3,1 | 17,3 | 4,1 | - | - |
| powiat radomszczański | | | | | | |
| Przedbórz - P | 246 792 | 3,0 | 12,6 | 3,8 | - | - |
| Kamieńsk - W | 138 950 | 0,9 | 4,7 | 1,2 | - | - |
| Radomsko - W | 3 534 210 | 14,2 | 103,8 | 24,6 | 41,7 | 1,4 |
| powiat rawski | | | | | | |
| Rawa Mazowiecka - B | 1 051 179 | 10,2 | 60,1 | 33,6 | 8,9 | 0,7 |
| Biała Rawska - B | 251 507 | 2,0 | 11,7 | 2,8 | - | - |
| powiat sieradzki | | | | | | |
| Sieradz - W | 2 530 235 | 8,9 | 145,5 | 19,6 | 20,0 | 0,9 |
| Błaszki - W | 142 801 | 0,9 | 4,7 | 0,9 | - | - |
| Warta - W | 159 845 | 0,5 | 5,2 | 0,9 | - | - |
| Złoczew - W | 176 679 | 0,6 | 6,2 | 1,0 | - | - |
| m. Skierniewice | | | | | | |
| Skierniewice - B | 3 384 156 | 20,3 | 119,5 | 20,3 | 33,8 | 1,2 |
| powiat tomaszowski | | | | | | |
| Tomaszów Mazowiecki - P | 3 343 371 | 20,8 | 118,0 | 10,4 | 17,9 | 2,5 |
| powiat wieluński | | | | | | |
| Wieluń - W | 1 950 171 | 14,4 | 78,0 | 29,1 | 33,2 | 2,7 |
| powiat wieruszowski | | | | | | |
| Wieruszów - W | 523 759 | 3,2 | 24,6 | 5,2 | 5,8 | 0,2 |
| powiat zduńskowolski | | | | | | |
| Zduńska Wola - W | 4 082 568 | 19,9 | 249,8 | 37,8 | 47,6 | 2,0 |
| Szadek - W | 125 169 | 1,4 | 9,3 | 1,6 | - | - |
| powiat zgierski | | | | | | |
| Głowno - B | 580 674 | 2,5 | 10,2 | 7,8 | 20,8 | 0,4 |
| Aleksandrów Łódzki - B | 1 718 652 | 12,0 | 116,0 | 22,0 | 18,2 | 2,0 |
| Stryków - B | 534 835 | 7,6 | 46,3 | 11,1 | - | - |
| Ozorków - B | 1 828 500 | 37,9 | 166,5 | 38,9 | 22,5 | 0,4 |
| Zgierz - B | 3 046 640 | 15,8 | 181,8 | 28,0 | 14,0 | 1,7 |



Mapa 2.4 Lokalizacja oczyszczalni ścieków znajdujących się na terenie woj. łódzkiego w 2016 roku (źródło: WIOŚ)

W 2016 roku Wojewódzki Inspektorat Ochrony Środowiska w Łodzi zewidencjonował ponad 350 punktowych źródeł zanieczyszczeń w województwie łódzkim (mapa 2.4). Wykaz oczyszczalni o największych przepływach ponad 1000 m³ na dobę zamieszczono w tabeli 2.3. Zdecydowana większość obiektów to oczyszczalnie biologiczne, dodatkowo w miejskich oczyszczalniach stosowano urządzenia do podwyższonego usuwania biogenów.

Tabela 2.3 Wykaz oczyszczalni ścieków o największych przepływach (powyżej 1000 m³/dobę) na terenie województwa łódzkiego w 2016 r. (źródło: Urząd Marszałkowski w Łodzi, WIOŚ)

| Nazwa oczyszczalni | Właściciel (użytkownik) | powiat | gmina | Sposób oczyszczania | Zlewnia | JCWP | przepływ Q m ³ /rok | przepływ Q m ³ /dobę |
|---|--|----------------|----------------|---------------------------|-----------------------|---|--------------------------------|---------------------------------|
| grupowa oczyszczalnia ścieków w Łodzi | Grupowa Oczyszczalnia Ścieków Sp. z o.o., ul. Sanitariuszek 66, 91-867 Łódź | Łódź | Łódź | mechaniczno-biologicznie* | Ner | 600020183235 Ner od Dobrzyńki do Zalewki | 61560943 | 168199 |
| grupowa oczyszczalnia ścieków w Kutnie | Grupowa Oczyszczalnia Ścieków Sp. z o.o., ul. Lotnicza 1, 99-300 Kutno | kutnowski | Kutno | mechaniczno-biologicznie* | Bzura | 2000242721899 Ochnia od Miłonki do ujścia | 4417942 | 12071 |
| miejska oczyszczalnia ścieków w Zduńskiej Woli | Miejskie Przedsiębiorstwo Wodociągów i Kanalizacji Sp. z o.o., ul. Królewska 15, 98-220 Zduńska Wola | zduńskowski | Zduńska Wola | mechaniczno-biologicznie* | Warta (zb. Jeziersko) | 60001718317889 Pichna do Urszulinki | 4082568 | 11155 |
| miejska oczyszczalnia ścieków w Piotrkowie Tryb. | Piotrkowskie Wodociągi i Kanalizacja Sp. z o.o., ul. Przemysłowa 4, 97-300 Piotrków Tryb. | Piotrków Tryb. | Piotrków Tryb. | mechaniczno-biologicznie* | Pilica | 200017254649 Moszczanka | 4025981 | 11030 |
| miejska oczyszczalnia ścieków w Bełchatowie | Zakład Wodociągów i Kanalizacji „WOD-KAN”, ul. Świętej Faustyny Kowalskiej 9, 97-400 Bełchatów | bełchatowski | Bełchatów | mechaniczno-biologicznie* | Warta | 60001618229 Rakówka | 3547862 | 9677 |
| miejska oczyszczalnia ścieków w Radomsku | Przedsiębiorstwo Gospodarki Komunalnej, ul. Stara Droga 85, 97-500 Radomsko | radomszczański | Radomsko | mechaniczno-biologicznie* | Warta | 6000161815529 Radomka | 3534210 | 9656 |
| miejska oczyszczalnia ścieków w Mokrej Prawej dla miasta Skierniewice | Zakład Wodociągów i Kanalizacji „Wod-Kan”, Mokra Prawa 30, 96-100 Skierniewice | skierniewicki | Skierniewice | mechaniczno-biologicznie* | Bzura | 2000192725899 Skierniewka od dopływu spod Dębowej Góry do ujścia | 3384156 | 9246 |
| miejska oczyszczalnia ścieków w Tomaszowie Maz. | Zakład Gospodarki Wodno-Kanalizacyjnej Sp. z o.o., ul. Kępa 19, 97-200 Tomaszów Maz. | tomaszowski | Tomaszów Maz. | mechaniczno-biologicznie* | Pilica | 200019254799 Pilica od Wolbórki do Drzewiczki | 3343371 | 9135 |
| miejska oczyszczalnia ścieków w Zgierzu | Wodociągi i Kanalizacja-Zgierz Sp. z o.o., ul. A. Struga 45, 95-100 Zgierz | zgierski | Zgierz | mechaniczno-biologicznie* | Bzura | 200017272138 Bzura od źródeł do Starówki | 3046640 | 8234 |
| miejska oczyszczalnia ścieków w Łowiczu | Zakład Usług Komunalnych, ul. Armii Krajowej 2B, 99-400 Łowicz | łowicki | Łowicz | mechaniczno-biologicznie* | Bzura | 2000192725999 Bzura od Uchanki do Rawki bez Rawki | 2912200 | 7957 |
| centralna oczyszczalnia ścieków w Rogowcu | PGE Górnictwo i Energetyka Konwencjonalna SA Oddział Kopalnia Węgla Brunatnego Bełchatów | bełchatowski | Kleszczów | mechaniczno-biologicznie | Warta | 6000191825 Widawka od Kręcicy do Krasówki | 2565655 | 7010 |

| Nazwa oczyszczalni | Właściciel (użytkownik) | powiat | gmina | Sposób oczyszczania | Zlewnia | JCWP | przepływ Q m³/rok | przepływ Q m³/dobę |
|--|--|-------------|--------------------|---------------------------|---------|---|-------------------|--------------------|
| miejska oczyszczalnia ścieków w Dzigorzewie dla miasta Sieradz | Miejskie Przedsiębiorstwo Wodociągów i Kanalizacji Sp. z o.o., ul. Górka Kłocka 14, 98-200 Sieradz | sieradzki | Sieradz | mechaniczno-biologicznie* | Warta | 600019183159 Warta od Żegliny do wpływu do Zbiornika Jeziorsko | 2530235 | 6913 |
| miejska oczyszczalnia ścieków w Wieluniu | Przedsiębiorstwo Komunalne Sp. z o.o., ul. Zamenhofska 17, 98-300 Wieluń | wieluński | Wieluń | mechaniczno-biologicznie* | Warta | 6000171818893 Pyszna do Dopływu z Gromadzic | 1950171 | 5328 |
| miejska oczyszczalnia ścieków w Cedrowicach dla miasta Ozorków | Ozorkowskie Przedsiębiorstwo Komunalne Sp. z o.o., ul. Żwirki 30, 95-035 Ozorków, | zgierski | Ozorków | mechaniczno-biologicznie* | Bzura | 200019272153 Bzura od Starówki do Kanafu Tumskiego | 1828500 | 4996 |
| miejska oczyszczalnia ścieków w Rudzie Bugaj dla miasta Aleksandrów Łódzki | Przedsiębiorstwo Gospodarki Komunalnej i Mieszkaniowej Sp. z o.o., ul. 1 Maja 28/30, 95-070 Aleksandrów Łódzki | zgierski | Aleksandrów Łódzki | mechaniczno-biologicznie* | Bzura | 200017272138 Bzura od źródeł do Starówki | 1718652 | 4696 |
| miejska oczyszczalnia ścieków w Opocznie | Przedsiębiorstwo Gospodarki Komunalnej Sp. z o.o., ul. Krótka 1, 26-300 Opoczno | opoczyński | Opoczno | mechaniczno-biologicznie* | Pilica | 20009254859 Drzewiczka od Wąglanki do Brzuśni | 1582851 | 4326 |
| miejska oczyszczalnia ścieków w Łasku | Miejskie Przedsiębiorstwo Wodociągów i Kanalizacji Sp. z o.o., ul. Tylina 9, 98-100 Łask | łaski | Łask | mechaniczno-biologicznie | Warta | 600019182873 Grabia od Dłutówki do dopływu z Anielina | 1238821 | 3385 |
| miejska oczyszczalnia ścieków w Brzezinach | Zakład Usług Komunalnych Spółka z o.o., ul. Przemysłowa 14, 95-060 Brzeziny | brzeziński | Brzeziny | mechaniczno-biologicznie* | Bzura | 2000172723469 Mrożyca | 1103734 | 3016 |
| miejska oczyszczalnia ścieków w Żydomicach dla miasta Rawa Mazowiecka | Rawskie Wodociągi i Kanalizacja Sp. z o.o., ul. Słowackiego 70, 96-200 Rawa Mazowiecka | rawski | Rawa Mazowiecka | mechaniczno-biologicznie* | Bzura | 200019272659 Rawka od Krzemionki do Białki | 1051179 | 2872 |
| miejska oczyszczalnia ścieków w Łęczycy | Przedsiębiorstwo Gospodarki Komunalnej i Mieszkaniowej Spółka z o.o., ul. Tumska 2, 99-100 Łęczycza | łęczycki | Łęczycza | mechaniczno-biologicznie* | Bzura | 2000172721569 Bzura (stare koryto) | 986963 | 2697 |
| oczyszczalnia ścieków dla miasta i gminy Sulejów | Miejski Zakład Komunalny, ul. Konecka 36, 97-330 Sulejów | piotrkowski | Sulejów | mechaniczno-biologicznie* | Pilica | 20001025451 Pilica od Zwleczy do Zbiornika Sulejów | 813828 | 2230 |

| Nazwa oczyszczalni | Właściciel (użytkownik) | powiat | gmina | Sposób oczyszczania | Zlewnia | JCWP | przepływ Q m³/rok | przepływ Q m³/dobę |
|---|---|-----------------|---------------|---------------------------|---------|--|-------------------|--------------------|
| zakładowa oczyszczalnia ścieków w Łowiczu | Grupa Producentów Mleka EKOŁOWI-CZANKA Sp. z o.o., ul. Przemysłowa 3, 99-400 Łowicz | łowicki | Łowicz | mechaniczno-biologicznie* | Bzura | 2000192725999 Bzura od Uchanki do Rawki bez Rawki | 799716 | 2185 |
| miejska oczyszczalnia ścieków w Głownie | Miejski Zakład Wodociągów i Kanalizacji, ul. A. Struga 3, 95-016 Głowno | zgierski | Głowno | mechaniczno-biologicznie* | Bzura | 200019272349 Mroga od Mrożyca do ujścia | 580674 | 1587 |
| oczyszczalnia ścieków w Strykowie | Zakład Gospodarki Komunalnej i Mieszkaniowej, ul. Batorego 25, 95-010 Stryków | zgierski | Stryków | mechaniczno-biologicznie | Bzura | 200017272249 Moszczenica od źródeł do dopływu z Besiekierza | 534835 | 1461 |
| miejska oczyszczalnia ścieków w Wieruszowie | Przedsiębiorstwo Komunalne S.A., ul. Biskupa St. Bareły 13, 98-400 Wieruszów | wieruszowski | Wieruszów | mechaniczno-biologicznie* | Warta | 600019184311 Prosna od Wyderki do Brzeźnicy | 523759 | 1431 |
| miejska oczyszczalnia ścieków w Pajęcznie | Miejski Zakład Komunalny, ul. Międzyzakładowa 3, 98-330 Pajęczno | pajęczański | Pajęczno | mechaniczno-biologicznie | Warta | 600017181789 Wierznica | 517395 | 1414 |
| oczyszczalnia ścieków - SUW w Tomaszowie Maz. | Zakład Wodociągów i Kanalizacji, ul. Wierzbowa 52, 90-001 Łódź | tomaszowski | Tomaszów Maz. | mechanicznie | Pilica | 20001925459 Pilica od Zbiornika Sulejów do Wolbórki | 482670 | 1319 |
| miejska oczyszczalnia ścieków w Koluźkach | Koluźkowskie Przedsiębiorstwo Gospodarki Komunalnej Sp. z o.o., ul. Mickiewicza 4, 95-040 Koluźki | łódzki wschodni | Koluźki | mechaniczno-biologicznie | Pilica | 200017254689 Czarna | 468517 | 1280 |
| miejska oczyszczalnia ścieków w Poddębicach | Miejskie Przedsiębiorstwo Wodociągów i Kanalizacji Sp. z o.o., ul. Parzęczewska 29/35, 99-200 Poddębice | poddębicki | Poddębice | mechaniczno-biologicznie* | Ner | 600020183275 Ner od Dobrzyńki do Kanału Zbylczyskiego | 401513 | 1097 |
| oczyszczalnia ścieków wód popłucznych i wód opadowych w Aleksandrii | Polska Woda Sp. z o.o., ul. Kościuszki 80/82, 90-437 Łódź | zgierski | Ozorków | mechanicznie | Bzura | 200017272249 Moszczenica od źródeł do dopływu z Besiekierza | 381491 | 1042 |
| miejska oczyszczalnia ścieków w Żychlinie | Samorządowy Zakład Budżetowy, ul. Barlickiego 15, 99-320 Żychlin | kutnowski | Żychlin | mechaniczno-biologicznie* | Bzura | 200017272439 Słudwia od źródeł do Przysowej bez Przysowej | 377515 | 1031 |

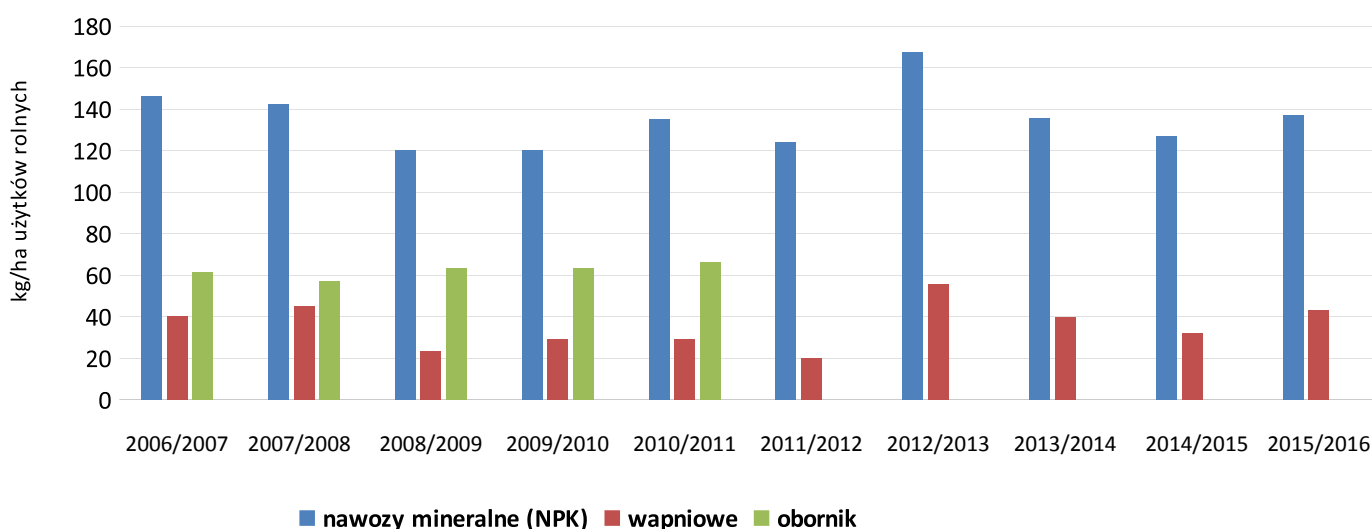
*Oczyszczalnie z podwyższonym usuwaniem biogenów

Zanieczyszczenia powierzchniowe, pochodzące zwłaszcza z terenów rolniczych, są kolejnym znaczącym źródłem zanieczyszczeń wprowadzanych do wód. Nawozy sztuczne i pestycydy spłukiwane z pól wraz z wodami opadowymi są jedną z przyczyn eutrofizacji (przeżyźnienia) wód. Zjawisko to wiąże się z wprowadzeniem do wody zbyt dużej ilości pierwiastków biogennych (głównie azot, fosfor). Ogromna produkcja biomasy prowadzi do odkładania się na dnie osadów martwej materii organicznej. Poza tym tworzy się środowisko beztlenowe wskutek zużywania dużych ilości tlenu, co w konsekwencji doprowadza do wyginięcia ryb i innych organizmów żywych.

Zanieczyszczenie środowiska wodnego nawozami można nie tylko spowodować przez nieracjonalne ich stosowanie, ale również przez niewłaściwe ich składowanie. Spływy powierzchniowe z tych terenów powodują wymywanie związków azotu i fosforu.

W województwie łódzkim w latach gospodarczych 2006 – 2016 zużycie nawozów na 1 ha użytków rolnych nie zmieniło się znacząco. Wyjątek stanowił rok gospodarczy 2012/13, kiedy odnotowano znaczący wzrost zużycia nawozów mineralnych NPK (167,4 kg) oraz wapniowych (55,5 kg). Od roku gospodarczego 2011/12 brak jest danych na temat zużycia obornika.

Na rysunku 2.9 przedstawiono zużycie nawozów w województwie łódzkim w latach gospodarczych 2006-2016.



Rys. 2.9 Zużycie nawozów w kg/1ha użytków rolnych w województwie łódzkim w latach gospodarczych 2006–2016 (źródło: Urząd Statystyczny w Łodzi)

Innym źródłem zanieczyszczenia wód są wody opadowe i roztopowe ujęte w otwarte lub zamknięte systemy kanalizacyjne. Obecnie Prawo wodne zalicza takie wody do kategorii ścieków.

Wody te, spływając z powierzchni zanieczyszczonych o trwałej nawierzchni, w szczególności z miast, lotnisk, terenów przemysłowych, handlowych, usługowych i składowych, baz transportowych, parkingów powodują zanieczyszczenie wód między innymi substancjami ropopochodnymi oraz zawiesinami. Istniejące systemy odprowadzania wód opadowych i roztopowych to przede wszystkim systemy ogólnospławne. Systemy kanalizacyjne powodują duże dopływy tych wód do oczyszczalni, dodatkowo lokalne podtopienia, przelewy burzowe wraz ze zrzutem bezpośrednio do rzek powodują zanieczyszczenia wód powierzchniowych.

Kolejnym źródłem presji na środowisko wodne jest infrastruktura drogowa i kolejowa. Województwo łódzkie znajduje się w centralnej części Polski, w związku z tym krzyżuje się tu wiele dróg i szlaków kolejowych. Przez województwo przebiegają autostrady A1 i A2, drogi ekspresowe S8 i S14 oraz liczne drogi wojewódzkie, powiatowe i gminne. Rozbudowa systemu drogowego i kolejowego jest konieczna, ponieważ wpływa na poziom bezpieczeństwa, oraz atrakcyjność województwa łódzkiego dla inwestorów. Niestety, wskutek tych inwestycji może nastąpić pogorszenie jakości wód powierzchniowych. Źródłem oddziaływań związanych z powstawaniem zanieczyszczeń są zarówno pasy ruchu, jak i inne elementy drogi – pobocza, skarpy, obiekty inżynierskie oraz pozostałe obiekty towarzyszące drogom (stacje paliw, miejsca obsługi podróżnych, obwody utrzymania dróg).

Głównymi zanieczyszczeniami znajdującymi się w spływach opadowych z dróg i obiektów towarzyszących są zawiesiny, różnego rodzaju substancje olejowe, w tym węglowodory ropopochodne oraz inne substancje ekstrahujące się eterem naftowym, metale ciężkie (Pb, Zn, Cu, Cd, Cr, Ni i in.), związki organiczne i nieorganiczne, określane zawartością węgla całkowitego i organicznego oraz wskaźnikami zużycia tlenu (BZT5 i ChZT), chlorki oraz węglowodory aromatyczne.

STAN WÓD

WODY POWIERZCHNIOWE

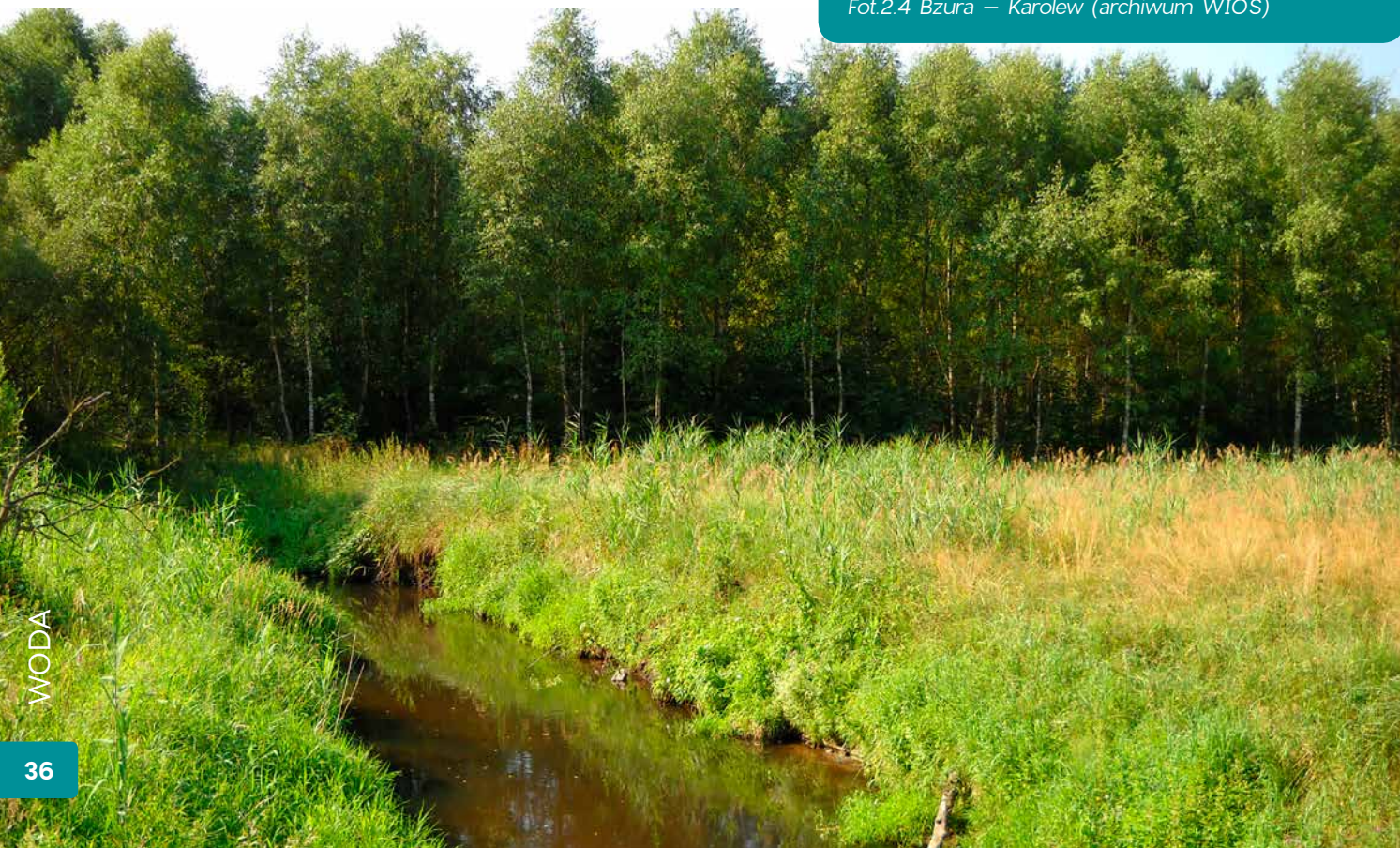
Woda należy do komponentów środowiska naturalnego, występujących w stałej ilości i pozostających w ciągłym obiegu w przyrodzie. Jej znaczenie dla funkcjonowania całej biosfery jest niepodważalne. Uzyskanie i utrzymanie dobrego stanu wód jest kluczowym celem działania środowiskowego. Wody powierzchniowe poddawane są silnej presji, związanej z poborem wody i zrzutem zanieczyszczeń komunalnych, rolniczych, przemysłowych i komunikacyjnych. Zrównoważone gospodarowanie zasobami wodnymi oraz eliminacja negatywnych skutków antropopresji mogą pomóc osiągnąć ten cel.

Obiektywne badania i ocena stanu wód są niezbędne do prawidłowego planowania gospodarowania wodami i podejmowania adekwatnych działań na rzecz ochrony wód i poprawy ich stanu. Podstawowe ramy działania w dziedzinie polityki wodnej na obszarze Unii Europejskiej określa Ramowa Dyrektywa Wodna (RDW) z 23 października 2000 r. Zapisy RDW o monitoringu wód powierzchniowych zostały transponowane do prawa polskiego przede wszystkim ustawą z 18 lipca 2001 r. - Prawo wodne (Dz. U. z 2015 r. poz. 469 z późn. zm.). W oparciu o przepisy ww. ustawy prowadzony jest w Polsce monitoring jakości wód powierzchniowych.

Monitoring jakości wód powierzchniowych, zgodnie z zapisami prawa, ma dostarczyć wiedzy niezbędnej do planowania w gospodarowaniu wodami i podejmowania działań na rzecz ochrony wód i poprawy ich stanu. Sposób prowadzenia badań, ich zakres oraz kryteria oceny jakości wód określają rozporządzenia do ustawy Prawo wodne:

- rozporządzenie Ministra Środowiska z 19 lipca 2016 r. w sprawie form i sposobu prowadzenia monitoringu jednolitych części wód powierzchniowych i podziemnych (Dz.U. z 2016 r. poz. 1178),
- rozporządzenie Ministra Środowiska z 21 lipca 2016 r. w sprawie sposobu klasyfikacji stanu jednolitych części wód powierzchniowych oraz środowiskowych norm jakości dla substancji priorytetowych (Dz. U. z 2016 r. poz. 1187),
- rozporządzenie Ministra Środowiska z 22 października 2014 r. w sprawie sposobu klasyfikacji stanu jednolitych części wód powierzchniowych oraz środowiskowych norm jakości dla substancji priorytetowych (Dz. U. z 2014 r. poz. 1482),
- rozporządzenie Ministra Środowiska z 9 listopada 2011 r. w sprawie klasyfikacji stanu ekologicznego, potencjału ekologicznego i stanu chemicznego jednolitych części wód powierzchniowych (Dz. U. z 2011 r., nr 258, poz. 1549),
- rozporządzenie Ministra Środowiska z 23 grudnia 2002 r. w sprawie kryteriów wyznaczania wód wrażliwych na zanieczyszczenie związkami azotu ze źródeł rolniczych (Dz. U. z 2002 r. nr 241, poz. 2093),
- rozporządzenie Ministra Środowiska z 27 listopada 2002 r. w sprawie wymagań, jakim powinny odpowiadać wody powierzchniowe wykorzystywane do zaopatrzenia ludności w wodę przeznaczoną do spożycia (Dz. U. z 2002 r. nr 204, poz. 1728).

Fot.2.4 Bzura – Karolew (archiwum WIOŚ)



Badania wód powierzchniowych prowadzone są na wydzielonych jednostkach wód, tzw. jednolitych częściach wód powierzchniowych (jcwp). Są to wystarczająco duże oraz jednorodne pod względem hydromorfologicznym i biologicznym oddzielne i znaczące części wód, dla których prowadzone są analizy presji antropogenicznych oraz opracowywane programy wodno-środowiskowe. Program badań każdej jednolitej części wód jest uzależniony od jej znaczenia, pełnionych funkcji dla ludności i zależnych od niej ekosystemów oraz od charakterystyki zagrożeń, jakim jest poddawana. Jednolite części wód powierzchniowych dzieli się na naturalne, dla których określa się stan ekologiczny i stan chemiczny, oraz na sztuczne (powstałe w wyniku działalności człowieka) i silnie zmienione (ich charakter został w znacznym stopniu zmieniony w następstwie fizycznych przeobrażeń, będących wynikiem działalności człowieka), dla których określa się potencjał ekologiczny i stan chemiczny.

Punkty pomiarowo-kontrolne w ramach poszczególnych sieci, w których dokonuje się poborów prób wody, zostały zlokalizowane na jednolitych częściach wód powierzchniowych na podstawie dostępnych dokumentów referencyjnych przekazanych przez Krajowy Zarząd Gospodarki Wodnej oraz wytycznych Głównego Inspektoratu Ochrony Środowiska.

Monitoring wód powierzchniowych realizowany jest w czterech podstawowych programach:

- Monitoring diagnostyczny, zawierający badania o szerokim spektrum wskaźników biologicznych, fizykochemicznych i chemicznych (w tym substancji priorytetowych w polityce wodnej). Jego celem jest identyfikacja zanieczyszczeń występujących w ilościach ponadnormatywnych, ustalenie stanu jednolitej części wody, śledzenie wieloletnich zmian wywołanych oddziaływaniami antropogenicznymi oraz dostarczenie informacji do zaplanowania przyszłych programów monitoringu. Dla objętych tym monitoringiem jednolitych części wód pełna diagnostyka przeprowadzana jest nie rzadziej niż co 6 lat.

- Monitoring operacyjny obejmuje wody zidentyfikowane jako zagrożone nieosiągnięciem określonych dla nich celów środowiskowych. Zakres badań jest ograniczony do podstawowych wskaźników biologicznych i fizykochemicznych, wskaźników rozpoznanych w monitoringu diagnostycznym jako problematyczne oraz do wskaźników wynikających z lokalizacji obszarów chronionych w obrębie jednolitych części wód. Celem monitoringu operacyjnego jest ustalenie stanu jcwp oraz śledzenie zmian wynikających z programów działań, które zostały podjęte w celu poprawy stanu tych wód. Podstawowy program operacyjny jest powtarzany z częstotliwością raz na 3 lata. Dodatkowe badania prowadzone są dla substancji priorytetowych ze stwierdzonym przekroczeniem wartości dopuszczalnych stężeń oraz dla substancji priorytetowych i specyficznych zanieczyszczeń syntetycznych i niesyntetycznych, których źródło znajduje się w zlewni.

- Monitoring badawczy prowadzony jest w celu uzupełnienia i zebrania dodatkowych informacji o stanie wód. Stosuje się go w wyjątkowych przypadkach, gdy wymagają tego uwarunkowania lokalne, nie można zidentyfikować źródła zanieczyszczeń lub gdy istnieją rozbieżności między badaniami biologicznymi i fizykochemicznymi. Cechą charakterystyczną monitoringu badawczego jest postawienie hipotezy badawczej, weryfikowanej poprzez przeprowadzenie dodatkowych oznaczeń. Częstotliwość prowadzenia badań w ramach tego monitoringu jest dostosowana do problemu badawczego.

- Monitoring obszarów chronionych ustanawia się w celu ustalenia stopnia spełnienia dodatkowych wymogów, określonych w odrębnych przepisach wynikających z funkcji, jakie pełni dana jednolita część wody lub dodatkowych zagrożeń, jakim jest poddana. Monitoring obszarów chronionych ma również ocenić wpływ źródeł antropogenicznych i sprawdzić skuteczność podjętych programów naprawczych. Częstotliwość prowadzenia monitoringu obszarów chronionych dostosowana jest do 3-letniego cyklu podstawowych badań monitoringu operacyjnego. Wyjątek stanowią jcwp będące źródłem wody pitnej dla ludności, w których badania prowadzone są corocznie.

Jakość wód powierzchniowych

Rok 2016 był pierwszym rokiem w kolejnym 6-letnim cyklu gospodarowania wodami, zgodnie z kalendarzem ustalonym przez Ramową Dyrektywę Wodną. W ramach realizacji programu monitoringu wód powierzchniowych województwa łódzkiego, którego szczegółowy zakres został podany w *Programie państwowego monitoringu środowiska województwa łódzkiego na lata 2016-2020* w 2016 roku, zostały zrealizowane badania rzek i zbiorników zaporowych w zakresie elementów biologicznych, fizykochemicznych

oraz chemicznych w ramach odpowiednich programów monitoringu. Podczas badań fizykochemicznych i chemicznych zbierano

Fot.2.5 Dobrzynka – Łaskowice
(archiwum WIOŚ)

serie pomiarów stężeń substancji z częstotliwością poboru od 4 do 12 razy w roku. Po zweryfikowaniu całorocznych pomiarów wyznaczono stężenia średnie oraz dla niektórych substancji stężenia maksymalne, na podstawie których dokonano oceny jcwp.

Zasady oceny stanu jednolitych części wód powierzchniowych

Uzyskane na podstawie prowadzonego w 2016 roku monitoringu i zweryfikowane wyniki badań pozwoliły na sporządzenie klasyfikacji elementów jakości wód, stanu/potencjału ekologicznego i stanu chemicznego oraz na oceny stanu jednolitych części wód powierzchniowych i spełnienia warunków dodatkowych, wynikających z objęcia jcwp obszarem chronionym.

Ocenę przeprowadzono na podstawie rozporządzenia MŚ z dnia 21 lipca 2016 r. w sprawie sposobu klasyfikacji stanu jednolitych części wód powierzchniowych oraz środowiskowych norm jakości dla substancji priorytetowych (Dz. U. z 2016 r., poz. 1187). Dodatkowo uwzględniono zasady określone szczegółowo w opracowanych przez GIOŚ wytycznych dla wojewódzkich inspektoratów ochrony środowiska do przeprowadzenia oceny stanu jednolitych części wód powierzchniowych oraz oceny spełnienia dodatkowych wymagań dla wód stanowiących obszary chronione.

Przeprowadzono kolejno klasyfikację poszczególnych elementów jakości wód powierzchniowych (elementów biologicznych, fizykochemicznych, hydromorfologicznych, chemicznych), klasyfikację stanu/potencjału ekologicznego, klasyfikację stanu chemicznego oraz ocenę stanu badanych jednolitych części wód powierzchniowych. W przypadku oceny spełnienia dodatkowych wymagań dla wód stanowiących obszary chronione (przeznaczone do poboru wody na potrzeby zaopatrzenia ludności w wodę do spożycia, przeznaczone do ochrony siedlisk lub gatunków, dla których utrzymanie lub poprawa stanu wód powierzchniowych jest ważnym czynnikiem w ich ochronie, przeznaczone do celów rekreacyjnych, w tym kąpieliskowych, wrażliwe na eutrofizację wywołaną zanieczyszczeniami pochodzącymi ze źródeł komunalnych oraz narażone na zanieczyszczenia związkami azotu ze źródeł rolniczych) w ocenie uwzględniono dodatkowe wymagania wynikające ze sposobu użytkowania/charakteru obszaru.

Przy sporządzaniu oceny uwzględniono wyniki klasyfikacji stanu/potencjału ekologicznego i stanu chemicznego podlegające dziedziczeniu. Zastosowanie reguły dziedziczenia jest możliwe przy jednoczesnym zachowaniu wynikających z Ramowej Dyrektywy Wodnej terminów ważności wyniku, tzn. wyniki badań uzyskanych w ramach monitoringu diagnostycznego mają ważność 6 lat, a w ramach monitoringu operacyjnego 3 lata.

Klasyfikacja wskaźników biologicznych i hydromorfologicznych

Sposób klasyfikacji wskaźników biologicznych i hydromorfologicznych w wodach płynących w roku 2016 nie uległ istotnej zmianie w stosunku do lat poprzednich. Do klasyfikacji wskaźników biologicznych wykorzystano badania fitoplanktonu, fitobentosu, makrobezkręgowców, makrofitów i ichtiofauny. Wskaźniki biologiczne oraz stężenia średnioroczne wskaźników fizykochemicznych porównano do wartości dopuszczalnych dla danej klasy jakości, z uwzględnieniem typu i kategorii wód powierzchniowych. W 2016 roku nie prowadzono monitoringu ichtiofauny rzecznej i jeziornej, więc klasyfikacja tego elementu we wszystkich przypadkach miała charakter dziedziczenia. Klasę hydromorfologiczną nadaje się na podstawie stopnia przekształcenia cieku i jego własności hydrologicznych.

Klasyfikacja wskaźników fizykochemicznych

W 2016 roku nastąpiły istotne zmiany w sposobie klasyfikacji fizykochemicznych elementów jakości wód powierzchniowych. Dotychczasowy system jednolitych wartości granicznych klas dla wszystkich wód płynących został zastąpiony nowym, w którym każdy typ ma własny zestaw wartości granicznych klas. W przeważającej większości jcwp spowodowało to zaostrenie kryteriów klasyfikacji. Stąd klasyfikacja elementów fizykochemicznych w wielu przypadkach mogła się obniżyć w stosunku do poprzednich lat mimo braku rzeczywistej zmiany w mierzonych stężeniach substancji zanieczyszczających.

Klasyfikacja stanu/potencjału ekologicznego

Klasyfikację stanu ekologicznego wykonuje się dla naturalnych jcwp, natomiast dla wód silnie zmienionych lub sztucznych dokonuje się klasyfikacji potencjału ekologicznego. Podstawą klasyfikacji stanu/potencjału ekologicznego są elementy biologiczne, hydromorfologiczne oraz fizykochemiczne. O ocenie stanu lub potencjału ekologicznego decyduje najgorsza klasa ze wszystkich sklasyfikowanych elementów.

Klasyfikacja stanu chemicznego

Klasyfikację stanu chemicznego oparto na zweryfikowanych wynikach badań substancji priorytetowych i innych substancji zanieczyszczających, zebranych w 2016 roku. Przyjmuje się, że jednolita część wód powierzchniowych jest w dobrym stanie chemicznym, jeżeli wartości średnioroczne (wyrażone jako średnia arytmetyczna z pomierzonych stężeń wskaźników) oraz stężenia maksymalne nie przekraczają dopuszczalnych wartości środowiskowych norm jakości (ang. EQS), odpowiednio średniorocznych i dopuszczalnych stężeń maksymalnych odpowiednich wskaźników,

określonych w rozporządzeniu „klasyfikacyjnym” (Dz. U. 2016 poz. 1187) dla poszczególnych kategorii wód i matryc. Przekroczenie odpowiedniej środowiskowej normy jakości dla co najmniej jednej pozytywnie zweryfikowanej wartości stężeń substancji priorytetowej badanej w wodzie lub bocie powoduje obniżenie klasyfikacji stanu chemicznego do „poniżej stanu dobrego”.

Wojewódzki Inspektorat Ochrony Środowiska w Łodzi realizował w 2016 roku badania substancji priorytetowych w dziedzinie polityki wodnej i innych substancji zanieczyszczających w matrycy wodnej. Rozporządzenie „klasyfikacyjne”, transponujące zapisy dyrektywy 2013/39/UE, wprowadziło bardziej rygorystyczne środowiskowe normy jakości dla następujących substancji priorytetowych: antracen, bromowane difenyletery, fluoranten, ołów i jego związki, naftalen, nikiel i jego związki, WWA – benzo(a)piren, badanych w matrycy wodnej, w porównaniu z poprzednio obowiązującymi (wprowadzonymi dyrektywą 2008/105/WE). Klasyfikacji stanu chemicznego jednolitych części wód monitorowanych w 2016 roku dokonuje się na podstawie aktualnych, bardziej rygorystycznych wartości EQS.

W 2016 roku na zlecenie Głównego Inspektoratu Ochrony Środowiska wykonane zostały badania substancji priorytetowych w dziedzinie polityki wodnej, dla których określone zostały środowiskowe normy jakości we florze i faunie (bocie). Badania stężeń substancji priorytetowych w dziedzinie polityki wodnej jest jednym z obowiązków Inspekcji Ochrony Środowiska, nałożonych w związku z transpozycją do polskiego porządku prawnego zapisów dyrektywy 2013/39/UE. GIOŚ realizował wspomniane zadanie na wybranych jednolitych częściach wód powierzchniowych w ramach monitoringu diagnostycznego.

Wyniki badań włączone zostały do klasyfikacji stanu chemicznego i oceny stanu jcwp. Badane substancje to: bromowane difenyletery, heksachlorobenzen, heksachlorobutadien, rtęć i jej związki, dikofol, kwas perfluorooktanosulfonowy i jego pochodne (PFOS), dioksyny i związki dioksynopodobne, heksabromocyklododekan (HBCDD), heptachlor i epoksyd heptachloru, fluoranten, benzo(a)piren.

Ocena stanu jednolitych części wód powierzchniowych

Ocena stanu jednolitych części wód powierzchniowych jest procesem zamykającym realizację ustalonego wcześniej programu monitoringu. Stan jcwp ocenia się poprzez porównanie wyników klasyfikacji stanu ekologicznego lub potencjału ekologicznego, stanu chemicznego i oceny spełnienia wymagań dodatkowych obszarów chronionych, wykonanych na podstawie danych z reprezentatywnego punktu pomiarowo-kontrolnego. Jednolita część wód jest oceniana jako będąca w dobrym stanie, gdy stan chemiczny jest dobry i jednocześnie gdy jej stan ekologiczny lub potencjał ekologiczny są co najmniej dobre, a ocena spełnienia wymagań dodatkowych jest pozytywna. Jeżeli stan chemiczny lub stan/potencjał ekologiczny jest gorszy niż dobry lub ocena spełnienia wymagań dodatkowych negatywna, stan ocenianej jednolitej części wód ocenia się jako zły.

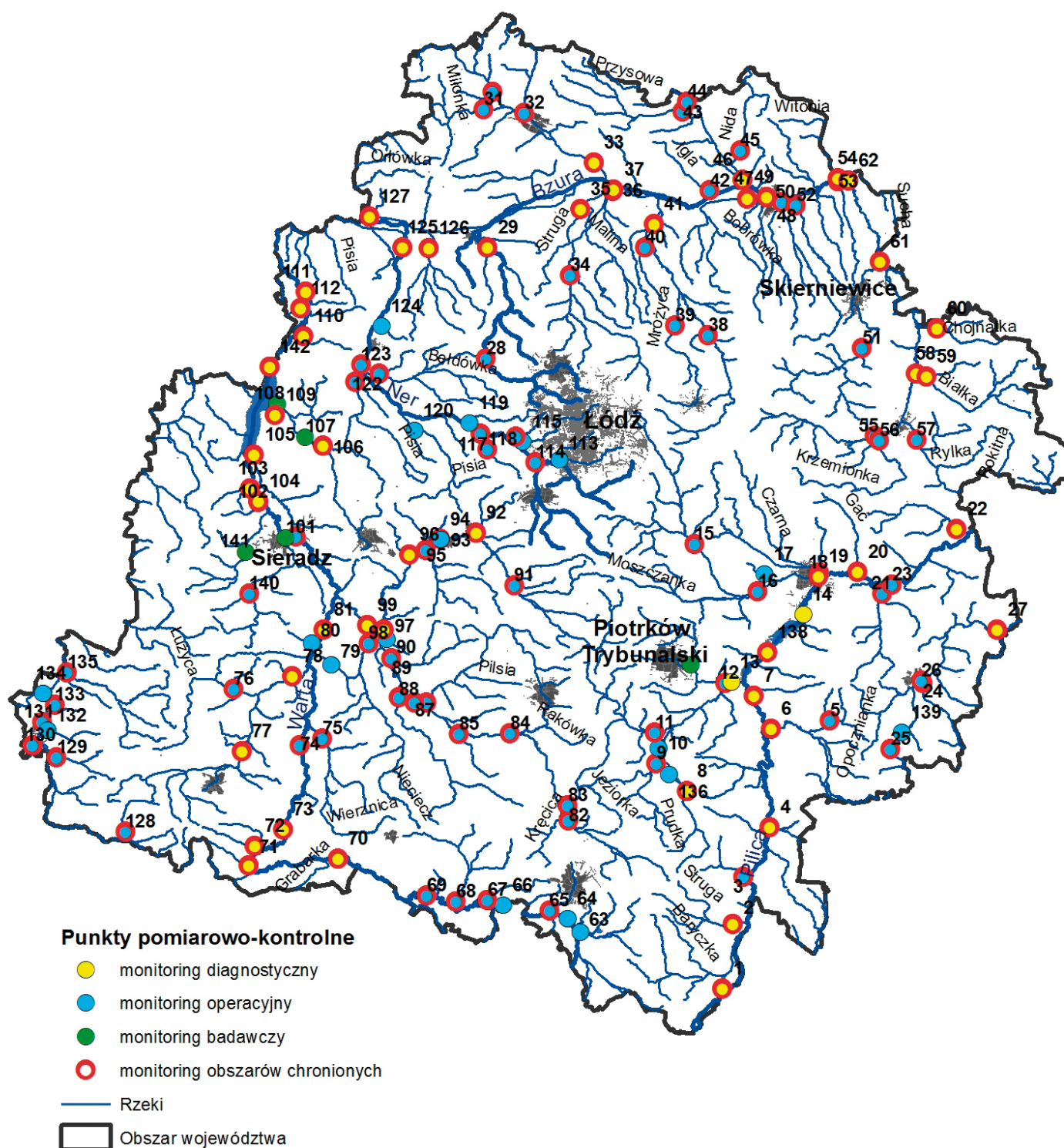
Ocena stanu jednolitych części wód powierzchniowych województwa łódzkiego w 2016 r. obejmuje jcwp, dla których badania prowadzono w roku 2016, ale także te jcwp, dla których uwzględniono dziedziczone wyniki badań z lat ubiegłych z zachowaniem ich ograniczeń czasowych. Prezentowana w rozdziale ocena jest więc oceną stanu jednolitych części wód powierzchniowych, dla których w ramach odpowiednich programów badań monitoringowych zweryfikowane wyniki badań uzyskano w latach 2011-2016. Wyjątek stanowi ocena spełnienia wymagań dodatkowych obszarów chronionych jednolitych części wód powierzchniowych, która obejmuje jcwp badane w latach 2010-2015.

Na podstawie badań prowadzonych na jednolitych częściach wód powierzchniowych w 2016r., a także uwzględniając jcwp, dla których istnieją ważne dane pochodzące z lat poprzednich, w województwie łódzkim informacje o stanie/potencjale ekologicznym i/lub klasie stanu chemicznego uzyskano dla 136 jcwp. Badania prowadzono w ramach monitoringu diagnostycznego, operacyjnego, badawczego i monitoringu obszarów chronionych w 136 reprezentatywnych punktach pomiarowo-kontrolnych oraz w 5 dodatkowych ppk, zlokalizowanych obok punktów reprezentatywnych na danej jcwp (tj. ppk Zb. Bugaj-powyżej zapory na jcwp Strawa, ppk Zb. Próba-powyżej zapory na jcwp Żeglina, ppk Zb. Smardzew-powyżej zapory na jcwp Myja, ppk Pichna Szadkowicka - Ralewice na jcwp Pichna do Urszulinki, ppk Pichna - Lubola na jcwp Pichna od Urszulinki do ujścia). W dodatkowych punktach pomiarowo-kontrolnych prowadzony był monitoring badawczy z zakresem wskaźników odpowiednim dla monitoringu operacyjnego, przy czym wyniki tych badań podlegają klasyfikacji ale nie biorą udziału w ocenie stanu danej jednolitej części wód powierzchniowych. Klasyfikacja taka ma zadanie wspomagające w zebraniu dodatkowych informacji o badanej jcwp. Dla 1 jcwp tj. Pilica od Wolbórki do Drzewiczki w ppk Pilica-Inowłódz prowadzono badania wybranych wskaźników chemicznych tylko na potrzeby MOC. Punkt reprezentatywny dla tej jcwp znajduje się na terenie województwa mazowieckiego i ocenia ją WIOŚ w Warszawie.

Natomiast w samym roku 2016 badania w ramach monitoringu diagnostycznego i/lub operacyjnego realizowano na 74 jednolitych częściach wód powierzchniowych w 78 punktach pomiarowo-kontrolnych. 74 punkty zlokalizowane były na rzekach, a 4 na zbiornikach zaporowych. Badania monitoringowe prowadzono w reprezentatywnych punktach

pomiarowo-kontrolnych oraz dla 4 jcwp, jednocześnie w dodatkowych ppk. W 2016 r. w 7 punktach pomiarowo-kontrolnych prowadzono także badania monitoringowe tylko w ramach monitoringu badawczego. Jednak wyniki badań pochodzące z tego rodzaju monitoringu nie biorą udziału w ogólnej ocenie stanu danej jcwp, dlatego też nie zostały odnotowane w zestawieniu. Monitoring badawczy obejmował wybrane wskaźniki fizykochemiczne i chemiczne, umożliwiające zebranie dodatkowych informacji o wybranych jcwp. Ocena tych jcwp jest oceną dziedziczną z lat ubiegłych.

Na mapie 2.5 i w tabeli 2.4 przedstawiono wykaz punktów pomiarowo-kontrolnych, w których prowadzono badania wód w latach 2011-2016, będące podstawą ich oceny, wraz z opisem odpowiednich programów monitoringowych.



Mapa 2.5 Punkty pomiarowo-kontrolne monitoringu rzek i zbiorników zaporowych w województwie łódzkim

Tabela 2.4 Wykaz punktów pomiarowo-kontrolnych monitoringu wód powierzchniowych w województwie łódzkim

| Nazwa punktu pomiarowo-kontrolnego | | | | | |
|------------------------------------|--------------------------------|----|--|-----|--|
| 1 | Pilica - Maluszyn | 48 | Bzura - Łowicz | 95 | Końska Struga - Zielęcice |
| 2 | Struga - Rudka | 49 | Uchanka - Łowicz | 96 | Tymianka - Bilew |
| 3 | Stuga Strzelecka - Szreniawa | 50 | Zwierzyniec - Łowicz | 97 | Grabia - Zamość |
| 4 | Ojrzanka - Faliszew | 51 | Łupia - Stary Rzędków | 98 | Nieciecz - Widawa |
| 5 | Popławka - Krasik | 52 | Skierniewka - Mysłaków | 99 | Widawka - Podgórze |
| 6 | Czarna Maleniecka - Ostrów | 53 | Dopływ spod Skierniewic - Patoki | 100 | Warta - Sieradz |
| 7 | Pilica - Sulejów | 54 | Bzura - Patoki | 101 | Żeglina - Sieradz |
| 8 | Luciąża - Trzepnica | 55 | Rawka - Boguszyce | 102 | Myja - Biskupice |
| 9 | Prudka - Wilkoszewice | 56 | Krzemionka - Chrusty | 103 | Dopływ z Inczewa - Baszków |
| 10 | Luciąża - Stara Wieś | 57 | Rylka - Byszewice | 104 | Warta - Biskupice |
| 11 | Bogdanówka - Rozprza | 58 | Rawka - Wołucza | 105 | Niniwka - Glinno |
| 12 | Strawa - Przygłów | 59 | Białka - Julianów Raducki | 106 | Pichna Szadkowicka - Ralewice |
| 13 | Luciąża - Przygłów | 60 | Chojnatka - Jeruzal | 107 | Pichna - Skęczno |
| 14 | Pilica - Smardzewice | 61 | Rawka - Budy Grabskie | 108 | Pichna - Pęcniów |
| 15 | Wolbórka - Będków | 62 | Rawka - Kęszycy | 109 | Pichna - Luboła |
| 16 | Moszczanka - Godaszewice | 63 | Mękwa - Stanisławice | 110 | Brodnia - Borzewisko |
| 17 | Dopływ ze Świńska - Łagiewniki | 64 | Warta - Bobry | 111 | Warta - Uniejów |
| 18 | Czarna - Tomaszów Maz. | 65 | Radomka - Dąbrowka | 112 | Siekiernik - Spycimierz |
| 19 | Wolbórka - Tomaszów Maz. | 66 | Dopływ z Wymysłówka - Jankowice | 113 | Jasień - Łódź, ul. Odrzańska |
| 20 | Gać - Spała | 67 | Dopływ spod Radziechowic - Zakrzówek | 114 | Dobrzyńka - Łaskowice |
| 21 | Słomianka - Brzustów | 68 | Pisia - Borowiec | 115 | Łódka - Konstantynów Łódzki, ul. Łaska |
| 22 | Luboczanka - Lubocz | 69 | Warta - Łązek | 116 | Jasieniec - Konstantynów, ul. Łódzka |
| 23 | Pilica - Inowłódz | 70 | Warta - Działoszyn | 117 | Ner - Lutomiersk 2 |
| 24 | Drzewiczka - Opoczno | 71 | Dopływ spod Józefowa - Kępowizna | 118 | Zalewka - Legendzin |
| 25 | Wąglanka - Nadole | 72 | Dopływ z Popowic - Bieniec Mały | 119 | Lubczyzna - Zdziechów Stary |
| 26 | Wąglanka - Opoczno | 73 | Warta - Kamion | 120 | Pisia - Przyrownica |
| 27 | Drzewiczka - Drzewica | 74 | Warta - Osjaków | 121 | Pisia - Nowy Pudłów |
| 28 | Bzura - Karolew | 75 | Wierznica - Kuźnica Strobińska | 122 | Bełdówka - Góra Bałdrzychowska |
| 29 | Bzura - Dzierzbietów | 76 | Oleśnica - Janów | 123 | Ner - Krzyżówki |
| 30 | Ochnia - Grochów | 77 | Pyszna - Stawek | 124 | Dopływ z Tarnowa - Małe |
| 31 | Miłonka - Pomarzany | 78 | Oleśnica - Niechmirów | 125 | Ner - Podłęże |
| 32 | Głogowianka - Kutno | 79 | Dopływ z Zabłocia - Osieczno | 126 | Gnida - Leźnica Mała |
| 33 | Ochnia - Łęki Kościelne | 80 | Dopływ spod Strzałek Sękowskich - Szczawno | 127 | Gnida - Leszno |
| 34 | Moszczenica - Gieczno | 81 | Warta - Burzenin | 128 | Kanał Skomlin-Toplin - Toplin |
| 35 | Struga - Michałówka | 82 | Widawka - Giżyżna | 129 | Dopływ spod Brzezin - Mieleszynek |
| 36 | Malina - Kopcie | 83 | Jeziorka - Pytowice | 130 | Niesób - Kuźnica Skakawska |
| 37 | Moszczenica - Orłów | 84 | Rakówka - Kuźnica Kaszewska | 131 | Proсна - Mirków |
| 38 | Mroga - Janów | 85 | Struga Aleksandrowska - Puszcza | 132 | Brzeźnica - Marianów |
| 39 | Mrożyca - Szczecin | 86 | Pilsia - Dubie | 133 | Struga Zamość - Cieszęcin |
| 40 | Domaradzka Struga - Waliszew | 87 | Widawka - Dubie | 134 | Dopływ z Jutrkowa - Wyszaków |
| 41 | Mroga - Bielawy | 88 | Krasówka - Korablew | 135 | Struga Węglewska - Węglewice |
| 42 | Igła - Wierznowice | 89 | Chrzastawka - Ruda | 136 | Zb. Cieszanowice - Cieszanowice |
| 43 | Słudwia - Kruki | 90 | Dopływ spod Józefowa - Zamość | 137 | Zb. Bugaj - powyżej zapory |
| 44 | Przysowa - Kaczkowizna | 91 | Grabia - Karczmy | 138 | Zb. Sulejów - Zarzęcin |
| 45 | Nida - Wyborów | 92 | Pałusznica - Łask - Kolumna | 139 | Zb. Wąglanka-Miedzna - Miedzna |
| 46 | Słudwia - Niedźwiada | 93 | Grabia - Łask | 140 | Zb. Próba - powyżej zapory |
| 47 | Bobrówka - Otolice | 94 | Pisia - Łask | 141 | Zb. Smardzew - powyżej zapory |
| | | | | 142 | Zb. Jeziorsko - powyżej zapory |



Fot.2.6 Zbiornik Sulejowski (archiwum WIOŚ)

Ocena stanu ekologicznego i potencjału ekologicznego jednolitych części wód powierzchniowych

Ocena życia biologicznego wraz z podstawowymi wskaźnikami fizykochemicznymi stosowana jest do określania czystości wód. W ocenie bierze się pod uwagę naturalność i typ cieku, stosując porównanie z analogicznymi siedliskami referencyjnymi, niezakłóconymi przez człowieka. Stan życia biologicznego i warunki jego rozwoju określa się jako stan ekologiczny dla naturalnych części wód i jako potencjał ekologiczny dla jednolitych części wód silnie zmienionych i sztucznych.

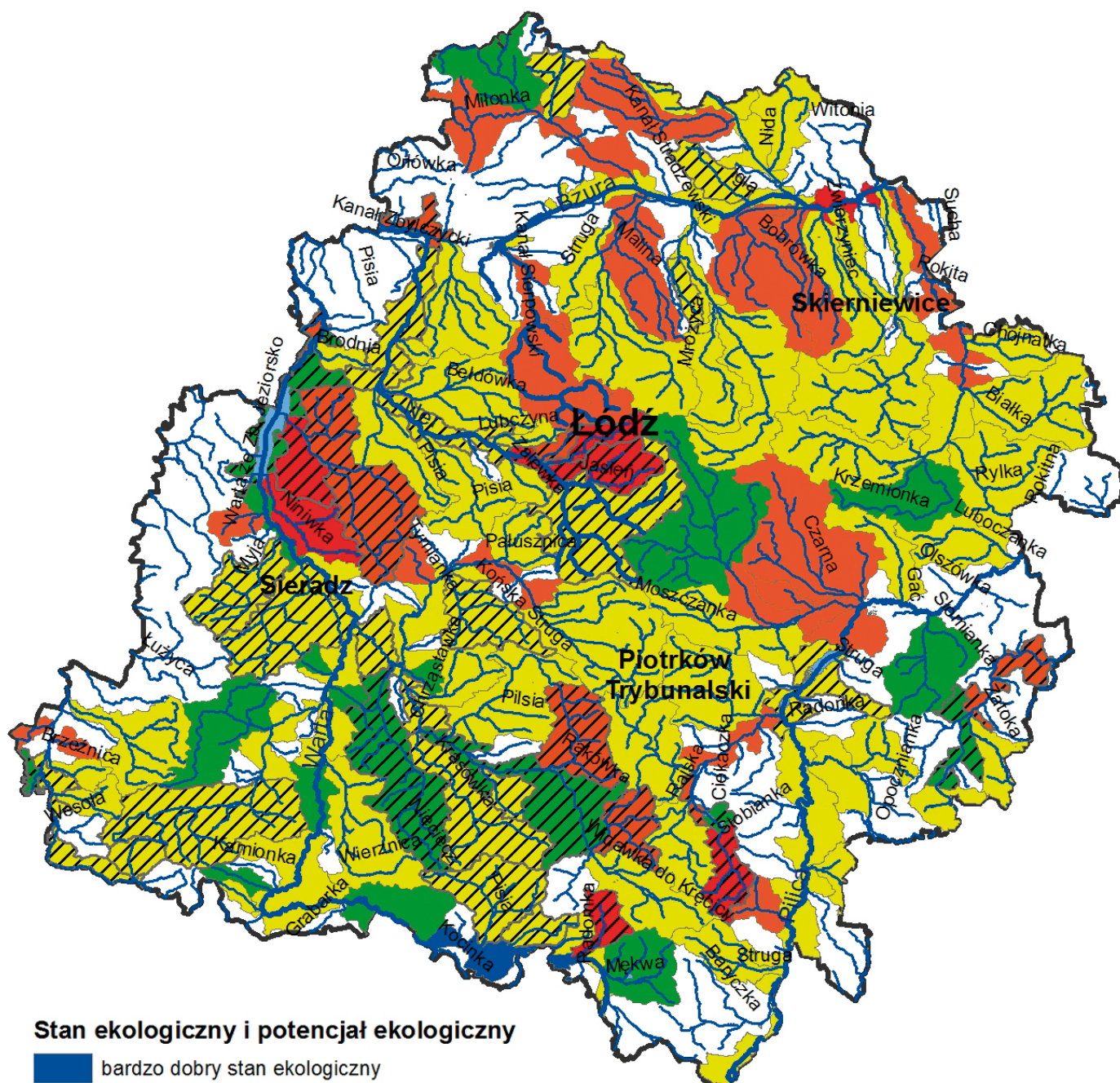
W oparciu o badania monitoringowe realizowane w roku 2016 oraz aktualne badania pochodzące z lat ubiegłych stan ekologiczny i potencjał ekologiczny ustalono dla 136 jednolitych wód powierzchniowych. Badania prowadzono w 136 reprezentatywnych punktach pomiarowo-kontrolnych oraz 5 dodatkowych ppk, zlokalizowanych obok punktów reprezentatywnych na danej jcwp.

Stan ekologiczny na podstawie badań monitoringowych, realizowanych w roku 2016 w punktach reprezentatywnych oraz badań obowiązuujących, prowadzonych w latach poprzednich w ramach monitoringu diagnostycznego i/lub operacyjnego określono dla 96 jcwp. Dla największej liczby, bo dla 58 jednolitych części wód powierzchniowych monitorowanych w 2016 roku, oraz dla których istnieją ważne dane pochodzące z lat poprzednich, stan ekologiczny sklasyfikowano jako umiarkowany. Dla 22 jcwp stan ekologiczny określono jako słaby. W przypadku 13 jcwp stan ekologiczny określono jako dobry. Następnie, dla 2 jcwp stan ekologiczny określono jako zły. Jedna z monitorowanych jcwp została zakwalifikowana do stanu ekologicznego bardzo dobrego.

Ocenę potencjału ekologicznego na podstawie badań monitoringowych realizowanych w roku 2016 w punktach reprezentatywnych oraz badań obowiązuujących prowadzonych w latach ubiegłych w ramach monitoringu diagnostycznego i/lub operacyjnego ustalono dla 40 jcwp. W tym dla 5 jcwp badania realizowano jednocześnie w punkcie reprezentatywnym oraz dodatkowym. Wyniki badań z dodatkowych punktów pomiarowo-kontrolnych podlegają klasyfikacji ale nie biorą udziału w ocenie stanu danej jednolitej części wód powierzchniowych. Dla 18 jednolitych części wód powierzchniowych monitorowanych w 2016 roku, oraz dla których istnieją ważne dane pochodzące z lat poprzednich, potencjał ekologiczny sklasyfikowano jako umiarkowany w reprezentatywnym punkcie pomiarowo-kontrolnym (dla 2 jcwp umiarkowany potencjał ekologiczny ustalono również w dodatkowym punkcie pomiarowo-kontrolnym). W przypadku 8 jcwp potencjał ekologiczny określono jako dobry w reprezentatywnym punkcie pomiarowo-kontrolnym (dla 3 jcwp dobry potencjał ekologiczny sklasyfikowano także w dodatkowym ppk). Następnie, dla 8 jcwp potencjał ekologiczny określono jako słaby. Najmniejsza liczba monitorowanych jcwp została zakwalifikowana do potencjału ekologicznego złego - 6.

Stan ekologiczny i potencjał ekologiczny w jednolitych częściach wód powierzchniowych, dla których badania prowadzone były tylko w 2016 roku, oceniono w 61 jcwp, w tym dla 4 jcwp badania realizowano jednocześnie w punkcie reprezentatywnym oraz dodatkowym. Na podstawie badań prowadzonych na jcwp roku 2016 stan ekologiczny ustalono dla 42 jcwp, z czego dobry stan ekologiczny stwierdzono dla 4 jcwp, umiarkowany - dla 26 jcwp, słaby - dla 10. Zły stan ekologiczny osiągnęły 2 jcwp. W oparciu o badania prowadzone dla jcwp tylko w roku 2016 potencjał ekologiczny określono dla 19 jcwp (przy czym 4 jcwp badano także w dodatkowym punkcie pomiarowo-kontrolnym). Dobry potencjał ekologiczny wskazywały 4 jcwp (w 6 ppk). Dla 2 jcwp stwierdzono słaby potencjał, dla 9 – umiarkowany (w 11 ppk). Zły potencjał ekologiczny ustalono dla 4 jcwp.

Szczegółowe informacje, dotyczące klasyfikacji stanu ekologicznego i potencjału ekologicznego jcwp znajdują się w tabeli 2.2 (stanowiącej załącznik do niniejszego rozdziału) oraz na mapie 2.6.



Stan ekologiczny i potencjał ekologiczny

- bardzo dobry stan ekologiczny
- dobry stan ekologiczny
- umiarkowany stan ekologiczny
- słaby stan ekologiczny
- zły stan ekologiczny
- dobry potencjał ekologiczny
- umiarkowany potencjał ekologiczny
- słaby potencjał ekologiczny
- zły potencjał ekologiczny
- Rzeki
- Obszar województwa

Mapa 2.6 Ocena stanu/potencjału ekologicznego jednolitych części wód powierzchniowych badanych w latach 2011–2016

W układzie dorzeczy klasyfikacja stanu/potencjału jcwp badanych w 2016 r. oraz jcwp, dla których istnieją ważne badania pochodzące z lat ubiegłych, przedstawia się następująco:

| Dorzecze Wisły (liczba jcwp) | Stan/potencjał ekologiczny | Dorzecze Odry (liczba jcwp) |
|---------------------------------|--|--------------------------------|
| 0 | bardzo dobry | 1 |
| 7 | dobry (dobry lub maksymalny dla sztucznych jcwp) | 14 |
| 36 | umiarkowany | 40 |
| 19 | słaby | 11 |
| 2 | zły | 6 |

Stan ekologiczny oraz potencjał ekologiczny w zdecydowanej większości jcwp jest niezadowolający. Poniżej stanu i potencjału ekologicznego dobrego znajduje się blisko 80% przebadanych jednolitych części wód powierzchniowych. Podsumowując ocenę stanu i potencjału ekologicznego, więcej ocen pozytywnych otrzymały wody dorzecza Odry. W dorzeczu Odry trzykrotnie więcej jest, w porównaniu z wodami dorzecza Wisły, jednolitych części wód powierzchniowych ze stwierdzonym złym stanem/potencjałem ekologicznym, odpowiadającym V klasie.

Prawie we wszystkich jednolitych częściach wód, w których stwierdzono stan/potencjał ekologiczny poniżej stanu dobrego, wyniki klasyfikacji elementów biologicznych były niezadowolające. Wśród elementów biologicznych najniekorzystniej oceniane były makrobezkręgowce oraz ichtiofauna. O niskiej ocenie stanu/klasyfikacji decydowały także towarzyszące wskaźnikom biologicznym przekroczenia wskaźników fizykochemicznych. Najczęściej przekraczany parametrami fizykochemicznymi były średnioroczne stężenia substancji biogennych – związków azotu i fosforu oraz parametry, takie jak: biologiczne zapotrzebowanie na tlen, ogólna zawartość węgla organicznego czy odczyn pH. Sporadycznie zdarzały się też przekroczenia zasadowości ogólnej i substancji rozpuszczonych. Wśród substancji szczególnie szkodliwych - specyficznych zanieczyszczeń syntetycznych i niesyntetycznych - odnotowano tylko jedno przekroczenie stężeń średniorocznych dla aldehydu mrówkowego. W pozostałych przypadkach wartości stężeń tych substancji nie wpływały negatywnie na klasyfikację stanu/potencjału ekologicznego.

Ocena stanu chemicznego jednolitych części wód powierzchniowych

Stan chemiczny ocenia się na podstawie klasyfikacji wskaźników chemicznych, charakteryzujących występowanie substancji szczególnie szkodliwych dla środowiska wodnego, w tym substancji priorytetowych w dziedzinie polityki wodnej i innych substancji zanieczyszczających (według KOM 2006/0129 COD). Substancje priorytetowe to substancje szczególnie niebezpieczne dla środowiska wodnego, których eliminacja powinna być priorytetem w polityce ochrony wód (RDW).

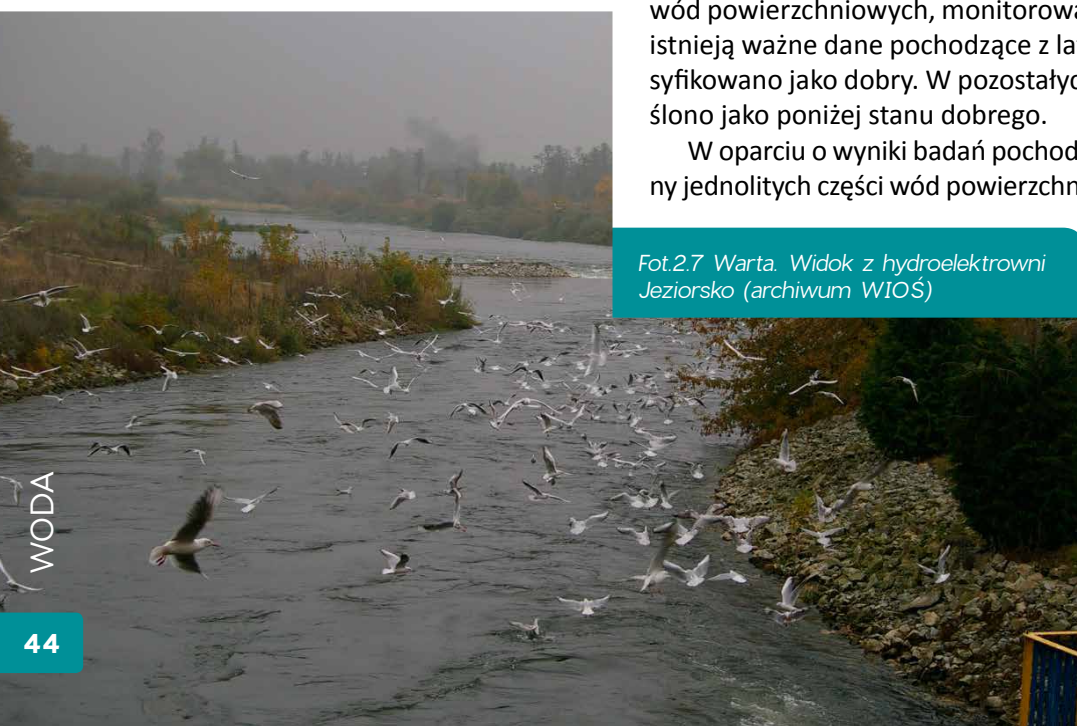
Na podstawie badań monitoringowych, realizowanych w roku 2016 oraz obowiązujących badań pochodzących z lat ubiegłych, stan chemiczny ustalono dla 60 jednolitych części wód powierzchniowych. Badania w ramach monitoringu diagnostycznego i/lub operacyjnego prowadzone były w reprezentatywnych punktach pomiarowo-kontrolnych. Dla 1 jcwp, tj. Pilica od Wolbórki do Drzewiczki w ppk Pilica-Inowódz, prowadzono badania wybranych wskaźników chemicznych tylko na potrzeby MOC. Punkt reprezentatywny dla tej jcwp znajduje się na terenie województwa mazowieckiego i ocenia ją WIOŚ w Warszawie. Dla 23 jednolitych części wód powierzchniowych, monitorowanych w 2016 roku, oraz dla których istnieją ważne dane pochodzące z lat poprzednich, stan chemiczny sklasyfikowano jako dobry. W pozostałych, tj. 38 jcwp, stan chemiczny określono jako poniżej stanu dobrego.

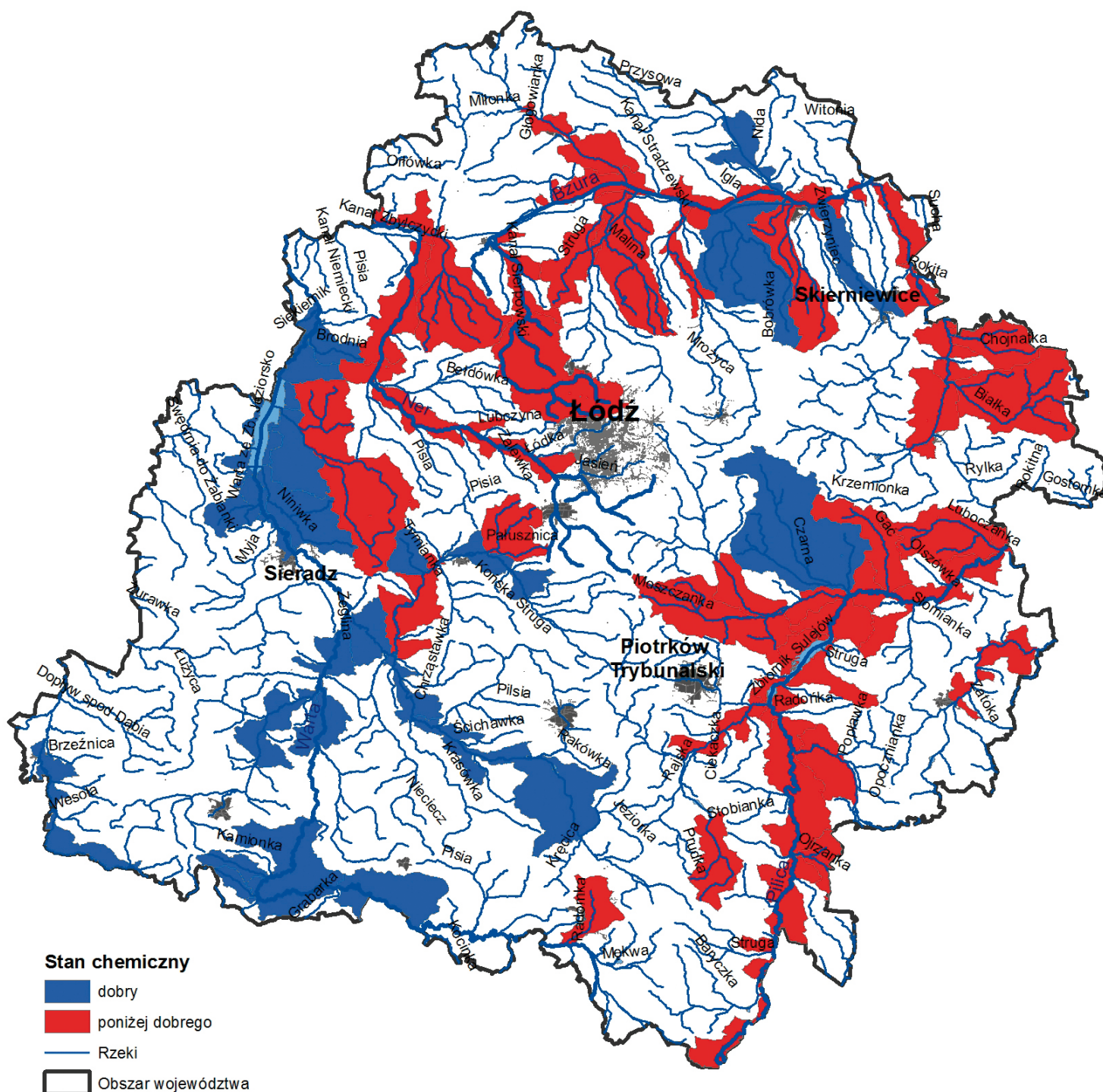
W oparciu o wyniki badań pochodzące tylko z roku 2016 stan chemiczny jednolitych części wód powierzchniowych określono dla 47 jcwp, z czego

dla 10 jcwp ustalono dobry stan chemiczny. Pozostałe jednolite części wód powierzchniowych sklasyfikowano jako poniżej stanu dobrego.

Szczegółowe informacje dotyczące klasyfikacji stanu chemicznego jcwp znajdują się w tabeli 2.2 (stanowiącej załącznik do niniejszego rozdziału) oraz na mapie 2.7.

Fot.2.7 Warta. Widok z hydroelektrowni Jeziorsko (archiwum WIOŚ)





Mapa 2.7 Ocena stanu chemicznego jednolitych części wód powierzchniowych badanych w latach 2011–2016

W układzie dorzeczy klasyfikacja stanu chemicznego jcwp, dla których badania realizowano w roku 2016 oraz dla tych jcwp, które posiadają obowiązujące badania z lat ubiegłych, przedstawia się następująco:

| Dorzecze Wisły (liczba jcwp) | Stan chemiczny | Dorzecze Odry (liczba jcwp) |
|------------------------------|-----------------|-----------------------------|
| 4 | dobry | 19 |
| 29 | poniżej dobrego | 9 |

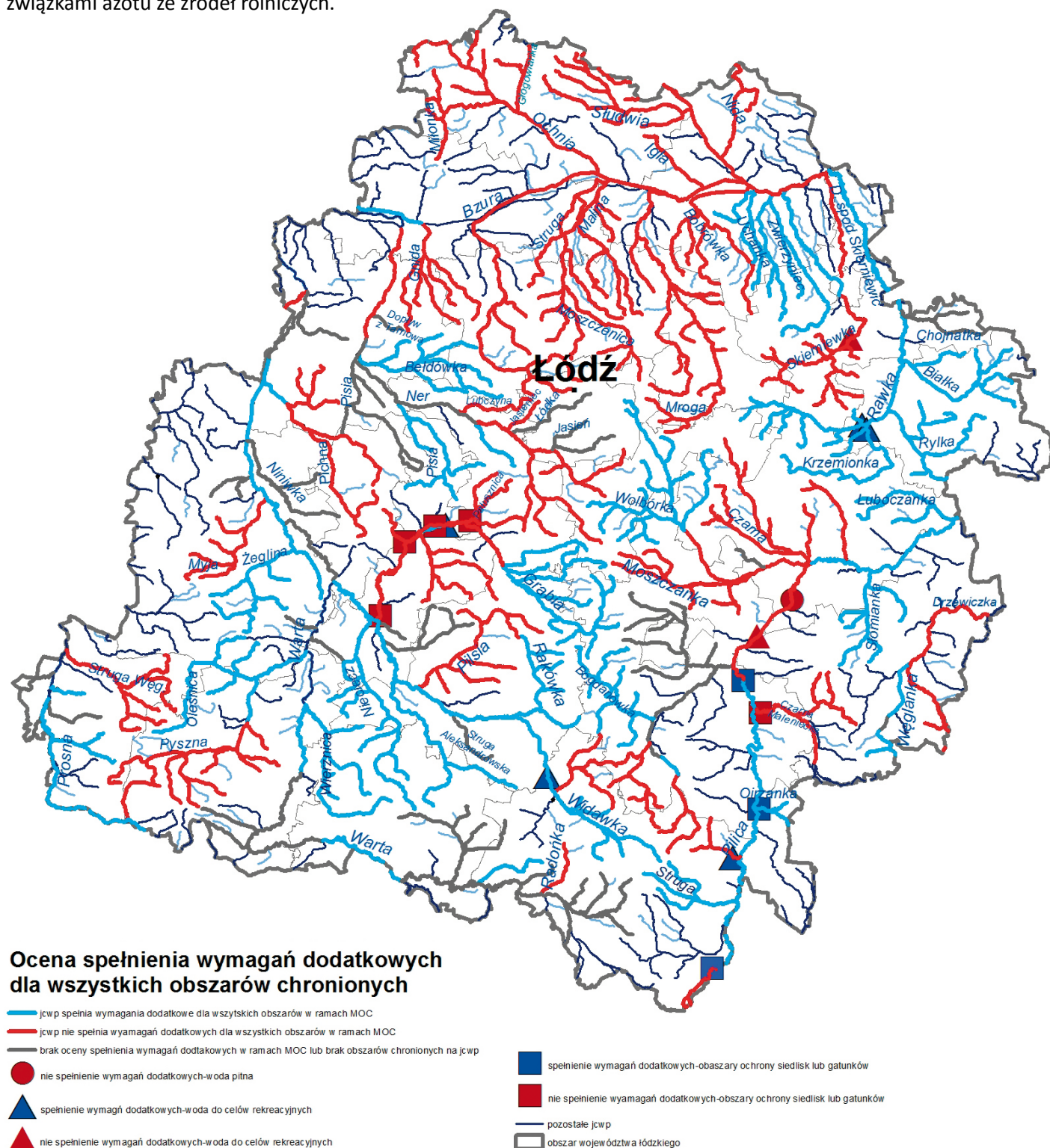
Podsumowując: stan chemiczny poniżej dobrego stwierdzono w ponad połowie badanych pod kątem chemicznym jednolitych części wód powierzchniowych. Zdecydowanie lepiej pod tym względem wypadło dorzecze Odry. Stan dobry stwierdzono tu w blisko 70% badanych jcwp. W dorzeczu Wisły tylko co siódma badana jednolita część wód posiadała dobry stan chemiczny.

Wśród badanych wskaźników najczęstsze przekroczenia zanotowano dla stężenia maksymalnego i średniorocznego benzo(a)pirenu. Jest to bardzo problematyczne zanieczyszczenie ze względu na powszechność występowania i powtarzalność przekroczeń na przestrzeni ostatnich lat. W ostatnich latach stwierdzano również pojedyncze przekroczenia średniorocznych stężeń kadmu i jego związków oraz stężeń maksymalnych i średniorocznych rtęci i jej związków oraz niklu. Spośród substancji priorytetowych badanych w biocie przekroczenia wartości indeksu zanotowano np. dla heptachloru, bromowanych difenyloeterów czy rtęci.

Ocena spełnienia wymagań dodatkowych obszarów chronionych jednolitych części wód powierzchniowych

Ocena spełnienia wymagań dodatkowych obszarów chronionych jcwp wykonana została na podstawie badań monitoringowych, realizowanych w latach 2010-2015 i objęła 113 jednolitych części wód powierzchniowych w 119 punktach pomiarowo-kontrolnych. Monitoring obszarów chronionych (MOC) był prowadzony wraz z monitoringiem operacyjnym. W przypadku wód znajdujących się na więcej niż jednym obszarze chronionym sprawdzano oddzielnie spełnienie wymagań każdego z nich. Ocena MOC stanowi nieodzowny element oceny stanu jednolitych części wód.

Na mapie 2.8 przedstawiono sieć rzeczną na obszarze województwa łódzkiego, prezentującą ocenę spełnienia wymagań dodatkowych i uwzględniającą wszystkie obszary chronione, znajdujące się w obrębie danej jcwp, wraz z podziałem na kategorie obszarów przeznaczonych do poboru wody do spożycia, wód przeznaczonych do celów rekreacyjnych, wód znajdujących się na obszarach ochrony siedlisk lub gatunków oraz wód na obszarach chronionych, wrażliwych na eutrofizację wywołaną zanieczyszczeniami pochodzącymi ze źródeł komunalnych i zanieczyszczeniami związkami azotu ze źródeł rolniczych.



Mapa 2.8 Ocena spełnienia wymagań dodatkowych jednolitych części wód powierzchniowych dla wszystkich obszarów chronionych



Fot.2.8 Drzewiczka (archiwum WIOŚ)

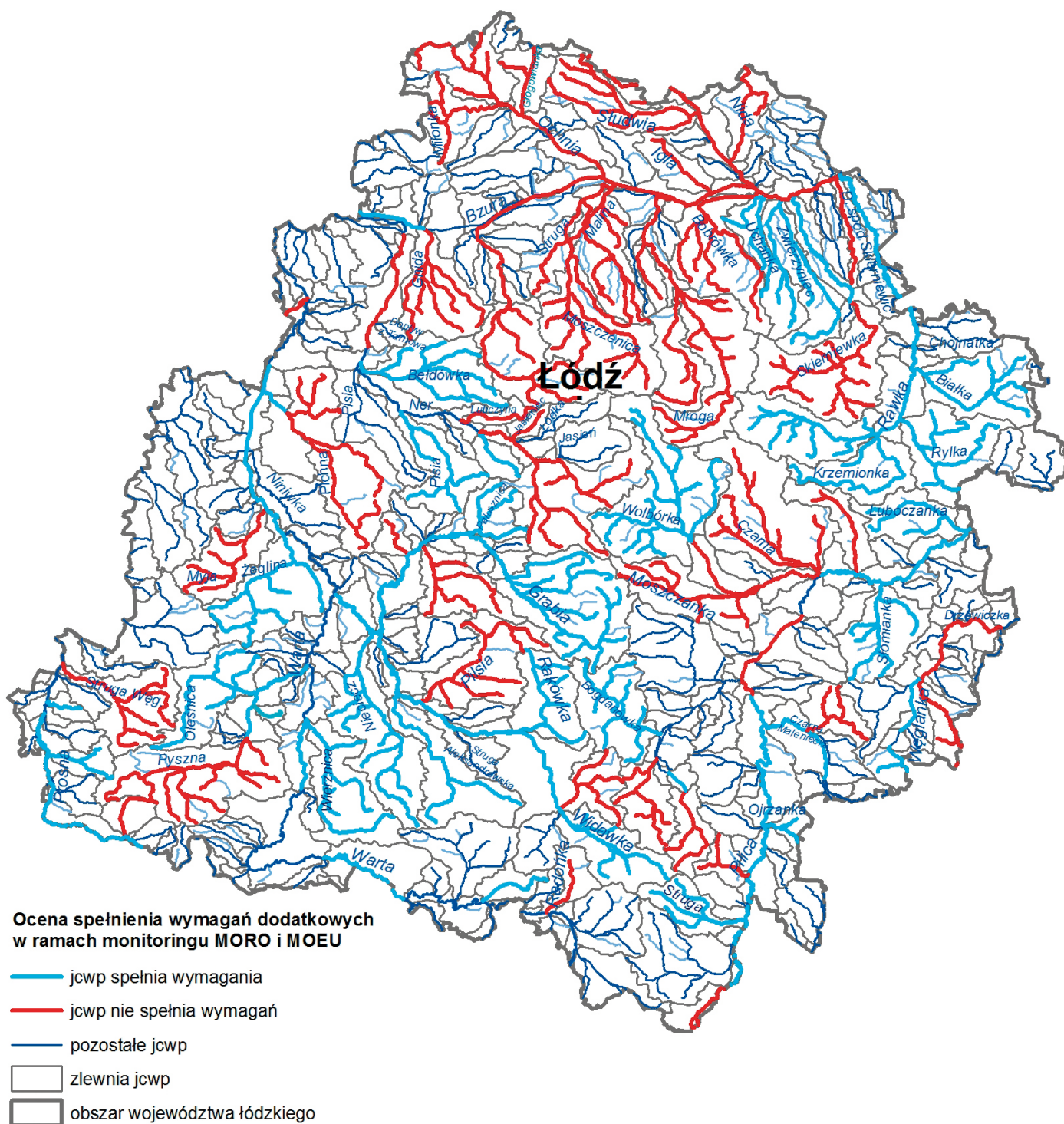
Ostateczna ocena spełnienia wymogów dodatkowych obszarów chronionych jednolitych części wód powierzchniowych, prezentująca jcwp badane w latach 2010-2015, przedstawia się następująco:

- wymagania dodatkowe, uwzględniające wszystkie obszary chronione znajdujące się w obrębie danej jcwp zostały spełnione w 46 jcwp; w pozostałych jcwp wymogi dodatkowe nie zostały spełnione,
- pod kątem spełnienia wymagań dla obszarów chronionych, będących jednolitymi częściami wód, przeznaczonymi do poboru wody na potrzeby zaopatrzenia ludności w wodę przeznaczoną do spożycia prowadzono badania w 1 jcwp i wymagania te nie zostały spełnione,
- spełnienie dodatkowych wymagań obszarów ochrony gatunków, dla których stan wód jest ważnym czynnikiem w ich ochronie, sprawdzono w 8 jcwp, z czego w 3 jcwp wymagania te zostały spełnione,
- spełnienie wymagań dla wód przeznaczonych do celów rekreacyjnych, w tym kąpieliskowych, oceniono dla 7 jcwp, tylko dla 2 jcwp wymagania te nie zostały spełnione,
- spełnienie wymagań obszarów chronionych wrażliwych na eutrofizację wywołaną zanieczyszczeniami pochodzącymi ze źródeł komunalnych badano w 101 jcwp (w 105 ppk), dodatkowe wymagania spełniło 57 spośród nich,
- spełnienie wymagań obszarów chronionych wrażliwych na eutrofizację wywołaną zanieczyszczeniami związkami azotu ze źródeł rolniczych zbadano w 20 jcwp (w 24 ppk), w żadnej nie były one spełnione.

Mapa 2.9 prezentuje sieć jcwp wraz z oceną spełnienia wymagań dodatkowych dla obszarów chronionych wrażliwych na eutrofizację wywołaną zanieczyszczeniami pochodzącymi ze źródeł komunalnych oraz zanieczyszczeniami związkami azotu ze źródeł rolniczych.

Fot.2.9 Ochnia – Łęki Kościelne (archiwum WIOŚ)





Mapa 2.9 Ocena spełnienia wymagań dodatkowych w ramach MORO i MOEU jcwp badanych w województwie łódzkim w latach 2010–2015

Ocena stanu jednolitych części wód powierzchniowych

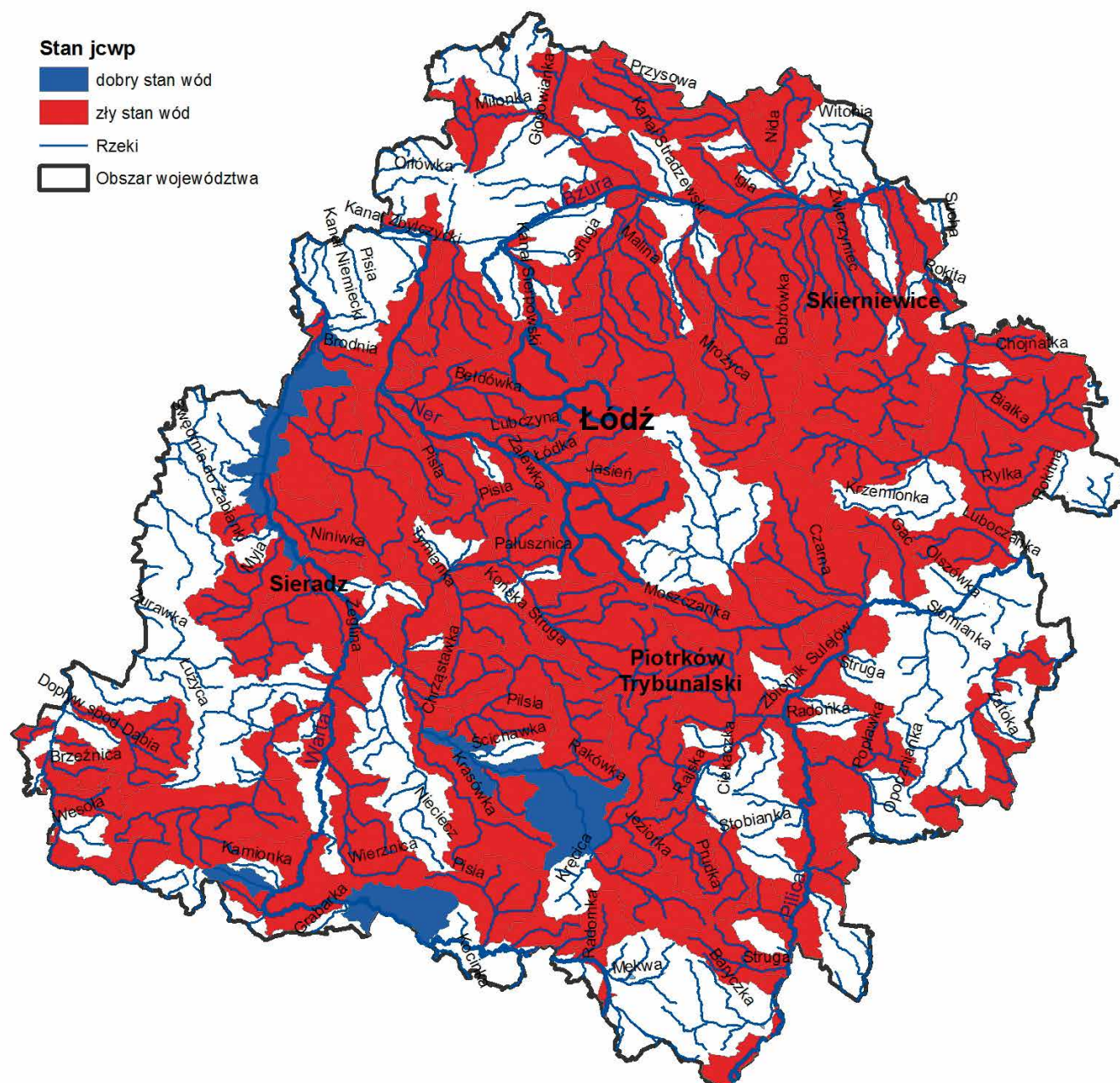
Stan jednolitej części wody określa się dla wód przebadanych zarówno pod względem ekologicznym, jak i chemicznym. Równoważnym elementem oceny stanu jest spełnienie dodatkowych wymogów obszarów chronionych. Ze względu na decydującą rolę elementu o klasyfikacji najniższej nadano stan zły jednolitym częściom wód, w których brakowało oceny stanu/potencjału ekologicznego lub stanu chemicznego, ale pozostałe elementy wskazywały na stan poniżej dobrego.

Na podstawie badań prowadzonych na jednolitych częściach wód powierzchniowych w 2016r., a także uwzględniając jcwp, dla których istnieją ważne dane pochodzące z lat poprzednich, w województwie łódzkim oceniono łącznie 120 jcwp w 124 ppk. Dla 6 jednolitych części wód powierzchniowych, monitorowanych w 2016 roku, oraz dla których istnieją ważne dane pochodzące z lat poprzednich, stan jcwp oceniono jako dobry. Są to: Widawka od Kręcicy do Krasówki, Warta od Liswarty do Grabarki, Dopływ z Popowic, Warta od Żegliny do wpływu do Zbiornika Jeziorsko, Warta ze Zb. Jeziorsko, Warta od Zbiornika Jeziorsko do Siekiernika. Dla 114 jcwp stan oceniono jako zły (w tym dla 2 jcwp ustalono stan zły

jednocześnie w ppk reprezentatywnym i dodatkowym). W przypadku 16 jcwp nie określono oceny końcowej ze względu na brak oceny stanu chemicznego, przy jednoczesnej dobrej lub bardzo dobrej klasie stanu/potencjału ekologicznego. Natomiast dla 1 jcwp nie określono stanu ze względu na brak oceny stanu/potencjału ekologicznego.

W oparciu o wyniki badań, pochodzące tylko z roku 2016, ocenę końcową ustalono dla 66 jednolitych części wód powierzchniowych (w 70 ppk). Tylko w przypadku 1 jcwp stan ogólny sklasyfikowano jako dobry tj. w jcwp Widawka od Kręcicy do Krasówki. Dla pozostałych 65 jednolitych części wód powierzchniowych nadano zły stan ogólny (w tym dla 2 jcwp ustalono stan zły jednocześnie w ppk reprezentatywnym i dodatkowym).

Szczegółowe informacje dotyczące oceny stanu jcwp znajdują się w tabeli 2.2 (stanowiącej załącznik do niniejszego rozdziału) oraz na mapie 2.10.



Mapa 2.10 Ocena stanu jednolitych części wód powierzchniowych badanych w latach 2011–2016

W ujęciu dorzeczy ogólna klasyfikacja stanu wód dla jcwp, dla których badania realizowano w roku 2016, oraz dla tych jcwp, które posiadają obowiązujące badania z lat ubiegłych, przedstawia się następująco

- w dorzeczu Wisły wśród przebadanych 65 jcwp:
 - » w żadnej nie stwierdzono dobrego stanu ogólnego
 - » w 58 jcwp stwierdzono zły stan ogólny
 - » dla 7 jcwp nie udało się określić stanu ogólnego
- w dorzeczu Odry spośród 72 przebadanych jcwp:
 - » dobry stan ogólny osiągnęło 6 jcwp
 - » stan zły określono dla 57 jcwp
 - » dla 9 jcwp nie ustalono stanu ogólnego.

Podobnie jak w poprzednich etapach oceny, dorzecze Odry wypadło lepiej w porównaniu z dorzeczem Wisły. W 6 jednolitych częściach wód powierzchniowych stwierdzono dobry stan ogólny, co stanowi około 11% ocenionych jednolitych części wód dorzecza Odry. 14 jcwp uzyskało maksymalny lub dobry i 1 jcwp bardzo dobry stan/potencjał ekologiczny. Nie mając jednak przeprowadzonej oceny stanu chemicznego, dla 9 jcwp nie można określić stanu ogólnego. Niestety, sytuacja wód w dorzeczu Wisły jest znacznie gorsza, bo w żadnej z ocenionych jcwp nie stwierdzono dobrego stanu ogólnego, a te jcwp, dla których można było ustalić stan ogólny, wszystkie osiągnęły zły stan ogólny. W 7 badanych jcwp stwierdzono dobry stan/potencjał ekologiczny, lecz ze względu na brak oceny chemicznej nie można określić stanu ogólnego.

O złej ocenie jednolitych części wód powierzchniowych w większości wypadków zdecydowała ocena stanu/potencjału ekologicznego. Ze względu na decydującą rolę elementu o klasyfikacji najniższej, zły stan nadano także jednolitym częściom wód, w których brakowało oceny stanu/potencjału ekologicznego lub stanu chemicznego, ale pozostałe elementy wskazywały na stan poniżej dobrego.

Większość badanych jcwp w województwie łódzkim charakteryzuje się złym stanem wód. Najgorsza sytuacja występuje w dorzeczu Wisły, gdzie nie stwierdzono dobrego stanu jcwp w żadnej z badanych jednolitych części wód. W dorzeczu Odry sytuacja jest trochę lepsza, ponieważ 6 jednolitych części wód powierzchniowych uzyskało stan dobry. O złym stanie wód badanych jcwp w dużej mierze zdecydowała ocena elementów biologicznych. Reakcja organizmów żywych w sposób kompleksowy oddaje wpływ wszystkich oddziałujących na jcwp zakłóceń i interakcji. Niekorzystne warunki tlenowe oraz występowanie dużych stężeń substancji biogennych powodują eutrofizację, negatywnie oddziałując na organizmy żywe i skutkując obniżeniem oceny stanu/potencjału ekologicznego. Ocena chemiczna potwierdziła zły stan wód badanych jcwp.

W województwie łódzkim przeważa presja komunalna i rolnicza, ale w ośrodkach przemysłowych wyraźnie zaznacza się również presja zakładów produkcyjnych, związana ze zrzutem ścieków i poborem wody. Analizując przyczyny złego stanu jcwp, należy podejść do każdej jednolitej części wód indywidualnie i rozpatrywać specyficzny dla niej rozkład presji i zdolności samooczyszczania wód.

Opracowały: **Monika Zawadzka, Małgorzata Krzywańska, Anna Szafrńska**

Fot.2.10 Warta – Burzenin (archiwum WIOŚ)



WODY PODZIEMNE

Monitoring wód podziemnych w Polsce działa w ramach Państwowego Monitoringu Środowiska utworzonego zgodnie z ustawą z dnia 20 lipca 1991 r. o Państwowej Inspekcji Ochrony Środowiska (Dz.U. 1991 nr 77 poz. 335). Obejmuje sieci: krajową, regionalne (wojewódzkie i międzywojewódzkie) oraz lokalne. Wieloletnie obserwacje i pomiary w ramach monitoringu, służą utrzymaniu lub osiągnięciu dobrego stanu wód podziemnych oraz optymalizacji ich wykorzystania. W celu identyfikacji zanieczyszczeń, śledzenia zmian wieloletnich oraz dostarczania informacji do zaplanowania przyszłych programów, przeprowadzane są badania w ramach monitoringu diagnostycznego o szerokim spektrum wskaźników.

Przedmiotem badań w województwie łódzkim są wody podziemne pochodzące z wybranych ujęć na terenie jednolitych części wód podziemnych (JCWPd). Zgodnie z aktualnym opracowaniem PIG-PIB, uwzględniającym ryzyko niespełnienia celów środowiskowych, obszar Polski podzielono na 172 JCWPd.

Większość zanieczyszczeń wód podziemnych pochodzi ze źródeł antropogenicznych, a ich występowanie wynika ze sposobu zagospodarowania terenu. Źródła te dzielimy na: punktowe (np. ścieki odprowadzane z kanalizacji przemysłowych i komunalnych, nieszczelne zbiorniki podziemne, niezabezpieczone lub źle zabezpieczone otwory studziennie), obszarowe (np. odpływy przemysłowe z terenów pozbawionych systemów kanalizacyjnych, odpływy z obszarów objętych powodzią, z obszarów zurbanizowanych, z terenów rolniczych i leśnych, odpływy ze składowisk komunalnych) oraz liniowe (np. odpływy zanieczyszczone na skutek zimowego utrzymania dróg oraz awarie podziemnych sieci przesyłowych).

Szczególnym zagrożeniem dla jakości wód podziemnych są azotany pochodzenia rolniczego. W celu stopniowego zmniejszania zanieczyszczenia azotanami oraz zapobiegania jego postępowi, utworzono Obszary Szczęólnego Narażenia OSN (zgodnie z Dyrektywą 91/676/EWG z dnia 12 grudnia 1991 r. dotyczącą ochrony wód przed zanieczyszczeniami powodowanymi przez azotany pochodzenia rolniczego). W województwie łódzkim wyznaczono: OSN w zlewni rzeki Bzura oraz OSN w zlewni rzeki Skrwa Lewa, zarządzane przez RZGW w Warszawie.

Efektywne gospodarowanie zasobami naturalnymi dodatkowo zagrożone jest przez obniżanie zwierciadła wód podziemnych. Proces ten postępuje m.in. na skutek intensywnej eksploatacji złoża, co może doprowadzić do zmniejszenia jego dostępności oraz zwiększenia kosztów wydobycia. Ponadto wszelkie wahania poziomu zwierciadła wód podziemnych wpływają bezpośrednio na trwałość i różnorodność powiązanych z wodami ekosystemów.

Stan wód podziemnych

Zgodnie z danymi podanymi przez Państwowy Instytut Geologiczny - Państwowy Instytut Badawczy, zasoby eksploatacyjne zwykłych wód podziemnych w Polsce w 2016 roku wzrosły w porównaniu do roku 2015 o 1 780,85 m³/h. W województwie łódzkim ich stan na dzień 31.12.2016 r. wynosił 172 893,77 m³/h, w tym:

- wody poziomu czwartorzędowego – 67 693,88 m³/h;
- wody poziomu trzeciorzędowego – 9 481,10 m³/h;
- wody poziomu kredowego – 62 921,58 m³/h;
- wody poziomów starszych – 32 797,21 m³/h.

Dla województwa łódzkiego największe znaczenie mają wody podziemne piętra jurajskiego występujące w piaskowcach, wapieniach i marglach (mezozoik), piętra kredowego związane z wodonośnymi piaskami i piaskowcami (mezozoik) oraz wody piętra trzeciorzędowego i czwartorzędowego (kenozoik).

Stan chemiczny wód podziemnych w poszczególnych punktach badawczych w JCWPd w 2016 roku, określono na podstawie klasyfikacji elementów fizykochemicznych stanu wód podziemnych zgodnie z Rozporządzeniem Ministra Środowiska z dnia 21 grudnia 2015 r. w sprawie kryteriów i sposobu oceny stanu jednolitych części wód podziemnych (Dz.U. 2016 poz. 85). Aktualny podział obejmuje pięć klas jakości wód.

Tabela 2.5. Uproszczona tabela stratygraficzna (kenozoik i mezozoik)

| era | okres | | epoka | |
|----------|----------------|-------------|-------------|---------------|
| kenozoik | czwartorzęd Q | | holocen | |
| | | | neo PL | plejstocen QP |
| | | | mezo PL | |
| | | | eo PL | |
| | trzeciorzęd Tr | neogen Ng | pliocen | |
| | | | miocen | |
| | | paleogen Pg | oligocen | |
| | | | eocen | |
| | | | paleocen | |
| mezozoik | kreda Cr (K) | | górna Cr3 | |
| | | | dolna Cr1 | |
| | jura J | | górna J3 | |
| | | | środkowa J2 | |
| | | | dolna J1 | |
| | trias Tr | | górna J3 | |
| | | | środkowa J2 | |
| | | | dolna J1 | |

Tabela 2.6 Klasy jakości wód podziemnych wydzielone na podstawie klasyfikacji elementów fizykochemicznych stanu wód podziemnych

| klasa jakości wód podziemnych | opis klasy | |
|-------------------------------|-------------------------------|---|
| I | wody bardzo dobrej jakości | wartości elementów fizykochemicznych są kształtowane w wodach podziemnych i mieszczą się w zakresie tła hydrogeochemicznego; wartości elementów fizykochemicznych nie wskazują na wpływ działalności człowieka |
| II | wody dobrej jakości | wartości niektórych elementów fizykochemicznych są podwyższone w wyniku naturalnych procesów zachodzących w wodach podziemnych; wartości elementów fizykochemicznych nie wskazują na wpływ działalności człowieka albo jest to wpływ bardzo słaby |
| III | wody zadowalającej jakości | wartości elementów fizykochemicznych są podwyższone w wyniku naturalnych procesów zachodzących w wodach podziemnych lub słabego wpływu działalności człowieka |
| IV | wody niezadowalającej jakości | wartości elementów fizykochemicznych są podwyższone w wyniku naturalnych procesów zachodzących w wodach podziemnych oraz wyraźnego wpływu działalności człowieka |
| V | wody złej jakości | wartości elementów fizykochemicznych potwierdzają znaczący wpływ działalności człowieka |

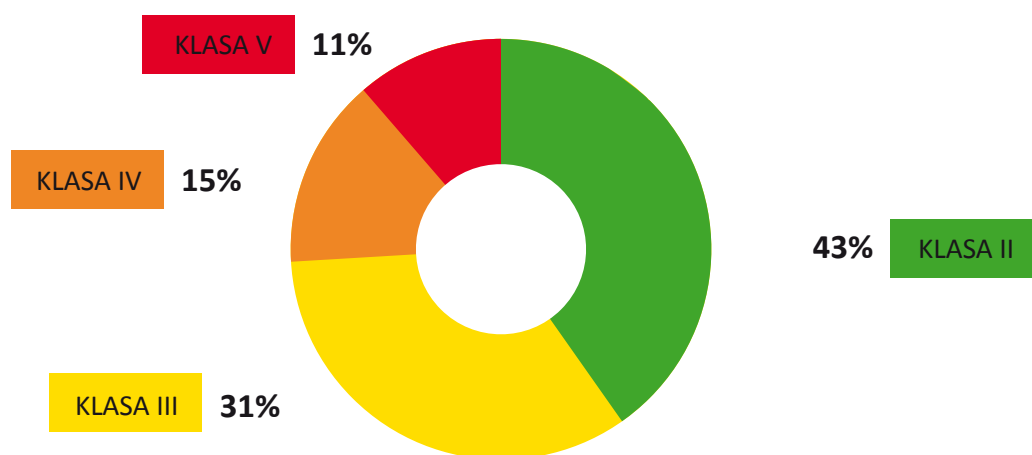
Wyróżnia się również dwa stany chemiczne wód oceniane na podstawie średniej wartości poszczególnych wskaźników ze wszystkich punktów zlokalizowanych w analizowanej JCWPd:

- » stan dobry (klasy I, II i III),
- » stan słaby (klasy IV i V)

Monitoring krajowy

Badania wód podziemnych w ramach monitoringu krajowego, realizowane są na zlecenie GIOŚ przez Państwowy Instytut Geologiczny – Państwowy Instytut Badawczy (PIG-PIB), w ramach pełnienia zadań państwowej służby hydrogeologicznej. W 2016 r. na terenie województwa łódzkiego wykonano badania wód podziemnych w 54 punktach pomiarowych należących do sieci krajowej. Dla 11 punktów, poza wskaźnikami fizyczno-chemicznymi, dodatkowo oznaczono wskaźniki organiczne. We wszystkich odnotowano występowanie I klasy jakości wód podziemnych.

Biorąc pod uwagę końcową klasę jakości uwzględniającą wskaźniki fizyczno-chemiczne i organiczne wód podziemnych, w żadnej z badanych studni nie odnotowano występowania I klasy. Klasa II występowała w 23 ujęciach (43% ogółu badanych punktów), a III klasa w 17 (31%). Wodę o niezadowalającej i złej jakości (IV i V klasa) stwierdzono w 14 punktach pomiarowych (26%).



Rys. 2.10 Procentowy udział poszczególnych klas jakości wód podziemnych w 2016 r. w województwie łódzkim (krajowa sieć monitoringu)

W 20 ujęciach wód podziemnych występowało zwierciadło swobodne, z czego w 15 punktach badane próby charakteryzowały się II i III końcową klasą jakości.

Tabela 2.7 Klasyfikacja wód podziemnych w punktach pomiarowych sieci krajowej monitoringu zwykłych wód podziemnych w 2016 roku.

| Lp | Nr punktu | Powiat | Gmina | Miejscowość | Zwierciadło wody | Stratygrafia | Klasa jakości – wskaźniki fizyczno-chemiczne | Klasa jakości – wskaźniki organiczne | Końcowa klasa jakości |
|----|-----------|-----------------|---------------------|-------------------|------------------|--------------|--|--------------------------------------|-----------------------|
| 1 | 2304 | tomaszowski | Tomaszów Mazowiecki | Cieblówice Duże | S | J3+Q | II | I | II |
| 2 | 2345 | piotrkowski | Sulejów | Sulejów | S | Q | II | I | II |
| 3 | 1124 | łódź | Łódź | Łódź | N | K1 | II | | II |
| 4 | 1400 | opoczyński | Poświętne | Studzianna | N | J2 | II | | II |
| 5 | 811 | pajęczański | Kiełczygłów | Chorzew | N | Q | II | | II |
| 6 | 1067 | tomaszowski | Lubochnia | Lubochenek | S | Q | II | | II |
| 7 | 2030 | piotrkowski | Wolbórz | Bogusławice | N | K2 | II | | II |
| 8 | 181 | łęczycki | Witonia | Michały | N | J3 | III | | II |
| 9 | 1118 | brzeziński | Dmosin | Grodzisk | S | K+Q | III | | II |
| 10 | 1346 | skierniewicki | Nowy Kawęczyn | Nowy Kawęczyn | N | NgPI | III | | II |
| 11 | 1845 | skierniewicki | Skierniewice | Sierakowice Prawe | N | NgM | III | | II |
| 12 | 1955 | rawski | Biała Rawska | Stara Wieś | N | Q | III | | II |
| 13 | 2206 | łódzki wschodni | Koluszki | Rewica | S | Q | III | | II |
| 14 | 1931 | łódź | Łódź | Łódź | N | Q | III | | II |
| 15 | 458 | wieruszowski | Wieruszów | Wieruszów | N | Pg+Ng | III | | II |
| 16 | 1658 | wieluński | Wieluń | Wieluń | N | J2 | III | | II |
| 17 | 810 | łaski | Łask | Łopatki | N | Q | III | | II |
| 18 | 1188 | bełchatowski | Szczerców | Szczerców | N | Q | III | | II |
| 19 | 247 | tomaszowski | Lubochnia | Lubochenek | N | J3 | III | | II |
| 20 | 248 | tomaszowski | Lubochnia | Lubochenek | S | Q | III | | II |
| 21 | 285 | piotrkowski | Sulejów | Włodzimierzów | N | Q | III | | II |
| 22 | 2334 | radomszczański | Masłowice | Przeręb | S | K+Q | III | | II |
| 23 | 1843 | opoczyński | Opoczno | Opoczno | S | Q | III | | II |
| 24 | 1696 | łaski | Łask | Wrzeszczewice | S | Q | III | I | III |
| 25 | 154 | tomaszowski | Rzeczyca | Lubocz | S | J3 | III | I | III |
| 26 | 1719 | sieradzki | Brzeźnio | Wola Brzeźniowska | S | Q | III | I | III |
| 27 | 1591 | bełchatowski | Szczerców | Marcelów | N | Q | III | I | III |
| 28 | 179 | łęczycki | Witonia | Michały | N | NgM | III | | III |
| 29 | 967 | rawski | Rawa Mazowiecka | Rawa Mazowiecka | N | J3 | III | | III |
| 30 | 969 | radomszczański | Kamieńsk | Kamieńsk | S | K2 | III | | III |
| 31 | 1628 | łaski | Sędziejowice | Grabia | N | Q | III | | III |
| 32 | 1958 | radomszczański | Radomsko | Jadwinówka | S | Q | III | | III |
| 33 | 1370 | radomszczański | Żytno | Maluszyn | S | K | III | | III |
| 34 | 54 | łowicki | Łowicz | Łowicz | N | Q | IV | I | III |
| 35 | 55 | łowicki | Łowicz | Łowicz | N | Pg+Ng | IV | | III |
| 36 | 798 | pabianicki | Konstantynów Łódzki | Konstantynów | S | Q | IV | | III |
| 37 | 418 | opoczyński | Białaczków | Sędów | N | J1 | IV | | III |
| 38 | 419 | opoczyński | Białaczków | Sędów | N | J1 | IV | | III |
| 39 | 420 | opoczyński | Białaczków | Sędów | N | J2 | IV | | III |
| 40 | 1511 | opoczyński | Białaczków | Sędów | N | Q | IV | | III |
| 41 | 1627 | bełchatowski | Rusiec | Dąbrowa Rusiecka | N | Q | IV | I | IV |
| 42 | 1399 | piotrkowski | Ręčno | Nowinki | S | Q | IV | I | IV |
| 43 | 1913 | pajęczański | Nowa Brzeźnica | Dubidze | N | Q | IV | I | IV |
| 44 | 182 | łęczycki | Witonia | Michały | N | Q | IV | | IV |
| 45 | 809 | wieluński | Wieluń | Masłowice | S | J | IV | | IV |
| 46 | 1592 | bełchatowski | Szczerców | Marcelów | S | Q | IV | | IV |
| 47 | 1844 | skierniewicki | Skierniewice | Sierakowice Prawe | N | Q | V | | IV |
| 48 | 1155 | wieluński | Biała | Kopydłów | N | Q | V | | IV |
| 49 | 1349 | pajęczański | Działoszyn | Działoszyn | N | Q | V | I | V |
| 50 | 1695 | poddębicki | Pęczniew | Brzeg | S | Q | V | I | V |
| 51 | 180 | łęczycki | Witonia | Michały | N | J3 | V | | V |
| 52 | 1023 | kutnowski | Bedlno | Załusín | N | J3 | V | | V |
| 53 | 2099 | poddębicki | Uniejów | Spycimierz | N | Q | V | | V |
| 54 | 2319 | piotrkowski | Rozprza | Kisiele | S | Q | V | | V |

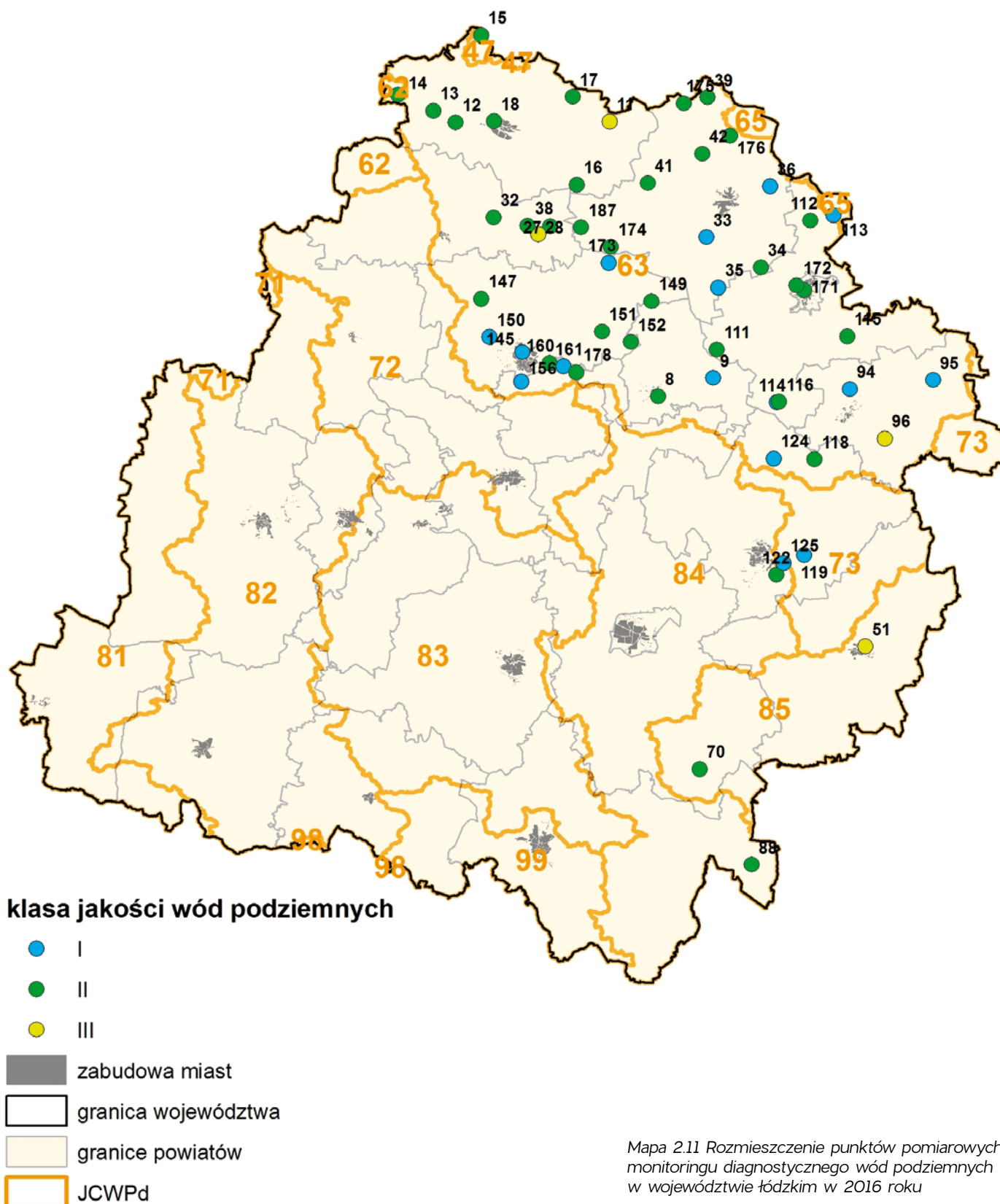
S – zwierciadło swobodne

N – zwierciadło napięte

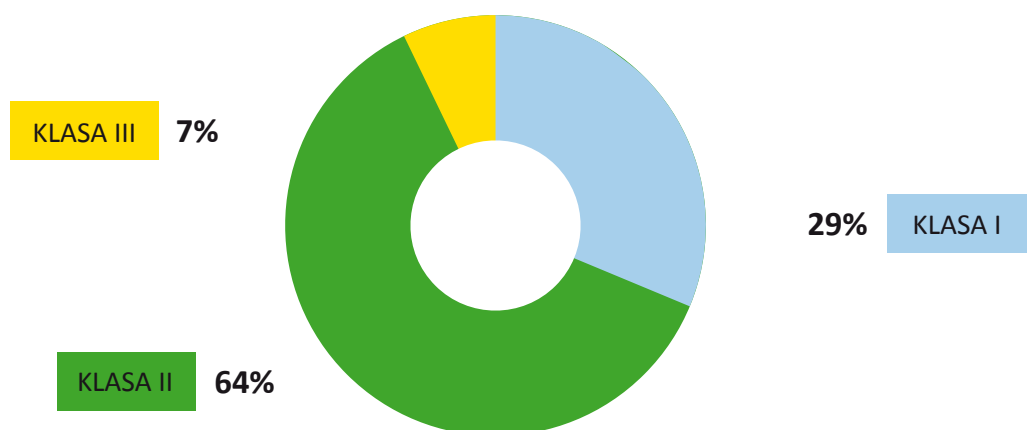
Monitoring regionalny

Badania wód podziemnych województwa łódzkiego w ramach monitoringu regionalnego, realizowane są przez Wojewódzki Inspektorat Ochrony Środowiska w Łodzi oraz jego delegatury w Sieradzu, Piotrkowie Trybunalskim i Skierniewicach. W 2016 roku w ramach monitoringu diagnostycznego, na terenie województwa wykonano badania wód podziemnych w 55 punktach pomiarowych. Spośród punktów wytypowanych do badania, 48 punktów reprezentowało poziomy wodonośny o zwierciadle napiętym, a 7 charakteryzowało się zwierciadłem swobodnym. W jednym punkcie badaniu podlegały wody gruntowe (o swobodnym zwierciadle). Pozostałe badania dotyczyły wód wgłębnnych.

Badaniami objęto wody z różnych poziomów wodonośnych (czwartorzędowe, trzeciorzędowe, jurajskie, kredowe) na obszarze 7 JCWPd (nr 47, 62, 63, 65, 73, 84, 85). Większość punktów badawczych (46) znajdowało się w JCWPd nr 63, która w 80,45% zagospodarowana jest rolniczo i znajduje się na granicy województw: łódzkiego, mazowieckiego i wielkopolskiego.



Wyniki oznaczeń laboratoryjnych poddano analizie i wyznaczono klasy jakości wód podziemnych w punktach pomiarowych. Odnotowano występowanie I klasy jakości wód podziemnych w 16 ujęciach (29% ogółu badanych punktów), II klasy w 35 punktach (64%), a III klasy w 4 (7%).



Rys. 2.11 Procentowy udział poszczególnych klas jakości wód podziemnych w 2016 r. w województwie łódzkim (regionalna sieć monitoringu)

W żadnym z ujęć wód podziemnych nie stwierdzono występowania niezadowolającej i złej jakości (IV i V klasa). W jedynym z punktów pomiarowych wód o zwierciadle swobodnym, obejmującym dodatkowo wody gruntowe (punkt pomiarowy nr 125), stwierdzono występowanie I klasy jakości, choć ze względu na swoją specyfikę, wody podziemne w tym punkcie są w większym stopniu narażone za zanieczyszczenia.

Tabela 2.8. Klasyfikacja wód podziemnych w punktach pomiarowych sieci regionalnej monitoringu zwykłych wód podziemnych w 2016 roku.

| Lp | Nr pp | Powiat | Miejscowość | Rodzaj punktu | Stratygrafia | JCWPd | Zwierciadło wody | Klasa jakości |
|----|-------|---------------|--------------------------|---------------|--------------|-------|------------------|---------------|
| 1 | 9 | brzeziński | Rogów | W | J | 63 | N | I |
| 2 | 33 | łowicki | Jamno | W | Q | 63 | S | I |
| 3 | 35 | łowicki | Łyszkowice Kolonia | W | Tr | 63 | N | I |
| 4 | 36 | łowicki | Kompina | W | Q | 63 | N | I |
| 5 | 156 | m. Łódź | Łódź (ul. Traktorowa) | W | Cr2 | 63 | N | I |
| 6 | 161 | m. Łódź | Łódź (ul. Żółtowiowa 12) | W | Q | 63 | S | I |
| 7 | 94 | rawski | Zagórze (Kaleń) | W | Q | 63 | N | I |
| 8 | 95 | rawski | Biała Rawska | W | Q | 63 | N | I |
| 9 | 113 | skierniewicki | Wola Szydłowiecka | W | Q | 65 | N | I |
| 10 | 114 | skierniewicki | Głuchów | W | Q | 63 | N | I |
| 11 | 119 | tomaszowski | Spała | W | J3 | 73 | N | I |
| 12 | 124 | tomaszowski | Bukowiec Nowy | G | Q | 63 | S | I |
| 13 | 125 | tomaszowski | Tomaszów Mazowiecki | W | J3 | 73 | N | I |
| 14 | 145 | zgierski | Zgierz | W | Cr2 | 63 | N | I |
| 15 | 150 | zgierski | Grotniki | W | Cr2 | 63 | N | I |
| 16 | 173 | zgierski | Popów | W | Q | 63 | N | I |
| 17 | 8 | brzeziński | Brzeziny | W | J | 63 | N | II |
| 18 | 12 | kutnowski | Nowe | W | Tr | 63 | N | II |
| 19 | 13 | kutnowski | Krośniewice | W | Q/Tr | 63 | N | II |

| | | | | | | | | |
|----|-----|-----------------|-----------------------------|---|-------|----|---|-----|
| 20 | 14 | kutnowski | Baby Nowe | W | Q | 62 | N | II |
| 21 | 15 | kutnowski | Pomarzany (Anielin) | W | Q | 47 | N | II |
| 22 | 16 | kutnowski | Orłów | W | Tr | 63 | N | II |
| 23 | 17 | kutnowski | Kurów | W | Tr | 63 | N | II |
| 24 | 18 | kutnowski | Kutno | W | J3 | 63 | S | II |
| 25 | 27 | łęczycki | Piątek | W | Tr | 63 | N | II |
| 26 | 32 | łęczycki | Zagaj | W | J3 | 63 | N | II |
| 27 | 34 | łowicki | Stachlew | W | Q | 63 | N | II |
| 28 | 38 | łowicki | Traby | W | J3 | 63 | N | II |
| 29 | 39 | łowicki | Chruście | W | Q | 63 | N | II |
| 30 | 41 | łowicki | Bogoria Górna | W | Q | 63 | N | II |
| 31 | 42 | łowicki | Wyborów | W | Tr | 63 | N | II |
| 32 | 174 | łowicki | Waliszew Stary | W | Q | 63 | N | II |
| 33 | 175 | łowicki | Wola Stębowska | W | Q | 63 | N | II |
| 34 | 176 | łowicki | Skowroda Południowa | W | Q | 63 | N | II |
| 35 | 187 | łowicki | Oszkowice | W | Tr | 63 | N | II |
| 36 | 178 | Łódź | Łódź (ul. Strykowska 195) | W | Q | 63 | S | II |
| 37 | 160 | m. Łódź | Łódź (ul. Gotycka 13) | W | Q | 63 | N | II |
| 38 | 171 | m. Skierniewice | Skierniewice (park miejski) | W | Q | 63 | N | II |
| 39 | 172 | m. Skierniewice | Skierniewice (ul. Łączna) | W | Cr1 | 63 | N | II |
| 40 | 70 | piotrkowski | Ręczno | W | J3 | 85 | N | II |
| 41 | 88 | radomskiego | Góry Mokre | W | J3 | 84 | N | II |
| 42 | 111 | skierniewicki | Winna Góra (Krosnowa) | W | Q | 63 | S | II |
| 43 | 112 | skierniewicki | Bolimów | W | Cr/J3 | 63 | N | II |
| 44 | 115 | skierniewicki | Nowy Kawęczyn | W | Tr | 63 | N | II |
| 45 | 116 | skierniewicki | Głuchów | W | J | 63 | N | II |
| 46 | 118 | tomaszowski | Turobów | W | J3 | 63 | N | II |
| 47 | 122 | tomaszowski | Wąwał | W | J | 84 | N | II |
| 48 | 147 | zgierski | Ozorków | W | Cr2 | 63 | N | II |
| 49 | 149 | zgierski | Głowno | W | Q | 63 | S | II |
| 50 | 151 | zgierski | Stryków | W | J3 | 63 | N | II |
| 51 | 152 | zgierski | Niesułów Kolonia | W | Tr | 63 | N | II |
| 52 | 11 | kutnowski | Żychlin | W | Q | 63 | N | III |
| 53 | 28 | łęczycki | Pokrzywnica | W | J | 63 | N | III |
| 54 | 51 | opoczyński | Opoczno | W | J2 | 85 | N | III |
| 55 | 96 | rawski | Cielądz | W | J | 63 | N | III |

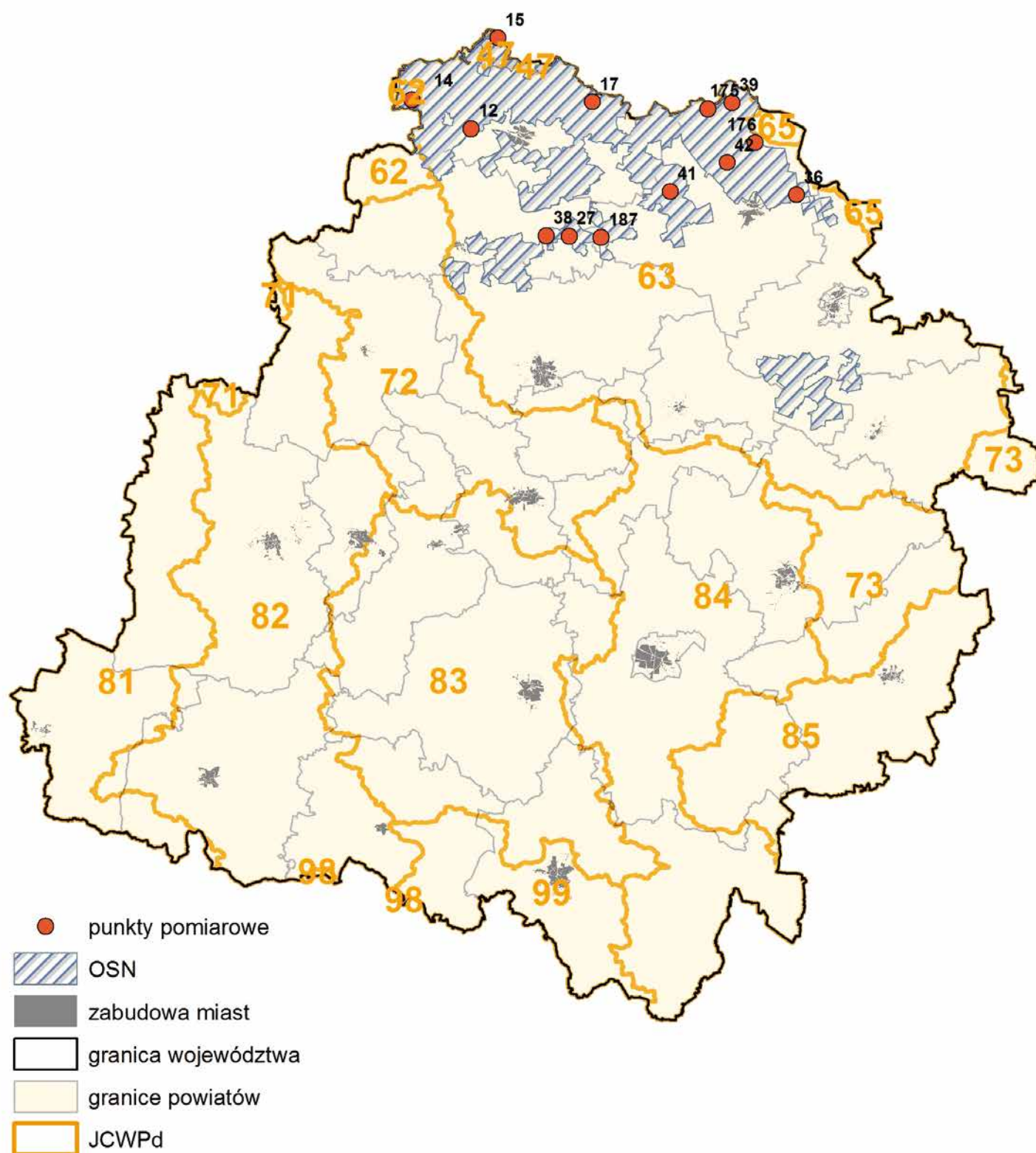
S – zwierciadło swobodne

N – zwierciadło napięte

G – wody gruntowe

W – wody głębokie

Poza monitoringiem diagnostycznym Wojewódzki Inspektorat Ochrony Środowiska w Łodzi wraz z delegaturami prowadzi monitoring wód podziemnych na obszarach OSN. Badania w 2016 roku objęły 13 ujęć i przeprowadzone zostały w dwóch seriach pomiarowych.



Mapa 2.12 Rozmieszczenie punktów pomiarowych monitoringu wód podziemnych na OSN w województwie łódzkim w 2016 roku

W żadnej z badanych prób nie stwierdzono zawartości $\text{NO}_3 > 40 \text{ mg/dm}^3$, co zgodnie z Rozporządzeniem Ministra Środowiska z dnia 23 grudnia 2002 r. w sprawie kryteriów wyznaczania wód wrażliwych na zanieczyszczenie związkami azotu ze źródeł rolniczych (Dz.U. 2002 nr 241 poz. 2093), oznacza brak zagrożenia zanieczyszczeniem związkami azotu ze źródeł rolniczych.

Opracowała: **Dominika Kostrzewa**

RAPORT Z BADAŃ WYKONANYCH W RAMACH PROJEKTU MONSUL

„Analiza czynników wpływających na stan ekologiczny wód Zbiornika Sulejowskiego w oparciu o ciągły monitoring i zintegrowany model 3D zbiornika”

1. Wstęp

Ochrona przed degradacją zasobów wód powierzchniowych w woj. łódzkim należy do głównych celów działań organów administracji publicznej oraz ośrodków naukowych. Naukowcy z Politechniki Łódzkiej i Uniwersytetu Łódzkiego, we współpracy z partnerami z Norwegii, podjęli się realizacji projektu o nazwie MONSUL, którego celem była analiza i ocena wpływu czynników kształtujących stan ekologiczny Zbiornika Sulejowskiego. W planie realizacyjnym projektu przyjęto, że cel ten zostanie osiągnięty w oparciu o ciągły, kompleksowy monitoring badawczy jakości wody w Zalewie Sulejowskim oraz za pomocą trójwymiarowego modelu 3D zbiornika, który zostanie opracowany w oparciu o dokładną mapę batygraficzną zalewu. Monitoringiem badawczym objęto następujące parametry, charakteryzujące stan ekologiczny Zalewu Sulejowskiego: temperatura wody, pH, stężenie tlenu, zasolenie, stężenie chlorofilu i alg z gatunku sinic, stężenie jonu amonowego, azotu azotanowego, fosforanów oraz całkowitego węgla organicznego, ChZT i BZT₅. Parametry te były mierzone za pomocą systemów pływających po powierzchni zbiornika oraz w trybie off-line za pomocą analiz próbek wody, wykonanych w laboratorium. Dane monitoringowe wykorzystano także do opracowania modelu 3D zbiornika.

Projekt MONSUL był zrealizowany wspólnie z Wydziałem Nauk Geograficznych Uniwersytetu Łódzkiego i Norweskim Instytutem Badań Wody (NIVA) w Oslo. NIVA jest instytutem zajmującym się monitoringiem i oceną jakości wód śródlądowych i morskich, a także opracowywaniem technologii ochrony środowiska. NIVA dysponuje fachową kadrą naukową, posiadającą duże doświadczenie i wiedzę z zakresu chemii, hydrologii, ekotoksykologii i zarządzania zasobami środowiska.

2. Metodyka i zakres badań

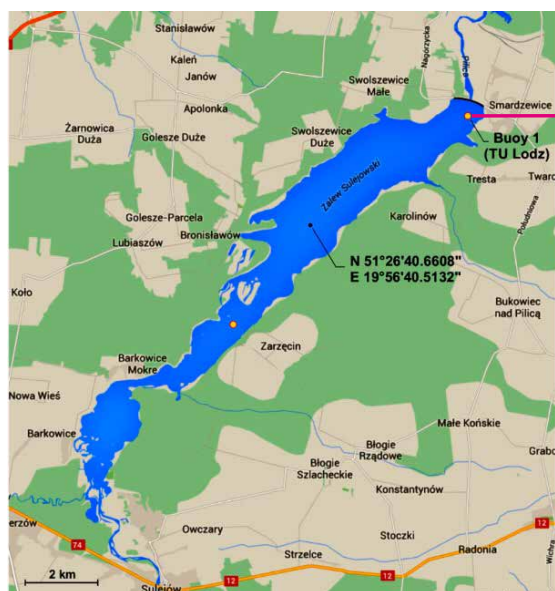
Realizowany w ramach projektu MONSUL program monitoringu składał się z trzech wzajemnie powiązanych platform badawczych:

- systemu monitoringu stacjonarnego, zainstalowanego na boi zakotwiczonej w okolicach tamy w Smardzewicach,
- pływającego (ruchomego) systemu pomiarowego, pracującego w oparciu o sondę EXO2,
- systemu pomiarów off-line, czyli badań próbek wody pobranych ze zbiornika i analizowanych w warunkach laboratoryjnych.

Badania zrealizowano w trakcie dwóch sezonów badawczych: w okresie maj – październik 2015 r. oraz kwiecień – listopad 2016 r.

a) system badawczego monitoringu stacjonarnego

System monitoringu stacjonarnego składał się z sondy zamontowanej na boi, zakotwiczonej w okolicach tamy w Smardzewicach, posiadającej 7 czujników pozwalających na ciągły, automatyczny pomiar następujących parametrów badanej wody: temperatura, pH, stężenie tlenu rozpuszczonego w wodzie, konduktywność, stężenie chlorofilu, stężenie alg (blue-green algae, BGA) i stężenie jonu amonowego. Urządzenie było wyposażone także w czujnik meteorologiczny, mierzący w trybie ciągłym: temperaturę i wilgotność powietrza, prędkość i kierunek wiatru, ciśnienie atmosferyczne oraz nasłonecznienie. Sonda pomiarowa była zanurzona w wodzie na głębokości ok. 3 m. Producentem sondy EXO2 i czujników jest firma YSI (USA); sonda była kalibrowana co dwa miesiące w oparciu o odpowiednie procedury i roztwory wzorcowe, dostarczone przez producenta. Lokalizację stacjonarnego systemu pomiarowego i fotografię sondy EXO2 przedstawiono na rys. 2.12.



Moduł meteorologiczny mierzący:

- temperaturę powietrza
- wilgotność powietrza
- kierunek i prędkość wiatru
- ciśnienie atmosferyczne
- nasłonecznienie



Sonda EXO2 mierząca następujące parametry:

- temperaturę wody
- odczyn (pH)
- stężenie tlenu
- przewodnictwo
- stężenie chlorofilu
- stężenie alg/sinic
- stężenie jonu amonowego

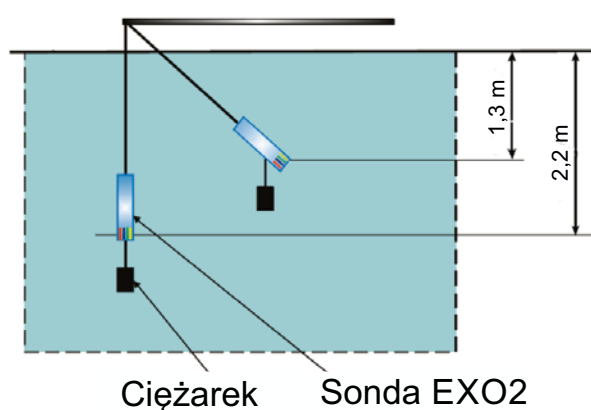
Rys. 2.12 Lokalizacja i fotografia stacjonarnego systemu pomiaru parametrów jakości wody oraz danych meteorologicznych, zainstalowanego na Zalewie Sulejowskim w ramach projektu MONSUL.

Dane z sondy pomiarowej były przekazywane w czasie rzeczywistym do serwera i publikowane na stronie internetowej projektu MONSUL <http://www.monsul.wipos.p.lodz.pl>.

b) mobilny system pomiarów monitoringowych

Ruchomy system pomiarowy monitoringu składał się z sondy pomiarowej EXO2, o której wspomniano powyżej, i modułu GPS pozwalającego na określenie pozycji sondy w chwili pomiaru. System ten był montowany na łodzi motorowej, dzięki której można było przepłynąć całe jezioro w czasie ok. 10 godzin i zmierzyć następujące parametry jakości wody na badanym obszarze: temperatura, pH, stężenie tlenu rozpuszczonego w wodzie, konduktywność, stężenie chlorofilu i alg (blue-green algae) oraz jonu amonowego. Dane pomiarowe parametrów wody, uzyskane z przepływu, uzupełnione o czas i miejsce pomiaru chwilowego (wg systemu GPS) były gromadzone w pamięci podręcznej przenośnego dataloggera, skąd były przesyłane do komputera PC.

Do pomiarów w przepływie skonstruowano specjalną „ławę z wysięgnikiem” montowaną na łodzi motorowej. Schemat montażu sondy i fotografię wykorzystywanego do badań mobilnego systemu pomiarowego przedstawiono na rys. 2.13.

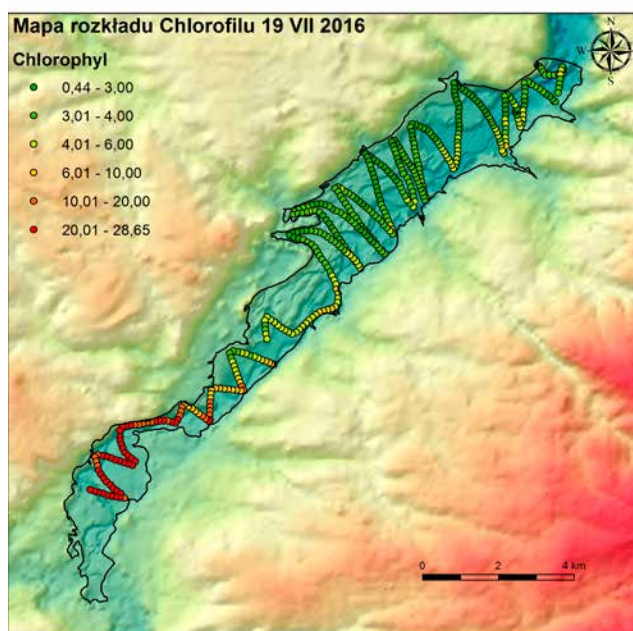


Rys. 2.13 Schemat montażu i fotografia mobilnego systemu pomiarów monitoringowych.

W celu minimalizacji możliwych błędów pomiarowych, niezbędne było wstępne zbadanie i określenie najbardziej właściwych warunków wykonania pomiarów mobilnych. Celem takich badań kontrolnych była ocena wpływu prędkości poruszania się łodzi, służącej do holowania sondy pomiarowej oraz głębokości zanurzenia sondy pomiarowej na wyniki pomiarów i wiarygodność pozyskiwanych danych. W ramach tych badań kontrolnych wykonano pomiary ww. siedmiu parametrów jakości wody podczas przepływu łodzią po Zalewie Sulejowskim z prędkością 5,5–6 km/godz.

i 9,0–9,5 km/godz. oraz wyniki pomiarów wykonanych na tym samym obszarze za pomocą nieruchomej sondy, zanurzonej w wodzie na głębokości $h = 3,5$ m oraz $h = 1,5$ m. Z analizy statystycznej wynika, że jeżeli prędkość łodzi holującej sondę nie przekraczała wartości $u = 6$ km/godz., to wyniki pomiarów parametrów jakości wody, wykonanych za pomocą sondy holowanej z tą prędkością, nie różnią się istotnie od wyników pomiarów wykonanych za pomocą sondy nieruchomej. Jeżeli prędkość łodzi holującej sondę wzrośnie do 9 km/godz., to przeprowadzona analiza prowadzi do wniosku, że takie holowanie wpływa na wyniki pomiarów i powoduje ich zakłócenie. Z przeprowadzonej analizy wynika także, że zmniejszenie głębokości zanurzenia sondy EXO-2 z wartości $h = 3,5$ m do $h = 1,5$ m nie wpływa w sposób istotny na wyniki pomiarów.

Stosując opisaną powyżej metodykę pomiarów mobilnych, pozyskiwano informacje o jakości wody w 650 – 700 punktach, zlokalizowanych na obszarze całego jeziora. Przykład takiego zbioru danych pomiarowych, uzyskanych podczas przepływu łodzią po zalewie, pokazano na rys. 2.14. Dane te odnoszą się do zmierzonych w dniu 19.07.2016 r. stężeń chlorofilu:

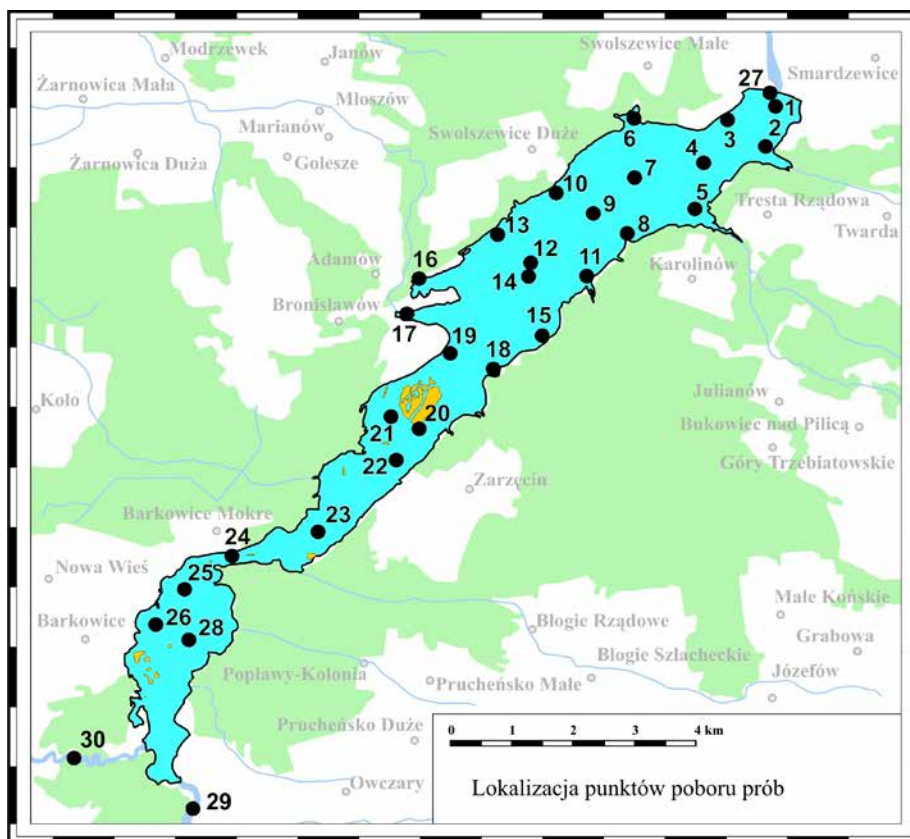


Rys. 2.14 Profil zmian stężenia chlorofilu ($\mu\text{g}/\text{dm}^3$) na obszarze Zalewu Sulejowskiego, uzyskany za pomocą mobilnego systemu pomiarowego w dniu 19.07.2016 r.

Zbiory danych pomiarowych, uzyskane w trakcie przepływu łodzią po Zalewie Sulejowskim gromadzono w bazie danych ArcGIS i po przetworzeniu za pomocą odpowiednich algorytmów służyły do wizualizacji przestrzennego rozkładu wartości zmierzonych parametrów na obszarze całego zbiornika.

c) metodyka badań laboratoryjnych

Trzeci z ww. systemów pomiarowych – system pomiarów *off-line* – polegał na analizie laboratoryjnej próbek wody pobranych z Zalewu Sulejowskiego. Podczas przejazdu łodzią po zalewie na trasie pokazanej na rys. 2.14, w wybranych punktach pobrano ok. 30 próbek wody. Dodatkowo, próbki wody były pobierane także z rzeki Pilicy za tamą spiętrzoną w miejscowości Smardzewice, poniżej mostu w Sulejowie oraz z rzeki Luciąży w okolicy miejscowości Przygłów. Orientacyjną lokalizację punktów poboru próbek wody przedstawiono na rys. 2.15.



Rys 2.15 Lokalizacja punktów poboru próbek wody przeznaczonych do badań laboratoryjnych.

Po przewiezieniu próbek do laboratorium oznaczano w nich następujące parametry, charakteryzujące jakość wody: ChZT, BZT₅, ogólny węgiel organiczny, azot azotanowy N-NO₃⁻, oraz fosforany PO₄³⁻. Te parametry jakości wody były mierzone za pomocą spektrofotometru i przy użyciu testów dostarczonych przez firmę Hach-Lange. ChZT oznaczano metodą dwuchromianową, w obecności siarczianu srebra jako katalizatora. Oznaczenie to jest zgodne z normą ISO 6060-1989. Oznaczenie BZT₅ polegało na oznaczeniu w badanej próbce stężenia rozpuszczonego tlenu w dniu pobrania próbki i po 5 dniach inkubowania próbki w stałej temp. 20°C. Oznaczenie BZT₅ było zgodne z normą EN 1899-1. Węgiel ogólny (WO) i ogólny węgiel nieorganiczny (OWN) w próbce oznaczano poprzez mineralizację związków organicznych do CO₂, który dyfundował przez membranę do kuwety z indykatorem. Zmiana barwy indykatora była oznaczana fotometrycznie. Oznaczenie TOC jest zgodne z normą DIN 38409-H3. Azot azotanowy N-NO₃ oznaczano za pomocą redukcji jonów azotanowych(V) za pomocą związków kadmu, a utworzony jon azotanowy(III) reagował w środowisku kwaśnym z kwasem sulfanilowym i kwasem chromotropowym, tworząc produkt zabarwiony na różowo. Barwny produkt oznacza się spektrofotometrycznie. Z kolei fosforany PO₄³⁻ oznaczano wykorzystując reakcję tych jonów z molibdenianem potasowym w środowisku kwaśnym. Oznaczenie było zgodne z normą PN-EN ISO 6878-2006. W sezonach pomiarowych maj – październik 2015 r. oraz kwiecień – listopad 2016 r. pobrano ogółem około 380 próbek wody z Zalewu Sulejowskiego i w każdej z nich wykonano oznaczenia ChZT, BZT₅, TOC, stężenia fosforanów, stężenia azotu azotanowego

3. Wyniki badań monitoringowych

3.1. Monitoring stacjonarny

Uruchomiony w ramach projektu system monitoringu stacjonarnego, bazujący na sondzie zamontowanej na boi zakotwiczonej na Zalewie, prowadził pomiary w trybie ciągłym przez 24 godz. na dobę. W obu sezonach pomiarowych 2015 r. i 2016 zgromadzono ponad 200 tys. danych, informujących o siedmiu parametrach charakteryzujących jakość wody w północnej części Zalewu Sulejowskiego oraz danych o warunkach meteorologicznych, panujących w tym czasie na tym obszarze. Poniżej przedstawiono w formie graficznej rezultaty tych pomiarów.

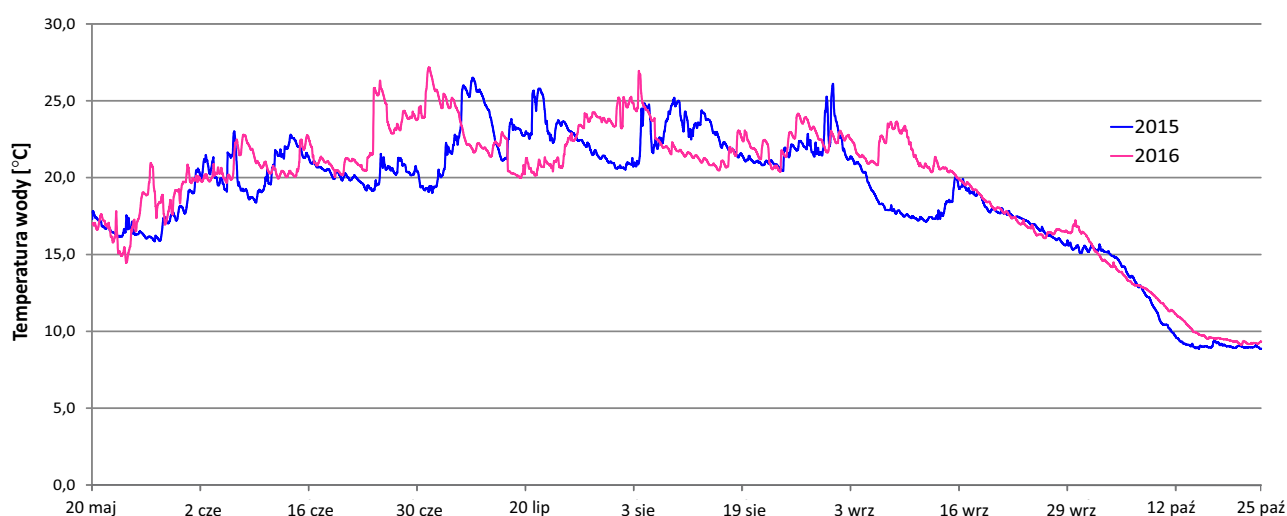
a) wyniki pomiarów parametrów meteorologicznych

Za pomocą modułu meteo zainstalowanego na boi zakotwiczonej w północnej części Zalewu Sulejowskiego przy tamie w Smardzewicach zarejestrowano w sezonach pomiarowych maj – październik 2015 r. i 2016 r. następujące dane meteorologiczne: temperaturę i wilgotność powietrza, prędkość i kierunek wiatru, ciśnienie atmosferyczne oraz nasłonecznienie. Wyniki pomiarów parametrów meteorologicznych świadczą o tym, że w roku 2016 temperatury powietrza

powyżej 25°C pojawiły się stosunkowo wcześnie – już pod koniec maja i następnie pod koniec czerwca 2016 r. W roku 2015 natomiast wysokie temperatury występowały praktycznie przez cały lipiec (z wyjątkiem tygodniowych okresów ochłodzenia) i trwały do połowy sierpnia 2015 r. Ogólnie można uznać, że profile zmian temperatury powietrza w 2015 i 2016 r. były podobne i obydwa sezony pomiarowe były podobne. Świadczą o tym dane statystyczne: średnia temperatura powietrza z okresu 20.05 – 25.10 wyniosła w 2015 r. 16,4°C, natomiast w roku 2016 – 16,9°C. W obu sezonach pomiarowych nie zaobserwowano dużych różnic w nasłonecznieniu wód Zalewu Sulejowskiego. Średni poziom nasłonecznienia w okresie maj – październik w roku 2015 wyniósł 877 kWh/m², natomiast w roku 2016 – 871 kWh/m². Istotne różnice w obu sezonach pomiarowych zaobserwowano natomiast jeśli chodzi o opady atmosferyczne. W roku 2016 liczba godzin z opadem atmosferycznym wyniosła 538, a liczba godzin deszczowych w roku 2015 jedynie 274 godziny. Rok 2015 był rokiem suchym, a klimatyczny bilans wodny dla rejonu Zbiornika Sulejowskiego był w roku 2015 ujemny.

b) wyniki pomiarów temperatury wody

Warunki meteorologiczne, które kształtowały pogodę w obu sezonach pomiarowych 2015 i 2016 r. wpływały na parametry fizykochemiczne wody zgromadzonej w Zbiorniku Sulejowskim. Jednym z najistotniejszych parametrów jest temperatura wody w zalewie. Wykres przedstawiony na rys. 2.16 ilustruje ewolucję zmian temperatury wody w północnej części Zalewu Sulejowskiego okresie maj – październik w latach 2015 i 2016.

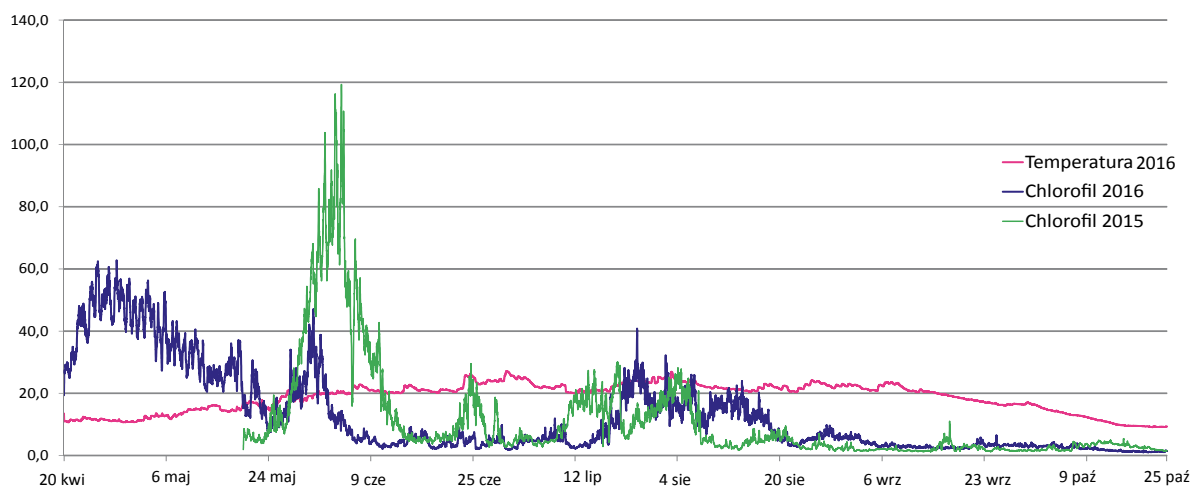


Rys. 2.16 Profil zmian temperatury wody w półn. części w Zalewu Sulejowskiego w okresie maj – październik w 2015 i w 2016 roku.

W roku 2016 temperatura wody powyżej 25°C pojawiła się w połowie czerwca, lecz już przez cały lipiec 2016 r. temperatura wody w zbiorniku nie przekroczyła tej wartości. Epizody z temperaturą powyżej 25°C wystąpiły jeszcze na początku sierpnia 2016 r., trwały jednak krótko. Z kolei w roku 2015 podwyższona temperatura wody w północnej części Zalewu Sulejowskiego pojawiła się na początku lipca i trwała (z wyjątkiem tygodniowych okresów ochłodzenia) do połowy sierpnia 2015 r. Należy także dodać, że w 2016 r. ciepłe dni z temperaturą powyżej 25°C wystąpiły także na początku września. Można uznać, że ogólny profil zmian temperatury wody w północnej części Zalewu Sulejowskiego był w latach 2015 i 2016 podobny. Świadczą o tym dane statystyczne: średnia temperatura wody w okresie 20 maja – 25 października wyniosła w 2015 r. 19,0°C, natomiast w roku 2016 – 19,6°C. Liczba godzin z temperaturą wody powyżej 25°C wyniosła w 2015 r. – 146, natomiast w 2016 r. – 161. Maksymalna zanotowana temperatura wody w 2015 r. wynosiła 26,5°C, a w roku 2016 27,2°C. Statystycznie więc woda w północnej części Zalewu Sulejowskiego była w roku 2016 nieco cieplejsza.

c) wyniki pomiarów stężenia chlorofilu α

Na rys. 2.17 przedstawiono profil zmian stężeń chlorofilu α w wodach Zalewu Sulejowskiego w okolicach tamy w sezonach pomiarowych 2015 i 2016.



Rys. 2.17. Profil zmian stężenia chlorofilu α w północnej części Zalewu Sulejowskiego w okresie kwiecień – październik w 2015 i 2016 r. (stężenie chlorofilu w $\mu\text{g}/\text{dm}^3$, temperatura wody w $^{\circ}\text{C}$).

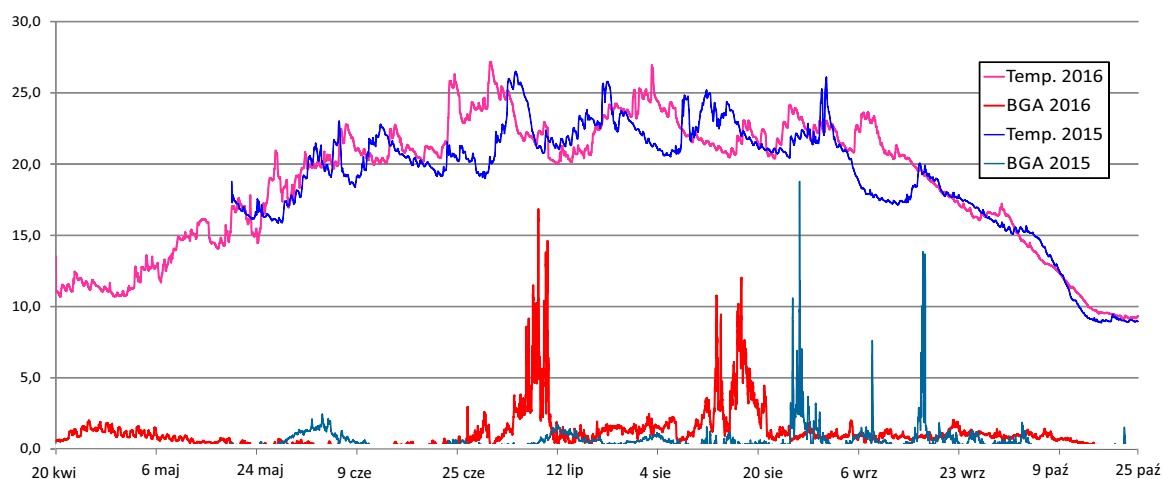
W roku 2016, w okresie od końca kwietnia do początku maja, pomimo niskiej temperatury wody ($10\text{--}15^{\circ}\text{C}$) stężenia chlorofilu oscylowały w granicach $30\text{--}60\text{ }\mu\text{g}/\text{dm}^3$. Kolejny wzrost stężenia tego parametru zaobserwowano w 2016 r. pod koniec maja. Nieoczekiwanie w okresie 12 czerwca – 12 lipca 2016 r., pomimo znaczącego wzrostu temperatury wody, nie zarejestrowano w wodach zbiornika w okolicy tamy w Smardzewicach zwiększonych stężeń chlorofilu. Dopiero od połowy lipca do połowy sierpnia 2016 r. stężenia chlorofilu znowu wzrosły, lecz jedynie do poziomu $10\text{--}30\text{ }\mu\text{g}/\text{dm}^3$.

Porównanie dynamiki zmian stężenia chlorofilu zarejestrowanych w roku 2016 z danymi pochodzącymi z roku 2015 prowadzi do następujących wniosków. Istnieje pewna prawidłowość pojawiania się maksymalnych wartości stężeń chlorofilu w północnej części zbiornika – w 2015 r. maksymalny wzrost stężenia tego parametru zaobserwowano na początku czerwca; podobny wzrost zanotowano także na początku czerwca w 2016 r. Taką koincydencję zmian stężenia tego parametru zarejestrowano także w okresie od połowy lipca do połowy sierpnia 2015 i 2016 r. Te podobieństwa ilustruje wykres na rys. 2.17, który powstał z nałożenia na siebie danych z dwóch analizowanych lat:

Powyższy wykres ilustruje także różnice w dynamice zmian stężenia chlorofilu w roku 2015 i 2016. Po pierwsze, stężenia chlorofilu w północnej części Zalewu Sulejowskiego na przełomie maja i czerwca 2015 r. były wyjątkowo wysokie w porównaniu ze stężeniami w tym okresie w roku 2016. Po drugie, pod koniec czerwca 2015 r. pojawiły się stężenia na poziomie $20\text{--}30\text{ }\mu\text{g}/\text{dm}^3$, których nie zarejestrowano w analogicznym okresie w roku 2016. Z wykresu na rys. 2.18 widać także przesunięcie okresu wegetacyjnego glonów mniej więcej o tydzień na przełomie lipca i sierpnia w roku 2015 i w roku 2016. Dalsze badania i pomiary, prowadzone w kolejnych latach, powinny zmierzać do wyjaśnienia przyczyny zmian i potwierdzenia obserwacji o wczesnym pojawianiu się wysokich stężeń chlorofilu w wodzie w północnej części Zalewu Sulejowskiego pod koniec kwietnia i na początku maja.

d) wyniki pomiarów stężenia sinic (BGA)

Na rys. 2.18 przedstawiono profil zmian stężeń sinic (blue-green algae, BGA) w wodach Zalewu Sulejowskiego w okolicach tamy w sezonach pomiarowych 2015 i 2016.



Rys. 2.18 Wykres zmian temperatury wody i stężenia BGA w wodach Zalewu Sulejowskiego, w okolicach tamy w sezonach 2015 r. i 2016 r. (stężenie BGA $\mu\text{g}/\text{dm}^3$; temperatura wody $^{\circ}\text{C}$).

Wykres przedstawiony na rys. 2.18 ilustruje zasadnicze różnice w dynamice pojawiania się zakwitów sinic w północnej części Zalewu Sulejowskiego w roku 2015 i 2016. Wysokie stężenia BGA, w zakresie 5 – 15 µg/dm³, pojawiły się w 2016 r. dwukrotnie: na przełomie czerwca i lipca oraz w połowie sierpnia 2016 r. Z kolei w 2015 r. zakwity o takiej intensywności wystąpiły znacznie później – na przełomie sierpnia i września oraz w połowie września 2015 r. Dalsze obserwacje tego parametru powinny zmierzać do zidentyfikowania czynników, które są przyczyną istotnych różnic w dynamice zakwitów sinic w wodach Zalewu Sulejowskiego.

e) wyniki pomiarów pozostałych parametrów fizykochemicznych wody

Pozostałe, zmierzone za pomocą sondy EXO-2 parametry, charakteryzujące jakość wody w Zalewie Sulejowskim nie wykazywały tak istotnych, dynamicznych zmian, jak omówione powyżej temperatura wody czy stężenia chlorofilu i BGA. W tabeli 2.10 zestawiono rezultaty pomiarów pozostałych parametrów jakości wody w okolicach tamy w miejscowości Smardzewice w sezonach pomiarowych 2015 i 2016

Tabela 2.10 Wyniki pomiarów wybranych parametrów jakości wody w północnej części Zalewu Sulejowskiego w okresie kwiecień – październik 2015 i 2016 r.

| Lp. | Nazwa parametru | Jedn. | 2015 r. | | 2016 r. | |
|-----|---------------------------------------|--------------------|-----------------|-------------------|-----------------|-------------------|
| | | | Wartość średnia | Odchyl. standard. | Wartość średnia | Odchyl. standard. |
| 1. | Odczyn pH | - | 8,39 | 0,26 | 8,79 | 0,31 |
| 2. | Stężenie NH ₄ ⁺ | mg/dm ³ | 0,38 | 0,21 | 0,25 | 0,07 |
| 3. | Stężenie tlenu | mg/dm ³ | 9,23 | 2,43 | 10,75 | 3,09 |
| 4. | Przewodnictwo | µS/cm | 260,7 | 28,4 | 299,3 | 51,2 |

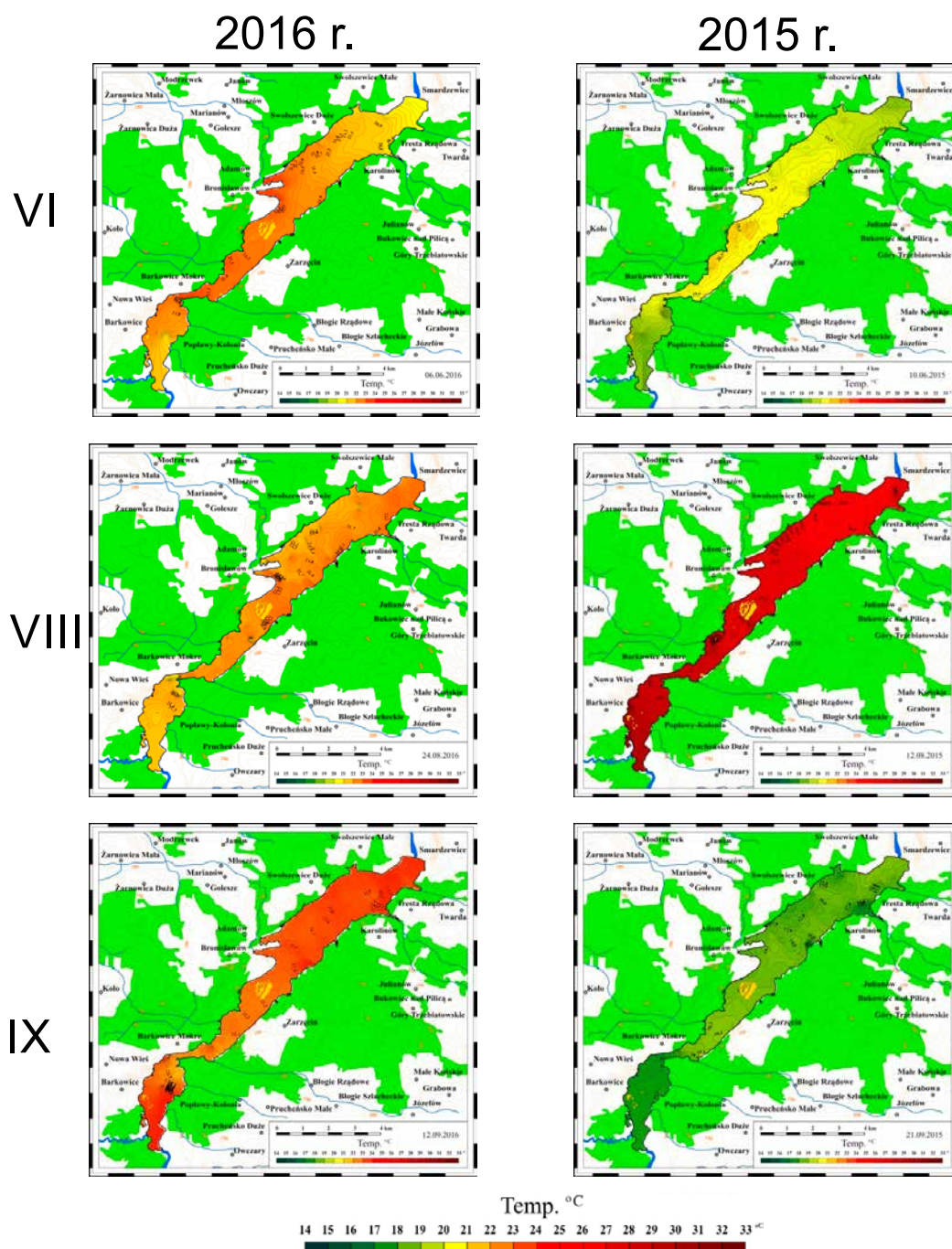
Wartości parametrów w tabeli 2 zostały obliczone na podstawie zbiorów danych, liczących ok. 17 tys. rekordów, zarejestrowanych przez sondę EXO-2.

3.2. Rezultaty pomiarów mobilnych

W latach 2015 i 2016 prowadzono za pomocą mobilnego systemu pomiarów monitoringowych systematyczne pomiary wybranych parametrów, charakteryzujących jakość wody na całym obszarze Zalewu Sulejowskiego. W trakcie przepływu łodzią po Zalewie uzyskiwano dane z 600-700 punktów pomiarowych na obszarze zbiornika. Na podstawie zgromadzonych danych, po ich przetworzeniu za pomocą oprogramowania ArcGIS, uzyskano mapy, ilustrujące przestrzenny rozkład wartości mierzonych parametrów na obszarze całego Zalewu. Rezultaty tych badań przedstawiono poniżej na rysunkach 2.19, 2.20 i 2.21.

a) przestrzenny rozkład temperatury wody w Zalewie Sulejowskim w latach 2015 i 2016

Zmiany temperatury wody w Zalewie Sulejowskim podlegają okresowym wahaniom, lecz rozkład przestrzenny tych zmian, tzn. pole temperatur, jest raczej równomierny. Temperatura wody na głębokości do ok. 2 m w całym zbiorniku jest wyrównana, nie obserwuje się miejsc, gdzie nagrzewanie wody jest szczególnie intensywne.



Rys. 2.19 Przestrzenny rozkład temperatury wody w Zalewie Sulejowskim w okresie czerwiec – wrzesień (VI–IX) w 2015 r. i 2016 r.

Dane przedstawione na rys 2.19 potwierdzają tendencję, która ujawniła się przy analizie danych pochodzących z pomiarów stacjonarnych w północnej części zbiornika: w 2016 r. wysokie temperatury wody w zakresie 25-27°C pojawiły się stosunkowo wcześnie, w czerwcu, oraz pod koniec lata, tj. we wrześniu 2016 r. Natomiast w roku 2015 najwyższe temperatury wody (26-27°C) występowały w sierpniu, a od połowy września 2015 r. nastąpiło dość gwałtowne ochłodzenie wody do temperatury 15-17°C.

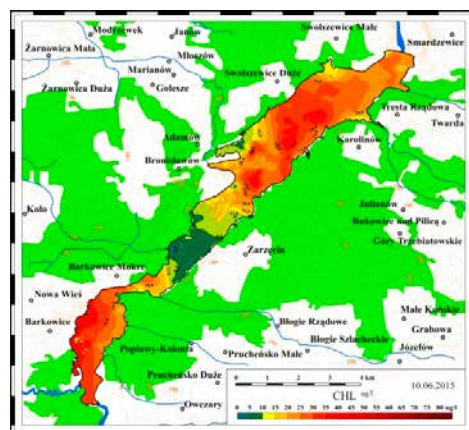
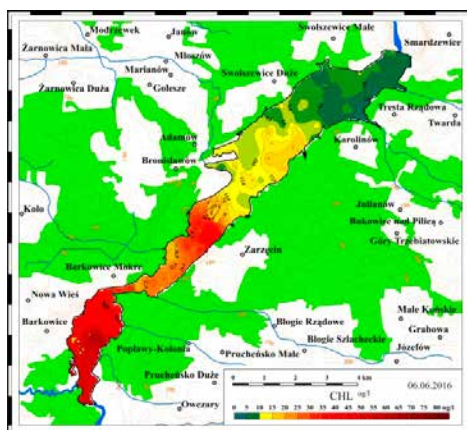
b) przestrzenny rozkład stężeń chlorofilu w latach 2015 i 2016

Podwyższone stężenia chlorofilu w wodach Zalewu Sulejowskiego obserwowane są już na początku okresu wegetacyjnego, czyli pod koniec maja i na początku czerwca (patrz rys. 2.20).

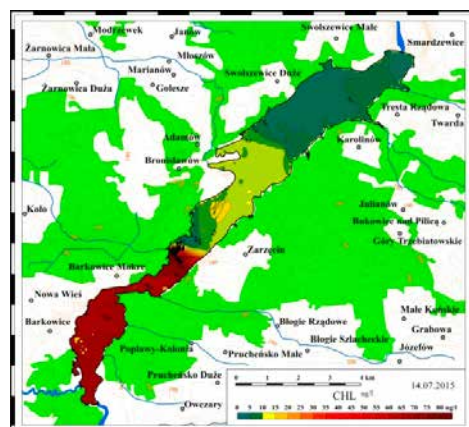
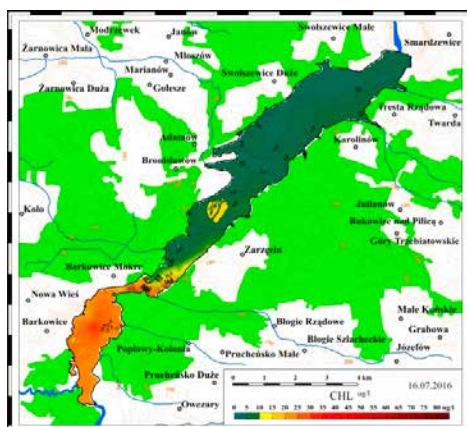
2016 r.

2015 r.

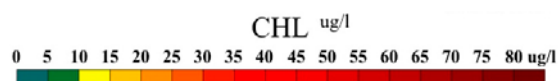
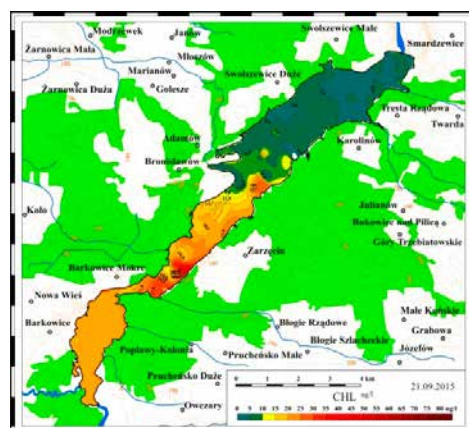
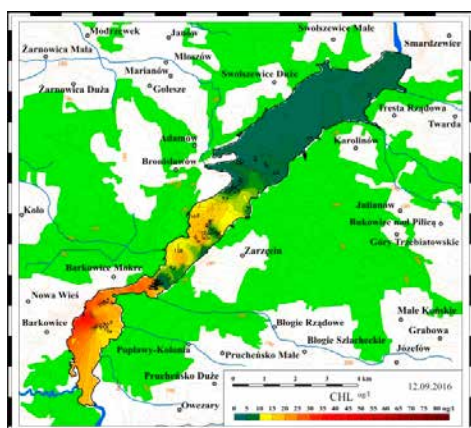
VI



VII



IX



Rys. 2.20 Przestrzenny rozkład stężenia chlorofilu w Zalewie Sulejowskim w okresie czerwiec – wrzesień (VI – IX) w 2015 i 2016 r.

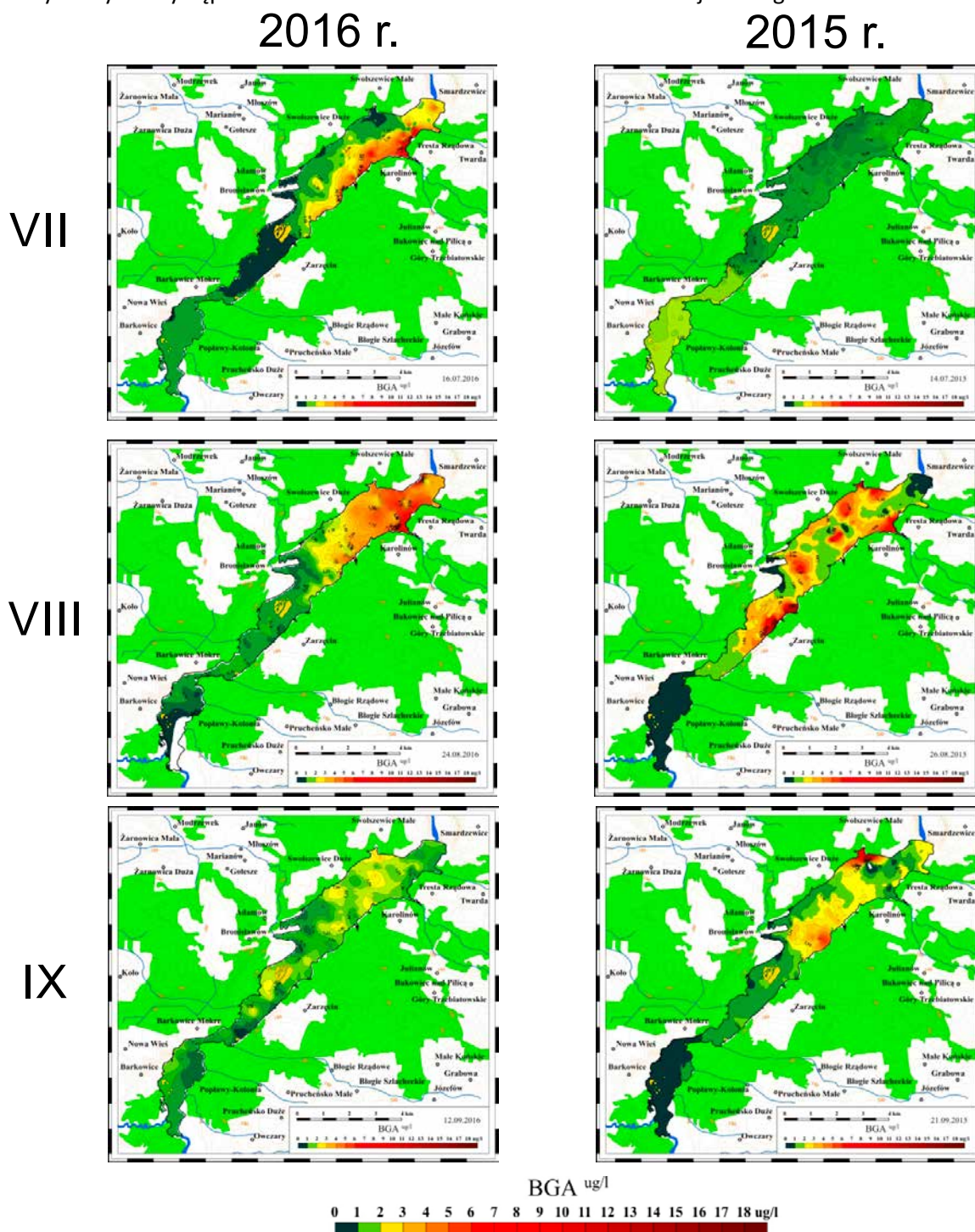
Wzrost stężenia chlorofilu w wodach Zalewu Sulejowskiego jest słabo skorelowany ze wzrostem temperatury wody, na przykład na początku czerwca 2015 r. temperatura wody w zbiorniku oscylowała w granicach 19-21°C, a stężenia chlorofilu osiągnęły bardzo wysokie wartości z zakresu 60-90 $\mu\text{g/dm}^3$. Podobnie na początku czerwca 2016 r. temperatura wody w Zalewie nie przekroczyła 20-21°C, a stężenia chlorofilu wzrosły w tym czasie do wartości 30-40 $\mu\text{g/dm}^3$. W lipcu w obu sezonach badawczych temperatura wody w Zalewie nie była wysoka, natomiast stężenie chlorofilu w południowej części zbiornika odwrotnie, było relatywnie wysokie, zwłaszcza w roku 2015 wartości tego stężenia przekroczyły granicę 80 $\mu\text{g/dm}^3$.

Należy także zauważyć, że w południowej części Zalewu Sulejowskiego wysokie stężenia chlorofilu utrzymywały się przez cały okres trwania pomiarów, tj. od czerwca do września, mimo że w północno-wschodniej (jeziornej) części zbiornika stężenia chlorofilu od lipca obniżyły się do poziomu 5-10 $\mu\text{g/dm}^3$.

c) przestrzenny rozkład stężeń sinic (BGA) w Zalewie Sulejowskim w latach 2015 i 2016.

Charakterystyczną cechą zakwitów sinicowych jest ich nierównomierny, zogniskowany charakter, o czym świadczy rozkład stężeń na rys. 2.21. Istotne różnice zaobserwowano także w dynamice zmian stężenia BGA w 2015 r. w porównaniu z rokiem 2016. W 2016 r. intensywne zakwity sinic wystąpiły stosunkowo wcześnie – na początku i w połowie lipca. Prawdopodobnie był to skutek wzrostu temperatury wody w zbiorniku pod koniec czerwca i na początku lipca 2016 r. W tym czasie temperatura wody w Zalewie Sulejowskim oscylowała w granicach 24-27°C, a stężenia BGA osiągały wartość w granicach 10-14 $\mu\text{g}/\text{dm}^3$. Kolejny zakwit miał miejsce w sierpniu i też był związany ze wzrostem temperatury wody, która w okresie od 4.08 do 12.08.2016 r. utrzymywała się w granicach 24-25°C.

W 2015 r. wysokie stężenia BGA (10-14 $\mu\text{g}/\text{dm}^3$) wystąpiły nieco później, w połowie lipca, a ich intensywność również związana była ze wzrostem temperatury wody w Zalewie, która pomiędzy 7 a 10 lipca osiągnęła wartość 25-26°C. Poza tym w 2015 r. wysokie stężenia BGA utrzymywały się dłużej niż w roku 2016, a na początku września 2015 r. stężenie w niektórych rejonach Zalewu utrzymywało się powyżej 10 $\mu\text{g}/\text{dm}^3$. Prawdopodobnie był to skutek nieoczekiwanego wzrostu temperatury wody w Zalewie, która w okresie 31.08. – 3.09.2015 r. osiągnęła wartość 24-26°C. Analiza danych dotyczących stężenia BGA i dynamiki zmian tego parametru potwierdza hipotezę o istotnym wpływie temperatury wody na występowanie zakwitów sinic na obszarze Zalewu Sulejowskiego.



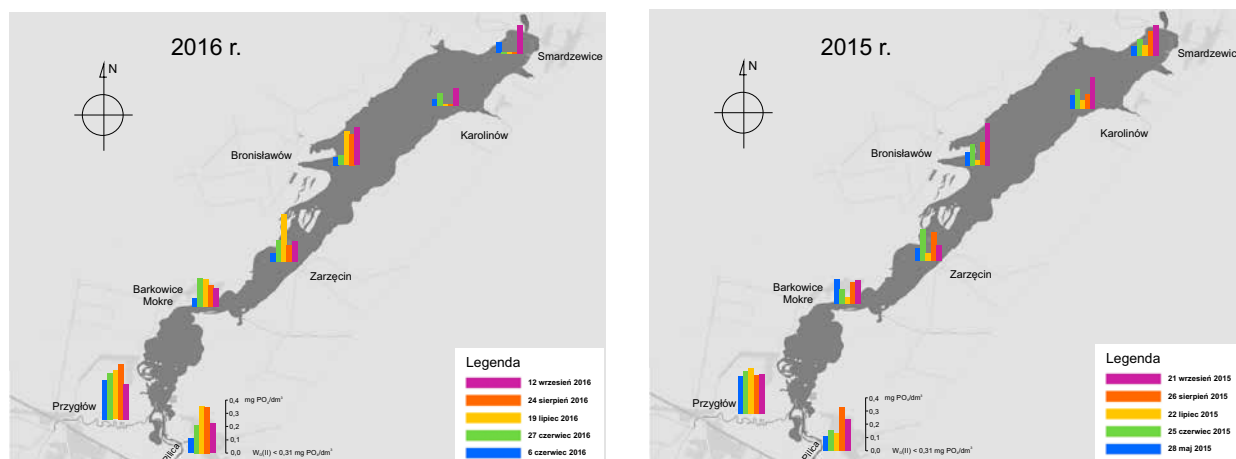
Rys. 2.21 Przestrzenny rozkład stężenia sinic w Zalewie Sulejowskim w okresie czerwiec – wrzesień (VI – IX) w 2015 r. i 2016 r.

Z danych pokazanych na rys. 2.21 wynika także, że wysokie stężenia BGA pojawiają się w jeziornej (północno-wschodniej) części Zalewu Sulejowskiego, na północ od największej, centralnie położonej wyspy. Zakwity sinic nie wstępują w jednym, ściśle określonym miejscu Zalewu – ich skupiska pojawiają się i znikają w sposób stosunkowo chaotyczny, na całym północno-wschodnim obszarze zbiornika. Tworzenie się obszarów, gdzie grupują się zakwity sinicowe, jest skutkiem hydrodynamiki przepływu wody w Zalewie Sulejowskim, gdyż miejsca występowania podwyższonych stężeń BGA silnie korelują z układem linii prądów, wyznaczonych na drodze obliczeń i symulacji przepływów wody w zbiorniku.

3.3. Rezultaty badań laboratoryjnych

a) zawartość związków fosforu

Zawartość fosforanów wahała się w wodach powierzchniowych Zalewu Sulejowskiego w szerokim przedziale od 0,02 do 0,375 mgPO₄³⁻/dm³. Najwyższe stężenia odnotowywano jednak w wodach rzek zasilających zbiornik – w Pilicy i Luciąży. Tam stężenia fosforanów wahały się od 0,10 do 0,48 mgPO₄³⁻/dm³.

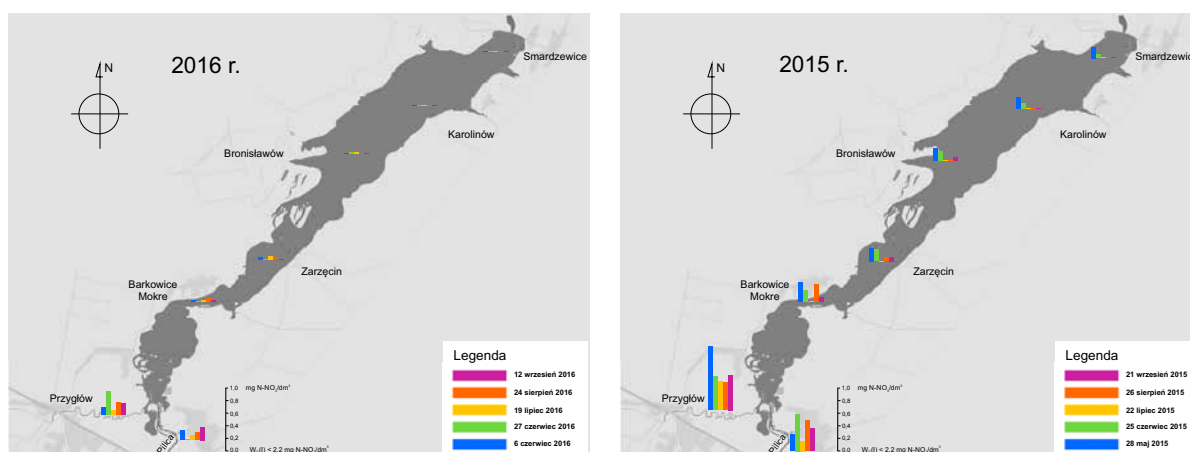


Rys. 2.22 Zmiany stężeń fosforanów w Zalewie Sulejowskim w latach 2015 i 2016.

Rozkład przestrzenny oraz dynamika zmian stężeń fosforanów w wodzie powierzchniowej Zalewu Sulejowskiego mają nieregularny, chaotyczny charakter. Jedynie w drugiej połowie września w północno-wschodniej części zbiornika stężenia fosforanów gwałtownie rosną i ta tendencja wystąpiła w obu sezonach pomiarowych. W trakcie badań zaobserwowano także lokalny wzrost stężeń fosforanów w wodach zbiornika, najprawdopodobniej wywołany antropopresją. Wysokie stężenia PO₄³⁻ w okresie post-wegetacyjnym (wrzesień) mogą być spowodowane uwalnianiem fosforanów z osadów dennych i rozkładającego się fitoplanktonu.

b) zawartość azotu azotanowego

Najwyższe stężenia azotu azotanowego N-NO₃⁻ zanotowano w wodach rzeki Luciąży w maju 2015 r. – osiągnęły wartość 0,98 mg N/dm³. W innych miesiącach stężenia w Pilicy i Luciąży zmieniały się w granicach 0,1 – 0,76 mg N/dm³.



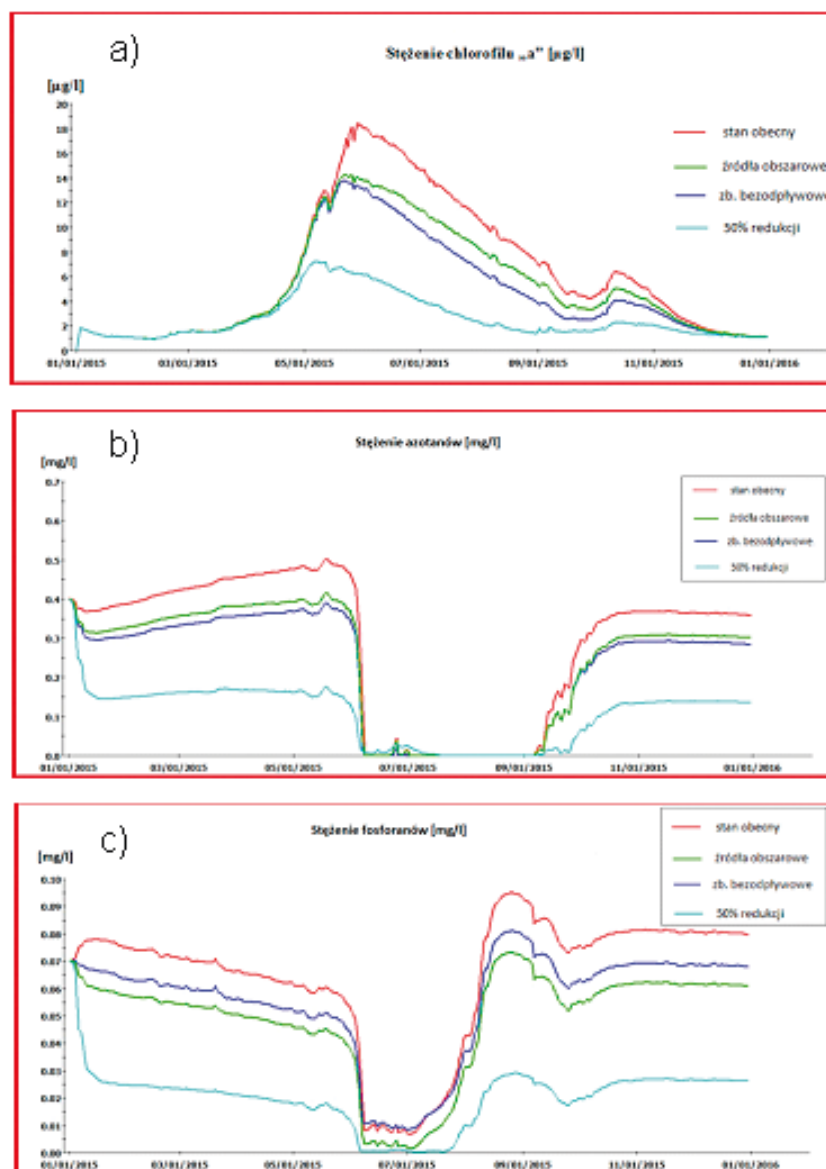
Rys. 2.23 Zmiany stężeń azotu azotanowego w Zalewie Sulejowskim w latach 2015 i 2016.

Dużo mniejsze stężenia azotu azotanowego zmierzono natomiast w wodach powierzchniowych Zalewu Sulejowskiego. Były one dużo niższe od stężeń oznaczonych w dopływach i wahały się w granicach 0,010 – 0,375 mg N/dm³ w roku 2015 oraz od 0,010 do 0,29 mg N/dm³ w 2016 r. Przestrzenny rozkład stężeń azotanów w wodach zbiornika i dynamika ich zmian w czasie świadczą o tym, że spływy powierzchniowe z pól uprawnych otaczających Zbiornik Sulejowski są raczej niewielkie, a główny strumień tych związków pochodzi z rzek Pilicy i Luciąży. W sezonie wegetacyjnym, tj. w okresie lipiec – sierpień, stężenie jonów NO₃⁻ w wodzie spada niemal do zera, co dowodzi, że ulegają one systematycznej asymilacji i/lub denitryfikacji przez mikroorganizmy obecne w wodzie.

3.4. Wyniki symulacji stanu ekologicznego Zalewu Sulejowskiego za pomocą modelu 3D.

W ramach projektu MONSU opracowano trójwymiarowy model matematyczny Zalewu Sulejowskiego. Za pomocą tego modelu wykonano symulację jego stanu ekologicznego oraz obliczenia dotyczące rozkładu temperatury wody, prędkości przepływów i stężeń zanieczyszczeń zawartych w wodach Zalewu. Obliczenia są zbliżone z wynikami pomiarów wykonanych w ramach badawczego programu monitoringu jakości wody i mogą być wykorzystane do wspomagania decyzji, dotyczących prognoz jakości wody, zwłaszcza w odniesieniu do przebiegu eutrofizacji. Model matematyczny 3D Zalewu Sulejowskiego staje się w ten sposób narzędziem, które może być wykorzystane do planowania działań naprawczych w celu utrzymania stanu środowiska wodnego, jak również poprawy tego stanu w zadanym horyzoncie czasowym, w zależności od zmieniającej się presji człowieka na środowisko naturalne.

Na przykład na rys. 2.24 przedstawiono profil zmian stężeń chlorofilu, azotanów i fosforanów w wodach Zalewu Sulejowskiego w podziale na źródła punktowe i obszarowe na skutek 50-procentowej redukcji dopływu związków biogenych z tych źródeł. Ten procent redukcji pozwala na uzyskanie stężenia analizowanych parametrów na poziomie utrzymującym się w normach dla I klasy czystości wód.



Rys 2.24 Wpływ działań naprawczych na podstawowe wskaźniki jakości wody w Zbiorniku Sulejowskim: a) zmiany stężeń chlorofilu, b) zmiany stężeń azotanów, c) zmiany stężeń fosforanów.

Zweryfikowany model 3D Zalewu Sulejowskiego może być wykorzystany przy opracowywaniu strategii kontroli oraz sterowaniu jakością środowiska wodnego w tym zbiorniku. Umożliwia on ilościową ocenę wpływu poszczególnych źródeł emisji zanieczyszczeń na stan zagrożenia w wybranych punktach bądź też fragmentach badanego obiektu. Wyniki obliczeń mogą ułatwić podejmowanie decyzji, dotyczących zmian w gospodarce wodnej zbiornika w zależności od zmieniającej się presji antropogenicznej.

4. Podsumowanie

Projekt MONSUL, finansowany ze środków Mechanizmu Finansowego EOG 2009-2014, w ramach Programu PL03 „Wzmocnienie monitoringu środowiska i działań kontrolnych”, był realizowany w okresie maj 2015 – kwiecień 2017 r. przez zespół składający się z pracowników Wydziału Inżynierii Procesowej i Ochrony Środowiska Politechniki Łódzkiej, Wydziału Nauk Geograficznych Uniwersytetu Łódzkiego i Norweskiego Instytutu Badań Wody (NIVA) w Oslo. Głównym celem projektu była realizacja zadań, poprawiających informację o środowisku w zlewni Zbiornika Sulejowskiego w zakresie stanu ekologicznego jego wód, wpływu czynników kształtujących jakość wód oraz prognozy trendów wpływających na jego potencjał ekologiczny. W okresie maj 2015 – kwiecień 2017 roku prowadzono ciągły monitoring parametrów charakteryzujących stan zbiornika. Program badawczy monitoringu zrealizowano w oparciu o trzy, wzajemnie powiązane platformy badawcze: system monitoringu stacjonarnego zainstalowany na boi, zakotwiczonej w okolicach tamy, pływającego (ruchomego) systemu pomiarowego, pracującego w oparciu o sondę EXO2 oraz systemu pomiarów *off-line*, czyli badań próbek wody pobranych ze zbiornika i analizowanych w warunkach laboratoryjnych.

Zebrane w trakcie badań monitoringowych dane były gromadzone w bazie danych ArcGIS, która zawierała m.in. parametry hydrogeologiczne Zalewu Sulejowskiego i jego zlewni, wskaźniki jakości wody, jak: temperatura, pH, stężenie tlenu rozpuszczonego w wodzie, konduktywność, stężenie chlorofilu, blue-green algae, jonu amonowego, stężenie jonów azotanowych i fosforanów. W ramach realizacji projektu opracowano także nową, szczegółową mapę batygraficzną Zalewu Sulejowskiego, niezbędną do wykonania modelu matematycznego zbiornika. Dane pochodzące z pomiarów monitoringowych, zawarte w bazie ArcGIS, opracowano w formie graficznej i opublikowano w postaci map prezentujących czasowy i przestrzenny rozkład parametrów, charakteryzujących stan ekologiczny Zalewu Sulejowskiego w okresie maj 2015 – kwiecień 2017 r.

Opracowanie: (zespół w składzie): dr hab. inż. **Janusz Adamiec**; dr inż. **Miroslaw Imbierowicz**; mgr **Ewa Imbierowicz**; dr **Marcin Jaskulski**; mgr inż. **Halina Marczak**; dr **Aleksander Szmidt**; dr **Aleksandra Ziemińska-Stolarska**.
Kierownik projektu MONSUL:
prof. dr hab. inż. **Ireneusz Zbiciński**

Dyrektywa 2000/60/WE Parlamentu Europejskiego i Rady z 23 października 2000 roku ustanawia ramy wspólnotowego działania w dziedzinie polityki wodnej (Ramowa Dyrektywa Wodna – RDW) dla ochrony wód i zrównoważonego korzystania z nich. Zapisy RDW zostały transponowane do prawa polskiego przede wszystkim ustawą z 18 lipca 2001 r. Prawo wodne. Zgodnie z zapisami Prawa wodnego, planowanie w gospodarowaniu wodami obejmuje opracowanie następujących dokumentów:

- programu wodno-środowiskowego kraju,
- planu zarządzania ryzykiem powodziowym,
- planu gospodarowania wodami na obszarze dorzecza,
- planu przeciwdziałania skutkom suszy na obszarze dorzecza,
- warunków korzystania z wód regionu wodnego,
- w miarę potrzeby warunków korzystania z wód zlewni.

Za opracowanie czterech pierwszych dokumentów, w odniesieniu do obszarów dorzeczy, odpowiedzialny jest prezes Zarządu Gospodarki Wodnej. Kolejne przygotowywane są przez dyrektora RZGW, którego działania wspomagają opracowanie zarówno programu wodno-środowiskowego kraju, jak i na obszarze dorzecza.

Program wodno-środowiskowy kraju (PWŚK) oraz plan gospodarowania wodami na obszarze dorzecza (PGW) opracowywane są przez Prezesa KZGW. Dokumenty te oraz wszelkie analizy poprzedzające ich opracowanie aktualizowane są co 6 lat. Plan gospodarowania wodami na obszarze dorzecza jest podstawowym dokumentem planistycznym, decydującym o kształtowaniu zasobów wodnych. W 2016 roku zostały zatwierdzone przez Radę Ministrów zaktualizowane plany gospodarowania wodami na terenie dorzeczy Wisły i Odry a(PGW).

Do najważniejszych zadań w zakresie ochrony środowiska, mających wpływ na poprawę wód, należy wypełnienie zobowiązań wynikających z dyrektywy 91/271/EWG, dotyczącej oczyszczania ścieków komunalnych. Podstawowym instrumentem wdrożenia dyrektywy jest Krajowy program oczyszczania ścieków komunalnych (KPOŚK). Celem Programu jest realizacja ujętych w nim inwestycji, ograniczających zrzut niedostatecznie oczyszczonych ścieków, wybudowanie, rozbudowanie i/lub zmodernizowanie oczyszczalni ścieków komunalnych i systemów kanalizacji zbiorczej aglomeracji o RLM większych niż 2000.

KPOŚK podlega okresowej aktualizacji przynajmniej raz na cztery lata. W 2015 roku trwały prace nad czwartą aktualizacją Krajowego programu oczyszczania ścieków komunalnych 2015 (IVAKPOŚK). Przyjęta przez Radę Ministrów 21 kwietnia 2016 roku aktualizacja zawiera listę zadań zaplanowanych przez samorządy do realizacji na lata 2015-2021.

W 2016 roku w województwie łódzkim wykonano wiele prac poprawiających funkcjonowanie oczyszczalni ścieków i sieci wodociągowo-kanalizacyjnej, co przyczyniło się do zmniejszenia presji na środowisko wodne. Do ważniejszych inwestycji należały:

» Budowa, głównie na terenach wiejskich, 139,7 km sieci wodociągowej i 151,1 km sieci kanalizacyjnej, która spowodowała wzrost odsetka ludności korzystającej z oczyszczalni ścieków w województwie łódzkim do 69,3 %, w tym w miastach do 95,8%, a na terenach wiejskich do 25,4 %. Największy przyrost długości sieci kanalizacyjnej odnotowano w powiatach: tomaszowskim, kutnowskim, radomszczańskim, zgierskim i w mieście Łodzi.

» Rozbudowa i modernizacja mechaniczno-biologiczno-chemicznej, przemysłowej oczyszczalni ścieków na potrzeby Spółki Grupa Producentów Mleka EKOŁOWICZANKA Sp. z o.o. w Łowiczu. Modernizacja oczyszczalni ścieków polegała na: przebudowie i rozbudowie ciągu mechanicznego oczyszczania ścieków, przebudowie i rozbudowie części biologicznej, wykonaniu nowej instalacji gospodarki osadowej wraz z linią biogazu oraz suszarni osadu przefermentowanego.

» Rozbudowa i modernizacja Zakładu Unieszkodliwiania Odpadów w miejscowości Różanna przez Przedsiębiorstwo Gospodarki Komunalnej Sp. z o.o. w Opocznie. Modernizacja zakładu polegała na rozbudowie istniejącej instalacji mechanicznego przetwarzania odpadów komunalnych (sortowni) oraz budowie części biologicznej instalacji do mechaniczno-biologicznego przetwarzania odpadów innych niż niebezpieczne.

» Modernizacja miejskiej oczyszczalni ścieków w Bełchatowie przez Zakład Wodociągów i Kanalizacji „Wod-Kan” Sp. z o.o. w Bełchatowie. Na oczyszczalni ścieków zmodernizowano główny dopływowy kolektor ścieków oraz kompletny ciąg mechanicznego oczyszczania ścieków. Celem tych działań jest ograniczenie m.in. uciążliwości odorowej oczyszczalni.

» Rozbudowa oczyszczalni gminnej w Wartkowicach. Przebudowano część mechaniczno-biologiczną, którą wyposażono w automatyczną stację zlewni. Rozbudowano reaktory pracujące automatycznie, stanowiące część biologiczną procesu oczyszczania. Powstał zbiornik buforowy (adaptacja części starego reaktora) i utworzono komorę stabilizacji tlenowej osadu (KTSO). Inwestycja pochłonęła ponad 3,5 mln złotych.

» Zakończenie projektu „Modernizacja oczyszczalni ścieków i skanalizowanie części aglomeracji Tomaszowa Ma-



Fot. 2.11 Oczyszczalnia ścieków w Buczku po przebudowie

zowieckiego”, którego beneficjentem jest Zakład Gospodarki Wodno-Kanalizacyjnej w Tomaszowie Mazowieckim Sp. z o.o. W ramach inwestycji wybudowano 100 km sieci sanitarnej wraz z przyłączami, zmodernizowana została istniejąca sieć o długości 19 km. Realizacja inwestycji zwiększyła dostęp do kanalizacji ponad 15 500 mieszkańców, co spowodowało likwidację około 2 300 szamb. Wybudowana została nowa przepompownia ścieków oraz zmodernizowano oczyszczalnię ścieków przy ul. Henrykowskiej. Zrealizowany projekt ma szczególne znaczenie dla ekosystemów, teren inwestycji jest przeciętany gęstą siecią rzeczną i otoczony lasami Puszczy Pilickiej, sąsiaduje z obszarem Natura 2000 Łąki Ciebłowskie.

» Przebudowa i rozbudowa oczyszczalni ścieków gminy Buczek. W ramach inwestycji dokonano przebudowy pompowni ścieków i osadnika przepływowego w istniejących kubaturach. Wybudowano: dwa reaktory biologiczne, dwa zbiorniki osadu nadmiernego, punkt zlewny ścieków z opomiarowaniem. Nowa oczyszczalnia w znacznym stopniu poprawi jakość wody w rzece Końskiej.

W 2016 roku Wojewódzki Zarząd Melioracji i Urządzeń Wodnych zrealizował zadania o wartości 18 270 812,04 zł, związane z utrzymaniem i konserwacją urządzeń melioracji wodnych podstawowych, rolniczych zbiorników wodnych, budowli wodnych, urządzeń zabezpieczających przed powodzią i suszą, wód istotnych dla regulacji stosunków wodnych.

Opracowanie: **Urszula Łukawska**

Jakość powietrza należy do głównych działów tematycznych Państwowego Monitoringu Środowiska, ponieważ wpływa bezpośrednio na jakość życia ludzi.

W ramach PMS prowadzone są działania, mające na celu określenie jakości powietrza atmosferycznego, w odróżnieniu od powietrza w pomieszczeniach mieszkalnych oraz na stanowisku pracy.

Ocena jakości powietrza realizowana jest w oparciu o wojewódzkie systemy oceny jakości powietrza, nadzorowane przez wojewódzkie inspektoraty ochrony środowiska. Wszelkie działania w ramach systemu oceny jakości powietrza prowadzone są w podziale na bloki: presja, stan, reakcja.

W ramach określenia presji zbierane są informacje o wielkości emisji substancji do atmosfery, w podziale na poszczególne grupy źródeł. Tak usystematyzowane informacje w postaci baz danych emisji są wykorzystywane przy określeniu stanu jakości powietrza za pomocą matematycznego modelowania jakości powietrza, będącego pomocniczym narzędziem w ocenie jakości powietrza.

Główną metodą określenia stanu jakości powietrza są pomiary emisji zanieczyszczeń. System pomiarowy, stosowany w województwie łódzkim w 2016 r., można podzielić na 3 części:

- sieć pomiarów automatycznych (ciągłych)
- sieć pomiarów manualnych (dobowych)
- sieć pomiarów pasywnych (miesięcznych).

Poszczególne sieci różnią się metodami pomiaru, a co za tym idzie dokładnością i częstotliwością wyników. Metody monitoringu jakości powietrza o różnej intensywności przeznaczone są do oceny jakości powietrza na obszarach o różnym stopniu zagrożenia zdrowia ludności oraz stanu środowiska.

Na podstawie wyników pomiarów, wspartych matematycznym modelowaniem jakości powietrza, wykonywane są roczne oraz pięcioletnie oceny jakości powietrza.

Reakcją na wyniki rocznych ocen jakości powietrza są tworzone przez zarządy województw programy ochrony powietrza, w których zapisane są obowiązki władz lokalnych w zakresie inwestycji i działań organizacyjnych, mających na celu obniżenie poziomu substancji w powietrzu atmosferycznym do poziomów określonych w stosownych przepisach.

Tak zorganizowany system oceny jakości powietrza działa w oparciu o następujące uregulowania prawne:

- dyrektywa 2008/50/WE, dyrektywa CAFE – dyrektywa 2008/50/WE Parlamentu Europejskiego i Rady z 21 maja 2008 r. w sprawie jakości powietrza i czystszej powietrza dla Europy (Dz. Urz. UE L. 152 z 11.06.2008, str.1),
- ustawa z 27 kwietnia 2001 r. Prawo ochrony środowiska (tekst jednolity Dz.U. 2017 r., poz. 519 z późn. zmianami),
- rozporządzenie Ministra Środowiska z 13 września 2012 r. w sprawie dokonywania oceny poziomów substancji w powietrzu (Dz.U. z 2012 r., poz. 1032),
- rozporządzenie Ministra Środowiska z 24 sierpnia 2012 r. w sprawie poziomów niektórych substancji w powietrzu (Dz.U. z 2012 r., poz. 1031),
- rozporządzenie Ministra Środowiska z 2 sierpnia 2012 r. w sprawie stref, w których dokonuje się oceny jakości powietrza (Dz.U. z 2012 r., poz. 914),
- ustawa z 3 października 2008 r. o udostępnianiu informacji o środowisku i jego ochronie, udziale społeczeństwa w ochronie środowiska oraz o ocenach oddziaływania na środowisko (tekst jednolity Dz.U. 2017 r., poz. 1405),
- rozporządzenie Ministra Środowiska z 11 września 2012 r. w sprawie programów ochrony powietrza oraz planów działań krótkoterminowych (Dz.U. z 2012 r., poz. 1028),
- rozporządzenie Ministra Środowiska z 10 września 2012 r. w sprawie zakresu i sposobu przekazywania informacji dotyczących zanieczyszczenia powietrza (Dz.U. z 2012 r., poz. 1034),
- rozporządzenie Ministra Środowiska z 23 listopada 2010 r. w sprawie sposobu i częstotliwości aktualizacji informacji o środowisku (Dz.U. z 2010 r. nr 227, poz. 1485).

W czasie prac nad oceną jakości powietrza brane są pod uwagę także zalecenia Głównego Inspektora Ochrony Środowiska, zawarte w opracowywanych tematycznie wskazówkach.

Głównym zadaniem wojewódzkiego inspektoratu ochrony środowiska w ramach monitoringu jakości powietrza jest dokonywanie wstępnych, pięcioletnich i rocznych ocen jakości powietrza na terenie województwa, w podziale na strefy oceny. Wstępne i pięcioletnie oceny jakości powietrza sporządzane są co 5 lat w celu określenia metod ocen rocznych w każdej strefie oceny na kolejne 5 lat. Wyniki oceny pięcioletniej określają kształt systemu oceny jakości powietrza oraz potrzeby jego ewentualnych modyfikacji.

Roczne oceny jakości powietrza przeprowadzane są w celu określenia stanu zanieczyszczenia powietrza w strefach oceny i wykrycia ewentualnych przekroczeń standardów jakości powietrza (poziomów dopuszczalnych, docelowych oraz celów długoterminowych, określonych w rozporządzeniu ministra środowiska w sprawie poziomów niektórych substancji w powietrzu). Służą one do określenia potrzeby wdrażania programów ochrony powietrza w ramach planów naprawczych, wdrażanych przez zarząd województwa, będących reakcją na zły stan jakości powietrza.

Tabela 3.1 Poziomy dopuszczalne, docelowe i wartości celu długoterminowego stężenia substancji w powietrzu (z uwzględnieniem marginesów tolerancji za 2016 r.) opracowano na podstawie rozporządzenia Ministra Środowiska z dnia 24 sierpnia 2012 r. w sprawie poziomów niektórych substancji w powietrzu (Dz. U. 2012 r., poz. 1031).

| Lp. | Nazwa substancji | Okres uśredniania wyników pomiarów | Jednostki | Wartość dopuszczalnego i docelowego poziomu substancji w powietrzu oraz wartość celu długoterminowego | Uwzględniony margines tolerancji dla 2016 r. [%] | kryterium po uwzględnieniu marginesów tolerancji dla 2016 r. | | Termin osiągnięcia poziomu |
|-----|---------------------------------|------------------------------------|---------------------|---|---|--|--|----------------------------|
| | | | | | | wartość po uwzględnieniu marginesu tolerancji za 2016 r. | dopuszczalna częstość przekroczeń w roku kalendarzowym | |
| 1 | Benzen | rok kalendarzowy | µg/m ³ | 5 | 0 | 5 | - | 2010 |
| 2 | NO ₂ | jedna godzina | µg/m ³ | 200 | 0 | 200 | 18 razy | 2010 |
| | | rok kalendarzowy | µg/m ³ | 40 | 0 | 40 | - | 2010 |
| | | rok kalendarzowy | µg/m ³ | 30 | 0 | 30 | - | 2003 |
| 3 | SO ₂ | jedna godzina | µg/m ³ | 350 | 0 | 350 | 24 razy | 2005 |
| | | 24 godziny | µg/m ³ | 125 | 0 | 125 | 3 razy | 2005 |
| | | rok kalendarzowy | µg/m ³ | 20 | 0 | 20 | - | 2003 |
| 4 | Ołów ^{b)} | rok kalendarzowy | µg/m ³ | 0,5 | 0 | 0,5 | - | 2005 |
| 5 | PM _{2,5} ⁱ⁾ | rok kalendarzowy | µg/m ³ | 25 | 0 | 25 | - | 2015 |
| 6 | PM ₁₀ ^{c)} | 24 godziny | µg/m ³ | 50 | 0 | 50 | 35 razy | 2005 |
| | | rok kalendarzowy | µg/m ³ | 40 | 0 | 40 | - | 2005 |
| 7 | CO | 8 godzin ^{d)} | µg/m ³ | 10000 ^{d)} | 0 | 10000 ^{d)} | - | 2005 |
| 8 | Arsen ^{e)} | rok kalendarzowy | ng/m ³ | 6 | 0 | 6 | - | 2013 |
| 9 | Benzo(a)piren ^{e)} | rok kalendarzowy | ng/m ³ | 1 | 0 | 1 | - | 2013 |
| 10 | Kadm ^{e)} | rok kalendarzowy | ng/m ³ | 5 | 0 | 5 | - | 2013 |
| 11 | Nikiel ^{e)} | rok kalendarzowy | ng/m ³ | 20 | 0 | 20 | - | 2013 |
| 12 | Ozon | 8 godzin ^{d)} | µg/m ³ | 120 ^{d)} | 0 | 120 ^{d)} | 25 dni ^{f)} | 2010/2020 |
| | | okres wegetacyjny (1V – 31VII) | µg/m ³ h | 18000 ^{g) h)} | 0 | 18000 ^{g) h)} | - | 2010 |
| | | okres wegetacyjny (1V – 31VII) | µg/m ³ h | 6000 ^{g)} | 0 | 6000 | - | 2020 |

kolorem czerwonym – oznaczono wartości kryterialne określone ze względu na ochronę zdrowia ludzi

kolorem zielonym – oznaczono wartości kryterialne określone ze względu na ochronę roślin

a) – suma dwutlenku azotu i tlenku azotu w przeliczeniu na dwutlenek azotu,

b) – suma metalu i jego związków w pyłe zawieszonym PM₁₀,

c) – stężenie pyłu o średnicy aerodynamicznej ziaren do 10 µm (PM₁₀) mierzone metodą wagową z separacją frakcji lub metodami uznanymi za równorzędne,

d) – maksymalna średnia ośmiogodzinna, spośród średnich krocących, obliczanych co godzinę z ośmiu średnich jednogodzinnych w ciągu doby. Każdą tak obliczoną średnią 8-godzinową przypisuje się dobie, w której się ona kończy; pierwszym okresem obliczeniowym dla każdej doby jest okres od godziny 17.00 dnia poprzedniego do godziny 01.00 danego dnia. Ostatnim okresem obliczeniowym dla każdej doby jest okres od godziny 16.00 do 24.00 tego dnia czasu środkowoeuropejskiego CET.

e) – całkowita zawartość tego pierwiastka w pyłe zawieszonym PM₁₀, a dla benzo(a)pirenu całkowitą zawartość benzo(a)pirenu w pyłe zawieszonym PM₁₀,

f) – liczba dni z przekroczeniem poziomu docelowego w roku kalendarzowym uśredniona w ciągu kolejnych trzech lat.

W przypadku braku danych pomiarowych z trzech lat dotrzymanie dopuszczalnej częstości przekroczeń sprawdza się na podstawie danych pomiarowych z co najmniej jednego roku; od 2020r. dopuszczalna częstość przekroczeń nie obowiązuje, kryterium oceny dla celu długoterminowego jest jednokrotne przekroczenie normowanego poziomu stężenia w roku kalendarzowym.

g) – wyrażony jako AOT 40, które oznacza sumę różnic pomiędzy stężeniem średnim jednogodzinnym wyrażonym w µg/m³ a wartością 80 µg/m³, dla każdej godziny w ciągu doby pomiędzy godziną 8.00 a 20.00 czasu środkowoeuropejskiego CET, dla której stężenie jest większe niż 80 µg/m³. Wartość tę uznaje się za dotrzymaną, jeżeli nie przekracza jej średnia z takich sum obliczona dla okresów wegetacyjnych z pięciu kolejnych lat. W przypadku braku danych pomiarowych z pięciu lat dotrzymanie tej wartości sprawdza się na podstawie danych pomiarowych z co najmniej trzech kolejnych lat. W przypadku gdy w serii pomiarowej występują braki, obliczaną wartość AOT 40 należy pomnożyć przez iloraz liczby możliwych terminów pomiarowych do liczby wykonanych w tym okresie pomiarów.

h) – Wartość uśredniona dla kolejnych pięciu lat. W przypadku braku danych pomiarowych z pięciu lat dotrzymanie dopuszczalnej częstości przekroczeń sprawdza się na podstawie danych pomiarowych z co najmniej trzech lat,

i) – stężenie pyłu o średnicy aerodynamicznej ziaren do 2,5 µm (PM_{2,5}) mierzone metodą wagową z separacją frakcji lub metodami uznanymi za równorzędne.

Tabela 3.2 Poziomy docelowe dla niektórych substancji w powietrzu opracowano na podstawie rozporządzenia Ministra Środowiska z dnia 24 sierpnia 2012 r. (Dz. U. 2012 r., poz. 1031)

| Lp. | Nazwa substancji | okres uśredniania wyników pomiarów | Poziom docelowy substancji w powietrzu | Dopuszczalna częstość przekraczania poziomu docelowego w roku kalendarzowym | Termin osiągnięcia poziomu |
|-----|-----------------------------|------------------------------------|--|---|----------------------------|
| 1 | Arsen ^{b)} | rok kalendarzowy | 6 ng/m ³ | - | 2013 |
| 2 | Benzo(a)piren ^{b)} | rok kalendarzowy | 1 ng/m ³ | - | 2013 |
| 3 | Kadm ^{b)} | rok kalendarzowy | 5 ng/m ³ | - | 2013 |
| 4 | Nikiel ^{b)} | rok kalendarzowy | 20 ng/m ³ | - | 2013 |
| 5 | Ozon | 8 godzin ^{e)} | 120 µg/m ³ ^{e)} | 25 dni ^{f)} | 2010 |
| | | okres wegetacyjny (1V – 31VII) | 18000 µg/m ³ h ^{g) h)} | - | 2010 |

kolorem czerwonym – oznaczono wartości kryterialne określone ze względu na ochronę zdrowia ludzi

kolorem zielonym – oznaczono wartości kryterialne określone ze względu na ochronę roślin

b) – całkowita zawartość tego pierwiastka w pyłe zawieszonym PM10, a dla benzo(a)pirenu całkowita zawartość benzo(a)pirenu w pyłe zawieszonym PM10,

e) – maksymalna średnia ośmiogodzinna spośród średnich krocących, obliczanych ze średnich jednogodzinnych w ciągu doby; każdą tak obliczoną średnią 8-godzinną przypisuje się dobie, w której się ona kończy; pierwszym okresem obliczeniowym dla każdej doby jest okres od godziny 17.00 dnia poprzedniego do godziny 01.00 danego dnia; ostatnim okresem obliczeniowym dla każdej doby jest okres od godziny 16.00 do 24.00 tego dnia czasu środkowoeuropejskiego CET,

f) – liczba dni z przekroczeniem poziomu docelowego w roku kalendarzowym uśredniona w ciągu kolejnych trzech lat; w przypadku braku danych pomiarowych z trzech lat dotrzymanie dopuszczalnej częstości przekroczeń sprawdza się na podstawie danych pomiarowych z co najmniej jednego roku,

g) – wyrażony jako AOT 40, które oznacza sumę różnic pomiędzy stężeniem średnim jednogodzinnym wyrażonym w µg/m³ a wartością 80 µg/m³, dla każdej godziny w ciągu doby pomiędzy godziną 8.00 a 20.00 czasu środkowoeuropejskiego, dla której stężenie jest większe niż 80 µg/m³; wartość tę uznaje się za dotrzymaną, jeżeli nie przekracza jej średnia z takich sum obliczona dla okresów wegetacyjnych z pięciu kolejnych lat; w przypadku braku danych pomiarowych z pięciu lat dotrzymanie tej wartości sprawdza się na podstawie danych pomiarowych z co najmniej trzech lat;

w przypadku gdy w serii pomiarowej występują braki, obliczaną wartość AOT 40 należy pomnożyć przez iloraz liczby możliwych terminów pomiarowych do liczby wykonanych w tym okresie pomiarów,

h) – wartość uśredniona dla kolejnych pięciu lat; w przypadku braku danych pomiarowych z pięciu lat dotrzymanie dopuszczalnej częstości przekroczeń sprawdza się na podstawie danych pomiarowych z co najmniej trzech lat

Tabela 3.3 Poziomy celów długoterminowych dla ozonu w powietrzu

opracowano na podstawie rozporządzenia Ministra Środowiska z dnia 24 sierpnia 2012 r. (Dz. U. 2012 r., poz. 1031)

| Lp. | Nazwa substancji | okres uśredniania wyników pomiarów | Poziom celu długoterminowego substancji w powietrzu | Termin osiągnięcia poziomu |
|-----|------------------|------------------------------------|---|----------------------------|
| 1 | Ozon | 8 godzin ^{b)} | 120 µg/m ³ ^{e)} | 2020 |
| | | okres wegetacyjny (1V – 31VII) | 6000 µg/m ³ h ^{e)} | 2020 |

kolorem czerwonym – oznaczono wartości kryterialne określone ze względu na ochronę zdrowia ludzi

kolorem zielonym – oznaczono wartości kryterialne określone ze względu na ochronę roślin

b) – maksymalna średnia ośmiogodzinna spośród średnich krocących, obliczanych ze średnich jednogodzinnych w ciągu doby; każdą tak obliczoną średnią 8-godzinną przypisuje się dobie, w której się ona kończy; pierwszym okresem obliczeniowym dla każdej doby jest okres od godziny 17.00 dnia poprzedniego do godziny 01.00 danego dnia; ostatnim okresem obliczeniowym dla każdej doby jest okres od godziny 16.00 do 24.00 tego dnia czasu środkowoeuropejskiego CET,

e) – wyrażony jako AOT 40, które oznacza sumę różnic pomiędzy stężeniem średnim jednogodzinnym wyrażonym w µg/m³ a wartością 80 µg/m³, dla każdej godziny w ciągu doby pomiędzy godziną 8.00 a 20.00 czasu środkowoeuropejskiego, dla której stężenie jest większe niż 80 µg/m³; wartość tę uznaje się za dotrzymaną, jeżeli nie przekracza jej średnia z takich sum obliczona dla okresów wegetacyjnych z pięciu kolejnych lat; w przypadku braku danych pomiarowych z pięciu lat dotrzymanie tej wartości sprawdza się na podstawie danych pomiarowych z co najmniej trzech lat;

w przypadku gdy w serii pomiarowej występują braki, obliczaną wartość AOT 40 należy pomnożyć przez iloraz liczby możliwych terminów pomiarowych do liczby wykonanych w tym okresie pomiarów,

Sieć pomiarów automatycznych składała się z 10 stacji pomiarowych. Spośród nich na terenie aglomeracji łódzkiej umiejscowionych było 6 stacji pomiarowych. W Piotrkowie Trybunalskim i Radomsku działały kolejne 2 stacje pomiaru tła miejskiego. Na obszarach nieurbanizowanych zlokalizowano 2 stacje pomiarowe: w Gajewie (gmina Witonia, powiat łęczycki) oraz w Parzniewicach (gmina Wola Krzysztoporska, powiat piotrkowski). Takie rozmieszczenie stacji pomiarowych zapewnia dokładną ocenę jakości powietrza na obszarach najbardziej zagrożonych.

Jednym z elementów sieci stacji automatycznych była stacja meteorologiczna w Łodzi przy ul. Lipowej 81 (maszt o wys. 35 m n.p.t.). Stanowi ona uzupełnienie osłony meteorologicznej, niezbędnej w analizie wyników pomiarów imisji.

W polskim prawodawstwie szczególny nacisk położony został na ocenę jakości powietrza na obszarach aglomeracji o liczbie mieszkańców większej niż 250 tys. oraz miast powyżej 100 tys. mieszkańców, dla których określono obowiązek wykonywania pomiarów ciągłych. Dlatego największe nakłady środków i prac w dziedzinie monitoringu jakości powietrza są lokowane na obszarze aglomeracji łódzkiej. Jest to związane z dużą liczbą ludności narażonej na negatywne skutki zdrowotne pogorszonego stanu aerosanitarne powietrza oraz intensywnością niekorzystnych zjawisk związanych z kumulacją zanieczyszczeń powietrza na obszarach silnie zurbanizowanych (wzmoczona emisja zanieczyszczeń, duże skupienie źródeł emisji na małym obszarze, pogorszone warunki przewietrzania w związku z gęstą zabudową).

Manualne pomiary 24-godzinne stężenia pyłu wykonywane były na 18 stanowiskach pomiarowych w miastach województwa, w tym stężenie pyłu PM₁₀ oraz jego składu chemicznego mierzono na 15 stanowiskach pomiarowych. Miesięczne pomiary z pasywnym poborem próby wykonywane były w 100 punktach pomiarowych, w tym w mniejszych miejscowościach w celu określenia lokalnie występujących obszarów przekroczeń średniorocznych wartości poziomów dopuszczalnych SO₂ i NO₂.

Drugą istotną częścią systemu oceny jakości powietrza w województwie jest matematyczne modelowanie jakości. W celu dokonania obliczeń poziomu stężenia substancji w powietrzu niezbędne jest uprzednie zebranie danych o emisji punktowej, emisji liniowej (komunikacyjnej) oraz emisji komunalnej, oszacowanej powierzchniowo (na obszarach zabudowy niepodłączonej do sieci ciepłnej). Ponadto do obliczeń modelowych konieczne są dane meteorologiczne w gęstej sieci receptorów, otrzymywane ze specjalistycznego modelu meteorologicznego WRF. Informacje te są niezbędne do obliczenia warunków rozprzestrzeniania się zanieczyszczeń ze źródeł emisji. Całość baz danych oraz wyniki obliczeń są zorientowane i opisane w systemach informacji przestrzennej GIS, służących do dalszych analiz przestrzennych występowania pól emisji, w tym analizy narażenia ludności województwa.

W rocznej ocenie jakości powietrza za 2016 r. po raz drugi wykorzystano wyniki matematycznego modelowania jakości powietrza dla obszaru całego kraju, wykonanego na zlecenie Głównego Inspektoratu Ochrony Środowiska. Przez ostatnich kilkanaście lat roczne oceny jakości powietrza w województwie łódzkim oparte były na matematycznym modelowaniu jakości powietrza, wykonanym dla obszaru województwa, na zlecenie WIOŚ Łódź.

W związku ze zmianą skali przestrzennej ww. opracowania uległy zmianie metody szacowania emisji powierzchniowej oraz komunikacyjnej.

Dodatkowym zastosowaniem matematycznego modelowania jakości powietrza oraz zebranych w WIOŚ w Łodzi baz danych jest prognozowanie stanu zanieczyszczenia powietrza w oparciu o cyfrowe prognozy meteorologiczne. W wyniku obliczeń otrzymywane są mapy w formie dynamicznych animacji rozkładu stężenia pyłu PM₁₀ w najbliższych 24 godzinach. Przebieg oraz rozkład przestrzenny wartości stężenia określany jest oddzielnie na obszarach miast aglomeracji łódzkiej, Piotrkowa Trybunalskiego, Skierniewic, Sieradza oraz obszarze całego województwa.

Dodatkowo dla obszaru całego kraju wykonywane są prognozy stężenia ozonu troposferycznego na zlecenie Głównego Inspektoratu Ochrony Środowiska. W ramach tych prognoz generowane są mapy prognozowanego stężenia ozonu na obszarze województwa (prezentowane m.in. na stronie www.wios.lodz.pl).

Kolejnym elementem systemu oceny jakości powietrza są analizy przestrzenne w systemach GIS. Zastosowanie narzędzi GIS wynika z potrzeb w zakresie oceny jakości powietrza oraz z wymogów modelu dyspersyjnego, wykorzystywanego do obliczeń jakości powietrza.

Dzięki współpracy z Departamentem Geodezji i Kartografii Urzędu Marszałkowskiego w Łodzi, w ramach prac nad Regionalnym Systemem Informacji Przestrzennej Województwa Łódzkiego, Wojewódzki Inspektorat Ochrony Środowiska dysponuje mapami cyfrowymi, stanowiącymi podstawę do rozbudowy zasobów danych przestrzennych, dotyczących m.in. jakości powietrza. Na potrzeby systemu zorganizowane zostały zasoby informacji o wielkości emisji w podziale na grupy źródeł oraz zasoby zawierające informacje o poziomie emisji zanieczyszczeń powietrza.

Istotnym zadaniem systemu oceny jakości powietrza jest m.in. ostrzeganie władz oraz opinii publicznej o ryzyku wystąpienia bądź wystąpieniu przekroczeń poziomów dopuszczalnych, docelowych i alarmowych substancji w powietrzu. Identyfikację przekroczeń umożliwia sieć pomiarów automatycznych, które charakteryzują się krótkim czasem pomiędzy zakończeniem pomiaru a udostępnieniem wyników za pośrednictwem strony www.

Narzędziem umożliwiającym ostrzeganie ludności o ryzyku wystąpienia przekroczenia poziomów alarmowych, w cyklu krótkoterminowym, jest cyfrowa prognoza jakości powietrza.

Procedurę informowania o wystąpieniu lub ryzyku wystąpienia przekroczenia poziomu dopuszczalnego, docelowego lub poziomu alarmowego ogólnie sformułowano w art. 92 i 93 ustawy Prawo ochrony środowiska oraz w wytycznych Głównego Inspektora Ochrony Środowiska. Ponadto w województwie łódzkim od kilku lat zagadnienie przekroczeń poziomów alarmowych substancji w powietrzu zostało uwzględnione w Wojewódzkim Planie Reagowania Kryzysowego, tworzonym i aktualizowanym przy współpracy służb wojewody i marszałka województwa.

Oprócz powiadamiania na szczeblu województwa, dane dotyczące przekroczeń lub ryzyka przekroczeń poziomów substancji w powietrzu są przekazywane za pośrednictwem bazy danych JPOAT 2.0 do GIOŚ.

Wyniki pomiarów oraz prognoz zanieczyszczenia powietrza są na bieżąco publikowane na stronie internetowej inspektoratu w systemie on-line (www.wios.lodz.pl).

Obecnie najważniejszym zadaniem Wojewódzkiego Inspektoratu Ochrony Środowiska w Łodzi w dziedzinie ochrony powietrza jest kontrola realizacji programów ochrony powietrza (w których zapisano obowiązek realizacji działań naprawczych dla kilkunastu miast w województwie łódzkim). Kontrolą objęte będą stopniowo kolejne podmioty administracji samorządowej i podmioty gospodarcze, na które nałożono obowiązki realizacji inwestycji w zakresie rozbudowy infrastruktury energetycznej (zwiększenie mocy i modernizacja źródeł, rozbudowa sieci ciepłowniczej itp.) oraz przebudowy infrastruktury drogowej. Do końca 2016 r. skontrolowano 3 gminy pod kątem realizacji POP-ów.

Tabela 3.4 Alarmowe poziomy niektórych substancji, oznaczenie numeryczne tych substancji oraz okresy, dla których uśrednia się wyniki pomiarów opracowano na podstawie rozporządzenia Ministra Środowiska z dnia 24 sierpnia 2012 r. (Dz. U. 2012 r., poz. 1031)

| Lp. | Nazwa substancji (numer CAS) ^{a)} | Okres uśredniania wyników pomiarów | Alarmowy poziom substancji w powietrzu [$\mu\text{g}/\text{m}^3$] |
|-----|--|------------------------------------|---|
| 1 | Dwutlenek azotu (10102-44-0) | jedna godzina | 400 ^{b)} |
| 2 | Dwutlenek siarki (7446-09-5) | jedna godzina | 500 ^{b)} |
| 3 | Ozon (10028-15-6) | jedna godzina | 240 |
| 4 | Pył zawieszony PM10 ^{c)} | 24 godziny | 300 |

a) – oznaczenie numeryczne substancji według Chemical Abstracts Service Registry Numer.

b) – wartość występująca przez trzy kolejne godziny w punktach pomiarowych reprezentujących jakość powietrza na obszarze o powierzchni co najmniej 100km² albo na obszarze strefy zależnie od tego, który z tych obszarów jest mniejszy.

c) – Stężenie pyłu o średnicy aerodynamicznej ziaren do 10 μm (PM10) mierzone urządzeniami do pomiarów automatycznych z zastosowaniem metod równoważnych metodzie referencyjnej

Tabela 3.5 Poziomy informowania dla niektórych substancji w powietrzu, oznaczenie numeryczne tych substancji oraz okresy, dla których uśrednia się wyniki pomiarów opracowano na podstawie rozporządzenia Ministra Środowiska z dnia 24 sierpnia 2012 r. (Dz. U. 2012 r., poz. 1031)

| Lp. | Nazwa substancji (numer CAS) ^{a)} | Okres uśredniania wyników pomiarów | Alarmowy poziom substancji w powietrzu [$\mu\text{g}/\text{m}^3$] |
|-----|--|------------------------------------|---|
| 1 | Ozon (10028-15-6) | jedna godzina | 180 ^{b)} |
| 2 | Pył zawieszony PM10 ^{c)} | 24 godziny | 200 ^{d)} |

a) Oznaczenie numeryczne substancji wg Chemical Abstracts Service Registry Number.

b) Wartość progowa informowania społeczeństwa o ryzyku wystąpienia przekroczenia poziomu alarmowego dla ozonu.

c) Stężenie pyłu o średnicy aerodynamicznej ziaren do 10 μm (PM10) mierzone urządzeniami do pomiarów automatycznych z zastosowaniem metod równoważnych metodzie referencyjnej.

d) Wartość progowa informowania społeczeństwa o ryzyku wystąpienia przekroczenia poziomu alarmowego dla pyłu PM10.

PRESJE – EMISJA ZANIECZYSZCZEŃ DO POWIETRZA

Powietrze atmosferyczne to, według klasycznego pojęcia, bezbarwna i bezwonna mieszanina gazów i aerozoli tworzących niejednorodną powłokę zwaną atmosferą ziemską. Stałymi składnikami suchego czystego powietrza w najbliższej Ziemi części atmosfery są:

- » azot (78,08%),
- » tlen (20,95%),
- » argon (0,93%)
- » dwutlenek węgla (wartość zmienna - ok. 0,036%)
- » gazy szlachetne, wodór i metan (0,004%).

W skład czystego powietrza wchodzi również zmienna ilość pary wodnej.

Wszelkie substancje wprowadzane do powietrza i powodujące zmianę jego stałego składu uważane są za zanieczyszczenia. Zanieczyszczenia powietrza mogą zagrażać zdrowiu człowieka i zwierząt (poprzez wnikanie do układu oddechowego i krwionośnego), degradować roślinność, środowisko glebowe i wodne, niekorzystnie oddziaływać na klimat oraz niszczyć materiały konstrukcyjne i budowlane. Ich źródłem mogą być naturalne procesy zachodzące na Ziemi, np. emisja biogenna z terenów zielonych, mórz i oceanów, wybuchy wulkanów, pożary lasów, erozja gleb i skał, jak również działalność człowieka: począwszy od rozwoju rolnictwa, poprzez rewolucję przemysłową i dalszy industrialny rozwój cywilizacji ludzkiej. I właśnie działalność człowieka, ze względu na ogromną różnorodność emitowanych zanieczyszczeń, ich ilość i znaczną koncentrację terytorialną, stanowi podstawowy rodzaj presji na powietrze.

Głównym źródłem antropogenicznej emisji zanieczyszczeń do powietrza jest spalanie paliw stałych, ciekłych i gazowych. Z procesami spalania mamy do czynienia we wszystkich niemal dziedzinach gospodarki: energetyce, przemyśle, transporcie oraz mieszkalnictwie i gospodarce komunalnej (emisja gazów: dwutlenku węgla, dwutlenku siarki, tlenków azotu, tlenku węgla, a także pyłu, metali ciężkich i węglowodorów aromatycznych). Poza spalaniem paliw istotnymi źródłami zanieczyszczeń powietrza są procesy technologiczne w przemyśle (emisja pyłów, metali ciężkich, lotnych związków organicznych i nieorganicznych) oraz działalność rolnicza (emisja amoniaku, tlenków azotu, metanu i pyłu).

Ze względu na sposób emitowania zanieczyszczeń do powietrza możemy wyodrębnić trzy rodzaje źródeł emisji:

- punktowe – wysokie kominy w dużych obiektach: elektrowniach, elektrociepłowniach, zakładach przemysłowych, z których smuga zanieczyszczeń jest wynoszona na znaczną wysokość i ulega rozproszeniu; emisja z tych źródeł jest z reguły ustabilizowana i podlega kontroli;
- liniowe – zespoły źródeł punktowych zlokalizowanych wzdłuż linii prostych, reprezentowane najczęściej przez transport samochodowy, kolejowy i wodny, gdzie emisje z pojedynczych emitorów (silników spalinowych) sumują się wzdłuż szlaków komunikacyjnych; emisja ze źródeł transportu jest niejednorodna w czasie i przestrzeni i niełatwa do oszacowania;
- powierzchniowe – źródła emisji o wysokości kilku rzędów niższej od zajmowanej powierzchni, do których zaliczamy głównie obszary zabudowy mieszkaniowej z indywidualnym ogrzewaniem, ale także tereny rolnicze, składowiska odpadów, hałdy i kopalnie odkrywkowe. Niewielka wysokość źródeł emisji uniemożliwia wyniesienie zanieczyszczeń i ich rozproszenie, przy niesprzyjających warunkach meteorologicznych są one bardzo uciążliwe dla otaczającego środowiska. Jest to typ emisji trudny do oszacowania ze względu na zależność od wielu czynników, np. temperatury w okresie grzewczym, rodzaju spalanego paliwa, typu ogrzewania a także indywidualnego zapotrzebowania na ciepło.

Inwentaryzacja i szacowanie wielkości emisji są istotne ze względu na potrzebę oceny udziału poszczególnych źródeł w zanieczyszczeniu powietrza na danym obszarze. Jednocześnie należy mieć na uwadze emisję napływową z terenów sąsiednich; zanieczyszczenia, dostając się do atmosfery, przemieszczają się bowiem z masami powietrza na dalekie odległości. Przygotowane bazy emisyjne zawierające informacje o lokalizacji i parametrach emitorów wraz z wielkością emisji są materiałem wsadowym do modelowych obliczeń rozprzestrzeniania się zanieczyszczeń, wykonywanych w celu wspomagania rocznych ocen jakości powietrza.

W województwie łódzkim informacje o źródłach punktowych uzyskiwane były przez WIOŚ, natomiast dane emisyjne dotyczące pozostałych źródeł, podobnie jak w całej Polsce, przygotowane zostały, na zlecenie GIOŚ, przez firmę ATMOTERM SA w ramach realizacji pracy „Zgromadzenie danych emisyjnych wraz z oceną ich poprawności i kompletności” (Program Operacyjny PO3 „Wzmocnienie monitoringu środowiska oraz działań kontrolnych” w ramach projektu „Wzmocnienie systemu jakości powietrza w Polsce w oparciu o doświadczenia norweskie”).

Poniżej scharakteryzowano strukturę emisji zanieczyszczeń do powietrza z terenu województwa łódzkiego w podziale na punktową, liniową i powierzchniową, przy czym w przypadku źródeł liniowych pod uwagę został wzięty tylko transport drogowy (spalanie paliw w silnikach oraz ścieranie opon, unos z powierzchni jezdni), natomiast w przypadku

źródeł powierzchniowych – sektor komunalno-bytowy (indywidualne spalanie paliw w celach grzewczych). Emisję z rolnictwa oraz z terenów kopalni odkrywkowych (niezorganizowaną) scharakteryzowano w oddzielnych punktach.

W tabelach przedstawiono dane dotyczące głównych zanieczyszczeń powietrza, dla których obowiązują dopuszczalne poziomy stężenia imisyjnych: dwutlenku siarki, dwutlenku azotu, tlenku węgla, pyłu PM10, a także benzo(a)pirenu – wielopierścieniowego węglowodoru aromatycznego o działaniu kancerogennym, którego stężenia w powietrzu przekraczają poziom docelowy na znacznej powierzchni województwa łódzkiego. W tekście zamieszczono również informację o emisji niemetanowych lotnych związków organicznych (NMLZO) oraz amoniaku (NH₃) – ważnych prekursorów zanieczyszczeń wtórnych – głównie pyłu drobnego PM2,5, a w przypadku NMLZO także ozonu troposferycznego.

EMISJA PUNKTOWA

Dane nt. wielkości punktowej emisji zanieczyszczeń do powietrza z terenu województwa łódzkiego w roku 2016 pochodziły z bazy Urzędu Marszałkowskiego w Łodzi oraz bezpośrednio z zakładów przemysłowych i większych jednostek gospodarczych (ankietyzacja). Wielkość emisji głównych zanieczyszczeń w całym województwie i w rozbiu na powiaty przedstawiono w tabeli 3.6. W tabeli 3.7 natomiast zamieszczono głównych emitentów w województwie.

Tabela 3.6 Punktowa emisja zanieczyszczeń do powietrza z terenu województwa łódzkiego w roku 2016

| Ogółem województwo łódzkie | Emisja punktowa w Mg | | | | |
|----------------------------|----------------------|-----------------|------------|-----------|--------|
| | SO ₂ | NO ₂ | CO | Pył og.* | Bap** |
| | 39 283,430 | 37 194,319 | 33 259,045 | 3 080,724 | 0,761 |
| powiaty | | | | | |
| bełchatowski | 30135,084 | 27893,274 | 21462,112 | 884,530 | 0,0085 |
| kutnowski | 446,849 | 208,204 | 381,254 | 137,666 | 0,0404 |
| łaski | 41,261 | 53,863 | 118,611 | 37,536 | 0,0377 |
| łęczycki | 12,855 | 14,876 | 72,215 | 32,009 | 0,0038 |
| łowicki | 166,846 | 69,709 | 176,552 | 59,463 | 0,0551 |
| łódzki wschodni | 79,297 | 33,108 | 66,088 | 41,224 | 0,0222 |
| opoczyński | 187,808 | 160,167 | 252,193 | 173,466 | 0,0415 |
| pabianicki | 341,234 | 185,998 | 161,460 | 104,510 | 0,0415 |
| pajęczański | 125,198 | 2539,418 | 6680,096 | 148,259 | 0,0154 |
| piotrkowski | 65,592 | 50,124 | 147,393 | 23,501 | 0,0159 |
| poddębicki | 2,297 | 7,157 | 16,373 | 42,535 | 0,0038 |
| radomszczański | 280,154 | 143,860 | 240,184 | 73,119 | 0,0576 |
| rawski | 13,896 | 16,428 | 72,920 | 17,170 | 0,0129 |
| sieradzki | 443,643 | 183,835 | 266,269 | 106,813 | 0,0675 |
| skierniewicki | 18,853 | 0,784 | 33,995 | 8,490 | 0,0042 |
| tomaszowski | 467,244 | 1674,273 | 480,012 | 235,256 | 0,0429 |
| wieluński | 281,003 | 94,795 | 69,528 | 56,323 | 0,0226 |
| wieruszowski | 133,516 | 233,477 | 617,526 | 206,834 | 0,0231 |
| zduńskowolski | 338,238 | 126,503 | 132,240 | 55,920 | 0,0431 |
| zgierski | 647,707 | 331,059 | 870,508 | 160,065 | 0,0989 |
| brzeziński | 32,295 | 16,019 | 19,479 | 4,051 | 0,0105 |
| Łódź | 4193,856 | 2858,201 | 498,794 | 206,307 | 0,0166 |
| Piotrków Tryb. | 433,744 | 163,901 | 117,468 | 170,789 | 0,0210 |
| Skierniewice | 394,963 | 135,286 | 305,777 | 87,615 | 0,0548 |

*pył ogółem; zawartość pyłu PM10 w pyle ogółem z zakładów wyposażonych w wysokosprawne instalacje odpylające wynosiła od ok. 80 do ponad 90%, natomiast udział pyłu PM2,5 w pyle PM10 średnio ok. 65%

**benzo(a)piren

Poza zanieczyszczeniami ujętymi w tabeli ze źródeł punktowych wyemitowane zostało do powietrza ok. 1100 Mg niemetanowych lotnych związków organicznych oraz ok. 200 Mg amoniaku.

Tabela 3.7 Największe źródła punktowej emisji zanieczyszczeń do powietrza z terenu województwa łódzkiego w roku 2016

| Ogółem województwo łódzkie | Emisja punktowa w Mg | | | | |
|--|----------------------|-----------------|------------|-----------|--------|
| | SO ₂ | NO ₂ | CO | Pył og.* | Bap** |
| | 39 283,430 | 37 194,319 | 33 259,045 | 3 080,724 | 0,761 |
| Największe źródła emisji punktowej | | | | | |
| PGE GiEK SA -Elektrownia Bełchatów Rogowiec gm. Kleszczów | 30 062,0 | 27 763,0 | 21 400,0 | 781,0 | - |
| VEOLIA ENERGIA ŁÓDŹ SA | 4 162,774 | 2 797,788 | 388,956 | 143,464 | 0,0093 |
| Miejski Zakład Gospodarki Komunalnej Sp. z o.o. Piotrków Tryb. | 424,309 | 129,579 | 69,492 | 116,152 | 0,0180 |
| PGE GiEK SA – Elektrociepłownia Zgierz | 402,266 | 181,324 | 541,003 | 21,949 | 0,0003 |
| Przedsiębiorstwo Energetyki Ciepłej Sp. z o.o. w Sieradzu | 328,627 | 98,860 | 18,798 | 39,036 | 0,0002 |
| Zakład Energetyki Ciepłej Sp. z o.o. w Pabianicach | 310,523 | 142,496 | 39,898 | 72,538 | 0,0267 |
| Elektrociepłownia „ZDUŃSKA WOLA” Sp. z o.o. | 286,915 | 94,300 | 7,405 | 11,884 | 0,0148 |
| ENERGETYKA CIEPLNA Sp. z o.o., Skierniewice | 263,845 | 65,032 | 84,351 | 18,230 | 0,0105 |
| EUROGLAS POLSKA SPÓŁKA z o.o. Os. Niewiadów gm. Ujazd | 215,268 | 1554,912 | 94,332 | 104,393 | - |
| PFLEIDERER PROSPAN S.A., Wieruszów | 94,508 | 203,847 | 528,243 | 176,421 | 0,0052 |
| Cementownia WARTA S.A., Trębaczew gm. Działoszyń | 54,405 | 2507,987 | 6589,275 | 84,837 | - |
| OPOCZNO I Sp. z o.o. | 10,120 | 73,284 | 63,322 | 88,123 | - |

*zawartość pyłu PM10 w pyłe ogółem z zakładów wyposażonych w wysokosprawne instalacje odpylające wynosiła od ok. 80 do ponad 90%, natomiast udział pyłu PM2,5 w pyłe PM10 średnio ok. 65%

**benzo(a)piren

Wielkość emisji punktowej w województwie łódzkim jest zdeterminowana poziomem emisji z Elektrowni Bełchatów. Udział emisji z Elektrowni w ogólnej emisji punktowej z terenu województwa łódzkiego w 2016 r. wynosił: 76% w przypadku SO₂, 75% w przypadku NO₂, 64% w przypadku CO i 26% w przypadku pyłu. Elektrownia Bełchatów – największa w Europie elektrownia węglowa pracująca na bazie węgla brunatnego jest największym producentem energii elektrycznej w Polsce; jej udział w krajowej produkcji energii wynosi ponad 20%. W elektrowni eksploatowanych jest 13 bloków energetycznych: 12 bloków o mocy 370 – 390 MW każdy, z których spaliny odprowadzane są dwoma kominami o wysokości 300 m oraz 1 blok o mocy 858 MW, z którego spaliny odprowadzane są do chłodni kominowej o wysokości 180 m. Każdy z bloków Elektrowni Bełchatów wyposażony jest w elektrofiltry o wysokiej skuteczności odpylania spalin oraz instalacje odsiarczania spalin z wykorzystaniem metody wapiennej mokrej. Od roku 2011 w Elektrowni wdrażany był program dostosowania aktywów wytwórczych PGE GiEK SA do wymogów środowiskowych wynikających z dyrektywy Parlamentu Europejskiego i Rady nr 2010/75/UE z dnia 24 listopada 2010 r. w sprawie emisji przemysłowych. Termin wejścia w życie nowych, znacznie zaostrzonych standardów emisyjnych wyznaczony został, zgodnie z rozporządzeniem Ministra Środowiska z dnia 4 listopada 2014 r., na dzień 1 stycznia 2016 r. W wyniku prac nad modernizacją instalacji odsiarczania i odazotowania spalin (wdrożenie do IOS instalacji dodawania kwasu organicznego wspomagającego absorpcję SO₂ oraz wyposażenie kotłów w wysokosprawne instalacje odazotowania spalin metodami niekatalitycznymi) w roku 2016 osiągnięto znaczny spadek emisji SO₂ i NO_x w stosunku do lat ubiegłych.

Niestety, w dalszym ciągu Elektrownia pozostaje największym emitentem dwutlenku węgla w Unii Europejskiej; w roku 2016 wyemitowano do powietrza ok. 35 mln Mg CO₂.

Poza Elektrownią Bełchatów do grupy największych punktowych emitentów zanieczyszczeń do powietrza należą miejsca producenci energii elektrycznej i ciepłej – elektrociepłownie i ciepłownie pracujące głównie na bazie węgla kamiennego, zaopatrujące mieszkańców miast w ciepło systemowe oraz kilka zakładów przemysłowych, których produkcja jest oparta na przerobie złóż kopalin (glin, piasków, wapieni).

Emisja zanieczyszczeń z tych źródeł jest regulowana aktami prawnymi, co wymusza jej ograniczanie, głównie poprzez instalację wysokosprawnych systemów odpylania spalin oraz stosowanie nowoczesnych technologii.

EMISJA LINIOWA

Wielkość emisji liniowej, związanej z funkcjonowaniem transportu drogowego, obliczona została przez firmę AT-MOTERM SA w ramach prac związanych z przygotowaniem danych do modelowania zanieczyszczeń powietrza na potrzeby rocznej oceny jakości powietrza.

Obliczenia przeprowadzono w oparciu o:

- dane nt. natężenia ruchu na drogach krajowych, wojewódzkich, gminnych i lokalnych (informacje przestrzenne o sieci dróg, pomiary natężenia ruchu, wskaźniki progностyczne GDDKiA)
- wskaźniki emisji spalinowej z pojazdów, wskaźniki emisji pyłu ze ścierania opon i okładzin hamulcowych, ze ścierania jezdni i wtórnego unosu z jezdni (opracowanie prof. Chłopka, wskaźniki EMEP/EEA).

Wielkość oszacowanej emisji głównych zanieczyszczeń związanych z transportem samochodowym w woj. łódzkim w podziale na powiaty przedstawiono w tabeli 3.8.

Tabela 3.8 Liniowa emisja zanieczyszczeń do powietrza z terenu województwa łódzkiego w roku 2016

| Ogółem województwo łódzkie | Emisja liniowa w Mg | | | | |
|----------------------------|---------------------|-----------------|------------|-----------|--------|
| | SO ₂ | NO ₂ | CO | Pył PM10* | Bap** |
| | 108,104 | 5 705,292 | 10 327,626 | 3 984,424 | 0,0108 |
| powiaty | | | | | |
| bełchatowski | 4,413 | 199,516 | 442,470 | 166,601 | 0,0005 |
| kutnowski | 3,812 | 204,387 | 345,174 | 139,659 | 0,0004 |
| łaski | 2,613 | 131,088 | 242,122 | 97,111 | 0,0003 |
| łęczycki | 2,873 | 149,403 | 264,396 | 105,971 | 0,0003 |
| łowicki | 4,481 | 259,632 | 383,120 | 161,612 | 0,0004 |
| łódzki wschodni | 5,673 | 299,511 | 517,608 | 208,381 | 0,0006 |
| opoczyński | 2,630 | 148,337 | 232,583 | 95,458 | 0,0003 |
| pabianicki | 5,589 | 231,725 | 621,584 | 214,647 | 0,0006 |
| pajęczański | 1,220 | 61,915 | 110,997 | 45,305 | 0,0001 |
| piotrkowski | 8,252 | 489,736 | 700,359 | 296,378 | 0,0008 |
| podębicki | 3,319 | 193,315 | 280,075 | 119,689 | 0,0003 |
| radomszczański | 5,036 | 310,461 | 414,297 | 179,260 | 0,0005 |
| rawski | 2,811 | 159,000 | 244,869 | 102,082 | 0,0003 |
| sieradzki | 6,241 | 334,885 | 558,011 | 229,074 | 0,0006 |
| skierniewicki | 2,847 | 157,783 | 249,125 | 103,714 | 0,0003 |
| tomaszowski | 6,081 | 311,161 | 571,672 | 224,840 | 0,0006 |
| wieluński | 2,784 | 143,049 | 259,076 | 102,978 | 0,0003 |
| wieruszowski | 3,266 | 195,389 | 268,982 | 117,402 | 0,0003 |
| zduńskowolski | 2,404 | 116,398 | 228,074 | 90,040 | 0,0002 |
| zgierski | 8,943 | 505,038 | 821,270 | 325,001 | 0,0009 |
| brzeziński | 2,343 | 133,878 | 200,189 | 84,794 | 0,0002 |
| Łódź | 15,195 | 625,328 | 1 958,747 | 588,733 | 0,0016 |
| Piotrków Tryb. | 4,806 | 324,282 | 364,749 | 167,569 | 0,0005 |
| Skierniewice | 0,475 | 20,077 | 48,077 | 18,126 | 0,0000 |

*pył o średnicy ziaren $\leq 10 \mu\text{m}$; w pyłe PM10 pochodzącym z transportu udział pyłu PM2,5 wynosi średnio ok. 92%, przy czym pył ze spalania paliwa to w całości PM2,5 (wg wskaźników przyjętych przez ATMOTERM SA)

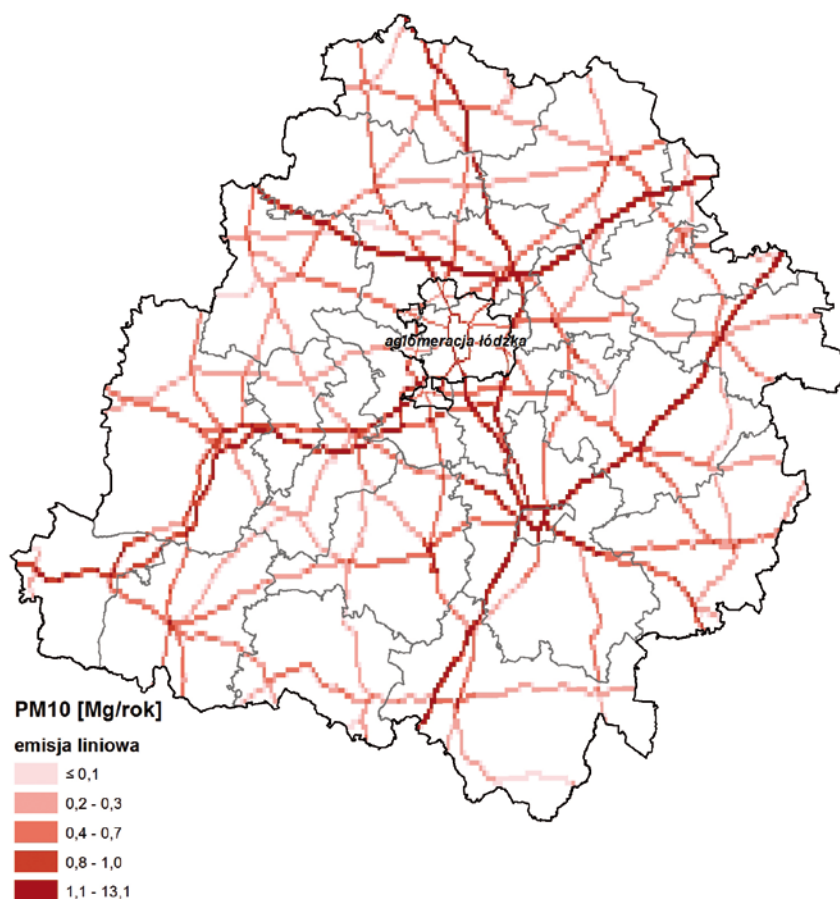
**benzo(a)piren

Poza przedstawionymi w tabeli zanieczyszczeniami silniki spalinowe pojazdów są źródłem emisji niemetanowych lotnych związków organicznych - prekursorów zanieczyszczeń wtórnych, m.in. pyłu drobnego i ozonu; ich sumaryczna emisja z terenu województwa łódzkiego wynosiła 1389 Mg.

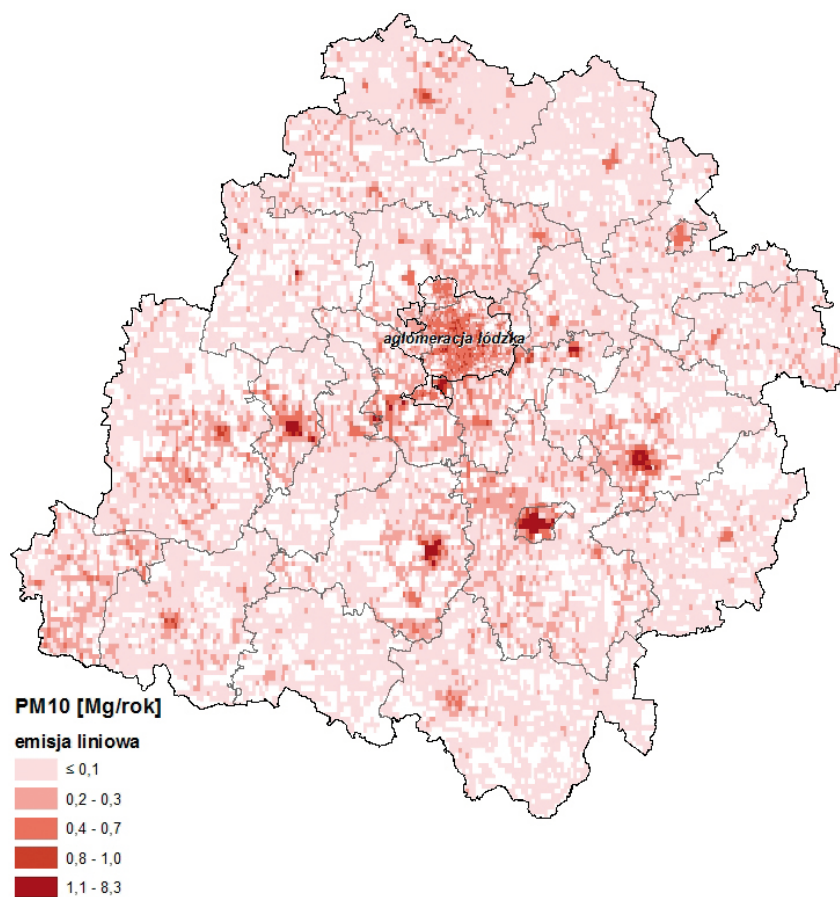
Wielkość emisji liniowej ściśle związana jest z gęstością sieci drogowej, kategorią dróg, pojazdów oraz natężeniem ruchu. Wg obliczeń najwięcej zanieczyszczeń z transportu drogowego emitowanych było z terenu Łodzi, powiatu zgierskiego oraz powiatu piotrkowskiego.

Na mapach nr 3.1 i 3.2 przedstawiono rozkład emisji pyłu PM10 (jednego z najważniejszych zanieczyszczeń związanych z transportem) z dróg krajowych i wojewódzkich oraz powiatowych i gminnych.

W Polsce ciągle rośnie liczba samochodów osobowych i ciężarowych. Według danych GUS, w województwie łódzkim w roku 2016 liczba zarejestrowanych pojazdów wynosiła 1 919 517 i była o 4% wyższa niż w roku 2015 oraz o 22% wyższa niż w roku 2010. W ogólnej masie pojazdów samochody osobowe stanowiły 74%. Niestety, nadal wysoki jest udział samochodów starych, dla których nie obowiązują najnowsze, bardzo restrykcyjne standardy emisji związków azotu, węglowodorów, tlenku węgla i cząstek stałych (Euro 6 dla osobowych i Euro VI dla ciężarowych). Dużym problemem są samochody z silnikiem Diesla, które co prawda emitują mniej CO₂ niż samochody benzynowe, ale więcej tlenków azotu i pyłu PM2,5.



Mapa 3.1 Emisja pyłu PM10 z dróg krajowych i wojewódzkich w woj. łódzkim w roku 2016 wg obliczeń firmy ATMOTERM SA



Mapa 3.2 Emisja pyłu PM10 z dróg powiatowych i gminnych w woj. łódzkim w roku 2016 wg obliczeń firmy ATMOTERM SA

EMISJA POWIERZCHNIOWA Z SEKTORA KOMUNALNO-BYTOWEGO

Wielkość emisji powierzchniowej z sektora komunalno-bytowego obliczona została przez firmę ATMOTERM SA. Obliczenia wykonywano na obszarach bilansowych (gminy, dzielnice miast) w oparciu o:

- wyznaczenie obszarów zabudowy
- liczbę mieszkańców (dane GUS)
- zapotrzebowanie na ciepło
- udział mieszkań ogrzewanych indywidualnie
- udział poszczególnych rodzajów paliw stosowanych do ogrzewania mieszkań
- wskaźniki emisji zanieczyszczeń ze spalania paliw (EMEP Technical Report 2013).

Wielkość emisji głównych zanieczyszczeń z sektora komunalno-bytowego z terenu województwa łódzkiego przedstawiono w tabeli 3.9.

Tabela 3.9 Powierzchniowa emisja zanieczyszczeń do powietrza z terenu województwa łódzkiego w roku 2016 (sektor komunalno-bytowy)

| Emisja powierzchniowa w Mg | | | | | |
|----------------------------|-----------------|-----------------|-------------|-----------|-------|
| Ogółem województwo łódzkie | SO ₂ | NO ₂ | CO | Pył PM10* | Bap** |
| | 16 912,781 | 489,026 | 196 137,741 | 17 428,85 | 8,495 |
| powiaty | | | | | |
| bełchatowski | 778,300 | 22,103 | 9 047,392 | 806,882 | 0,392 |
| kutnowski | 821,299 | 23,105 | 9 529,636 | 847,778 | 0,413 |
| łaski | 485,398 | 13,547 | 5 624,634 | 499,494 | 0,244 |
| łęczycki | 499,483 | 13,991 | 5 787,560 | 513,872 | 0,251 |
| łowicki | 756,363 | 21,162 | 8 765,831 | 778,571 | 0,380 |
| łódzki wschodni | 536,137 | 17,196 | 6 236,951 | 554,827 | 0,270 |
| opoczyński | 739,463 | 20,853 | 8 642,631 | 775,197 | 0,374 |
| pabianicki | 877,111 | 25,857 | 10 194,777 | 908,073 | 0,441 |
| pajęczański | 541,317 | 15,067 | 6 269,042 | 556,288 | 0,272 |
| piotrkowski | 947,778 | 26,511 | 10 977,173 | 974,049 | 0,476 |
| poddębicki | 408,438 | 11,453 | 4 732,618 | 420,193 | 0,205 |
| radomszczański | 943,334 | 27,182 | 10 950,031 | 974,066 | 0,474 |
| rawski | 470,940 | 13,315 | 5 458,405 | 484,730 | 0,237 |
| sieradzki | 1 063,508 | 29,710 | 12 331,256 | 1 096,064 | 0,534 |
| skierniewicki | 404,834 | 11,246 | 4 687,698 | 415,893 | 0,203 |
| tomaszowski | 985,758 | 28,279 | 11 440,460 | 1 017,551 | 0,495 |
| wieluński | 728,318 | 20,304 | 8 440,911 | 749,802 | 0,366 |
| wieruszowski | 420,368 | 11,788 | 4 870,273 | 432,338 | 0,211 |
| zduńskowolski | 572,865 | 15,997 | 6 644,944 | 590,994 | 0,288 |
| zgierski | 1 245,906 | 36,225 | 14 474,774 | 1 288,947 | 0,627 |
| brzeziński | 296,952 | 8,335 | 3 478,956 | 312,945 | 0,150 |
| Łódź | 1 623,158 | 53,071 | 18 634,624 | 1 633,965 | 0,808 |
| Piotrków Tryb. | 490,020 | 14,509 | 5 702,850 | 508,869 | 0,247 |
| Skierniewice | 275,734 | 8,220 | 3 214,313 | 287,464 | 0,139 |

*pył o średnicy ziaren $\leq 10 \mu\text{m}$; w pyłe PM10 pochodzącym z indywidualnego spalania paliw udział pyłu PM2,5 wynosi ok. 98% (wg wskaźników przyjętych przez ATMOTERM SA)

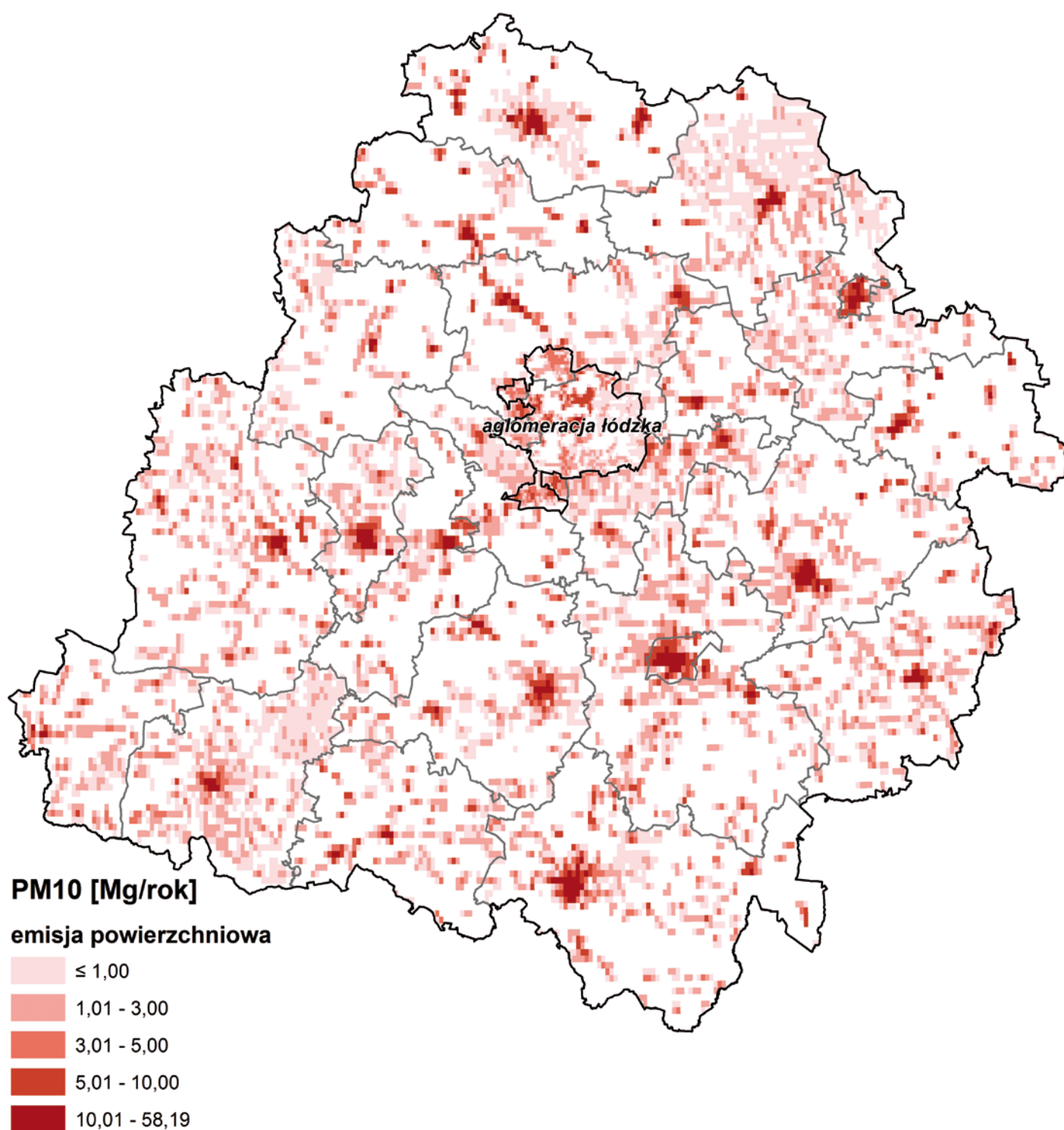
**benzo(a)piren

Poza zanieczyszczeniami zawartymi w tabeli, spalanie paliw na potrzeby indywidualnego ogrzewania mieszkań jest źródłem emisji dużych ilości niemetanowych lotnych związków organicznych; wg szacunków firmy ATMOTERM z całego województwa wyemitowane zostało ok. 20 722 Mg NMLZO.

Poziom emisji powierzchniowej sektora komunalno-bytowego z obszarów bilansowych (województwo, powiaty, gminy) związany jest z zagęszczeniem terenów zabudowy, ich wielkością, udziałem mieszkań (budynków) ogrzewanych indywidualnie w ogólnej liczbie mieszkań (budynków), a także z rodzajem paliwa wykorzystywanego do ogrzewania oraz techniką spalania. Miasta, szczególnie ich stare części ze zwartą zabudową, a również osiedla budownictwa jednorodzinnego, są głównymi źródłami emisji powierzchniowej. Najwięcej zanieczyszczeń powstaje przy spalaniu węgla, podstawowego surowca opałowego w Polsce, zwłaszcza węgla niskiej jakości, najmniej natomiast przy spalaniu gazu. Oczywiście trzeba pamiętać o częstym procederze spalania różnego rodzaju odpadów, na skutek czego do powietrza dostają się, oprócz ujętych w tabeli zanieczyszczeń, takie substancje, jak: rakotwórcze dioksyny, chlorowodór, cyjanowodór, formaldehyd, cała gama metali ciężkich.

Według obliczeń najwięcej zanieczyszczeń pochodzących ze spalania paliw na potrzeby indywidualnego ogrzewania budynków emitowane było z najliczniej zamieszkałych powiatów, przede wszystkim z miasta Łodzi oraz z powiatów: zgierskiego, sieradzkiego, tomaszowskiego, radomszczańskiego i piotrkowskiego.

Na przykładowej mapie nr 3.3 przedstawiono rozkład emisji pyłu PM₁₀ na terenach powiatów województwa łódzkiego. Ograniczanie emisji z indywidualnych palenisk jest szczególnie trudne ze względów ekonomicznych (wysokie koszty ogrzewania niskoemisyjnego i bezemisyjnego), a także ze względu na brak możliwości oczyszczania spalin. Sytuację pogarsza brak systemowego podejścia na rzecz ograniczenia niskiej emisji oraz ciągle jeszcze niska świadomość społeczeństwa w zakresie skutków zdrowotnych związanych z zanieczyszczeniem powietrza.



Mapa 3.3 Emisja powierzchniowa (z sektora komunalno-bytowego) pyłu PM₁₀ z w roku 2016 wg obliczeń firmy ATMOTERM SA

EMISJA Z ROLNICTWA

Wielkość emisji zanieczyszczeń powietrza z działalności rolniczej, a więc hodowli zwierząt, upraw, nawożenia, pracy maszyn rolniczych również została oszacowana przez firmę ATMOTERM. Na terenie województwa wyznaczono obszary wykorzystywane rolniczo, a następnie korzystając, z Banku Danych Lokalnych GUS, przypisano do nich dane dotyczące konkretnej działalności rolniczej (np. pogłowie zwierząt hodowlanych, powierzchnia upraw, łąk, pastwisk, praca maszyn rolniczych, zużycie nawozów). Do obliczeń wielkości emisji zanieczyszczeń wykorzystywano wskaźniki EMEP/EEA.

Głównymi zanieczyszczeniami powietrza pochodzenia rolniczego, poza gazami cieplarnianymi (dwutlenek węgla, metan, podtlenek azotu), są: pył, tlenek azotu, amoniak oraz niemetanowe lotne związki organiczne (NMLZO). Największe ilości zanieczyszczeń generuje hodowla bydła.

W tabeli 3.10 przedstawiono wielkości emisji podstawowych zanieczyszczeń powietrza oraz ważnego prekursora pyłu wtórnego – amoniaku.

Tabela 3.10 Emisja zanieczyszczeń do powietrza z działalności rolniczej terenu województwa łódzkiego w roku 2016

| Emisja z rolnictwa w Mg | | | | | |
|----------------------------|-----------------|-----------------|----------|-----------|--------------------|
| Ogółem województwo łódzkie | SO ₂ | NO ₂ | CO | Pył PM10* | NH ₃ ** |
| | 6,471 | 336,467 | 2964,825 | 4315,725 | 25930,932 |
| powiaty | | | | | |
| bełchatowski | 0,172 | 8,959 | 79,249 | 94,673 | 650,178 |
| kutnowski | 0,519 | 26,984 | 238,702 | 403,702 | 2128,681 |
| łaski | 0,192 | 9,992 | 88,393 | 109,498 | 708,461 |
| łęczycki | 0,411 | 21,386 | 189,180 | 196,651 | 1293,274 |
| łowicki | 0,493 | 25,621 | 226,648 | 450,941 | 3184,826 |
| łódzki wschodni | 0,169 | 8,794 | 77,795 | 219,688 | 1278,508 |
| opoczyński | 0,247 | 12,837 | 113,556 | 113,201 | 808,897 |
| pabianicki | 0,154 | 8,002 | 63,705 | 159,531 | 702,063 |
| pajęczański | 0,246 | 12,786 | 113,110 | 255,643 | 1055,764 |
| piotrkowski | 0,517 | 26,906 | 238,017 | 288,011 | 2093,550 |
| poddębicki | 0,343 | 17,818 | 157,623 | 166,208 | 1268,853 |
| radomszczański | 0,373 | 19,389 | 171,515 | 189,890 | 1195,010 |
| rawski | 0,166 | 8,641 | 76,440 | 110,052 | 585,396 |
| sieradzki | 0,633 | 32,939 | 291,385 | 346,966 | 2467,366 |
| skierniewicki | 0,287 | 14,920 | 131,986 | 194,910 | 1073,527 |
| tomaszowski | 0,330 | 17,160 | 151,797 | 251,384 | 1382,247 |
| wieluński | 0,375 | 19,518 | 172,657 | 183,472 | 1059,636 |
| wieruszowski | 0,220 | 11,430 | 101,108 | 110,698 | 721,247 |
| zduńskowolski | 0,125 | 6,501 | 57,511 | 73,751 | 375,307 |
| zgierski | 0,277 | 14,384 | 122,704 | 257,440 | 1243,884 |
| brzeziński | 0,167 | 8,694 | 76,905 | 86,290 | 454,497 |
| Łódź | 0,032 | 1,638 | 14,487 | 19,110 | 87,879 |
| Piotrków Tryb. | 0,016 | 0,810 | 7,162 | 12,564 | 47,048 |
| Skierniewice | 0,007 | 0,361 | 3,191 | 21,452 | 64,836 |

* pył o średnicy ziaren $\leq 10 \mu\text{m}$; w pyłe PM10 pochodzącym z rolnictwa udział pyłu PM2,5 wynosi średnio ok. 11% (wg wskaźników przyjętych przez ATMOTERM SA)

** amoniak

Poza przedstawionymi w tabeli zanieczyszczeniami działalność rolnicza jest źródłem emisji znacznych ilości niemetanowych lotnych związków organicznych; według szacunków ATMOTERMU jej wielkość w roku 2016 wynosiła 10930 Mg.

Obliczenia wykazały, że najwyższe emisje zanieczyszczeń z działalności rolniczej pochodzą z powiatów: łowickiego, kutnowskiego, sieradzkiego i piotrkowskiego.

EMISJA NIEZORGNIOWANA Z KOPALNI ODKRYWKOWYCH I HAŁD

Obliczenia emisji z obszarów pyłących – kopalni odkrywkowych węgla brunatnego i kruszyw – wykonane zostały również przez firmę ATMOTERM SA. Po wyznaczeniu obszarów, określeniu ich powierzchni, przy zastosowaniu wskaźników Maricopa Air Quality Department – Emissions Inventory Help Sheet 2012, obliczono emisję pyłu zawieszonego PM₁₀ i PM_{2,5}. Według wyliczeń emisja pyłu PM₁₀ z terenów kopalni odkrywkowych i hałd w województwie łódzkim wynosiła 4495 Mg, jednak terytorialnie skupiona była zasadniczo na obszarach dwóch powiatów: bełchatowskiego (55%) i pączęńskiego (23%) w związku z funkcjonowaniem odkrywek „Bełchatów” i „Szczerców”. Udział pyłu PM_{2,5} w pyłe PM₁₀ wynosił ok. 24%.

PODSUMOWANIE

Na podstawie danych zebranych z WIOŚ i Urzędu Marszałkowskiego w Łodzi oraz obliczeń wykonanych przez firmę ATMOTERM SA dokonano oszacowania wielkości emisji zanieczyszczeń powietrza z terenu województwa łódzkiego w roku 2016, w podziale na kategorie źródeł pochodzenia antropogenicznego. W tabeli 3.11 przedstawiono strukturę emisji głównych zanieczyszczeń, dla których obowiązują imisyjne poziomy dopuszczalne bądź docelowe (dwutlenku siarki, dwutlenku azotu, tlenku węgla, pyłu zawieszonego PM₁₀ i PM_{2,5} oraz benzo(a)pirenu), a także ważnych prekursorów zanieczyszczeń wtórnych – drobnego pyłu wtórnego oraz ozonu troposferycznego (amoniak i niemetanowe lotne związki organiczne).

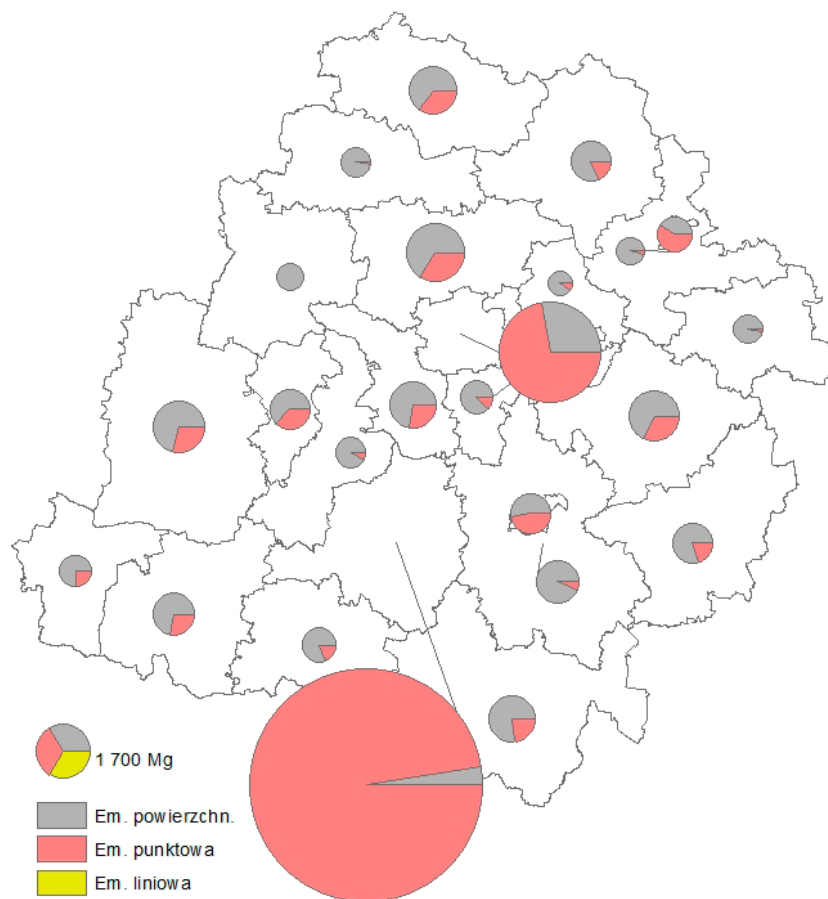
Tabela 3.11 Emisja zanieczyszczeń powietrza z terenu województwa łódzkiego w 2016 r.

| Rodzaj emisji | Zanieczyszczenie w Mg / udział % | | | | | | | |
|---|----------------------------------|-----------------|-----------------|------------------|-------------------|----------------|-----------------|----------------|
| | SO ₂ | NO ₂ | CO | PM ₁₀ | PM _{2,5} | Bap | NH ₃ | NMLZO |
| Punktowa – energetyka i przemysł | 39283 69,8% | 37194 85% | 33259 13,7% | 2711 8,2% | 1762 7,3% | 0,761 8,2% | 200 0,8% | 1100 3,2% |
| Liniowa – transport drogowy | 108 0,2% | 5705 13% | 10328 4,3% | 3984 12,1% | 3664 15,2% | 0,011 0,1% | - | 1389 4,1% |
| Powierzchniowa – ogrzewanie indywidualne domów | 16913 30% | 489 1,2% | 196138 80,8% | 17429 53% | 17166 71,1% | 8,495 91,7% | 49 0,2% | 20722 60,7% |
| Z rolnictwa – hodowla zwierząt, uprawy, nawożenie | 6 | 336 0,8% | 2965 1,2% | 4316 13,1% | 461 1,9% | - | 25931 99% | 10929 32% |
| Niezorganizowana – kopalnie odkrywkowe i hałdy | - | - | - | 4495 13,6% | 1079 4,5% | - | - | - |
| RAZEM | 56310 | 43724 | 242690 | 32935 | 24132 | 9,267 | 26180 | 34140 |

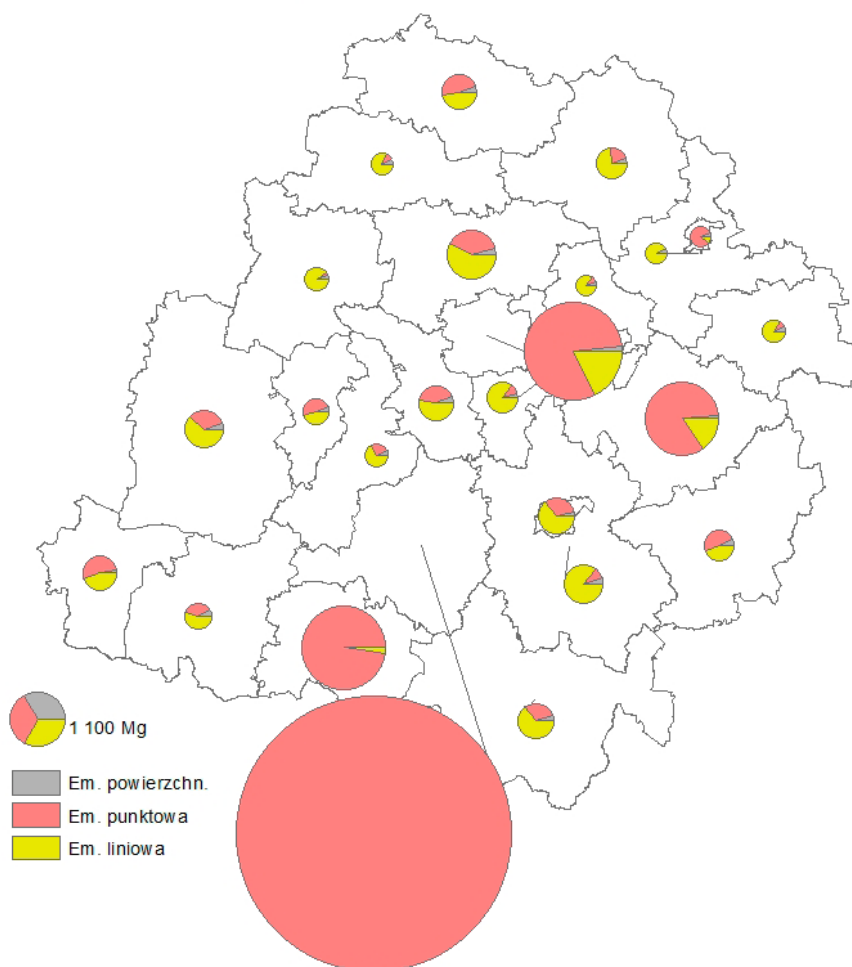
Analizując powyższą strukturę emisji można stwierdzić, że:

- źródła punktowe mają największy udział w sumarycznej emisji dwutlenku siarki (70%) i dwutlenku azotu (85%) w województwie, przy czym o wielkości emisji tych związków zasadniczo decyduje jeden emitent – Elektrownia Bełchatów – i to pomimo znaczącej redukcji emisji omawianych gazów. Jednocześnie należy stwierdzić, że na terenie województwa stężenia dwutlenku siarki i dwutlenku azotu w powietrzu nie przekraczają obowiązujących norm, związki te jednak są prekursorami pyłu wtórnego nieorganicznego (publikacja IOŚ – „Pyły drobne w atmosferze”);
- indywidualne ogrzewanie budynków (emisja powierzchniowa) ma największy udział w zanieczyszczeniu powietrza tlenkiem węgla (81%), pyłem zawieszonym: PM₁₀ (53%) i PM_{2,5} (71%), zawartym w pyłe benzo(a)pirenem (92%) oraz niemetanowymi lotnymi związkami organicznymi (61%). Roczne oceny jakości powietrza w woj. łódzkim od lat wskazują na przekraczanie poziomów dopuszczalnych ze względu na zdrowie ludzi dla pyłu PM₁₀ i PM_{2,5} (głównie na terenach miast) oraz poziomu docelowego dla benzo(a)pirenu (na znacznym obszarze województwa);
- działalność rolnicza, głównie nawożenie pól i hodowla zwierząt mają największy udział w emisji amoniaku (99%). Amoniak wraz z innymi zanieczyszczeniami gazowymi tworzy w atmosferze aerozole o cząsteczkach nie większych niż 2,5 μm, stanowiących jedno z ważniejszych źródeł wtórnego pyłu drobnego;
- transport drogowy ma mniejszy udział w ogólnej emisji zanieczyszczeń w województwie niż źródła punktowe i powierzchniowe, jednak w przypadku pyłu zawieszonego PM₁₀ i PM_{2,5} jest to udział znaczący i wynosi kilkanaście procent. Na terenach, gdzie nie zewidencjonowano większych źródeł punktowych jest to główne źródło zanieczyszczenia powietrza tlenkami azotu.

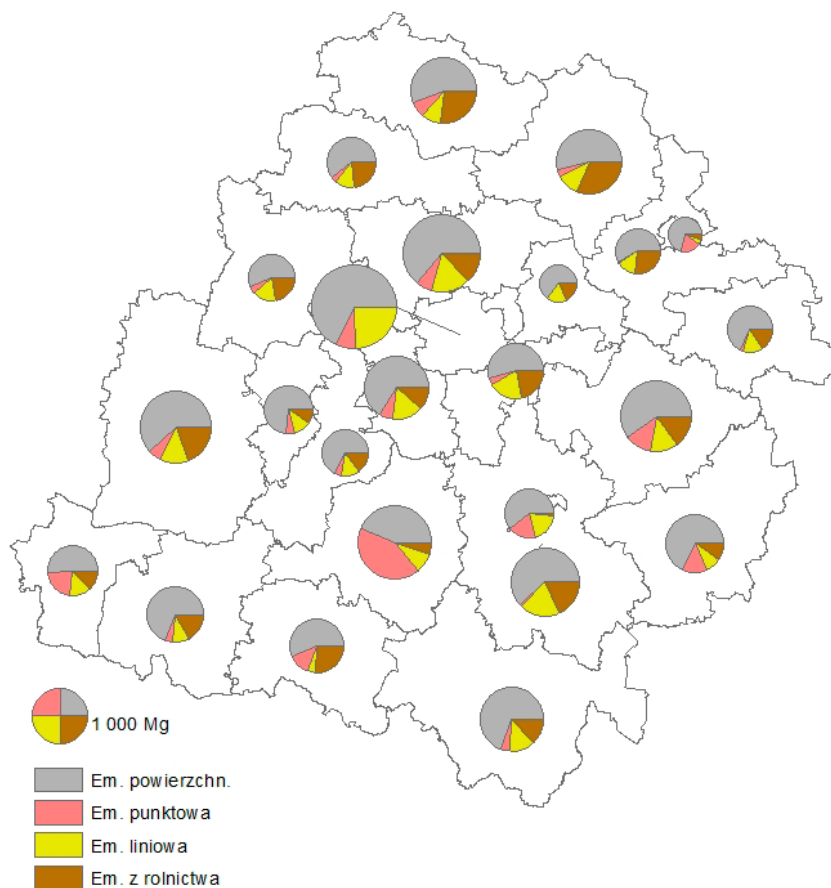
Udział omówionych kategorii źródeł emisji w zanieczyszczaniu powietrza dwutlenkiem siarki, dwutlenkiem azotu, pyłem zawieszonym PM₁₀ i benzo(a)pirenem w powiatach województwa łódzkiego przedstawiono na mapach 3.4 – 3.7.



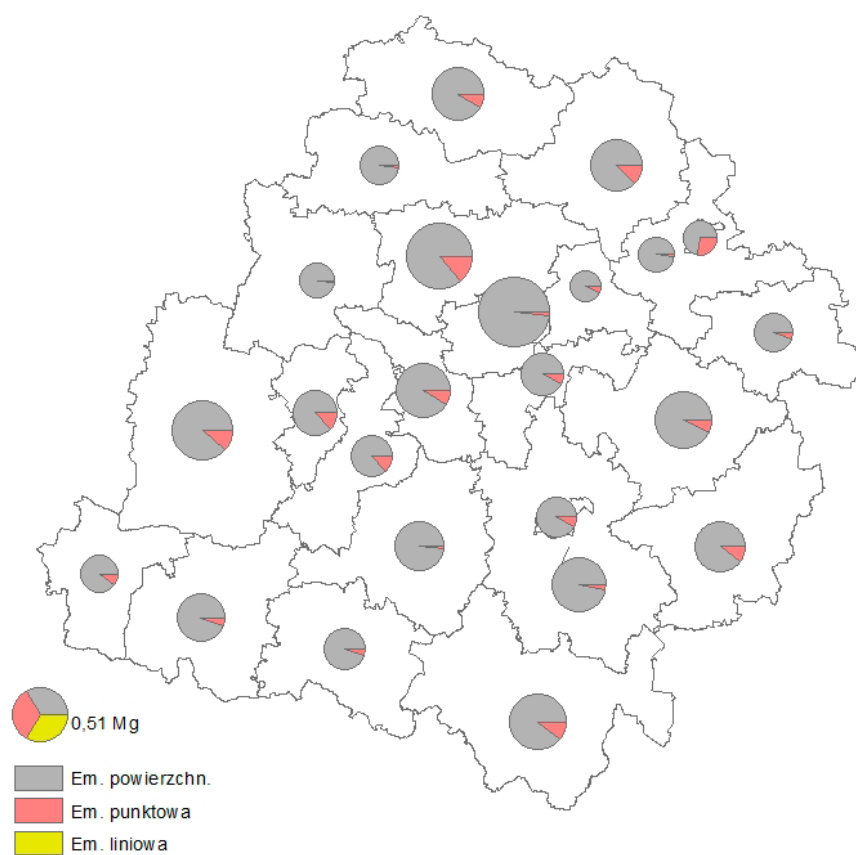
Mapa 3.4 Udziały źródeł punktowych, liniowych i powierzchniowych w emisji dwutlenku siarki w powiatach woj. łódzkiego w 2016 r.



Mapa 3.5 Udział źródeł punktowych, liniowych i powierzchniowych w emisji dwutlenku azotu w powiatach woj. łódzkiego w 2016 r.



Mapa 3.6 Udział źródeł punktowych, liniowych i powierzchniowych w emisji pyłu zawieszonego PM10 w powiatach woj. łódzkiego w 2016 r.

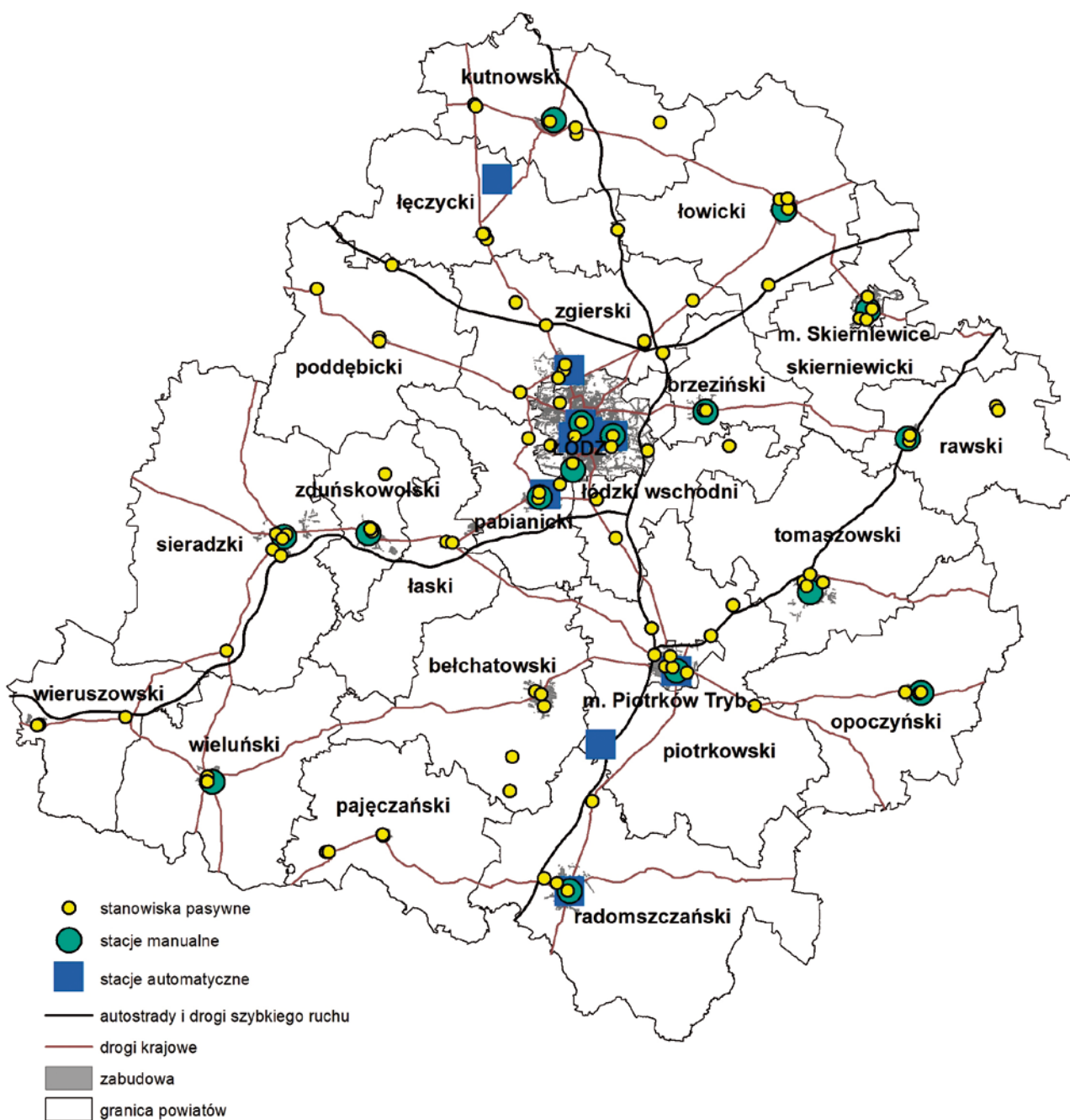


Mapa 3.7 Udział źródeł punktowych, liniowych i powierzchniowych w emisji benzo(a)pirenu w powiatach woj. łódzkiego w 2016 r.

Opracowała: **Marzanna Krzemińska**

IMISJA ZANIECZYSZCZEŃ GAZOWYCH

Największą gęstością sieci pomiarowej cechowały się obszary mocno zurbanizowane (przede wszystkim aglomeracja łódzka), najmniejszą małe miasta i tereny wiejskie.



Mapa 3.8 Sieć pomiarowa monitoringu jakości powietrza w woj. łódzkim w 2016 r.

Dwutlenek siarki

Dwutlenek siarki jest nieorganicznym związkiem chemicznym z grupy tlenków siarki. To bezbarwny gaz o ostrym, gryzącym i duszącym zapachu, silnie drażniącym drogi oddechowe, trującym dla ludzi i zwierząt oraz szkodliwym dla roślin. Dwutlenek siarki negatywnie wpływa na zdrowie człowieka, atakując najczęściej drogi oddechowe i struny głosowe. Wdychanie SO_2 powoduje skurcze oskrzeli. Długotrwałe oddychanie powietrzem z zawartością SO_2 , nawet w niskich stężeniach, powoduje uszkodzenie dróg oddechowych, prowadzące do nieżytów oskrzeli. Duże stężenie SO_2 w powietrzu może prowadzić do zmian w rogówce oka.

Dwutlenek siarki powoduje żółknięcie roślin (ubytek chlorofilu) oraz zmiany w komórkach, co przejawia się wystąpieniem uszkodzeń liści i igieł. Po utlenieniu do trójtlenku siarki (SO_3) i w połączeniu z wodą tworzy kwas siarkowy, który jest główną przyczyną kwaśnych deszczy, które przyczyniają się do zakwaszania zbiorników wodnych i gleb oraz przyspieszają korozję budynków i konstrukcji metalowych. Głównym antropogenicznym źródłem SO_2 jest spalanie paliw stałych (węgiel kamienny i brunatny), np. w elektrociepłowniach, piecach domowych, oraz płynnych (ropa naftowa) w silnikach spalinowych.

W 2016 r. w większości punktów pomiarowych wartości stężeń SO_2 były niższe niż w roku 2015. Wyraźna tendencja spadkowa widoczna jest od ok. 10 lat. W blisko 60% punktów pasywnych (łącznie liczba 100) wartości stężeń średniorocznych wyniosły od 4 do $6\mu\text{g}/\text{m}^3$ (wartość dopuszczalna stężenia średniorocznego wynosi $D_a=20\mu\text{g}/\text{m}^3$). Najwyższe wartości, powyżej $10\mu\text{g}/\text{m}^3$, zmierzono w 10 punktach. Maksymalna wartość wyniosła $S_a=15,1\mu\text{g}/\text{m}^3$ i zmierzona została w Działoszynie przy ul. Prostej 7.

Najwyższe stężenia zmierzono przede wszystkim na obszarach, gdzie dominuje stara przedwojenna zabudowa lub jednorodzinna z indywidualnym ogrzewaniem budynków, głównie opalanych węglem. Warto pamiętać, że metoda pasywna pomiaru SO_2 cechuje się stosunkowo dużą niepewnością. Pomiary pasywne nie są zgodne z metodyką referencyjną i należy traktować je jako uzupełnienie sieci pomiarowej.

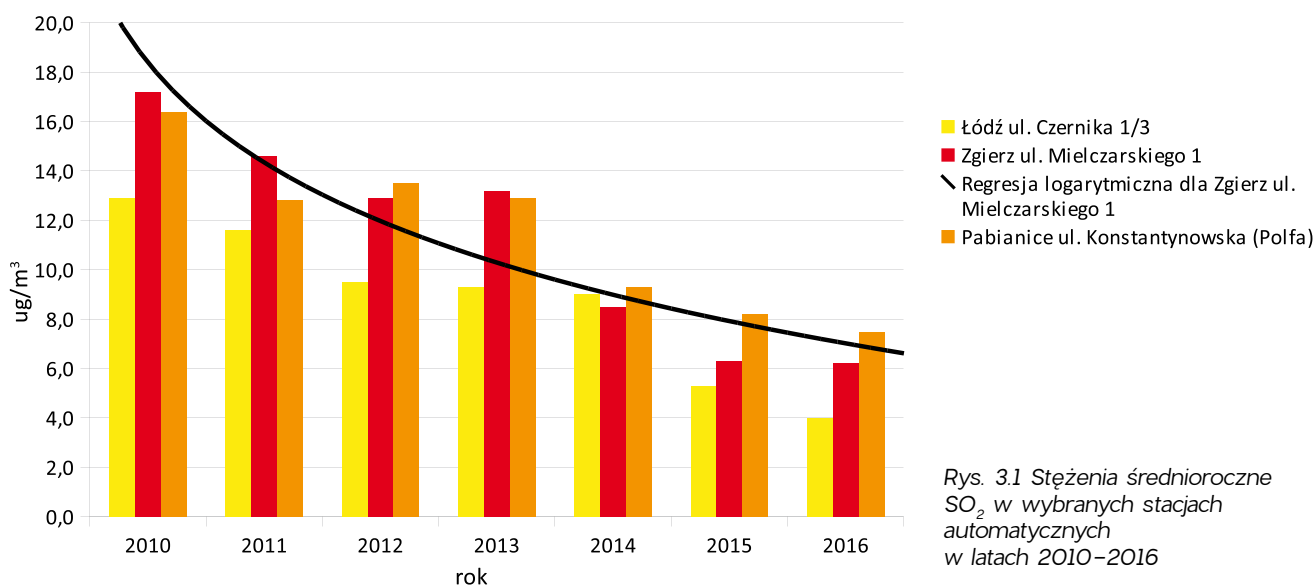
Stężenia średnioroczne, mierzone metodą automatyczną, na obszarach zabudowanych wyniosły od $4,0\mu\text{g}/\text{m}^3$ w Łodzi przy ul. Czernika 1/3 do $8,3\mu\text{g}/\text{m}^3$ w Radomsku przy ul. Rolnej 2. Na obszarze wiejskim stężenie średnioroczne wyniosło $3,7\mu\text{g}/\text{m}^3$ (Gajew). Oznacza to, że w żadnej ze stacji automatycznych wartość dopuszczalna stężenia średniorocznego ze względu na ochronę roślin $D_a=20\mu\text{g}/\text{m}^3$ i wartość odniesienia wynoszącą tyle samo nie zostały przekroczone.

Obowiązujące przepisy określają również dopuszczalną wartość stężenia SO_2 dla okresu zimowego, liczonego dla miesięcy styczeń-marzec i październik-grudzień. Dopuszczalna wartość w tak liczonym okresie wynosi $D_a=20\mu\text{g}/\text{m}^3$. Jest to wartość dopuszczalna ze względu na ochronę roślin. Przy tak liczonej średniej w 2 punktach sieci pasywnej doszło do przekroczenia ww. normy (Działoszyn $23,5\mu\text{g}/\text{m}^3$, Radomsko $20,7\mu\text{g}/\text{m}^3$). Przekroczenia nastąpiły tylko w punktach pomiarowych, mierzących imisję SO_2 metodą pasywną.

Dopuszczalny poziom stężenia średniodobowego $D_{24}=125\mu\text{g}/\text{m}^3$ i średniogodzinne $D_1=350\mu\text{g}/\text{m}^3$ również nie został przekroczony. Najwyższe stężenie średniodobowe zmierzono 23.01.2016 r. w stacji automatycznej w Piotrkowie Tryb. i wyniosło $S_{24}=55,0\mu\text{g}/\text{m}^3$. W pozostałych stacjach nie przekroczyło $40\mu\text{g}/\text{m}^3$.

Podobnie było ze stężeniami średniogodzinnymi. Najwyższe stężenie średniogodzinne zmierzono 22.01.2016 r. w stacji automatycznej w Piotrkowie Tryb. – $103,2\mu\text{g}/\text{m}^3$, w Zgierzu – $71,7\mu\text{g}/\text{m}^3$ (23.01.2016 r.) oraz w Radomsku – $67,1\mu\text{g}/\text{m}^3$ (19.01.2016 r.). W pozostałych stacjach nie przekroczyło $65\mu\text{g}/\text{m}^3$.

Tak niskie wartości stężeń świadczą o tym, że zanieczyszczenie nie stanowi zagrożenia dla naszego zdrowia. Tendencja spadkowa stężeń utrzymuje się już od dłuższego czasu. Niemal każdy rok z rzędu cechują coraz niższe wartości mierzonych stężeń. W ocenie rocznej jakości powietrza, dokonywanej każdego roku przez wojewódzkie inspektoraty ochrony środowiska w Polsce, nie wykazuje się przekroczeń tego zanieczyszczenia w żadnej ze stref oceny.



Rys. 3.1 Stężenia średnioroczne SO_2 w wybranych stacjach automatycznych w latach 2010–2016

Dwutlenek azotu

Dwutlenek azotu jest nieorganicznym związkiem z grupy tlenków azotów. Jest silnie toksycznym gazem, niepalnym, o silnym zapachu i zabarwieniu brunatnoczerwonym. Może powodować podrażnienie dróg oddechowych, obniżenie odporności. Zwiększa ryzyko infekcji płuc, zaostrza objawy o charakterze astmatycznym. Ostre zatrucie NO₂ powoduje obrzęk płuc, w niektórych przypadkach kończące się zgonem. Tlenki azotu należą do groźniejszych składników, skażających atmosferę. Uważa się je za prawie dziesięciokrotnie bardziej szkodliwe od tlenku węgla i kilkakrotnie od dwutlenku siarki. Cały szereg reakcji fotochemicznych, w których uczestniczą tlenki azotu, powoduje powstawanie tzw. smogu, szczególnie niebezpiecznego dla żywych organizmów. Podobnie jak SO₂, jest składnikiem kwaśnych deszczy.

Głównymi źródłami emisji dwutlenku azotu są energetyka zawodowa (33,1%) i lokalne systemy grzewcze (9,5%; spalanie paliw kopalnych) oraz transport drogowy (31,6%). Te trzy źródła odpowiadają za 75% całkowitej emisji tego związku. Na obszarach miejskich dominuje wpływ spalin samochodowych, dlatego największe zanieczyszczenia występują w sąsiedztwie ruchliwych ulic. Większą emisję NO₂ powodują pojazdy z silnikiem diesla.

Ponieważ bardzo duży wpływ na zanieczyszczenie powietrza NO₂ ma emisja komunikacyjna, przy szczegółowym opisie stanu zanieczyszczenia powietrza należy odróżnić tereny pod bezpośrednią emisją komunikacyjną (tereny przy jezdniach) od pozostałych terenów.

Na obszarach niebędących pod bezpośrednim wpływem emisji komunikacyjnej średnioroczne stężenia, wynoszące poniżej 14µg/m³ (tj. 35% D_a=40µg/m³ ze względu na ochronę zdrowia ludzi), występowały przede wszystkim na terenach wiejskich. Na obszarach małych miejscowości stężenia średnioroczne wyniosły ok. 16µg/m³. W pobliżu miast wartości wyniosły ok. 18µg/m³. Na terenach małych miast oraz na obrzeżach większych ośrodków miejskich średnioroczne stężenia wynosiły 18-20µg/m³, wzrastając ku centrom miast. Wartości powyżej 20µg/m³ wystąpiły w centralnych częściach miast powiatowych. Największe stężenia występowały na terenach zabudowanych, w centralnych częściach największych miast województwa.

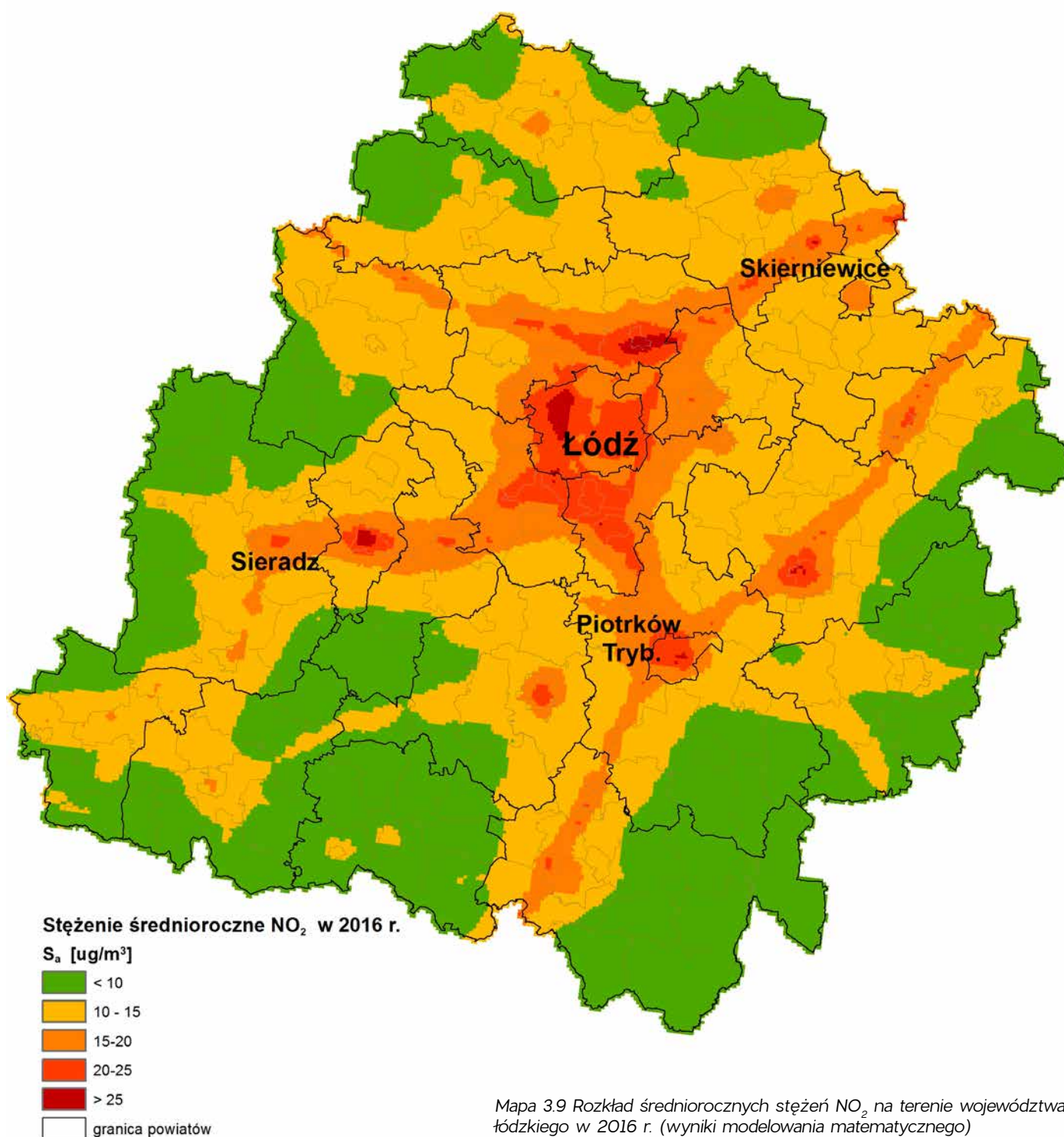
Dopuszczalna wartość stężenia średniogodzinnego D₁=200µg/m³ nie została przekroczona. Najwyższe zmierzone stężenie średniogodzinne wyniosło 152,1µg/m³ (76,05% D₁=200µg/m³) i zmierzone zostało 10.09.2016 r. w stacji automatycznej przy al. Jana Pawła II 15 w Łodzi. Najwyższa wartość średniogodzinna, zmierzona w stacjach na obszarach wiejskich, wyniosła 108,6µg/m³ (Parzniewice).

Tabela 3.12 Stężenia średnioroczne, zmierzone w stacjach automatycznych w woj. łódzkim w latach 2012–2016

| Adres | zanieczyszczenie | 2012 | | 2013 | | 2014 | | 2015 | | 2016 | |
|---|------------------|--|--------------------|--|--------------------|--|--------------------|--|--------------------|--|--------------------|
| | | S _a [ug/m ³] | komplet- ność % | S _a [ug/m ³] | komplet- ność % | S _a [ug/m ³] | komplet- ność % | S _a [ug/m ³] | komplet- ność % | S _a [ug/m ³] | komplet- ność % |
| Gajew | SO ₂ | 6,6 | 97,4 | 5,7 | 96,3 | 5,4 | 94,1 | 4,1 | 95,2 | 3,71 | 98,9 |
| Łódź ul. Czernika 1/3 | | 9,5 | 99,5 | 9,3 | 99,3 | 9,0 | 96,7 | 5,3 | 99,6 | 4,0 | 98,5 |
| Łódź ul. Gdańska 16 | | 15,3 | 96,2 | 14,6 | 99,5 | 12,3 | 99,1 | 7,7 | 99,1 | 6,39 | 96,2 |
| Pabianice ul. Konstantynowska (Polfa) | | 13,5 | 96,8 | 12,9 | 98,0 | 9,3 | 98,9 | 8,2 | 98,4 | 7,48 | 98,9 |
| Parzniewice | | 10,0 | 96,8 | 9,1 | 95,6 | 8,3 | 97,9 | 6,1 | 96,5 | 4,01 | 71,4 |
| Piotrków Tryb. ul. Krakowskie Przedmieście 14 | | 12,9 | 92,7 | 12,6 | 99,4 | 10,4 | 93,5 | 9,1 | 98,6 | 7,7 | 97,8 |
| Radomsko ul. Rolna 4 | | - | - | - | - | - | - | 7,7 | 82,0 | 8,27 | 98,4 |
| Radomsko ul. Sokola 4 | | 12,7 | 98,8 | 11,9 | 94,8 | 10,1 | 99,0 | - | - | - | - |
| Zgierz ul. Mielczarskiego 1 | | 12,9 | 99,0 | 13,2 | 98,8 | 8,5 | 99,2 | 6,3 | 98,5 | 6,22 | 99,5 |
| Gajew | | 11,4 | 97,0 | 9,8 | 95,3 | 10,5 | 92,5 | 11,9 | 97,0 | 11,03 | 98,1 |
| Łódź ul. Czernika 1/3 | NO ₂ | 19,1 | 97,1 | 18,6 | 99,0 | 16,9 | 96,5 | 18,5 | 96,9 | 18,33 | 98,4 |
| Łódź ul. Gdańska 16 | | 25,9 | 92,9 | 26,6 | 99,3 | 27,1 | 95,4 | 25,3 | 99,0 | 25,82 | 96,1 |
| Łódź ul. Kilińskiego 102/102a | | - | - | - | - | 29,1 | 98,0 | 26,0 | 97,5 | 25,55 | 99,1 |
| Łódź ul. Zachodnia 40 | | 31,8 | 96,7 | 31,0 | 99,3 | 30,9 | 86,6 | 30,2 | 80,9 | - | - |
| Łódź ul. Jana Pawła II 15 | | - | - | - | - | - | - | - | - | 31,13 | 98,1 |
| Pabianice ul. Konstantynowska (Polfa) | | 20,2 | 96,5 | 21,8 | 97,6 | 20,0 | 98,6 | 21,2 | 98,1 | 20,04 | 97,4 |
| Parzniewice | | 12,9 | 95,5 | 12,5 | 95,1 | 12,5 | 96,5 | 12,1 | 96,2 | 13,23 | 71,9 |
| Piotrków Tryb. ul. Krakowskie Przedmieście 14 | | 22 | 94,9 | 20,6 | 99,3 | 19,6 | 94,0 | 19,3 | 98,9 | 20,55 | 97,1 |
| Radomsko ul. Rolna 4 | | - | - | - | - | - | - | 19,6 | 82,5 | 21,04 | 98,6 |
| Radomsko ul. Sokola 4 | | 16,2 | 96,5 | 14,7 | 94,4 | 12,7 | 98,5 | - | - | - | - |
| Zgierz ul. Mielczarskiego 1 | | 20,3 | 95,3 | 17,5 | 98,2 | 18,7 | 99,0 | 20,4 | 98,4 | 18,21 | 99,6 |

| Adres | zanie- czysz- czenie | 2012 | | 2013 | | 2014 | | 2015 | | 2016 | |
|---|----------------------------|--|--------------------|--|--------------------|--|--------------------|--|--------------------|--|--------------------|
| | | S _a [ug/m ³] | komplet- ność % | S _a [ug/m ³] | komplet- ność % | S _a [ug/m ³] | komplet- ność % | S _a [ug/m ³] | komplet- ność % | S _a [ug/m ³] | komplet- ność % |
| Łódź ul. Czernika 1/3 | CO | 477,0 | 99,9 | 456,8 | 99,3 | 463,1 | 95,8 | 400,1 | 99,7 | 430 | 98,8 |
| Łódź ul. Gdańska 16 | | 612,2 | 96,3 | 580,2 | 99,5 | 574,7 | 98,3 | 535,0 | 99,0 | 520 | 96,2 |
| Łódź ul. Kilińskiego 102/102a | | - | - | - | - | 666,7 | 93,7 | 581,7 | 98,2 | 580 | 99,1 |
| Łódź ul. Zachodnia 40 | | 685,0 | 98,3 | 623,3 | 98,8 | 648,4 | 95,7 | 562,3 | 81,4 | - | - |
| Łódź ul. Jana Pawła II 15 | | - | - | - | - | - | - | - | - | 560 | 98,1 |
| Piotrków Tryb. ul. Krakowskie Przedmieście 14 | | 670,5 | 91,8 | 630,2 | 99,1 | 584,2 | 94,2 | 574,0 | 98,0 | 510 | 98,9 |
| Radomsko ul. Rolna 4 | | - | - | - | - | - | - | 506,9 | 82,0 | 570 | 98,7 |
| Radomsko ul. Sokoła 4 | | 557,7 | 97,3 | 535,1 | 94,4 | 475,8 | 99,7 | - | - | - | - |
| Zgierz ul. Mielczarskiego 1 | | 604,9 | 98,7 | 585,8 | 97,3 | 532,5 | 99,3 | 552,3 | 98,5 | 540 | 99,2 |
| Łódź ul. Gdańska 16 | Ben- zen | 2,5 | 93,8 | 2,1 | 75,4 | 1,3 | 30,5 | 2,3 | 61,8 | 1,01 | 69,9 |
| Łódź ul. Zachodnia 40 | | 2,6 | 96,6 | 2,4 | 98,5 | 2,3 | 94,9 | 1,6 | 79,5 | - | - |
| Łódź ul. Jana Pawła II 15 | | - | - | - | - | - | - | - | - | 1,18 | 95,5 |

Uwaga – wyniki pomiarów o kompletności poniżej 90% nie są brane pod uwagę w ocenie rocznej jakości powietrza



Mapa 3.9 Rozkład średniorocznych stężeń NO₂ na terenie województwa łódzkiego w 2016 r. (wyniki modelowania matematycznego)

Zdecydowanie gorzej wygląda sytuacja z emisją NO_2 w pobliżu jezdni. Wzdłuż dróg i ulic poziom emisji NO_2 jest zazwyczaj większy o 50-100% niż na terenach sąsiadujących. Wpływ na to mają dwa podstawowe elementy: duża emisja komunikacyjna oraz złe warunki przewietrzania. Warunki takie występują przede wszystkim na terenie miast aglomeracji łódzkiej oraz w większości miast powiatowych. Często również w małych miejscowościach, przez które przebiega droga krajowa lub wojewódzka o dużym natężeniu ruchu samochodowego, występują sprzyjające warunki wzrostu emisji zanieczyszczeń. Na tych terenach na emisję komunikacyjną nakładają się dodatkowo emisja powierzchniowa i punktowa. Emisja komunikacyjna stała się na wielu obszarach emisją dominującą. Wyniki monitoringu potwierdzają, że wpływ emisji komunikacyjnej na jakość powietrza jest z roku na rok coraz większy. Ma to z kolei przełożenie na wielkość emisji zanieczyszczeń do powietrza. W 2016 r. w 6 punktach pomiaru pasywnego NO_2 stwierdzono przekroczenia dopuszczalnej wartości średniorocznej $D_a=40\mu\text{g}/\text{m}^3$. Do przekroczeń doszło w największych miastach województwa: Łodzi, Zgierzu oraz w mniejszych ośrodkach, np. w Brzezinach, Strykowie, Wieluniu czy Poddębicach. Mniejsza liczba punktów pasywnych z przekroczeniami, w porównaniu z rokiem ubiegłym, wynika głównie z redukcji punktów pomiarowych.

Tabela 3.13 Maksymalne stężenia średnioroczne NO_2 , zmierzone w punktach pasywnych położonych przy jezdniach w 2016 r.

| Adres | Powiat | Średnia roczna | % wartości dopuszczalnej $D_a=40\mu\text{g}/\text{m}^3$ |
|--|------------|----------------|---|
| Zgierz ul. AK/Długa | zgierski | 47,1 | 117,8% |
| Wieluń ul. Piłsudskiego 4 | wieluński | 53,2 | 133% |
| Brzeziny ul. Sienkiewicza/Bohaterów Wolności | brzeziński | 45,4 | 113,5% |
| Stryków ul. Warszawska/Targowa | zgierski | 42,0 | 105% |
| Łódź al. Mickiewicza/Włókniarzy | m. Łódź | 48,1 | 120,3% |
| Poddębice ul. Łódzka 6 | poddębicki | 40,1 | 100,3% |

Wyniki modelowania matematycznego NO_2 nie wskazują, żeby dochodziło do przekroczeń dopuszczalnych wartości. W ocenie rocznej jakości powietrza, dokonywanej każdego roku przez Wojewódzki Inspektorat Ochrony Środowiska w Łodzi, nie wykazuje się przekroczeń tego zanieczyszczenia w żadnej strefie oceny. W skali kraju jedynie w wybranych aglomeracjach dochodzi do przekroczeń dopuszczalnej wartości D_a .

Tlenek węgla

Pomiary tlenku węgla prowadzone były w stacjach automatycznych w Łodzi, Zgierzu, Piotrkowie Tryb. i Radomsku. Na terenie województwa łódzkiego od 2003 r. nie stwierdzono przekroczenia dopuszczalnego stężenia tlenku węgla. Dopuszczalna wartość stężenia CO wynosi $D_g=10000\mu\text{g}/\text{m}^3$, a obliczana jest jako maksymalna średnia ośmiogodzinna spośród średnich kraczących, liczonych co godzinę z ośmiu średnich jednogodzinnych w ciągu doby.

Zmierzone wartości stężeń w 2016 r. były niższe niż w latach poprzednich. Różnice pomiędzy poszczególnymi latami wynikają głównie z warunków meteorologicznych w danym roku, wpływających na wielkość emisji zanieczyszczeń oraz sposób ich rozprzestrzeniania. Najwyższą wartość stężenia S_8 zmierzono w stacji automatycznej w Radomsku przy ul. Rolnej 4 ($S_8=4191,6\mu\text{g}/\text{m}^3$). Nienormowana wartość stężenia średniorocznego w stacjach niebędących pod bezpośrednim wpływem emisji komunikacyjnej wyniosła od $S_a=430\mu\text{g}/\text{m}^3$ w Łodzi przy ul. Czernika 1/3 do $S_a=510\mu\text{g}/\text{m}^3$ w Piotrkowie Tryb. W stacji komunikacyjnej w Łodzi przy ul. Kilińskiego 102/102a stężenie średnioroczne wyniosło $S_a=580\mu\text{g}/\text{m}^3$.

Oznacza to, że stężenia średnioroczne CO na terenie woj. łódzkiego wyniosły od $400\text{--}500\mu\text{g}/\text{m}^3$ na obrzeżach miast do $600\mu\text{g}/\text{m}^3$ w centrach miast. Przy głównych ciągach komunikacyjnych wartości te były wyższe i mogły dochodzić nawet do $700\text{--}800\mu\text{g}/\text{m}^3$. Na obszarach wiejskich stężenia średnioroczne nie przekraczały $400\mu\text{g}/\text{m}^3$.

Ponieważ głównym źródłem CO jest emisja energetyczna, najwyższe stężenia notowane są w okresie zimowym. Jedynie w pobliżu ciągów komunikacyjnych, o dużym natężeniu ruchu samochodowego, wartości stężeń nie wykazują tak dużej zmienności w ciągu roku. Najwyższe stężenia CO występują na terenach silnie zurbanizowanych oraz w pobliżu tras z dużym natężeniem ruchu samochodowego.

W skali województwa oraz w skali kraju zanieczyszczenie nie stanowi większego zagrożenia dla naszego zdrowia. W ocenie rocznej jakości powietrza, dokonywanej każdego roku przez wojewódzkie inspektoraty ochrony środowiska w Polsce, nie wykazuje się przekroczeń tego zanieczyszczenia w żadnej strefie oceny.

Tabela 3.14 Maksymalna średnia 8-godzinna CO w stacjach automatycznych w woj. łódzkim w latach 2012 – 2016

| Adres | 2012 | 2013 | 2014 | 2015 | 2016 |
|--|------------------------------------|------------------------------------|------------------------------------|------------------------------------|------------------------------------|
| | S_8 [$\mu\text{g}/\text{m}^3$] | S_8 [$\mu\text{g}/\text{m}^3$] | S_8 [$\mu\text{g}/\text{m}^3$] | S_8 [$\mu\text{g}/\text{m}^3$] | S_8 [$\mu\text{g}/\text{m}^3$] |
| Łódź ul. Czernika 1/3 | 2149,6 | 1794,8 | 2771,4 | 1948,5 | 1395,8 |
| Łódź ul. Gdańska 16 | 3612,0 | 4199,6 | 3144,4 | 4074,4 | 2751,4 |
| Łódź ul. Kilińskiego 102/102a | - | - | 4091,0 | 3731,2 | 2603,0 |
| Łódź ul. Zachodnia 40 | 3486,2 | 4363,0 | 4378,4 | 3572,8 | - |
| Łódź ul. Jana Pawła II 15 | - | - | - | - | 2348,1 |
| Piotrków Tryb. ul. Krakowskie Przedm. 13 | 4010,2 | 3811,7 | 5249,6 | 4453,8 | 3148,9 |
| Radomsko ul. Rolna 2 | - | - | - | 4601,9 | 4191,6 |
| Radomsko ul. Sokola 4 | 4949,9 | 2731,1 | 4563,1 | - | - |
| Zgierz ul. Mielczarskiego 1 | 3887,9 | 3737,7 | 3990,0 | 2930,9 | 3349,1 |

Węglowodory

W 2016 r. pomiary stężeń węglowodorów prowadzone były w stacji automatycznej w Łodzi przy ul. Gdańskiej 16 oraz al. Jana Pawła II 15. W wymienionych stacjach wykonywano pomiary średniogodzinne stężeń benzenu, toluenu, etylobenzenu, m,p-ksylenu i o-ksylenu. Ponadto WIOŚ wykonywał pomiary benzo(α)pirenu w pyłe zawieszonym PM10 w stacjach manualnych (informacje na temat tego związku zawarte są w rozdziale o zanieczyszczeniach pyłowych).

Zgodnie z rozporządzeniem Ministra Środowiska z 24 sierpnia 2012 r. w sprawie poziomów niektórych substancji w powietrzu (Dz.U. 2012 r., poz. 1031) jedynie dla benzenu określona jest dopuszczalna wartość stężenia średniorocznego, wynosząca $D_a = 5 \mu\text{g}/\text{m}^3$. Dla toluenu, etylobenzenu i ksylenu wyznaczone zostały w rozporządzeniu Ministra Środowiska z 26 stycznia 2010 r. w sprawie wartości odniesienia dla niektórych substancji w powietrzu (Dz.U. nr 16, poz. 87) tzw. wartości odniesienia.

W 2016 r. zmierzone wartości stężeń średniorocznych benzenu były na podobnym poziomie co w latach ubiegłych i wyniosły odpowiednio: al. Jana Pawła II 15 $S_a = 1,2 \mu\text{g}/\text{m}^3$ (24% D_a), ul. Gdańska 16 $S_a = 1,0 \mu\text{g}/\text{m}^3$ (przy kompletności serii 69,9%). Wartość dopuszczalna stężenia średniorocznego nie została przekroczona. Wartość odniesienia stężenia średniogodzinnego dla benzenu, wynosząca $D_1 = 30 \mu\text{g}/\text{m}^3$, nie została przekroczona.

Na podstawie pomiarów w roku 2016 oraz w latach poprzednich można oszacować, że średnioroczne wartości stężenia benzenu na obszarach zabudowanych województwa wyniosły $1,5\text{--}2,0 \mu\text{g}/\text{m}^3$. Jedynie na terenach o wysokiej emisji mogły dochodzić do $2,5 \mu\text{g}/\text{m}^3$. Przy jezdniach z dużym natężeniem ruchu samochodowego osiągnęły maksymalnie $3,0 \mu\text{g}/\text{m}^3$. Na obszarach wiejskich nie powinny przekroczyć $1 \mu\text{g}/\text{m}^3$, w małych miejscowościach $1\text{--}1,5 \mu\text{g}/\text{m}^3$.

Wartości stężeń toluenu i ksylenu kształtowały się na podobnym poziomie jak w roku poprzednim. Stężenie średnioroczne toluenu wyniosło odpowiednio: al. Jana Pawła II 15 $S_a = 1,3 \mu\text{g}/\text{m}^3$, ul. Gdańska 16 $S_a = 1,6 \mu\text{g}/\text{m}^3$. W przypadku ksylenu (jako suma izomerów): al. Jana Pawła II 15 $S_a = 0,86 \mu\text{g}/\text{m}^3$, ul. Gdańska 16 $S_a = 1,7 \mu\text{g}/\text{m}^3$. Etylobenzen: al. Jana Pawła II 15 $S_a = 0,2 \mu\text{g}/\text{m}^3$, ul. Gdańska 16 $S_a = 0,5 \mu\text{g}/\text{m}^3$. Nie doszło zatem do przekroczenia wartości odniesienia dla średniorocznych stężeń ksylenu i toluenu, wynoszącej $D_a = 10 \mu\text{g}/\text{m}^3$. Wartości średniogodzinne tych zanieczyszczeń dochodziły do kilkudziesięciu mikrogramów. Również stężenia średnioroczne etylobenzenu nie przekroczyły wartości odniesienia dla tego zanieczyszczenia ($D_a = 38 \mu\text{g}/\text{m}^3$).

Z punktu widzenia ochrony zdrowia ludzkiego stężenia benzenu nie stanowią zatem większego zagrożenia. W ocenie rocznej jakości powietrza, dokonywanej każdego roku przez wojewódzkie inspektoraty ochrony środowiska w Polsce, nie wykazuje się przekroczeń tego zanieczyszczenia w żadnej ze stref oceny.

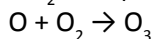
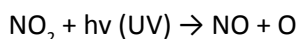
Prawdopodobieństwo przekroczenia wartości dopuszczalnej benzenu oraz wartości odniesienia dla toluenu, etylobenzenu i ksylenu jest bardzo małe.

Ozon

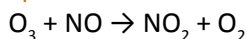
Cząsteczki ozonu w stratosferze i troposferze są identyczne, ale to ozon troposferyczny jest wysoce niepożądany i uznawany za zanieczyszczenie powietrza. Ozon troposferyczny, znajdujący się w przypowierzchniowej warstwie atmosfery, powstaje jako zanieczyszczenie wtórne w obecności prekursorów na skutek reakcji fotochemicznych. Pod wpływem promieniowania słonecznego UV dochodzi do reakcji utleniania tlenków azotu, tlenków węgla i NMLZO (niemetanowe lotne związki organiczne). Formowaniu się ozonu sprzyjają wysoka temperatura powietrza, mała prędkość wiatru i małe zachmurzenie. W odróżnieniu od typowych zanieczyszczeń pochodzenia energetycznego, ozon osiąga maksymalne stężenia w okresie wiosenno-letnim, czyli w okresie o najwyższej temperaturze powietrza i promieniowaniu UV. Minimalne wartości mierzone są z kolei w okresie jesienno-zimowym. W przebiegu dobowym najwyższe stężenia notowane są w godzinach popołudniowych.

Poniżej przedstawiono cykl tworzenia się i rozpadu ozonu na przykładzie reakcji z NO.

Tworzenie:



Rozpad:



Przebieg poziomu ozonu jest odwrotnie proporcjonalny do przebiegu swoich prekursorów, w tym głównego - NO₂. W ścisłych centrach miast oraz przy trasach z dużym natężeniem ruchu samochodowego wzrost poziomu ozonu hamowany jest przez dużą emisję tlenu azotu, który przyczynia się do jego rozpadu. Przenoszenie prekursorów ozonu z terenów, gdzie są one emitowane (tereny miejskie) na tereny rolnicze wpływa na podwyższenie stężeń O₃ na terenach podmiejskich i wiejskich. Dlatego też w rozkładzie przestrzennym ozon osiąga najwyższe wartości na obszarach podmiejskich i wiejskich. Nie należy zapominać również, że na terenach niezurbanizowanych do powierzchni terenu dociera większa ilość energii słonecznej, co ma bezpośredni wpływ na wzrost poziomu ozonu na terenach wiejskich.

Ozon troposferyczny powstaje także w warunkach naturalnych, np. podczas wyładowań atmosferycznych. Jego obecność można rozpoznać po charakterystycznym „świeżym” zapachu.

W odróżnieniu od ozonu znajdującego się w stratosferze na wysokości ok. 15-50 km nad powierzchnią ziemi (ozonosfera), ozon troposferyczny niekiedy jest nazywany złym ozonem, z powodu negatywnego wpływu na zdrowie ludzi oraz roślin. Ozon jest gazem drażniącym, powodującym uszkodzenie błon biologicznych. Objawami podwyższonego stężenia ozonu (>200µg/m³) są kaszel, drapanie w gardle, senność i ból głowy. Stężenia powyżej 9000µg/m³ powodują wzrost ciśnienia krwi, przyspieszenie tętna i obrzęk płuc, kończące się zgonem [www.wikipedia.pl]. W przypadku roślin ozon uszkadza błony komórkowe oraz inne wewnętrzne struktury (np. mitochondria), prowadząc do obumierania rośliny.

W 2016 r. system pomiarowy ozonu obejmował 7 stanowisk pomiarowych. Większość pomiarów wykonywana była na terenach zabudowanych. Pomiar prowadzone były tutaj pod kątem ochrony zdrowia ludności. Stanowiska w Gajewie (pow. łęczycki) i w Parzniewicach (pow. piotrkowski), znajdujące się na terenach rolniczych, prowadziły pomiary również pod kątem ochrony roślin. W rozporządzeniu Ministra Środowiska z 24 sierpnia 2012 r. w sprawie poziomów niektórych substancji w powietrzu (Dz.U. 2012 r., poz. 1031) określono poziomy docelowy oraz poziomy celów długoterminowych stężenia ozonu ze względu na ochronę zdrowia ludzi i ochronę roślin. Poziomy docelowy miały być osiągnięte w 2010 r., poziomy celów długoterminowych mają być osiągnięte do 2020 r. Zgodnie z rozporządzeniem, poziom docelowy obliczany jest jako maksymalna średnia ośmiogodzinna spośród średnich krocących i wynosi D₈=120µg/m³. Tak obliczona średnia może być przekroczona maksymalnie przez 25 dni w roku (średnia z 3 lat pomiarów).

W 2016 r. warunki meteorologiczne nie sprzyjały wysokim wzrostom ozonu. Okres wiosenno-letni cechował się dużą liczbą dni z opadami i znacznym zachmurzeniem. Nie doszło do przekroczenia liczby 25 dni z wartościami powyżej D₈. Najwyższą liczbę 21 dni (jako średnia z 3 lat) zmierzono w Parzniewicach i w Łodzi przy ul. Czernika, najniższą w Piotrkowie Trybunalskim – 13 dni.

W 2016 r. nie doszło do przekroczenia poziomu informowania o ryzyku przekroczenia poziomu alarmowego ozonu (PI=180µg/m³) ani do przekroczenia poziomu alarmowego, wynoszącego (PA=240µg/m³). Najwyższe stężenie średniodzinne zmierzono w Gajewie – 162,0µg/m³ (10.09.2016 r.).

Tabela 3.15. Suma wartości poziomu docelowego AOT40 (µg/m³h) oraz liczba dni z przekroczeniami wartości D₈ w stacjach automatycznych w woj. łódzkim w latach 2012 – 2016

| Adres | 2012 | | 2013 | | 2014 | | 2015 | | 2016 | | średnia z 3 lat* | średnia z 5 lat** |
|--|------------|---------|------------|---------|------------|---------|------------|---------|------------|---------|------------------|-------------------|
| | liczba dni | AOT40 | liczba dni | AOT40 | liczba dni | AOT40 | liczba dni | AOT40 | liczba dni | AOT40 | liczba dni | AOT40 |
| Gajew | 13 | 13547,0 | 10 | 15132,3 | 9 | 12470,6 | 23 | 14562,5 | 18 | 16449,7 | 17 | 14 432 |
| Łódź ul. Czernika 1/3 | 23 | 16206,3 | 14 | 15139,1 | 18 | 15599,5 | 30 | 17330,9 | 14 | 16916,2 | 21 | 16 238 |
| Łódź ul. Gdańska 16 | 22 | 16431,2 | 1 | 1767,9 | 6 | 8830,1 | 24 | 14446,4 | 12 | 13488,0 | 14 | 10 993 |
| Pabianice ul. Konstantynowska | 13 | 10785,1 | 12 | 15995,3 | 12 | 13430,6 | 28 | 16656,3 | 9 | 13953,7 | 16 | 14 164 |
| Parzniewice | 31 | 16537,2 | 16 | 16807,0 | 13 | 14618,4 | 31 | 17000,7 | 20 | 17508,4 | 21 | 16 494 |
| Piotrków Tryb. ul. Krakowskie Przedmieście | 13 | 14456,1 | 10 | 14481,9 | 9 | 10980,4 | 22 | 12345,1 | 8 | 13886,1 | 13 | 13 230 |

* W przypadku braku danych z ostatnich 3 lat dotrzymanie dopuszczalnej częstości przekroczeń sprawdza się na podstawie danych pomiarowych z co najmniej jednego roku

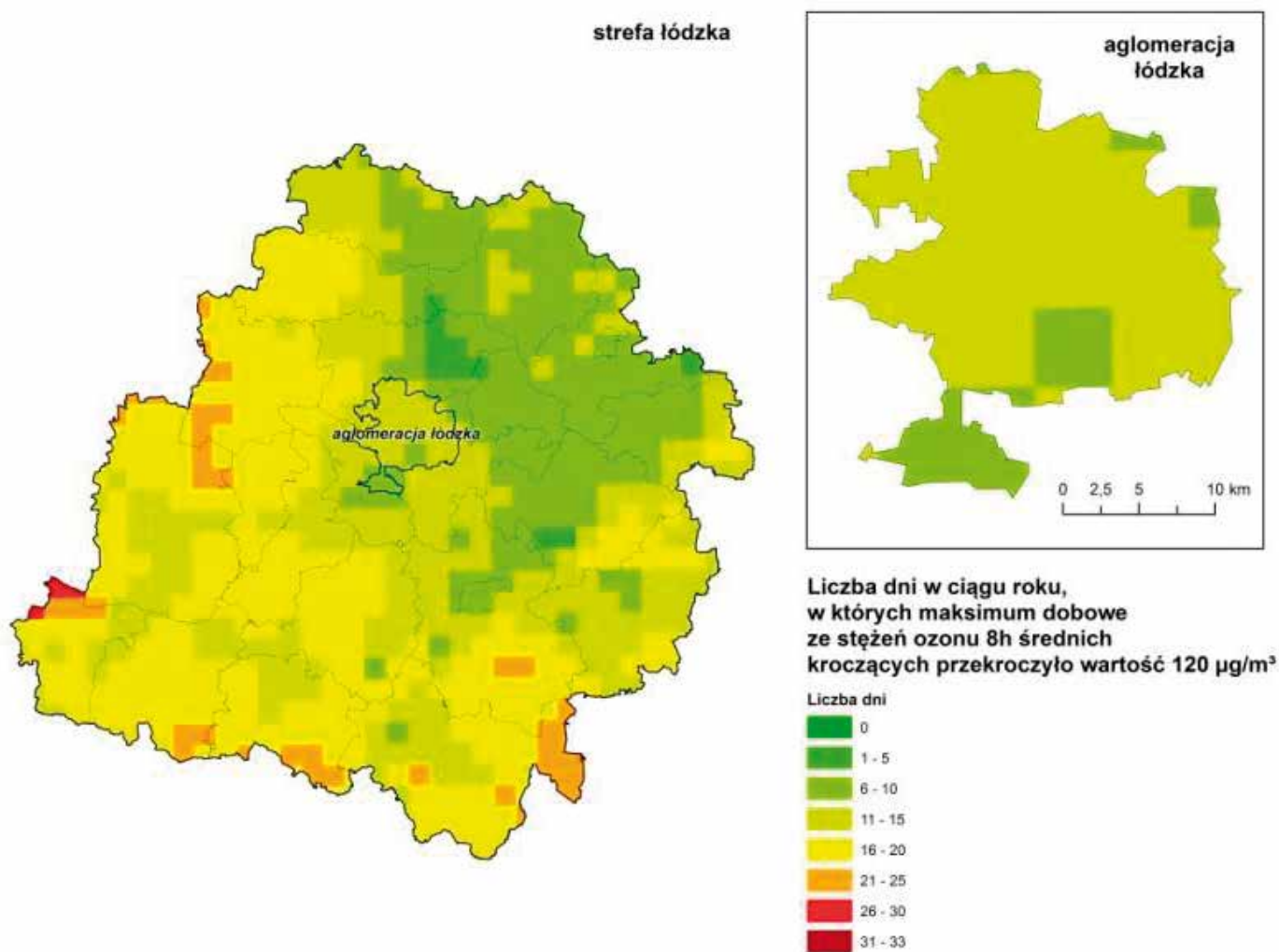
** W przypadku braku danych z ostatnich 5 lat dotrzymanie wartości sprawdza się na podstawie danych pomiarowych co najmniej z trzech kolejnych lat

W przypadku ochrony roślin nie doszło do przekroczenia poziomu docelowego wartości AOT40, wynoszącego $18000 \mu\text{g}/\text{m}^3\text{h}$ (średnia z 5 lat). Najwyższa wartość wyniosła $16494 \mu\text{g}/\text{m}^3\text{h}$ – w Parzniewicach. Zaznaczyć jednak trzeba, że w ocenie rocznej ze względu na ochronę roślin obszar aglomeracji łódzkiej nie jest brany pod uwagę.

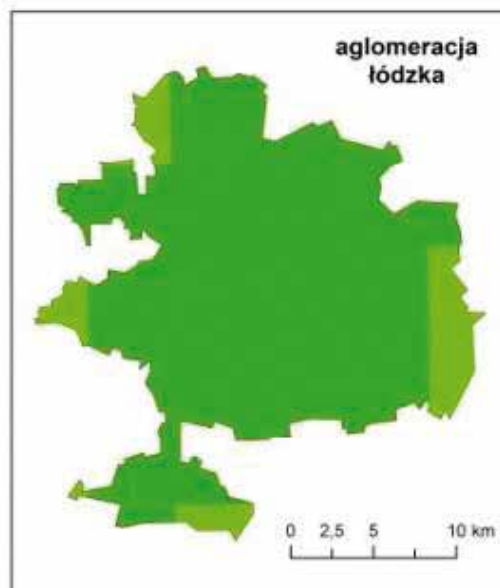
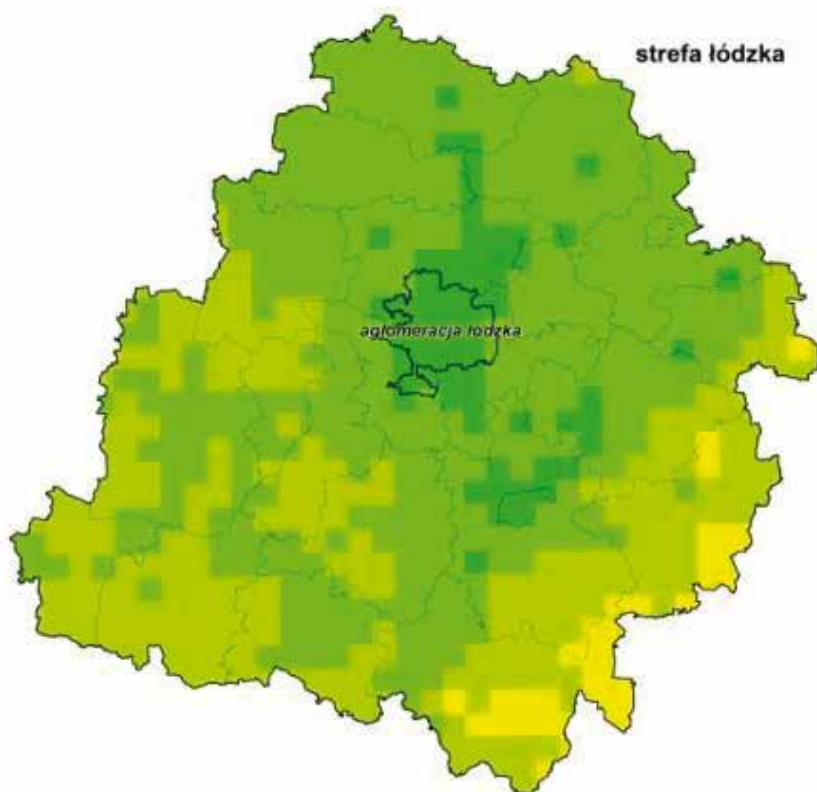
Ponieważ ozon jest zanieczyszczeniem wielkoobszarowym, wyniki z sieci monitoringu wskazują, że podobne wartości stężeń wystąpiły na całym obszarze województwa.

Wyniki modelowania matematycznego, wykonanego przy użyciu modelu CAMx, który uwzględnia przemiany fotochemiczne w atmosferze, w znacznym stopniu potwierdzają liczbę dni z przekroczeniami wartości D_{98} , oprócz niewielkiego obszaru w powiecie wierszowskim. Wyniki modelowania nie pokrywają się natomiast z pomiarami w przypadku wskaźnika AOT40, ponieważ wykazują przekroczenia dopuszczalnego poziomu AOT40 zarówno w 2016 r., jak i średniej z 5 lat.

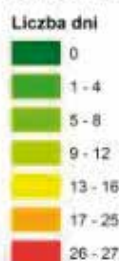
W przypadku poziomu celu długoterminowego (AOT $6000 \mu\text{g}/\text{m}^3\text{h}$, 0 dni z przekroczeniem D_{98}) nadal mamy do czynienia z przekroczeniami, i to zarówno pod kątem ochrony roślin AOT40, jak i ochrony zdrowia ludzkiego D_{98} . Do przekroczeń dochodzi we wszystkich stacjach. Choć terminem osiągnięcia tego poziomu jest rok 2020, nie ma dużych szans na dotrzymanie tego terminu. Działania w skali regionalnej, obejmujące nie tylko jeden kraj, ale grupę krajów w naszym regionie, są mało realne. Emisja prekursorów ozonu będzie utrzymywać się na wysokim poziomie. Dlatego też w najbliższych latach poziom ozonu w troposferze będzie uwarunkowany przede wszystkim warunkami meteorologicznymi.



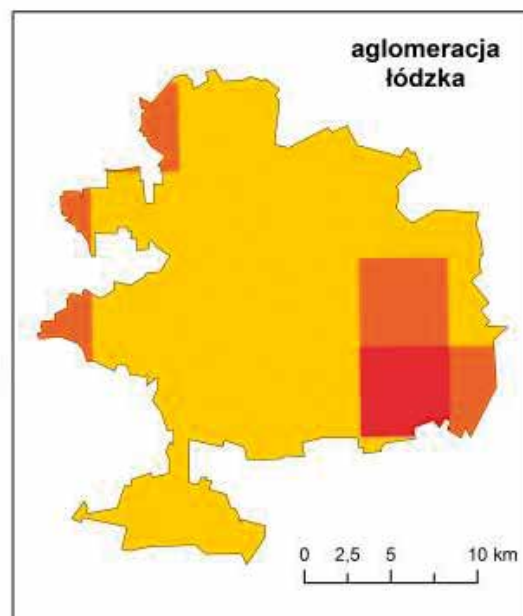
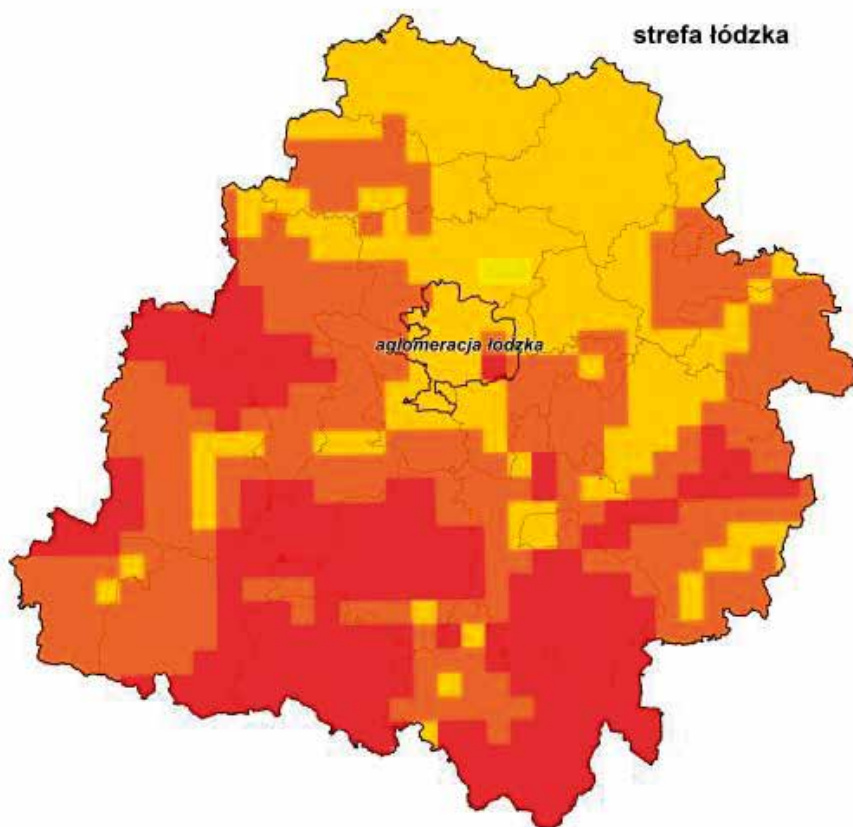
Mapa 3.10 Liczba dni w ciągu roku, w którym maksimum dobowe ze stężeń ozonu 8h średnich przekroczyło wartość $120 \mu\text{g}/\text{m}^3$ w woj. łódzkim w 2016 r. (źródło: „Wyniki modelowania stężeń ozonu troposferycznego na potrzeby rocznej oceny jakości powietrza dla roku 2016” GIOŚ)



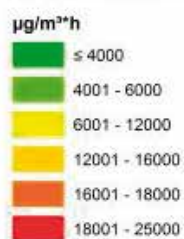
Liczba dni, w których maksimum dobowe ze stężeń ozonu 8h średnich kroczących przekroczyło wartość 120 µg/m³ uśrednione dla okresu 3 lat



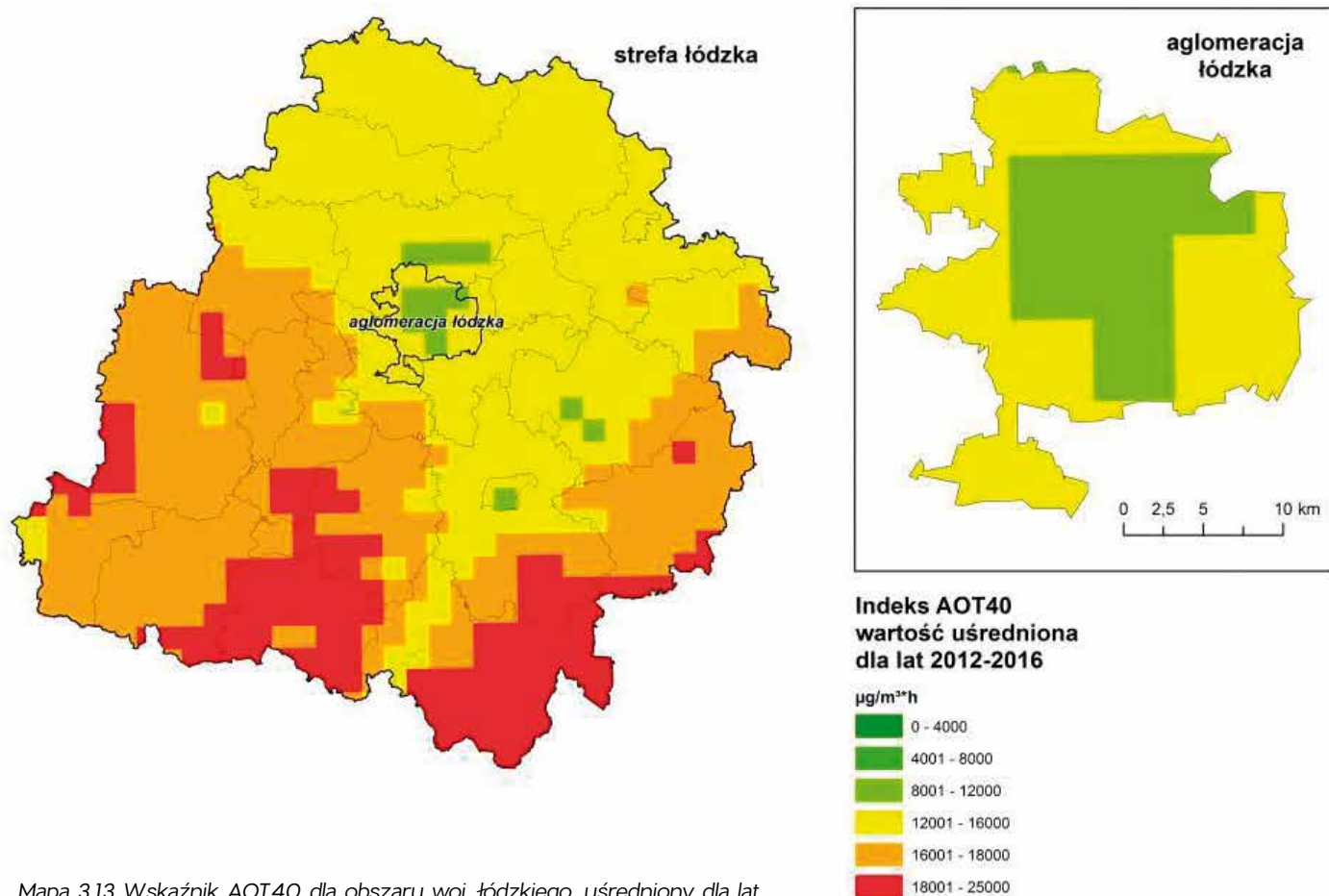
Mapa 3.11 Liczba dni, w których maksimum dobowe ze stężeń ozonu 8h średnich kroczących przekroczyło wartość 120 µg/m³, uśredniona dla lat 2014–2016 (źródło: „Wyniki modelowania stężeń ozonu troposferycznego na potrzeby rocznej oceny jakości powietrza dla roku 2016” GIOŚ)



Indeks AOT40 w 2016 r.



Mapa 3.12 Wskaźnik AOT40 w woj. łódzkim w 2016 r. (źródło: „Wyniki modelowania stężeń ozonu troposferycznego na potrzeby rocznej oceny jakości powietrza dla roku 2016” GIOŚ)



Mapa 3.13 Wskaźnik AOT40 dla obszaru woj. łódzkiego, uśredniony dla lat 2012–2016 (źródło: „Wyniki modelowania stężeń ozonu troposferycznego na potrzeby rocznej oceny jakości powietrza dla roku 2016” GIOŚ)

Podsumowanie

» Głównym źródłem zanieczyszczenia powietrza w województwie łódzkim jest emisja antropogeniczna, na którą składają się: energetyka zawodowa (procesy spalania w sektorze produkcji i transformacji energii), indywidualne ogrzewanie budynków i transport drogowy.

» Na obszarach zabudowanych największy udział emisji do powietrza ma emisja powierzchniowa, pochodząca z ogrzewania mieszkań, oraz emisja liniowa z transportu samochodowego.

» Spośród kilku mierzonych zanieczyszczeń gazowych, największy problem jest z NO_2 . Bardzo często w punktach pomiarowych przy jezdniach dochodzi do przekroczenia średniorocznej wartości dopuszczalnej $D_a = 40 \mu\text{g}/\text{m}^3$. Jest to poważny problem, zwłaszcza na terenach zabudowanych większości miast powiatowych, zazwyczaj gęsto zaludnionych, gdzie w pobliżu tras znajdują się budynki mieszkalne. Stara zabudowa w centrach miast ogranicza ruch samochodów oraz skuteczne przewietrzanie terenów (wąskie ulice, brak możliwości ich poszerzenia). Aby powstrzymać trend wzrostowy NO_2 na obszarach miejskich, należy upowszechniać korzystanie z transportu publicznego, transportu rowerowego (ścieżki rowerowe, rower miejski), budować zintegrowane węzły komunikacyjne (kolej, tramwaj, autobus, parking) oraz ograniczyć ruch w centrach miast. Ważna jest także wymiana taboru samochodowego na nowszy, spełniający surowsze wymagania emisyjne. Bez zmiany polityki transportowej na poziomie krajowym będzie bardzo trudno osiągnąć zadowalające efekty.

» Zanieczyszczenia emitowane do powietrza (tj. tlenki azotu i lotne związki organiczne) pogarszają jakość powietrza, ale biorą również udział w reakcjach fotochemicznych, wpływając na wzrost stężeń ozonu w warstwie troposferycznej (przyziemnej). Wysokie stężenia ozonu, występujące w okresie wiosenno-letnim, są szkodliwe dla ludzi i roślin i wymagają podjęcia działań, związanych z ograniczeniem emisji prekursorów ozonu.

» Wpływ na poprawę jakości powietrza powinny mieć konkretne przedsięwzięcia (np. realizacja Programów Ochrony Powietrza). Nadal istnieje znaczne uzależnienie emisji od warunków meteorologicznych. Wystarczy kilka dni z silnymi mrozami lub kilka dni z wysoką temperaturą powietrza i promieniowaniem UV, żeby nastąpił gwałtowny wzrost wartości stężeń zanieczyszczeń (w okresie jesienno-zimowym: pyłu zawieszonego PM_{10} , w okresie wiosenno-letnim O_3).

» Zanieczyszczone powietrze oznacza pogorszenie stanu naszego zdrowia, częstsze choroby układu oddechowego, układu krążenia i nowotwory. Poprawa jakości powietrza to poprawa jakości życia, mniejsze wydatki na leczenie, mniej hospitalizacji, wydłużenie średniej długości życia.

» Na dobrą jakość powietrza w 2016 r. wpływ miały przede wszystkim sprzyjające warunki meteorologiczne w okresie grzewczym. Stosunkowo ciepła zima, mała liczba dni z silnymi mrozami oraz dominujący cyklonalny typ pogody w ciągu roku przyczyniły się do mniejszego zapotrzebowania na energię ciepłą oraz sprzyjały przewietrzaniu terenów zabudowanych.

Opracowała: **Barbara Olczyk**

IMISJA ZANIECZYSZCZEŃ PYŁOWYCH

Pochodzenie pyłu zawieszonego w atmosferze

Zanieczyszczenia pyłowe stanowią najbardziej istotną grupę zanieczyszczeń powietrza w Polsce. W województwie łódzkim pomiary stężenia pyłu zawieszonego prowadzone są nieprzerwanie od lat 60 ubiegłego stulecia. W tym czasie przekroczenia norm jakości powietrza, określonych dla pyłu, występowały i prawdopodobnie będą występować przez kolejne dziesięciolecia, pomimo wyraźnego spadku wartości stężenia w latach 90. XX w., związanego z likwidacją wielu kotłowni przyzakładowych opalanych węglem. Od tego czasu poziom zapylenia powietrza utrzymuje się na podobnym poziomie. Pewne różnice stężenia pyłu zawieszonego obserwuje się w zależności od zmian warunków meteorologicznych w poszczególnych latach (mniej lub bardziej mroźne zimy).

W ciągu ostatnich 10 lat zanieczyszczenia pyłowe są główną przyczyną uchwalania programów ochrony powietrza dla blisko 100 miast w Polsce, ze względu na przekroczenia norm jakości powietrza. Pomimo to wyniki pomiarów nie wskazują, aby jakiegokolwiek skuteczne działania naprawcze zostały gdziekolwiek wdrożone.

Przez zanieczyszczenia pyłowe/pył zawieszony należy rozumieć aerozole atmosferyczne, na które składają się krople cieczy oraz ciała stałe. Mają one odmienną charakterystykę od zanieczyszczeń gazowych i są znacznie bardziej zróżnicowane pod względem pochodzenia, klasyfikacji i właściwości fizycznych oraz szkodliwości zdrowotnej.

W związku z koniecznością pobierania próbek pyłu o tych samych parametrach fizycznych do różnych celów (pomiary ilościowe lub jakościowe), stosowane są różne metody pomiaru stężenia pyłu w powietrzu atmosferycznym.

Pyły związane z działalnością człowieka są emitowane podczas: spalania paliw kopalnych, procesów mechanicznych i chemicznych. Źródłem pyłów są również komunikacja drogowa i kolejowa oraz procesy produkcyjne. Pyły powstające poprzez pośrednie reakcje gazów w atmosferze nazywane są *pyłami wtórnymi*.

Skład chemiczny ziaren pyłów może być różny, w zależności od ich pochodzenia. Pyły występujące w miastach pochodzą głównie ze spalania węgla do celów energetycznych (wytworzenie energii oraz ciepła na potrzeby komunalne i technologiczne). Głównym składnikiem są cząstki skały płonnej, sadzy i niespalonych ziaren węgla. Dodatkowo w składzie chemicznym ziaren pyłów znajdują się metale i ich związki, azbest oraz węglowodory (w szczególności 3-4 benzopiren, uważany za czynnik rakotwórczy), pochodzące m.in. z emisji komunikacyjnej.

Szczególnie „pyłotwórcze” są procesy metalurgiczne oraz produkcja materiałów budowlanych, a zwłaszcza cementu.

O stopniu szkodliwości pyłów decydują przede wszystkim ich stężenie w atmosferze, skład chemiczny i mineralogiczny. Do pyłów szczególnie toksycznych należą związki arsenu, ołowiu, cynku, manganu, kadmu, miedzi i rtęci. Z pyłów mineralogicznych najbardziej szkodliwy jest kwarc.

Według Światowej Organizacji Zdrowia, pył zawieszony w powietrzu reprezentuje złożoną mieszaninę organicznych i nieorganicznych substancji w postaci stałych oraz ciekłych cząstek zawieszonych w powietrzu. Masa i skład przyczyniają się do podziału na następujące grupy:

1. *pył gruby* - nie mniejszy niż $1\mu\text{m}$ oraz przeważnie większy niż $2,5\mu\text{m}$ średnicy aerodynamicznej ziaren pyłu,
2. *faza akumulacji*,
3. *pył drobny* - przeważnie mniejszy niż $2,5\mu\text{m}$ średnicy aerodynamicznej ziaren ($\text{PM}_{2,5}$).

Te zawieszone cząstki różnią się wielkością, składem oraz genezą.

Największe pyły, zwane *grubymi* frakcjami, są mechanicznie wytwarzane przez kruszenie większych pyłów stałych. Te cząstki mogą zawierać pył wywiewany z obszarów działalności rolniczej, niepokrytych (nieporośniętych) gleb, nieutwardzonych dróg oraz działalności górniczej. Ruch kołowy powoduje powstawanie pyłu drogowego. Ruch pojazdów wywołuje turbulencje powietrza, mogące ponownie wzniecać pył drogowy (emisja wtórna). W pobliżu wybrzeży parowanie rozpylonej wody morskiej może powodować powstawanie ogromnej ilości ziaren. Ziarna pyłków czy spory pleśń zawierają się w całości w przedziale rozmiarów pyłu *grubego*.

Spalanie paliw kopalnych, takich jak węgiel, olej oraz benzyna, może powodować powstawanie *grubych* pyłów poprzez uwalnianie niepalnych materiałów, popiołu lotnego, *drobnych* pyłów z kondensacji materiałów parujących w czasie spalania oraz *pyłów wtórnych* poprzez atmosferyczne reakcje tlenków siarki oraz tlenków azotu wstępnie uwolnionych jako gazy.

Pomiary emisji zanieczyszczeń pyłowych w województwie

Ocena poziomu zapylenia powietrza atmosferycznego w Polsce jest dokonywana na podstawie porównania stężenia pyłu o średnicy ziaren do $10\mu\text{m}$ z jego dopuszczalnym poziomem w powietrzu, określonym w rozporządzeniu Ministra Środowiska z 24 sierpnia 2012 r. w sprawie poziomów niektórych substancji w powietrzu (Dz.U. z 2012 r., poz. 1031) [5]. Wartościami normatywnymi dla emisji pyłu zawieszonego są wartości dobowego i rocznego poziomu dopuszczalnego pyłu PM_{10} , poziomu dopuszczalnego ołowiu zawartego w pyłe PM_{10} oraz poziomy docelowe arsenu, kadmu, niklu i benzo(a)pirenu.

Tabela 3.16 Dopuszczalne poziomy stężenia pyłu PM_{10} , $\text{PM}_{2,5}$, ołowiu oraz docelowe poziomy stężenia metali ciężkich i WWA w pyłe PM_{10} , ustanowione ze względu na ochronę zdrowia

| Lp. | Nazwa substancji | okres uśredniania wyników pomiarów | Poziom dopuszczalny lub docelowy substancji w powietrzu | Dopuszczalna częstość przekraczania poziomu docelowego w roku kalendarzowym | Termin osiągnięcia poziomu |
|-----|---------------------------------|------------------------------------|---|---|----------------------------|
| 1 | PM_{10} | 24 godziny | $50\mu\text{g}/\text{m}^3$ | 35 razy | 2005 |
| | | rok kalendarzowy | $40\mu\text{g}/\text{m}^3$ | | 2005 |
| 2 | $\text{PM}_{2,5}$ ^{b)} | rok kalendarzowy | $25\mu\text{g}/\text{m}^3$ ^{b)} | | 2015 |
| 3 | Ołów ^{a)} | rok kalendarzowy | $0,5\mu\text{g}/\text{m}^3$ | | 2005 |
| 4 | Arsen ^{a)} | rok kalendarzowy | $6\text{ng}/\text{m}^3$ | - | 2013 |
| 5 | Benzo(a)piren ^{a)} | rok kalendarzowy | $1\text{ng}/\text{m}^3$ | - | 2013 |
| 6 | Kadm ^{a)} | rok kalendarzowy | $5\text{ng}/\text{m}^3$ | - | 2013 |
| 7 | Nikiel ^{a)} | rok kalendarzowy | $20\text{ng}/\text{m}^3$ | - | 2013 |

a) całkowita zawartość tego pierwiastka w pyłe zawieszonym PM_{10} , a dla benzo(a)pirenu całkowita zawartość benzo(a)pirenu w pyłe zawieszonym PM_{10}

b) wartość dopuszczalna pyłu $\text{PM}_{2,5}$ bez marginesu tolerancji, który w 2015 r. przestał obowiązywać

W 2016 r. pomiary manualne stężenia pyłu PM_{10} w województwie łódzkim wykonywane były na 15 stanowiskach pomiarowych przy użyciu metody wagowej z separacją frakcji pyłu o średnicy ziaren poniżej $10\mu\text{m}$ (pomiary manualne). Pomiary ciągłe stężenia pyłu PM_{10} wykonywane były na 9 stanowiskach z wykorzystaniem metod mikrowagi oscylacyjnej, nefelometrii oraz pochłaniania promieniowania β (pomiary automatyczne). Wszystkie metody pomiarów ciągłych są oficjalnie uważane za porównywalne z metodyką referencyjną (przy użyciu stosownych współczynników korekcyjnych).

Oprócz pomiarów stężenia pyłu PM_{10} , na 6 stanowiskach pomiarowych prowadzone były także pomiary stężenia pyłu $\text{PM}_{2,5}$ (3 stanowiska manualne i 3 stanowiska automatyczne), drobnej frakcji pyłu, stanowiącej 60-80% masy pyłu PM_{10} .

W ramach pomiarów składu chemicznego pyłu PM_{10} na 6 stanowiskach pomiarowych były prowadzone pomiary zawartości w pyłe ołowiu, arsenu, kadmu, niklu. Na wszystkich 15 stanowiskach manualnych pomiarów stężenia pyłu PM_{10} były prowadzone również pomiary zawartości benzo(a)pirenu.

Tabela 3.17 Stanowiska pomiarów stężenia pyłu zawieszonego PM_{10} i $\text{PM}_{2,5}$, funkcjonujące w województwie łódzkim w 2016 r.

| Lp. | Kod stacji | Adres | Mierzony parametr | Czas uśredniania | Typ pomiaru |
|-----|---------------|---|-------------------|------------------|--------------|
| 1 | LdBrzeReform | Brzeziny ul. Reformacka1 | PM_{10} | 24-godzinny | manualny |
| 2 | LdGajewUjWod | Gajew gm. Witonia | PM_{10} | 1-godzinny | automatyczny |
| 3 | LdKutnKosciu | Kutno ul. Kościuszki 26 | PM_{10} | 24-godzinny | manualny |
| 4 | LdLodzCzerni | Łódź ul. Czernika 1/3 | PM_{10} | 1-godzinny | automatyczny |
| 5 | LdLodzGdansk | Łódź ul. Gdańska 16 | PM_{10} | 1-godzinny | automatyczny |
| 6 | LdLodzJanPaw | Łódź al. Jana Pawła II 15 | PM_{10} | 1-godzinny | automatyczny |
| 7 | LdLodzKilins | Łódź ul. Kilińskiego 102/102a | PM_{10} | 1-godzinny | automatyczny |
| 8 | LdLodzLegion | Łódź ul. Legionów 1 | PM_{10} | 24-godzinny | manualny |
| 9 | LdLodzRudzka | Łódź ul. Rudzka60 | PM_{10} | 24-godzinny | manualny |
| 10 | LdLowiczSien | Łowicz ul.Sienkiewicza 62 | PM_{10} | 24-godzinny | manualny |
| 11 | LdOpocCurieSk | Opoczno ul. Curie-Skłodowskiej 5 | PM_{10} | 24-godzinny | manualny |
| 12 | LdPabiKilins | Pabianice ul. Kilińskiego 4 | PM_{10} | 24-godzinny | manualny |
| 13 | LdPabiKonsta | Pabianice ul. Konstantynowska | PM_{10} | 1-godzinny | automatyczny |
| 14 | LdPioTrKraPr | Piotrków Tryb. ul. Krakowskie Przedmieście 13 | PM_{10} | 24-godzinny | manualny |
| 15 | LdPioTrKraPr | Piotrków Tryb. ul. Krakowskie Przedmieście 13 | PM_{10} | 1-godzinny | automatyczny |
| 16 | LdRadomsRoln | Radomsko ul. Rolna2 | PM_{10} | 24-godzinny | manualny |
| 17 | LdRadomsRoln | Radomsko ul. Rolna2 | PM_{10} | 1-godzinny | automatyczny |

| Lp. | Kod stacji | Adres | Mierzony parametr | Czas uśredniania | Typ pomiaru |
|-----|--------------|---|-------------------|------------------|--------------|
| 18 | LdRawaNiepod | Rawa Mazowiecka ul. Niepodległości 8 | PM10 | 24-godzinny | manualny |
| 19 | LdSieraPolna | Sieradz ul. Polna 18/20 | PM10 | 24-godzinny | manualny |
| 20 | LdSkierKonop | Skierniewice ul. Konopnickiej 5 | PM10 | 24-godzinny | manualny |
| 21 | LdToMaSwAnto | Tomaszów Maz. ul. św. Antoniego 43 | PM10 | 24-godzinny | manualny |
| 22 | LdWieluPOW12 | Wieluń ul. POW 12 | PM10 | 24-godzinny | manualny |
| 23 | LdZduWoKrole | Zduńska Wola ul. Królewska10 | PM10 | 24-godzinny | manualny |
| 24 | LdZgieMielcz | Zgierz ul. Mielczarskiego 1 | PM10 | 1-godzinny | automatyczny |
| 25 | LdLodzCzerni | Łódź ul. Czernika 1/3 | PM2.5 | 24-godzinny | manualny |
| 26 | LdLodzCzerni | Łódź ul. Czernika 1/3 | PM2.5 | 1-godzinny | automatyczny |
| 27 | LdLodzGdansk | Łódź ul. Gdańska 16 | PM2.5 | 1-godzinny | automatyczny |
| 28 | LdLodzLegion | Łódź ul. Legionów 1 | PM2.5 | 24-godzinny | manualny |
| 29 | LdPioTrKraPr | Piotrków Tryb. ul. Krakowskie Przedmieście 13 | PM2.5 | 24-godzinny | manualny |
| 30 | LdZgieMielcz | Zgierz ul. Mielczarskiego 1 | PM2.5 | 1-godzinny | automatyczny |

OCENA IMISJI PYŁU ZAWIESZONEGO PM10

Na podstawie wyników kolejnych rocznych ocen jakości powietrza w województwie łódzkim w latach 2002-2016 co roku stwierdzano potrzebę realizacji programów ochrony powietrza ze względu na ponadnormatywne stężenie pyłu zawieszonego PM10 w obu strefach oceny jakości powietrza.

Liczba obszarów przekroczeń poziomu dopuszczalnego pyłu PM10 w 2016 r. była mniejsza niż w roku poprzednim. W porównaniu z latami poprzednimi zasięg obszarów przekroczeń poziomu dopuszczalnego pyłu PM10 był również mniejszy.

Średnia roczna wartość poziomu dopuszczalnego pyłu PM10 była przekroczona na 5 stanowiskach spośród 24 stanowisk pomiarowych w województwie (o kompletności serii pomiarowej co najmniej 90%). Na obszarze aglomeracji łódzkiej nie doszło do przekroczenia ww. wartości dopuszczalnej. Podobnie jak latach poprzednich wartość 24-godzinna poziomu dopuszczalnego pyłu PM10 została przekroczona na wszystkich stanowiskach pomiarowych w województwie, z wyjątkiem dwóch (Gajew – stanowisko pomiaru tła regionalnego, Łódź ul. Czernika 1/3 – stanowisko pomiaru tła miejskiego, osiedle mieszkaniowe).

Do określenia obszarów przekroczeń poziomu dopuszczalnego pyłu PM10 wykorzystano metody matematycznego modelowania jakości powietrza przy użyciu modelu Calmet/Calpuff. Na podstawie obliczeń wyznaczono zasięg pól imisji dla średniej rocznej i 24-godzinnej wartości stężenia pyłu zawieszonego PM10.

Wyniki obliczeń modelowych zweryfikowano poprzez ich porównanie z wynikami pomiarów.

Na potrzeby rocznej oceny jakości powietrza oszacowano liczbę ludności zamieszkałej na terenach zakwalifikowanych jako obszary przekroczeń. W szacunkach wykorzystano analizy przestrzenne rozkładu pól imisji oraz dane o liczbie mieszkańców, w siatce pól 250m x 250m. Na tej podstawie oszacowana została maksymalna liczba ludności, narażonej na ponadnormatywny poziom stężenia pyłu PM10, PM2,5 oraz B(a)P w składzie pyłu PM10.

Tabela 3.18 Powierzchnia obszarów przekroczeń oraz liczba mieszkańców narażonych na przekroczenia poziomów dopuszczalnych pyłu PM10 i PM2,5 oraz poziomu docelowego benzo(a)pirenu w pyłe PM10 w województwie łódzkim w 2016 r.

| Parametr | Aglomeracja łódzka | | Strefa łódzka | | Razem w województwie | |
|-----------------|--|---|--|---|--|---|
| | Powierzchnia obszarów przekroczeń [km ²] | Liczba mieszkańców obszarów przekroczeń | Powierzchnia obszarów przekroczeń [km ²] | Liczba mieszkańców obszarów przekroczeń | Powierzchnia obszarów przekroczeń [km ²] | Liczba mieszkańców obszarów przekroczeń |
| BaP (rok) | 409,0 | 864 272 | 9643,7 | 1 300 748 | 10052,7 | 2 165 020 |
| PM10 (24-godz.) | 188,7 | 692 123 | 342,9 | 531 432 | 531,6 | 1 223 555 |
| PM10 (rok) | - | - | 8,1 | 32 362 | 8,1 | 32 362 |
| PM2,5 (rok) | 16,8 | 115 980 | 52,0 | 185 936 | 68,8 | 301 916 |

Powierzchnia obszarów przekroczeń dobowego poziomu dopuszczalnego stężenia pyłu PM10 w powietrzu zmalała względem roku poprzedniego.

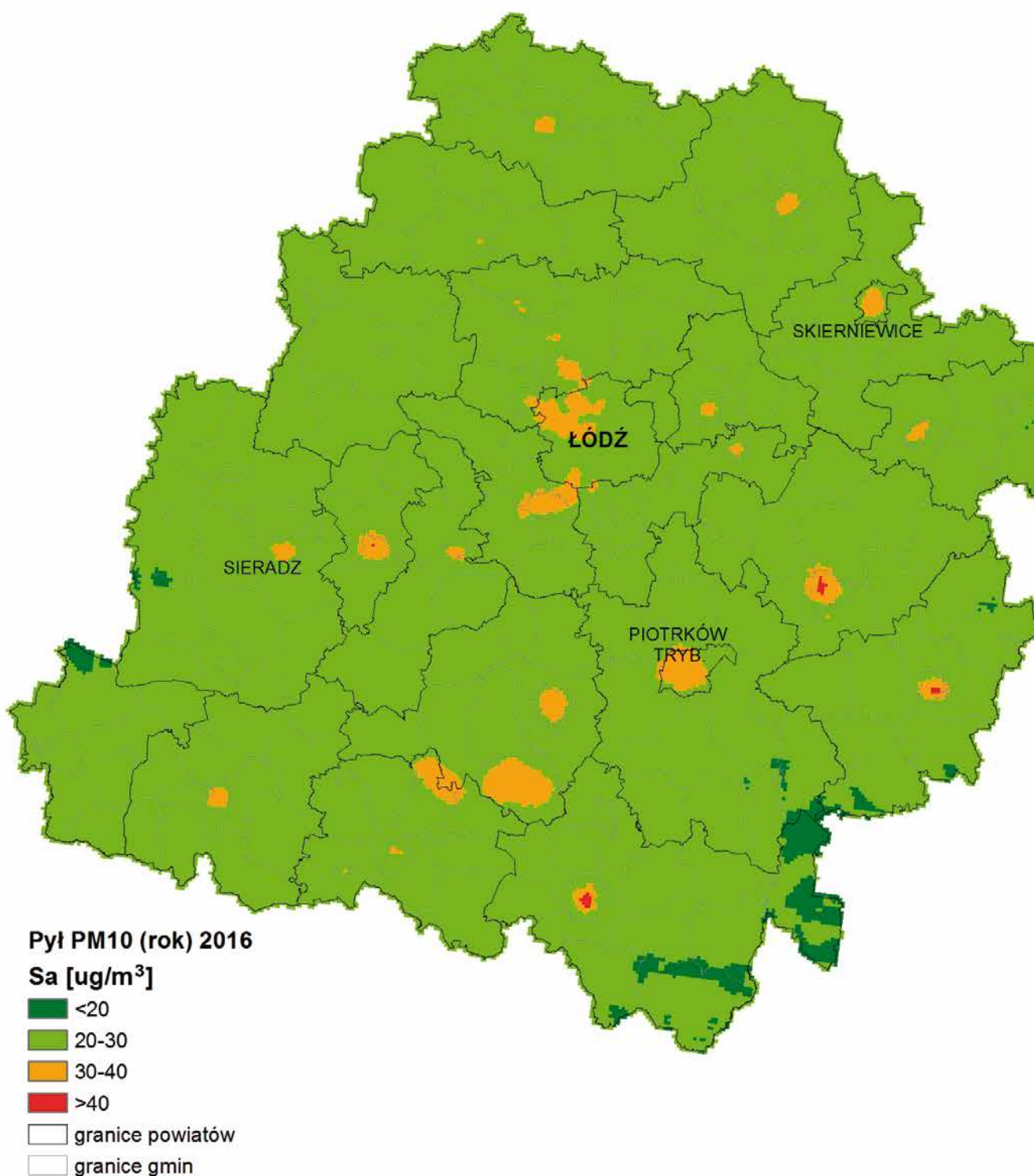
Mimo to liczba ludności narażonej na przekroczenie 24-godzinnej wartości poziomu dopuszczalnego pyłu w województwie wyniosła aż 1 224 tysięcy i zmalała względem roku poprzedniego jedynie o około 2,5%. Należy podkreślić, że połowa mieszkańców województwa łódzkiego żyje na obszarach przekroczeń poziomu dopuszczalnego pyłu PM10.

W miastach aglomeracji łódzkiej obszar przekroczeń 24-godzinnej wartości poziomu dopuszczalnego pyłu PM10

ponownie zmalał względem roku poprzedniego o 10%, liczba ludności narażonej na przekroczenie stanowiła 80,1% liczby mieszkańców aglomeracji łódzkiej.

Obszary przekroczeń średniej rocznej wartości poziomu dopuszczalnego pyłu PM₁₀ występowały w centrach jedynie czterech miast powiatowych (Opoczno, Radomsko, Tomaszów Mazowiecki, Zduńska Wola), obejmując łącznie powierzchnię 8,1 km².

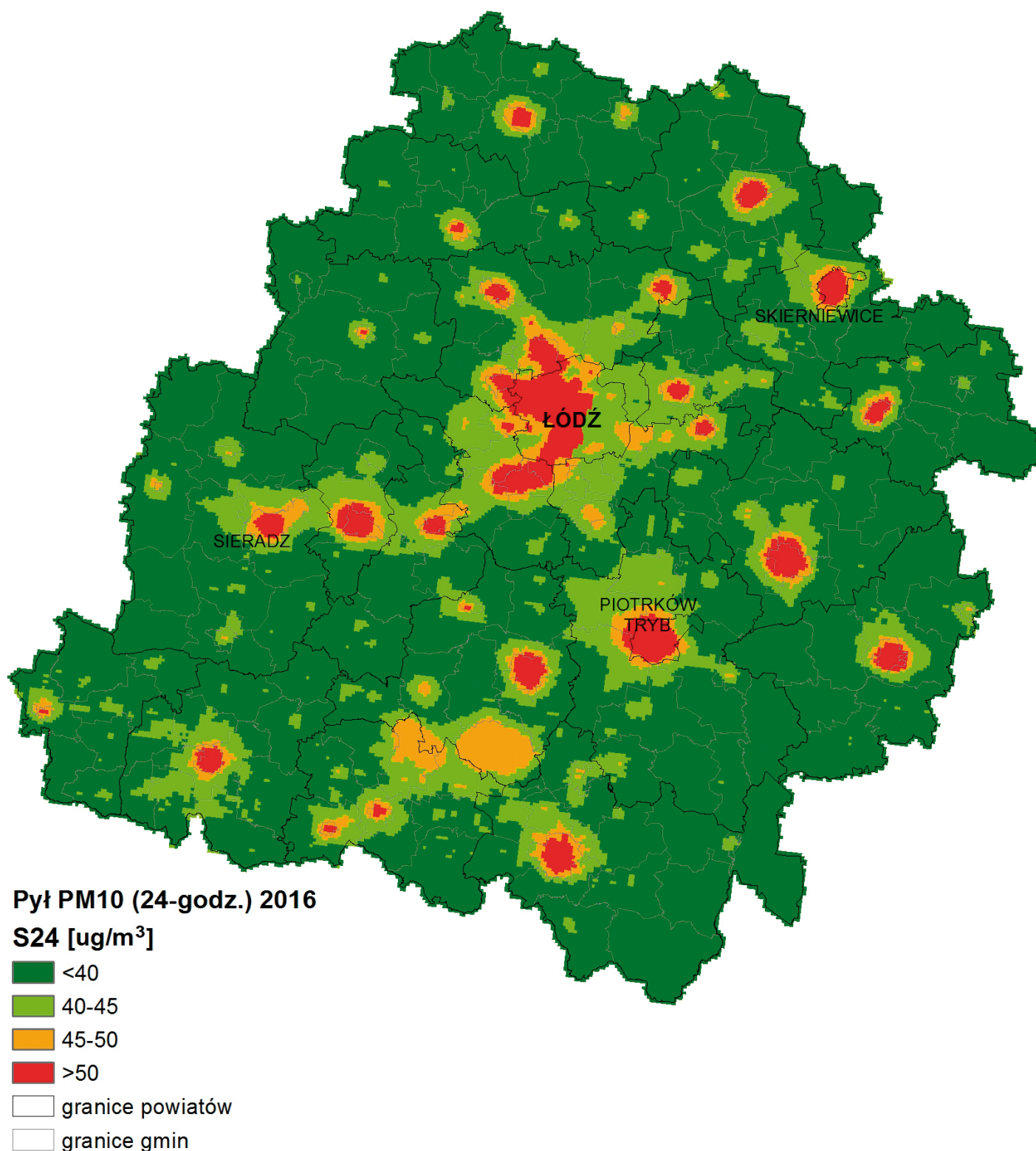
Główną przyczyną przekroczenia wartości dopuszczalnych jest nadmierna emisja niska z dużych obszarów zwartej zabudowy śródmiejskiej, niepodłączonej do sieci ciepłej, spowodowana opalaniem węglem kamiennym.



Mapa 3.14 Rozmieszczenie średniorocznych wartości stężeń pyłu zawieszonego PM₁₀ w województwie łódzkim w 2016

Oprócz wzrostu wielkości emisji zanieczyszczeń pyłowych do powietrza w okresie grzewczym, dodatkową przyczyną wzrostu stężenia pyłu w powietrzu są często występujące warunki meteorologiczne, sprzyjające koncentracji emitowanych substancji (inwersja termiczna w przygruntowych warstwach atmosfery, mała prędkość wiatru).

Inwersja termiczna jest szczególnie uciążliwym zjawiskiem dla jakości powietrza na obszarach o zwartej zabudowie mieszkaniowej, gdzie występuje emisja niska z palenisk domowych.



Mapa 3.15 Rozmieszczenie 36 maksymów średniodobowego stężenia pyłu zawieszonego PM10 w województwie łódzkim w 2016 r.

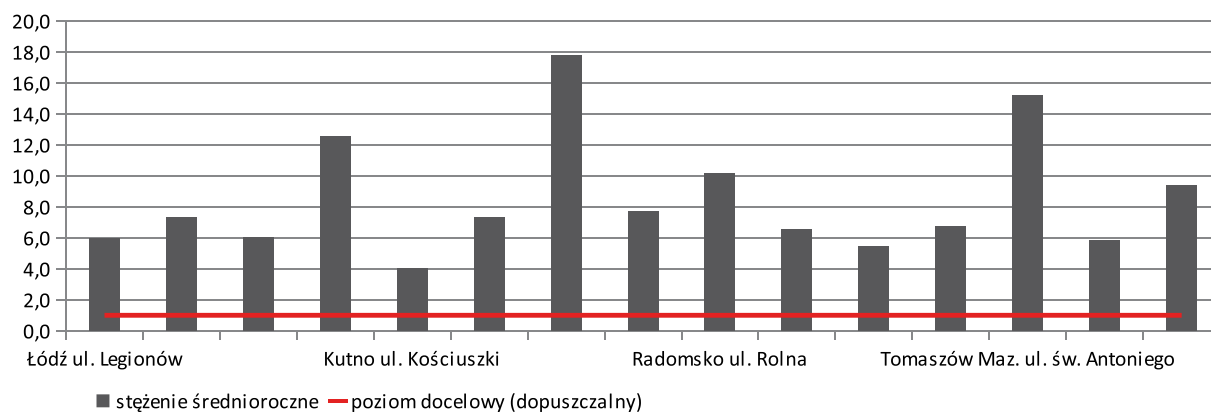
Tabela 3.19. Wyniki pomiarów stężenia pyłu zawieszonego PM10 i PM2,5 w województwie łódzkim w 2016 r.

| Lp. | Kod stacji | Adres | Wskaźnik | Czas uśredniania | Średnia roczna Sa * | Liczba dni z przekroczeniem wartości dopuszczalnej średniodobowej D24 ** | Kompletność w %/rok |
|-----|--------------|--|----------|------------------|---------------------|--|---------------------|
| 1 | LdLodzCzerni | Łódź ul. Czernika 1/3 | PM10 | 1g | 27,7 | 19 | 85,9 |
| 2 | LdLodzGdansk | Łódź ul. Gdańska 16 | PM10 | 1g | 34,0 | 55 | 93,8 |
| 3 | LdLodzJanPaw | Łódź al. Jana Pawła II 15 | PM10 | 1g | 31,9 | 46 | 97,2 |
| 4 | LdLodzKilins | Łódź ul. Kilińskiego 102/102a | PM10 | 1g | 37,5 | 79 | 98,2 |
| 5 | LdLodzLegion | Łódź ul. Legionów 1 | PM10 | 24g | 39,2 | 83 | 99,5 |
| 6 | LdLodzRudzka | Łódź ul. Rudzka 60 | PM10 | 24g | 37,6 | 74 | 99,7 |
| 7 | LdPabiKilins | Pabianice ul. Kilińskiego 4 | PM10 | 24g | 36,3 | 72 | 97,5 |
| 8 | LdPabiKonsta | Pabianice ul. Konstantynowska | PM10 | 1g | 38,9 | 80 | 96,9 |
| 9 | LdZgieMielcz | Zgierz ul. Mielczarskiego 1 | PM10 | 1g | 22,6 | 27 | 95,4 |
| 10 | LdBrzeReform | Brzeziny ul. Reformacka 1 | PM10 | 24g | 39,6 | 93 | 99,5 |
| 11 | LdGajewUjWod | Gajew gm. Witonia | PM10 | 1g | 27,6 | 28 | 97,7 |
| 12 | LdKutnKosciu | Kutno ul. Kościuszki 26 | PM10 | 24g | 31,8 | 47 | 100,0 |
| 13 | LdLowiczSien | Łowicz ul. Sienkiewicza 62 | PM10 | 24g | 37,6 | 78 | 100,0 |
| 14 | LdOpocPlKosc | Opoczno pl. Kościuszki 15 | PM10 | 24g | 52,2 | 150 | 100,0 |
| 15 | LdPioTrKraPr | Piotrków Tryb. ul. Krakowskie Przedmieście 13 | PM10 | 1g | 37,4 | 73 | 98,6 |
| 16 | LdPioTrKraPr | Piotrków Tryb. ul. Krakowskie Przedmieście 13 | PM10 | 24g | 38,1 | 86 | 100,0 |
| 17 | LdRadomsRoln | Radomsko ul. Rolna 2 | PM10 | 1g | 42,7 | 93 | 97,3 |
| 18 | LdRadomsRoln | Radomsko ul. Rolna 2 | PM10 | 24g | 42,9 | 94 | 99,5 |
| 19 | LdRawaNiepod | Rawa Maz. ul. Niepodległości 8 | PM10 | 24g | 33,3 | 57 | 97,3 |
| 20 | LdSieraPolna | Sieradz ul. Polna 18/20 | PM10 | 24g | 33,9 | 61 | 100,0 |
| 21 | LdSkierKonop | Skierniewice ul. Konopnickiej 5 | PM10 | 24g | 36,2 | 72 | 100,0 |
| 22 | LdToMaSwAnto | Tomaszów Maz. ul. św. Antoniego 43 | PM10 | 24g | 40,6 | 94 | 100,0 |
| 23 | LdWieluPOW12 | Wieluń ul. POW 12 | PM10 | 24g | 33,9 | 56 | 99,7 |
| 24 | LdZduWoKrole | Zduńska Wola ul. Królewska 10 | PM10 | 24g | 42,9 | 102 | 100,0 |
| 25 | LdLodzCzerni | Łódź ul. Czernika 1/3 | PM2.5 | 1g | 21,4 | - | 80,6 |
| 26 | LdLodzCzerni | Łódź ul. Czernika 1/3 | PM2.5 | 24g | 20,7 | - | 100,0 |
| 27 | LdLodzGdansk | Łódź ul. Gdańska 16 | PM2.5 | 1g | 23,6 | - | 90,4 |
| 28 | LdLodzLegion | Łódź ul. Legionów 1 | PM2.5 | 24g | 26,6 | - | 100,0 |
| 29 | LdZgieMielcz | Zgierz ul. Mielczarskiego 1 | PM2.5 | 1g | 18,8 | - | 94,3 |
| 30 | LdPioTrKraPr | Piotrków Tryb. ul. Krakowskie Przedmieście 13 | PM2.5 | 24g | 29,0 | - | 99,2 |

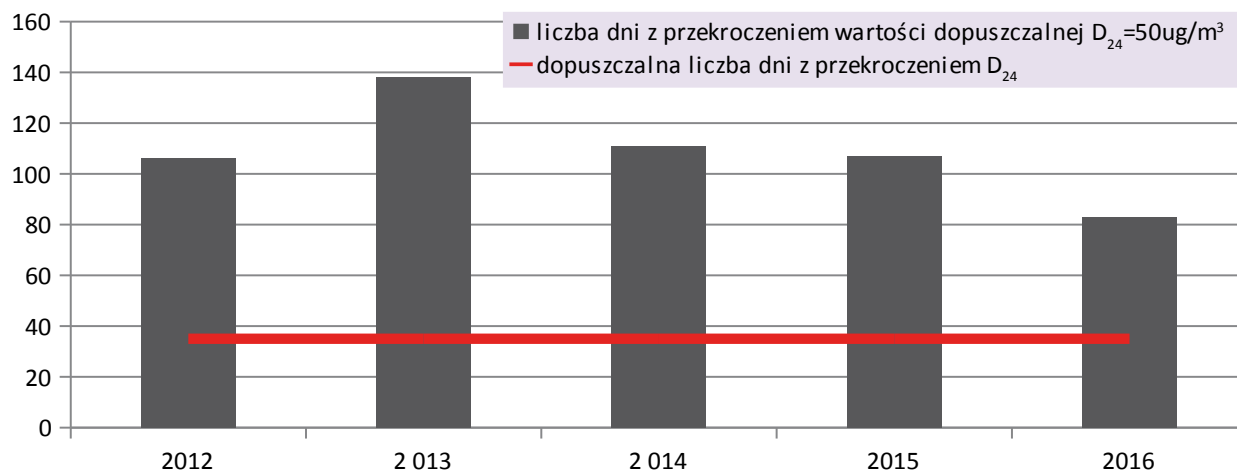
*Dopuszczalna wartość średnioroczna wynosi $D_a = 40 \mu\text{g}/\text{m}^3$ ** Dopuszczalna liczba dni z przekroczeniem $D_{24} = 50 \mu\text{g}/\text{m}^3$ wynosi 35 dni

Stężenie pyłu zawieszonego PM10 ulega cyklicznym wahaniom. Zmienność koncentracji pyłu zawieszonego w powietrzu w obrębie obszarów zurbanizowanych charakteryzuje się widocznym cyklem rocznym, tygodniowym oraz dobowym. Jest to związane z cyklicznością emisji pyłu oraz częściowo ze zmiennością warunków jego rozprzestrzeniania w różnych porach roku i doby. Na występowanie cyklu tygodniowego ma wpływ zróżnicowanie aktywności przemysłowej i transportowej w dni robocze i weekendy. Istotny wpływ na dobowy przebieg zapylenia powietrza ma dobowy cykl emisji w mieście oraz występowanie szczytów komunikacyjnych na głównych arteriach komunikacyjnych miast (wzniesienie pyłu w kanionach ulicznych).

Dobowe wahania koncentracji pyłu zawieszonego są największe w okresie zimowym, przy wzmożonej emisji niskiej. Wartości 1-godzinne stężenia PM10 mogą sięgać chwilowo nawet kilkuset $\mu\text{g}/\text{m}^3$. Udział drobnej frakcji pyłu w ogólnej masie pyłu PM10 także ulega zmianom w ciągu doby.



Rys. 3.2 Liczba dni z przekroczeniem wartości dopuszczalnej średniodobowej D₂₄ pyłu PM₁₀ w 2016 r.



Rys. 3.3 Liczba dni z przekroczeniem wartości dopuszczalnej średniodobowej D₂₄ pyłu PM₁₀ na stacji pomiarowej w Łodzi przy ul. Legionów 1 w latach 2012–2016

OCENA IMISJI PYŁU ZAWIESZONEGO PM_{2,5}

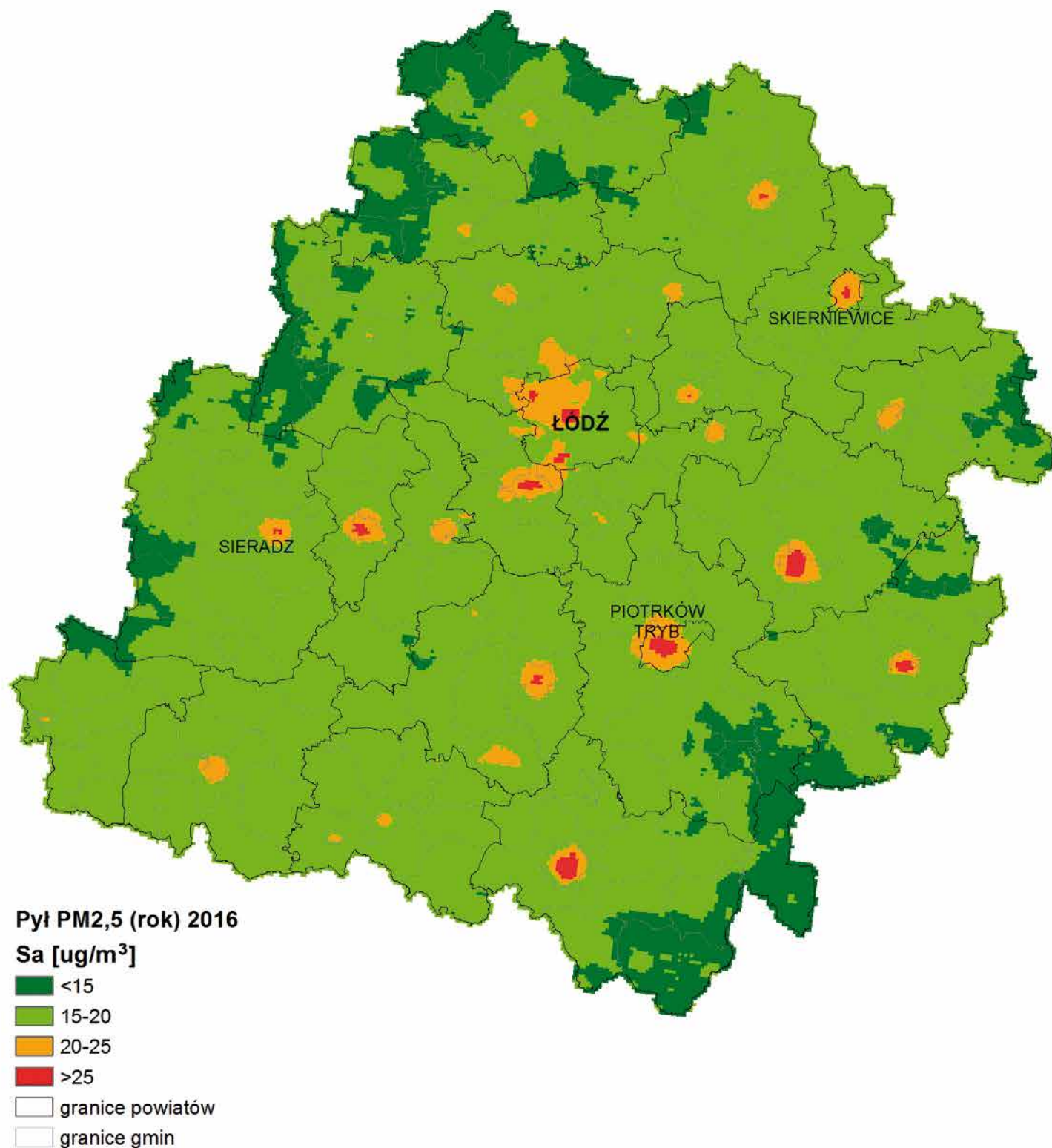
Wśród zanieczyszczeń pyłowych największe zagrożenie dla zdrowia ludności stanowią drobne frakcje pyłu zawieszonego. Wskaźnikiem udziału pyłu drobnego w powietrzu, jest PM_{2,5}. Dyrektywa CAFE (*Clean Air for Europe*) określa średni roczny poziom dopuszczalny pyłu PM_{2,5}, wynoszący 25 µg/m³.

Udział frakcji do 2,5 µm w ogólnej masie pyłu do 10 µm nie ulega większym zmianom z roku na rok i wynosi 60-80%. Różnice udziału pyłu drobnego w ogólnej masie pyłu PM₁₀ w poszczególnych miastach wynikają przede wszystkim z różnej struktury emisji poszczególnych frakcji w ogólnej masie pyłu na danym obszarze.

Szacuje się, że pojazdy napędzane silnikami Diesla są istotnym źródłem emisji groźnych dla zdrowia, drobnych frakcji pyłu zawieszonego PM_{2,5}. Szczególnie uciążliwe są pojazdy oznaczane skrótem BDV (*Big Diesel Vehicles*). Emitują one duże ilości spalin, z których, w ramach przemian w powietrzu, powstają ziarna pyłu zawieszonego o dużej toksyczności. Może to stanowić coraz poważniejszy problem ze względu na stale rosnącą liczbę tych pojazdów.

Należy się więc spodziewać, że ograniczenia w zakresie komunikacji będą istotnym elementem programów ochrony powietrza, wdrażanych w przyszłości ze względu na przekroczenia poziomu dopuszczalnego pyłu drobnego w powietrzu. Prekursorami pyłu PM_{2,5} w powietrzu są substancje, emitowane do atmosfery z wielu różnych źródeł: dwutlenek siarki, dwutlenek azotu, amoniak, niemetanowe lotne związki organiczne.

Średnie roczne wartości stężenia pyłu PM_{2,5}, mierzone na stanowiskach pomiarowych w województwie, były nieznacznie niższe niż w roku poprzednim. Przekroczenie poziomu dopuszczalnego pyłu PM_{2,5} zanotowano na stanowiskach pomiarowych w Łodzi i Piotrkowie Trybunalskim. Wartość średniego rocznego stężenia pyłu PM_{2,5} w Łodzi wyniosła 26,6 µg/m³ (tj. 106,4% D_a). Obszar przekroczenia obejmował dzielnicę Łódź-Śródmieście oraz niewielkie obszary w dzielnicy Łódź-Górna (Ruda Pabianicka) i Łódź Bałuty (Teofilów). W Piotrkowie Trybunalskim wartość średniego rocznego stężenia pyłu PM_{2,5} wyniosła 29,0 µg/m³ (tj. 116% D_a). Obszar przekroczenia rocznej wartości poziomu dopuszczalnego obejmował centrum miasta.



Mapa 3.16 Rozmieszczenie średniorocznych wartości stężenia pyłu zawieszonego PM_{2,5} w województwie łódzkim w 2016 r.

Na podstawie obliczeń z wykorzystaniem matematycznego modelowania jakości powietrza określono, że przekroczenia standardu jakości powietrza dla pyłu PM_{2,5} w miastach aglomeracji łódzkiej wystąpiły na obszarze o powierzchni 16,8 km². W całym województwie łódzkim obszary przekroczeń obejmowały powierzchnię 68,8 km². Mimo niewielkiego zasięgu, w 2016 r. w obszarach przekroczeń poziomu dopuszczalnego pyłu PM_{2,5} zamieszkiwało w województwie łącznie aż 302 tys. mieszkańców.

OCENA IMISJI METALI CIĘŻKICH I WWA W PYLE ZAWIESZONYM PM10

Zawartość metali ciężkich i benzo(a)pirenu w pyle zawieszonym PM10 w 2016 r. była mierzona na 6 stanowiskach pomiarowych (arsen, kadm, nikiel, ołów) oraz na 15 stanowiskach pomiarowych (benzo(a)piren jako wskaźnik WWA). Do pomiarów wykorzystywane były poborniki pyłu typu LVS (z których filtry zbierano do analiz w ramach prób składanych).

Dodatkowo na 1 stanowisku pomiarów tła miejskiego prowadzone były pomiary zawartości dodatkowych 6 wielopierścieniowych węglowodorów aromatycznych w pyle PM10 (benzo(a)antracen, benzo(b)fluoranten, benzo(j)fluoranten, benzo(k)fluoranten, dibenzo(a,h)antracen, indeno (1,2,3-cd)piren).

Na podstawie wyników pomiarów należy stwierdzić, iż poziom stężenia wszystkich mierzonych metali w pyle PM10, podobnie jak w latach ubiegłych, nie przekraczał dopuszczalnego poziomu ołowiu oraz poziomów docelowych niklu, kadmu oraz arsenu. Imisja metali ciężkich w województwie łódzkim nie stanowi większego zagrożenia ze względu na brak w regionie silnie rozwiniętego przemysłu metalurgicznego. Wskazują na to również wyniki obliczeń z wykorzystaniem modelu matematycznego Calmet/Calpuff z lat ubiegłych.

Należy zauważyć, że najwyższe średnie roczne stężenie metali w pyle PM10 występuje na obszarach gęstej zabudowy śródmiejskiej.

Tabela 3.20 Statystyki serii wyników pomiarów stężenia metali w pyle PM10 w 2016 r.

| Lp. | Kod stacji | Adres | Wskaźnik | Czas uśredniania | Średnia roczna [ng/m ³ ; Pb ug/m ³] | Poziom docelowy [ng/m ³] | Poziom dopuszczalny [ug/m ³] | Kompletność w %/rok |
|-----|--------------|---|----------|------------------|--|--------------------------------------|--|---------------------|
| 1 | LdLodzLegion | Łódź ul. Legionów 1 | As(PM10) | 24g | 1,5 | 6 | - | 99,5 |
| 2 | LdLodzRudzka | Łódź ul. Rudzka 60 | As(PM10) | 24g | 1,6 | 6 | - | 99,7 |
| 3 | LdPabiKilins | Pabianice ul. Kilińskiego 4 | As(PM10) | 24g | 1,6 | 6 | - | 97,5 |
| 4 | LdPioTrKraPr | Piotrków Tryb. ul. Krakowskie Przedmieście 13 | As(PM10) | 24g | 1,6 | 6 | - | 100,0 |
| 5 | LdSieraPolna | Sieradz ul. Polna 18/20 | As(PM10) | 24g | 2,1 | 6 | - | 99,2 |
| 6 | LdSkierKonop | Skierniewice ul. Konopnickiej 5 | As(PM10) | 24g | 1,2 | 6 | - | 100,0 |
| 7 | LdLodzLegion | Łódź ul. Legionów 1 | Cd(PM10) | 24g | 0,7 | 5 | - | 99,5 |
| 8 | LdLodzRudzka | Łódź ul. Rudzka 60 | Cd(PM10) | 24g | 0,5 | 5 | - | 92,1 |
| 9 | LdPabiKilins | Pabianice ul. Kilińskiego 4 | Cd(PM10) | 24g | 0,5 | 5 | - | 97,5 |
| 10 | LdPioTrKraPr | Piotrków Tryb. ul. Krakowskie Przedmieście 13 | Cd(PM10) | 24g | 0,6 | 5 | - | 100,0 |
| 11 | LdSieraPolna | Sieradz ul. Polna 18/20 | Cd(PM10) | 24g | 0,4 | 5 | - | 99,2 |
| 12 | LdSkierKonop | Skierniewice ul. Konopnickiej 5 | Cd(PM10) | 24g | 0,4 | 5 | - | 100,0 |
| 13 | LdLodzLegion | Łódź ul. Legionów 1 | Ni(PM10) | 24g | 2,3 | 20 | - | 99,5 |
| 14 | LdLodzRudzka | Łódź ul. Rudzka 60 | Ni(PM10) | 24g | 2,2 | 20 | - | 99,7 |
| 15 | LdPabiKilins | Pabianice ul. Kilińskiego 4 | Ni(PM10) | 24g | 1,8 | 20 | - | 97,5 |
| 16 | LdPioTrKraPr | Piotrków Tryb. ul. Krakowskie Przedmieście 13 | Ni(PM10) | 24g | 2,2 | 20 | - | 100,0 |
| 17 | LdSieraPolna | Sieradz ul. Polna 18/20 | Ni(PM10) | 24g | 2,0 | 20 | - | 99,2 |
| 18 | LdSkierKonop | Skierniewice ul. Konopnickiej 5 | Ni(PM10) | 24g | 1,9 | 20 | - | 99,2 |
| 19 | LdLodzLegion | Łódź ul. Legionów 1 | Pb(PM10) | 24g | 0,017 | - | 0,5 | 99,5 |
| 20 | LdLodzRudzka | Łódź ul. Rudzka 60 | Pb(PM10) | 24g | 0,017 | - | 0,5 | 99,7 |
| 21 | LdPabiKilins | Pabianice ul. Kilińskiego 4 | Pb(PM10) | 24g | 0,017 | - | 0,5 | 97,5 |
| 22 | LdPioTrKraPr | Piotrków Tryb. ul. Krakowskie Przedmieście 13 | Pb(PM10) | 24g | 0,018 | - | 0,5 | 100,0 |
| 23 | LdSieraPolna | Sieradz ul. Polna 18/20 | Pb(PM10) | 24g | 0,015 | - | 0,5 | 99,2 |
| 24 | LdSkierKonop | Skierniewice ul. Konopnickiej 5 | Pb(PM10) | 24g | 0,014 | - | 0,5 | 100,0 |

W przeciwieństwie do stężenia metali, w przypadku benzo(a)pirenu corocznie stwierdza się znaczne przekroczenia poziomu docelowego na wszystkich stanowiskach pomiarowych w województwie. Ponadto obliczenia z wykorzystaniem matematycznego modelowania jakości powietrza wskazują na licznie występujące, duże obszary przekroczeń B(a)P, obejmujące zasięgiem ponad połowę powierzchni województwa łódzkiego. Jest to znacznie więcej niż w roku poprzednim. Różnica wynika ze zmiany metodyki szacowania emisji powierzchniowej na potrzeby matematycznego modelowania jakości powietrza w skali całego kraju. Należy nadmienić, że w latach poprzednich, w zależności od warunków meteorologicznych oraz metod szacowania wielkości napływu zanieczyszczeń z sąsiednich obszarów, powierzchnia obszaru przekroczenia poziomu docelowego B(a)P stanowiła około 1/3 powierzchni województwa.

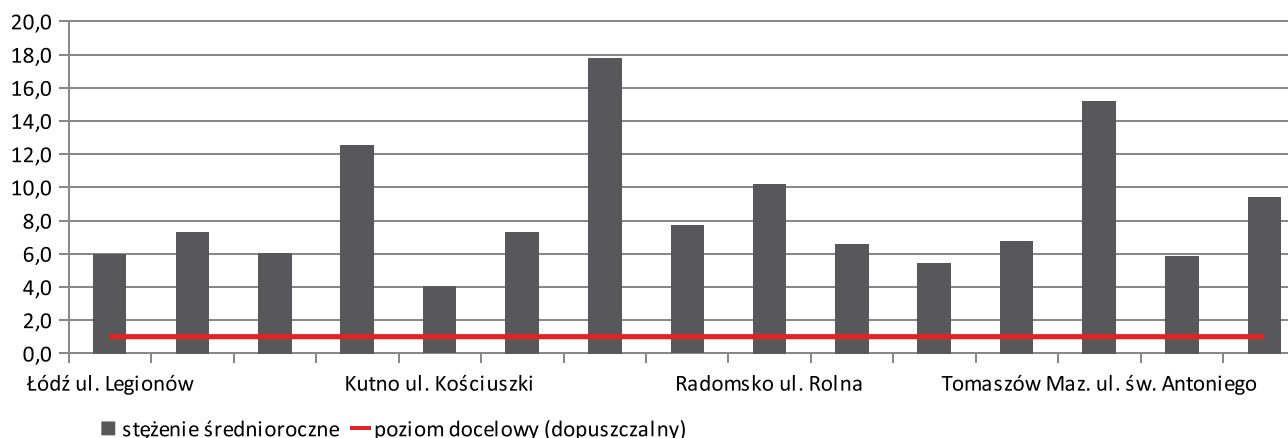
Na wszystkich stanowiskach pomiarowych w województwie średnie roczne stężenie benzo(a)pirenu w 2016 r. wzrosły w porównaniu z rokiem poprzednim.

W pozostałych miastach, zwłaszcza większych miastach powiatowych, gdzie nie są prowadzone pomiary składu pyłu PM₁₀, określono przekroczenie poziomu docelowego B(a)P w powietrzu na podstawie obliczeń przy użyciu matematycznego modelu Calmet/Calpuff. Uzyskany w ten sposób rozkład przestrzenny poziomów emisji B(a)P w pyłe PM₁₀ w 2016 r. na terenie województwa przedstawia mapa 3.17.

W wyniku analizy przestrzennej oszacowano, że obszar objęty przekroczeniami poziomu docelowego B(a)P w 2016 r. w województwie zajmował powierzchnię aż 10052,7 km² i był zamieszkały przez ponad 2,1 mln mieszkańców. Należy zauważyć, że przekroczenia poziomu docelowego B(a)P występowały na całym obszarze aglomeracji łódzkiej i oddziaływały na zdrowie wszystkich jej mieszkańców.

Tabela 3.21 Statystyki serii wyników pomiarów stężenia WWA w pyłe PM₁₀ w 2016 r.

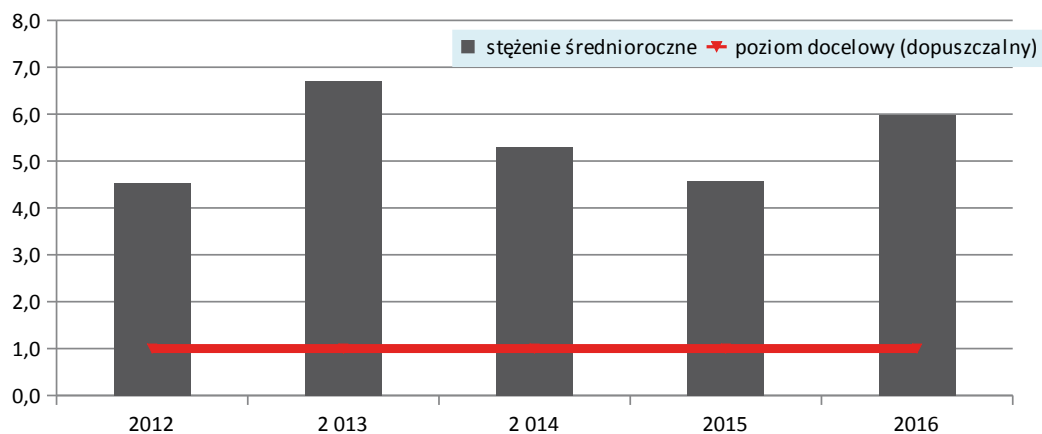
| Lp. | Kod stacji | Adres | Wskaźnik | Czas uśredniania | Średnia roczna | Poziom docelowy [ng/m ³] | Kompletność w %/rok |
|-----|--------------|--|-------------------------|------------------|----------------|--------------------------------------|---------------------|
| 1 | LdLodzLegion | Łódź ul. Legionów 1 | BaA(PM ₁₀) | 24g | 2,9 | - | 99,5 |
| 2 | LdLodzLegion | Łódź ul. Legionów 1 | BaP(PM ₁₀) | 24g | 6,0 | 1 | 99,5 |
| 3 | LdLodzRudzka | Łódź ul. Rudzka 60 | BaP(PM ₁₀) | 24g | 7,3 | 1 | 99,7 |
| 4 | LdPabKilins | Pabianice ul. Kilińskiego 4 | BaP(PM ₁₀) | 24g | 6,1 | 1 | 97,5 |
| 5 | LdBrzeReform | Brzeziny ul. Reformacka 1 | BaP(PM ₁₀) | 24g | 12,5 | 1 | 99,5 |
| 6 | LdKutnKosciu | Kutno ul. Kościuszki 26 | BaP(PM ₁₀) | 24g | 4,0 | 1 | 100, |
| 7 | LdLowiczSien | Łowicz ul. Sienkiewicza 62 | BaP(PM ₁₀) | 24g | 7,3 | 1 | 100, |
| 8 | LdOpocPlKosc | Opoczno pl. Kościuszki 15 | BaP(PM ₁₀) | 24g | 17,8 | 1 | 100, |
| 9 | LdPioTrKraPr | Piotrków Tryb. ul. Krakowskie Przedmieście 13 | BaP(PM ₁₀) | 24g | 7,7 | 1 | 100, |
| 10 | LdRadomsRoln | Radomsko ul. Rolna 2 | BaP(PM ₁₀) | 24g | 10,2 | 1 | 98,9 |
| 11 | LdRawaNiepod | Rawa Maz. ul. Niepodległości 8 | BaP(PM ₁₀) | 24g | 6,6 | 1 | 96,4 |
| 12 | LdSieraPolna | Sieradz ul. Polna 18/20 | BaP(PM ₁₀) | 24g | 5,4 | 1 | 99,2 |
| 13 | LdSkierKonop | Skierniewice ul. Konopnickiej 5 | BaP(PM ₁₀) | 24g | 6,8 | 1 | 100, |
| 14 | LdToMaSwAnto | Tomaszów Maz. ul. św. Antoniego 43 | BaP(PM ₁₀) | 24g | 15,2 | 1 | 100, |
| 15 | LdWieluPOW12 | Wieluń ul. POW 12 | BaP(PM ₁₀) | 24g | 5,9 | 1 | 99,7 |
| 16 | LdZduWoKrole | Zduńska Wola ul. Królewska 10 | BaP(PM ₁₀) | 24g | 9,4 | 1 | 100, |
| 17 | LdLodzLegion | Łódź ul. Legionów 1 | BbF(PM ₁₀) | 24g | 4,0 | - | 99,5 |
| 18 | LdLodzLegion | Łódź ul. Legionów 1 | BjF(PM ₁₀) | 24g | 2,8 | - | 99,5 |
| 19 | LdLodzLegion | Łódź ul. Legionów 1 | BkF(PM ₁₀) | 24g | 2,0 | - | 99,5 |
| 20 | LdLodzLegion | Łódź ul. Legionów 1 | DBaH(A)PM ₁₀ | 24g | 0,4 | - | 99,5 |
| 21 | LdLodzLegion | Łódź ul. Legionów 1 | IP(PM ₁₀) | 24g | 4,4 | - | 99,5 |



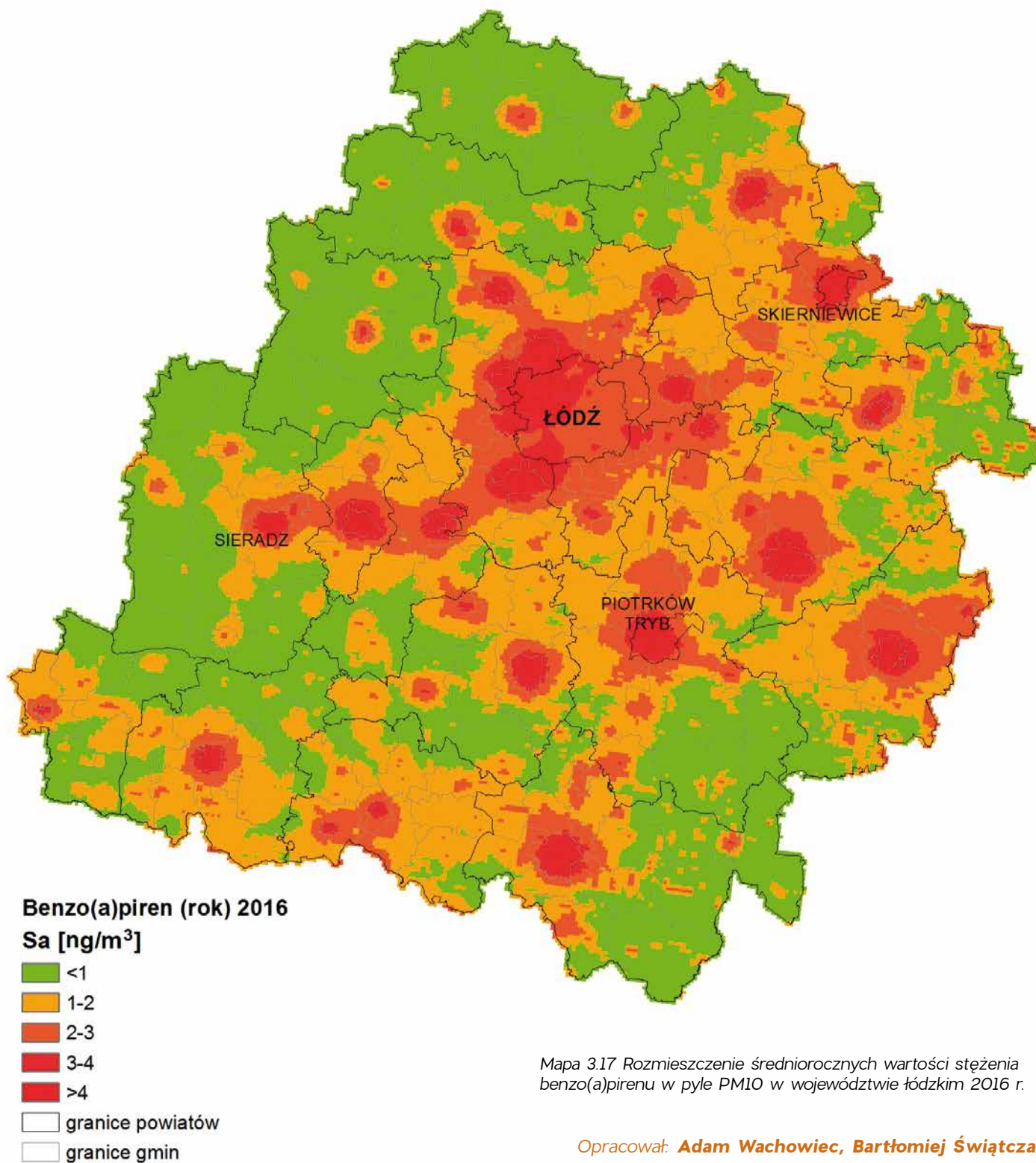
Rys 3.4 Stężenie średnioroczne benzo(a)pirenu w 2016 r.

Dzięki obliczeniom modelowym poziomu stężenia B(a)P, wykonanym oddzielnie dla poszczególnych grup emisorów, stwierdzono, że przyczyną występowania wysokich wartości stężenia tej substancji jest emisja niska. Stąd w obszarów przekroczeń przewaga obszarów nieucieplonej zabudowy śródmiejskiej i podmiejskiej. Proceder i galego spalania przez mieszkańców odpadów komunalnych w paleniskach domowych potęguje problem przekroczenia poziomu docelowego B(a)P w powietrzu. Ponadto wzmożoną emisję WWA, w tym B(a)P, powoduje spalanie drewna do celów grzewczych, co w gminach wiejskich o dużej lesistości stanowi dość częste zjawisko.

Oznacza to, że zagrożenie jakości powietrza, związane z nadmierną koncentracją wielopierścieniowych węglowod. aromatycznych, jest poważnym problemem wszystkich miast województwa oraz wielu miejscowości ościennych, znajdujących się pod wpływem napływu zanieczyszczonych mas powietrza z sąsiednich obszarów zurbanizowanych.



Rys. 3.5 Stężenie średnioroczne benzo(a)pirenu na stacji pomiarowej w Łodzi przy ul. Legionów 1 w latach 2012–2016



OCENA JAKOŚCI POWIETRZA

Podstawowym celem monitoringu jakości powietrza jest dostarczanie informacji na potrzeby oceny jakości powietrza na danym obszarze. Według zapisów ustawy Prawo ochrony środowiska z 27 kwietnia 2001 r. (tekst jednolity Dz.U. 2017 r., poz. 519 z późn. zm.) oceny jakości powietrza w województwie dokonuje Wojewódzki Inspektor Ochrony Środowiska. Przepisy ustalają dwa rodzaje ocen jakości powietrza: oceny pięcioletnie oraz oceny roczne.

Oceny jakości powietrza dokonuje się w odniesieniu do stref oceny. Są to obszary aglomeracji o liczbie mieszkańców powyżej 250 tys., miasta o liczbie ludności powyżej 100 tys., bądź obszary powiatów niewchodzące w skład aglomeracji. Roczna ocena jakości powietrza w województwie łódzkim za rok 2016 wykonana została w podziale obszaru województwa na 2 strefy: aglomeracja łódzka oraz strefa łódzka.

Podział obszaru województwa na strefy oceny jakości powietrza przedstawiają mapy 3.18 i 3.19. Podział ten jest różny w odniesieniu do ochrony zdrowia oraz ze względu na ochronę roślin. W ocenie powietrza według kryteriów dotyczących ochrony roślin nie bierze się pod uwagę poziomu emisji substancji w powietrzu z obszarów aglomeracji oraz miast. Jednakże przy wyznaczaniu stref oceny jakości powietrza ze względu na stężenie ozonu według kryteriów ochrony roślin podano strefę łódzką jako obszar całego województwa, razem z miastami, z wyłączeniem jedynie aglomeracji łódzkiej. Mimo to zgodnie z wytycznymi GIOŚ wyniki pomiarów stężenia ozonu z obszarów miast nie zostały uwzględnione, w ocenie tego wskaźnika, dla ochrony roślin.

W ocenach jakości powietrza klasyfikacji stref dokonuje się w kilku etapach, biorąc pod uwagę jakość powietrza na obszarach najwyższych stężeń w klasyfikowanej strefie. Pierwszym etapem jest cząstkowa ocena poziomu stężenia poszczególnych substancji w konkretnym czasie uśredniania ich stężenia. Drugim etapem jest określenie poszczególnych klas „wynikowych” poszczególnych substancji, równoznacznych z najgorszą klasą, uzyskaną we wszystkich normowanych okresach uśredniania danej substancji.

Pięcioletnie oceny jakości powietrza są dokonywane cyklicznie co pięć lat w celu określenia potrzeb w zakresie modernizacji i przebudowy wojewódzkiego systemu rocznych ocen jakości powietrza. Na podstawie ocen pięcioletnich określone są metody ocen rocznych dla każdej strefy w województwie na najbliższych 5 lat. Na podstawie wykonanej w 2014 r. pięcioletniej oceny jakości powietrza w województwie łódzkim za lata 2009-2013, poszczególnym strefom oceny zostały przyporządkowane metody kolejnych pięciu rocznych ocen jakości powietrza. Metody oceny w poszczególnych strefach są uzależnione od stopnia zagrożenia stanu jakości powietrza. Przepisy regulują określone metody oceny, odpowiadające poszczególnym przedziałom stężenia zanieczyszczeń powietrza w danej strefie.



Legenda

strefy oceny - ochrona zdrowia



Legenda

strefy oceny - ochrona roślin

Mapa 3.18 Strefy oceny jakości powietrza według kryteriów ochrony zdrowia

Mapa 3.19 Strefy oceny jakości powietrza dla SO₂, NO_x i O₃ według kryteriów ochrony roślin

Roczne oceny jakości powietrza dokonywane są co roku za rok poprzedni. Ich celem jest stwierdzenie przekroczeń dopuszczalnych i docelowych poziomów substancji w powietrzu oraz poziomów celu długoterminowego. Na podstawie wskazań z rocznych ocen jakości powietrza zarząd województwa ogłasza program ochrony powietrza dla stref oceny, zaklasyfikowanych do działań naprawczych. Działania te mają na celu osiągnięcie standardów jakości powietrza.

Kryteria rocznej oceny jakości powietrza

Podstawę klasyfikacji stref w oparciu o wyniki rocznej oceny jakości powietrza, zgodnie z art. 89 ustawy Prawo ochrony środowiska, stanowią:

» dopuszczalny poziom substancji w powietrzu, z ang. *limit value* (w niektórych przypadkach, RMŚ w sprawie poziomów niektórych substancji w powietrzu określa dozwoloną liczbę przekroczeń określonego poziomu), zdefiniowany jako poziom substancji ustalony na podstawie wiedzy naukowej w celu unikania, zapobiegania lub ograniczania szkodliwego oddziaływania na ludzkie zdrowie i/lub środowisko jako całość, który powinien być osiągnięty w podanym terminie oraz nieprzekraczalny w czasie późniejszym;

» dopuszczalny poziom substancji w powietrzu, powiększony o margines tolerancji (w rocznej ocenie jakości powietrza za rok 2016 nie obowiązywały już marginesy tolerancji dla żadnego ze wskaźników jakości powietrza);

» poziom docelowy (z ang. *target value*) dla niektórych substancji w powietrzu, zróżnicowany ze względu na ochronę zdrowia ludzi oraz ochronę roślin, zdefiniowany jako poziom substancji ustalony w celu unikania dalszego długoterminowego szkodliwego oddziaływania na zdrowie ludzkie i/lub środowisko jako całość, który ma być osiągnięty tam, gdzie to jest możliwe i technicznie oraz ekonomicznie uzasadnione w określonym czasie;

» poziom celu długookresowego (z ang. *long-term objective*), zdefiniowany jako poziom substancji w powietrzu, poniżej którego, zgodnie z obecnym stanem wiedzy naukowej, bezpośredni szkodliwy wpływ na zdrowie ludzi i/lub środowisko naturalne jako całość jest mało prawdopodobny; cel ten ma być osiągnięty w długim terminie, z wyjątkiem sytuacji, kiedy nie może być osiągnięty za pomocą proporcjonalnych działań, aby zapewnić skuteczną ochronę zdrowia ludzi i środowiska naturalnego. Pojęcie to odnosi się do ozonu, w podziale na ochronę zdrowia ludzi oraz ochronę roślin.

Możliwe klasy jakości powietrza to: A (najlepsza klasa, poziom stężenia poniżej dopuszczalnego < D), C (najgorsza klasa, poziom stężenia powyżej dopuszczalnego > D). Powyższym klasom przyporządkowano różne działania wymagane (tabela 3.22).

Tabela 3.22 Klasy stref i wymagane działania w zależności od stężenia zanieczyszczenia, uzyskanych w rocznej ocenie jakości powietrza, dla przypadków gdy dla zanieczyszczenia jest określony poziom dopuszczalny i nie jest określony margines tolerancji lub osiągnięta on wartość zerową¹⁾

| Klasa strefy | Poziom stężenie zanieczyszczenia | Wymagane działania |
|--------------|--|---|
| A | nieprzekraczający poziomu dopuszczalnego ²⁾ | utrzymanie stężeń zanieczyszczenia poniżej poziomu dopuszczalnego oraz dążenie do utrzymania najlepszej jakości powietrza zgodnej ze zrównoważonym rozwojem |
| C | powyżej poziomu dopuszczalnego ²⁾ | określenie obszarów przekroczeń poziomów dopuszczalnych opracowanie lub aktualizacja programu ochrony powietrza w celu osiągnięcia odpowiednich poziomów dopuszczalnych substancji w powietrzu kontrolowanie stężeń zanieczyszczenia na obszarach przekroczeń i prowadzenie działań mających na celu obniżenie stężeń przynajmniej do poziomów dopuszczalnych |

1) Dotyczy zanieczyszczeń: dwutlenku siarki SO₂, dwutlenku azotu NO₂, tlenku węgla CO, benzen C₆H₆, pyłu PM₁₀, pyłu PM_{2,5} oraz zawartości ołowiu Pb w pyłe PM₁₀ – ochrona zdrowia oraz: dwutlenku siarki SO₂, tlenków azotu NO_x – ochrona roślin

2) Z uwzględnieniem dozwolonych częstości przekroczeń określonych w rozporządzeniu MŚ w sprawie poziomów niektórych substancji w powietrzu

Tabela 3.23 Klasy stref i oczekiwane działania w zależności od poziomów stężeń zanieczyszczenia, uzyskanych w rocznej ocenie jakości powietrza, dla przypadków gdy dla zanieczyszczenia jest określony poziom docelowy¹⁾

| Klasa strefy | Poziom stężenie zanieczyszczenia | Oczekiwane działania |
|--------------|--|---|
| A | nieprzekraczający poziomu docelowego ²⁾ | Brak |
| C | powyżej poziomu docelowego ²⁾ | dążenie do osiągnięcia poziomu docelowego substancji w określonym czasie za pomocą ekonomicznie uzasadnionych działań technicznych i technologicznych opracowanie lub aktualizacja programu ochrony powietrza, w celu osiągnięcia odpowiednich poziomów docelowych w powietrzu |

1) Dotyczy: ozonu O₃ (ochrona zdrowia ludzi, ochrona roślin) oraz arsenu As, kadmu Cd, niklu Ni, benzo(a)pirenu B(a)P w pyłe PM₁₀ – ochrona zdrowia ludzi

2) Z uwzględnieniem dozwolonych częstości przekroczeń określonych w rozporządzeniu MŚ w sprawie poziomów niektórych substancji w powietrzu

Tabela 3.24 Klasy stref i wymagane działania, w zależności od poziomów stężeń ozonu z uwzględnieniem poziomu celu długoterminowego

| Klasa strefy | Poziom stężenie ozonu | Wymagane działania |
|--------------|---|---|
| D1 | nieprzekraczający poziomu celu długoterminowego | brak |
| D2 | powyżej poziomu celu długoterminowego | dążenie do osiągnięcia poziomu celu długoterminowego do roku 2020 |

Wyniki rocznej oceny jakości powietrza

W rocznej ocenie jakości powietrza w 2016 r. wykorzystano wyniki następujących pomiarów zanieczyszczenia powietrza:

- » pomiary ciągłe – na 60 stanowiskach pomiarowych automatycznych,
- » pomiary dobowe – na 57 stanowiskach pomiarowych manualnych.

W rocznej ocenie jakości powietrza wykorzystano także wyniki matematycznego modelowania jakości powietrza dla pyłu PM₁₀, pyłu PM_{2,5}, benzo(a)pirenu w pyłe PM₁₀. W poprzednich latach obliczenia przy użyciu modeli matematycznych wykonywane były w kilku zaledwie województwach w kraju, w tym w województwie łódzkim.

Na potrzeby rocznej oceny jakości powietrza matematyczne modelowanie jakości powietrza po raz drugi wykonane zostało na zlecenie GIOŚ na obszarze całego kraju jako wsparcie rocznej oceny jakości powietrza, sporządzonej przez wojewódzkie inspektoraty ochrony środowiska. W związku ze zmianą skali przestrzennej modelowania, zmieniły się metody szacowania emisji substancji do powietrza oraz sieć receptorów, dla których wykonywano obliczenia.

Na podstawie wieloetapowej klasyfikacji jakości powietrza w strefach została określona konieczność realizacji programu ochrony powietrza ze względu na ochronę zdrowia w zakresie 3 parametrów:

- » pył zawieszony PM₁₀ (rok),
- » pył zawieszony PM₁₀ (24-godziny),
- » benzo(a)piren w pyłe PM₁₀ (rok),
- » pył zawieszony PM_{2,5} (rok).

Ze względu na przekroczenie rocznej wartości poziomu dopuszczalnego stężenia pyłu zawieszonego PM₁₀ wyznaczono do działań naprawczych obszary przekroczeń w 4 miastach na terenie strefy łódzkiej - Opoczno, Radomsko, Tomaszów Maz. i Zduńska Wola.

Ze względu na przekroczenie 24-godzinnej wartości poziomu dopuszczalnego stężenia pyłu zawieszonego PM₁₀ konieczne są działania naprawcze na obszarach przekroczeń 54 miast i gmin w obu strefach oceny w województwie.

Ze względu na przekroczenie poziomu docelowego benzo(a)pirenu w pyłe PM₁₀ konieczne są działania naprawcze na bardzo dużym obszarze, w granicach którego leżą wszystkie miasta w województwie oraz znaczne obszary wiejskie. Najbardziej zwarte obszary przekroczenia obejmują duże połacie terenu w centralnej, wschodniej i południowej części województwa. W pozostałych częściach obszary przekroczeń poziomu docelowego B(a)P w pyłe PM₁₀ mają charakter wyspowy.

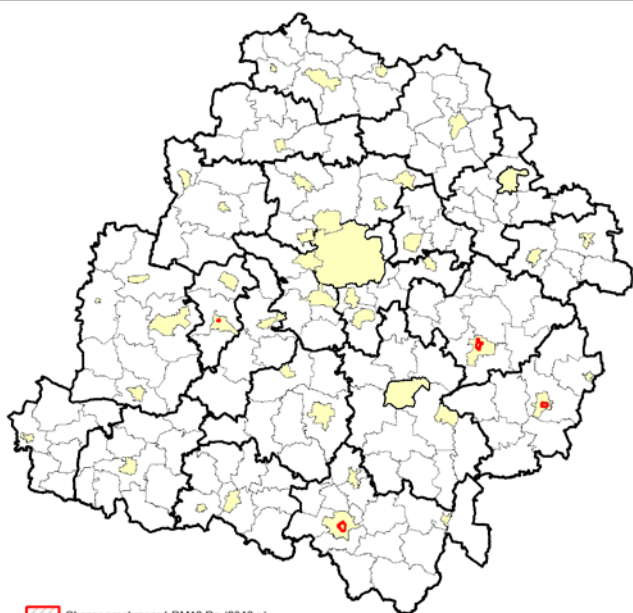
Łącznie spośród 177 gmin w województwie łódzkim jedynie w 8 ościennych gminach nie występują obszary przekroczenia poziomu dopuszczalnego B(a)P w pyłe PM₁₀. Są to gminy: Dąbrowice, Nowe Ostrowy, Łanięta, Oporów, Witonia, Pęczniew, Goszczanów, Klonowa.

Ze względu na przekroczenie rocznej wartości poziomu dopuszczalnego stężenia pyłu zawieszonego PM_{2,5} wyznaczono do działań naprawczych obszary przekroczeń w 12 miastach w województwie (Łódź, Pabianice, Bełchatów, Brzeziny, Łowicz, Piotrków Trybunalski, Opoczno, Radomsko, Sieradz, Tomaszów Mazowiecki, Zduńska Wola, Skierniewice).

Podobnie jak w roku poprzednim, stwierdzono przekroczenie poziomu celu długoterminowego stężenia ozonu, w wyniku czego nadano obu strefom oceny klasę D2. Przekroczenia występowały na obszarze całego województwa.

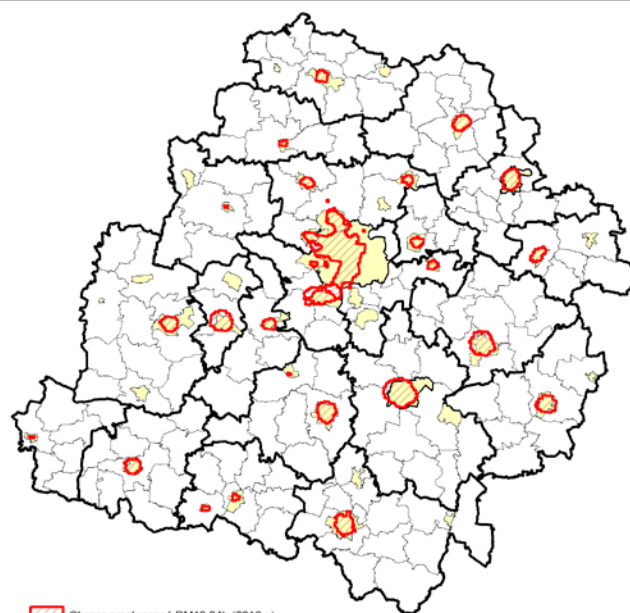
Tabela 3.25 Symbole klas wynikowych poszczególnych zanieczyszczeń w strefach oceny jakości powietrza według kryteriów oceny dla ochrony zdrowia oraz ochrony roślin

| Lp. | Wskaźnik | Ocena wg kryteriów ochrony zdrowia | | Ocena wg kryteriów ochrony roślin |
|-----|-------------------------------|------------------------------------|----------------------|-----------------------------------|
| | | aglomeracja Łódzka PL1001 | strefa łódzka PL1002 | strefa łódzka PL1002 |
| 1 | SO ₂ | A | A | A |
| 2 | NO ₂ | A | A | - |
| 3 | NO _x | - | | A |
| 4 | CO | A | A | - |
| 5 | C ₆ H ₆ | A | A | - |
| 6 | PM ₁₀ | C | C | - |
| 7 | Pb | A | A | - |
| 8 | As | A | A | - |
| 9 | Ni | A | A | - |
| 10 | Cd | A | A | - |
| 11 | B(a)P | C | C | - |
| 12 | PM _{2,5} | C | C | - |
| 13 | O ₃ | A/D2 | A/D2 | A/D2 |



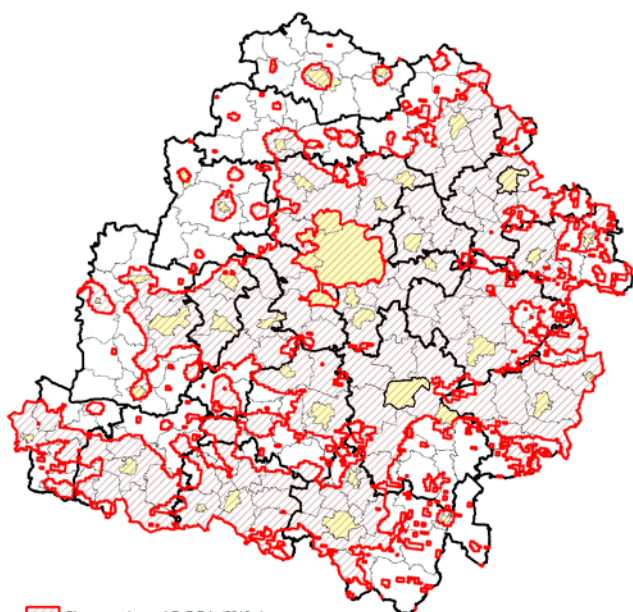
Obszar przekroczeń PM10 Da (2016 r.)
 miasta
 granice powiatów
 granice gmin

Mapa 3.20 Obszary przekroczeń średniej rocznej wartości poziomu dopuszczalnego pyłu PM₁₀ w 2016 r.



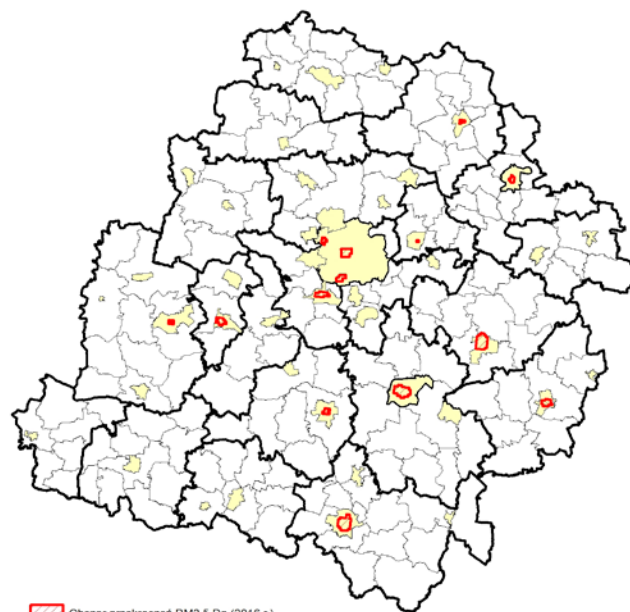
Obszar przekroczeń PM10 24h (2016 r.)
 miasta
 granice powiatów
 granice gmin

Mapa 3.21 Obszary przekroczeń średniej 24-godzinnej wartości poziomu dopuszczalnego pyłu PM₁₀ w 2016 r.



Obszar przekroczeń BaP Ddc (2016 r.)
 miasta
 granice powiatów
 granice gmin

Mapa 3.22 Obszary przekroczeń średniej rocznej wartości poziomu docelowego benzo(a)pirenu w pyłe PM₁₀ w 2016 r.



Obszar przekroczeń PM_{2,5} Da (2016 r.)
 miasta
 granice powiatów
 granice gmin

Mapa 3.23 Obszary przekroczeń średniej rocznej wartości poziomu dopuszczalnego pyłu PM_{2,5} w 2016 r.

CHEMIZM OPADÓW ATMOSFERYCZNYCH I DEPOZYCJA ZANIECZYSZCZEŃ DO PODŁOŻA

Badania chemizmu opadów atmosferycznych wraz z oceną depozycji zanieczyszczeń do podłoża stanowią jedno z zadań podsystemu monitoringu jakości powietrza Państwowego Monitoringu Środowiska. Badania realizowane są od roku 1999, a ich celem jest dostarczenie informacji o wielkości i rozkładzie w skali kraju ładunku substancji zakwaszających, biogenów oraz metali ciężkich deponowanych do podłoża wraz z opadem atmosferycznym. Uzyskane dane, informując pośrednio o stopniu zanieczyszczenia powietrza, pozwalają m.in. ocenić skuteczność programów redukcji emisji zanieczyszczeń.

Nadzór nad monitoringiem sprawuje GIOŚ we współpracy z IMGW – PIB Oddział Wrocław.

W 2016 r. sieć pomiarowa składała się z 22 stacji chemizmu opadów atmosferycznych, gwarantujących reprezentatywność pomiarów dla oceny obszarowego rozkładu zanieczyszczeń (stacje synoptyczne IMGW – PIB) oraz ze 162 posterunków opadowych, charakteryzujących pole średnich sum opadów w całym kraju.

Próby opadu mokrego pobierane były za pomocą automatycznych kolektorów na stacjach IMGW; tam na bieżąco oznaczano ilość opadu i jego pH (w próbce dobowej). Równoległe z poborem próbek prowadzono pomiary i obserwacje wysokości i rodzaju opadu, kierunku i prędkości wiatru oraz temperatury powietrza. Analizy fizykochemiczne miesięcznych prób opadów wykonywały akredytowane laboratoria WIOŚ. Zakres badań, określony przez GIOŚ, obejmował:

- » oznaczenie odczynu (wartość pH) i przewodności elektrolitycznej;
- » oznaczenie stężeń anionów: SO_4^{2-} , NO_3^- , NO_2^- , Cl^- ;
- » oznaczenie stężeń kationów: NH_4^+ , Na^+ , K^+ , Ca^{2+} , Mg^{2+} ;
- » oznaczenie stężeń metali ciężkich: Zn, Cu, Cd, Ni, Pb i Cr;
- » oznaczenie stężeń azotu ogólnego i fosforu ogólnego.

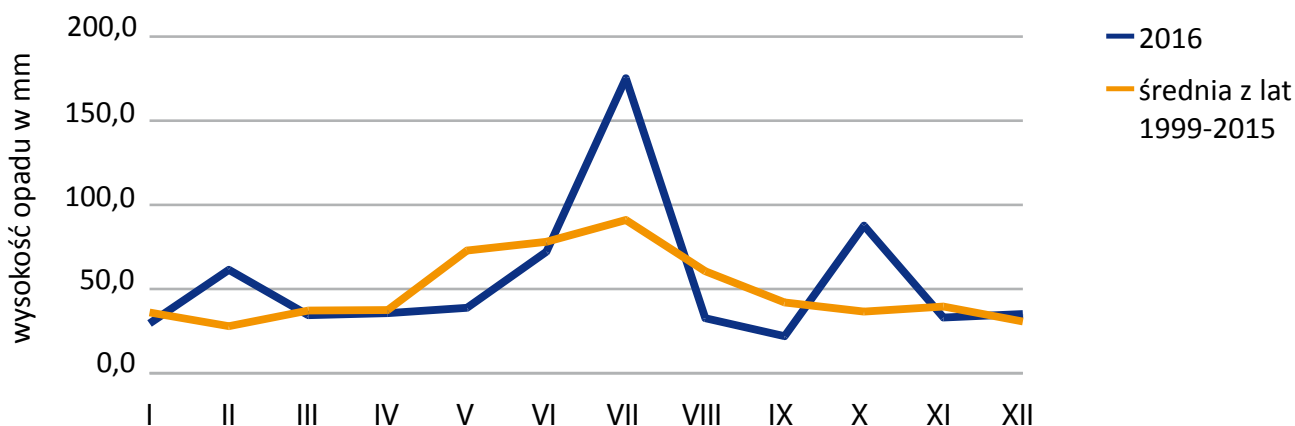
Wyniki pomiarów ze stacji synoptycznych oraz wyniki badań laboratoryjnych przekazywane są do IMGW – PIB o. Wrocław, gdzie po analizie i weryfikacji merytorycznej dokonywane jest szacowanie wielkości depozycji na obszar całej Polski i poszczególnych jednostek administracyjnych.

Wyniki obliczeń prezentowane są w postaci map i sprawozdań, przekazywanych wojewódzkim inspektoratom ochrony środowiska.

W województwie łódzkim stacja chemizmu opadów atmosferycznych zlokalizowana jest w Sulejowie (powiat piotrkowski).

Dane ze stacji IMGW – PIB Sulejów

W roku 2016 na stacji IMGW w Sulejowie roczny opad atmosferyczny wynosił 657,2 mm⁽¹⁾ i był o 214 mm wyższy niż w roku 2015 oraz o 67 mm wyższy od średniej z lat 1999–2015. Najwyższą miesięczną sumę opadów zanotowano w lipcu; wynosiła ona 175,2 mm, co stanowiło niemal 27% opadu rocznego. Najmniej opadów występowało we wrześniu – 21,9 mm. Rozkład ubiegłorocznych opadów na stacji IMGW – PIB Sulejów na tle średniej z poprzednich lat badań przedstawiony został na rysunku 3.6.



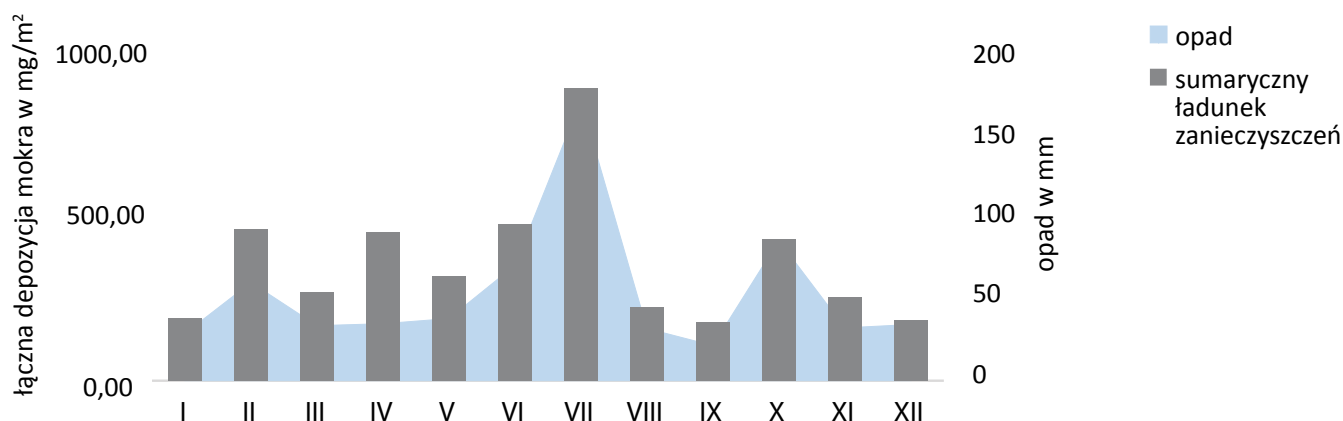
Rys. 3.6 Miesięczny rozkład opadów atmosferycznych w roku 2016 na tle średniej z lat 1999–2015 na stacji IMGW – PIB w Sulejowie

W roku 2016 na stacji Sulejów pobrano 100 dobowych próbek opadów, w których oznaczono pH. Wartości pH mieściły się w zakresie 4,26 – 7,0, co odpowiadało odczynowi od bardzo kwaśnego do obojętnego. Średnia roczna wartość ważona pH wynosiła 5,0. Ponad połowa próbek (55%) posiadała odczyn kwaśny ($\text{pH} < 5,6$), w tym pięć próbek, pochodzących ze stycznia i lutego, miało odczyn bardzo kwaśny ($\text{pH} < 4,5$). Odczyn naturalny dla opadów atmosferycznych (lekko kwaśny, $\text{pH} 5,6 - 6,0$) stwierdzono w 20% prób. Pozostałe opady charakteryzowały się odczynem obojętnym.

W przypadku uśrednionych miesięcznych próbek opadów wartości $\text{pH} < 5,6$ występowały w 50% wszystkich pomiarów i było to o 8% więcej niż w roku 2015⁽¹⁾.

Stężenia oznaczanych zanieczyszczeń w miesięcznych próbach opadów różniły się w skali poszczególnych miesięcy i sezonów, co związane jest ze zróżnicowanym poziomem emisji zanieczyszczeń do atmosfery, z procesami chemicznymi zachodzącymi w atmosferze, a także ze zmiennością warunków meteorologicznych, m.in. z kierunkiem napływu mas powietrza (transport zanieczyszczeń), ilością opadu, czasem jego trwania.

Wielkość ładunku docierającego z opadem do podłoża kształtowana jest zarówno przez poziom stężenia zanieczyszczenia, jak i ilość opadu. W Sulejowie najwyższy łączny ładunek zanieczyszczeń dotarł do podłoża z opadami lipcowymi (najwyższa depozycja większości oznaczanych zanieczyszczeń poza jonami wodorowymi, sodem, kadmem i cynkiem), co zobrazowano na rysunku 3.7.



Rys. 3.7 Miesięczna depozycja wybranych zanieczyszczeń do podłoża w roku 2016 na stacji IMGW – PIB Sulejów

Oszacowane wielkości ładunków zanieczyszczeń deponowanych na teren województwa łódzkiego⁽¹⁾

Wielkości ładunków jednostkowych i całkowitych obciążających całe województwo łódzkie oraz jego poszczególne powiaty oszacowane zostały przez wrocławski Oddział IMGW – PIB przy użyciu komputerowego systemu informacji przestrzennej (GIS).

Obliczona dla całego województwa łódzkiego w roku 2016 średnioroczna suma opadów (uwzględniająca dane ze stacji IMGW i wszystkich posterunków opadowych) była nieco niższa niż zmierzona w Sulejowie i wynosiła 643,0 mm.

Roczne ładunki jednostkowe wahały się od 0,8 g/ha w przypadku chromu do 13,6 kg/ha w przypadku siarczanów. Średni roczny ładunek jednostkowy badanych substancji zdeponowany w 2016 roku na obszar województwa łódzkiego wyniósł 41,6 kg/ha i był mniejszy niż średni dla całego obszaru Polski o 4,5%.

W porównaniu z rokiem 2015 nastąpił wzrost rocznego obciążenia o 22,5% przy wyższej średniorocznej sumie wysokości opadów o 219,6 mm (51,9%).

Udział badanych zanieczyszczeń w ładunku sumarycznym przedstawiony został w tabeli 3.26.

W tabeli 3.27 uszeregowano powiaty według malejącej sumarycznej depozycji jednostkowej. Wynika z niej, że w roku 2016 najwyższym łącznym ładunkiem obciążone było miast Skierniewice z najwyższymi, w porównaniu do pozostałych powiatów, ładunkami chlorków, wapnia, magnezu oraz chromu. Najmniej obciążony, według obliczeń, był powiat kutnowski.

Tabela 3.26 Roczne obciążenie powierzchniowe województwa łódzkiego zanieczyszczeniami wniesionymi przez opady atmosferyczne w roku 2016 (oszacowane przez IMGW – PIB Oddział we Wrocławiu)

| Lp. | Wskaźnik | Ładunek jednostkowy (kg/ha * rok) | Ładunek całkowity (tony) |
|-----|-------------------|-----------------------------------|--------------------------|
| 1. | Siarczany | 13,61 | 24796 |
| 2. | Azot ogólny | 10,77 | 19622 |
| 3. | Chlorki | 5,37 | 9784 |
| 4. | Wapń | 5,35 | 9747 |
| 5. | Azot amonowy | 4,49 | 8180 |
| 6. | Sód | 3,19 | 5812 |
| 7. | Azotyny + azotany | 3,01 | 5484 |
| 8. | Potas | 2,08 | 3790 |
| 9. | Magnez | 0,64 | 1166 |
| 10. | Cynk | 0,249 | 453,7 |
| 11. | Fosfor ogólny | 0,234 | 426,3 |
| 12. | Miedź | 0,0299 | 54,5 |
| 13. | Jon wodorowy | 0,0224 | 40,8 |
| 14. | Ołów | 0,0071 | 12,94 |
| 15. | Nikiel | 0,0030 | 5,47 |
| 16. | Kadm | 0,00094 | 1,713 |
| 17. | Chrom | 0,00080 | 1,458 |

Tabela 3.27 Sumaryczne obciążenie powierzchniowe powiatów województwa łódzkiego w roku 2016 (oszacowane przez IMGW – PIB Oddział we Wrocławiu)

| Lp. | Powiat | Roczny sumaryczny ładunek jednostkowy (kg/ha*rok) |
|-----|-----------------|---|
| 1. | Skierniewice | 45,91 |
| 2. | sieradzki | 44,44 |
| 3. | skierniewicki | 43,89 |
| 4. | pabianicki | 43,11 |
| 5. | zduńskowolski | 43,10 |
| 6. | Łódź | 42,86 |
| 7. | łódzki wschodni | 42,49 |
| 8. | radomszczański | 42,46 |
| 9. | brzeziński | 42,08 |
| 10. | łaski | 41,62 |
| 11. | rawski | 41,62 |
| 12. | pajęczański | 41,27 |
| 13. | zgierski | 41,01 |
| 14. | tomaszowski | 40,93 |
| 15. | wieluński | 40,88 |
| 16. | opoczyński | 40,53 |
| 17. | bełchatowski | 40,51 |
| 18. | poddębicki | 40,50 |
| 19. | łowicki | 40,34 |
| 20. | piotrkowski | 39,73 |
| 21. | wieruszowski | 39,24 |
| 22. | Piotrków Tryb. | 39,15 |
| 23. | łęczycki | 38,32 |
| 24. | kutnowski | 37,04 |

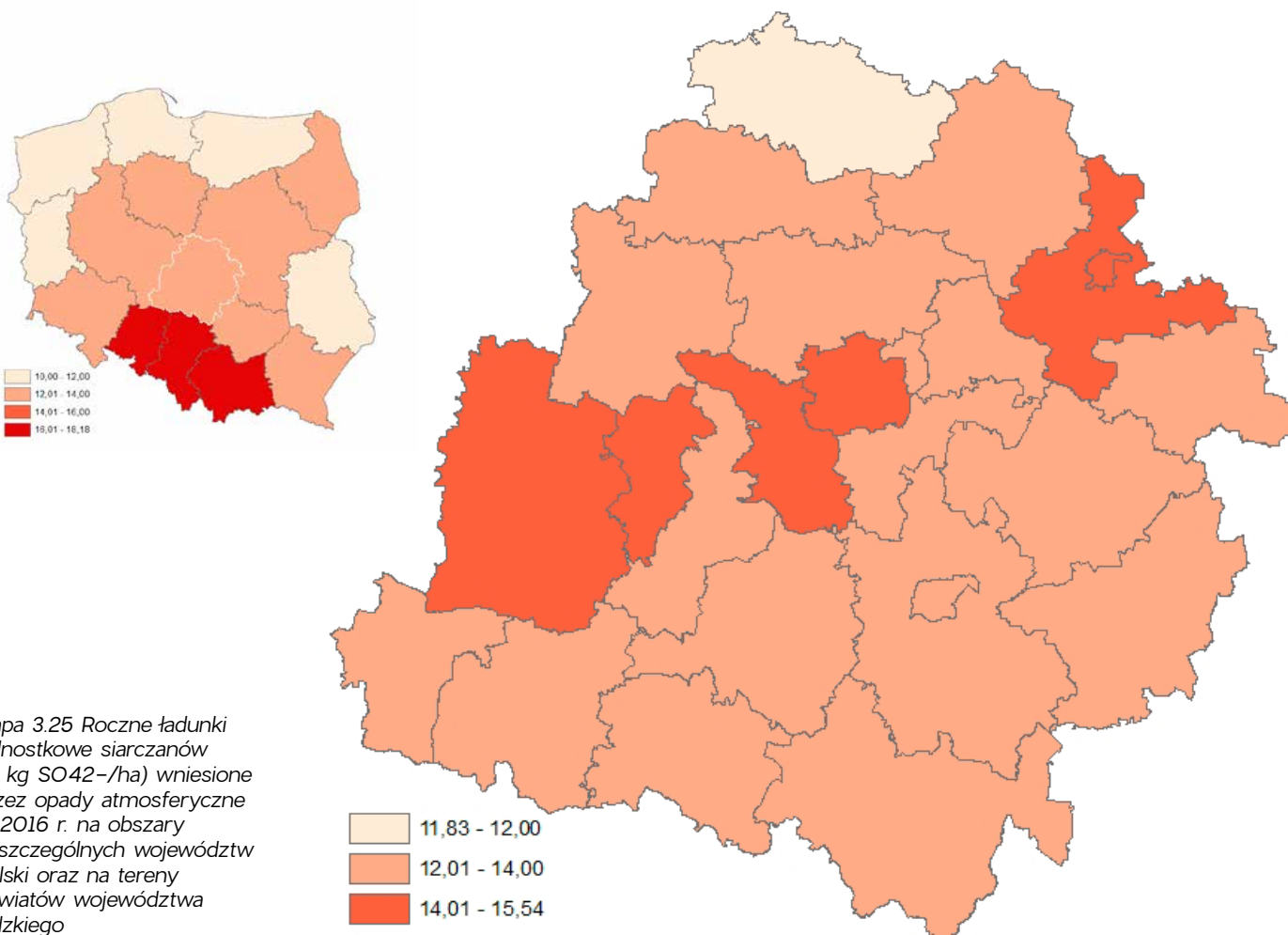
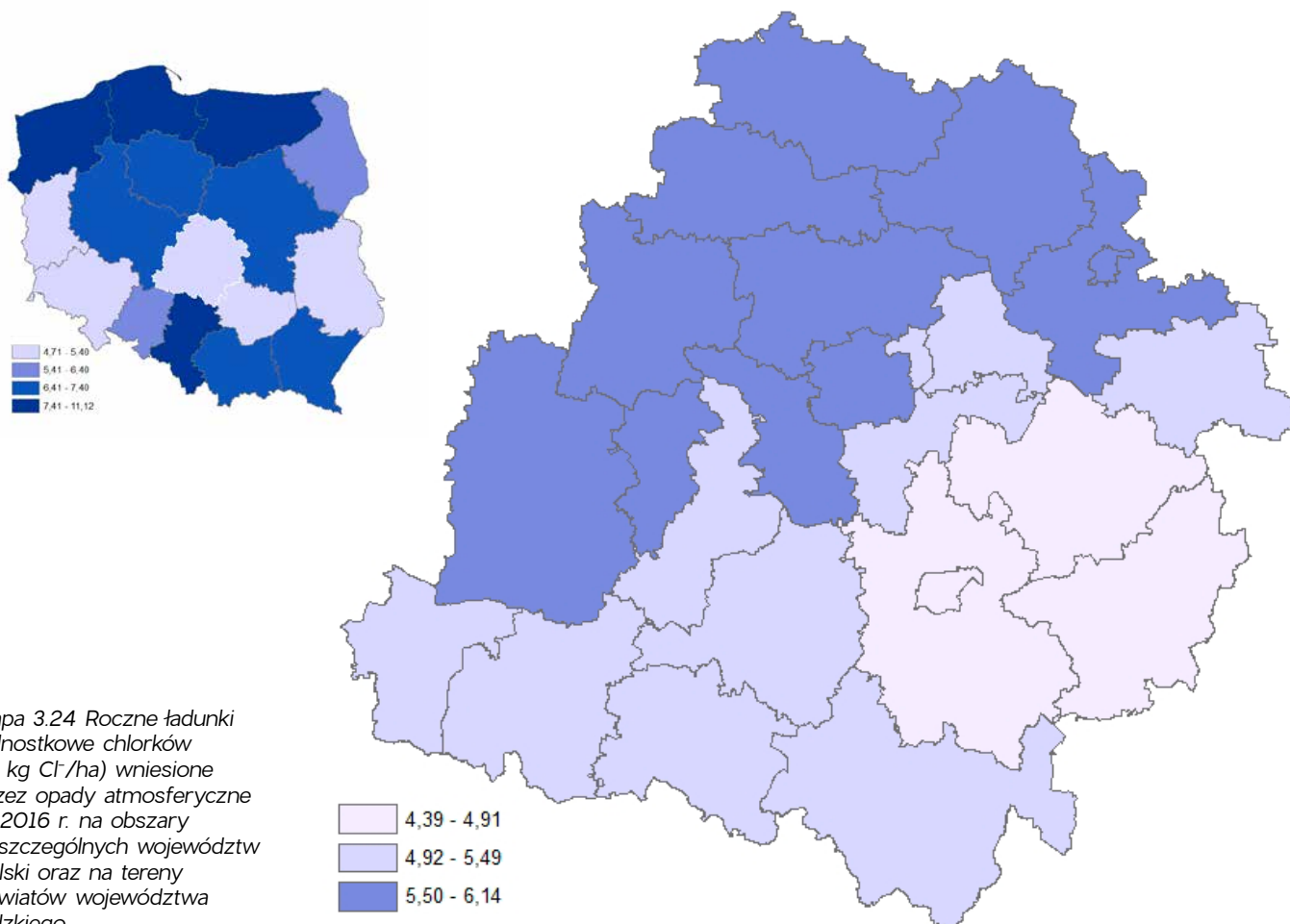
Na mapach 3.24 - 3.29 przedstawiono rozkłady rocznych ładunków wybranych zanieczyszczeń, wprowadzanych przez opady atmosferyczne na tereny powiatów województwa łódzkiego.

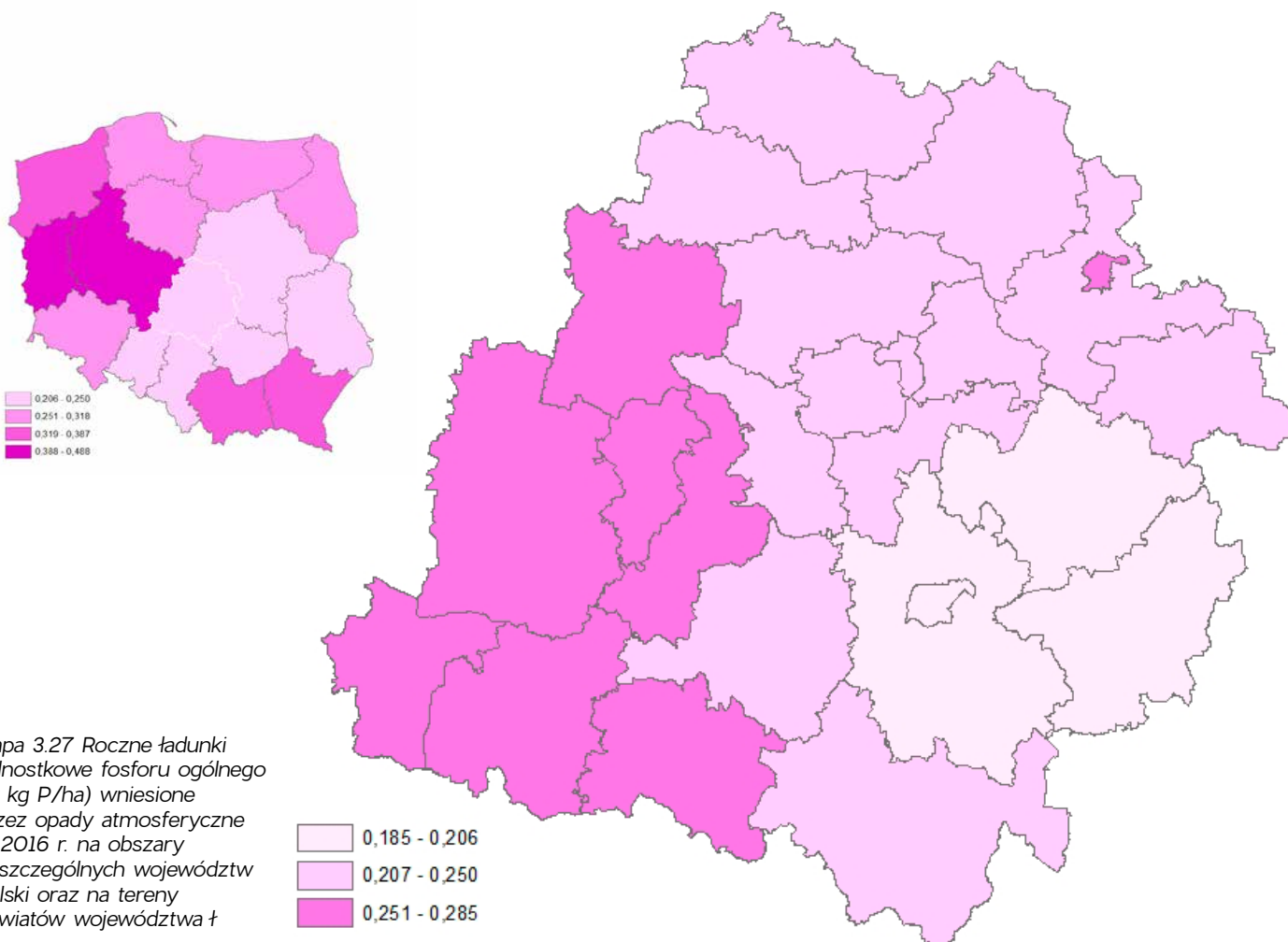
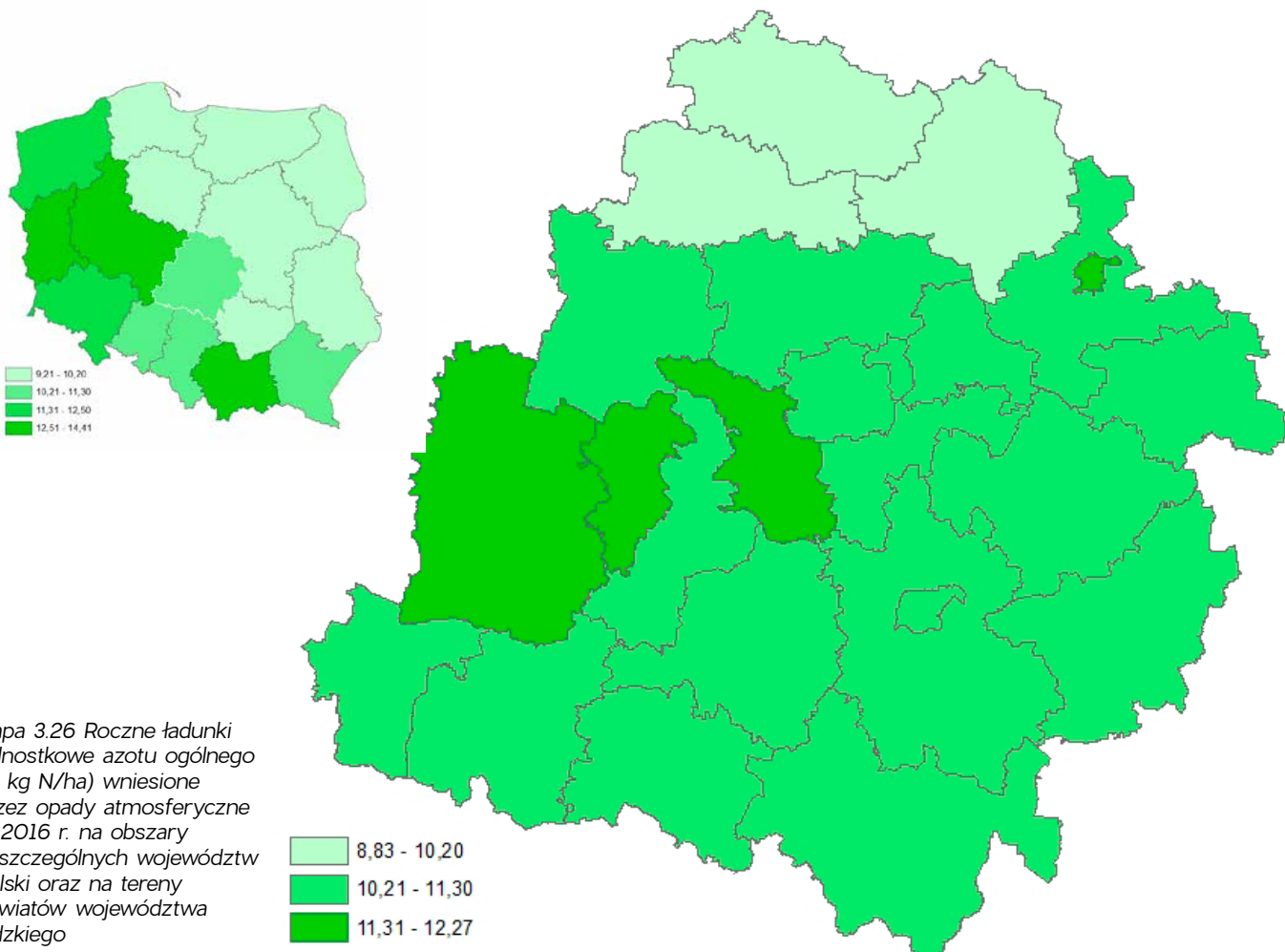
Ocena wyników osiemnastoletnich badań monitoringowych chemizmu opadów atmosferycznych i depozycji zanieczyszczeń do podłoża wykazała, że całkowite roczne obciążenie powierzchniowe obszaru województwa łódzkiego ładunkiem badanych substancji w roku 2016 było niższe od średniego z poprzednich lat o 18,4%, przy wyższej średniorocznej sumie opadów o 6,6%. Największe spadki w stosunku do średniej z ubiegłych lat dotyczyły metali: chromu – o 71,4%, ołowiu – o 60,3%, kadmu – o 58%, niklu – o 56,5%, cynku - o 48,6% i miedzi – o 46,4% oraz wolnych jonów wodorowych – o 56,7%. Najmniejsze spadki stwierdzono w przypadku potasu i azotu ogólnego – o 5,5% i 5,6%. Nie zmienił się natomiast ładunek azotu amonowego.

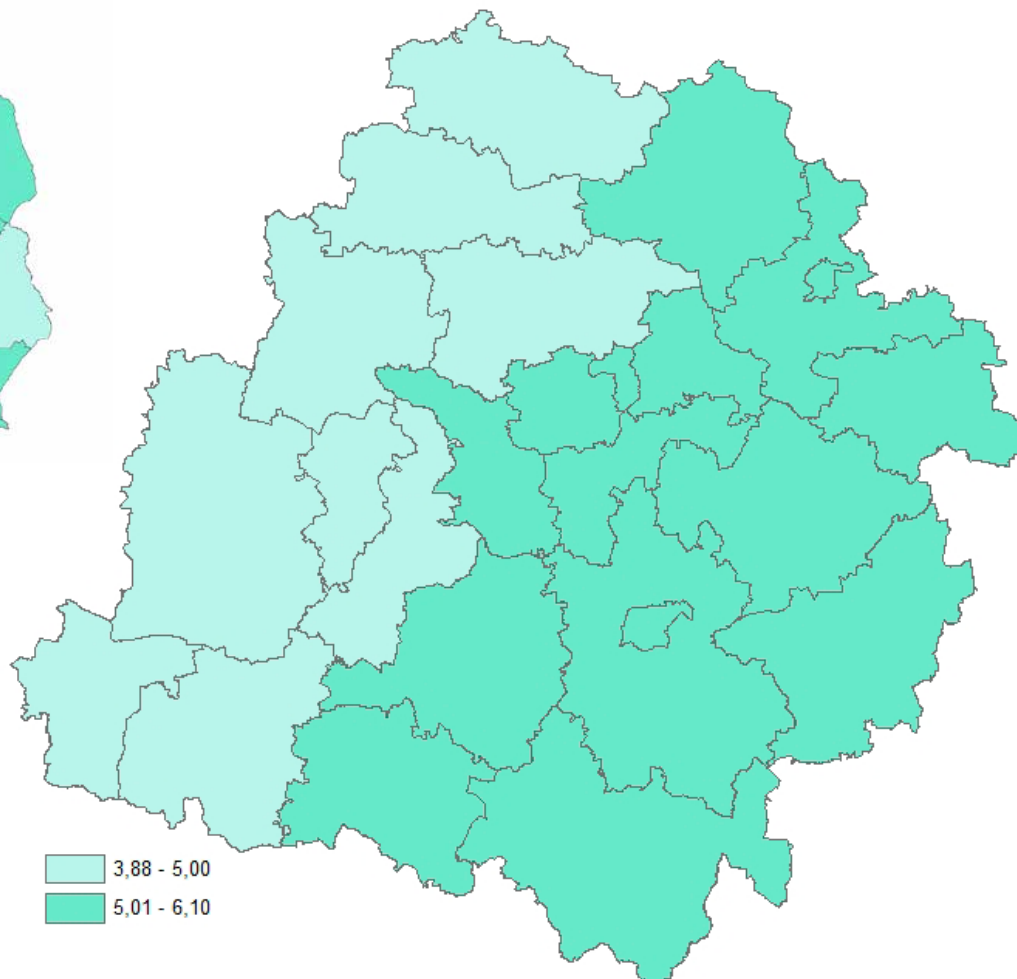
Materiały źródłowe:

(1) „Wyniki badań monitoringowych w woj. łódzkim w 2016 roku”, IMG – PIB Oddział we Wrocławiu (autorzy: Ewa Lia-
na, Mariusz Adynkiewicz, Jan Błachuta, Agnieszka Kolanek, Michał Pobudejski, Ewa Terlecka, Bartłomiej Miszuk,
Irena Otop, Michał Mazurek, Wiesława Rawa)

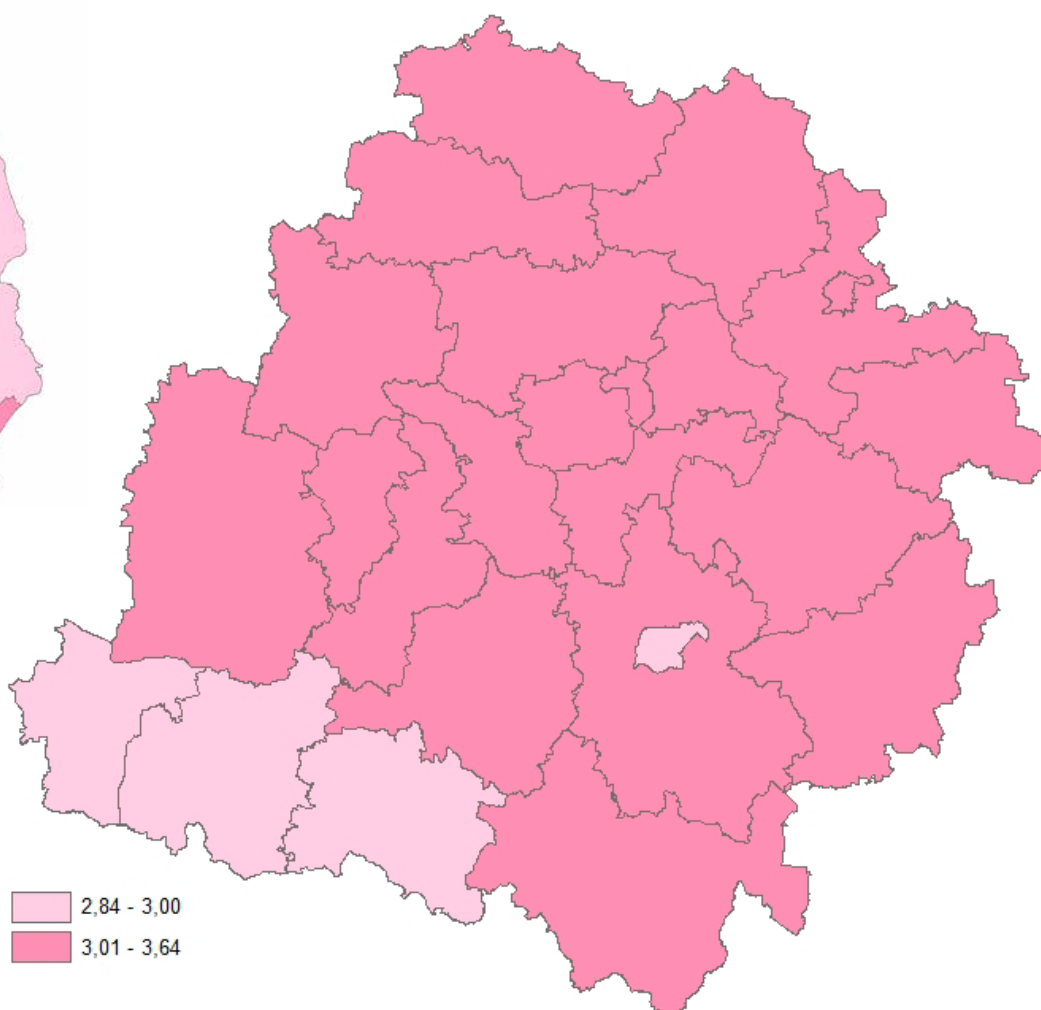
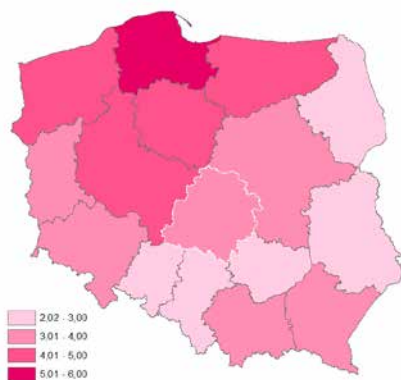
Opracowała: **Marzanna Krzemińska**



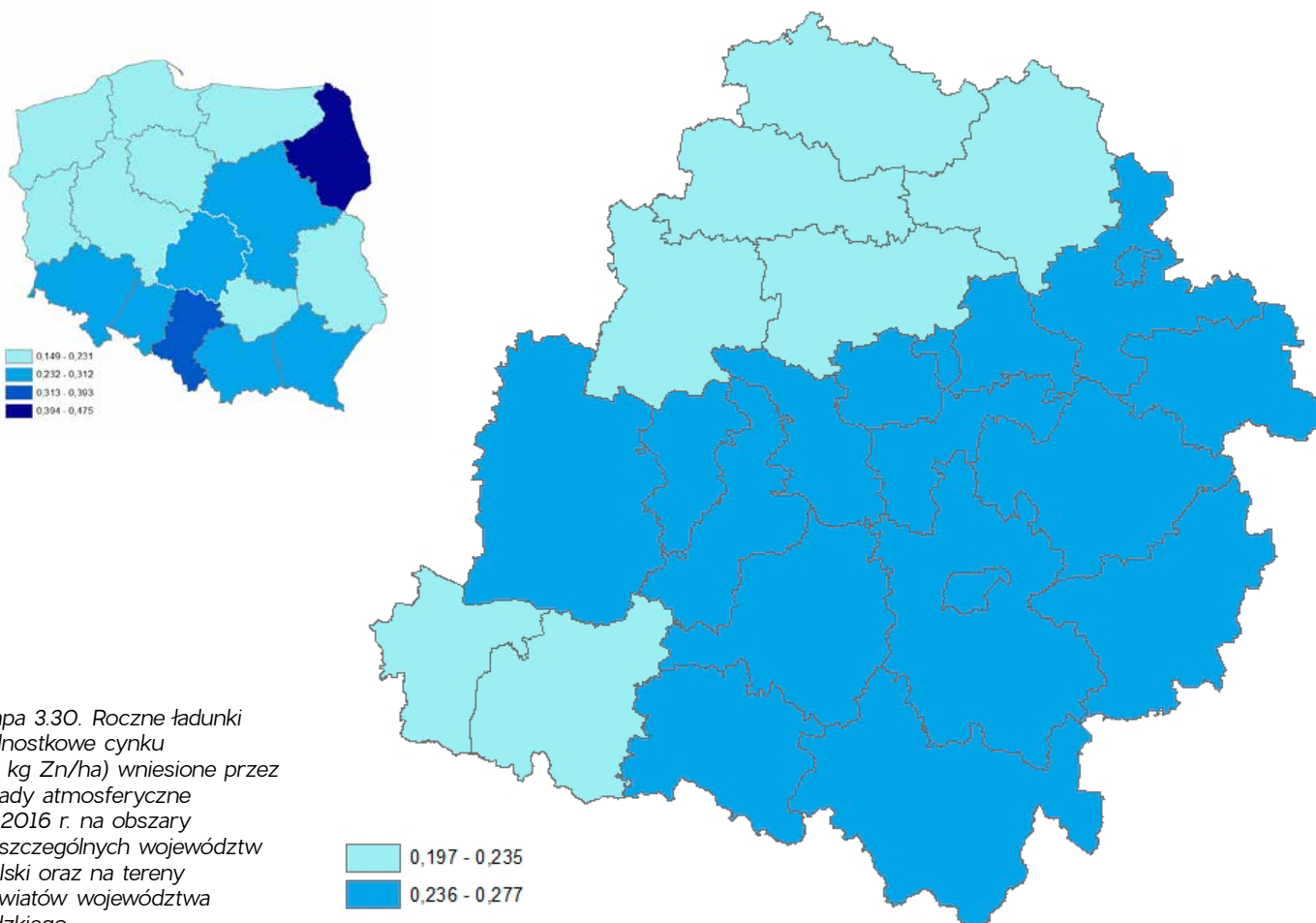




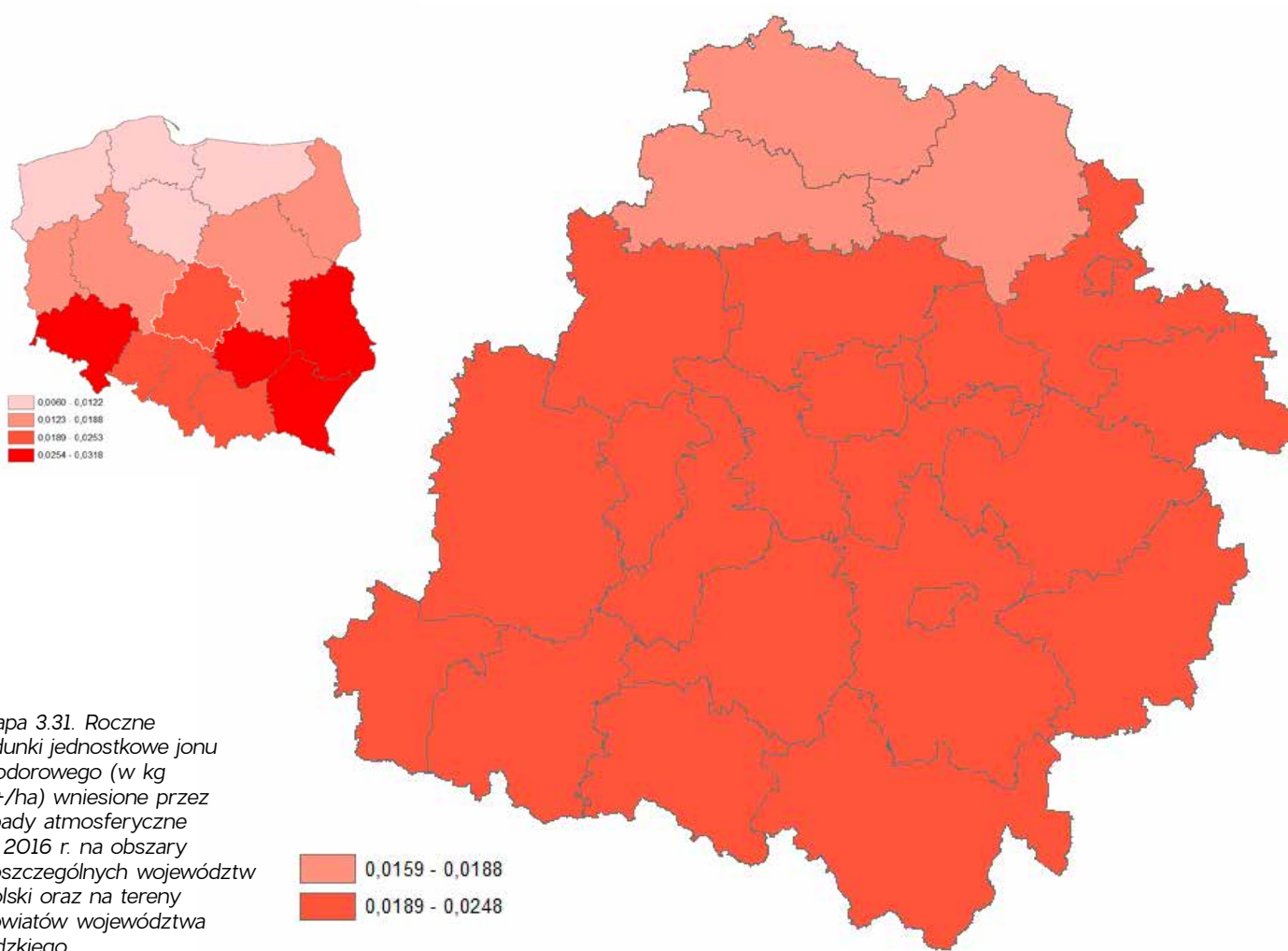
Mapa 3.28. Roczne ładunki jednostkowe wapnia (w kg Ca/ha) wniesione przez opady atmosferyczne w 2016 r. na obszary poszczególnych województw Polski oraz na tereny powiatów województwa łódzkiego



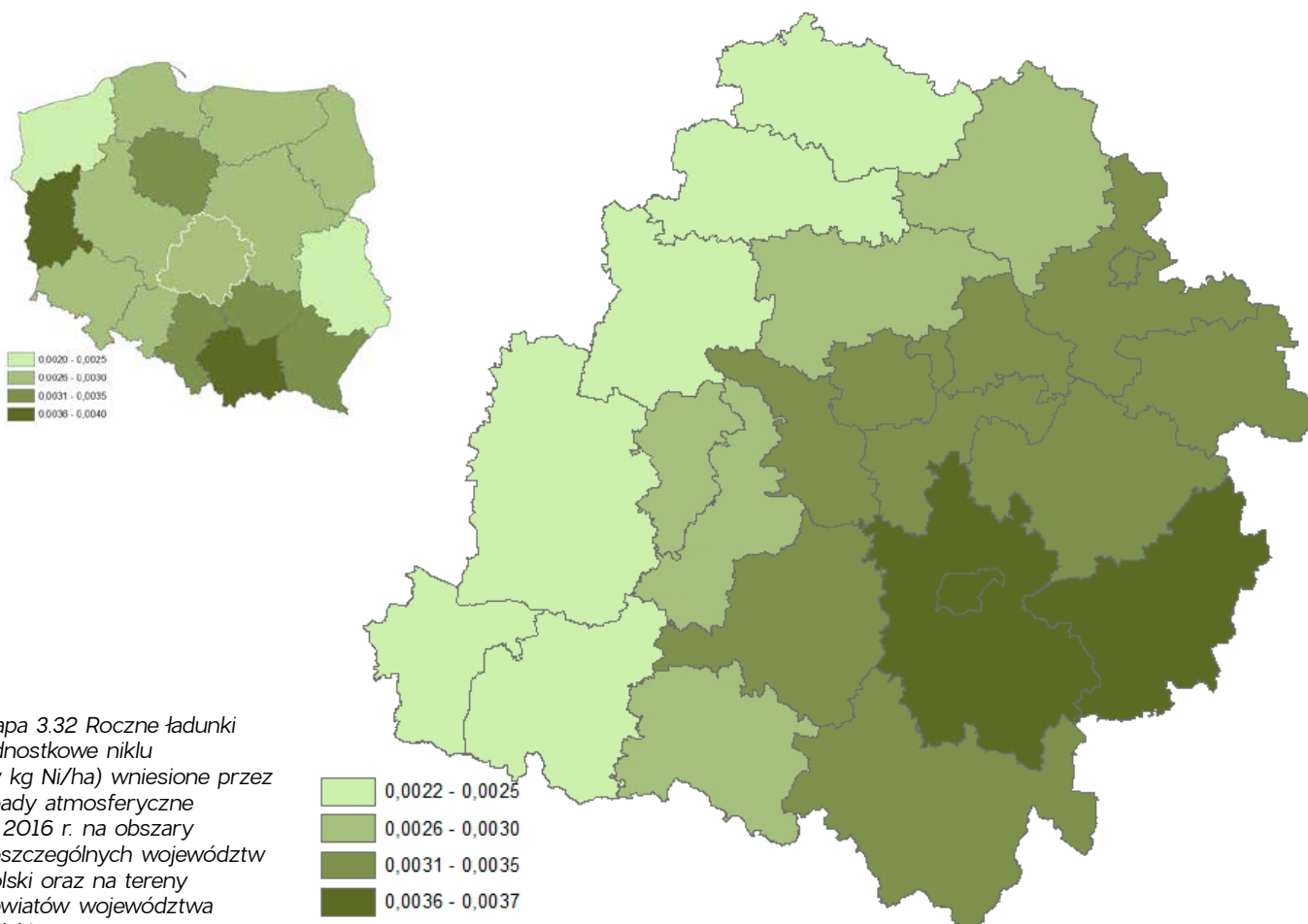
Mapa 3.29. Roczne ładunki jednostkowe sodu (w kg Na/ha) wniesione przez opady atmosferyczne w 2016 r. na obszary poszczególnych województw Polski oraz na tereny powiatów województwa łódzkiego



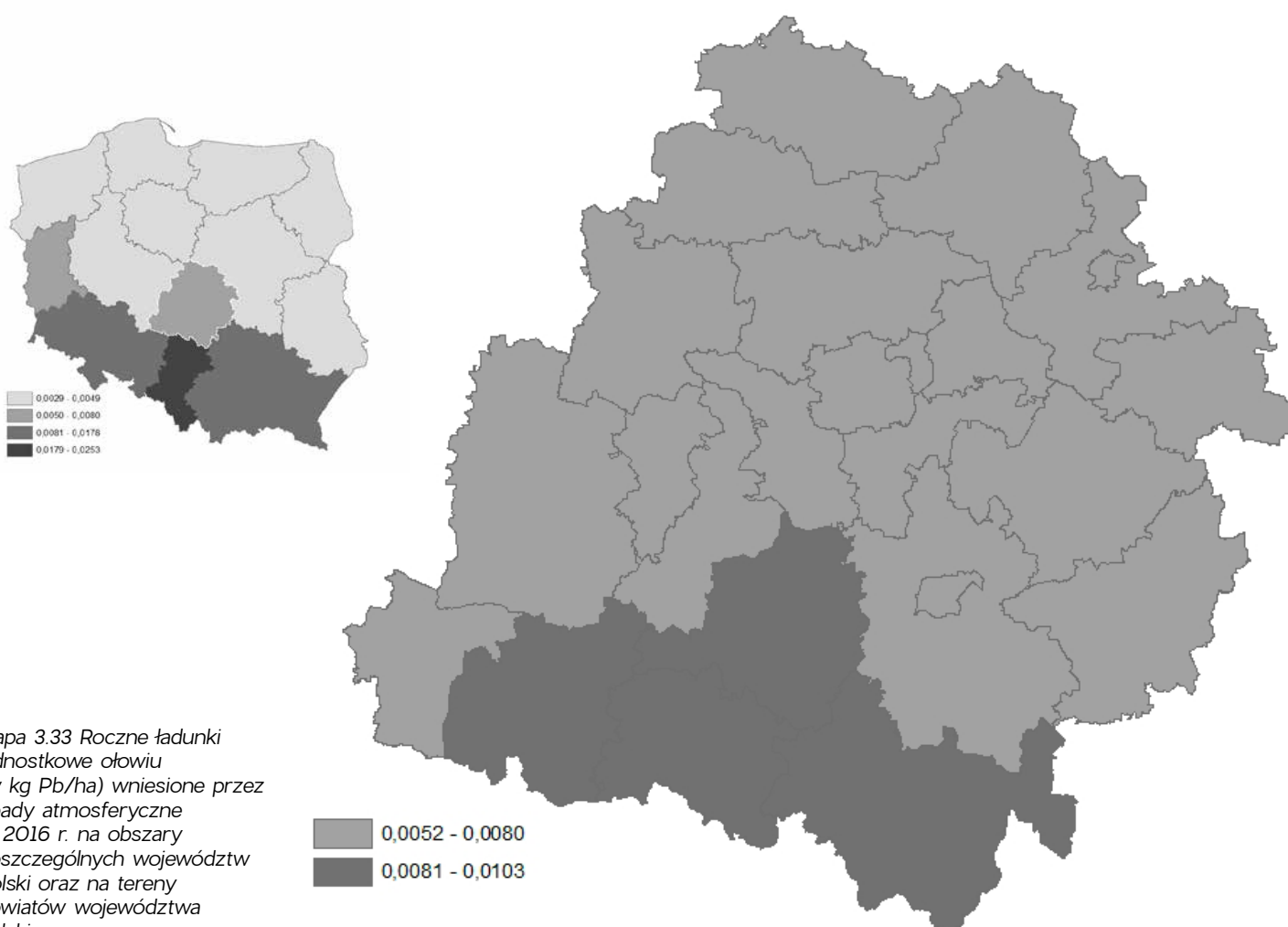
Mapa 3.30. Roczne ładunki jednostkowe cynku (w kg Zn/ha) wniesione przez opady atmosferyczne w 2016 r. na obszary poszczególnych województw Polski oraz na tereny powiatów województwa łódzkiego



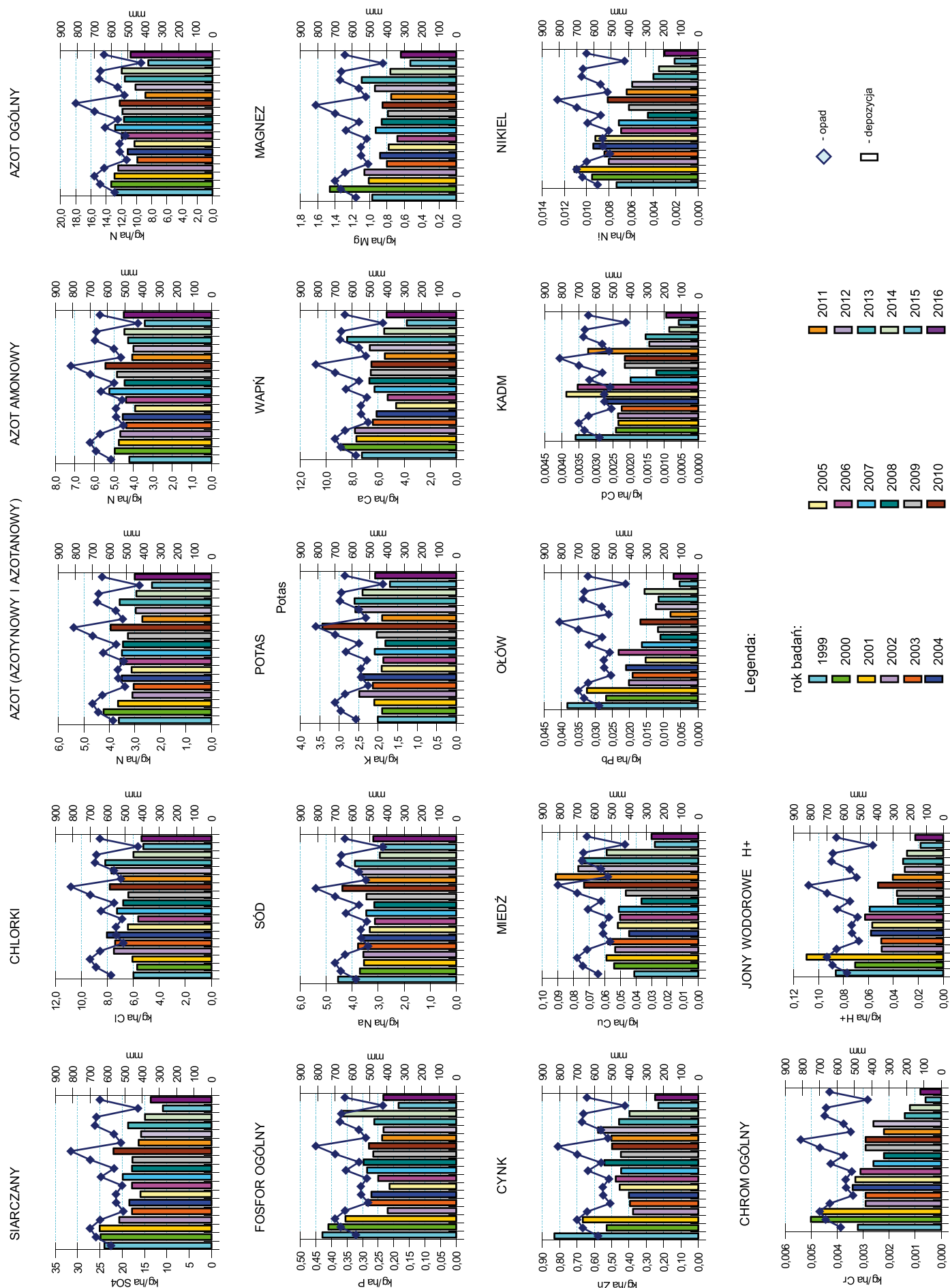
Mapa 3.31. Roczne ładunki jednostkowe jonu wodorowego (w kg H+/ha) wniesione przez opady atmosferyczne w 2016 r. na obszary poszczególnych województw Polski oraz na tereny powiatów województwa łódzkiego



Mapa 3.32 Roczne ładunki jednostkowe niklu (w kg Ni/ha) wniesione przez opady atmosferyczne w 2016 r. na obszary poszczególnych województw Polski oraz na tereny powiatów województwa łódzkiego



Mapa 3.33 Roczne ładunki jednostkowe ołowiu (w kg Pb/ha) wniesione przez opady atmosferyczne w 2016 r. na obszary poszczególnych województw Polski oraz na tereny powiatów województwa łódzkiego



Rys. 3.8 Depozycja substancji wprowadzanych z opadem atmosferycznym (wet-only) na obszar województwa łódzkiego

Programy ochrony powietrza i plany działań krótkoterminowych w woj. łódzkim

Obowiązki organów ochrony środowiska, biorących udział w ocenie i zarządzaniu jakością powietrza, określa ustawa z dnia 27 kwietnia 2001 roku Prawo ochrony środowiska, implementująca dyrektywy unijne, tj. dyrektywę Rady 96/62/WE z dnia 27 września 1996 r. w sprawie oceny i zarządzania jakością otaczającego powietrza i w jej następstwie dyrektywę Parlamentu Europejskiego i Rady 2008/50/WE z dnia 21 maja 2008 r. w sprawie jakości powietrza i czystszego powietrza dla Europy (tzw. dyrektywę CAFE). W związku z art. 89 ustawy Prawo ochrony środowiska, wojewódzkie inspektoraty ochrony środowiska są zobowiązane do dokonania tzw. rocznych ocen jakości powietrza i klasyfikacji stref za rok poprzedni oraz niezwłocznego ich przekazania zarządowi województwa, który na podstawie art. 91 wspomnianej ustawy ma obowiązek opracować naprawczy program ochrony powietrza dla stref, przy współudziale społeczeństwa. Następnie sejmik województwa uchwała program w drodze aktów prawa miejscowego, po zaopiniowaniu przez właściwe, ze względu na obszar występowania przekroczeń, samorządy lokalne. Integralną częścią programów ochrony powietrza, uchwalanych w celu osiągnięcia standardów jakości powietrza, są plany działań krótkoterminowych. Programy określają kierunki i zakres działań naprawczych, służących redukcji emisji substancji powodującej przekroczenie. Natomiast plany działań krótkoterminowych wskazują zakres doraźnych działań krótkoterminowych, jakie należy podjąć, aby zmniejszyć zanieczyszczenie powietrza w przypadku przekroczenia wartości progowych, tj. ryzyka przekroczenia poziomów dopuszczalnych lub docelowych, przekroczenia poziomów dopuszczalnych lub docelowych, przekroczenia poziomów informowania społeczeństwa, przekroczenia poziomów alarmowych, określonych rozporządzeniem Ministra Środowiska z dnia 18 września 2012 r. w sprawie poziomów niektórych substancji w powietrzu (Dz. U. z 2012 r. poz. 1031).

Niespełniająca standardów unijnych i krajowych jakość powietrza w zakresie pyłu zawieszonego PM₁₀ dotyczy większości miast województwa łódzkiego i obszarów niektórych gmin wiejskich (szczególnie gmin w sąsiedztwie dużych miast). Na przestrzeni ostatnich lat przekroczenie poziomu docelowego benzo(a)pirenu zawartego w pyłe zawieszonym PM₁₀ stwierdzono, poza dwiema gminami, na obszarze całego województwa. Ponadnormatywne stężenia pyłu zawieszonego PM_{2,5} zidentyfikowano w miastach aglomeracji łódzkiej oraz w 19 miastach i kilku gminach wiejskich strefy łódzkiej. Znaczna część obszarów przekroczeń poziomu dopuszczalnego pyłu zawieszonego PM_{2,5} w strefie łódzkiej została wskazana dopiero w „Rocznej ocenie jakości powietrza w województwie łódzkim w 2015 r.”, czyli w roku, w którym nastąpiło kolejne zaostrenie normy tego zanieczyszczenia.

W 2016 r. Wojewódzki Inspektorat Ochrony Środowiska zidentyfikował obszar przekroczeń pyłu zawieszonego PM₁₀ w gminie wiejskiej Radomsko, w której do tej pory nie odnotowywano przekroczeń norm jakości powietrza dla pyłu zawieszonego. W przypadku benzo(a)pirenu zawartego w pyłe zawieszonym PM₁₀ analogiczna sytuacja dotyczy gminy Brąszewice.

Programy ochrony powietrza w województwie łódzkim mają dziesięcioletnią historię. Pierwszy program ochrony powietrza określił wojewoda łódzki dla aglomeracji łódzkiej rozporządzeniem nr 3/2005 z dnia 1 kwietnia 2005 r. (Dz. Urz. Woj. Łódzkiego Nr 101, poz. 1004), z uwagi na przekroczenia poziomów dopuszczalnych pyłu zawieszonego PM₁₀ i dwutlenku azotu w Łodzi, Pabianicach i Zgierzu. Podstawę do wykonania programu stanowiła ocena jakości powietrza i klasyfikacja stref za 2002 r., która była pierwszym tego typu dokumentem, opracowanym przez WIOŚ w Łodzi po wejściu w życie ustawy Prawo ochrony środowiska, aproksymującej przepisy unijne, realizowanym w ramach pomocy przedakcesyjnej programu PHARE 2000. Następnym programem ochrony powietrza, określonym rozporządzeniem wojewody łódzkiego nr 7/2007 z 5 kwietnia 2007 r. (Dz. Urz. Woj. Łódzkiego Nr 103, poz. 923 z 14.04.2007 r.) zostało objęte miasto Piotrków Trybunalski, po stwierdzeniu przez WIOŚ w Łodzi ponadnormatywnych stężeń pyłu zawieszonego PM₁₀ w wyniku oceny jakości powietrza i klasyfikacji stref za 2005 r.

Od 2008 roku organem właściwym do określania programów ochrony powietrza jest Sejmik Województwa Łódzkiego, który, realizując swój obowiązek ustawowy, uchwała naprawcze programy ochrony powietrza w celu poprawy jakości powietrza w strefach i obszarach wskazanych przez WIOŚ w Łodzi.

Obowiązujące w 2016 r. **programy ochrony powietrza i plany działań krótkoterminowych określone zostały następującymi uchwałami Sejmiku Województwa Łódzkiego:**

– dla strefy aglomeracja łódzka:

Uchwała nr XXXV/689/13 Sejmiku Województwa Łódzkiego z dnia 26 kwietnia 2013 r. w sprawie programu ochrony powietrza dla strefy w województwie łódzkim w celu osiągnięcia poziomu dopuszczalnego pyłu zawieszonego i poziomu docelowego benzo(a)pirenu zawartego w pyłe zawieszonym PM₁₀ oraz planu działań krótkoterminowych. Nazwa strefy: aglomeracja łódzka. Kod strefy: PL1001. (Dz. Urz. Woj. Łódzkiego z 2013 r. poz. 3434).

link: http://dziennik.lodzkie.eu/WDU_E/2013/3434/akt.pdf

ZMIANY

Uchwała nr XLI/764/13 Sejmiku Województwa Łódzkiego z dnia 29 października 2013 r. w sprawie zmiany uchwały nr XXXV/689/13 Sejmiku Województwa Łódzkiego z dnia 26 kwietnia 2013 r. w sprawie programu ochrony powietrza dla strefy w województwie łódzkim w celu osiągnięcia poziomu dopuszczalnego pyłu zawieszonego i poziomu docelowego benzo(a)pirenu zawartego w pyłe zawieszonym PM10 oraz planu działań krótkoterminowych. Nazwa strefy: aglomeracja łódzka. Kod strefy: PL1001. (Dz. Urz. Woj. Łódzkiego z 2013 r. poz. 5517)

link: http://dziennik.lodzkie.eu/WDU_E/2013/5517/akt.pdf

Uchwała nr VII/90/15 Sejmiku Województwa Łódzkiego z dnia 31 marca 2015 r. w sprawie zmiany uchwały nr XXXV/689/13 Sejmiku Województwa Łódzkiego z 26 kwietnia 2013 r. w sprawie programu ochrony powietrza dla strefy w województwie łódzkim w celu osiągnięcia poziomu dopuszczalnego pyłu zawieszonego i poziomu docelowego benzo(a)pirenu zawartego w pyłe zawieszonym PM10 oraz planu działań krótkoterminowych. Nazwa strefy: aglomeracja łódzka. Kod strefy: PL1001. (Dz. Urz. Woj. Łódzkiego z 2015 r. poz. 2102)

link: http://dziennik.lodzkie.eu/WDU_E/2015/2102/akt.pdf

- dla strefy łódzkiej:

Uchwała nr XXXV/690/13 Sejmiku Województwa Łódzkiego z dnia 26 kwietnia 2013 r. w sprawie programu ochrony powietrza dla strefy w województwie łódzkim w celu osiągnięcia poziomu dopuszczalnego pyłu zawieszonego i poziomu docelowego benzo(a)pirenu zawartego w pyłe zawieszonym PM10 oraz planu działań krótkoterminowych. Nazwa strefy: strefa łódzka. Kod strefy: PL1002. (Dz. Urz. Woj. Łódzkiego z 2013 r. poz. 3471)

link: http://dziennik.lodzkie.eu/WDU_E/2013/3471/akt.pdf

ZMIANY

Uchwała nr XLII/778/13 Sejmiku Województwa Łódzkiego z 25 listopada 2013 r. w sprawie zmiany uchwały nr XXXV/690/13 Sejmiku Województwa Łódzkiego z dnia 26 kwietnia 2013 roku w sprawie programu ochrony powietrza dla strefy w województwie łódzkim w celu osiągnięcia poziomu dopuszczalnego pyłu zawieszonego i poziomu docelowego benzo(a)pirenu, zawartego w pyłe zawieszonym PM10 oraz planu działań krótkoterminowych. Nazwa strefy: strefa łódzka. Kod strefy: PL1002. (Dz. Urz. Woj. Łódzkiego z 2014 r. poz. 106)

link: http://dziennik.lodzkie.eu/WDU_E/2014/106/akt.pdf

Uchwała nr LIII/945/14 Sejmiku Województwa Łódzkiego z 28 października 2014 r. w sprawie zmiany uchwały nr XXXV/690/13 Sejmiku Województwa Łódzkiego z 26 kwietnia 2013 roku w sprawie programu ochrony powietrza dla strefy w województwie łódzkim w celu osiągnięcia poziomu dopuszczalnego pyłu zawieszonego i poziomu docelowego benzo(a)pirenu, zawartego w pyłe zawieszonym PM10 oraz planu działań krótkoterminowych. Nazwa strefy: strefa łódzka. Kod strefy: PL1002. (Dz. Urz. Woj. Łódzkiego z 2014 r. poz. 4557)

link: http://dziennik.lodzkie.eu/WDU_E/2014/4557/akt.pdf

Sejmik Województwa Łódzkiego określił również plany działań krótkoterminowych z uwagi na przekroczenie wartości progowej informowania społeczeństwa o ryzyku przekroczenia poziomu alarmowego ozonu:

- dla strefy aglomeracja łódzka:

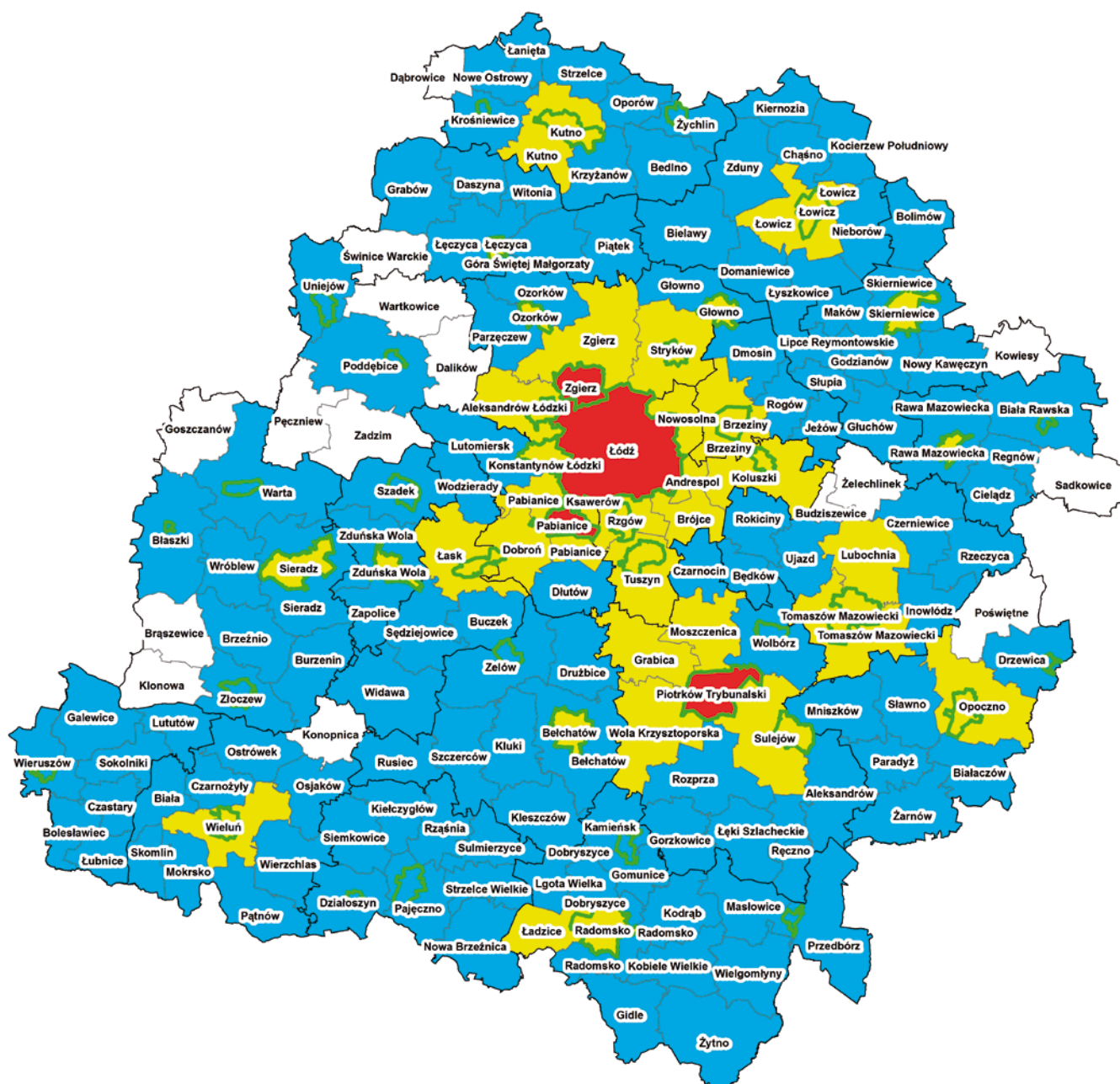
Uchwała nr XXXIV/429/17 Sejmiku Województwa Łódzkiego z dnia 7 lutego 2017 r. w sprawie planu działań krótkoterminowych dla strefy aglomeracja łódzka w celu zmniejszenia ryzyka wystąpienia przekroczeń poziomu alarmowego i poziomu docelowego ozonu przyziemnego oraz ograniczenia skutków i czasu trwania zaistniałych przekroczeń (Dz. Urz. Woj. Łódzkiego z 2017 r. poz. 1047).

Link: http://dziennik.lodzkie.eu/WDU_E/2017/1047/akt.pdf

- dla strefy łódzkiej:

Uchwała nr LIII/964/14 Sejmiku Województwa Łódzkiego z dnia 28 października 2014 r. w sprawie planu działań krótkoterminowych dla strefy łódzkiej w celu zmniejszenia ryzyka wystąpienia przekroczeń poziomu alarmowego i poziomu docelowego ozonu przyziemnego oraz ograniczenia skutków i czasu trwania zaistniałych przekroczeń (Dz. Urz. Woj. Łódzkiego z 2014 r. poz. 4487)

link: http://dziennik.lodzkie.eu/WDU_E/2014/4487/akt.pdf



- gminy objęte POP ze względu na przekroczenia poziomu docelowego benzo(a)pirenu zawartego w pyłe zawieszonym PM10
- gminy objęte POP ze względu na przekroczenia poziomu dopuszczalnego pyłu zawieszonego PM10 oraz poziomu docelowego benzo(a)pirenu zawartego w pyłe zawieszonym PM10
- gminy objęte POP ze względu na przekroczenia poziomu dopuszczalnego pyłu zawieszonego PM10 i PM2,5 oraz poziomu docelowego benzo(a)pirenu zawartego w pyłe zawieszonym PM10

- miasta
- powiaty
- gminy

Mapa 3.34 Gminy objęte programami ochrony powietrza obowiązującymi w 2016 roku

Z 15 wykonanych przez WIOŚ w Łodzi w latach 2002-2016 rocznych ocen jakości powietrza wynika, że mimo obowiązywania od ponad 10 lat programów ochrony powietrza, poprawa jakości powietrza w strefach województwa łódzkiego następuje bardzo powoli i nadal odnotowuje się przekroczenia poziomu dopuszczalnego pyłu zawieszonego i poziomu docelowego benzo(a)pirenu w obu strefach. Przyczyną zbyt wolnego tempa poprawy jakości powietrza można upatrywać w małej intensywności realizacji działań naprawczych oraz niewystarczającej świadomości społeczeństwa.

Analizy wykonane w ramach ocen jakości powietrza i programów ochrony powietrza jednoznacznie wskazują, że przyczyną złej jakości powietrza jest emisja powierzchniowa, tzw. emisja niska, pochodząca ze spalania paliw stałych (węgla i drewna) w przestarzałych konstrukcyjnie paleniskach i kotłach sektora komunalno-bytowego oraz kotłowniach małej mocy, eksploatowanych przez drobne zakłady przemysłowe i usługowe, niewymagających pozwoleń emisyjnych lub zgłoszeń i w związku z tym działających poza kontrolą organów ochrony środowiska. Dużym problemem jest spalanie odpadów w lokalnych kotłowniach i paleniskach domowych, co stwarza ogromne zagrożenie dla zdrowia ludzi.

W województwie łódzkim programy ochrony powietrza realizowane są sukcesywnie w miarę możliwości finansowych gmin. Rok 2016 rozpoczyna kolejny trzyletni okres sprawozdawczy. Okresy te są okazją do podsumowania realizacji programów ochrony powietrza w województwie łódzkim. W poprzednim okresie, obejmującym lata 2013-2015, szacowana pula środków finansowych przeznaczonych, głównie przez samorządy lokalne, na działania związane z poprawą jakości powietrza przekracza 12 mld zł. Najczęściej podejmowanymi działaniami naprawczymi są termomodernizacje budynków użyteczności publicznej i wielorodzinnych budynków mieszkaniowych komunalnych i spółdzielczych, realizowane przez samorządy gminne i spółdzielnie mieszkaniowe. Zmiana sposobu ogrzewania poprzez likwidację źródeł węglowych i podłączenie do miejskiej sieci ciepłowniczej dotyczy większych miast woj. łódzkiego, realizowana jest najczęściej przez lokalne przedsiębiorstwa ciepłownicze. Coraz częściej kompleksowej termomodernizacji towarzyszy instalowanie źródeł energii odnawialnej, zwłaszcza solarnych. Do popularnych działań można również zaliczyć działania związane z poprawą infrastruktury transportowej oraz poprawą dostępności transportu publicznego. Spośród wymienionych najbardziej kosztowne są działania związane z poprawą infrastruktury transportowej, i to na nie przeznaczono najwięcej środków finansowych w ostatnich latach.

Realizacja programów w dużej mierze zależy od pomocy finansowej, udzielanej przez fundusze krajowe i unijne. Dostrzegając konieczność wspierania władz lokalnych na rzecz przeciwdziałania zmianom klimatu i poprawy jakości powietrza, Narodowy Fundusz Ochrony Środowiska i Gospodarki Wodnej wraz z Wojewódzkim Funduszem Ochrony Środowiska i Gospodarki Wodnej w Łodzi oferują programy mające na celu zmniejszenie zużycia energii i rozwój niskoemisyjnego transportu, kładąc nacisk na rozwój odnawialnych źródeł energii. Niestety NFOŚiGW w 2016 r. ograniczył pulę programów wsparcia, rezygnując m.in. z programu KAWKA, bardzo istotnego dla ograniczenia emisji niskiej.

Możliwości dofinansowania działań, zmierzających do poprawy jakości powietrza w ramach planów gospodarki niskoemisyjnej, przewiduje Regionalny Program Operacyjny Województwa Łódzkiego.

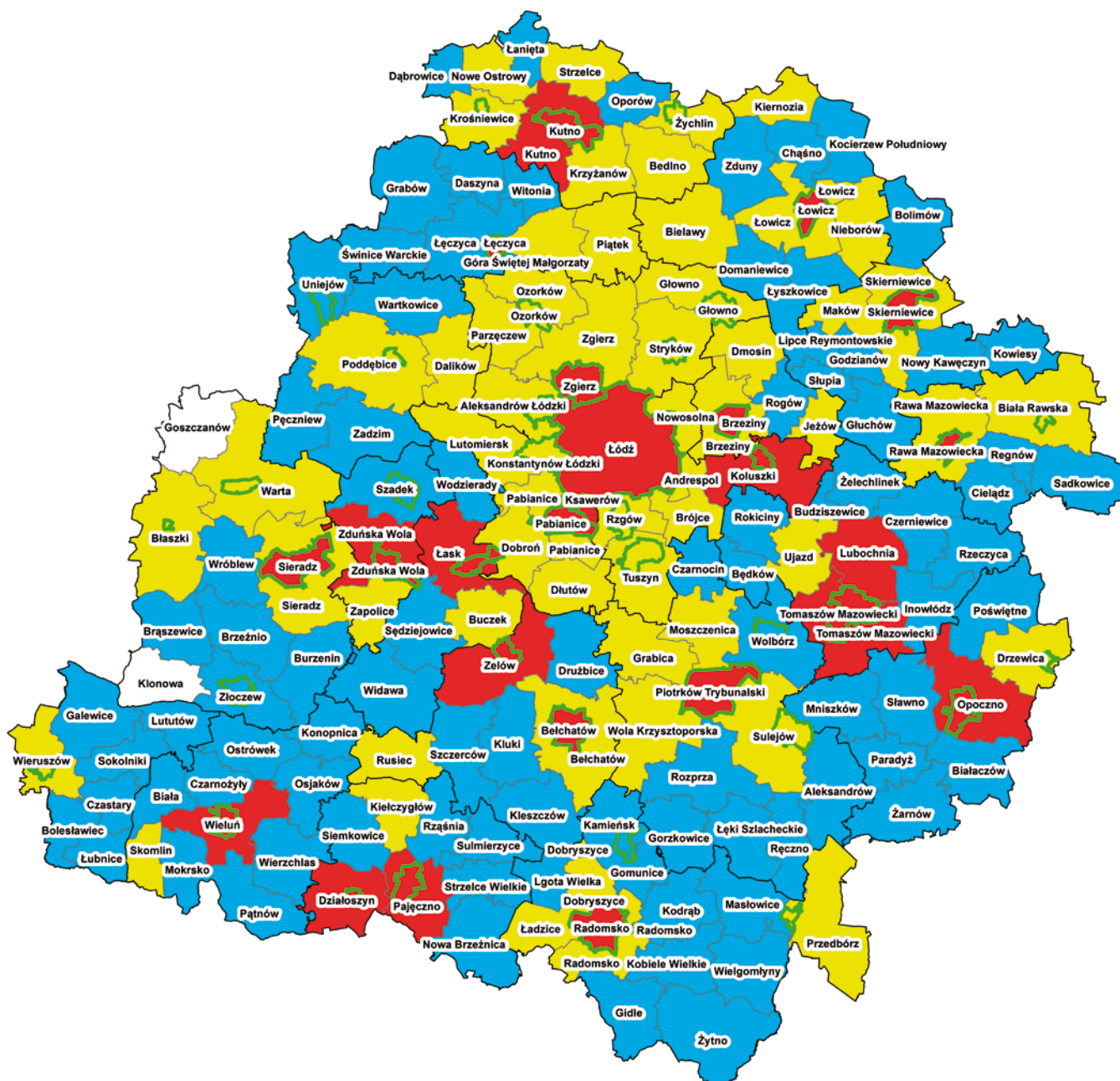
W celu przyspieszenia realizacji programów ochrony powietrza wraz z nowelą ustawy Prawo ochrony środowiska, dokonaną ustawą z 13 kwietnia 2012 r. o zmianie ustawy – Prawo ochrony środowiska oraz niektórych innych ustaw (Dz. U. 2012 r. poz. 460) wprowadzono kary za brak działań naprawczych programów ochrony powietrza, określonych w uchwałach sejmików województw.

W związku z nowymi możliwościami finansowymi jest nadzieja, że realizacja planów gospodarki niskoemisyjnej przyniesie wymierne efekty ekologiczne w postaci obniżenia poziom stężeń pyłu zawieszonego PM₁₀, pyłu zawieszonego PM_{2,5} i benzo(a)pirenu.

Dodatkowym czynnikiem zwiększającym efektywność programów ochrony powietrza, zwłaszcza w zakresie ograniczenia emisji niskiej, będącej główną przyczyną złej jakości powietrza, może okazać się zmiana ustawy Prawo budowlane, wprowadzona 11 września 2015 roku ustawą z dnia 24 kwietnia 2015 roku o zmianie niektórych ustaw w związku ze wzmocnieniem narzędzi ochrony krajobrazu (Dz. U. z 2015 r. poz. 774).

Istotnym elementem walki o czyste powietrze stają się uchwały sejmików województw, wprowadzające ograniczenia i zakazy dotyczące stosowania paliw oraz eksploatacji instalacji, w których następuje spalanie paliw. Możliwość wprowadzenia takich regulacji daje art. 96 ustawy Prawo ochrony środowiska. Prekursorem wprowadzenia wspomnianych ograniczeń był Samorząd Województwa Małopolskiego. Skala przekroczeń norm jakości powietrza sprawiła, że śladem Małopolski podążyły samorządy innych województw, w tym także Samorząd Województwa Łódzkiego, przystępując do opracowania podobnych uchwał.

Rozmiar problemu związanego z jakością powietrza, niemalże we wszystkich gminach województwa łódzkiego stwierdzono przekroczenia obowiązujących norm, wskazuje na zasadność objęcia całego województwa regulacjami na podstawie art. 96 ustawy Prawo ochrony środowiska. Poniższy rysunek przedstawia gminy województwa łódzkiego, w których na przestrzeni lat 2010-2016 zidentyfikowano obszary przekroczeń poziomu dopuszczalnego pyłu zawieszonego PM₁₀ i PM_{2,5} oraz poziomu docelowego benzo(a)pirenu zawartego w pyłe zawieszonym PM₁₀.



- przekroczenia poziomu docelowego bezno(a)pirenu zawartego w pyłe zawieszonym PM10
 - przekroczenia poziomu dopuszczalnego pyłu zawieszonego PM10 oraz poziomu docelowego bezno(a)pirenu zawartego w pyłe zawieszonym PM10
 - przekroczenia poziomu dopuszczalnego pyłu zawieszonego PM10 i PM2,5 oraz poziomu docelowego bezno(a)pirenu zawartego w pyłe zawieszonym PM10
- powiaty
 - gminy
 - miasta

Mapa 3.35 Przekroczenia norm jakości powietrza w gminach województwa łódzkiego

Opracował: **Tomasz Pilaszek**

MONITORING HAŁASU

Zgodnie z zapisami zawartymi w ustawie z dnia 27 kwietnia 2001 Prawo ochrony środowiska (tekst jednolity z 2008 r., DzU nr 25, poz. 150 z późn. zmianami), na wojewódzkich inspektoratach ochrony środowiska spoczywa obowiązek wykonywania pomiarów monitoringowych hałasu komunikacyjnego w miastach o liczbie mieszkańców poniżej 100 tysięcy i na terenach, znajdujących się przy drogach o natężeniu ruchu poniżej 3 milionów pojazdów w ciągu roku (8200 pojazdów/dobę). Pozostałe obszary powinny mieć wykonane mapy akustyczne; w miastach o liczbie ludności powyżej 100 tys. obowiązek ten spoczywa na prezydentach miast, zaś dla dróg o natężeniu ruchu powyżej 3 mln pojazdów w ciągu roku organem odpowiedzialnym za wykonanie mapy jest zarządca drogi.

Metodyka i częstotliwość wykonywania pomiarów określone są w rozporządzeniu Ministra Środowiska z dnia 16 czerwca 2011 r. w sprawie wymagań w zakresie prowadzenia pomiarów poziomów substancji lub energii w środowisku przez zarządzającego drogą, linią kolejową, linią tramwajową, lotniskiem, portem (DzU nr 140, poz. 824). Parametrem wykorzystywanym do oceny warunków korzystania ze środowiska jest poziom równoważny. W polityce długofalowej oraz w programach ochrony środowiska przed hałasem parametrem wykorzystywanym jest wskaźnik długookresowy L_{DWN} . Wskaźnik L_{DWN} wyraża średni poziom dźwięku w decybelach, wyznaczony w ciągu wszystkich dób roku, z uwzględnieniem pory dnia (rozumianej jako przedział czasu od g. 6.00 do g. 18.00), pory wieczoru (od 18.00 do 22.00) oraz pory nocy (od 22.00 do 6.00). W celu odzwierciedlenia realnego oddziaływania hałasu w porze wieczoru do otrzymanych wyników dodaje się 5 dB, a w porze nocy 10 dB. Wartości wszystkich wyżej wymienionych wskaźników są porównywane z wartościami dopuszczalnymi, zawartymi w tabelach 1 i 3 załącznika do obwieszczenia Ministra Środowiska z 15 października 2013 r. do jednolitego tekstu rozporządzenia Ministra Środowiska w sprawie dopuszczalnych poziomów hałasu w środowisku (Dz. U. 2014, poz. 112).

Zgodnie z „Programem państwowego monitoringu środowiska województwa łódzkiego na lata 2016-2020”, w roku 2016 wykonano pomiary hałasu komunikacyjnego (drogowego i kolejowego) w punktach pomiarowych, zlokalizowanych na 3 poniższych obszarach:

- Obszar I – Piotrków Trybunalski
 - » ul. Łódzka – PT1,
 - » ul. R. Dmowskiego – PT2,
 - » ul. Kostromska – PT3,
- Obszar II – Warta
 - » ul. 3 Maja – W1,
 - » ul. Sieradzka – W2,
 - » ul. Cielecka – W3,
 - » ul. Kaliska – W4,
 - » ul. Jagiellońska – W 5,
- Obszar III – Pajęczno
 - » ul. Wieluńska – P1,
 - » ul. Cmentarna – P2,
 - » ul. Częstochowska – P3,
 - » ul. Sienkiewicza – P4,
 - » ul. Wiśniowa – P5,
 - » Biała Pajęczańska – I,
 - » Wręczycza – II.

Punkty przy ul. Łódzkiej w Piotrkowie Trybunalskim, ul. 3 Maja w Warcie i ul. Wieluńskiej w Pajęcznie zostały wytypowane do wyznaczenia wskaźnika długookresowego L_{DWN} . Wskaźnik długookresowy wyliczany jest na podstawie pomiarów co najmniej z 8 dób pomiarowych:

- » 2 doby w dni powszednie oraz 1 doba w czasie weekendu – w okresie wiosennym,
- » 1 doba w dni powszednie oraz 1 doba w czasie weekendu – w okresie letnim,
- » 2 doby w dni powszednie oraz 1 doba w czasie weekendu – w okresie jesiennym.

W pozostałych punktach pomiarowych wykonane zostały pomiary 24-godzinne, służące do określenia równoważnych poziomów hałasu w porze dnia i porze nocy.

I. Piotrków Trybunalski

Piotrków Trybunalski jest drugim co wielkości miastem w województwie łódzkim, położonym ok. 50 km na południe od stolicy województwa. Miasto ma około 75 tysięcy mieszkańców i stanowi istotny węzeł komunikacyjny. Przebiegają przez nie drogi krajowe i międzynarodowe:

- » autostrada A1 (DK1, E75) – Gdańsk – Łódź – Piotrków Trybunalski – Cieszyn – granica państwa;
- » droga krajowa nr 8 (E67) – granica państwa – Wrocław – Piotrków Trybunalski – Warszawa – Białystok – Białobrzeg – granica państwa;
- » droga krajowa nr 12 – granica państwa – Łęknica – Leszno – Kalisz – Piotrków Trybunalski – Radom – Lublin – Chełm – Dorohusk – granica państwa
- » droga krajowa nr 74: relacji S8 – Wieluń – Bełchatów – A1 – Piotrków Trybunalski – Kielce – Zamość – granica państwa;
- » droga krajowa nr 91 – Częstochowa – Radomsko – Piotrków Trybunalski – Głuchów;
- » droga wojewódzka nr 716 – Piotrków Trybunalski – Koluszki.

Piotrków posiada rozbudowany system obwodnic: oprócz istniejących obwodnic północno-zachodniej i wschodniej, planowana jest budowa obwodnicy śródmiejskiej, mającej być w przyszłości drogą alternatywną dla płatnej autostrady A1 oraz obwodnicy południowej. W mieście znajduje się także lotnisko sportowe z utwardzonym pasem startowym oraz odtworzone lądowisko śmigłowców.

Przez Piotrków przechodzi linia kolejowa nr 1: Warszawa – Piotrków Trybunalski – Częstochowa – Katowice oraz ma swój początek linia kolejowa nr 24 przez Bełchatów do stacji Biały Łęg.

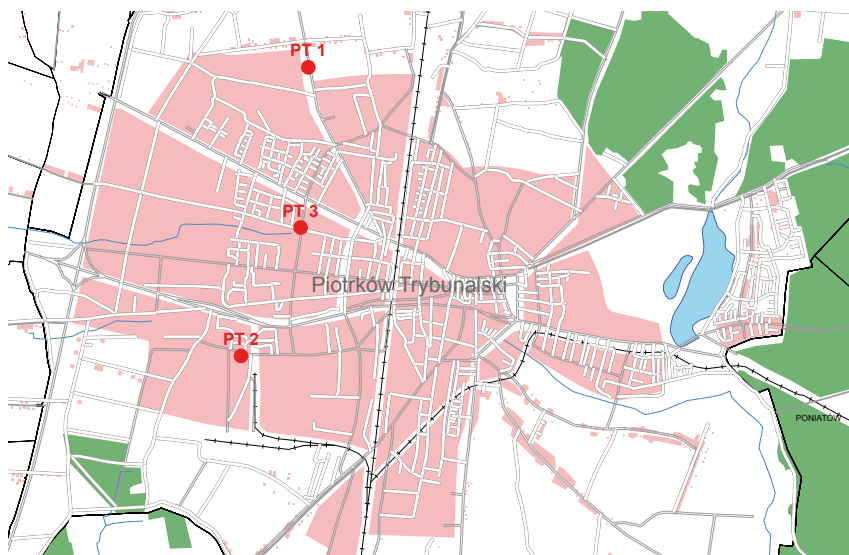
Z powodu tak rozbudowanej sieci dróg wokół Piotrkowa Trybunalskiego powstało wiele baz logistycznych. Kryzys gospodarczy spowodował zamknięcie lub znaczne ograniczenie produkcji w wielu dużych zakładach branży szklarskiej (huty „Kara”, „Hortensja” i „Feniks”) i maszynowej („Pioma”) ale na ich miejsce powstało wiele mniejszych w nowych gałęziach, jak np. papierniczej („Emerson”, największy w Polsce producent papieru komputerowego).

Na terenie miasta Piotrkowa Trybunalskiego zostały ulokowane trzy referencyjne punkty pomiarowe (mapa 4.1):

- punkt pomiarowy PT 1, dla którego wyznaczono wskaźnik długookresowy L_{DWN} – ul. Łódzka, leżąca w północnej części Piotrkowa Trybunalskiego; zarządcą drogi jest Zarząd Dróg i Utrzymania Miasta w Piotrkowie Trybunalskim. Ulica Łódzka jest łącznikiem pomiędzy drogą ekspresową S8 i drogami krajowymi nr 12 i 91 a centrum miasta (część ruchu odbywa się tranzytem), stanowi także drogę zbiorczą dla mieszkańców północnej części miasta. Badaniami został objęty odcinek o długości 1,0 km pomiędzy ulicami Kasztelańską na północy i Brzeźnicką na południu. Wzdłuż ulicy znajduje się luźna mieszkaniowo-usługowa oraz tereny ogródków działkowych (po stronie zachodniej). Punkt pomiarowy umieszczono w odległości 10 m od wschodniej krawędzi jezdni ulicy Łódzkiej na działce numer 67A, należącej do autoryzowanego koncesjonera Peugeot.

- punkt pomiarowy PT 2 – ul. Romana Dmowskiego znajdująca się w południowo-zachodniej części miasta. Ulica ta znajduje się w gestii Zarządu Dróg i Utrzymania Miasta w Piotrkowie Trybunalskim. Pomiarami objęty został odcinek długości 0,95 kilometra od alei Concordii do ulicy Kostromskiej leżący w kierunku wschód-zachód. Ulica łączy autostradę A1 z terenem magazynowo-przemysłowym przy ulicach Dmowskiego i Żelaznej oraz przy bocznicy kolejowej PKP oraz zbiera ruch lokalny z osiedla zabudowy wielorodzinnej. Wzdłuż ulicy, głównie w części zachodniej, znajduje się luźna zabudowa mieszkaniowa wielorodzinna, na pozostałym obszarze przeważa zabudowa przemysłowa. Punkt pomiarowy usytuowano w odległości 10 m od południowej krawędzi jezdni ulicy R. Dmowskiego pod numerem 44 na terenie hurtowni Libra.

- punkt pomiarowy PT 3 – ul. Kostromska, pozostająca w gestii Zarządu Dróg i Utrzymania Miasta w Piotrkowie Trybunalskim. Ulica spełnia rolę drogi zbiorczej w tej części miasta; odcinek objęty pomiarami to fragment o długości 0,8 km od ulicy Wojska Polskiego do ulicy Słowackiego. Wzdłuż drogi przeważa luźna zabudowa jednorodzinna i zabudowa wielorodzinna. Punkt pomiarowy znajdował się w odległości 10 m od wschodniej krawędzi jezdni ulicy Kostromskiej pod numerem 43.



Mapa 4.1 Lokalizacja punktów pomiaru hałasu w Piotrkowie Trybunalskim

W tabeli 4.1 zebrane zostały wyniki pomiarów i obliczeń dobowych, służących do określenia wskaźnika długookresowego w punkcie pomiarowym PT 1. Dane z pozostałych punktów pomiarowych, w których przeprowadzono pomiary jednodobowe na obszarze miasta Piotrkowa Trybunalskiego, umieszczone zostały w tabeli 4.2.

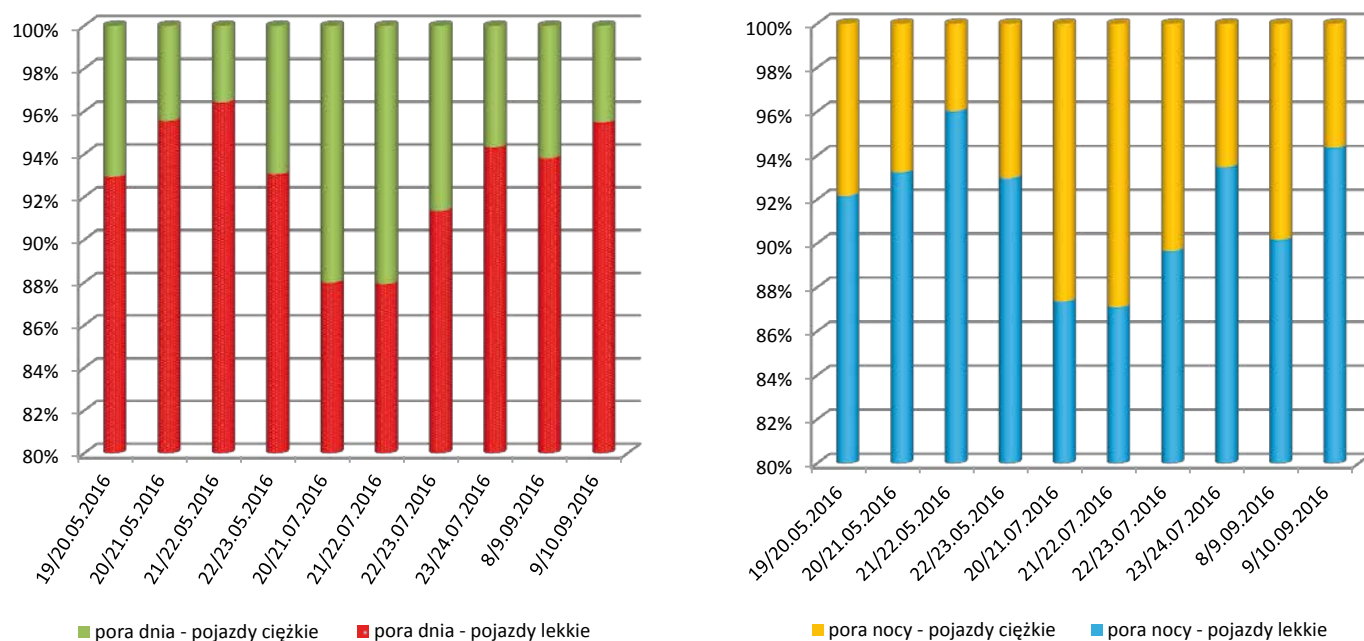
Dobowe zmiany równoważnego poziomu hałasu w przekroju rocznym znajdują się na rysunku 4.1.

Tabela 4.1 Wyniki pomiarów hałasu oraz natężenia ruchu w Piotrkowie Trybunalskim przy ulicy Łódzkiej

| L.p. | Data pomiaru | Zmierzone poziomy hałas | | Pora doby | Natężenie ruchu | | |
|------|---------------|-------------------------|-------------------|-----------|-----------------|---------|-------|
| | | L _{AeqD16} | L _{AeqN} | | lekkie | ciężkie | razem |
| | | [dB] | | | [poj./T] | | |
| 1 | 19/20.05.2016 | 68,9 | 63,5 | dzień | 11893 | 901 | 12794 |
| | | | | noc | 1131 | 96 | 1227 |
| 2 | 20/21.05.2016 | 67,9 | 62,5 | dzień | 9828 | 456 | 10284 |
| | | | | noc | 1158 | 84 | 1242 |
| 3 | 21/22.05.2016 | 67,2 | 63 | dzień | 8144 | 301 | 8445 |
| | | | | noc | 871 | 36 | 907 |
| 4 | 22/23.05.2016 | 68,3 | 64 | dzień | 11222 | 836 | 12058 |
| | | | | noc | 952 | 72 | 1024 |
| 5 | 20/21.07.2016 | 68,2 | 65,1 | dzień | 10184 | 1389 | 11573 |
| | | | | noc | 990 | 143 | 1133 |
| 6 | 21/22.07.2016 | 68,2 | 65,1 | dzień | 10501 | 1440 | 11941 |
| | | | | noc | 1068 | 158 | 1226 |
| 7 | 22/23.07.2016 | 68,3 | 67 | dzień | 8637 | 817 | 9454 |
| | | | | noc | 1172 | 135 | 1307 |
| 8 | 23/24.07.2016 | 65,8 | 63,6 | dzień | 7086 | 426 | 7512 |
| | | | | noc | 1047 | 73 | 1120 |
| 9 | 8/9.09.2016 | 68,8 | 65 | dzień | 11685 | 771 | 12456 |
| | | | | noc | 917 | 100 | 1017 |
| 10 | 9/10.09.2016 | 68,2 | 63,7 | dzień | 9378 | 444 | 9822 |
| | | | | noc | 1020 | 61 | 1081 |
| 11 | 10/11.09.2016 | 67 | 62,7 | dzień | 7102 | 264 | 7366 |
| | | | | noc | 979 | 39 | 1018 |
| 12 | 12/13.09.2016 | 68,4 | 71 | dzień | 6096 | 385 | 6481 |
| | | | | noc | 5407 | 98 | 5505 |



Rys. 4.1 Zmiany równoważnego poziomu hałasu w Piotrkowie Trybunalskim przy ulicy Łódzkiej



Rys. 4.2 Udział samochodów lekkich i ciężkich w strumieniu pojazdów przy ulicy Łódzkiej w Piotrkowie Trybunalskim w porze dnia i porze nocy

Na podstawie danych z tabeli 4.1 można stwierdzić, że wartości dopuszczalne poziomu równoważnego są przekroczone w każdej dobie pomiarowej – zarówno dla pory dnia jak i dla pory nocy. Maksymalne przekroczenie w porze dnia to 3,9 dB, w porze nocy – 15 dB.

Wartość wskaźnika długookresowego L_{DWN} wynosi 72,5 dB – wartość dopuszczalna wskaźnika długookresowego poziomu dźwięku w środowisku, wynosząca 68 dB, została przekroczona o 8,5 dB.

Tabela 4.2 Zmierzone poziomy hałasu oraz natężenia ruchu w punktach pomiaru jednodobowego w Piotrkowie Trybunalskim

| L.p. | Oznaczenie punktu | Lokalizacja punktu | Data pomiaru | Pora doby | L_{Aeq} | Natężenie ruchu | Udział poj. ciężkich |
|------|-------------------|----------------------|---------------|-----------|-----------|-----------------|----------------------|
| | | | | | [dB] | [poj/T] | [%] |
| 1 | PT 2 | ul. R. Dmowskiego 44 | 6/7.06.2016 | dzień | 64,6 | 5975 | 10,2 |
| | | | | noc | 58,2 | 440 | 11,6 |
| 2 | PT 3 | ul. Kostromska 43 | 25/26.08.2016 | dzień | 64,1 | 7228 | 5,8 |
| | | | | noc | 60,9 | 716 | 3,4 |

Porównując wyniki zawarte w powyższej tabeli z wartościami dopuszczalnymi możemy stwierdzić, że przy ulicy R. Dmowskiego mamy do czynienia z przekroczeniem poziomu dopuszczalnego dla pory nocy o 2,2 dB. W porze dnia nie ma przekroczeń poziomu dopuszczalnego.

Na terenach leżących wzdłuż ulicy Kostromskiej przekroczenia zostały zarejestrowane zarówno w porze dnia, jak i w porze nocy – dla pory dnia przekroczenie wyniosło 3,1 dB, dla pory nocy – 4,0 dB.

II. Warta

Warta leży w zachodniej części województwa łódzkiego, w powiecie sieradzkim nad rzeką Wartą. Miasto jest siedzibą gminy miejsko-wiejskiej i ma ok. 3400 mieszkańców. Warta jest ośrodkiem drobnego przemysłu i usług dla rolnictwa.

Przez Wartę przebiegają dwie główne drogi:

- » droga krajowa nr 83 relacji Turek – Warta – Sieradz,
- » droga krajowa nr 710 Łódź – Warta – Błaszki.

Na terenie Warty umieszczone zostało pięć punktów referencyjnych (mapa 4.2):

- punkt pomiarowy służący do określenia wskaźnika długookresowego (W 1) – ul. 3 Maja; objęty pomiarami fragment jest częścią drogi krajowej nr 83 i pozostaje w gestii Generalnej Dyrekcji Dróg Krajowych i Autostrad w Łodzi. Wzdłuż ulicy znajduje się luźna zabudowa jednorodzinna oraz Zespół Szkół Ponadgimnazjalnych (po stronie zachodniej). Pomiarami objęty został odcinek o długości 0,35 kilometra, leżący pomiędzy drogą wojewódzką nr 710 a ulicą 3 Pułku Strzelców Kaniowskich. Punkt pomiarowy usytuowany był w odległości 10 metrów od zachodniej krawędzi ulicy 3 Maja na posesji nr 29, na terenie należącym do Zespołu Szkół Ponadgimnazjalnych;
- punkt pomiarowy (W 2) – ul. Sieradzka, stanowiąca kolejny fragment drogi krajowej nr 83 i pozostająca w gestii Generalnej Dyrekcji Dróg Krajowych i Autostrad w Łodzi. Wzdłuż ulicy znajdują się zabudowa mieszkaniowa wielorodzinna oraz zabudowa jednorodzinna mieszkaniowo-usługowa po stronie zachodniej oraz zabudowa mieszkaniowa wielorodzinna i Wojewódzki Szpital Psychiatryczny po stronie wschodniej. Pomiarami objęty został odcinek o długości 0,55 kilometra od ulicy Jagiellońskiej do południowej granicy miasta. Punkt pomiarowy usytuowany był w odległości 10 metrów od zachodniej krawędzi ulicy Sieradzkiej na posesji nr 6;
- punkt pomiarowy (W 3) – ul. Cielecka, która w badanym odcinku jest drogą powiatową i pozostaje w zarządzie Powiatowego Zarządu Dróg w Sieradzu. Po obu stronach ulicy znajduje się zabudowa mieszkaniowa jednorodzinna z usługami. Badany odcinek wynosił 0,4 kilometra i znajdował się między ulicami Zachodnią i Racławicką. Punkt pomiarowy umieszczono na terenie posesji Cielecka 26 w odległości 10 m od północnej krawędzi jezdni;
- punkt pomiarowy (W 4) – ul. Kaliska, będąca fragmentem drogi powiatowej, którą zarządza Powiatowy Zarząd Dróg w Sieradzu. Pomiarami objęty był odcinek o długości 0,4 km, znajdujący się pomiędzy ulicami Zachodnią i Długą. Na badanym odcinku po obu stronach ulicy znajduje się zabudowa mieszkaniowo-usługowa. Punkt pomiarowy umieszczono na posesji Kaliska 10 w odległości 10 metrów od północnej krawędzi jezdni;
- punkt pomiarowy (W 5) – ulica Jagiellońska, stanowiąca na terenie Warty fragment drogi wojewódzkiej nr 710, zarządzanej przez Zarząd Dróg Wojewódzkich w Łodzi. Po stronie północnej przeważa zabudowa mieszkaniowo-usługowa, po południowej znajduje się głównie zabudowa mieszkaniowa jednorodzinna. Odcinek ulicy Jagiellońskiej poddany badaniom leży pomiędzy ulicami Sieradzką i Świętojańską i ma 0,08 kilometra. Punkt pomiarowy znajdował się po północnej stronie ulicy w odległości 10 m od krawędzi jezdni ulicy Jagiellońskiej na działce o numerze ewidencyjnym 284.

W tabeli 4.3 znajdują się wyniki pomiarów i obliczeń, które posłużyły do określenia wskaźnika długookresowego w punkcie pomiarowym W 1. Dane z pozostałych punktów pomiarowych, w których przeprowadzono pomiary jednodobowe na terenie miasta Warta, zebrano w tabeli 4.4.

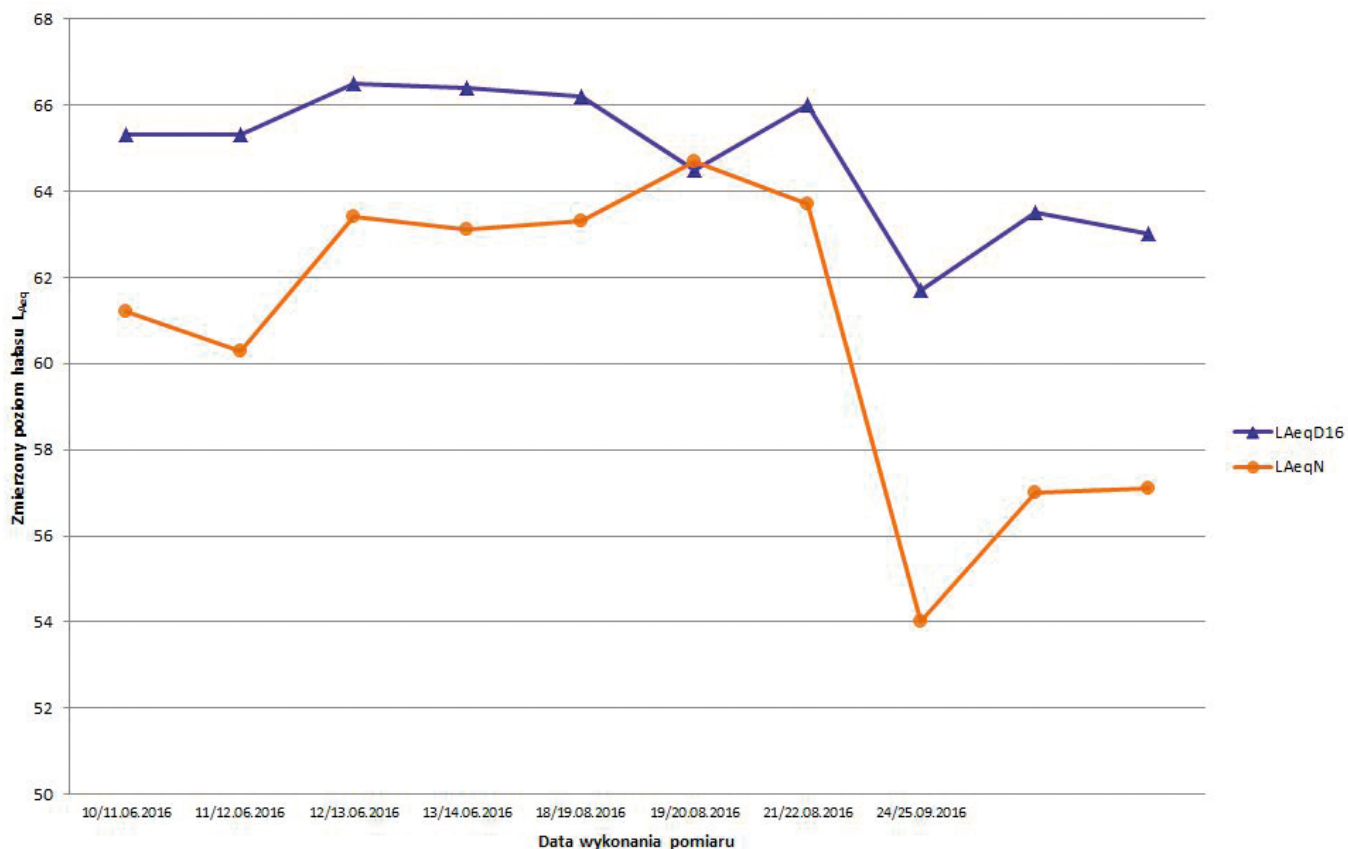
Dobowe zmiany równoważnego poziomu hałasu w przekroju rocznym pokazane zostały na rysunku 4.3.



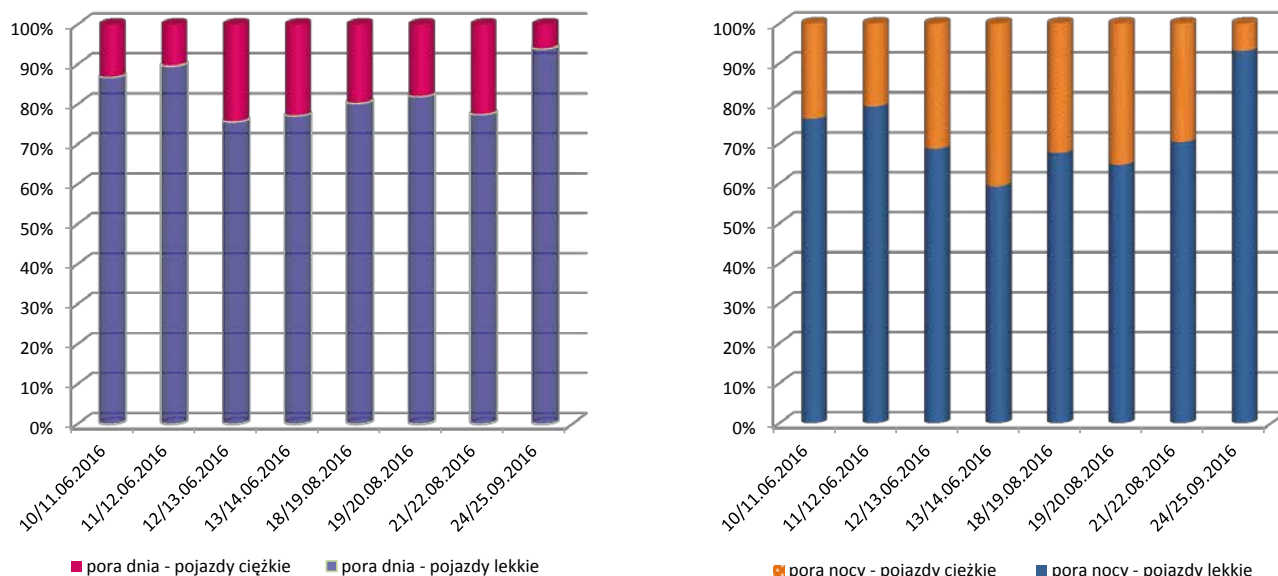
Mapa 4.2 Lokalizacja punktów pomiaru hałasu w Warcie

Tabela 4.3 Wyniki pomiarów hałasu oraz natężenia ruchu w punkcie W 1 w Warcie, ul. 3 Maja

| L.p. | Data pomiaru | Zmierzone poziomy hałas | | Pora doby | Natężenie ruchu | | |
|------|---------------|-------------------------|-------------------|-----------|-----------------|---------|-------|
| | | L _{AeqD16} | L _{AeqN} | | lekkie | ciężkie | razem |
| | | [dB] | | | [poj./T] | | |
| 1 | 10/11.06.2016 | 65,3 | 61,2 | dzień | 4623 | 710 | 5333 |
| | | | | noc | 491 | 154 | 645 |
| 2 | 11/12.06.2016 | 65,3 | 60,3 | dzień | 4153 | 485 | 4638 |
| | | | | noc | 497 | 130 | 627 |
| 3 | 12/13.06.2016 | 66,5 | 63,4 | dzień | 4790 | 1550 | 6340 |
| | | | | noc | 557 | 255 | 812 |
| 4 | 13/14.06.2016 | 66,4 | 63,1 | dzień | 4864 | 1454 | 6318 |
| | | | | noc | 412 | 283 | 695 |
| 5 | 18/19.08.2016 | 66,2 | 63,3 | dzień | 5833 | 1441 | 7274 |
| | | | | noc | 525 | 251 | 776 |
| 6 | 19/20.08.2016 | 64,5 | 64,7 | dzień | 7812 | 1732 | 9544 |
| | | | | noc | 752 | 411 | 1163 |
| 7 | 21/22.08.2016 | 66 | 63,7 | dzień | 7537 | 2206 | 9743 |
| | | | | noc | 684 | 288 | 972 |
| 8 | 24/25.09.2016 | 61,7 | 54 | dzień | 3727 | 245 | 3972 |
| | | | | noc | 340 | 25 | 365 |
| 9 | 26/27.09.2016 | 63,5 | 57 | dzień | 4101 | 728 | 4829 |
| | | | | noc | 346 | 134 | 480 |
| 10 | 27/28.09.2016 | 63 | 57,1 | dzień | 3917 | 653 | 4570 |
| | | | | noc | 315 | 128 | 443 |



Rysunek 4.3 Zmiany równoważnego poziomu hałasu w Warszawie przy ulicy 3-go Maja



Rysunek 4.4 Udział samochodów lekkich i ciężkich w strumieniu pojazdów w Warszawie przy ulicy 3-go Maja w porze dnia i porze nocy

Analizując dane, na podstawie których wyliczona zostanie wartość wskaźnika L_{DWN} , możemy stwierdzić, że na ulicy 3-go Maja w Warszawie liczba pojedynczych pomiarów dobowych z przekroczeniami dopuszczalnych wartości poziomu równoważnego jest zależna od pory doby. W porze dnia przekroczenia zostały zarejestrowane w połowie dób pomiarowych, maksymalna wartość przekroczenia wyniosła 1,5 dB. Dla pory nocy z przekroczeniami mamy do czynienia prawie we wszystkich dobach, kiedy przeprowadzane były pomiary; przekroczenie maksymalne wynosiło 8,7 dB.

Na podstawie wykresów (rysunek 4.4) można stwierdzić, że duży udział pojazdów ciężkich zarówno w porze dnia (średnio powyżej 15%), jak i w porze nocy (powyżej 20%) może mieć istotny wpływ na rejestrowane wartości poziomu dźwięku.

Obliczona wartość wskaźnika długookresowego L_{DWN} wynosi 69,1 dB, więc dopuszczalna wartość długookresowego poziomu dźwięku w środowisku została przekroczona o 5,1 dB.

Tabela 4.4 Zmierzone poziomy hałas oraz natężenie ruchu w punktach pomiaru jednodobowego w Warcie

| L.p. | Oznaczenie punktu | Lokalizacja punktu | Data pomiaru | Pora doby | L _{Aeq} | Natężenie ruchu | Udział poj. ciężkich |
|------|-------------------|--------------------|---------------|-----------|------------------|-----------------|----------------------|
| | | | | | [dB] | [poj/T] | [%] |
| 1 | W 2 | ul. Sieradzka 6 | 14/15.09.2016 | dzień | 63,1 | 8325 | 11 |
| | | | | noc | 57,7 | 658 | 28 |
| 2 | W 3 | ul. Cielecka 26 | 11/12.05.2016 | dzień | 59,4 | 1479 | 24 |
| | | | | noc | 50 | 130 | 10 |
| 3 | W 4 | ul. Kaliska 10 | 20/21.09.2016 | dzień | 57,8 | 1424 | 15 |
| | | | | noc | 57,7 | 63 | 21 |
| 4 | W 5 | ul. Jagiellońska | 23/24.05.2016 | dzień | 67,1 | 2680 | 15 |
| | | | | noc | 51,6 | 201 | 13 |

Porównując wyniki z tabeli 4.4 z wartościami dopuszczalnymi widzimy, że w Warcie przy badanych ulicach nie zmierzono przekroczeń poziomu dopuszczalnego dla pory dnia. Dla pory nocy przekroczenie poziomu dopuszczalnego zostało zarejestrowane w dwóch punktach pomiarowych: przy ul. Sieradzkiej – 1,7 dB i ul. Kaliskiej – 1,7 dB.

III. Pajęczno

Pajęczno – miasto w województwie łódzkim w powiecie pajęczańskim na północnym skraju Wyżyny Krakowsko-Częstochowskiej, w zakolu Warty. Przez miasto przechodzi droga krajowa 42 (Kluczbork–Radomsko), w pobliżu znajduje się magistrala węglowa Śląsk–Porty (linia kolejowa nr 131 i stacja węzłowa Chorzew Siemkowice z odgałęzieniem linii 146).

Na obszarze Pajęczna i w najbliższej okolicy umieszczonych zostało pięć punktów pomiaru hałasu drogowego oraz dwa punkty pomiaru hałasu kolejowego (mapa 4.3):

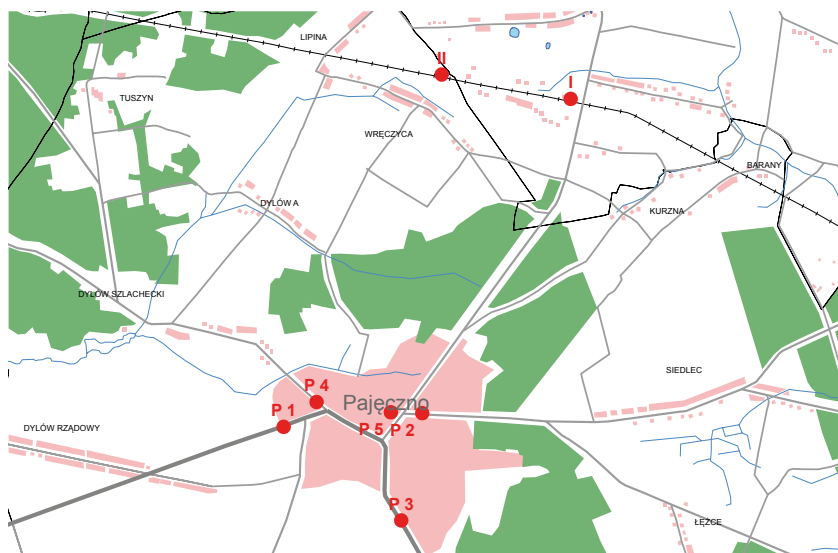
- punkt pomiarowy, służący do określenia wskaźnika długookresowego (P 1) umieszczony został przy ulicy Wieluńskiej, która na terenie miasta jest fragmentem drogi krajowej nr 42, a jej zarządcą jest Generalna Dyrekcja Dróg Krajowych i Autostrad w Łodzi. Pomiary objęły odcinek ulicy o długości 0,52 kilometra pomiędzy ulicami Ogrodową i Kościuszki. Wzdłuż ulicy dominuje zabudowa mieszkaniowa z usługami. Punkt pomiarowy umieszczono w odległości 10 metrów od krawędzi jezdni na posesji numer 19;
- punkt pomiarowy (P 2) – ul. Cmentarna, będąca na terenie miasta fragmentem drogi powiatowej i pozostająca w gestii Powiatowego Zarządu Dróg w Pajęcznie z siedzibą w Działoszynie. Wzdłuż ulicy na badanym odcinku znajduje się zabudowa mieszkaniowo-usługowa. Pomiary były przeprowadzone na odcinku o długości 0,68 kilometra od ulicy 1 Maja do ulicy Leśnej. Punkt pomiarowy znajdował się 10 metrów od północnej krawędzi jezdni na posesji numer 3;
- punkt pomiarowy (P 3) – ul. Częstochowska, która na terenie miasta stanowi fragment drogi krajowej nr 42, pozostający pod zarządem Generalnej Dyrekcji Dróg Krajowych i Autostrad w Łodzi. Wzdłuż obserwowanego odcinka znajduje się zabudowa mieszkaniowo-usługowa. Pomiarami objęty został fragment od ul. Ściegiennego do Zachodniej o długości 0,64 kilometra. Punkt pomiarowy zlokalizowano na posesji numer 68 w odległości 10 metrów od krawędzi jezdni;
- punkt pomiarowy (P 4) – ul. Henryka Sienkiewicza, która na terenie miasta jest fragmentem drogi powiatowej i pozostaje w zarządzie Powiatowego Zarządu Dróg w Pajęcznie z siedzibą w Działoszynie. Na badanym odcinku po stronie punktu pomiarowego znajduje się budynek Gimnazjum Publicznego i zabudowa wielorodzinna, po stronie przeciwnej – Liceum Ogólnokształcące oraz zabudowa mieszkaniowo-usługowa. Pomiarami objęty został odcinek o długości 0,45 kilometra pomiędzy ulicami Moniuszki i Wieluńską. Punkt pomiarowy umieszczony był na terenie posesji 7/17 po południowej stronie jezdni w odległości 10 metrów od jej krawędzi;
- punkt pomiarowy (P 5) – ul. Wiśniowa, będąca drogą gminną zarządzaną przez Urząd Gminy w Pajęcznie. Po północnej stronie ulicy znajdują się budynek Szkoły Podstawowej nr 1, zabudowa wielorodzinna oraz zabudowa mieszkaniowo-usługowa. Po stronie północnej budynki wielorodzinne oraz mieszkaniowo-usługowe. Badany odcinek leży pomiędzy ulicami 22 Lipca i 1 Maja i ma długość 0,5 kilometra. Punkt pomiarowy znajdował się na posesji Wiśniowa 7 w odległości 10 metrów od krawędzi jezdni.

Punkty pomiaru hałasu kolejowego:

- I – linia kolejowa nr 146 Częstochowa Wyczerpy – Chorzew Siemkowice, której zarządcą jest PKP Polskie Linie Kolejowe S.A. w Warszawie. Pomiarami objęty został odcinek linii jednotorowej o długości 1250 metrów na nasypie o wysokości 0,5 m n.p.t. Na badanym odcinku znajduje się fragment torów z rozjazdem (tzw. mijanka). Po stronie punktu pomiarowego wzdłuż badanego odcinka linii znajduje się zabudowa mieszkaniowo-usługowa, po stronie przeciwnej – zabudowa zagrodowa. Punkt pomiarowy zlokalizowany był na posesji Biała Pajęczańska 4 w odległości 25 metrów od skraju torowiska.

• II – linia kolejowa nr 146 Częstochowa Wyczerpy – Chorzew Siemkowice, zarządcą linii jest PKP Polskie Linie Kolejowe S.A. w Warszawie. Pomiarami objęty został odcinek linii jednotorowej o długości 990 metrów na nasypie o wysokości 0,5 m n.p.t. Badany odcinek jest prosty, bez rozjazdów. Wzdłuż linii po obu stronach są tereny z luźną zabudową zagrodową. Punkt pomiarowy umieszczono na posesji Wręczyca 64 w odległości 25 metrów od skraju torowiska.

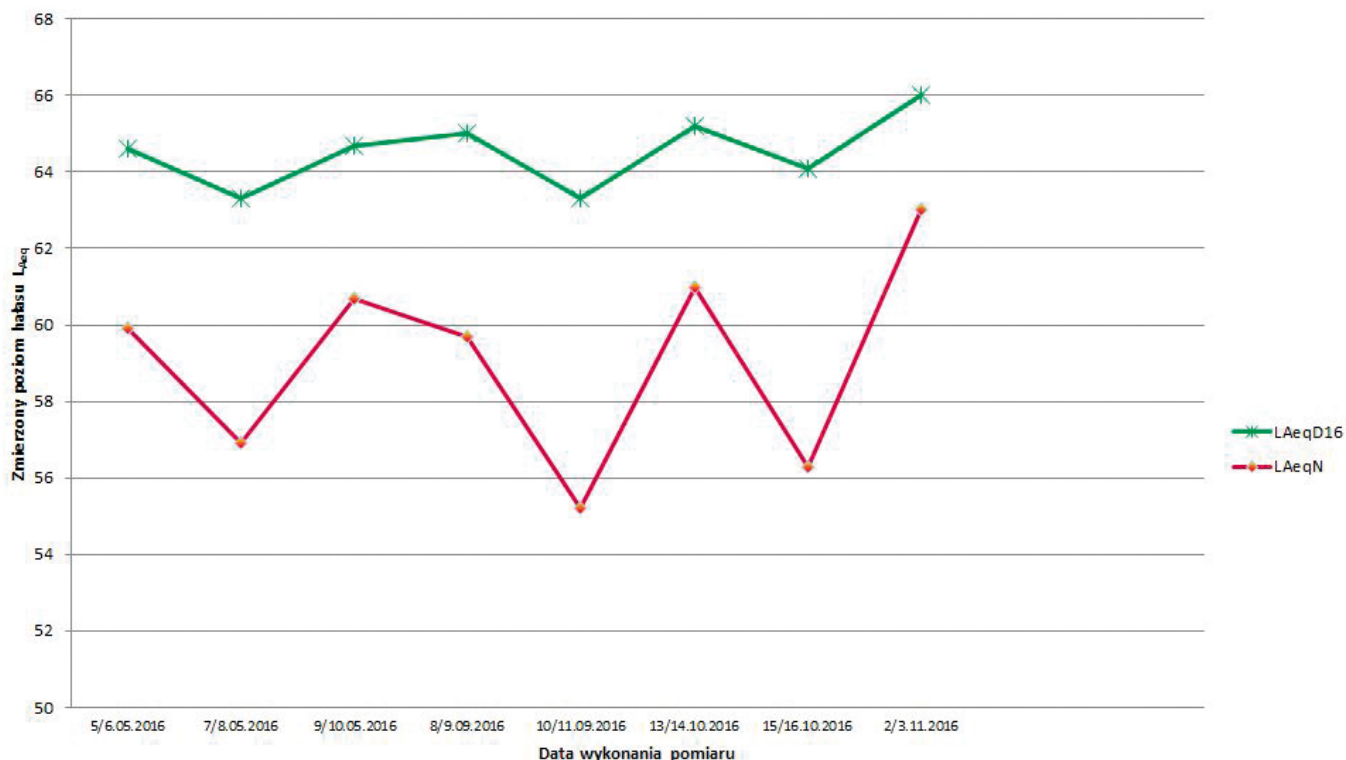
W tabeli 4.5 zebrane zostały wyniki pomiarów, wykonanych w punkcie P 1, dla którego wyznaczony został wskaźnik długookresowy. Wyniki z pozostałych punktów na terenie Pajęczna zgromadzone zostały w tabeli 4.6, a wyniki hałasu kolejowego – w tabeli 4.7 Zmiany równoważnego poziomu hałasu w ciągu doby w przekroju rocznym pokazano na rysunku 4.5.



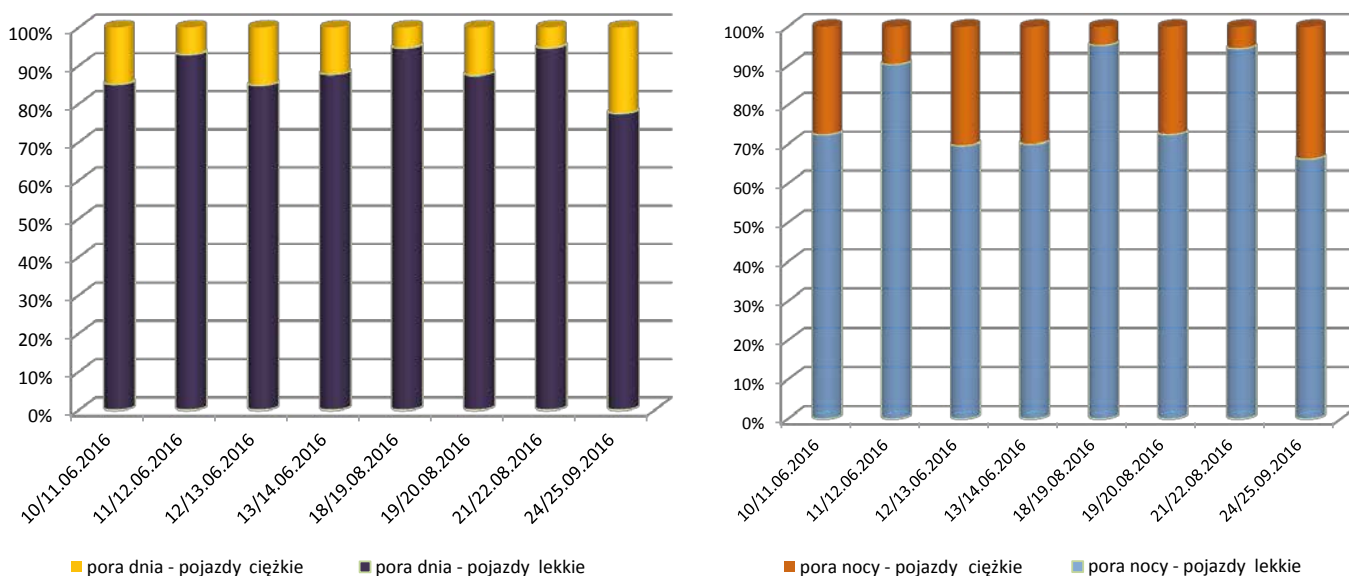
Mapa 4.3 Lokalizacja punktów pomiaru hałasu w Pajęcznie

Tabela 4.5 Wyniki pomiarów hałasu oraz natężenia ruchu w punkcie przy ulicy Wieluńskiej w Pajęcznie:

| L.p. | Data pomiaru | Zmierzone poziomy hałas | | | Pora | Natężenie ruchu | | |
|------|---------------|-------------------------|-------------------|-------------------|-------|-----------------|---------|-------|
| | | L _{AeqD16} | L _{AeqW} | L _{AeqN} | doby | lekkie | ciężkie | razem |
| | | [dB] | | | | [poj./T] | | |
| 1 | 5/6.05.2016 | 64,6 | 63,7 | 59,9 | dzień | 6049 | 1060 | 7109 |
| | | | | | noc | 416 | 159 | 575 |
| 2 | 7/8.05.2016 | 63,3 | 63,7 | 56,9 | dzień | 3579 | 273 | 3852 |
| | | | | | noc | 549 | 59 | 608 |
| 3 | 9/10.05.2016 | 64,7 | 63,6 | 60,7 | dzień | 5590 | 1000 | 6590 |
| | | | | | noc | 435 | 190 | 625 |
| 4 | 8/9.09.2016 | 65,0 | 63,4 | 59,7 | dzień | 6765 | 949 | 7714 |
| | | | | | noc | 438 | 188 | 626 |
| 5 | 10/11.09.2016 | 63,3 | 63,0 | 55,2 | dzień | 4418 | 252 | 4670 |
| | | | | | noc | 526 | 27 | 553 |
| 6 | 13/14.10.2016 | 65,2 | 63,5 | 61,0 | dzień | 6341 | 909 | 7250 |
| | | | | | noc | 430 | 164 | 594 |
| 7 | 15/16.10.2016 | 64,1 | 63,9 | 56,3 | dzień | 3598 | 205 | 3803 |
| | | | | | noc | 442 | 27 | 469 |
| 8 | 2/3.11.2016 | 66,0 | 62,8 | 63,0 | dzień | 5285 | 1532 | 6817 |
| | | | | | noc | 336 | 172 | 508 |



Rys. 4.5 Zmiany równoważnego poziomu hałasu w punkcie przy ulicy Wieluńskiej w Pajęcznie.



Rys. 4.6 Udział liczby samochodów lekkich i ciężkich w strumieniu pojazdów w punkcie przy ulicy Wieluńskiej w Pajęcznie w porze dnia i porze nocy

Analizując wyniki z tabeli 4.5 widzimy, że przekroczenia poziomów dopuszczalnych podczas jednodobowych pomiarów w porze dnia zarejestrowane zostały tylko dla dwu dób pomiarowych i maksymalne przekroczenie wyniosło 1,0 dB. Dla pory nocy przekroczenia zarejestrowano w 7 z 8 dób pomiarowych – maksymalna wartość przekroczenia wyniosła 7,0 dB. Przekroczenie poziomu dopuszczalnego dla pory nocy może mieć związek ze znacznym udziałem pojazdów ciężkich w strumieniu pojazdów, wynoszącym nawet ponad 30%.

Obliczona wartość wskaźnika długookresowego L_{DWN} wynosi 67,7 dB. Dopuszczalna wartość długookresowego poziomu dźwięku w środowisku, wynosząca 68 dB nie została przekroczona.

Tabela 4.6 Zmierzone poziomy hałas oraz natężenia ruchu w punktach pomiaru jednodobowego w Pajęcznie

| L.p. | Oznaczenie punktu | Lokalizacja punktu | Data pomiaru | Pora doby | L _{Aeq} | Natężenie | Udział poj. |
|------|-------------------|-----------------------|-----------------|-----------|------------------|-----------|--------------|
| | | | | | [dB] | [poj/T] | ciężkich [%] |
| 1 | P 2 | ul. Cmentarna 3 | 25/26.07.2016 | dzień | 64,7 | 3675 | 16 |
| | | | | noc | 58,4 | 335 | 27 |
| 2 | P 3 | ul. Częstochowska 68 | 28/29.09.2016 | dzień | 64,3 | 4854 | 12 |
| | | | | noc | 57,9 | 413 | 20 |
| 3 | P 4 | ul. Sienkiewicza 7/17 | 31.08/1.09.2016 | dzień | 61,4 | 3688 | 8 |
| | | | | noc | 51,2 | 157 | 10 |
| 4 | P 5 | ul. Wiśniowa 7 | 6/7.09.2016 | dzień | 59,2 | 5334 | 8 |
| | | | | noc | 49,1 | 195 | 4 |

W punktach pomiarowych na terenie Pajęczna nie stwierdzono przekroczeń poziomu dopuszczalnego dla pory dnia. W porze nocy zarejestrowano przekroczenia we wszystkich punktach, poza punktem P 4 przy ulicy Sienkiewicza. Przekroczenia te wynoszą odpowiednio: ul. Cmentarna – 2,4 dB, ul. Częstochowska – 1,9 dB i ul. Wiśniowa – 3,2 dB.

Tabela 4.7 Zmierzone poziomy hałas oraz natężenie ruchu w punktach pomiaru hałasu kolejowego:

| L.p. | Oznaczenie punktu | Lokalizacja punktu | Data pomiaru | Pora doby | L _{Aeq} | Natężenie ruchu |
|------|-------------------|---------------------|---------------|-----------|------------------|-----------------|
| | | | | | [dB] | [poj/T] |
| 1 | I | Biała Pajęczańska 4 | 24/25.11.2016 | dzień | 61,8 | 14 |
| | | | | noc | 63,9 | 10 |
| 2 | II | Wręczyca 64 | 22/23.11.2016 | dzień | 61,8 | 17 |
| | | | | noc | 63,9 | 8 |

W punktach pomiaru hałasu kolejowego na obszarach wokół linii kolejowej nr 146 w miejscowościach Biała Pajęczańska i Wręczyca nie stwierdzono przekroczeń poziomu dopuszczalnego dla pory dnia. Dla pory nocy w obu punktach pomiarowych zarejestrowano przekroczenie wynoszące 7,9 dB.

Badania monitoringowe hałasu komunikacyjnego, przeprowadzone na terenie województwa łódzkiego w 2016 roku wykazały, że hałas pochodzący z ciągów komunikacyjnych w dalszym ciągu stanowi istotną uciążliwość i niedogodność dla mieszkańców terenów leżących w ich najbliższym otoczeniu.

Opracowanie: **Joanna Podlaska**



Fot. 5.1 Linie wysokiego napięcia, źródło: www.energoelektronika.pl

PRESJE – EMISJA PÓL ELEKTROMAGNETYCZNYCH DO ŚRODOWISKA

Wojewódzki Inspektorat Ochrony Środowiska w Łodzi, zgodnie z ustawą Prawo ochrony środowiska (tekst jednolity DzU 2017 r., poz. 1529 z późn. zmianami), dokonuje od 2005 r. w ramach Państwowego Monitoringu Środowiska oceny poziomów pól elektromagnetycznych w środowisku.

Na pojęcie pola elektromagnetycznego, zgodnie ze wspomnianą ustawą, składają się pola elektryczne, magnetyczne oraz elektromagnetyczne o częstotliwościach od 0 Hz do 300 GHz, które tworzą zakres promieniowania elektromagnetycznego niejonizującego. Zgodnie z obowiązującymi przepisami ochrona przed polami elektromagnetycznymi polega na zapewnieniu jak najlepszego stanu środowiska poprzez:

- utrzymanie poziomów pól elektromagnetycznych poniżej dopuszczalnych lub co najmniej na tych poziomach;
- zmniejszanie poziomów pól elektromagnetycznych co najmniej do dopuszczalnych, gdy nie są one dotrzymane.

Źródłami sztucznego promieniowania elektromagnetycznego w środowisku są przede wszystkim stacje bazowe GSM/UMTS/CDMA/LTE, nadajniki RTV, linie i stacje elektroenergetyczne. Źródłami promieniowania elektromagnetycznego są także urządzenia codziennego użytku, którymi jesteśmy otoczeni niemal przez cały dzień, tj. telewizory, monitory, mikrofalówki, telefony komórkowe oraz inne urządzenia wykorzystujące energię elektryczną. Często urządzenia te znacznie bardziej oddziałują na nasze zdrowie niż np. nadajniki GSM czy linie WN. Oprócz sztucznych źródeł promieniowania (z którymi związane jest pojęcie smogu elektromagnetycznego) występują również źródła naturalne, takie jak promieniowanie słoneczne i promieniowanie ziemskie. Nie stanowią one jednak dla nas zagrożenia.

W przypadku bardzo dużego natężenia promieniowania możliwym skutkiem mogą być oparzenia części ciała lub przyspieszenie procesów nowotworowych. Do takiego zjawiska dochodzić może w przypadku ewentualnych awarii sprzętu czy katastrof, a zatem prawdopodobieństwo jest niskie. Promieniowanie elektromagnetyczne prowadzi również do zmian reakcji immunologicznych. Zmiany takie są jednak widoczne przy długotrwałym oddziaływaniu promieniowania o dużym natężeniu.

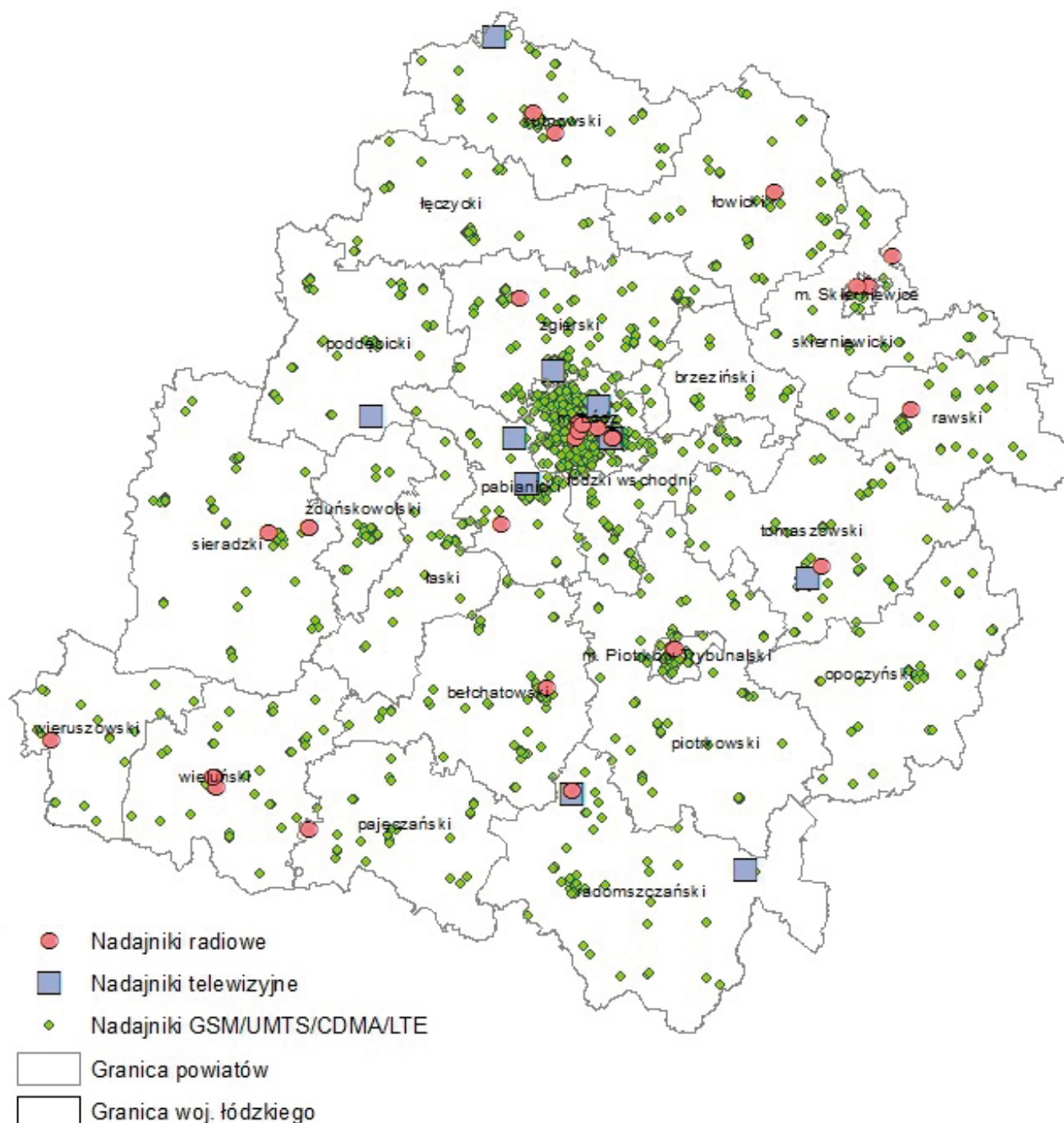
W połączeniu z czynnikami chemicznymi może powodować m.in.:

- zaburzenia funkcjonalne układu nerwowego,
- zmiany układu sercowo-naczyniowego,
- zmiany szpiku kostnego,
- zmiany w korze mózgowej.

W 2016 r. na obszarze woj. łódzkiego znajdowało się ponad 10000 stacji bazowych GSM/UMTS/CDMA/LTE (mapa 5.1). W rozbiu na poszczególne pasma częstotliwości było to odpowiednio: 51 stacji bazowych CDMA 420MHz, 41 stacji CDMA 450MHz, 2348 stacji GSM 900MHz, 1317 stacji GSM 1800MHz, 686 stacji LTE 800MHz, 1410 stacji LTE 1800MHz, 338 stacji LTE 2100MHz, 509 stacji LTE 2600MHz, 1435 stacji UMTS 900MHz, 14 stacji UMTS 1800MHz i 1892 stacji UMTS 2100MHz. Pomimo nasycenia rynku usługami telekomunikacyjnymi, liczba stacji bazowych z roku na rok rośnie. W 2015 roku było ponad 8000 tysięcy wszystkich stacji.

W przypadku nadajników radiowych oraz telewizyjnych ich liczba nie ulega większym zmianom od kilku lat. Na obszarze województwa łódzkiego umiejscowionych jest 50 nadajników radiowych i 33 telewizyjnych.

Rozmieszczenie stacji bazowych GSM/UMTS związane jest przeważnie z rozmieszczeniem ludności na danym terenie. Największe zagęszczenie nadajników występuje na terenie aglomeracji łódzkiej oraz w większych miastach województwa łódzkiego.



Mapa 5.1 Rozmieszczenie nadajników RTV i stacji bazowych GSM/UMTS/CDMA/LTE w woj. łódzkim w 2016 r.

STAN – MONITORING PROMIENIOWANIA ELEKTROMAGNETYCZNEGO

W ustawie z dnia 27 kwietnia 2001r. Prawo ochrony środowiska (tekst jednolity DzU 2017 r., poz. 1529 z późn. zmianami) określono zadania Wojewódzkiego Inspektoratu Ochrony Środowiska w zakresie monitoringu promieniowania elektromagnetycznego. Zgodnie z art. 123 powyższej ustawy oceny poziomów pól elektromagnetycznych w środowisku i obserwacji zmian dokonuje się w ramach państwowego monitoringu środowiska.

Wojewódzki inspektor ochrony środowiska prowadzi okresowe badania poziomów pól elektromagnetycznych w środowisku. Liczba stanowisk pomiarowych, rodzaj terenów na jakich prowadzi się pomiary oraz ich częstotliwość określona została w rozporządzeniu Ministra Środowiska z dnia 12 listopada 2007 r. w sprawie zakresu i sposobu prowadzenia okresowych badań poziomów pól elektromagnetycznych w środowisku (DzU nr 221, poz. 1645). We wspomnianym rozporządzeniu wyznaczono 3 podstawowe kategorie terenów, na których prowadzi się monitoring pól elektromagnetycznych:

1. centralne dzielnice lub osiedla miast o liczbie mieszkańców powyżej 50 tys.,
2. pozostałe miasta,
3. tereny wiejskie.

W każdej kategorii terenów wybrano 45 punktów pomiarowych. Łącznie na terenie województwa łódzkiego wyznaczono 135 punktów dla trzyletniego cyklu, po 45 punktów w każdym roku. Pomiary w każdym punkcie wykonywane są raz w roku.

Z punktu widzenia monitoringu środowiska najważniejszy jest zakres częstotliwości od 3 MHz do 300GHz. Dopuszczalne natężenie pola elektromagnetycznego dla danego zakresu wynosi $E=7$ V/m dla składowej elektrycznej i $S=0,1$ W/m² dla gęstości mocy.

Dopuszczalne poziomy pól promieniowania określone zostały w rozporządzeniu Ministra Środowiska z dnia 30 października 2003 r. w sprawie dopuszczalnych poziomów pól elektromagnetycznych w środowisku oraz sposobów sprawdzania dotrzymania tych poziomów (DzU nr 192, poz. 1883). Poniżej przedstawiono tabele 5.1 i 5.2 z wartościami dopuszczalnymi.

Tabela 5.1 Zakres częstotliwości pól elektromagnetycznych, dla których określa się parametry fizyczne charakteryzujące oddziaływanie pól elektromagnetycznych na środowisko na terenach przeznaczonych pod zabudowę mieszkaniową oraz dopuszczalne poziomy pól elektromagnetycznych, charakteryzowane przez dopuszczalne wartości parametrów fizycznych na terenach przeznaczonych pod zabudowę mieszkaniową.

| Parametr fizyczny | Zakres częstotliwości pola elektromagnetycznego | Składowa elektryczna | Składowa magnetyczna | Gęstość mocy |
|-------------------|---|----------------------|----------------------|--------------|
| | 1 | 2 | 3 | 4 |
| 1 | 50 Hz | 1 kV/m | 60 A/m | - |

Objaśnienia:

- a) 50 Hz – częstotliwość sieci elektroenergetycznej,
 b) podane w kolumnach 2 i 3 tabeli wartości graniczne parametrów fizycznych, charakteryzujących oddziaływanie pól elektromagnetycznych, odpowiadają wartościom skutecznym natężeń pól elektrycznych i magnetycznych.

Tabela 5.2 Zakres częstotliwości pól elektromagnetycznych, dla których określa się parametry fizyczne charakteryzujące oddziaływanie pól elektromagnetycznych na środowisko w miejscach dostępnych dla ludności oraz dopuszczalne poziomy pól elektromagnetycznych, charakteryzowane przez dopuszczalne wartości parametrów fizycznych w miejscach dostępnych dla ludności

| Parametr fizyczny | Zakres częstotliwości pola elektromagnetycznego | Składowa elektryczna | Składowa magnetyczna | Gęstość mocy |
|-------------------|---|----------------------|----------------------|----------------------|
| | 1 | 2 | 3 | 4 |
| 1 | 0 Hz | 10 kV/m | 2500 A/m | - |
| 2 | od 0 Hz do 0,5 Hz | - | 2500 A/m | - |
| 3 | od 0,5 Hz do 50 Hz | 10 kV/m | 60 A/m | - |
| 4 | od 0,05 kHz do 1 kHz | - | 3/f A/m | - |
| 5 | od 0,001 MHz do 3 MHz | 20 V/m | 3 A/m | - |
| 6 | od 3 MHz do 300 MHz | 7 V/m | - | - |
| 7 | od 300 MHz do 300 GHz | 7 V/m | - | 0,1 W/m ² |

Objaśnienia:

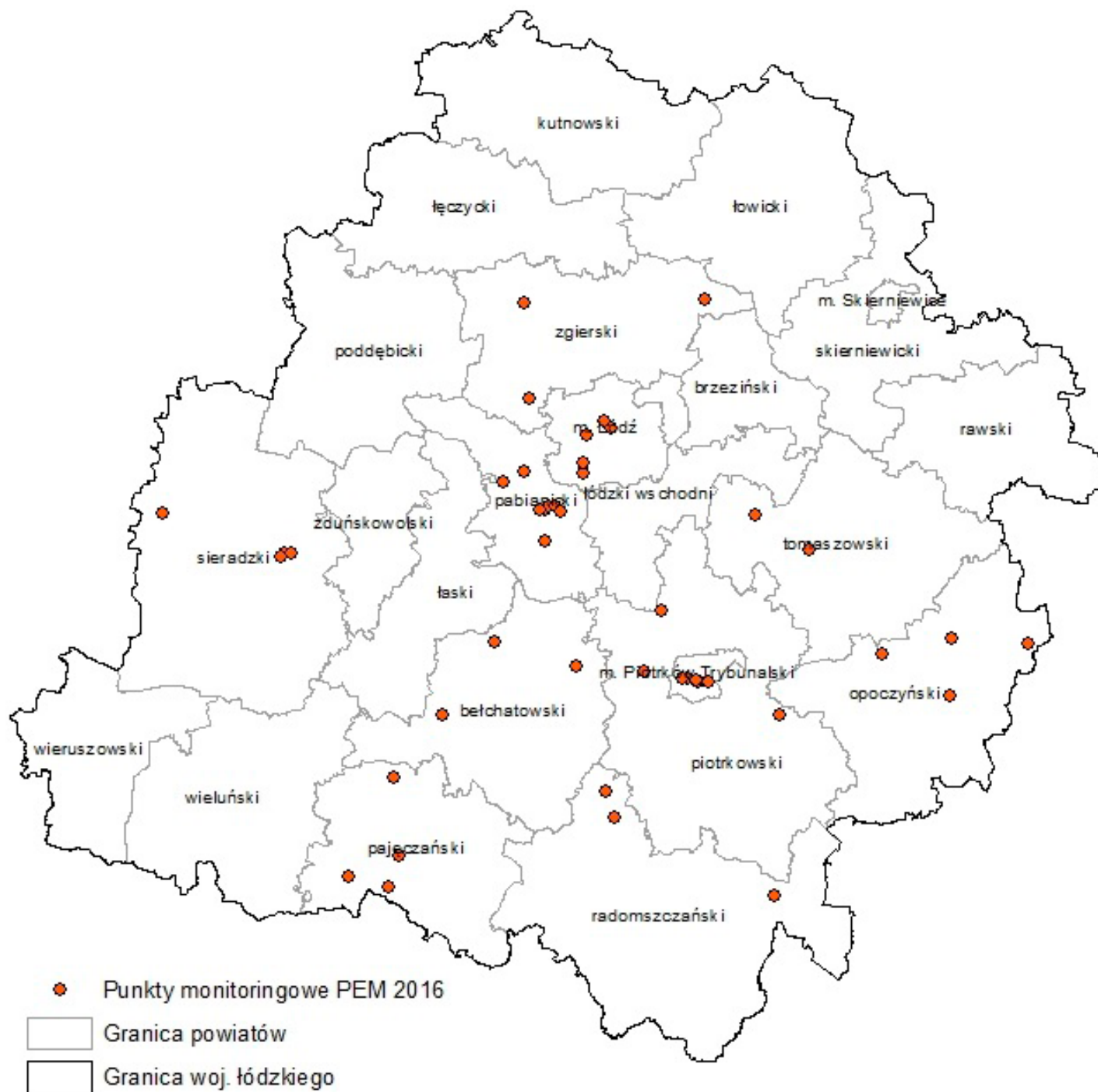
Podane w kolumnach 2 i 3 tabeli wartości graniczne parametrów fizycznych charakteryzujących oddziaływanie pól elektromagnetycznych odpowiadają:

- a) wartościom skutecznym natężeń pól elektrycznych i magnetycznych o częstotliwości do 3 MHz, podanym z dokładnością do jednego miejsca znaczącego,
 b) wartościom skutecznym natężeń pól elektrycznych o częstotliwości od 3 MHz do 300 MHz, podanym z dokładnością do jednego miejsca znaczącego,
 c) wartości średniej gęstości mocy dla pól elektromagnetycznych o częstotliwości od 300 MHz do 300 GHz lub wartościom skutecznym dla pól elektrycznych o częstotliwościach z tego zakresu częstotliwości, podanej z dokładnością do jednego miejsca znaczącego po przecinku,
 d) f – częstotliwość w jednostkach podanych w kolumnie 1,
 e) 50 Hz – częstotliwość sieci elektroenergetycznej.

Rok 2016 był ostatnim rokiem w 3-letniej serii pomiarowej 2014-2016. Wojewódzki Inspektorat Ochrony Środowiska w Łodzi przeprowadził pomiary natężenia promieniowania elektromagnetycznego w 45 punktach. Pomiary wykonywane były w tych samych miejscach, co w latach 2010 i 2013.

Punkty wyznaczone były na terenach:

- miast o liczbie mieszkańców powyżej 50 tys.: Łódź, Pabianice i Piotrków Tryb;
- miast o liczbie mieszkańców poniżej 50 tys.: Sieradz, Głowno, Błaszki, Aleksandrów Łódzki, Ozorków, Żelów, Działoszyn, Kamieńsk, Sulejów, Przedbórz, Pajęczno, Drzewica i Opoczno;
- wiejskich – Przesiadłów i Janków, pow. tomaszowski; Pawlikowice, Żytowice i Porszewice, pow. pabianicki; Korytno i Danielów, pow. radomszczański; Buczek i Bratków, pow. opoczyński; Gomulin Kolonia i Sierosław, pow. piotrkowski ziemski; Szczercowska Wieś i Bukowie Dolne, pow. bełchatowski; Głina Duża i Niwiska Górne, pow. pajęczański.



Mapa 5.2 Rozmieszczenie punktów pomiarowych PEM na terenie woj. łódzkiego w 2016 r.

Pomiary na terenach miejskich wykonywane były w centralnych częściach miast oraz na terenach o największej gęstości zaludnienia jak osiedla mieszkaniowe. Natomiast na terenach wiejskich w pobliżu zabudowań.

Pomiary przeprowadzono w ciepłej porze roku w miesiącach od kwietnia do listopada, zgodnie z wytycznymi określonymi w rozporządzeniu Ministra Środowiska z dn. 30 października 2003 r. w sprawie dopuszczalnych poziomów pól elektromagnetycznych w środowisku oraz sposobów sprawdzania dotrzymania tych poziomów (DzU nr 192, poz. 1883) przy temperaturze powietrza $\geq 0^{\circ}\text{C}$ oraz wilgotności względnej nie większej niż 75%.

Badania wykonano zestawem aparatury firmy NARDA Safety Test Solutions GmbH - miernik pola elektromagnetycznego NARDA NBM-550 o numerze fabrycznym B-0773 z sondą do pomiaru pola o częstotliwości radiowej EF-0391 o numerze fabrycznym A-0878, posiadającej świadectwo wzorcowania LWiMP/W/201/15 z 30 września 2015 r., wydane przez Laboratorium Wzorców i Metrologii Pola Elektromagnetycznego Politechniki Wrocławskiej. Niepewność rozszerzona [U] pomiarów składowej elektrycznej pola elektromagnetycznego wykonanych sondą EF 0391 wynosi $\pm 21,2\%$.

Głównym celem monitoringu PEM było określenie wartości natężenia promieniowania elektromagnetycznego w środowisku i ewentualne określenie obszarów, na których dochodzi do przekroczeń dopuszczalnych wartości natężenia PEM, zgodnie z art. 124 ustawy Prawo ochrony środowiska z 27 kwietnia 2001 r. (tekst jednolity DzU 2017 r., poz. 1529 z późn. zmianami).

WYNIKI POMIARÓW

W środowisku miast powyżej 50 tys. mieszkańców pomiary monitoringowe pola elektromagnetycznego w 2016 roku wykonane zostały w Łodzi, Pabianicach oraz Piotrkowie Trybunalskim. W każdym z miast wyznaczono 5 pionów pomiarowych. Dolna granica oznaczalności metody, wynosząca $0,3\text{ V/m}$ dla wartości średnich dwugodzinnych, przekroczona została w 8 z 15 pionów pomiarowych.

Maksymalna wartość chwilowa składowej elektrycznej pola elektromagnetycznego wyniosła $1,2\text{ V/m}$ i została zarejestrowana w Pabianicach w pionie pomiarowym przy skrzyżowaniu ul. Jana Pawła II i ul. Konopnickiej. Wielkość ta stanowi ok. 14% wartości dopuszczalnej. Policzona gęstość mocy pola elektromagnetycznego dla tej wielkości (odpowiadająca sytuacji, gdyby zmierzona maksymalna wartość występowała ciągle) wyniosła $0,0036\text{ W/m}^2$. Wielkość ta wynosi niecałe 4% wartości dopuszczalnej. W pozostałych 12 pionach pomiarowych, gdzie była możliwość policzenia wartości gęstości mocy pola, wyliczone wielkości zamykały się w przedziale od $0,0002\text{ W/m}^2$ do $0,003\text{ W/m}^2$. **Średnia wartość składowej elektrycznej z 15 punktów pomiarowych wyniosła $0,43\text{ V/m}$.**

W środowisku miast poniżej 50 tys. mieszkańców pomiary składowej elektrycznej pola elektromagnetycznego wykonane zostały w 13 miastach. Średnie wartości z 2 godzin pomiarów składowej elektrycznej przekroczyły dolną granicę oznaczalności metody w 6 pionach pomiarowych, tj. w Aleksandrowie Łódzkim, Pajęcznie, Żelowie, Działoszynie i Sieradzu (ul. Armii Krajowej / ul. Bohaterów Września i ul. Władysława Łokietka).

Najwyższa zmierzona chwilowa maksymalna składowa elektryczna pola elektromagnetycznego wysokiej częstotliwości zarejestrowana została w Aleksandrowie Łódzkim i wyniosła $E_{\text{max}} = 0,6\text{ V/m}$, ok. 8% wartości dopuszczalnej. Obliczona gęstość mocy wyniosła $0,001\text{ W/m}^2$, tj. 1% wartości dopuszczalnej. Gęstość mocy pola dla pozostałych ośmiu pionów pomiarowych wyniosła od $0,0002\text{ W/m}^2$ do $0,0007\text{ W/m}^2$. **Średnia wartość składowej elektrycznej z 15 punktów pomiarowych wyniosła $0,25\text{ V/m}$.**

Na terenach wiejskich tylko na trzech stanowiskach pomiarowych średnia wartość 2-godzinna natężenia pola przekroczyła poziom $0,3\text{ V/m}$, było to w Sierosławiu, Porszewicach oraz Szczercowskiej Wsi. Maksymalna zmierzona wartość wyniosła $0,4\text{ V/m}$, co wynosi 6,3% wartości dopuszczalnej. Natomiast w Szczercowskiej Wsi gęstość mocy pola obliczona dla maksymalnej chwilowej wartości składowej elektrycznej wyniosła $0,0007\text{ W/m}^2$. Wielkość ta stanowi poniżej 1% wartości dopuszczalnej.

Gęstość mocy została obliczona jeszcze w 4 punktach pomiarowych. Wartości te były jednak niższe niż w Szczercowskiej Wsi. W pozostałych punktach gęstość mocy pola nie przekroczyła dolnej granicy oznaczalności wynoszącej $0,0002\text{ W/m}^2$. **Średnia wartość składowej elektrycznej z 15 punktów pomiarowych wyniosła $0,19\text{ V/m}$.**

Poniżej przedstawiono tabele nr 5.3 - 5.5 z wynikami pomiarów PEM przeprowadzonych w badanym roku.

Tabela 5.3 Wyniki pomiarów poziomów pola elektromagnetycznego na terenie woj. łódzkiego w 2016 r. na terenach miast o liczbie mieszkańców przekraczającej 50 tysięcy

| Lp. | Miejscowość | Ulica | Data | Współrzędne geograficzne | | E_{sr} [V/m] | E_{max} [V/m] | S [W/m ²] |
|-----|-------------------------|---|------------|--------------------------|-------------|-----------------------|------------------------|-------------------------|
| 1 | Pabianice | Stary Rynek | 5.04.2016 | 51°39'47,9" | 19°21'45,9" | < 0,3 | 0,3 | 0,0002 |
| 2 | Łódź | ul. Sporna /ul. Wojska Polskiego | 12.04.2016 | 51°47'19,5" | 19°28'46,6" | 0,5 | 0,6 | 0,0010 |
| 3 | Łódź | plac Generała Hallera | 14.04.2016 | 51°46'01,6" | 19°26'18,6" | 0,9 | 0,9 | 0,0023 |
| 4 | Pabianice | ul. Grota-Roweckiego /ul. Nawrockiego | 28.04.2016 | 51°39'21,0" | 19°22'32,5" | 0,3 | 0,4 | 0,0004 |
| 5 | Łódź | ul. P. Lumumby | 6.05.2016 | 51°46'44,3" | 19°29'48,4" | 0,9 | 1,1 | 0,0030 |
| 6 | Piotrków Trybunalski | ul. Belzacka /ul. Kobyteckiego | 9.05.2016 | 51°24'27,0" | 19°40'23,1" | < 0,3 | 0,4 | 0,0004 |
| 7 | Pabianice | ul. Zamkowa /ul. Wyszyńskiego | 11.05.2016 | 51°39'50,7" | 19°20'43,3" | < 0,3 | 0,3 | 0,0002 |
| 8 | Pabianice | ul. Jana Pawła II /ul. Konopnickiej | 13.05.2016 | 51°39'26,5" | 19°20'23,5" | 1,0 | 1,2 | 0,0036 |
| 9 | Piotrków Trybunalski | ul. Włókiennicza /ul. Ceramiczna | 31.05.2016 | 51°24'07,5" | 19°43'17,9" | 0,4 | 0,4 | 0,0005 |
| 10 | Piotrków Trybunalski | ul. Krakowskie Przedmieście/ul. Jagiellońska | 15.06.2016 | 51°24'07,8" | 19°41'49,4" | < 0,3 | 0,3 | 0,0002 |
| 11 | Piotrków Trybunalski | ul. Krakowskie Przedmieście | 1.07.2016 | 51°24'24,7" | 19°41'52,1" | < 0,3 | 0,3 | 0,0002 |
| 12 | Pabianice | ul. Łaska/ul. Wiejska | 22.07.2016 | 51°39'28,4" | 19°19'30,7" | < 0,3 | < 0,3 | < 0,0002 |
| 13 | Łódź | ul. Rudzka/ul. Pabianicka | 29.07.2016 | 51°42'38,2" | 19°25'45,9" | < 0,3 | < 0,3 | < 0,0002 |
| 14 | Łódź | ul. św. Franciszka /ul. Czułchowska | 2.09.2016 | 51°43'37,1" | 19°25'53,6" | 0,7 | 0,8 | 0,0019 |
| 15 | Piotrków Trybunalski | ul. Kotarbińskiego /ul. Paderewskiego | 7.10.2016 | 51°24'28,2" | 19°39'40,3" | 0,8 | 0,9 | 0,0020 |

wartość równa lub wyższa od granicy oznaczalności składowej elektrycznej, tj. 0,3 V/m

Tabela 5.4 Wyniki pomiarów poziomów pola elektromagnetycznego na terenie woj. łódzkiego w 2016 r. na terenach miast o liczbie mieszkańców mniejszej niż 50 tysięcy

| Lp. | Miejscowość | Ulica | Data | Współrzędne geograficzne | | E_{sr} [V/m] | E_{max} [V/m] | S [W/m ²] |
|-----|-----------------------|--|------------|--------------------------|-------------|-----------------------|------------------------|-------------------------|
| 1 | Ozorków | plac Jana Pawła II | 13.04.2016 | 51°57'49,0" | 19°17'32,7" | < 0,3 | < 0,3 | < 0,0002 |
| 2 | Błaszki | plac Sulwińskiego | 18.04.2016 | 51°29'05,1" | 18°25'59,2" | < 0,3 | < 0,3 | < 0,0002 |
| 3 | Aleksandrów Łódzki | plac Kościuszki | 26.04.2016 | 51°49'15,2" | 19°18'12,4" | 0,5 | 0,6 | 0,0010 |
| 4 | Głowno | plac Wolności | 29.04.2016 | 51°57'54,5" | 19°43'18,6" | < 0,3 | < 0,3 | < 0,0002 |
| 5 | Sieradz | ul. Armii Krajowej / ul. Bohaterów Września | 5.05.2016 | 51°35'16,3" | 18°42'48,4" | 0,3 | 0,4 | 0,0004 |
| 6 | Sieradz | ul. Władysława Łokietka 5 | 18.05.2016 | 51°35'38,0" | 18°43'17,2" | 0,4 | 0,4 | 0,0004 |
| 7 | Kamieńsk | plac Wolności | 3.06.2016 | 51°12'16,8" | 19°29'54,0" | < 0,3 | < 0,3 | < 0,0002 |
| 8 | Opoczno | plac Kościuszki | 14.06.2016 | 51°22'36,1" | 20°17'22,4" | < 0,3 | < 0,3 | < 0,0002 |
| 9 | Pajęczno | ul. Wiśniowa / ul. 22 Lipca | 28.06.2016 | 51°08'53,3" | 18°59'40,3" | 0,5 | 0,5 | 0,0007 |
| 10 | Sieradz | Stary Rynek | 30.06.2016 | 51°35'40,3" | 18°44'18,7" | < 0,3 | < 0,3 | < 0,0002 |
| 11 | Zelów | plac Dąbrowskiego | 2.08.2016 | 51°27'51,5" | 19°13'04,0" | 0,4 | 0,5 | 0,0006 |
| 12 | Sulejów | ul. Konecka / ul. Łączna | 26.09.2016 | 51°21'10,3" | 19°53'21,4" | < 0,3 | 0,3 | 0,0002 |
| 13 | Przedbórz | Rynek | 29.09.2016 | 51°05'13,0" | 19°52'22,4" | < 0,3 | 0,3 | 0,0002 |
| 14 | Działoszyn | ul. Piłsudskiego | 30.09.2016 | 51°07'02,0" | 18°52'24,7" | 0,3 | 0,4 | 0,0004 |
| 15 | Drzewica | plac Wolności | 19.10.2016 | 51°27'02,8" | 20°28'41,6" | < 0,3 | 0,4 | 0,0004 |

wartość równa lub wyższa od granicy oznaczalności składowej elektrycznej, tj. 0,3 V/m

Tabela 5.5 Wyniki pomiarów poziomów pola elektromagnetycznego na terenie woj. łódzkiego w 2016 r. na terenach wiejskich

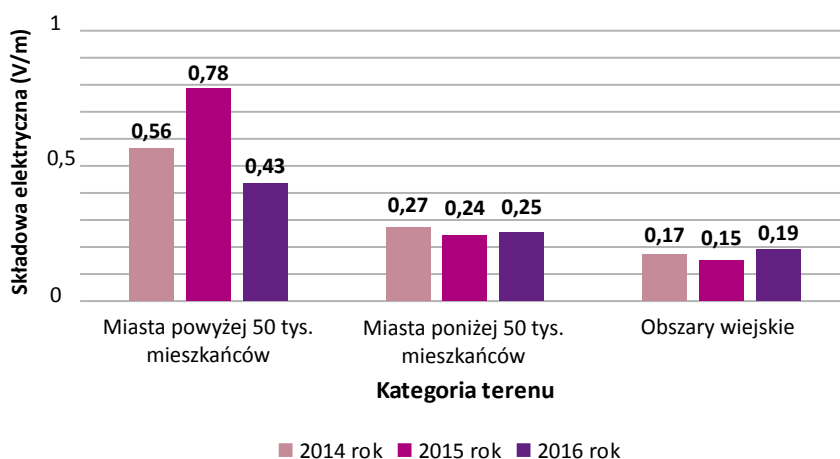
| Lp. | Miejscowość | Powiat | Data | Współrzędne geograficzne | | E_{sr} [V/m] | E_{max} [V/m] | S [W/m ²] |
|-----|-------------------|--------------------------|------------|--------------------------|-------------|----------------|-----------------|-------------------------|
| 1 | Pawlikowice | pow. pabianicki | 4.05.2016 | 51°37'10,9" | 19°20'24,0" | < 0,3 | < 0,3 | < 0,0002 |
| 2 | Porszewice | pow. pabianicki | 12.05.2016 | 51°42'48,2" | 19°17'20,2" | 0,4 | 0,4 | 0,0004 |
| 3 | Żytowice | pow. pabianicki | 17.05.2016 | 51°41'56,6" | 19°14'25,6" | < 0,3 | < 0,3 | < 0,0002 |
| 4 | Gomulin Kolonia | pow. piotrkowski ziemski | 23.05.2016 | 51°25'07,4" | 19°34'09,8" | < 0,3 | 0,3 | 0,0002 |
| 5 | Sierostaw | pow. piotrkowski ziemski | 4.06.2016 | 51°30'34,4" | 19°36'54,3" | 0,3 | 0,3 | 0,0003 |
| 6 | Janków | pow. tomaszowski | 8.08.2016 | 51°38'51,7" | 19°50'04,5" | < 0,3 | < 0,3 | < 0,0002 |
| 7 | Danielów | pow. radomszczański | 19.08.2016 | 51°14'35,1" | 19°28'37,1" | < 0,3 | 0,3 | 0,0003 |
| 8 | Bukowie Dolne | pow. bełchatowski | 29.08.2016 | 51°25'38,1" | 19°24'42,7" | < 0,3 | < 0,3 | < 0,0002 |
| 9 | Przesiadłów | pow. tomaszowski | 31.08.2016 | 51°35'45,5" | 19°57'42,2" | < 0,3 | < 0,3 | < 0,0002 |
| 10 | Bratków | pow. opoczyński | 26.10.2016 | 51°26'28,4" | 20°07'49,3" | < 0,3 | < 0,3 | < 0,0002 |
| 11 | Glina Duża | pow. pajęczański | 28.10.2016 | 51°15'54,6" | 18°58'56,2" | < 0,3 | < 0,3 | < 0,0002 |
| 12 | Korytno | pow. radomszczański | 3.11.2016 | 51°06'30,6" | 19°50'23,5" | < 0,3 | < 0,3 | < 0,0002 |
| 13 | Niwiska Górne | pow. pajęczański | 8.11.2016 | 51°06'14,2" | 18°58'02,6" | < 0,3 | < 0,3 | < 0,0002 |
| 14 | Szczercowska Wieś | pow. bełchatowski | 18.11.2016 | 51°21'23,1" | 19°05'35,7" | 0,4 | 0,5 | 0,0007 |
| 15 | Buczek | pow. opoczyński | 22.11.2016 | 51°27'37,2" | 20°17'46,7" | < 0,3 | < 0,3 | < 0,0002 |

wartość równa lub wyższa od granicy oznaczalności składowej elektrycznej, tj. 0,3 V/m

PODSUMOWANIE

Analizując powyższe wyniki pomiarów zauważyć można, iż wartości natężenia PEM w roku 2016 utrzymywały się na niskim poziomie. W badanym roku średnia arytmetyczna zmierzonych wartości natężeń pól elektromagnetycznych dla obowiązującego zakresu od 3 MHz do 3000 MHz w województwie łódzkim nie przekroczyła wartości dopuszczalnej składowej elektrycznej, wynoszącej 7 V/m, określonej w rozporządzeniu Ministra Środowiska z dnia 30 października 2003 r. w sprawie dopuszczalnych poziomów pól elektromagnetycznych w środowisku oraz sposobów sprawdzania dotrzymania tych poziomów (DzU. 2003 nr 192 poz. 1883).

W 2016 roku średnie wartości 2-godzinne składowej elektrycznej osiągnęły maksymalnie wartość 1,0 V/m, równą 14,28% wartości dopuszczalnej. Najniższe średnie wartości były poniżej progu czułości sond, tj. <0,3 V/m. Najwyższe wartości średniej składowej elektrycznej notowano na obszarach dużych miast. Średnia arytmetyczna wyniosła tam 0,43 V/m. W pozostałych miastach województwa uzyskano średnią wyników 0,25 V/m, a na obszarach wiejskich 0,19 V/m. Poniższy wykres ukazuje, jak zmieniała się średnia wartość składowej elektrycznej w latach 2014-2016.



Rys. 5.1 Średnie wartości składowej elektrycznej w latach 2014–2016 na wybranych kategoriach terenów

Na podstawie przeprowadzonych pomiarów WIOŚ Łódź nie stwierdził na terenie województwa łódzkiego istnienia obszarów z przekroczeniami dopuszczalnych poziomów pól elektromagnetycznych w środowisku.

Opracowanie: **Tomasz Sokołowski**

GOSPODARKA ODPADAMI KOMUNALNYMI

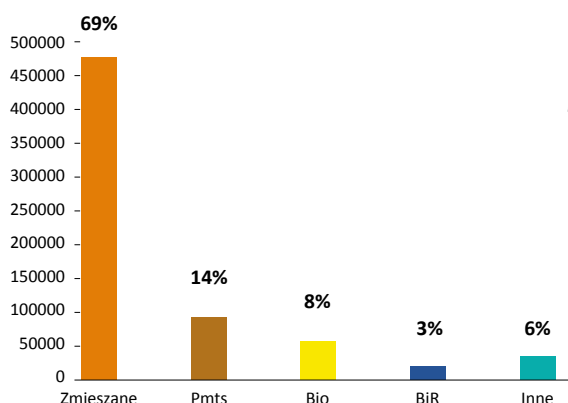
Zgodnie z art. 9s ustawy z 13 września 1996 r. o utrzymaniu czystości i porządku w gminach marszałek województwa jest obowiązany do sporządzania rocznego sprawozdania z realizacji zadań z zakresu gospodarowania odpadami komunalnymi. Sprawozdanie jest sporządzane na podstawie rocznych sprawozdań, przesłanych przez organy wykonawcze gmin. Sprawozdania za rok 2016 zostały sporządzone zgodnie z nowym wzorem (załącznik nr 4 do rozporządzenia Ministra Środowiska z dnia 17 czerwca 2016r. w sprawie wzorów sprawozdań o odebranych i zebranych odpadach komunalnych, odebranych nieczystościach ciekłych oraz realizacji zadań z zakresu gospodarowania odpadami komunalnymi – DzU z 2016r., poz. 934).

Na podstawie 177 sprawozdań z realizacji zadań z zakresu gospodarowania odpadami komunalnymi, przedłożonych przez wójtów, burmistrzów i prezydentów marszałkowi województwa łódzkiego i łódzkiemu wojewódzkiemu inspektorowi ochrony środowiska, po weryfikacji i analizie wykazano, że na terenie województwa łódzkiego w 2016 roku odebrano i zebrano od mieszkańców łącznie 690 146 Mg odpadów komunalnych (w porównaniu z 2015 rokiem nastąpił wzrost o ok. 5%), w tym:

- odebrano od właścicieli nieruchomości **669 998 Mg**
- zebrano w PSZOK **20 148 Mg**
- z tego :
 - odebrane zmieszane odpady komunalne **479 109 Mg**
 - selektywnie odebrane i zebrane odpady papieru, metali, tworzyw sztucznych i szkła (Pmts) **49 095 Mg**
 - oraz zmieszane odpady opakowaniowe **45 769 Mg**
 - selektywnie odebrane i zebrane odpady ulegające biodegradacji (Bio) **57 605 Mg**
 - w tym odpady zielone **32 294 Mg**
 - selektywnie odebrane i zebrane odpady budowlane i rozbiórkowe (BiR) **22 327 Mg**
 - inne (tj. odpady wielkogabarytowe, zużyte opony, zużyte baterie, zużyty sprzęt elektryczny i elektroniczny itp.) **36 241 Mg**

Ze sprawozdań za rok 2016 wynika, iż odpady komunalne zostały odebrane od 441 880 właścicieli nieruchomości.

Udział procentowy poszczególnych rodzajów odpadów w strumieniu odpadów komunalnych ilustruje poniższy rysunek.

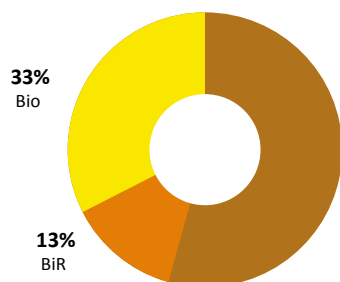


Rys. 6.1 Procentowy udział poszczególnych rodzajów odpadów komunalnych w roku 2016

W 2016 roku 100% odebranych zmieszanych odpadów komunalnych zostało poddanych procesom przetwarzania innym niż składowanie w regionalnych (RIPOK) i zastępczych (IZ) instalacjach do przetwarzania odpadów komunalnych (w 2015 roku było to również 100%, w 2014 roku ponad 99%, a w 2013 roku 95,5%)

Zgodnie z uchwałą nr XXVI/482/12 Sejmiku Województwa Łódzkiego w sprawie wykonania planu gospodarki odpadami województwa łódzkiego 2012 wraz z późniejszymi zmianami, na terenie województwa łódzkiego znajduje się następująca ilość instalacji do przetwarzania odpadów komunalnych (wg stanu na 31.12.2016 r.):

- » instalacje do mechaniczno-biologicznego przetwarzania odpadów:
 - RIPOK – 7
 - IZ – 2
 - » instalacje do przetwarzania selektywnie zebranych odpadów zielonych i innych bioodpadów:
 - RIPOK – 5
 - IZ – 4
 - » instalacje do składowania odpadów powstających w procesie mechaniczno-biologicznego przetwarzania zmieszanych odpadów komunalnych oraz pozostałości z sortowania odpadów komunalnych:
 - RIPOK – 5
 - IZ – 16
 - » sortownie odpadów o statusie instalacji zastępczych – 12.
- Na terenie województwa łódzkiego w 2016 roku funkcjonowało 156 punktów selektywnego zbierania odpadów komunalnych (PSZOK).



Rys. 6.2 Procentowy udział poszczególnych rodzajów odpadów selektywnie zebranych w 2016 roku

W 2016 roku masa odpadów zebranych selektywnie (tj. papieru, metali, tworzyw sztucznych, szkła, zmieszanych odpadów opakowaniowych, odpadów budowlano-remontowych i ulegających biodegradacji) wyniosła 174 796 Mg.

Zgodnie ustawą z 13 września 1996 roku o utrzymaniu czystości i porządku w gminach (DzU z 2013 r. poz. 1399 z późn. zm.) gminy są obowiązane osiągnąć następujące poziomy:

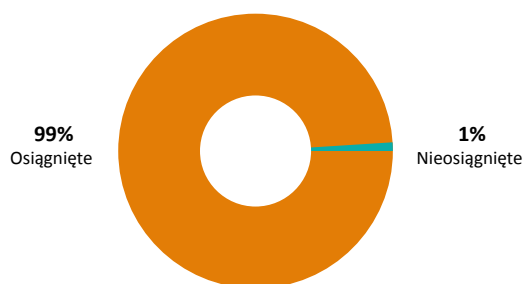
- recyklingu i przygotowania do ponownego użycia następujących frakcji odpadów komunalnych: papieru, metali tworzyw sztucznych i szkła (Pmts) w wysokości co najmniej 50% wagowo do 31 grudnia 2020 roku,
- recyklingu, przygotowania do ponownego użycia i odzysku innymi metodami innych niż niebezpieczne odpadów budowlanych i rozbiórkowych (BiR) w wysokości co najmniej 70% wagowo do 31 grudnia 2020 roku.

Rozporządzenie Ministra Środowiska z dnia 29 maja 2012 r. (DzU z 2012 r. poz. 645) w sprawie poziomów recyklingu, przygotowania do ponownego użycia i odzysku innymi metodami niektórych frakcji odpadów komunalnych szczegółowo określa poziom dla wyżej wymienionych odpadów w poszczególnych latach do 31 grudnia 2020 r., a także sposób obliczania tych poziomów. Dla 2016 roku poziom te kształtują się następująco:

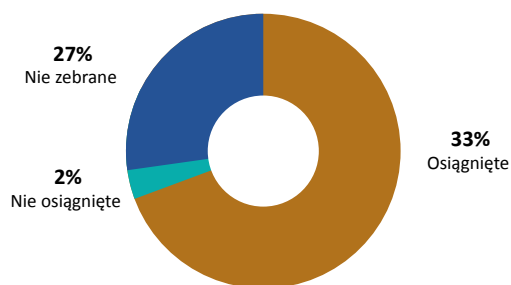
- recykling i przygotowanie do ponownego użycia następujących frakcji odpadów komunalnych: papieru, metali tworzyw sztucznych i szkła w wysokości co najmniej 18% wagowo,
- recykling, przygotowanie do ponownego użycia i odzysku innymi metodami innych niż niebezpieczne odpadów budowlanych i rozbiórkowych w wysokości co najmniej 42% wagowo.

Ze sprawozdań z realizacji zadań z zakresu gospodarowania odpadami komunalnymi przedkładanych przez wójtów, burmistrzów i prezydentów miast wynika, że na terenie województwa łódzkiego w 2016 roku:

- 175 gmin osiągnęło wymagany poziom dla Pmts,
- 126 gmin osiągnęło wymagany poziom dla BiR.

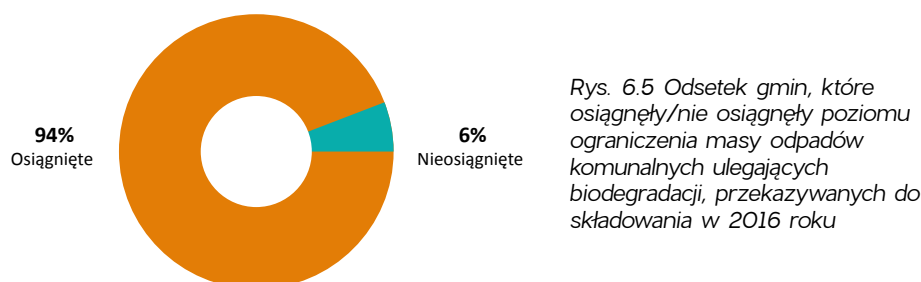


Rys. 6.3 Odsetek gmin, które osiągnęły/nie osiągnęły poziomu recyklingu i przygotowania do ponownego użycia następujących frakcji odpadów komunalnych: papieru, metali tworzyw sztucznych i szkła w 2016 roku



Rys. 6.4 Odsetek gmin, które osiągnęły/nie osiągnęły poziomu recyklingu, przygotowania do ponownego użycia i odzysku innymi metodami innych niż niebezpieczne odpadów budowlanych i rozbiórkowych oraz nie zebranych odpadów budowlanych i rozbiórkowych

Do 16 lipca 2020 roku należy ograniczyć masę odpadów komunalnych ulegających biodegradacji przekazywanych do składowania do nie więcej niż 35% wagowo całkowitej masy odpadów komunalnych ulegających biodegradacji przekazywanych do składowania w stosunku do masy tych odpadów wytworzonych w 1995 roku. Zgodnie z rozporządzeniem Ministra Środowiska z 25 maja 2012 r. w sprawie poziomów ograniczenia masy odpadów komunalnych ulegających biodegradacji przekazywanych do składowania oraz sposobu obliczania poziomu ograniczania masy tych odpadów (DzU z 2012 r. poz. 676) poziom 45% w 2016 roku osiągnęło 166 gmin. Prezentowane dane liczbowe wg stanu na 31.08.2017 roku.



Rys. 6.5 Odsetek gmin, które osiągnęły/nie osiągnęły poziomu ograniczenia masy odpadów komunalnych ulegających biodegradacji, przekazywanych do składowania w 2016 roku

Opracowała: **Agnieszka Filipiak – Olczak**

POSTĘP PRAC PRZY USUWANIU AZBESTU

Dane o ilości, rodzaju i miejscach występowania wyrobów zawierających azbest rejestrowane są w Bazie Azbestowej, dostępnej na pośrednictwie sieci Internet pod adresem www.bazaazbestowa.gov.pl, stanowiącej jedno z narzędzi monitorowania realizacji zadań, wynikających z Programu Oczyszczania Kraju z Azbestu na lata 2009-2032.

Tabela 6.1 Azbest zinwentaryzowany w województwie łódzkim w latach 2009–2016 (źródło: Urząd Marszałkowski)

| Rok | Zinwentaryzowano (Mg) | Usunięto (Mg) |
|------|-----------------------|---------------|
| 2009 | 488787,15 | 3050 |
| 2010 | 516943,99 | 929,5 |
| 2011 | 476113,56 | 1004,77 |
| 2012 | 415263,35 | 1207,11 |
| 2013 | 597778,36 | 2967,55 |
| 2014 | 568194,55 | 5631,09 |
| 2015 | 520033,89 | 4399,96 |
| 2016 | 559157,29 | 8136,81 |

Z informacji zawartych w Wojewódzkim Systemie Odpadowym, prowadzonym przez Urząd Marszałkowski w Łodzi wynika, iż na terenie województwa łódzkiego w 2016 r. usunięto ok. 8136,81 Mg odpadów zawierających azbest (Tabela 6.1).[1]

Województwo łódzkie w celu wypełnienia zapisów zawartych w POKzA podjęło w roku 2016, przy okazji aktualizacji Planu Gospodarki Odpadami Województwa Łódzkiego, działania w celu uchwalenia programu usuwania wyrobów zawierających azbest z terenu województwa łódzkiego.

Ponieważ azbest jest odpadem niebezpiecznym, unieszkodliwia się go poprzez składowanie na składowiskach. Na terenie województwa łódzkiego znajdują się dwa składowiska odpadów z wydzieloną kwaterą do składowania odpadów azbestowych:

- Pukinin, gm. Rawa Mazowiecka, zarządzający składowiskiem: ZGO AQUARIUM Sp. z o.o.
- Płoszów, gm. Radomsko, zarządzający składowiskiem Eko – Radomsko Sp. z o.o.



Fot. 6.1 Nielegalne składowanie odpadów azbestowych, źródło WIOŚ w Łodzi

Ponadto w Planie gospodarki odpadami województwa łódzkiego na lata 2016 – 2022 z uwzględnieniem lat 2023 - 2028, w harmonogramie działań strategicznych w gospodarce odpadami na terenie woj. łódzkiego, ujęto budowę następujących składowisk odpadów niebezpiecznych dla odpadów zawierających azbest w lokalizacjach:

- Lewkówka, gm. Moszczenica, inwestor SARAG Sp. z o.o. Sp. K.,
- gm. Tuszyń, inwestor SARAG Sp. z o.o. Sp. K.,
- gm. Biała, inwestor gmina Biała,
- Pukinin, gm. Rawa Mazowiecka, inwestor JM Brothers Sp. z o.o.
- budowę 5 nowych kwater składowania odpadów niebezpiecznych (azbestowych) w m. Pukinin, gm. Rawa Mazowiecka, Inwestor ZGO AQUARIUM Sp. z o.o.
- budowę kwatery na azbest przy składowisku odpadów innych niż niebezpieczne i obojętne w Ruszyczynie, inwestor FBSerwis Kamieński Sp. z o.o.[2]

Literatura

1. Wykaz odpadów wg rodzaju działalności w podziale na województwa ze względu na lokalizację miejsca prowadzenia działalności z Wojewódzkiego Systemu Odpadowego.
2. Plan gospodarki odpadami dla województwa łódzkiego na lata 2016-2022 z uwzględnieniem lat 2023-2028 wraz z załącznikami tj. Planem inwestycyjnym, Programem usuwania wyrobów zawierających azbest z terenu województwa łódzkiego.

Opracowała: **Anna Wilkońska**

DZIAŁALNOŚĆ WIOŚ

DZIAŁALNOŚĆ KONTROLNA

W 2016 r., zgodnie z zatwierdzonymi przez Głównego Inspektora Ochrony Środowiska kierunkami działalności kontrolnej, kontrole prowadzone przez WIOŚ w Łodzi skupiały się na następujących problemach:

| | |
|--------|---|
| Cel 0 | Kontrola producentów produktów zawierających LZO |
| Cel 00 | Kontrola użytkowników produktów zawierających LZO |
| cel 1 | Kontrola realizacji przez gminy zadań dotyczących zamykania składowisk odpadów komunalnych, określonych w Krajowym Planie Gospodarki Odpadami w 2014 r. |
| cel 2 | Kontrola przestrzegania wymagań w zakresie postępowania z odpadami, w tym z odpadami niebezpiecznymi. |
| cel 3 | Kontrola przestrzegania przepisów prawa przez wytwórców odpadów wydobywczych oraz zarządzających obiektami unieszkodliwiania odpadów wydobywczych. |
| cel 4 | Kontrola przestrzegania wymagań wynikających z ustawy o gospodarce opakowaniami i odpadami opakowaniowymi. |
| cel 5 | Kontrola terenów zanieczyszczonych i zdegradowanych składowaniem niebezpiecznych odpadów przemysłowych. |
| cel 6 | Kontrola przestrzegania wymagań, wynikających z ustawy o bateriach i akumulatorach przez prowadzących działalność w zakresie wytwarzania, zbierania i przetwarzania zużytych baterii i zużytych akumulatorów. |
| cel 7 | Kontrola przestrzegania wymagań ochrony środowiska przez prowadzących instalacje wymagające uzyskania pozwolenia zintegrowanego. |
| cel 8 | Kontrola wprowadzających ścieki do wód lub do ziemi. |
| cel 9 | Kontrola przestrzegania przepisów ochrony środowiska w zakresie emisji gazów i pyłów do powietrza. |
| cel 10 | Kontrola wykonywania zadań określonych w programach ochrony powietrza i planach działań krótkoterminowych. |
| cel 11 | Kontrola przestrzegania przepisów ochrony środowiska w zakresie emisji hałasu do środowiska. |
| cel 12 | Kontrola przestrzegania przepisów w zakresie używania czynników chłodniczych oraz obrotu nimi. |
| cel 13 | Kontrola przestrzegania przepisów dotyczących substancji chemicznych i ich mieszanin. |
| cel 14 | Kontrola jakości danych dostarczanych przez prowadzących instalację w ramach Krajowego Rejestru Uwalniania i Transferu Zanieczyszczeń. |
| cel 15 | Kontrola zawartości siarki w ciężkim oleju opałowym, stosowanym w instalacjach energetycznego spalania paliw. |
| cel 16 | Kontrola zawartości siarki w oleju do silników statków żeglugi śródlądowej. |
| cel 17 | Kontrola gospodarstw rolnych, podlegających ocenie wypełniania wymogów wzajemnej zgodności (cross-compliance). |
| cel 18 | Kontrola wyeliminowania z użytkowania instalacji i urządzeń zawierających powyżej 50 ppm PCB. |
| cel 19 | Kontrola zadań zawartych w KPGO 2014 „Likwidacja magazynów i mogilników środków chemicznych ochrony roślin”. |
| cel 20 | Kontrola w zakresie przeciwdziałania poważnym awariom. |
| cel 21 | Kontrola w zakresie poszukiwania i rozpoznawania złóż gazu łupkowego. |
| cel 22 | Kontrola w zakresie przetwarzania zużytego sprzętu elektrycznego i elektronicznego. |
| cel 23 | Kontrola przestrzegania przepisów ustawy o zużyтым sprzęcie elektrycznym i elektronicznym. |
| cel 24 | Kontrola stacji demontażu pojazdów. |

| | |
|--------|--|
| cel 25 | Kontrola przestrzegania przepisów ustawy o recyklingu pojazdów wycofanych z eksploatacji. |
| cel 26 | Kontrola funkcjonowania systemu transgranicznego przemieszczania odpadów. |
| cel 27 | Kontrola funkcjonowania instalacji przetwarzających i wytwarzających odpady, do których są przywożone lub z których są wywożone odpady w ramach transgranicznego przemieszczania odpadów. |
| cel 28 | Kontrola zgodności wyrobów z zasadniczymi wymaganiami przestrzegania dyrektywy 2000/14/WE w sprawie emisji hałasu do otoczenia przez urządzenia używane na zewnątrz pomieszczeń. |
| cel 29 | Kontrola przestrzegania przepisów ustawy o odpadach. |
| cel 30 | Kontrola przedsiębiorców przetwarzających odpady w procesie pirolizy, a także odbiorców odpadów wytwarzanych w wyniku procesu pirolizy. |
| cel 31 | Kontrola warunków stosowania i przechowywania nawozów i środków wspomagających uprawę roślin, komunalnych osadów ściekowych oraz kontrola rolniczego wykorzystania ścieków w produkcji pierwotnej żywności pochodzenia roślinnego. |
| cel 32 | Kontrola przestrzegania przepisów prawa, wynikających z rozporządzenia Parlamentu Europejskiego i Rady (UE) nr 995/2010, ustanawiającego obowiązki podmiotów wprowadzających do obrotu drewno i produkty z drewna. |
| cel 33 | Kontrola warunków stosowania i przechowywania nawozów organicznych/środków wspomagających właściwości gleby/odpadów (tzw. pofermentów) wyprodukowanych w biogazowniach rolniczych w procesie produkcji energii z biomasy. |
| cel 34 | Kontrola warunków stosowania i przechowywania nawozów, nawozów oznaczonych znakiem „NAWÓZ WE” oraz środków wspomagających uprawę roślin na obszarach szczególnie narażonych na spływ azotu ze źródeł rolniczych. |
| cel 35 | Kontrola przestrzegania przepisów ustawy o organizmach genetycznie zmodyfikowanych. |
| cel 36 | Kontrola wnoszenia opłat za korzystanie ze środowiska. |
| cel 37 | Kontrola realizacji zarządzeń pokontrolnych. |

W roku 2016 zrealizowano 3 ogólnokrajowe cykle kontrolne, w ramach których przeprowadzono kontrolę w zakresie realizacji:

- zadań własnych gmin, wynikających z ustawy o utrzymaniu czystości i porządku w gminach;
- zadań regionalnych instalacji przetwarzania odpadów komunalnych (RIPOK), wynikających z ustawy o utrzymaniu czystości i porządku w gminach oraz ustawy o odpadach;
- przestrzegania przepisów ustawy o substancjach zubożających warstwę ozonową oraz o niektórych fluorowanych gazach cieplarnianych, dotyczących SZWO i F-gazów;

W 2016 r. w ewidencji WIOŚ znajdowało się 8335 zakładów, w których przeprowadzono następującą liczbę kontroli:

| | |
|--|-------------|
| LICZBA KONTROLI OGÓŁEM | 3490 |
| KONTROLE Z WYJAZDEM W TEREN | |
| planowe zakładów | 512 |
| pozaplanowe zakładów | 276 |
| w tym interwencyjne | 183 |
| interwencyjne bez ustalonego podmiotu | 57 |
| na podstawie których stwierdzono naruszenia | 423 |
| z pomiarami | 145 |
| kontrole o charakterze instruktażowym | 180 |
| kontrole w zakresie nadzoru rynku | 16 |
| skontrolowane transporty towarów lub odpadów | 3 |
| LICZBA KONTROLI ZAKŁADÓW PRZEPROWADZONYCH W OPARCIU O DOKUMENTY | |
| ogółem | 2599 |
| analiza wyników pomiarów automonitoringowych | 1707 |
| z wyłączeniem analizy wyników pomiarów automonitoringowych | 892 |
| na podstawie których stwierdzono naruszenia | 757 |

W związku ze stwierdzonymi w trakcie kontroli naruszeniami WIOŚ w Łodzi podjął m.in. następujące działania po-kontrolne:

| | |
|--|-------------------|
| Zarządzenia pokontrolne | 332 |
| Wnioski do organów ścigania | 6 |
| Wnioski do sądów powszechnych | 3 |
| Mandaty karne | 84 |
| Pouczenia | 294 |
| Wystąpienia do administracji rządowej | 14 |
| Wystąpienia do administracji samorządowej | 144 |
| Kary za okres trwania naruszenia na kwotę | 787 2982477,00 |
| Kary odroczone na kwotę | 4 100549,00 |
| Kary rozliczone w związku z realizacją inwestycji na kwotę | 9 4101723,00 |
| Kary rozłożone na raty na kwotę | 5 79056,22 |
| Decyzje o kosztach kontroli na kwotę | 6 6899,39 |

W toku działalności w 2016 r. rozpatrzono:

- 27 wniosków o udostępnienie informacji o środowisku i jego ochronie na podstawie ustawy z dnia 3 października 2008 r. o udostępnianiu informacji o środowisku i jego ochronie, udziale społeczeństwa w ochronie środowiska oraz o ocenach oddziaływania na środowisko (DzU z 2016 r. poz. 353, z późn. zm.);
- 16 wniosków o udostępnienie informacji publicznej na podstawie ustawy z dnia 6 września 2001 r. o dostępie do informacji publicznej (DzU z 2016 r. poz. 1764);
- wydano 142 zaświadczenia.

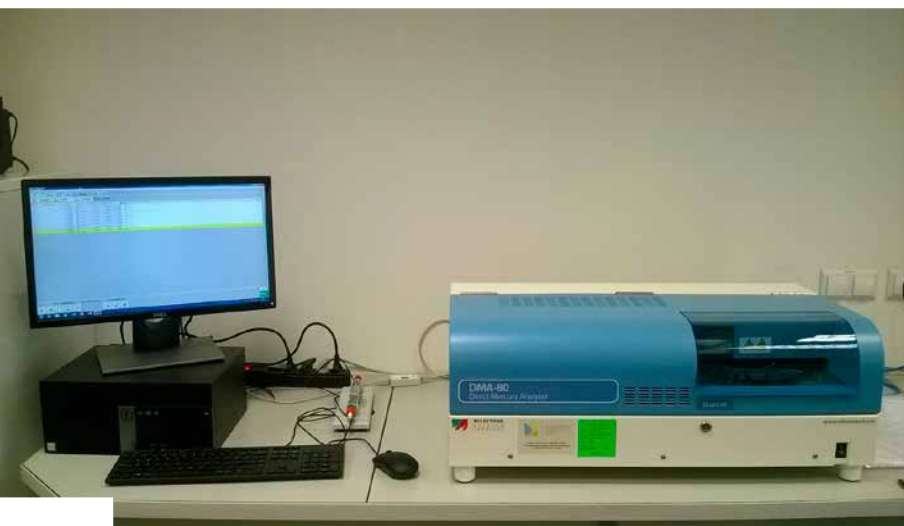
Opracowała: **Joanna Peplowska**

DZIAŁALNOŚĆ LABORATORIUM

W skład Laboratorium WIOŚ w Łodzi wcho-dzą: laboratorium w Łodzi, laboratorium w Sie-radzu oraz laboratorium w Piotrkowie Trybu-nalskim.

W laboratorium prowadzone są badania na potrzeby:

- monitoringu i oceny stanu środowiska,
- kontroli podmiotów gospodarczych, w tym będących potencjalnym źródłem nadzwyczaj-nych zagrożeń środowiska,
- likwidacji skutków nadzwyczajnych za-grożeń środowiska,
- realizacji zleceń klientów.



Fot. 71. Analizator rtęci DMA-80

Laboratorium wykonuje pełny zakres badań, wynikających z zagrożeń i potrzeb na terenie woj. łódzkiego. W ra-mach podstawowych działań w Laboratorium WIOŚ w Łodzi wykonywane są badania wskaźników fizyczno-chemicz-nych, bakteriologicznych i biologicznych:

- wód powierzchniowych, wód w głębinach oraz wód opadowych,
- ścieków,
- powietrza atmosferycznego (imisja),
- gazów odlotowych i składowiskowych (emisja),
- pyłów (emisja),
- odpadów przemysłowych i osadów ściekowych,
- hałasu komunikacyjnego, przemysłowego oraz promieniowania elektromagnetycznego.

Tabela 7.1 Liczba analiz wykonanych w laboratorium WIOŚ Łódź w 2016 r.

| | Ochrona powietrza | Ochrona wód | Ochrona gleb | Gospodarka odpadami | Ochrona przed hałasem | Ochrona przed PEM |
|--|-------------------|-------------|--------------|---------------------|-----------------------|-------------------|
| Liczba pobranych próbek pierwotnych ogółem: | 17321 | 1445 | 81 | 6 | - | - |
| Liczba wykonanych oznaczeń ogółem: | 57497 | 34922 | 527 | 89 | - | - |
| - w ramach monitoringu ogółem: | 57357 | 33190 | 0 | 0 | - | - |
| - w ramach kontroli ogółem: | 140 | 1732 | 527 | 89 | - | - |
| - w ramach akcji związanych z nadzwyczajnymi zagrożeniami środowiska | - | - | - | - | - | - |
| Liczba stanowisk pomiarowych | - | - | - | - | 124 | 67 |
| Liczba pomiarów | - | - | - | - | 7498 | 139 |
| Liczba pomiarów warunków meteo | - | - | - | - | 5945 | 140 |

Wykonywanie szerokiego zakresu badań analitycznych na różne potrzeby i w różnych próbkach umożliwia laboratorium posiadanie nowoczesnej aparatury kontrolno – pomiarowej.

Baza laboratoryjna obejmuje następujące (główne) wyposażenie:

- chromatografy gazowe – detektory: FID, ECD oraz MS,
- chromatografy cieczowe – detektory: UV, DAD oraz FLD,
- chromatografy jonowe,
- analizatory przepływowe CFA,
- spektrometry absorpcji atomowej: z atomizacją płomieniową i bezpłomieniową,
- spektrometry ICP – OES i ICP – MS,
- spektrofotometry UV/VIS,
- analizatory ogólnego węgla organicznego, azotu organicznego i BZT5,
- automatyczne stacje pomiarowe powietrza atmosferycznego – automatyczne analizatory: O₃, CO, NO_x, pył PM₁₀, PM_{2.5}, SO₂ oraz BTX, oraz warunków meteo (temperatura, prędkość wiatru oraz kierunek, wilgotność, ciśnienie atmosferyczne, nasłonecznienie i opad deszczu),
- manualne poborniki LVS pyłu zawieszonego PM₁₀ oraz PM_{2.5},
- wagi analityczne, konduktometry, tlenomierze, pehametry,
- mierniki hałasu, pola elektromagnetycznego oraz wiele innych.

Tak nowoczesny sprzęt obsługiwany jest zgodnie z przeznaczeniem oraz z wymogami kontroli jakości. Laboratorium korzysta z certyfikowanych wzorców i materiałów odniesienia, a aparatura jest poddawana stałej kontroli metrologicznej (legalizowanie oraz wzorcowanie). Aparatura ma zapewnione odpowiednie, na bieżąco nadzorowane, warunki lokalowe i środowiskowe. Wydzielono pomieszczenia przygotowawcze i analityczne, co umożliwia wykonywanie badań z założoną w metodach badawczych starannością oraz eliminuje wzajemny niekorzystny wpływ.

Aby zapewnić zdolność do wykonywania stale zmieniających się zadań PMŚ laboratorium ciągle polepsza swoją bazę laboratoryjną.

Laboratorium ze środków WFOŚiGW oraz środków własnych (budżetowych) zakupiło w roku 2016 r. następujące wyposażenie pomiarowe:

- analizator rtęci DMA-80 firmy Milestone – 1 szt.
- analizator przepływowy Skalar San++ firmy Skalar – 1 szt.
- zestaw do oznaczania azotu metodą Kjeldahla firmy Gerhard – 1 szt.
- system do zatężania ekstraktów rozpuszczalników organicznych TurboVap firmy Biotage – 2 szt.
- ekstraktor wielostanowiskowy firmy J.T.Baker – 1 szt.
- miernik poziomu dźwięku klasy I SVAN 971 firmy SVANTEK – 1 szt.

Badania oraz pomiary wykonywane w laboratorium są zgodnie z polskimi normami i udokumentowanymi własnymi procedurami badawczymi.

Podstawową zasadą pracy Laboratorium WIOŚ Łódź jest wykonywanie badań zgodnie z wymaganiami systemu zarządzania wg normy PN-EN ISO/IEC 17025:2005 w celu osiągnięcia odpowiedniego poziomu wiarygodności wykonywanych badań. Wszystkie laboratoria Wojewódzkiego Inspektoratu Ochrony Środowiska w Łodzi posiadają akredytację według normy PN-EN ISO/IEC 17025:2005. Zakresy akredytacji laboratorium zawarte są w załącznikach do certyfikatów, wydanych przez Polskie Centrum Akredytacji oraz dostępne na stronach internetowych PCA (www.pca.gov.pl) i stronie WIOŚ Łódź (www.wios.lodz.pl):

- Laboratorium w Łodzi – certyfikat akredytacji PCA Nr AB 590,
- Laboratorium w Piotrkowie Trybunalskim – certyfikat akredytacji PCA Nr AB 178,
- Laboratorium w Sieradzu – certyfikat akredytacji PCA Nr AB 085.

W celu zagwarantowania bezstronnych, niezależnych badań wszystkie trzy laboratoria Laboratorium Wojewódzkiego Inspektoratu Ochrony Środowiska prowadzą wszechstronną kontrolę uzyskiwanych wyników analiz. Kontrola

pracy analitycznej odbywa się zgodnie z zapisami w księdze jakości i księdze procedur ogólnych. Laboratoria, w celu osiągnięcia założonych celów systemu zarządzania, stosują w rutynowej pracy:

- certyfikowane wzorce referencyjne,
- certyfikowane wzorce do kontroli jakości,
- kontrolę pobierania próbek środowiskowych.

Laboratoria uczestniczą również w porównaniach międzylaboratoryjnych oraz w badaniach biegłości. Wyniki tych porównań i badań są zadowalające.

O jakości pracy w laboratorium decyduje doświadczony, odpowiednio przeszkolony personel. Pracownicy laboratorium posiadają wykształcenie i doświadczenie zawodowe adekwatne do wykonywania badań zgodnie z wdrożonymi systemami zarządzania.

Struktura organizacyjna, baza laboratoryjna (wyposażenie pomiarowe i badawcze oraz pomieszczenia) oraz system zarządzania zapewniają wysoką jakość usług badawczych dla klientów wewnętrznych i zewnętrznych.

Opracował: **Włodzimierz Andrzejczak**

DZIAŁALNOŚĆ WOJEWÓDZKIEGO FUNDUSZU OCHRONY ŚRODOWISKA I GOSPODARKI WODNEJ W ŁODZI

Formy dofinansowania

W 2016 roku Fundusz udzielał dofinansowania w formach:

- » pożyczki, w tym pożyczki pomostowej;
- » dotacji, w tym w formie dopłaty do oprocentowania kredytów bankowych oraz częściowej spłaty kapitału kredytów bankowych;
- » przekazania środków państwowym jednostkom budżetowym.

Realizacja planu finansowego wsparcia

W 2016 r. do Funduszu wpłynęło łącznie 1.456 wniosków o udzielenie pomocy finansowej w formie pożyczki, dotacji i przekazania środków państwowym jednostkom budżetowym. Ponadto do rozpatrzenia pozostało 21 wniosków złożonych w 2015 r.

Ostatecznie w 2016 r. zawarto 990 umów o dofinansowanie (w tym 14 umów na podstawie wniosków złożonych w 2015 roku) na łączną kwotę 192.291.856,14 zł, w tym:

- » 123 pożyczek, 64 254 638,73 zł
- » 45 pożyczek łączonych z dotacjami, 74 687 285,00 zł
- » 802 dotacji, 47 467 124,96 zł
- » 20 umów przekazania środków, 5 882 807,45 zł

Państwowe jednostki budżetowe (PJB) złożyły 34 wnioski na potrzeby ustalenia rezerwy celowej na 2017 r.

Plan działalności WFOŚiGW w Łodzi na 2016 rok został uchwalony na kwotę 250 mln zł. Realizacja planu wynosiła 77,52%

Realizacja programów priorytetowych w formie pożyczki i dotacji

Program priorytetowy dotyczący wykonania podłączeń budynków do zbiorczego systemu kanalizacyjnego. W 2016 r. w ramach ww. programu Fundusz zawarł umowy z gminami: Sieradz, Tomaszów Mazowiecki, Bełchatów, Przedbórz, Szczerców; miastami: Piotrków Trybunalski i Sieradz oraz Przedsiębiorstwem Gospodarki Komunalnej Sp. z o.o. w Radomsku i Zakładem Gospodarki Wodno-Kanalizacyjnej w Tomaszowie Mazowieckim Sp. z o.o. W wyniku realizacji ww. umów do zbiorczego systemu kanalizacyjnego zostaną podłączone 1.282 posesje.

Racjonalizacja zużycia energii w budynkach użyteczności publicznej oraz zasobach komunalnych, należących do jednostek samorządu terytorialnego, w celu zmniejszenia emisji zanieczyszczeń do atmosfery. W ramach ww. programu Fundusz zawarł w 2016 r. 41 umów o dofinansowanie w formie pożyczki i dotacji. Największe dofinansowanie otrzymały: powiat zgierski, Miejskie Centrum Medyczne im. dra Karola Jonschera w Łodzi i miasto Łódź. Osiągnięte efekty rzeczowe i ekologiczne to 46 przedsięwzięć termomodernizacyjnych oraz redukcja emisji CO₂ o **4.431 Mg**.

Program priorytetowy dofinansowania inwestycji zagospodarowania odpadów komunalnych w celu uzyskania przez nie statusu Regionalnych Instalacji Przetwarzania Odpadów Komunalnych (RIPOK). W ramach ww. programu Fundusz zawarł w 2016 r. 2 umowy ze Związkiem Międzygminnym „Bzura” oraz spółką Eko-Region Sp. z o.o. z siedzibą w Bełchatowie.

Program priorytetowy w formie dotacji przeznaczony dla osób fizycznych na zadania polegające na usuwaniu wyrobów zawierających azbest z terenu województwa łódzkiego. W ramach powyższego programu zawarto 165 umów dotacji. Usuniętych zostało 589 Mg wyrobów zawierających azbest.

Przyrodnicze perły województwa łódzkiego – program rewaloryzacji zabytkowych parków – II edycja. W ramach ww. programu w 2016 r. Fundusz zawarł 2 umowy dotacji na rewaloryzację parku im. ks. J. Poniatowskiego w Łodzi oraz zabytkowego parku miejskiego w Rawie Mazowieckiej.

Realizacja programów priorytetowych w formie dotacji na częściowe spłaty rat kapitałowych kredytów bankowych. W roku 2016 czynnych było pięć programów priorytetowych, w ramach których Fundusz dofinansował 930 zadań. W ramach programów czynnych oraz pięciu programów wdrażanych w latach poprzednich w 2016 r. została wypłacona kwota 8 mln zł.

Programy priorytetowe, dotyczące przedsięwzięć w zakresie gospodarki ściekowej, przeznaczone dla osób fizycznych na wykonanie przyłączy kanalizacyjnych. W 2016 r. zawartych zostało 56 umów. Na ich podstawie osiągnięto efekt ekologiczny w wysokości 114 RLM.

Programy priorytetowe, dotyczące przedsięwzięć w zakresie ochrony wód, przeznaczone dla osób fizycznych na wykonanie przydomowych oczyszczalni ścieków. W 2016 r. w ramach ww. programów zawarto 138 umów. Osiągnięto efekt ekologiczny w wysokości 172 RLM.

Program priorytetowy, dotyczący przedsięwzięć w zakresie ochrony powietrza, przeznaczony dla osób fizycznych oraz wspólnot mieszkaniowych na realizację zadań dotyczących ograniczenia niskiej emisji i wykorzystania odnawialnych źródeł energii oraz poprawy efektywności cieplnej budynków mieszkalnych. W ramach programu w 2016 roku zawarto 569 umów. Realizacja programu w 2016 roku pozwoliła na redukcję CO₂ w ilości 82,7 Mg/rok.

Program priorytetowy, dotyczący przedsięwzięć w zakresie ochrony ziemi, przeznaczony dla osób fizycznych na realizację zadań związanych z usuwaniem wyrobów zawierających azbest. W 2016 r. zawarto 166 umów. Realizacja programu pozwoliła na usunięcie w 2016 r. 1.458 Mg wyrobów zawierających azbest.

Realizacja zadań poza programami priorytetowymi

Ochrona powietrza

Celem realizacji zadań z dziedziny ochrony powietrza było ograniczenie poziomu emisji związków siarki, azotu, tlenku węgla i pyłu oraz zwiększenie efektywności energetycznej.

Tabela 7.2 Realizacja umów zawartych w ramach dziedziny ochrona powietrza w 2016 r.

| Forma dofinansowania | Liczba zawartych umów [szt.] | Kwota zawartych umów [zł] | Kwota wypłacona [zł] | Kwoty planowane do wypłaty w kolejnych latach [zł] |
|--|------------------------------|---------------------------|----------------------|--|
| Pożyczka | 59 | 32 061 444,77 | 27 331 607,79 | 4 729 836,98 |
| Dotacja | 33 | 9 433 197,00 | 1 528 338,00 | 7 903 090,00 |
| Przekazanie środków PJB | 3 | 2 205 891,45 | 1 455 097,42 | 750 794,03 |
| Pożyczki/dotacje zawarte w ramach programu priorytetowego* | 41 | 22 060 762,00 | 6 749 422,80 | 15 311 339,20 |
| Umowy 2016 | 136 | 65 761 295,22 | 37 064 466,01 | 28 695 060,21 |
| Umowy zawarte w latach ubiegłych | | | 90 145 662,24 | 2 924 001,01 |
| Razem wypłaty w 2016 r. | | | 127 210 128,25 | 31 619 061,22 |

*umowy opisane w rozdziale „Realizacja programów priorytetowych”

Wykorzystanie odnawialnych źródeł energii

W 2016 r. zawarto 40 umów, w tym: 33 umowy dotacji, 6 umów pożyczek oraz 1 umowę przekazania środków PJB. Zakres rzeczowy zadań obejmował: wykonanie instalacji kolektorów słonecznych oraz pomp ciepła do celów grzewczych i przygotowania ciepłej wody użytkowej, wykonanie instalacji ogniw fotowoltaicznych, modernizację źródła ciepła poprzez zastosowanie biomasy.

Dwie największe pod względem finansowym umowy zawarto z Zespołem Szkół Centrum Kształcenia Rolniczego im. mjr. Władysława Śleszczyńskiego w Widzewie, gmina Ksawerów, na zakup i montaż trzech niezależnych źródeł ciepła opartych na absorpcyjnych – gazowych pompach ciepła, współpracujących z kotłami kondensacyjnymi, które będą się wspierać w szczytowym zapotrzebowaniu i jednocześnie będą stanowić rezerwę ruchową oraz z Miejskim Przedsiębiorstwem Wodociągów i Kanalizacji Sp. z o.o. w Sieradzu na modernizację systemu grzewczego oraz montaż instalacji nawiewno-wywiewnej.

Termomodernizacja obiektów, w tym wymiana źródła ciepła

W ramach tej grupy zadań zawarto 45 umów, w tym 43 umowy pożyczek oraz 2 umowy o przekazanie środków PJB. Termomodernizację obiektów, polegającą na dociepleniu ścian, stropodachów, wymianie stolarki okiennej i drzwiowej, modernizacji instalacji centralnego ogrzewania i ciepłej wody użytkowej oraz wymianę źródła zasilania w ciepło wykonano m.in.: w budynkach użyteczności publicznej, mieszkalnych, biurowych, usługowych i produkcyjnych, w budynkach kultu religijnego oraz placówkach oświatowych.

Największą pod względem finansowym umową zawartą w 2016 r. w tej grupie była umowa z Pabianicką Spółdzielnią Mieszkaniową na wykonanie czwartego etapu termomodernizacji budynków z zasobów spółdzielni, obejmującego 12 budynków mieszkalnych w Pabianicach.

Pożyczkę przyznano także Uniwersytetowi Medycznemu w Łodzi na kompleksową termomodernizację budynków Uniwersytetu, znajdujących się w Łodzi przy ul. Jaracza 63 oraz Pomorskiej 251 oraz Bełchatowskiemu Towarzystwu Budownictwa Społecznego Sp. z o.o. na docieplenie ścian, wymianę stolarki okiennej i drzwiowej oraz docieplenie stropodachu w budynku mieszkalnym wielorodzinnym w Bełchatowie.

Modernizacja i rozbudowa sieci ciepłej

W powyższej grupie zadań zawarto 7 umów pożyczek, między innymi z: Zakładem Energetyki Ciepłej Sp. z o.o. w Łowiczu, Przedsiębiorstwem Energetyki Ciepłej Sp. z o.o. w Bełchatowie, Zakładem Gospodarki Ciepłowniczej w Tomaszowie Mazowieckim, Przedsiębiorstwem Gospodarki Komunalnej Sp. z o.o. w Radomsku oraz gminą Biała Rawska.

Znaczące wsparcie finansowe przyznano Zakładowi Gospodarki Ciepłowniczej w Tomaszowie Mazowieckim na przebudowę osiedlowej sieci ciepłej DN 250, wykonanej w technologii kanałowej na sieć preizolowaną 2 x DN 300/450 na odcinku C1-C40.

Pozostałe zadania z dziedziny ochrona powietrza

W ramach innych zadań z zakresu ochrony powietrza Fundusz zawarł 3 umowy pożyczek. Wsparcie otrzymał m.in. Zakład Energetyki Ciepłej Sp. z o.o. w Opocznie na modernizację instalacji odpylania spalin z kotłów nr K3 i K4.

Umowę z Funduszem zawarła również spółka Kaloria Sp. z o.o. z siedzibą w Kruszewcu Kolonii, modernizująca kocioł WR-5 wraz z instalacją odpylania oraz PPHU Stobarw Ressel i S-ka Spółka Jawna z siedzibą w Aleksandrowie Łódzkim, wymieniająca kotły parowe węglowe na kocioł parowy gazowy o mocy 3,5 MW.

Tabela 7.3 Efekty rzeczowe uzyskane w dziedzinie ochrona powietrza

| Wyszczególnienie | Jednostki | Efekty z umów zawartych w 2016 r. | Efekty z umów z lat ubiegłych | Łącznie efekty w 2016 r. |
|---|----------------|-----------------------------------|-------------------------------|--------------------------|
| docieplenie stropodachu/dachu | m ² | 24 206 | 38 727 | 62 933 |
| docieplenie ścian | m ² | 91 426 | 77 909 | 169 335 |
| wymiana okien i drzwi | m ² | 3 304 | 4 760 | 8 064 |
| instalacja kolektorów słonecznych | m ² | 45 | 49 | 94 |
| instalacja pompy ciepła | kW | 242 | 269 | 511 |
| instalacja fotowoltaiczna | kWe | 356 | 102 | 458 |
| modernizacja instalacji c.o., w tym zawory termostatyczne | szt. | 1 814 | 2 688 | 4 502 |
| modernizacja/budowa sieci ciepłej | m.b. | 5 536 | 4 674 | 11 210 |
| montaż kotłowni na biomasę | kW | 508 | 2 215 | 2 723 |
| montaż kotłowni na gaz | kW | 0 | 140 | 140 |
| modernizacja kotłów dużej mocy | MW | 9 | 19 | 28 |
| modernizacja węzła ciepłego | kW | 101 | 3 267 | 3 368 |
| modernizacja/budowa oświetlenia | szt. | 588 | 1 588 | 2 176 |
| zmniejszenie zużycia energii elektrycznej/rok | MWh/rok | 0 | 954 | 954 |
| efektywność energetyczna | GJ/rok | 17 080,20 | 117 058,92 | 134 139,12 |
| elektrownia wiatrowa | kW | 0 | 2 | 2 |
| elektrownia wodna | kW | 0 | 11 | 11 |

*efekty łączne – programy priorytetowe i poza programem

Tabela 7.4 Efekty ekologiczne uzyskane w dziedzinie ochrona powietrza

| Wyszczególnienie* | Jednostki | Efekty z umów zawartych w 2016 r. | Efekty z umów z lat ubiegłych | Łącznie efekty w 2016 r. |
|--------------------------------|-----------|-----------------------------------|-------------------------------|--------------------------|
| redukcja CO | Mg/rok | 7,97 | 179,57 | 187,54 |
| redukcja CO ₂ | Mg/rok | 1 700,53 | 21 409,19 | 23 109,72 |
| redukcja NO _x | Mg/rok | 2,79 | 40,33 | 43,12 |
| redukcja pyłu | Mg/rok | 21,84 | 183,51 | 205,35 |
| redukcja SO ₂ | Mg/rok | 12,24 | 96,47 | 108,71 |
| wytworzona energia cieplna | GJ/rok | 0 | 63 933,61 | 63 933,61 |
| wytworzona energia elektryczna | MWh/rok | 0 | 201,65 | 201,65 |

*efekty ekologiczne osiągnięte łącznie, w tym w ramach programów priorytetowych

Ochrona zasobów wodnych

Inwestycje dofinansowane przez Fundusz w dziedzinie ochrony zasobów wodnych w 2016 r. realizowane były przede wszystkim przez samorządy gminne oraz ich spółki.

Tabela 7.5 Realizacja umów zawartych w dziedzinie ochrona zasobów wodnych w 2016 r.

| Forma dofinansowania | Ilość zawartych umów [szt.] | Kwota umów [zł] | Kwota wypłat [zł] | Planowane wypłaty w kolejnych latach [zł] |
|--|-----------------------------|-----------------|-------------------|---|
| Pożyczka | 48 | 21 153 264,96 | 12 250 547,42 | 8 902 717,54 |
| Dotacja | 11 | 3 780 177,00 | 1 929 487,51 | 1 754 258,00 |
| Dotacja w ramach programu priorytetowego „Podłączenia do kanalizacji”* | 9 | 2 431 410,11 | 1 711 088,75 | 720 311,36 |
| Umowy 2016 | 68 | 27 364 852,07 | 15 891 123,68 | 11 377 286,90 |
| Umowy zawarte w latach ubiegłych | | | 18 022 124,12 | 4 409 183,74 |
| Razem wypłaty w 2016 r. | | | 33 913 247,80 | 15 786 470,64 |

*umowy opisane w rozdziale „Realizacja programów priorytetowych”

Budowa, rozbudowa, modernizacja oczyszczalni ścieków

W tej grupie zadań zawarto 3 umowy z:

- » gminą Buczek na przebudowę i rozbudowę istniejącej oczyszczalni ścieków bytowych w gm. Buczek, co zwiększy jej przepustowość o 102,5 m³/d;
- » gminą Wartkowice na rozbudowę oczyszczalni ścieków w Wartkowicach wraz z instalacją do monitorowania przepompowni ścieków, co pozwoli na zwiększenie jej przepustowości o 104 m³/d,
- » powiatem piotrkowskim na budowę biologicznej oczyszczalni ścieków o przepustowości 40 m³/d wraz z infrastrukturą techniczną w Domu Pomocy Społecznej w Łochyńsku.

W 2016 r. w wyniku realizacji zadań dofinansowanych przez Fundusz łączna przepustowość wybudowanych i zmodernizowanych oczyszczalni zwiększyła się o ok. 5 086,00 m³/dobę.

Budowa przydomowych oczyszczalni ścieków. W 2016 r. Fundusz zawarł z gminą Andrespol umowę z przeznaczeniem na budowę 8 przydomowych oczyszczalni ścieków o łącznej przepustowości 5,19 m³/dobę.

Budowa sieci kanalizacji deszczowej. W 2016 r. Fundusz podpisał 9 umów na realizację zadań, których zakres obejmował budowę sieci kanalizacji deszczowej na terenie miast: Piotrków Trybunalski (1 436,00 m.b.) i Łowicz (1 252,00 m.b.) oraz na terenie gmin: Koluszki (1 815,00 m.b.) i Andrespol (325,00 m.b.). Ponadto wykonano przebudowę kanalizacji deszczowej (97,00 m.b.) w m. Osiny w ramach odwodnienia drogi powiatowej nr 5101E w powiecie brzezińskim oraz w ramach umowy zawartej z Tomaszowskim Towarzystwem Budownictwa Społecznego Sp. z o.o. wybudowano przyłącze kanalizacji deszczowej 9123,00 m.b.) dla budynku mieszkalnego z częścią usługową w Tomaszowie Mazowieckim.

Realizacja tych projektów zmniejszy ryzyko podtopień wodami opadowymi i roztopowymi poprzez odprowadzenie w sposób zorganizowany ścieków deszczowych w ilości ok. 100 052,00 m³/rok.

Budowa, rozbudowa sieci kanalizacyjnej. W ramach tej grupy zadań Fundusz podpisał 12 umów z gminami: Bełchatów, Czarnocin, Brzeźno, Kamieński (2 umowy), Andrespol, Żelów, Szczerców i Gidle oraz spółkami miejskimi z Kolušek i Radomska (2 umowy).

W efekcie realizacji ww. zadań powstanie sieć kanalizacji sanitarnej o łącznej długości ok. 21.758,00 mb, co pozwoli na odprowadzenie do oczyszczenia ścieków komunalnych w ilości ok. 61 055,00,00 m³/rok.

Budowa, rozbudowa i renowacja zbiorników wodnych

W ramach tej grupy zadań Fundusz podpisał 6 umów. Dofinansowane zadania realizowane były przez:

- » województwo łódzkie – „Zabezpieczenie przeciwpowodziowe wraz z retencjonowaniem wody na terenie województwa łódzkiego”,
- » miasto Łódź – „Roboty konserwacyjne i zabezpieczające przed powodzią na rzekach i zbiornikach wodnych na terenie miasta Łodzi” i „Rewitalizacja i modernizacja obiektów rekreacyjnych MOSiR – odmulenie Stawów Stefańskiego”,
- » miasto Piotrków Trybunalski – „Poprawa naturalnej retencji poprzez biorekultywację zbiornika wodnego „Słoneczko” w Piotrkowie Trybunalskim,
- » Polski Związek Działkowców Ogród Działkowy „Słoneczna Polana” w Pawlikowicach – „Renowacja zbiornika wraz z remontem przepustu oraz umocnienie dna skarp rowu R-D13 na terenie ROD „Słoneczna Polana” w Pawlikowicach”,
- » gminę Inowłódz – „Przebudowa jazu w km 1+054 rzeki Gać wraz z niezbędną infrastrukturą techniczno-budowlaną oraz odmulenie zbiornika w miejscowości Spała”.

Regulacja rzek i przebudowa wałów przeciwpowodziowych. W 2016 r. Fundusz podpisał 5 umów z województwem łódzkim z przeznaczeniem na remont 5 jazów: „Wólka”, „Charbice Górne”, „Charbice Dolne”, „Bliźnia” i „Bałdrzychów”.

Budowa, rozbudowa i modernizacja stacji uzdatniania wody oraz ujęć wody. W 2016 r. Fundusz zawarł 11 umów z przeznaczeniem na realizację zadań z zakresu budowy, rozbudowy i modernizacji stacji uzdatniania wody oraz ujęć wody. Dofinansowanie ze środków Funduszu otrzymały gminy: Rzgów, Kutno, Ozorków, Regnów i Kiełczygłów oraz spółki miejskie z Brzezina, Poddębic, Koluszek, Łęczycy, Sieradza oraz Samodzielny Publiczny Zakład Opieki Zdrowotnej z Wielunia.

Realizacja zadań z tej grupy pozwoli na zapewnienie ciągłości dostaw wody o odpowiednich parametrach jakościowych w ilości około 3.722.094,00 m³/rok.

Budowa i modernizacja wodociągów. Na budowę i modernizację wodociągów w 2016 r. Fundusz podpisał 12 umów. Beneficjentami pomocy finansowej były gminy: Bełchatów (3 umowy), Kodrąb, Skomlin, Wielgomłyny, Dłutów, Biała Rawska i Kiełczygłów oraz spółki miejskie z Brzezina, Poddębic, Koluszek. Projekty te, poprzez budowę ok. 26,18 km sieci wodociągowej zapewnią dostęp do wody o odpowiedniej jakości mieszkańcom 241 posesji w ilości ok. 288.495 m³/rok.

Tabela 7.6 Efekty rzeczowe i ekologiczne uzyskane w dziedzinie ochrony zasobów wodnych

| Wyszczególnienie | Jednostki | Efekty umów zawartych w 2016 r. | Efekty umów z lat ubiegłych | łącznie efekty w 2016 r. |
|---|----------------------|---------------------------------|-----------------------------|--------------------------|
| oczyszczalnie ścieków | | | | |
| Ilość (budowa/rozbudowa/modernizacja) | szt. | 3 | 2 | 5 |
| Przepustowość | m ³ /dobę | 144,00 | 4 942,00 | 5 086,00 |
| BZT5 | Mg/rok | 0,00 | 101,6 | 101,6 |
| przydomowe oczyszczalnie ścieków | | | | |
| Ilość | szt. | 0 | 0 | 0 |
| Przepustowość | m ³ /dobę | 0 | 0 | 0 |
| sieć kanalizacyjna sanitarna | | | | |
| Długość | m.b. | 27 273 | 201 676 | 228 949 |
| Ilość odcinków bocznych | szt. | 236 | 5 436 | 5 672 |
| Ilość ścieków | m ³ /rok | 0,00 | 800 336 | 800 336 |
| Liczba dodatkowych osób korzystających z ulepszonych oczyszczalni ścieków | RLM | 507 | 88 703 | 92 768 |
| sieć kanalizacyjna deszczowa | | | | |
| Długość | m.b. | 4 065 | 39 688 | 43 753 |
| Ilość ścieków | m ³ /rok | 49 932 | 464 948 | 514 880 |
| retencja | | | | |
| Zwiększenie pojemności retencyjnej zbiorników wodnych | m ³ | 0,00 | 65 479 | 65 479 |
| Regulacja rzek, budowa i przebudowa wałów i rowów | m.b. | 26 724 | 137 | 26 861 |
| Obszar objęty oddziaływaniem | ha | 0 | 7 185 | 7 185 |
| Liczba ludności objęta środkami ochrony przeciwpowodziowej | osoba | 0 | 117 | 117 |
| sieć wodociągowa i SUW | | | | |
| Budowa/przebudowa SUW | szt. | 7 | 2 | 9 |
| Długość wodociągu | m.b. | 13 759 | 18 488 | 32 247 |
| Ilość przyłączy wodociągowych | szt. | 94 | 679 | 773 |
| Ilość wody dostarczanej | m ³ /rok | 226 111 | 2 445 953 | 2 672 064 |

Gospodarka odpadami i ochrona powierzchni ziemi (OZ)

Dofinansowanie zadań z dziedziny gospodarka odpadami i ochrona powierzchni ziemi obejmowało następujące grupy zadań:

- » usuwanie azbestu;
- » gospodarka osadowa;
- » rozbudowa składowiska odpadów;
- » selektywna zbiórka odpadów;
- » zakup samochodu do odbioru odpadów.

Tabela 7.7 Umowy zawarte w ramach gospodarki odpadami i ochrony powierzchni ziemi w 2016 r.

| Forma dofinansowania | Ilość zawartych umów [szt.] | Kwota umów [zł] | Kwota wypłacona [zł] | Kwoty planowane do wypłaty w kolejnych latach [zł] |
|--|-----------------------------|-----------------|----------------------|--|
| Pożyczka | 5 | 6.730.840,00 | 335 000,00 | 6 395 840,00 |
| Dotacja | 68 | 2.244.058,00* | 2 091 698,82* | 151 055,18* |
| Pożyczki/dotacje zawarte w ramach programu priorytetowego** | 4 | 52 626 523,00 | 9 190 294,00 | 43 436 229,00 |
| Dotacje w ramach programu priorytetowego „Dofinansowanie usuwania wyrobów zawierających azbest” ** | 165 | 289 074,00 | 232 350,00 | 56 724,00 |
| Umowy 2016 | 424 | 61 890 495,00 | 11 849 342,82 | 50 039 848,18 |
| Umowy zawarte w latach ubiegłych | | | 16 743 516,92 | 0,00 |
| Razem wypłaty | | | 28 592 859,74 | 50 039 848,18 |

*w kwocie nie ujęto środków udostępnionych przez NFOŚiGW

** umowy opisane w rozdziale „Realizacja programów priorytetowych”

Usuwanie azbestu

W 2016 r. Fundusz zawarł 68 umów dotacji z beneficjentami z terenu województwa łódzkiego, w tym 31 umów dotacji z udostępnieniem środków z NFOŚiGW w ramach programu SYSTEM. Dzięki środkom WFOŚiGW w Łodzi oraz udostępnionym z NFOŚiGW w 2016 r. udało się unieszkodliwić azbest w ilości ok. 3.500 Mg. W ramach pozostałych 37 zadań realizowanych przy wsparciu środków z WFOŚiGW w Łodzi unieszkodliwiono azbest w ilości ok. 4.498 Mg.

Gospodarka osadowa

W ramach tej grupy zadań Fundusz udzielił 2 pożyczek. Dofinansowanie przyznano dla:

- » **Zakładu Przetwórstwa Mięsnego „Koniarek” Andrzej Koniarek w Koziej Górze** na kompletną linię do odwodnienia osadów w oparciu o prasę ślimakową;
- » **Spółdzielni Dostawców Mleka w Wieluniu** na przebudowę oczyszczalni ścieków w zakresie technologii odwadniania osadów ściekowych.

Realizacja ww. zadań umożliwi redukcję objętości i masy osadów ściekowych oraz zmniejszenie uciążliwości dla środowiska pochodzących z tworzących się odorów.

Rozbudowa składowiska odpadów

W powyższej grupie zadań Fundusz wsparł finansowo **Eko-Region Sp. z o.o.** z siedzibą w Bełchatowie pożyczką z przeznaczeniem na rozbudowę kwatery II poprzez podniesienie jej rzędnych składowania oraz na budowę podkwater IIa i IIb wraz z niezbędną infrastrukturą na terenie Zakładu Gospodarowania Odpadami w Dylowie „A” gm. Pajęczno. Powyższe zadanie realizowane będzie w latach 2017-2018. Uzyskanie statusu RIPOK w zakresie instalacji do składowania odpadów umożliwi unieszkodliwianie głównie odpadów powstających w procesie mechaniczno-biologicznego przetwarzania zmieszanych odpadów komunalnych oraz odpadów będących balastem pracy sortowni, a także innych odpadów, przeznaczonych do składowania zgodnie z posiadaną decyzją w ilości od ok. 20 000 do 26 000 Mg/rok.

Selektywna zbiórka odpadów

W ramach tej grupy wsparcie finansowe w formie pożyczki otrzymała gmina Wróblew z przeznaczeniem na utworzenie punktu selektywnej zbiórki odpadów komunalnych, wyposażonego w 13 kontenerów przeznaczonych do zbiórki odpadów. Szacuje się, że do punktu przekazywanych będzie ok. 70 Mg odpadów rocznie.

Zakup samochodu do odbioru odpadów

Wsparcie finansowe w formie pożyczki otrzymało **Przedsiębiorstwo Gospodarki Komunalnej i Mieszkaniowej Łęczyca Sp. z o.o.** na zakup samochodu specjalistycznego do opróżniania kontenerów i innych pojemników na odpady, prasowania śmieci i transportu odpadów.

Tabela 7.8 Przykładowe efekty rzeczowe i ekologiczne uzyskane w dziedzinie ochrona ziemi

| Wyszczególnienie | Jednostki | Efekty umów zawartych w 2016 r. | Efekty umów z lat ubiegłych | łącznie efekty w 2016 r. |
|--|-----------|---------------------------------|-----------------------------|--------------------------|
| Unieszkodliwienie odpadów niebezpiecznych zawierających azbest | Mg | 7 997,417* | 213,849 | 8 211,266 |
| Zmniejszenie ilości wytwarzanych osadów w oczyszczalni ścieków | Mg | 0,00 | 20,92 | 20,92 |
| Budowa/modernizacja instalacji przetwarzania odpadów | szt. | 0 | 2 | 2 |
| Budowa kompostowni | szt. | 0 | 2 | 2 |
| Budowa/modernizacja linii do odwodnienia osadów | szt. | 1 | 0 | 1 |
| Utworzenie punktu selektywnego zbierania odpadów | szt. | 1 | 0 | 1 |
| Rekultywacja składowisk odpadów | ha | 0,8 | 0 | 0,8 |

* w tym ilość unieszkodliwionych odpadów, zawierających azbest, finansowana z udostępnieniem środków NFOŚiGW

Ochrona przyrody i krajobrazu (OP)

W 2016 r. Fundusz udzielił pomocy finansowej na realizację zadań z dziedziny ochrona przyrody i krajobrazu, zawierając 38 umów.

Tabela 7.9 Realizacja umów zawartych w ramach ochrony przyrody i krajobrazu w 2016 r.

| Forma dofinansowania | Ilość zawartych umów [szt.] | Kwota umów [zł] | Kwota wypłacona [zł] | Kwoty planowane do wypłaty w kolejnych latach [zł] |
|---|-----------------------------|-----------------|----------------------|--|
| Dotacja | 36 | 4.407.694,17 | 1.690.241,17 | 2 717 453,00 |
| Dotacje zawarte w ramach Programu Priorytetowego* | 2 | 6.350.000,00 | 0,00 | 6 350 000,00 |
| Umowy 2016 | 38 | 10.757.694,17 | 1.690.241,17 | 9 067 453,00 |
| Umowy zawarte w latach ubiegłych, w tym przekazanie środków PJB | | | 5.644.998,57 | 7 388 281,00 |
| Razem wypłaty 2016 r. | | | 7.335.239,74 | 16 455 734,00 |

*umowy opisane w rozdziale „Realizacja programów priorytetowych”

Prace leczniczo–pielęgnacyjne drzew, pomników przyrody, rewitalizacja parków

W ramach tej grupy udzielone zostały 23 dotacje. Zrewaloryzowane zostały m.in. parki w Grabicy, Brzozie oraz Szydłowie (gmina Grabica). Ponadto wykonano prace leczniczo–pielęgnacyjne w zabytkowym parku w Małkowie.

Zwiększenie terenów zieleni

W ramach tej grupy zadań zawarto 9 umów dotacji. Beneficjentami umów są gminy: Gomunice i Kamieńsk oraz powiat brzeziński, Konwent Bonifratrów w Łodzi, Muzeum Sztuki w Łodzi, Ozorkowska Spółdzielnia Mieszkaniowa, Pabianicka Spółdzielnia Mieszkaniowa, Spółdzielnia Mieszkaniowa „Przodownik” w Tomaszowie Mazowieckim oraz Stowarzyszenie Ogniska Miłości w Olszy. Wsparcie finansowe Funduszu umożliwiło nasadzenia drzew, krzewów oraz innych roślin w celu poprawy walorów użytkowych i estetycznych terenów zieleni, będących we władaniu beneficjentów.

Poprawa warunków bytowych zwierząt

Fundusz udzielił dotacji **Miejskiemu Ogrodowi Zoologicznemu w Łodzi Spółka z o.o.** na przebudowę pawilonu małych ssaków, rozbudowę wolier zewnętrznych oraz budowę basenu dla wydr. Realizacja zadania pozwoli na poprawę warunków, w jakich przebywają obecnie zwierzęta, a w przyszłości umożliwi hodowanie i otrzymywanie przychowku z gatunków zagrożonych. Głównymi lokatorami pawilonu będą wydry, natomiast w wolierach hodowane będą głównie małe ssaki, tj. pancernik włośchaty, hirara amerykańska, sajmiri, kinkażu żółty, bolita południowa, a także drzewołaz niebieski i żółtopasy.

Zachowanie bioróżnorodności

W ramach tej grupy zadań dotację otrzymało **miasto Łódź** na utrzymanie siedlisk łąkowych na terenach będących we władaniu Leśnictwa Miejskiego w Zarządzie Zieleni Miejskiej w Łodzi. W ramach zadania przeprowadzono zabiegi wykaszania roślinności w celu zatrzymania niekorzystnych zmian, zachowania walorów przyrodniczych i krajobrazowych oraz zwiększenia różnorodności biologicznej na siedliskach łąkowych o łącznej powierzchni 51,70 ha.

Czynna ochrona gatunkowa

W tej grupie zadań dotację otrzymało **Koło Łowieckie nr 22 „Darz Bór” w Piotrkowie Trybunalskim** na zakup 300 szt. kuropatw i ich reintrodukcję w obwodach łowieckich nr 188 i 190.

Wsparcie finansowe w formie dotacji otrzymało również **Województwo Łódzkie** na zadanie polegające na oznakowaniu tablicami informacyjnymi granic czterech obszarów chronionego krajobrazu, tj. Pradoliny Warszawsko-Berlińskiej, Doliny Prosnicy, Doliny Chojnatki oraz Doliny Wolbórki.

Tabela 7.10 Przykładowe efekty rzeczowe i ekologiczne uzyskane w dziedzinie ochrona przyrody i krajobrazu

| Wyszczególnienie | Jednostki | Efekty umów zawartych w 2016 r. | Efekty umów z lat ubiegłych | Łącznie efekty w 2016 r. |
|---|-----------|---------------------------------|-----------------------------|--------------------------|
| Prace leczniczo-pielęgnacyjne, konserwacja i rekonstrukcja zieleni: drzewa i krzewy, pomniki przyrody | szt. | 2 146 | 10 590 | 12 736 |
| Nowe nasadzenia: drzewa, krzewy, rośliny | szt. | 33 101 | 104 550 | 137 651 |
| Powierzchnia terenów zieleni/parków, na których przeprowadzono prace pielęgnacyjne/nowe nasadzenia | ha | 0,71 | 493,704 | 494,414 |
| Zachowanie bioróżnorodności: wykaszanie roślinności na terenie śródlęśnych polan | ha | 51,7 | 0,0 | 51,7 |
| Czynna ochrona gatunkowa: odbudowa populacji kuropatwy | szt. | 300 | 660 | 960 |
| Montaż pułapek feromonowych na kasztanowcach | szt. | 2 764 | 0 | 2 764 |
| Elementy małej architektury (oświetlenie, ławki, wyposażenie placów zabaw itp.) | szt. | 0 | 383 | 383 |
| | ha | 0 | 2,7 | 2,7 |

Badania naukowe i ekspertyzy/monitoring środowiska (BN)

W 2016 r. w ramach dziedziny „Badania naukowe i ekspertyzy/monitoring środowiska” Fundusz zawarł łącznie 81 umów.

Tabela 7.11 Umowy zawarte na badania naukowe i ekspertyzy/monitoring środowiska w 2016 r.

| Forma dofinansowania | Ilość zawartych umów [szt.] | Kwota umów [zł] | Kwota wypłacona [zł] | Kwoty planowane do wypłaty w kolejnych latach [zł] |
|----------------------------------|-----------------------------|-----------------|----------------------|--|
| Dotacja | 74 | 1.592.009,00 | 580 509,00 | 1 011 500,00 |
| Przekazanie środków PJB | 7 | 2.771.333,00 | 1 478 003,00 | 1 293 330,00 |
| Umowy 2016 | 81 | 4.363.342,00 | 2 058 512,00 | 2 304 830,00 |
| Umowy zawarte w latach ubiegłych | | | 1 389 304,76 | 421 369,65 |
| Razem wypłaty | | | 3 447 816,76 | 2 726 199,65 |

Plan Gospodarki Niskoemisyjnej (PGN)

Fundusz zawarł 45 umów dotacji z przeznaczeniem na opracowanie planów gospodarki niskoemisyjnej (PGN) dla gmin: Bełchatów, Szczerców, Żelów, Bedlno, Dąbrowice, Kutno, Łanięta, Nowe Ostrowy, Oporów, Piątek, Łowicz, Biela-wy, Kiernozia, Kocierzew Południowy, Brójce, Jeżów, Lutomiersk, Kiełczygłów, Nowa Brzeźnica, Strzelce Wielkie, Aleksandrów, Czarnocin, Gorzkowice, Moszczenica, Rozprza, Gidle, Gomunice, Kodrąb, Wielgomłyny, Cielądz, Klonowa, Głuchów, Godzianów, Kowiesy, Słupia, Budziszewice, Mokrsko, Osjaków, Ostrówek, Pątnów, Czastary, Łubnice, Zapolice, oraz miasta i gminy Błaszki i miasta Radomska. Gminy, które opracowały PGN będą mogły ubiegać się o udział w programach, których celem jest pozyskanie dofinansowania na działania związane z termomodernizacją budynków, wdrażanie odnawialnych źródeł energii oraz działania z zakresu modernizacji transportu publicznego w zakresie zmniejszenia emisji.

Programy usuwania azbestu

W 2016 r. Fundusz zawarł 13 umów na opracowanie programów usuwania azbestu z terenów gmin: Żychlin, Buczek, Domaniewice, Aleksandrów, Czarnocin, Gorzkowice, Gidle, Głuchów, Godzianów, Nowy Kawęczyn, Czarnożyły, Parzęczew, Zgierz.

Inwentaryzacja wraz z oceną dendrologiczną i uproszczone plany urządzania lasów

W 2016 r. WFOŚiGW w Łodzi udzielił dofinansowania w formie dotacji 9 jednostkom samorządu terytorialnego: gminie Szczerców, gminie Wartkowice, gminie Sadkowice, gminie Rzeczyca, gminie Zapolice, powiatowi bełchatowskiemu, powiatowi zgierskiemu, miastu Rawa Mazowiecka oraz Muzeum Okręgowemu w Sieradzu.

Realizacja powyższych zadań umożliwiła dokonanie inwentaryzacji istniejącej zieleni pod względem planowanych zabiegów pielęgnacyjnych, a także dokonanie w przyszłości rewaloryzacji i odnowienie terenów zieleni. Uproszczone plany urządzenia lasów ułatwią sprawowanie nadzoru nad prawidłową gospodarką leśną w zakresie ochrony, zagospodarowania, a także utrzymania i powiększania zasobów leśnych.

Osprzęt, urządzenia i aparatura

Dzięki wsparciu Funduszu **Uniwersytet Łódzki** zrealizuje zadanie polegające na monitoringu wód powierzchniowych województwa łódzkiego ze szczególnym uwzględnieniem związków endokrynnych. Ponadto **Regionalna Dyrekcja Ochrony Środowiska w Łodzi** dokonała zakupu sprzętu informatycznego z przeznaczeniem do gromadzenia

i przetwarzania danych oraz obsługi systemów informatycznych, wspierających realizację zadań RDOŚ w Łodzi. Natomiast **Wojewódzki Inspektorat Ochrony Środowiska w Łodzi** wyposażył laboratorium WIOŚ w Łodzi w: aparaturę do ekstrakcji próbek do analiz substancji priorytetowych zgodnie z metodykami referencyjnymi w wodach powierzchniowych, aparaturę do oznaczania substancji biogennych zgodnie z metodykami referencyjnymi w wodach powierzchniowych oraz aparaturę do oznaczania rtęci.

Programy wojewódzkie/opracowanie studium

W zakresie omawianej grupy Fundusz wsparł 3 zadania, spośród których 2 realizowane były przez **Województwo Łódzkie**:

- » aktualizacja programu ochrony środowiska województwa łódzkiego,
- » wykonanie studium pn. "Opracowanie programu ochrony powietrza dla strefy województwa łódzkiego strefy łódzkiej, na podstawie oceny jakości powietrza w województwie łódzkim w 2015 roku".

Trzecie zadanie realizowane było przez **Zakład Energetyki Ciepłej w Łowiczu Sp. z o.o.**, który opracował projekt robót geologicznych (PRG) otworu geotermalnego Łowicz GT-1 wraz z ekspertyzą możliwości wykorzystania i zagospodarowania energii geotermalnej w mieście Łowicz. Opracowanie dokumentacji w przyszłości posłuży do wykonania odwiertu geotermalnego, dzięki któremu będzie mogła nastąpić wymiana konwencjonalnych źródeł energii w ZEC w Łowiczu Sp. z o.o., co w znaczny sposób ograniczy emisję zanieczyszczeń do atmosfery.

Monitoring środowiska

Dofinansowanie otrzymała państwowa jednostka budżetowa - **Wojewódzki Inspektorat Ochrony Środowiska w Łodzi** - która zrealizowała 2 zadania:

- » monitoring środowiska w zakresie określonym w „Wojewódzkim programie monitoringu środowiska”, realizowanym w ramach zadań Państwowego Monitoringu Środowiska,
- » przygotowanie i dostawa bieżących krótkoterminowych prognoz zanieczyszczenia powietrza w województwie łódzkim, ze szczególnym uwzględnieniem łódzkiej aglomeracji miejskiej, Piotrkowa Trybunalskiego, Skierniewic i Sieradza za okres od 01.10.2016 do 30.09.2017.

Oprogramowanie wraz z licencją. Dofinansowanie zakupu oprogramowania, licencji i opieki nad systemem informatycznym pod nazwą „Baza danych o środowisku” otrzymało Województwo Łódzkie.

Badania naukowe i kształcenie ekologiczne. W 2016 r. **Politechnika Łódzka** otrzymała dotację na przeprowadzenie „Badań migracji zanieczyszczeń silnie antropogenicznie przekształconych obszarów zlewni rzeki Bzury na terenie województwa łódzkiego”.

Prace badawcze

Gmina Konstantynów Łódzki podjęła prace badawcze, polegające na opracowaniu projektu robót geologicznych, dotyczących wykonania otworu geotermalnego w Konstantynowie Łódzkim oraz ekspertyzy wykorzystania zasobów geotermalnych.

Zadania skonsolidowane. Państwowa jednostka budżetowa – **Regionalna Dyrekcja Ochrony Środowiska w Łodzi**, dzięki uzyskanemu wsparciu ze środków Funduszu rozpoczęła realizację trzyletniego zadania, obejmującego swym zakresem ochronę pachnicy dębowej w Lasach Spalskich, uzupełnienie stanu wiedzy o występowaniu nietoperzy w obszarach Natura 2000 na terenie województwa łódzkiego, monitoring stanu przedmiotów ochrony oraz monitoring realizacji działań ochronnych na terenie obszarów Natura 2000, prowadzenie monitoringu stanu populacji raka błotnego i raka szlachetnego w rezerwacie przyrody „Gać Spalska”, oznakowanie obszarów Natura 2000 w województwie łódzkim.

Edukacja ekologiczna (EE)

W 2016 r. Fundusz zawarł 356 umów na realizację zadań z zakresu edukacji ekologicznej. Dofinansowanie udzielane było w ramach konkursów ogłaszanych przez Fundusz oraz w trybie ciągłym.

Tabela 7.12 Realizacja umów zawartych w dziedzinie edukacja ekologiczna w 2016 r.

| Forma dofinansowania | Ilość zawartych umów [szt.] | Kwota umów [zł] | Kwota wypłacona [zł] | *Kwoty planowane do wypłaty w kolejnych latach [zł] |
|----------------------------------|-----------------------------|-----------------|----------------------|---|
| Dotacja ogółem | 350 | 10 042 840,88 | 6 841 978,56 | 3 048 115,11 |
| Przekazanie środków PJB | 6 | 463 199,00 | 406 498,81 | 56 700,00 |
| Umowy 2016 | 356 | 10 506 039,88 | 7 248 477,56 | 3 104 815,11 |
| Umowy zawarte w latach ubiegłych | | | 6 559 844,42 | 116 623,65 |
| Razem wypłaty 2016 r. | | | 13 808 321,79 | 3 221 438,76 |

*kwota po korekcie wynikającej z rozliczenia umowy

Konkursy

V edycja konkursu „Moja wymarzona ekopracownia”

Celem konkursu było wyłonienie najlepszych projektów, polegających na utworzeniu szkolnej pracowni na potrzeby nauk przyrodniczych. W 2016 r. w ramach tego konkursu utworzonych zostało 139 pracowni, które wyposażono w pomoce dydaktyczne, tablice interaktywne, meble szkolne, sprzęt audio-video itp. Dokonano również modernizacji pomieszczeń i oświetlenia.

III edycja konkursu „Edukacja ekologiczna w szkołach i przedszkolach”

Fundusz zawarł 104 umowy na dofinansowanie w roku szkolnym 2016/2017 edukacji ekologicznej w następujących obszarach priorytetowych:

- » zanieczyszczenia powietrza oraz ich szkodliwe oddziaływanie na zdrowie ludzi;
- » ochrona bioróżnorodności i funkcji ekosystemów, z uwzględnieniem promocji walorów przyrodniczych województwa łódzkiego;
- » racjonalizacja gospodarki odpadami i zapobieganie ich powstawaniu;
- » zrównoważone korzystanie z zasobów naturalnych, ze szczególnym uwzględnieniem tematyki ochrony wód i gospodarki wodnej;
- » promowanie żywności ekologicznej oraz zasad zdrowego odżywiania.

II edycja konkursu „Edukacja ekologiczna mieszkańców województwa łódzkiego”

Celem konkursu było wyłonienie i finansowe wsparcie najlepszych projektów, mających na celu pozaszkolną edukację ekologiczną dzieci, młodzieży i dorosłych z województwa łódzkiego. Dofinansowanie otrzymały m.in. projekty:

- » „Rośliny miododajne podstawą ochrony bioróżnorodności ekosystemów, stanowiących bazę pożytkową dla owadów zapylających”, realizowany przez Wojewódzki Związek Pszczelarzy w Łodzi;
- » „Edukacja ekologiczna dzieci, młodzieży, studentów oraz osób dorosłych prowadzona przez Zarząd Zieleni Miejskiej w Łodzi pod hasłem: „Różnorodność biologiczna - poznać, zrozumieć, chronić. Jak przeciwdziałać utracie bioróżnorodności w Łodzi?” realizowany przez miasto Łódź;
- » „Wydanie publikacji: „Czerwona księga ptaków ziemi łódzkiej, realizowany przez Towarzystwo Przyrodników Ziemi Łódzkiej z siedzibą w Łodzi.

W 2016 r. w trybie ciągłym Fundusz zawarł 12 umów. Dofinansowanie otrzymały m.in. projekty:

- » „Przyroda województwa łódzkiego widziana oczyma jego mieszkańców, czyli innowacyjne narzędzie edukacji ekologicznej mieszkańców województwa łódzkiego poprzez ich zaangażowanie w promocję walorów przyrodniczych regionu”, realizowany przez Województwo Łódzkie;
- » „Eliminacje wojewódzkie XV edycji ponadregionalnego konkursu „Poznajemy parki krajobrazowe Polski” i przeprowadzenie finału okręgowego XXXI Olimpiady Wiedzy Ekologicznej wraz z zakupem pakietu nagród dla laureatów i ich opiekunów”, realizowany przez Województwo Łódzkie.

Dodatkowo Fundusz zawarł 6 umów z państwowymi jednostkami budżetowymi. Dofinansowanie otrzymały m.in. projekty:

- » społeczna kampania edukacyjno-informacyjna pn. „Ale czad!”, realizowany przez Komendę Wojewódzką PSP w Łodzi;
- » przygotowanie materiałów i wydanie publikacji „Raport o stanie środowiska w województwie łódzkim w 2015 r.”, realizowany przez Wojewódzki Inspektorat Ochrony Środowiska w Łodzi;
- » „Działania edukacyjno-informacyjne”, realizowany przez Regionalną Dyрекcję Ochrony Środowiska w Łodzi.

Tabela 7.13 Przykładowe efekty rzeczowe uzyskane w dziedzinie edukacja ekologiczna

| Wyszczególnienie | Jednostki | Efekty z umów zawartych w 2016 r. | Efekty z umów z lat ubiegłych | Łącznie efekty w 2016 r. |
|--|------------------|-----------------------------------|-------------------------------|--------------------------|
| Jednostki oświatowe, organizacje pozarządowe i inne uczestniczące w konkursach | liczba podmiotów | 98 | 1 | 99 |
| Szacunkowa liczba osób bezpośrednio objętych edukacją ekologiczną | osoby | 113 538 | 40 922 | 154 460 |
| Liczba potencjalnych odbiorców | osoby | 817 450 | 291 735 | 1 109 185 |
| Liczba zamontowanych tablic dydaktycznych | szt. | 54 | 0 | 54 |
| Konferencje, seminaria, sympozja i szkolenia | ilość | 680 | 1 227 | 1 907 |
| Liczba konkursów w ramach programów ekologicznych | ilość | 226 | 791 | 1 017 |
| Liczba wycieczek | ilość | 291 | 1 202 | 1 493 |
| Nasadzenia, zakup roślin | szt. | 1 564 | 1 336 | 2 900 |
| Zakup książek (w tym prenumeraty) | szt. | 62 | 24 | 86 |
| Ekopracownie | szt. | 139 | 0 | 139 |
| Zakup pomocy dydaktycznych | szt. | 13 558 | 10 994 | 24 552 |
| Nakład publikacji/wydawnictwa | szt. | 238 871 | 47 251 | 286 122 |
| Ścieżki dydaktyczne | szt. | 27 | 2 | 29 |

Pozostałe zadania ochrony środowiska (ZI)

W 2016 r. Fundusz zawarł w ramach tej dziedziny łącznie 69 umów.

Tabela 7.14 Realizacja umów zawartych w ramach pozostałych zadań ochrony środowiska w 2016 r.

| Forma dofinansowania | Ilość zawartych umów [szt.] | Kwota umowy [zł] | Kwota wypłacona [zł] | Kwoty planowane do wypłaty w kolejnych latach [zł] |
|----------------------------------|-----------------------------|------------------|----------------------|--|
| Pożyczka | 11 | 4 309 089,00 | 2 475 309,00 | 1 833 780,00 |
| Dotacja | 54 | 6 896 664,80 | 5 020 231,20 | 1 876 000,00 |
| Przekazanie środków PJB | 4 | 442 384,00 | 442 384,00 | 0,00 |
| Umowy 2016 | 69 | 11 648 137,80 | 7 937 924,20 | 3 709 780,00 |
| Umowy zawarte w latach ubiegłych | | | 2 050 250,00 | 0,00 |
| Razem wypłaty 2016 r. | | | 9 988 174,20 | 3 709 780,00 |

*kwota po korekcie wynikającej z rozliczenia umowy

W 2016 r. Fundusz wspierał także zadania polegające na przeciwdziałaniu nadzwyczajnym zagrożeniom środowiska (zapobieganiu i likwidacji poważnych awarii), zakupie urządzeń i aparatury na potrzeby Państwowego Monitoringu Środowiska itp.

Tabela 7.15 Przykładowe efekty rzeczowe, uzyskane w dziedzinie pozostałe zadania ochrony środowiska

| Wyszczególnienie | Jednostki | Efekty z umów zawartych w 2016 r. | Efekty z umów z lat ubiegłych | Łącznie efekty w 2016 r. |
|---|-----------|-----------------------------------|-------------------------------|--------------------------|
| Samochody ratowniczo-gaśnicze/specjalne | szt. | 35 | 31 | 66 |
| Łódź hybrydowa | szt. | 1 | 0 | 1 |
| Ciągnik wraz z osprzętem | szt. | 5 | 9 | 14 |
| Koparko-ładowarka | szt. | 2 | 5 | 7 |
| Motopompa | szt. | 11 | 15 | 26 |
| Działka wodne | szt. | 5 | 0 | 5 |
| Agregat prądowórczy | szt. | 1 | 2 | 3 |
| Zestaw hydrauliczny | szt. | 18 | 6 | 24 |
| Specjalistyczny sprzęt | szt. | 531 | 8 | 539 |
| Zakup i montaż mebli | komplet | 1 | 0 | 1 |
| Przyczepa samowyladowcza | szt. | 1 | 1 | 2 |
| Agregat pompowy | szt. | 0 | 1 | 1 |

Umorzenia pożyczek

W 2016 r. pozytywnie rozpatrzono 77 wniosków o częściowe umorzenie pożyczek.

Tabela 7.16 Zestawienie umorzonych pożyczek w 2016 r. w podziale na dziedzinę ochrony środowiska

| Dziedzina | Ilość umów | Kwota udzielonej pożyczki [zł] | Kwota umorzona [zł] | Procent umorzonej pożyczki | Struktura umorzeń [%] |
|---|------------|--------------------------------|---------------------|----------------------------|-----------------------|
| Ochrona zasobów wodnych | 23 | 17 721 832,89 | 6 744 380,59 | 38,04 | 36,94 |
| Ochrona powietrza | 44 | 30 039 152,63 | 10 703 666,93 | 35,63 | 58,63 |
| Gospodarka odpadami i ochrona powierzchni ziemi | 3 | 919 408,00 | 351 455,32 | 38,23 | 1,92 |
| Pozostałe zadania ochrony środowiska | 7 | 1 240 024,00 | 458 337,63 | 36,96 | 2,51 |
| Razem: | 77 | 49 920 417,52 | 18 257 840,47 | 36,57 | 100,00 |

Realizacja dotacji w formie dopłat do oprocentowania kredytów bankowych

Łączna kwota dotacji do 2 umów kredytowych zawartych w 2016 r. wyniosła prawie 730 tys. zł. Dofinansowanie otrzymały:

- » Wspólnota Mieszkaniowa lokali użytkowych ul. Dąbrowskiego nr 91/91a/91b/91c na realizację zadania: „Przedsięwzięcie termomodernizacyjne pawilonów handlowych „Pionier””;
- » EIP Sp. z o.o. z siedzibą w Warszawie na realizację zadania „Wybudowanie małej elektrowni wodnej o mocy nominalnej 200 kW wraz z obiektami towarzyszącymi w miejscowości Sobota w 78+951 km rzeki Bzura”.

Realizacja powyższych zadań pozwoli na redukcję emisji zanieczyszczeń gazowych i pyłowych do atmosfery, tj.: pyłów – 8,66 Mg/rok, SO₂ – 23,99 Mg/rok, NO_x – 51,12 Mg/rok, CO – 24,774 Mg/rok.

Nagrody za działalność na rzecz ochrony środowiska oraz inne wydatki dotacyjne

Nagrody

W 2016 r. ogłoszono następujące konkursy o nagrodę WFOŚiGW w Łodzi:

- » III edycja konkursu „EkoAktywni”;
- » III edycja konkursu „Ekologiczny magister i doktor”;
- » IV edycja konkursu „Ekobelfry”.

III edycja konkursu „EkoAktywni”

Jego celem było nagrodzenie organizacji pozarządowych i osób fizycznych za działalność na rzecz ochrony środowiska na terenie województwa łódzkiego.

Konkurs ogłoszony był w następujących kategoriach:

- » organizacja pozarządowa;
- » osoba fizyczna, w podkategoriach:
 - » ochrona siedlisk przyrodniczych;
 - » edukacja ekologiczna.

Zdobywcy nagród w kategorii „organizacja pozarządowa”:

- » **nagroda I stopnia** - Ośrodek Szkoleniowo-Wypoczynkowy ZHP „Nadwarciański Gród” w Załęczu Wielkim, Związek Harcerstwa Polskiego Chorągiew Łódzka;
- » **nagroda II stopnia** - Komitet Ochrony Orłów – Region Łódzki.

W ramach kategorii „osoba fizyczna – ochrona siedlisk przyrodniczych” nie została przyznana I nagroda, przyznano natomiast dwie nagrody II stopnia, dwie nagrody III stopnia i jedno wyróżnienie. W ramach **podkategorii edukacja ekologiczna** przyznano jedną nagrodę I stopnia.

Zarząd przyznał ponadto Nagrodę Specjalną Zarządu WFOŚiGW w Łodzi dla prof. dr hab. Romualda Olaczka. Prof. dr hab. Romuald Olaczek jest wybitnym przyrodnikiem, specjalistą w zakresie geobotaniki i konserwatorskiej ochrony przyrody. Laureat stworzył naukowe podstawy współczesnej ochrony przyrody. Badania realizowane przez profesora przyczyniły się bezpośrednio do rozwoju sieci obszarów prawnie chronionych, do utworzenia kilkunastu rezerwatów przyrody, trzech parków krajobrazowych i wielu obszarów Natura 2000.

III edycja konkursu „Ekologiczny magister i doktor”

Celem konkursu było wyłonienie najlepszych, pod względem naukowym i praktycznym, prac magisterskich i rozpraw doktorskich z dziedziny ochrony środowiska oraz nagrodzenie ich autorów. Do konkursu mogli przystąpić absolwenci, którzy obronili pracę magisterską lub doktorską w roku akademickim 2015/2016 w szkołach wyższych, mających siedzibę na terenie województwa łódzkiego.

Prace nagrodzone w kategorii „**Ekologiczny doktor**”:

- » „Fermentacja metanowa wysłodków buraczanych po hydrolizie termiczno-enzymatycznej”;
- » „Metody numerycznego opisu elementów ekosystemu hydromorfologicznego w środowisku miejskim na przykładzie Łodzi”;
- » „Taksonomia i ekologia sinic (Cyanobacteria) źródeł zimnowodnych”;
- » „Rozdział zasobów pokarmowych pomiędzy dominujące gatunki ryb w dużej rzece nizinnej, powyżej i poniżej piętrzenia”.

Prace nagrodzone w kategorii „**Ekologiczny magister**”:

- » „Wpływ przyrodniczych terenów chronionych na zagospodarowanie przestrzeni Łodzi”;
- » „Analiza efektywności stref ekotonowych skonstruowanych w linii brzegowej Zbiornika Sulejowskiego”;
- » „Zróżnicowanie budowy anatomicznej kęp *Festuca amethystina* spp. *ritschlii* pochodzących z populacji rosnącej na obszarze wyznaczonym pod powiększenie odkrywki kopalni Bełchatów”;
- » „Rozpraszanie zabudowy jako współczesny problem rozwoju małego miasta. Przykład Brzeziny”;
- » „Zastosowanie światła słonecznego do rozkładu wybranych ksenobiotyków”;
- » „Ocena możliwości zastąpienia masy odsiarczającej Sulphurex N przez sorbent haloizytowy w instalacji oczyszczania biogazu w GOŚ w Łodzi”;
- » „Badanie procesu termohydrolizy w warunkach wody okołokrytycznej”;
- » „Analiza pozostałości metabolitów amitrazy i wybranych pestycydów w próbach miodu”.

VI edycja konkursu „Ekobelfry”

Celem konkursu było nagrodzenie najbardziej aktywnych nauczycieli oraz placówek oświatowych, realizujących ponadprogramowe działania z zakresu edukacji ekologicznej.

W kategorii **Ekoszkola – podkategoria przedszkole** laureatami zostały:

1. Miejskie Przedszkole nr 1 w Głownie;
2. Publiczne Przedszkole nr 7 „Pod Zielonym Semaforem” w Zduńskiej Woli;
3. Zespół Przedszkolny w Tomaszowie Mazowieckim, Przedszkole nr 3.

W kategorii **Ekoszkola – podkategoria szkoła podstawowa** laureatami zostały:

1. Zespół Szkół Licealno-Gimnazjalnych w Głownie;
2. Gimnazjum im. Obrońców Człowieka w ZSO w Żelowie;
3. Publiczne Gimnazjum nr 21 im. M. Skłodowskiej-Curie w Łodzi.

W kategorii **Ekoszkola – podkategoria gimnazjum** laureatami zostały:

1. Zespół Szkół Licealno-Gimnazjalnych w Głownie;
2. Gimnazjum im. Obrońców Człowieka w ZSO w Żelowie;
3. Publiczne Gimnazjum nr 21 im. M. Skłodowskiej-Curie w Łodzi.

W kategorii **Ekoszkola – podkategoria szkoła ponadgimnazjalna** laureatami zostały:

1. Zespół Szkół w Żychlinie;
2. Zespół Szkół Drzewnych i Ochrony Środowiska im. M. Kopernika w Radomsku;
3. III Liceum Ogólnokształcące im. J. Słowackiego w Piotrkowie Trybunalskim.

W kategorii **Ekoszkola – podkategoria szkoły specjalne i ośrodki szkolno-wychowawcze** laureatami zostały:

1. Zespół Szkół Specjalnych im. M. Grzegorzewskiej w Zduńskiej Woli;
2. Specjalny Ośrodek Szkolno-Wychowawczy im. J. Tuwima w Stemplewie;
3. Specjalny Ośrodek Szkolno-Wychowawczy w Zgierzu.

Inne wydatki dotacyjne

Zwrot gminom utraconych dochodów z tytułu zwolnienia z podatku od nieruchomości, będących własnością Skarbu Państwa, gruntów pokrytych wodami jezior o ciągłym dopływie lub odpływie wód powierzchniowych oraz gruntów zajętych przez sztuczne zbiorniki wodne

Zgodnie z rozporządzeniem Ministra Środowiska z dnia 20 lipca 2006 r. w sprawie zwrotu gminom utraconych dochodów z tytułu zwolnienia z podatku od nieruchomości, będących własnością Skarbu Państwa, gruntów pokrytych wodami jezior o ciągłym dopływie lub odpływie wód powierzchniowych oraz gruntów zajętych przez sztuczne zbiorniki wodne, Fundusz przekazał gminom Wolbórz i Pęcniów łączną kwotę 4.517,00 zł.

Przelewy redystrybucyjne

Na podstawie ustawy z dnia 13 czerwca 2013 r. o gospodarce opakowaniami i odpadami opakowaniowymi oraz o opłacie produktowej, Fundusz przekazał 94 jednostkom samorządu terytorialnego oraz ich związkom łączną kwotę 140.261,84 zł ze środków pochodzących z opłat produktowych za opakowania.

II. działalność funduszu w zakresie realizacji programu operacyjnego infrastruktura i środowisko

Jednym z obszarów działalności WFOŚiGW w Łodzi jest realizacja zadań, związanych z pełnieniem roli instytucji wdrażającej Program Operacyjny Infrastruktura i Środowisko 2007-2013. Funkcja ta została powierzona Funduszowi na mocy porozumienia z Ministrem Środowiska, zawartego 25 czerwca 2007 r. (z późn. zm.). Porozumienie to służy realizacji osi priorytetowych: I „Gospodarka wodno-ściekowa” oraz II „Gospodarka odpadami i ochrona powierzchni ziemi” dla projektów o wartości poniżej 25 milionów euro.

Wdrażanie I i II osi POIiŚ

Wartość całkowita projektów na koniec 2016 r. wyniosła prawie 430 mln zł, w tym dofinansowanie z Unii Europejskiej stanowiło blisko 250 mln zł.

Większość z 21 wdrażanych projektów została już zakończona. Pozostałe natomiast są w końcowej fazie realizacji, która ma na celu osiągnięcie zakładanego wskaźnika rezultatu, tzn. odpowiedniej liczby osób korzystających z wybudowanej lub przebudowanej w ramach projektu sieci kanalizacji sanitarnej. Według stanu na koniec 2016 r. realizacja projektów POIiŚ 2007-2013, pozwoliła na podłączenie do kanalizacji posesji zamieszkanymi przez 23 518 osób, co stanowi 6 346 RLM.

Program Operacyjny Infrastruktura i Środowisko 2014–2020

Zgodnie z podpisanym 25 listopada 2015 r. porozumieniem w sprawie powierzenia zadań związanych z realizacją Programu Operacyjnego Infrastruktura i Środowisko 2014-2020 w zakresie osi priorytetowej II „Ochrona środowiska”, w tym adaptacja do zmian klimatu, NFOŚiGW powierzył Wojewódzkiemu Funduszowi realizację następujących działań:

- przygotowanie i przeprowadzanie warsztatów dla wnioskodawców;
- wsparcie wnioskodawców w przygotowaniu wniosków o dofinansowanie;
- kontrola na miejscu realizacji projektów.

Ogólnopolski system wsparcia doradczego dla sektora publicznego i mieszkaniowego oraz przedsiębiorców w zakresie efektywności energetycznej oraz OZE

WFOŚiGW w Łodzi podpisał 28.04.2016 r. z NFOŚiGW w Warszawie umowę o partnerstwie na rzecz realizacji projektu finansowanego w ramach Programu Operacyjnego Infrastruktura i Środowisko 2014-2020 pn. „Ogólnopolski system wsparcia doradczego dla sektora publicznego, mieszkaniowego oraz przedsiębiorstw w zakresie efektywności energetycznej oraz OZE”.

Najważniejsze działania realizowane w ramach tego projektu to stworzenie ogólnopolskiej sieci wsparcia doradczego związanego m.in. z przygotowaniem, monitorowaniem i weryfikacją planów gospodarki niskoemisyjnej oraz wspieraniem inwestycji w zakresie efektywności energetycznej, OZE oraz związanych z poprawą jakości powietrza, w szczególności na terenach występowania przekroczeń stężeń zanieczyszczeń w powietrzu. W ramach tej sieci w Funduszu funkcjonuje czterech doradców energetycznych. Ich zadania w 2016 r. koncentrowały się w głównej mierze na wsparciu jednostek samorządu terytorialnego w zakresie przygotowania, weryfikacji i wdrożenia planów gospodarki niskoemisyjnej oraz prowadzeniu spotkań informacyjnych/edukacyjnych dla JST oraz dla ogółu mieszkańców. Doradcy udzielali także indywidualnych konsultacji w zakresie przygotowania i wdrożenia inwestycji w dziedzinie efektywności energetycznej, OZE oraz gospodarki niskoemisyjnej.

Sprawozdanie z wykonania rocznego planu finansowego WFOŚiGW w Łodzi na rok 2016

Tabela 7.17 Realizacja rocznego planu finansowego WFOŚiGW w Łodzi na 2016 r. [kwoty w tys. zł]

| Lp. | Wyszczególnienie | Plan (pierwotny) | Plan (po zmianach) | Wykonanie Planu | Procent wykonania [5/4] |
|--------|---|---------------------|-----------------------|-----------------|-------------------------------|
| 1 | 2 | 3 | 4 | 5 | 6 |
| I. | Stan Funduszu na początek roku z tego: | 920 347 000,00 | 946 571 000,00 | 946 571 064,34 | 100,00 |
| 1. | Rzeczowy majątek trwały oraz wartości niematerialne i prawne | 27 746 000,00 | 21 900 000,00 | 21 900 309,88 | 100,00 |
| 2. | Udziały i akcje | 17 675 000,00 | 17 891 000,00 | 17 890 994,50 | 100,00 |
| 3. | Środki pieniężne | 134 719 000,00 | 161 889 000,00 | 161 889 312,36 | 100,00 |
| 4. | Papiery wartościowe w tym: | 708 000,00 | 723 000,00 | 722 958,11 | 99,99 |
| 4.1. | papiery wartościowe Skarbu Państwa | 0,00 | 0,00 | 0,00 | 0,00 |
| 4.2. | papiery wartościowe jednostek samorządu terytorialnego | 0,00 | 0,00 | 0,00 | 0,00 |
| 5. | Należności | 745 720 000,00 | 747 808 000,00 | 747 808 779,76 | 100,00 |
| 5.1. | w tym z tytułu udzielonych pożyczek | 743 220 000,00 | 746 240 000,00 | 746 236 756,48 | 100,00 |
| 5.1.1. | w tym jednostkom sektora finansów publicznych | 201 993 000,00 | 204 051 000,00 | 204 051 143,89 | 100,00 |
| 6. | Pozostałe aktywa | 50 000,00 | 49 000,00 | 48 974,44 | 99,95 |
| 7. | Zobowiązania (minus) | 6 271 000,00 | 3 690 000,00 | 3 690 264,71 | 100,01 |
| 7.1. | w tym z tytułu pożyczek | 0,00 | 0,00 | 0,00 | 0,00 |
| 7.1.1. | w tym od jednostek sektora finansów publicznych | 0,00 | 0,00 | 0,00 | 0,00 |
| II. | Przychody | 166 228 000,00 | 174 122 000,00 | 174 919 690,18 | 100,46 |
| 1. | Wpływy z tytułu opłat za korzystanie ze środowiska i administracyjnych kar pieniężnych | 78 200 000,00 | 82 907 000,00 | 82 518 096,26 | 99,53 |
| 1.1. | Wpływy z tytułu opłat za korzystanie ze środowiska | 78 000 000,00 | 82 700 000,00 | 82 284 254,17 | 99,50 |
| 1.2. | Wpływy z tytułu administracyjnych kar pieniężnych | 200 000,00 | 207 000,00 | 233 842,09 | 112,97 |
| 2. | Nadwyżka dochodów gmin i powiatów z tytułu opłat za korzystanie ze środowiska i administracyjnych kar pieniężnych | 71 000,00 | 70 531 000,00 | 70 530 965,00 | 100,00 |
| 3. | Przychody z tytułu dotacji z budżetu państwa i budżetów jednostek samorządu terytorialnego | 0,00 | 250 000,00 | 0,00 | 0,00 |
| 3.1. | Przychody z tytułu dotacji z budżetu państwa w tym: | 0,00 | 255 000,00 | 0,00 | 0,00 |
| 3.1.1. | dotacje otrzymane na cele bieżące | 0,00 | 255 000,00 | 0,00 | 0,00 |
| 3.1.2. | dotacje otrzymane na cele inwestycyjne | 0,00 | 0,00 | 0,00 | 0,00 |
| 3.2. | Przychody z tytułu dotacji z budżetów jednostek samorządu terytorialnego w tym: | 0,00 | 0,00 | 0,00 | 0,00 |
| 3.2.1. | dotacje otrzymane na cele bieżące | 0,00 | 0,00 | 0,00 | 0,00 |
| 3.2.2. | dotacje otrzymane na cele inwestycyjne | 0,00 | 0,00 | 0,00 | 0,00 |
| 4. | Środki otrzymane z Unii Europejskiej 1) | 433 000,00 | 403 000,00 | 402 718,34 | 99,93 |
| 5. | Przychody finansowe | 16 560 000,00 | 19 895 000,00 | 20 856 601,27 | 104,83 |
| 5.1. | w tym odsetki z tytułu oprocentowania udzielonych pożyczek | 14 000 000,00 | 15 000 000,00 | 14 899 975,85 | 99,33 |
| 5.1.1. | w tym od jednostek sektora finansów publicznych | 3 500 000,00 | 3 500 000,00 | 3 530 754,28 | 100,88 |
| 6. | Pozostałe przychody | 35 000,00 | 131 000,00 | 611 309,31 | 466,65 |
| III. | Koszty | 166 121 000,00 | 136 750 000,00 | 121 271 077,93 | 88,68 |
| 1. | Dotacje w tym: | 110 030 000,00 | 86 100 000,00 | 80 219 804,07 | 93,17 |
| 1.1. | dotacje na cele bieżące | 23 100 000,00 | 23 100 000,00 | 23 086 489,85 | 99,94 |
| 1.1.1. | w tym przekazywane jednostkom sektora finansów publicznych | 17 700 000,00 | 17 700 000,00 | 18 290 573,03 | 103,43 |
| 1.2. | dotacje na cele inwestycyjne | 73 000 000,00 | 53 000 000,00 | 47 727 419,79 | 90,05 |
| 1.2.1. | w tym przekazywane jednostkom sektora finansów publicznych | 43 600 000,00 | 29 200 000,00 | 26 585 067,67 | 91,04 |
| 1.3. | dopłaty do oprocentowania kredytów bankowych | 1 500 000,00 | 1 500 000,00 | 1 354 779,59 | 90,32 |
| 1.3.1. | w tym przekazywane jednostkom sektora finansów publicznych | 40 000,00 | 20 000,00 | 16 577,34 | 82,89 |
| 1.4. | spląty kapitału kredytów bankowych | 12 430 000,00 | 8 500 000,00 | 8 051 114,84 | 94,72 |
| 1.4.1. | w tym przekazywane jednostkom sektora finansów publicznych | 0,00 | 0,00 | 0,00 | 0,00 |
| 1.5. | dopłaty do oprocentowania lub ceny wykupu obligacji | 0,00 | 0,00 | 0,00 | 0,00 |
| 1.5.1. | w tym przekazywane jednostkom sektora finansów publicznych | 0,00 | 0,00 | 0,00 | 0,00 |

| | | | | | |
|--------|--|----------------|----------------|------------------|--------|
| 2. | Środki przekazywane państwowym jednostkom budżetowym za pośrednictwem rezerwy celowej budżetu państwa | 10 821 000,00 | 6 400 000,00 | 6 070 716,08 | 94,85 |
| 3. | Umorzenia pożyczek | 20 000 000,00 | 20 000 000,00 | 18 420 399,68 | 92,10 |
| 3.1. | w tym jednostkom sektora finansów publicznych | 7 000 000,00 | 7 000 000,00 | 5 422 232,41 | 77,46 |
| 4. | Nagrody za działalność na rzecz ochrony środowiska i gospodarki wodnej niezwiązaną z wykonywaniem obowiązków pracowników administracji rządowej i samorządowej | 500 000,00 | 250 000,00 | 225 000,00 | 90,00 |
| 5. | Inne wydatki na rzecz ochrony środowiska | 100 000,00 | 100 000,00 | 4 517,00 | 4,52 |
| 6. | Koszty działalności organów i biura w tym: | 21 579 000,00 | 21 579 000,00 | 16 304 214,51 | 75,56 |
| 6.1. | wynagrodzenia i składki od nich naliczane w tym: | 14 329 000,00 | 14 329 000,00 | 11 410 784,32 | 79,63 |
| 6.1.1. | wynagrodzenia | 12 048 000,00 | 12 048 000,00 | 9 747 317,25 | 80,90 |
| 6.1.2. | składki na Fundusz Ubezpieczeń Społecznych | 1 992 000,00 | 1 992 000,00 | 1 478 855,96 | 74,24 |
| 6.1.3. | składki na Fundusz Pracy | 289 000,00 | 289 000,00 | 168 085,53 | 58,16 |
| 6.2. | zakup towarów i usług | 4 720 000,00 | 4 720 000,00 | 2 754 854,66 | 58,37 |
| 7. | Koszty finansowe | 2 121 000,00 | 2 121 000,00 | 10 055,57 | 0,47 |
| 7.1. | w tym płatności odsetkowe wynikające z zaciągniętych zobowiązań | 0,00 | 0,00 | 0,00 | 0,00 |
| 7.1.1. | w tym od jednostek sektora finansów publicznych | 0,00 | 0,00 | 0,00 | 0,00 |
| 8. | Pozostałe koszty operacyjne | 970 000,00 | 200 000,00 | 16 371,02 | 8,19 |
| IV. | Stan Funduszu na koniec roku w tym: | 920 454 000,00 | 983 943 000,00 | 1 000 219 676,59 | 101,65 |
| 1. | rzeczowy majątek trwały oraz wartości niematerialne i prawne | 26 762 000,00 | 20 916 000,00 | 20 681 637,89 | 98,88 |
| 2. | udziały i akcje | 16 675 000,00 | 16 391 000,00 | 19 591 095,16 | 119,52 |
| 3. | środki pieniężne | 135 196 000,00 | 199 331 000,00 | 218 964 192,03 | 109,85 |
| 4. | papiery wartościowe w tym: | 637 000,00 | 652 000,00 | 738 631,82 | 113,29 |
| 4.1. | papiery wartościowe Skarbu Państwa | 0,00 | 0,00 | 0,00 | 0,00 |
| 4.2. | papiery wartościowe jednostek samorządu terytorialnego | 0,00 | 0,00 | 0,00 | 0,00 |
| 5. | Należności | 747 422 000,00 | 750 311 000,00 | 742 661 643,74 | 98,98 |
| 5.1. | w tym z tytułu udzielonych pożyczek | 745 220 000,00 | 748 240 000,00 | 741 605 180,51 | 99,11 |
| 5.1.1. | w tym jednostkom sektora finansów publicznych | 196 993 000,00 | 185 051 000,00 | 179 239 468,43 | 96,86 |
| 6. | Pozostałe aktywa w tym: | 50 000,00 | 49 000,00 | 91 151,31 | 186,04 |
| 6.1. | pozostałe należności | 0,00 | 0,00 | 0,00 | 0,00 |
| 7. | Zobowiązania (minus) | 6288 000,00 | 3 707 000,00 | 2 508 681,36 | 67,67 |
| 7.1. | w tym z tytułu pożyczek | 0,00 | 0,00 | 0,00 | 0,00 |
| 7.1.1. | w tym od jednostek sektora finansów publicznych | 0,00 | 0,00 | 0,00 | 0,00 |
| V. | Środki na wydatki majątkowe własne 2) | 750 000,00 | 750 000,00 | 240 698,58 | 32,09 |

1) w przypadku gdy fundusz jest beneficjentem końcowym środków z Unii Europejskiej (instytucją realizującą projekt), należy: w tej pozycji wpisać kwotę otrzymaną z UE, a po stronie kosztów przy konkretnych wydatkach podać, ile wydatkowano środków otrzymanych z UE, poprzez dodanie pozycji „w tym finansowanie z UE”.

2) środki na wydatki majątkowe nie zmniejszają stanu funduszu na koniec roku.

Plan pierwotny – plan zatwierdzony uchwałą Rady Nadzorczej nr 121/XI/2015 z 23 listopada 2015 roku.

Plan po zmianach – plan zmieniony uchwałą Rady Nadzorczej nr 94/XI/2016 z 25 listopada 2016 roku.

Opracowanie: **Dorota Linowiecka, Karolina Wlazłowicz**